

# **ALGORITMI DE ÎNVĂȚARE PENTRU REȚELE NEURONALE CLIFFORD**

Teză destinată obținerii  
titlului științific de doctor inginer  
la  
Universitatea Politehnica Timișoara  
în domeniul CALCULATOARE ȘI TEHNOLOGIA  
INFORMAȚIEI  
de către

**ing. Călin-Adrian Popa**

Conducător științific: prof.univ.dr.ing. Ștefan Holban  
Referenți științifici: prof.univ.dr.ing. Gavril Todorean  
prof.univ.dr. Alexandru Cicortaș  
prof.univ.dr.ing. Ionel Jian

Ziua susținerii tezei: 29.05.2015

Seriile Teze de doctorat ale UPT sunt:

- |   |  |
|---|--|
| 1. Automatică                               | 10. Știința Calculatoarelor                |
| 2. Chimie                                   | 11. Știința și Ingineria Materialelor      |
| 3. Energetică                               | 12. Ingineria sistemelor                   |
| 4. Ingineria Chimică                        | 13. Inginerie energetică                   |
| 5. Inginerie Civilă                         | 14. Calculatoare și tehnologia informației |
| 6. Inginerie Electrică                      | 15. Ingineria materialelor                 |
| 7. Inginerie Electronică și Telecomunicații | 16. Inginerie și Management                |
| 8. Inginerie Industrială                    | 17. Arhitectură                            |
| 9. Inginerie Mecanică                       | 18. Inginerie civilă și instalații         |

Universitatea Politehnică Timișoara a inițiat seriile de mai sus în scopul diseminării expertizei, cunoștințelor și rezultatelor cercetărilor întreprinse în cadrul Școlii doctorale a universității. Seriile conțin, potrivit H.B.Ex.S Nr. 14 / 14.07.2006, tezele de doctorat susținute în universitate începând cu 1 octombrie 2006.

Copyright © Editura Politehnică – Timișoara, 2015

Această publicație este supusă prevederilor legii dreptului de autor. Multiplicarea acestei publicații, în mod integral sau în parte, traducerea, tipărirea, reutilizarea ilustrațiilor, expunerea, radiodifuzarea, reproducerea pe microfilme sau în orice altă formă este permisă numai cu respectarea prevederilor Legii române a dreptului de autor în vigoare și permisiunea pentru utilizare obținută în scris din partea Universității Politehnică Timișoara. Toate încălcările acestor drepturi vor fi penalizate potrivit Legii române a drepturilor de autor.

România, 300159 Timișoara, Bd. Republicii 9,  
Tel./fax 0256 403823  
e-mail: editura@edipol.upt.ro

## Cuvânt înainte

Teza de doctorat a fost elaborată pe parcursul activității mele în cadrul Departamentului de Calculatoare al Universității Politehnica Timișoara.

Mulțumiri deosebite se cuvin conducătorului de doctorat, prof.dr.ing. Ștefan Holban, care m-a introdus pentru prima dată în tainele inteligenței artificiale, și mai ales ale rețelelor neuronale. Fără încrederea constantă pe care a avut-o în mine de la început, chiar în momentele în care nu se întrevedea o direcție clară, nu aș fi reușit.

Dedic cu toată dragostea și recunoștința această teză familiei mele, pentru sprijinul și încurajarea pe care mi le-au oferit pe tot parcursul elaborării ei.

Nu în ultimul rând, aș vrea să-I mulțumesc lui Dumnezeu pentru că mi-a dat inspirația, capacitatea și puterea de a duce la bun sfârșit activitatea de doctorat.

Timișoara, mai 2015

Călin-Adrian Popa

Popa, Călin-Adrian

**Algoritmi de învățare pentru rețele neuronale Clifford**

Teze de doctorat ale UPT, Seria 14, Nr. 28, Editura Politehnica, 2015, 232 pagini, 22 figuri, 16 tabele.

ISSN: 2069-8216 ISSN-L: 2069-8216

ISBN: 978-606-554-965-4

Cuvinte cheie: rețele neuronale, algoritmul backpropagation, rețele neuronale cu valori complexe, rețele neuronale Clifford, rețele neuronale cu valori matrici pătratice, rețele neuronale cu valori matrici antisimetrice, medierea rotațiilor

Rezumat,

În prezenta teză, am extins cei mai cunoscuți algoritmi de învățare din cadrul rețelelor neuronale de tip feedforward cu valori reale în domeniul **rețelelor neuronale cu valori complexe**, și anume metodele gradient îmbunătățite (quickprop, resilient backpropagation, delta-bar-delta și SuperSAB), metodele gradientilor conjugați (cu actualizări Hestenes-Stiefel, Polak-Ribiere, Fletcher-Reeves și Dai-Yuan, cu reporniri Powell-Beale și cu actualizări Hestenes-Stiefel și Polak-Ribiere pozitive), metoda gradientilor conjugați scalați, metoda Newton (cu algoritmul de calcul al hessianei și a produsului hessianei cu un vector), metodele quasi-Newton (a actualizării de rang unu, Davidon-Fletcher-Powell, Broyden-Fletcher-Goldfarb-Shanno și one step secant) și metoda Levenberg-Marquardt. Am prezentat rezultate experimentale pentru aplicații sintetice, respectiv problema XOR, problema XOR extinsă, două probleme de aproximare a unor funcții complexe complet și trei probleme de aproximare a unor funcții complexe divizat, și pentru aplicații din lumea reală, respectiv egalizarea canalelor liniare și neliniare, predicția seriilor de timp liniare și neliniare și predicția direcției și vitezei vântului, care au arătat o îmbunătățire de până la șase ordine de mărime în termeni de eroare medie pătratică față de metoda gradient clasică.

Ca o generalizare a rețelelor neuronale cu valori complexe, am dedus aceiași algoritmi pentru **rețelele neuronale Clifford**.

În această teză, am introdus de asemenea un **algoritm de încorporare** (embedding algorithm) ce permite calculul mediei pe varietăți diferențiabile, cu aplicație la medierea rotațiilor. Am prezentat rezultate experimentale folosind funcții de tip  $L^p$ , ceea ce constituie o noutate în literatură, și în particular am făcut comparația între cazul  $L^2$  și cazul  $L^4$ .

Am introdus, în premieră după cunoștințele noastre, unele generalizări ale rețelelor neuronale Clifford, și anume **rețelele neuronale cu valori matrici pătratice**, definite pe algebra matricilor cu operațiile naturale de adunare și înmulțire, și respectiv **rețelele neuronale cu valori matrici antisimetrice**, adică rețele neuronale pe algebra asociată grupului de rotații. Rezultatele experimentale, pe trei probleme de aproximare a unor funcții sintetice în cazul rețelelor neuronale cu valori matrici pătratice, respectiv pe două probleme de aproximare a unor funcții sintetice și pe transformări geometrice (translația, scalarea și rotația) în cazul rețelelor neuronale cu valori matrici antisimetrice sunt promițătoare pentru viitorul acestor tipuri de rețele.

# Cuprins

<b>1</b>	<b>Introducere</b>	<b>11</b>
1.1	Motivație	11
1.2	Contribuția proprie	12
1.3	Structura tezei	15
<b>2</b>	<b>Rețele neuronale Clifford</b>	<b>17</b>
2.1	Rețele neuronale cu valori complexe	18
2.2	Rețele neuronale cu valori hiperbolice	32
2.3	Rețele neuronale cu valori cuaternionice	37
2.4	Rețele neuronale Clifford	45
2.5	Concluzii	54
<b>3</b>	<b>Algoritmi de învățare pentru rețele neuronale cu valori complexe</b>	<b>55</b>
3.1	Introducere în calculul Wirtinger sau calculul $\mathbb{C}\mathbb{R}$	56
3.2	Metoda gradient	58
3.3	Metode gradient îmbunătățite	61
3.3.1	Metoda gradient cu moment	62
3.3.2	Metoda quickprop	62
3.3.3	Metoda RPROP	63
3.3.4	Metoda delta-bar-delta	64
3.3.5	Metoda SuperSAB	65
3.4	Metoda gradientilor conjugați	66
3.4.1	Metoda gradientilor conjugați liniară	68
3.4.2	Metoda gradientilor conjugați neliniară	70
3.5	Metoda gradientilor conjugați scalați	72
3.6	Metoda Newton	74
3.6.1	Calculul hessianei	74
3.6.2	Calculul hessianei pentru o rețea neuronală cu trei straturi	80
3.6.3	Produsul hessianei cu un vector	82
3.7	Metode quasi-Newton	85
3.8	Metoda Levenberg-Marquardt	90
3.9	Concluzii	93
<b>4</b>	<b>Algoritmi de învățare pentru rețele neuronale Clifford</b>	<b>95</b>
4.1	Metoda gradient	96
4.2	Metode gradient îmbunătățite	101
4.2.1	Metoda gradient cu moment	101
4.2.2	Metoda quickprop	101
4.2.3	Metoda RPROP	102
4.2.4	Metoda delta-bar-delta	103

4.2.5	Metoda SuperSAB . . . . .	104
4.3	Metoda gradientilor conjugați . . . . .	105
4.3.1	Metoda gradientilor conjugați liniară . . . . .	107
4.3.2	Metoda gradientilor conjugați neliniară . . . . .	108
4.4	Metoda gradientilor conjugați scalați . . . . .	111
4.5	Metoda Newton . . . . .	112
4.5.1	Calculul hessianei . . . . .	113
4.5.2	Calculul hessianei pentru o rețea neuronală cu trei straturi . . . . .	117
4.5.3	Produsul hessianei cu un vector . . . . .	119
4.6	Metode quasi-Newton . . . . .	122
4.7	Metoda Levenberg-Marquardt . . . . .	127
4.8	Concluzii . . . . .	129
<b>5</b>	<b>Generalizări ale rețelelor neuronale Clifford</b>	<b>131</b>
5.1	Rețele neuronale cu valori vectori tridimensionali . . . . .	132
5.2	Rețele neuronale cu valori vectori $n$ -dimensionali . . . . .	137
5.3	Rețele neuronale cu valori matrici pătratice . . . . .	142
5.4	Rețele neuronale cu valori matrici antisimetrice . . . . .	146
5.5	Medierea matricilor ortogonale . . . . .	152
5.5.1	Introducere . . . . .	152
5.5.2	Medierea pe o varietate riemanniană . . . . .	154
5.5.3	Medierea pe $SO(3)$ . . . . .	156
5.5.4	Medierea pe $SO(n)$ . . . . .	164
5.6	Concluzii . . . . .	169
<b>6</b>	<b>Rezultate experimentale</b>	<b>171</b>
6.1	Rețele neuronale cu valori complexe . . . . .	172
6.1.1	Implementarea . . . . .	172
6.1.2	Problema XOR . . . . .	172
6.1.3	Problema XOR extinsă . . . . .	175
6.1.4	Funcția complexă complet I . . . . .	175
6.1.5	Funcția complexă complet II . . . . .	177
6.1.6	Funcția complexă divizat I . . . . .	178
6.1.7	Funcția complexă divizat II . . . . .	179
6.1.8	Funcția complexă divizat III . . . . .	179
6.1.9	Egalizarea cu canal liniar . . . . .	181
6.1.10	Egalizarea cu canal neliniar . . . . .	185
6.1.11	Predicția seriilor de timp liniare . . . . .	188
6.1.12	Predicția seriilor de timp neliniare . . . . .	189
6.1.13	Predicția direcției și vitezei vântului . . . . .	190
6.2	Rețele neuronale cu valori matrici pătratice . . . . .	195
6.2.1	Funcția sintetică I . . . . .	195
6.2.2	Funcția sintetică II . . . . .	196
6.2.3	Funcția sintetică III . . . . .	197
6.3	Rețele neuronale cu valori matrici antisimetrice . . . . .	197
6.3.1	Funcția sintetică I . . . . .	197
6.3.2	Funcția sintetică II . . . . .	197
6.3.3	Tranșlația . . . . .	198
6.3.4	Scalarea . . . . .	198
6.3.5	Rotația . . . . .	199
6.4	Medierea matricilor ortogonale . . . . .	199
6.5	Concluzii . . . . .	203

<b>7 Concluzii</b>	<b>205</b>
7.1 Sumarul tezei . . . . .	205
7.2 Articole publicate sau comunicate . . . . .	208
7.3 Continuări posibile . . . . .	209
<b>Bibliografie</b>	<b>211</b>





## Listă de figuri

6.1	Rezultate experimentale pentru problema XOR . . . . .	175
6.2	Rezultate experimentale pentru problema XOR extinsă . . . . .	176
6.3	Rezultate experimentale pentru funcția complexă complet I . . . . .	179
6.4	Dinamica învățării pentru funcția complexă complet I . . . . .	180
6.5	Rezultate experimentale pentru funcția complexă complet II . . . . .	182
6.6	Rezultate experimentale pentru funcția complexă divizat I . . . . .	182
6.7	Dinamica învățării pentru funcția complexă divizat I . . . . .	183
6.8	Rezultate experimentale pentru funcția complexă divizat II . . . . .	184
6.9	Rezultate experimentale pentru funcția complexă divizat III . . . . .	185
6.10	Rezultate experimentale pentru egalizarea cu canal liniar . . . . .	186
6.11	Dinamica învățării pentru egalizarea cu canal liniar . . . . .	187
6.12	Rezultate experimentale pentru egalizarea cu canal neliniar . . . . .	190
6.13	Dinamica învățării pentru egalizarea cu canal neliniar . . . . .	191
6.14	Rezultate experimentale pentru predicția seriilor de timp liniare . . . . .	192
6.15	Rezultate experimentale pentru predicția seriilor de timp neliniare . . . . .	193
6.16	Dinamica învățării pentru predicția seriilor de timp neliniare . . . . .	194
6.17	Rezultate experimentale pentru predicția direcției și vitezei vântului . . . . .	196
6.18	Valorile lui $G_{(2)SO(3)}$ pe mulțimile de puncte critice . . . . .	200
6.19	Unghiul de rotație $\theta_{(2),min}$ pentru rotația la care minimul este atins . . . . .	200
6.20	Valorile lui $G_{(4)SO(3)}$ pe mulțimile de puncte critice . . . . .	202
6.21	Unghiul de rotație $\theta_{(4),min}$ pentru rotația la care minimul este atins . . . . .	202
6.22	Non-unicitatea rotației minimale pentru $\alpha = -\frac{\pi}{4}$ și $p = 4$ . . . . .	203

## Listă de tabele

6.1 Algoritmii din Neural Network Toolbox din MATLAB . . . . .	172
6.2 Algoritmii implementați pentru rețele neuronale cu valori complexe . . . . .	173
6.3 Problema XOR . . . . .	173
6.4 Rezultate experimentale pentru problema XOR . . . . .	174
6.5 Problema XOR extinsă . . . . .	176
6.6 Rezultate experimentale pentru problema XOR extinsă . . . . .	177
6.7 Rezultate experimentale pentru funcția complexă complet I . . . . .	178
6.8 Rezultate experimentale pentru funcția complexă complet II . . . . .	181
6.9 Rezultate experimentale pentru funcția complexă divizat I . . . . .	184
6.10 Rezultate experimentale pentru funcția complexă divizat II . . . . .	185
6.11 Rezultate experimentale pentru funcția complexă divizat III . . . . .	186
6.12 Rezultate experimentale pentru egalizarea cu canal liniar . . . . .	188
6.13 Rezultate experimentale pentru egalizarea cu canal neliniar . . . . .	189
6.14 Rezultate experimentale pentru predicția seriilor de timp liniare . . . . .	192
6.15 Rezultate experimentale pentru predicția seriilor de timp neliniare . . . . .	193
6.16 Rezultate experimentale pentru predicția direcției și vitezei vântului . . . . .	195

# Capitolul 1

## Introducere

### 1.1 Motivație

Rețelele neuronale cu valori complexe sunt rețele neuronale ale căror intrări, ponderi, bias-uri și ieșiri sunt numere complexe. Apărute pentru prima dată în anii 1970, rețelele neuronale cu valori complexe au început practic să se dezvolte ca domeniu de sine stătător din anii 1990, interesul pentru acest tip de rețele crescând constant în ultimii ani, devenind astfel în prezent un subiect activ de cercetare. Dovada acestui fapt este aceea că unele dintre cele mai prestigioase conferințe din domeniul rețelelor neuronale au avut sesiuni speciale de rețele neuronale cu valori complexe. Dintre acestea, menționăm International Joint Conference on Neural Networks (IJCNN), organizată de IEEE Computational Intelligence Society (IEEE CIS) și International Neural Network Society (INNS), International Conference on Neural Information Processing (ICONIP), promovată de Asia-Pacific Neural Network Assembly (APNNA) și organizată de Japanese Neural Network Society (JNNS), și International Conference on Artificial Neural Networks (ICANN) organizată de European Neural Network Society (ENNS). O altă dovadă a importanței crescânde a domeniului este dedicarea numărului din septembrie 2014 al IEEE Transactions on Neural Networks and Learning Systems și a numărului din aprilie 2008 al International Journal of Neural Systems rețelelor neuronale cu valori complexe. De asemenea, s-a constituit Task Force on Complex-Valued Neural Networks, în cadrul Institute of Electrical and Electronics Engineers (IEEE), Computational Intelligence Society (CIS), Neural Network Technical Committee (NNTC), care are în prezent mai mult de 40 de membri activi în întreaga lume.

Domeniul de aplicare al rețelelor cu valori complexe s-a lărgit considerabil în ultimii ani, acesta ajungând azi să includă aplicații în ingineria undelor electromagnetice, luminoase și ultrasonice cum ar fi observări terestre și ambientale cu sisteme radar aflate în sateliți sau în aer, imagistică de securitate în aeroporturi, gări și alte mijloace de transport în comun, diagnoză medicală și monitorizarea utilizând fenomene ondulatorii coerente. Alte domenii aflate în expansiune sunt procesarea adaptivă a imaginilor în domeniul frecvență și procesarea semnalelor timp-secvențială. Pentru o detaliere a multora dintre aceste aplicații, a se vedea, spre exemplu, cărțile [118] și [119] care, fiind foarte recente, rezumă cele mai noi progrese făcute în domeniu.

Ideea de bază din spatele acestui tip de rețele neuronale este aceea că există unele semnale care apar natural sub formă complexă, iar tratarea lor presupunea până acum procesarea separată a părților reale și imaginare ale semnalului, pierzându-se astfel legătura naturală care există între ele. Însă rețelele neuronale cu valori complexe tratează semnalele complexe ca întreg, posedând astfel capacități mult mai bune în comparație cu rețelele neuronale clasice, cu valori reale.

În multe aplicații ingineresti, cum ar fi studiul plăcilor tectonice sau modelarea continuă dependentă de secvență a ADN-ului, rezultatele experimentale sunt date sub forma unor rotații tridimensionale care însă sunt destul de afectate de zgomot. Din acest motiv, se vrea o metodă de a reduce efectele acestui zgomot prin medierea acestor date experimentale pentru a obține rezultate cât mai aproape de adevăr. Se naște astfel problema medierii pe grupul rotațiilor, adică a matricilor pătratice ortogonale. Deoarece acest grup nu este un spațiu euclidian, ci doar o varietate diferențiabilă, problema mediei mai multor puncte din acest spațiu nu are o soluție evidentă, deoarece, de exemplu media aritmetică calculată cu adunarea naturală a matricilor nu este la rândul ei o matrice ortogonală. Prin urmare trebuie găsite alte metode de a afla media mai multor matrici ortogonale.

Astfel de tehnici au fost dezvoltate în literatură, și ele se bazează pe aplicația exponențială, care duce matricile ortogonale în algebra matricilor antisimetrice, unde se poate face media unor matrici, revenindu-se apoi în grupul matricilor ortogonale. Există o serie de articole care folosesc această tehnică, spre exemplu [2], [22], [83], [84], [100], [213]. Aplicația exponențială poate fi apoi înlocuită cu noțiunea de re-tractă dezvoltată în [2], [3], [82]. Problemele de mediere pe diferite varietăți vin din aplicații din viața reală și au fost studiate în [1], [2], [111], [227], [243], [262] folosind noțiunile de derivată covariantă și geometria geodezicelor pe varietăți riemanniene.

Toate aceste contribuții însă sunt foarte dificile din punct de vedere computațional și se pretează doar anumitor tipuri de medii, pentru care calculele pot fi făcute mai ușor. Însă dacă luăm în considerare medii definite de funcții de cost arbitrare, atunci aceste metode nu mai pot fi aplicate pentru găsirea unei soluții la problema medierii.

## 1.2 Contribuția proprie

Din motivele prezentate în secțiunea anterioară, am decis că un subiect interesant de cercetare ar fi **rețelele neuronale cu valori complexe**, în particular cele de tip feedforward sau perceptron multistrat, cum au mai fost denumite.

O caracteristică a cercetării în acest domeniu o constituie încercarea de a extinde din domeniul real în domeniul complex diferiți algoritmi și arhitecturi de rețele neuronale. Studiind literatura de specialitate, după cunoștința noastră, dintre algoritmi de învățare cei mai cunoscuți pentru rețelele neuronale de tip feedforward cu valori reale, doar metoda gradient (a se vedea, spre exemplu [71, 184]), metoda gradient cu moment [143], algoritmul resilient backpropagation [141] și algoritmul Levenberg-Marquardt [11] au fost extinși în domeniul complex.

Ținând cont de acest fapt, am hotărât să realizăm extinderea și a altor algoritmi din domeniul real în domeniul complex, cum ar fi *metodele gradient îmbunătățite*, *metodele gradientilor conjugați*, *metoda gradientilor conjugați scalați*, *metoda Newton cu calculul exact al hessianei* și *al produsului hessianei cu un vector*, și *metodele quasi-Newton*. Am folosit un tip de calcul special creat pentru derivarea în planul complex, și anume *calculul Wirtinger*, sau *calculul  $\mathbb{C}\mathbb{R}$* .

Cu aceasta, am construit practic un *cadru* pentru rețelele neuronale cu valori complexe, folosind MATLAB, unde am creat un pachet pentru acest tip de rețele care este analogul pachetului disponibil în MATLAB pentru rețelele neuronale cu valori reale, aflat în Neural Network Toolbox, unde sunt disponibili pentru a fi folosiți la antrenare toți algoritmi enumerați mai sus. Acest pachet pentru rețelele neuronale de tip feedforward cu valori complexe poate fi folosit într-o gamă largă de aplicații ale rețelelor neuronale cu valori complexe, pornind de la probleme de aproximare a unor funcții, la egalizarea cu canal liniar sau neliniar folosită în modularea analogică a semnalelor,

la predicția seriilor de timp liniare și neliniare, cu aplicații în procesarea semnalelor, precum și la predicția direcției și vitezei vântului.

Rezultatele experimentale pe toate aceste tipuri de aplicații enumerate mai sus arată o îmbunătățire semnificativă a performanțelor rețelelor neuronale feedforward cu valori complexe în comparație cu metoda gradient clasică de antrenare a acestor rețele, dar și în comparație cu alte arhitecturi și rețele folosite în literatură pentru a învăța aceste probleme. În funcție de algoritm și de problemă, se constată îmbunătățiri chiar și cu patru ordine de mărime în termeni de eroare medie pătratică, ceea ce constituie o creștere semnificativă a performanței.

Aceste experimente mai relevă faptul că performanța este puternic dependentă de caracteristicile problemei de rezolvat, astfel încât unii algoritmi sunt mai eficienți pe probleme de aproximare de funcții, iar alții pe egalizare și predicție de semnale. Acesta este și motivul pentru care nu ne-am limitat la deducerea și implementarea unei singure clase de algoritmi, ci am hotărât, pornind de la ideea din MATLAB unde sunt prezenți aproape toți acești algoritmi, chiar și în ultima versiune MATLAB R2015a, că ei trebuie puși toți la dispoziția celor interesați de aplicațiile rețelelor neuronale cu valori complexe. Doar experimente făcute pe fiecare problemă în parte vor putea releva care algoritm are cea mai bună performanță pe respectiva problemă. În manualul de utilizare al Neural Network Toolbox pentru MATLAB R2015a, există experimente făcute pe diverse probleme care arată că fiecare algoritm are anumite caracteristici care sunt de dorit într-o anumită aplicație.

Astfel, intenția a fost de a pune la dispoziția celor interesați o paletă largă de algoritmi pentru ca aceștia să poată alege, în urma experimentelor făcute cu pachetul creat, algoritmul cu cea mai bună performanță și cele mai bune caracteristici necesare în aplicațiile lor de interes.

Ca o generalizare a rețelelor neuronale cu valori complexe, am dedus *aceiași* algoritmi pentru **rețelele neuronale Clifford**. Datorită interesului din ultimii ani pentru acest tip de rețele, am considerat oportun să prezentăm aceleași metode de învățare și pentru acest tip de rețele, ținând cont de faptul că doar metoda gradient (a se vedea, spre exemplu [211]) a mai fost dedusă în altă parte în literatură, restul algoritmilor apărând aici pentru prima dată. Calculul diferențial folosit este cel cu derivate parțiale reale, care se poate particulariza și pentru rețelele neuronale cu valori complexe, dând formule diferite pentru algoritmi, care însă sunt echivalente cu cele deduse folosind calculul Wirtinger, sau calculul  $\mathbb{C}\mathbb{R}$ .

Algebrele Clifford sau algebrele geometrice au multe aplicații în fizică și inginerie, și este natural că rețele neuronale cu valori în acest tip de algebră au apărut. Datorită legăturii strânse dintre algebrele Clifford și geometrie, rețelele neuronale definite pe aceste algebre vor fi capabile să proceseze diferite obiecte geometrice și să aplice diferite modele geometrice datelor. Aceasta va oferi, în viitor, o modalitate de a rezolva multe probleme care apar în design-ul sistemelor inteligente. Contribuția noastră vine să preîntâmpine aceste aplicații, prin punerea la dispoziția celor interesați a deducerii teoretice a principalilor algoritmi care au avut performanțe semnificative în cazul real.

Principala particularizare a acestui tip de rețele o constituie *rețelele neuronale cu valori cuaternionice*. Prin urmare, algoritmi mai sus propuși se pot adapta ușor pentru algebra Clifford a cuaternionilor, de dimensiune 4. Rețelele neuronale cu valori cuaternionice au apărut inițial ca o generalizare a rețelelor neuronale cu valori complexe, însă curând au început să aibă aplicații interesante, de la predicția seriilor de tip haotice, la problema parității pe 4 biți, și nu în ultimul rând la procesarea semnalelor cu valori cuaternionice. Analog cu semnalele care apar natural în formă complexă, există semnale care apar natural în formă cuaternionică, astfel că ultimii trei ani au cunoscut practic o explozie a cercetării semnalelor cu valori cuaternionice, această teorie fiind în

plină dezvoltare, motiv pentru care acești algoritmi ar putea avea aplicații interesante în viitor. Deoarece algebra cuaternionilor are dimensiune 4, obiectele tridimensionale pot fi reprezentate folosind cuaternioni, și aplicații ale acestui tip de rețele au apărut în procesarea imaginilor tridimensionale, de asemenea.

Algoritmii dezvoltați vor putea fi implementați pentru a crea un *cadru* pentru rețelele neuronale cu valori cuaternionice în MATLAB, analog celui deja creat pentru rețelele cu valori complexe. Pornind de la deducerea teoretică a acestor algoritmi, și de la implementarea făcută pentru rețelele neuronale cu valori complexe, acest cadru se poate implementa foarte ușor, nepunând niciun fel de probleme pentru cei interesați. Ca o contribuție viitoare, avem în vedere crearea unui astfel de cadru, și folosirea lui pe cele mai cunoscute benchmark-uri din domeniu, cum am făcut pentru rețelele cu valori complexe.

Tot din motivele prezentate în secțiunea anterioară, am decis de asemenea că un subiect interesant de cercetare ar fi găsirea unui algoritm de **mediere a matricilor ortogonale** care să se poată folosi în orice situație, pentru orice funcție de cost, și care să presupună calcule mai directe, care pot fi inclusiv automatizate cu ajutorul calculatorului, ceea ce nu se poate întâmpla în cazul abordărilor clasice din domeniu.

Astfel, algoritmul nostru, numit *algoritm de încorporare*, presupune liftarea funcției de cost inițiale la o varietate diferențiabilă care poate fi scufundată într-o varietate riemanniană (spațiu euclidian) și construirea unui câmp de vectori definit pe spațiul ambient a cărui restricție la varietatea scufundată este câmpul de vectori gradient al funcției de cost liftate. Avantajul acestei metode este acela că ne permite să facem calcule în coordonate carteziane în loc să folosim coordonate locale și derivate covariante pe varietatea inițială. Astfel, pot fi calculate medii date de orice funcție de cost, indiferent de cât de complicată este expresia ei, pentru că algoritmul presupune doar calcule în coordonate carteziane.

O altă parte a contribuției noastre o constituie introducerea, în premieră după cunoștințele noastre, a **rețelelor neuronale cu valori matriciale**, care reprezintă *generalizări* ale rețelelor neuronale Clifford. În aceste rețele neuronale intrările, ieșirile, ponderile și bias-urile sunt matrici. Am decis să discutăm două cazuri, și anume **rețelele neuronale cu valori matrici pătratice**, care sunt considerate pe algebra matricilor cu operațiile naturale de adunare și înmulțire, și respectiv **rețele neuronale cu valori matrici antisimetrice**, adică rețele neuronale pe algebra asociată grupului de rotații.

În ambele cazuri, este introdusă *metoda gradient* de antrenare a rețelelor neuronale de tip feedforward. Ideea acestor rețele vine de la faptul că algoritmul de mediere propus poate fi folosit pentru a genera seturi de date de antrenare pentru rețele neuronale, care pot astfel învăța medii de orice fel, permițându-ne să găsim media unor rotații fără a mai trece măcar prin calculele presupuse de algoritmul de încorporare propus. Având valorile din grup, ele pot fi trecute în algebra asociată, date rețelei neuronale, iar rezultatele trecute înapoi în grup.

Datorită gradului lor de generalitate, se poate prevedea că rețelele neuronale cu valori matrici pătratice vor avea multe aplicații în viitor la rezolvarea unor probleme la care rețelele neuronale cu valori reale au eșuat sau au avut performanțe slabe. Ele pot fi folosite pentru a rezolva ecuații matriciale, pentru a calcula mediile unor matrici, sau pentru a învăța orice funcții definite pe algebra matricilor. Rețelele neuronale cu valori matrici pătratice ar putea avea aplicații interesante în computer vision, procesarea de imagini, și toate celelalte domenii legate de transformări geometrice ale obiectelor, dar și pe unele probleme  $n$ -dimensionale.

Rețelele neuronale cu valori matrici antisimetrice ar putea avea aplicații interesante în computer vision și toate celelalte domenii legate de transformări geometrice ale obiectelor tridimensionale, dar ar putea avea performanțe mai bune și pe unele probleme  $n$ -dimensionale decât soluțiile disponibile în prezent.

Rezultatele experimentale ale metodei gradient pentru rețelele feedforward cu valori matrici pătratice pe trei probleme de aproximare de funcții, inclusiv inversa matricială, dau motive de optimism privind viitorul acestor rețele. În cazul rețelelor neuronale cu valori matrici antisimetrice, am folosit două probleme de aproximare de funcții, precum și trei transformări geometrice: translația, scalarea și rotația, cu rezultate foarte bune.

Paleta de aplicații posibile ale acestor două tipuri de rețele este largă, și sperăm ca, pe viitor, acest prim pas făcut să dea naștere unei teorii a rețelelor neuronale cu valori matriciale, asemenea celor care s-au dezvoltat sau sunt în curs de dezvoltare pentru rețelele neuronale cu valori complexe și cu valori cuaternionice. Ca o contribuție viitoare, intenționăm să dezvoltăm și alte tipuri de rețele cu valori matriciale pe lângă cele feedforward, care le vor mări și mai mult domeniul de aplicabilitate.

### 1.3 Structura tezei

Astfel, teza este structurată după cum urmează:

- Capitolul 2 face o prezentare sintetică a **rețelelor neuronale cu valori complexe**, a **rețelelor neuronale cu valori hiperbolice**, a **rețelelor neuronale cu valori cuaternionice** și a **rețelelor neuronale cu valori în algebre Clifford**, începând cu descrierea respectivelor sisteme de numere, și continuând cu principalele caracteristici ale rețelelor feedforward de tipurile respective.
- Capitolul 3 prezintă câte o secțiune pentru fiecare dintre metodele de învățare nou propuse pentru **rețelele neuronale cu valori complexe**, începând cu clasică *metodă gradient*, continuând cu *metodele gradient îmbunătățite*, *metodele gradientilor conjugați*, *metoda gradientilor conjugați scalați*, *metoda Newton cu calculul exact al hessianei* și *al produsului hessianei cu un vector*, *metodele quasi-Newton* și terminând cu *metoda Levenberg-Marquardt*. Pentru a deduce acești algoritmi, am folosit *calculul Wirtinger*, sau *calculul  $\mathbb{C}\mathbb{R}$* , care este utilizat pe larg în literatura de specialitate pentru a extinde algoritmi de învățare din planul real în planul complex.
- Deoarece pentru **rețelele neuronale Clifford** nu există ceva asemănător calculului Wirtinger, am folosit calculul obișnuit cu derivate parțiale pentru a deduce *aceiași algoritmi* ca mai sus și pentru acest tip de rețele în Capitolul 4. Datorită generalității acestui tip de rețele, algoritmi deduși se pot particulariza ușor pentru *rețele neuronale cu valori hiperbolice*, pentru *rețele neuronale cu valori cuaternionice*, și chiar pentru rețele neuronale cu valori complexe, fiind o alternativă de exprimare a algoritmilor deduși în capitolul precedent.
- Capitolul 5 prezintă *metoda gradient* pentru antrenarea **rețelelor neuronale** de tip feedforward **cu valori vectori tridimensionali**, **cu valori vectori  $n$ -dimensionali**, și respectiv **cu valori în algebra matricilor pătratice** și **în algebra matricilor antisimetrice**. În același capitol se prezintă *algoritmul de incorporare* dezvoltat pentru a ușura calculul mediilor date de diferite funcții de cost pe varietăți riemanniene, și în particular **calculul mediilor pe grupul matricilor ortogonale**.

- Capitolul 6 prezintă **rezultatele experimentale** ale aplicării algoritmilor propuși pentru cele mai cunoscute benchmark-uri folosite în literatura de specialitate, atât pentru aplicații sintetice, cât și pentru aplicații din lumea reală, în cadrul *rețelelor neuronale cu valori complexe*. Aplicațiile sintetice includ problema XOR, problema XOR extinsă și aproximarea a două funcții complexe complet și a trei funcții complexe divizat. Aplicațiile din lumea reală sunt egalizarea cu canal liniar și respectiv neliniar, predicția seriilor de timp liniare și respectiv neliniare, precum și predicția direcției și vitezei vântului. Tot în acest capitol sunt prezentate aplicații sintetice pe probleme de aproximare de funcții ale metodei gradient pentru *rețelele neuronale cu valori matrici pătratice*, respectiv *cu valori matrici antisimetrice*, precum și rezultatele experimentale ale *medierii pe grupul matricilor ortogonale*.
- În final, Capitolul 7 prezintă **concluziile** prezentei teze.



## Capitolul 2

# Rețele neuronale Clifford

Acest capitol face o introducere în domeniul rețelelor neuronale Clifford, prezentând o istorie succintă a domeniului, principalele contribuții din literatură, cele mai importante aplicații și caracteristicile generale ale algebrelor numerelor complexe, hiperbolice, cuaternionice și Clifford.

Astfel, Secțiunea 2.1 este dedicată rețelelor neuronale cu valori complexe. După o scurtă introducere privind apariția acestui tip de rețele, se discută cele mai importante contribuții teoretice din domeniu, iar apoi se evidențiază principalele aplicații ale acestor rețele. Apoi, după o scurtă istorie a numerelor complexe, se prezintă trei definiții echivalente ale mulțimii acestor numere, cu sublinierea caracteristicilor calculului diferențial în planul complex. Secțiunea se încheie cu deducerea algoritmului backpropagation pentru metoda gradient de învățare a unei rețele neuronale de tip feedforward cu valori complexe, deoarece prezenta teză se ocupă doar de rețele feedforward.

Secțiunea 2.2 prezintă rețelele neuronale cu valori hiperbolice, și începe cu evidențierea principalelor contribuții care vizează acest tip de rețele. Datorită faptului că algebra numerelor hiperbolice este tot de dimensiune doi, aplicațiile sunt mult mai puține decât cele din cadrul rețelelor cu valori complexe, însă este posibil ca ele să apară pe viitor. Din acest motiv, după această scurtă introducere se trece la definirea echivalentă a numerelor hiperbolice, în același fel cu a numerelor complexe. Același algoritm backpropagation este evidențiat pentru o rețea cu valori hiperbolice de tip feedforward.

Următoarea secțiune a acestui capitol, Secțiunea 2.3, am dedicat-o rețelelor neuronale cu valori cuaternionice. Dintre toate rețelele de tip Clifford care au fost discutate în literatura de specialitate, rețelele cuaternionice sunt cele mai populare, bineînțeles după rețelele cu valori complexe. Studiul în aceste rețele s-a intensificat foarte mult, motiv pentru care prezentarea contribuțiilor și aplicațiilor celor mai importante se face cu citarea unor lucrări de dată foarte recentă. Aceași schemă a celor trei definiții echivalente este aplicată și pentru mulțimea numerelor cuaternionice, și același algoritm este prezentat pentru antrenarea unei rețele de tip feedforward, acesta fiind perfect analog celui din cazurile complex și hiperbolic.

Apoi, Secțiunea 2.4 introduce rețelele neuronale Clifford, care dau și titlul prezentei teze, și care reprezintă o generalizare  $2^n$ -dimensională a rețelelor reale, complexe, hiperbolice și cuaternionice. După prezentarea principalelor contribuții din domeniul acestor rețele, se trece la construirea progresivă a definiției algebrelor Clifford. Odată definite algebrele Clifford, se continuă cu prezentarea algoritmului backpropagation generalizat pentru rețelele neuronale Clifford, care reprezintă, de fapt, o extindere a aceluiași algoritm din cadrul rețelelor cu valori complexe, hiperbolice și cuaternionice.

În fine, Secțiunea 2.5 prezintă concluziile acestui capitol. El face o descriere a stării actuale a domeniului rețelelor de tip Clifford și prezintă cel mai cunoscut algoritm pentru antrenarea rețelelor feedforward, și anume metoda gradient, care va constitui baza pentru capitolele următoare, unde sunt deduși alți algoritmi de antrenare a acestor rețele.

## 2.1 Rețele neuronale cu valori complexe

În anul 1971, Aizenberg et al. din Uniunea Sovietică (Rusia de azi) au avut ideea de a extinde valorile binare 0 și 1 la mai multe valori situate pe cercul unitate din planul complex [9]. Ei au propus de asemenea o implementare bazată pe modularea puls poziție (PPM) în care au codificat multiplele valori ale fazei în secvența de timp a pulsului 1 în unitatea de timp. Această idee este compatibilă cu aplicațiile moderne din domeniul undelor electromagnetice, sugerând existența unei legături strânse între timp și fază.

În cazul de mai sus, semnalele de ieșire cu valori multiple sunt plasate în puncte discrete pe cercul unitate. Această clasă de rețele neuronale cu valori complexe sunt uneori numite *rețele neuronale fazoriale*, în care amplitudinea este fixată ca fiind egală cu unitatea, deși fazorul nu este neapărat un vector cu amplitudine fixată în planul complex. Grupul lui Aizenberg a publicat o carte despre rețelele neuronale cu valori multiple în anul 2000 [8]. Activitatea acestui grup continuă și astăzi, când, deși inventatorul inițial al rețelelor cu valori multiple, Naum Aizenberg, nu mai este în viață, fiul său, Igor Aizenberg continuă cercetarea în acest domeniu.

În prelucrarea adaptivă a semnalelor în sisteme radar, de comunicații și alte aplicații, semnalele cu valori complexe apar inevitabil și ele trebuie prelucrate. În cadrul procesării liniare, Widrow et al. din Statele Unite ale Americii a propus algoritmul celor mai mici pătrate complex (complex least mean squares, CMLS) în 1975 [264]. Deoarece acest algoritm este de tip gradient cu o eroare de tip pătratic, și este de asemenea și liniar, dinamica lui este clară. Practic ceea ce se întâmplă este că transpusa vectorilor și matricilor din procesarea semnalelor din domeniul real este înlocuită cu transpusa hermitiană (sau, altfel spus, transpusa conjugată) în domeniul complex. Această operație se regăsește pe larg în știință și tehnologie, ca de exemplu în mecanica cuantică.

În anul 1988, Noest din Olanda a propus memoria asociativă cu valori multiple, sau fazorială [205] și a obținut capacitatea de memorare [204]. El a descoperit că, într-o anumită condiție, capacitatea normalizată a memoriei asociative fazoriale este  $\pi/4$ , puțin mai mare decât capacitatea memoriei asociative binare, care este  $2/\pi$ .

Apoi, în anii 1991 și 1992, au fost prezentate metoda gradient și algoritmul back-propagation de învățare, de către mai mulți cercetători în mod independent. În 1991, Leung & Haykin au considerat o rețea neuronală cu valori complexe care are o funcție de activare de tip sigmoid complexă complet

$$f(z) = \frac{1}{1 + e^{-z}}.$$

Ei au dezvoltat algoritmul de învățare pentru o astfel de rețea folosind derivate parțiale ale părților reale și imaginare ale funcțiilor care apar în cadrul metodei gradient [163].

În 1992, Benvenuto & Piazza au considerat o rețea neuronală cu valori complexe a cărei funcție de activare este de tip sigmoid complexă divizat

$$f(z) = \frac{1}{1 + e^{-\operatorname{Re}z}} + i \frac{1}{1 + e^{-\operatorname{Im}z}}, \quad i = \sqrt{-1}.$$

Aceasta este una dintre cele mai simple extensii ale funcției de activare sigmoid din domeniul real. Avantajul ei este că putem de asemenea să obținem algoritmul back-propagation ca o simplă extensie a aceluiași algoritm de la rețelele neuronale cu valori reale [39].

Articolul lui Nitta [191] a propus de asemenea o rețea neuronală cu valori complexe cu funcție de activare complexă divizat și a studiat dinamica acesteia tratând separat părțile reală și imaginară. El a transformat imaginile bidimensionale formate din puncte în planul complex pentru a discuta capacitatea de generalizare bidimensională a acestui tip de rețea.

Există și alte articole care au introdus metoda gradient și algoritmul backpropagation pentru rețele neuronale cu funcții de activare complexe divizat. De exemplu, scopul articolelor lui Kim & Guest [143] și Birx & Pipenberg [43] este implementarea optică.

În acest context, articolul lui Georgiou & Koutsougeras din 1992 [90] discută ce clasă de funcții de activare este cea mai potrivită, după ce face la început o analiză teoretică a funcțiilor de activare complexe divizat. Presupunând o implementare folosind circuite analogice, ei au propus o funcție a cărei amplitudine se saturează, câtă vreme faza rămâne neschimbată, și anume

$$f(z) = \frac{z}{c + |z|/r},$$

unde  $c$  și  $r$  sunt parametri reali care determină caracteristica saturației. Luând în considerare semnalele sau undele din circuitele electronice, o astfel de funcție de activare reprezintă o alegere naturală.

În același an, Hirose a propus o memorie asociativă care folosește o funcție de activare de tip amplitudine-fază, independent de grupul lui Georgiou, și a demonstrat aducerea din memorie netedă (smooth recall) în domeniul complex [114]. Această propunere va da naștere unor implementări fizice cum sunt dispozitivele cuantice, în viitor.

Tot în 1992, Hirose a propus metoda gradient și algoritmul backpropagation pentru rețele neuronale cu valori complexe care au funcții de activare de tip amplitudine-fază, ca cea de mai sus [113], și a demonstrat eficiența lor. Ele au fost deduse folosind derivate parțiale în direcțiile amplitudinii și fazei, care sunt compatibile cu acest tip de funcție de activare. O caracteristică importantă a algoritmului backpropagation este aceea că nu semnalele de eroare sunt propagate înapoi, ci din contră semnalele de antrenare sunt propagate înapoi prin straturile rețelei, ceea ce îl face compatibil cu implementări cu unde de lumină și unde electromagnetice.

Se poate observa că anul 1992 a fost fructuos în ceea ce privește cercetarea în domeniul rețelelor neuronale cu valori complexe. Takeda & Kishigami au raportat teoria și experimentele pe o memorie asociativă cu valori complexe folosind unde de lumină [248]. Ei au observat faptul că expresia matematică a câmpului undei de lumină într-un rezonator este identică cu cea a unei memorii asociative în domeniul complex. Succesul experimentelor lor a deschis o nouă direcție de cercetare. Pentru a construi o teorie care să fie eficace în lumea reală, este important ca aceasta să fie dezvoltată în conformitate cu realitatea fizică. Ei au reușit de asemenea să prezinte un exemplu excelent al faptului că un fenomen fizic de bază reprezintă o realizare a unei rețele neuronale cu valori complexe.

Urmând ideile legate de rețelele cu funcții de activare de tip amplitudine-fază, grupul lui Hirose a publicat mai multe articole despre rețelele neuronale bazate pe unde de lumină coerente (coherent lightwave neural networks), inclusiv un articol care descrie implementarea lor fizică folosind detecția homodină și detaliile algoritmului

backpropagation de tip amplitudine-fază [115], precum și alte trei lucrări care prezintă analiza numerică a caracteristicilor de generalizare în domeniul frecvenței [122, 123, 121].

Mai mult, ei au propus realizarea comportării dependentă de frecvența purtătoare (carrier-frequency-dependent behavior) în rețele neuronale bazate pe unde electromagnetice [122, 120]. Această idee conduce nu numai la controlul comportării rețelei neuronale prin modularea frecvenței purtătoare, ci și la apariția voinței în combinație cu un feedback al semnalelor de ieșire către controlere. Se realizează apoi multiplexarea în domeniul frecvență în vasta bandă de frecvență optică. Aceste avantaje își au originea în manipularea precisă dependentă de frecvență a semnalelor prin folosirea informației de fază în rețelele neuronale cu valori complexe.

Aspectele teoretice ale rețelilor neuronale cu valori complexe au fost discutate din mai multe puncte de vedere. Hanna & Mandic au analizat dinamica metodei gradient de învățare într-un filtru cu un singur strat având funcția de activare de tip sigmoid complexă divizat sau de tip amplitudine-fază [106]. Ei au investigat de asemenea ieșirile rezultate în urma procesului de filtrare [104]. Hanna & Mandic [105] au discutat efectul reutilizării datelor în învățarea rețelilor neuronale cu valori complexe. În plus, multe articole au făcut analize ale rezultatelor unor algoritmi de învățare, ca de exemplu Casasent & Natarajan [60], Nitta [191, 196], Goh & Mandic [93, 96, 97], Fiori [81] și Xu et al. [268]. Există de asemenea evaluări ale erorii perceptronilor de către Yang et al. [272] și reducerea numărului de neuroni de pe stratul ascuns de către Kobayashi [151].

Caracteristicile funcțiilor de activare au fost discutate, spre exemplu de Kim & Adali [148, 146], Jankowski et al. [137]. În ceea ce privește memoriile asociative cu valori complexe, există mai multe articole privind funcțiile energie și dinamica: Kuroe et al. [155], Nemoto & Kubono [181], Lee & Wang [162], Aoki & Kosugi [15], Lee [160, 159, 161], Takahashi [247], Muezzinoglu et al. [179]. Dinamica rețelilor neuronale cu valori complexe cu funcții de activare complexe divizat a fost analizată când aceste rețele au fost folosite pentru transformări geometrice în planul complex de către Nitta [193, 195, 197]. Analiza componentelor principale (principal component analysis, PCA) și analiza componentelor independente (independent component analysis, ICA) au fost cercetate din diferite puncte de vedere de către Zhang & Ma [280], Rattan & Hsieh [224], Uncini & Piazza [259], Anemuller et al. [14], Li & Adali [164, 166], Novey & Adali [206]. Rețelele oscilatoare (oscillatory networks) sunt de asemenea strâns legate de rețelele cu valori complexe, și ele au fost studiate de către Burwick [58, 59].

Rețelele neuronale cu valori cuaternionice și Clifford au fost propuse și analizate de către Pearson & Bisset [212], Arena et al. [17], Isokawa et al. [131], Kusamichi et al. [157], Buchholz [53, 48], Byro-Corrochano & Arana-Daniel [34], și alții.

În ceea ce privește aplicațiile rețelilor neuronale cu valori complexe, se poate spune că există multe aplicații în domeniile microundelor și a undelor milimetrice, ca design-ul adaptiv bazat pe rețele neuronale cu valori complexe a antenelor patch, estimarea direcției de sosire a undelor (direction of arrival, DoA) folosind rețele neuronale cu valori complexe propusă de Yang et al. [274], formarea adaptivă a razelor (beamforming) în antenele array de către Yang & Bose [271], Yamaki & Hirose [270], sau radare penetrante ale solului (ground penetrating radars, GPRs) pentru detecția minelor antipersoană de către Hara & Hirose [107], Masuyama & Hirose [175], Masuyama et al. [176].

În analiza neurofiziologică, dinamica neuronului de tip Nagumo-Sato cu valori complexe a fost folosită pentru a reprezenta activitățile neuronale pe secvențe de timp și

aparitia comportării haotice de către Nemoto & Saito [182]. În bioinformatică și procesarea imaginilor din bioinformatică, expresia genetică a fost analizată pentru clasificarea stadiilor expresiei genetice folosind rețele neuronale cu valori complexe de către Aizenberg et al. [6].

În memoriile asociative, mai multe modalități interesante au fost propuse pentru a manipula date transformate în domeniul frecvenței de către Aizenberg & Butakoff [5], Aizenberg et al. [7] și Tanaka & Aihara [249].

Egalizatoarele adaptive și filtrele cu valori complexe au fost propuse în multe articole, spre exemplu de You & Hong [276], Gan et al. [86], Jianping et al [139], Park & Jeong [208], Deng & Yang [75] și Chen et al. [68].

Există de asemenea un număr mare de articole în domeniul procesării secvențelor de timp cu valori complexe, ca de exemplu Chakravarthy & Ghosh [63], unde s-a discutat încorporarea secvențelor de tipare în oscilații. Rețelele neuronale cu valori complexe au o comportare dinamică mai stabilă în comparație cu cele cu valori reale când sunt de tipul rețele neuronale recurente, cum ar fi memoriile asociative cu secvențe de timp (time-sequential associative memories) [116, 124, 125]. Stabilitatea dinamică este aplicabilă și în alte domenii. De exemplu, memorarea și extragerea melodiilor (muzicale) a fost realizată de către Kinouchi & Hagiwara [149]. Alte metode de învățare pentru predicția secvențelor de timp au fost de asemenea propuse în Rajagopal & Kak [183], care arată un algoritm cu învățare rapidă.

Una dintre aplicațiile recente este controlul optimal dependent de trafic (traffic-dependent optimal control) al semafoarelor conectate prin drumuri, propus și analizat de către Nishikawa & Kuroe [183]. Ei au considerat dinamica de învățare a unui mare număr de oscilatoare (semafoare) conectate prin drumuri pentru a face mașinile să treacă mai repede. Rețelele neuronale cu valori complexe au fost de asemenea aplicate pentru a calcula inversa matricilor de către Song & Yam [242], care este o aplicație matematică. În ceea ce privește cuaternionii, avem o rețea neuronală cu valori cuaternionice aplicată în învățarea în spațiul tridimensional color RGB, pentru a transforma imagini color, propusă de Isokawa et al. [131].

O varietate de aplicații hardware ale rețelelor neuronale cu valori complexe a fost propusă folosind unde de lumină [142], unde electromagnetice, în particular unde electrice de înaltă frecvență, unde de electroni, și unde sonice sau ultrasonice. Cum procesarea de înaltă frecvență necesită operarea la viteze mari, rețelele neuronale analogice sunt preferabile rețelelor neuronale digitale sau pulsate. Deși rețelele neuronale analogice pot procesa semnalele rapid, precizia scăzută a fost de obicei o mare problemă. Însă, progrese recente în componente ale circuitelor reușesc să depășească acest neajuns.

Dovadă a interesului pentru domeniul rețelelor neuronale cu valori complexe îl reprezintă numeroasele cărți de autor și colective care au apărut, cu mai mare frecvență, mai ales în ultimii ani. Astfel avem cărțile de autor:

- „Neural Networks in Multidimensional Domains” de P. Arena, L. Fortuna, G. Muscato, M.G. Xibilia (Springer, 1998) [18],
- „Multi-Valued and Universal Binary Neurons – Theory, Learning and Applications” de I. Aizenberg, N. Aizenberg, J. Vandewalle (Kluwer Academic Publishers, 2000) [8],
- „Complex-Valued Neural Networks” de A. Hirose (Springer, 2006, 2012) [118],
- „Complex Valued Nonlinear Adaptive Filters – Noncircularity, Widely Linear and Neural Models” de D.P. Mandic & S.L. Goh (Wiley, 2009) [171],

- „Complex-Valued Neural Networks with Multi-Valued Neurons” de I. Aizenberg (Springer, 2011) [4],
- „Supervised Learning with Complex-Valued Neural Networks” de S. Suresh, N. Sundararajan, R. Savitha (Springer, 2013) [245],

și cărțile colective:

- „Complex-Valued Neural Networks: Theories and Applications” editată de A. Hirose (World Scientific, 2003) [117],
- „Complex-Valued Neural Networks: Utilizing High-Dimensional Parameters” editată de T. Nitta (Information Science Publishing, 2009) [201].
- „Complex-Valued Neural Networks: Advances and Applications” editată de A. Hirose (Wiley, 2013) [119].

În cele ce urmează, vom face o scurtă prezentare a istoriei numerelor complexe, urmărind în principal referințele [171] și [118].

Nevoia de a introduce numere complexe a apărut în contextul încercării mai multor matematicieni de a demonstra Teorema Fundamentală a Algebrei care spune că „Orice polinom de gradul  $n$  cu coeficienți reali are exact  $n$  rădăcini complexe”. În secolul al XVI-lea, Niccolo Tartaglia și Girolamo Cardano au căutat să găsească formule pentru calculul rădăcinilor polinoamelor de gradul trei și patru.

Numerele complexe au fost introduse de către Girolamo Cardano în lucrarea sa „Ars Magna” din 1545, folosindu-le ca un mijloc de a găsi rădăcinile reale ale ecuației cubice

$$ax^3 + bx^2 + cx + d = 0,$$

pe care, folosind substituția  $y = x - \frac{1}{3}b$ , a transformat-o în ecuația redusă (i.e. fără termenul pătratic):

$$y^3 + \alpha y + \beta = 0.$$

Această ecuație poate fi rezolvată folosind celebra formulă descoperită de Scipione del Ferro și Niccolo Tartaglia, care astăzi este însă cunoscută sub numele de formula lui Cardano:

$$y = \sqrt[3]{-\frac{\beta}{2} + \sqrt{\frac{\beta^2}{4} + \frac{\alpha^3}{27}}} + \sqrt[3]{-\frac{\beta}{2} - \sqrt{\frac{\beta^2}{4} + \frac{\alpha^3}{27}}}.$$

Rafael Bombelli a analizat de asemenea rădăcinile polinoamelor cubice cu ajutorul formulei de mai sus. Astfel, încercând să rezolve ecuația

$$y^3 - 15y - 4 = 0,$$

el a arătat că  $(2 + \sqrt{-1}) + (2 - \sqrt{-1}) = 4$ . Într-adevăr  $y = 4$  este o soluție corectă, însă pentru a găsi această soluție reală, trebuie făcute calcule cu numere complexe. În anul 1572, în lucrarea sa „Algebra”, Bombelli a introdus pentru prima dată simbolul  $\sqrt{-1}$  și a stabilit primele reguli pentru operații cu numere complexe.

În 1806, Jean Robert Argand, încercând să demonstreze Teorema Fundamentală a Algebrei, a dat prima dată o interpretare geometrică a numerelor complexe ca puncte în plan. El a interpretat unitatea imaginară  $\sqrt{-1}$  ca fiind o rotație cu  $90^\circ$ , introducând planul Argand (sau diagrama Argand), în care  $\pm\sqrt{-1}$  reprezintă unitatea pe o dreaptă perpendiculară pe axa reală. Notăția și terminologia folosite astăzi au rămas aproximativ la fel. Un număr complex

$$z = x + iy,$$

se reprezintă ca un vector în planul complex. Argand a numit valoarea  $\sqrt{x^2 + y^2}$  modulul, iar Karl Friedrich Gauss a fost cel care a introdus termenul de număr complex și notația  $i = \sqrt{-1}$ . Gauss a folosit de asemenea numere complexe în demonstrațiile sale la Teorema Fundamentală a Algebrei, iar, în 1831, nu numai că a asociat numărului complex  $z = x + iy$  un punct  $(x, y)$  din plan, ci, mai mult, a introdus regulile pentru adunarea și înmulțirea acestor numere. Mare parte din terminologia folosită astăzi a fost introdusă de Gauss, de Augustin-Louis Cauchy care a introdus termenul de conjugat și de Hermann Hankel care, în 1867, a introdus termenul de coeficient de direcție pentru  $\cos \theta + i \sin \theta$ .

Între timp însă, Leonhard Euler a folosit numerele complexe în calcule în mod intuitiv, însă corect. Se crede că până în 1728 el a cunoscut relația transcendentală  $i \log i = -\frac{\pi}{2}$ . Formulele lui Euler apar în cartea lui sub forma:

$$\cos x = \frac{e^{ix} + e^{-ix}}{2}, \quad \sin x = \frac{e^{ix} - e^{-ix}}{2i}.$$

Se crede de asemenea că, în 1749, Euler interpreta deja numerele complexe ca fiind puncte în plan. El a descris un număr  $x$  aparținând cercului unitate ca fiind  $x = \cos g + i \sin g$ , unde  $g$  este un arc al cercului.

Acum vom face o prezentare a mulțimii numerelor complexe, privită din mai multe perspective. În primul rând perspectiva pur complexă, în care mulțimea numerelor complexe este definită ca fiind

$$\mathbb{C} := \{x + iy \mid x, y \in \mathbb{R}, i = \sqrt{-1}\}.$$

Dacă  $z = x + iy \in \mathbb{C}$ ,  $x$  se numește *partea reală* a numărului complex  $z$ , iar  $y$  se numește *partea imaginară* a lui  $z$ . Vom nota cu  $z^R$  partea reală a lui  $z$  și cu  $z^I$  partea imaginară a lui  $z$ , deci vom putea scrie

$$z = z^R + iz^I, \forall z \in \mathbb{C}.$$

Pentru orice  $z_1 = x_1 + iy_1, z_2 = x_2 + iy_2 \in \mathbb{C}$ , definim *adunarea* prin

$$z_1 + z_2 := (x_1 + x_2) + i(y_1 + y_2),$$

*înmulțirea* prin

$$z_1 \cdot z_2 := (x_1x_2 - y_1y_2) + i(x_1y_2 + x_2y_1),$$

*inversul* lui  $z_1$  prin

$$z_1^{-1} := \frac{x_1}{x_1^2 + y_1^2} - i \frac{y_1}{x_1^2 + y_1^2},$$

*conjugatul* lui  $z_1$  prin

$$\bar{z}_1 := x_1 - iy_1,$$

și *modulul* lui  $z_1$  prin

$$|z_1| := \sqrt{z_1 \bar{z}_1} = \sqrt{x_1^2 + y_1^2}.$$

Fiecare număr complex  $z = x + iy \in \mathbb{C}$  se poate scrie sub forma

$$z = r(\cos \theta + i \sin \theta),$$

unde  $r = |z| := \sqrt{x^2 + y^2}$  este modulul lui  $z$ , iar  $\theta := \arg z$  se numește argumentul numărului complex  $z$ . Ținând cont de formulele lui Euler, date mai sus, avem că

$$z = re^{i\theta},$$

ceea ce înseamnă că  $z$  se poate scrie și sub forma

$$z = (r, \theta),$$

numită reprezentarea în coordonate polare a numărului complex  $z$ .

O altă modalitate de definire a mulțimii numerelor complexe este prin identificarea ei cu perechile ordonate de numere reale, astfel

$$\mathbb{C} := \{(x, y) | x, y \in \mathbb{R}\}.$$

Acum, pentru orice  $z_1 = (x_1, y_1)$ ,  $z_2 = (x_2, y_2) \in \mathbb{C}$ , definim adunarea prin

$$z_1 + z_2 := (x_1 + x_2, y_1 + y_2),$$

înmulțirea prin

$$z_1 \cdot z_2 := (x_1x_2 - y_1y_2, x_1y_2 + x_2y_1),$$

și inversul lui  $z_1$  prin

$$z_1^{-1} := \left( \frac{x_1}{x_1^2 + y_1^2}, -\frac{y_1}{x_1^2 + y_1^2} \right).$$

În acest caz se face identificarea  $1 \equiv (1, 0)$  și  $i \equiv \sqrt{-1} \equiv (0, 1)$ , caz în care se vede că avem  $z = x + iy \equiv (x, y)$ . Prin această identificare, fiecărui număr complex  $z = x + iy$  îi corespunde punctul  $(x, y)$  din plan, obținând astfel reprezentarea geometrică a numărului complex  $z$ .

O a treia reprezentare posibilă a mulțimii numerelor complexe este ca o subalgebră a algebrei matricilor pătratice de ordinul doi cu elemente reale, notată  $\mathcal{M}_2(\mathbb{R})$ . Astfel, avem că

$$\mathbb{C} := \left\{ \begin{pmatrix} x & -y \\ y & x \end{pmatrix} \mid x, y \in \mathbb{R} \right\}.$$

Acum avem identificarea  $1 \equiv \begin{pmatrix} 1 & 0 \\ 0 & 1 \end{pmatrix}$  și  $i \equiv \sqrt{-1} \equiv \begin{pmatrix} 0 & -1 \\ 1 & 0 \end{pmatrix}$ , și prin urmare numărul complex  $z = x + iy$  se identifică cu matricea  $\begin{pmatrix} x & -y \\ y & x \end{pmatrix}$ .

Adunarea a două numere complexe  $z_1 = \begin{pmatrix} x_1 & -y_1 \\ y_1 & x_1 \end{pmatrix}$  și  $z_2 = \begin{pmatrix} x_2 & -y_2 \\ y_2 & x_2 \end{pmatrix}$  se definește ca fiind adunarea matricilor

$$z_1 + z_2 := \begin{pmatrix} x_1 & -y_1 \\ y_1 & x_1 \end{pmatrix} + \begin{pmatrix} x_2 & -y_2 \\ y_2 & x_2 \end{pmatrix} = \begin{pmatrix} x_1 + x_2 & -(y_1 + y_2) \\ y_1 + y_2 & x_1 + x_2 \end{pmatrix},$$

iar înmulțirea se definește ca fiind înmulțirea matricilor

$$z_1 \cdot z_2 := \begin{pmatrix} x_1 & -y_1 \\ y_1 & x_1 \end{pmatrix} \begin{pmatrix} x_2 & -y_2 \\ y_2 & x_2 \end{pmatrix} = \begin{pmatrix} x_1x_2 - y_1y_2 & -(x_1y_2 + x_2y_1) \\ x_1y_2 + x_2y_1 & x_1x_2 - y_1y_2 \end{pmatrix}.$$

Inversul numărului complex  $z = \begin{pmatrix} x & -y \\ y & x \end{pmatrix}$  este inversa matricii care îl reprezintă pe  $z$

$$z^{-1} := \begin{pmatrix} x & -y \\ y & x \end{pmatrix}^{-1} = \frac{1}{x^2 + y^2} \begin{pmatrix} x & y \\ -y & x \end{pmatrix},$$



conjugatul lui  $z$  este transpusa matricii  $z$

$$\bar{z} := \begin{pmatrix} x & -y \\ y & x \end{pmatrix}^T = \begin{pmatrix} x & y \\ -y & x \end{pmatrix},$$

iar modulul lui  $z$  este rădăcina pătrată a determinantului matricii  $z$

$$|z| := \sqrt{\det \begin{pmatrix} x & -y \\ y & x \end{pmatrix}} = \sqrt{x^2 + y^2}.$$

Scriind în coordonate polare, avem că

$$\begin{pmatrix} x & -y \\ y & x \end{pmatrix} = r \begin{pmatrix} \cos \theta & -\sin \theta \\ \sin \theta & \cos \theta \end{pmatrix}.$$

Acum putem face o scurtă introducere în problematica funcțiilor definite pe mulțimea numerelor complexe. Fie  $f : \mathbb{C} \rightarrow \mathbb{C}$  o funcție complexă cu valori complexe. Pornind de la identificarea  $\mathbb{C} \simeq \mathbb{R}^2$ , funcția  $f$  se poate scrie sub forma

$$f(x + iy) = u(x, y) + iv(x, y),$$

unde  $u, v : \mathbb{R}^2 \rightarrow \mathbb{R}$  sunt funcții de două variabile reale cu valori reale.

*Limita funcției  $f$  în punctul  $z_0$*  este acel număr complex  $L$  care satisface: pentru orice  $\varepsilon > 0$ , există  $\delta > 0$ , astfel încât, pentru orice  $z \in \mathbb{C}$  care satisface  $|z - z_0| < \delta$ , avem că  $|f(z) - L| < \varepsilon$ . Notăm

$$\lim_{z \rightarrow z_0} f(z) = L.$$

Se poate observa imediat că

$$\lim_{z \rightarrow z_0} f(z) = \lim_{(x,y) \rightarrow (x_0,y_0)} u(x, y) + i \lim_{(x,y) \rightarrow (x_0,y_0)} v(x, y),$$

ceea ce ne arată că  $f$  este continuă în  $z_0$  (și, mai general, pe  $\mathbb{C}$ ) dacă și numai dacă  $u$  și  $v$  sunt continue în  $(x_0, y_0)$  (sau, mai general, pe  $\mathbb{R}^2$ ).

Putem acum defini *derivata complexă* a lui  $f$  în punctul  $z_0$  ca fiind

$$f'(z_0) = \lim_{z \rightarrow z_0} \frac{f(z) - f(z_0)}{z - z_0}.$$

Se pot defini *derivatele parțiale* ale lui  $f$  în punctul  $z_0$  prin

$$\frac{\partial f}{\partial x}(z_0) := \lim_{h \rightarrow 0} \frac{f(z_0 + h) - f(z_0)}{h},$$

$$\frac{\partial f}{\partial y}(z_0) := \lim_{h \rightarrow 0} \frac{f(z_0 + ih) - f(z_0)}{h}.$$

Observăm că dacă există  $f'(z_0)$ , atunci trebuie să avem

$$f'(z_0) = \frac{\partial f}{\partial x}(z_0) = -i \frac{\partial f}{\partial y}(z_0). \quad (2.1.1)$$

Pe de altă parte, putem scrie că

$$\begin{aligned}\frac{\partial f}{\partial x}(z_0) &= \lim_{h \rightarrow 0} \frac{u(x_0 + h, y_0) - u(x_0, y_0)}{h} + i \lim_{h \rightarrow 0} \frac{v(x_0 + h, y_0) - v(x_0, y_0)}{h} \\ &= \frac{\partial u}{\partial x}(x_0, y_0) + i \frac{\partial v}{\partial x}(x_0, y_0),\end{aligned}$$

și analog

$$\begin{aligned}\frac{\partial f}{\partial y}(z_0) &= \lim_{h \rightarrow 0} \frac{u(x_0, y_0 + h) - u(x_0, y_0)}{h} + i \lim_{h \rightarrow 0} \frac{v(x_0, y_0) - v(x_0, y_0 + h)}{h} \\ &= \frac{\partial u}{\partial y}(x_0, y_0) + i \frac{\partial v}{\partial y}(x_0, y_0).\end{aligned}$$

Din relația (2.1.1), rezultă că, pentru ca  $f'(z_0)$  să existe, trebuie ca

$$\frac{\partial u}{\partial x}(x_0, y_0) + i \frac{\partial v}{\partial x}(x_0, y_0) = -i \frac{\partial u}{\partial y}(x_0, y_0) + \frac{\partial v}{\partial y}(x_0, y_0),$$

adică

$$\begin{cases} \frac{\partial u}{\partial x}(x_0, y_0) = \frac{\partial v}{\partial y}(x_0, y_0) \\ \frac{\partial v}{\partial x}(x_0, y_0) = -\frac{\partial u}{\partial y}(x_0, y_0) \end{cases},$$

care poartă denumirea de *ecuațiile Cauchy-Riemann*.

Dacă funcția  $f$  este derivabilă complex în fiecare punct  $z_0$  al unei mulțimi deschise  $U \subset \mathbb{C}$ , se spune că  $f$  este *olomorfă* pe  $U$ . Spunem că  $f$  este olomorfă în punctul  $z_0$  dacă este olomorfă pe o vecinătate a lui  $z_0$ . O funcție olomorfă a cărui domeniu este întreg planul complex se numește *funcție întreagă*.

Acum, Teorema lui Liouville ne spune că orice funcție olomorfă pe  $\mathbb{C}$  (întreagă) și mărginită este constantă. Acest fapt va avea consecințe importante în domeniul rețelelor neuronale, deoarece ideal am vrea ca funcțiile de activare să fie atât mărginite cât și derivabile complex pe toată mulțimea numerelor complexe. Cum acest deziderat nu poate fi atins decât de funcțiile constante, care nu sunt acceptabile ca funcții de activare, un compromis este necesar. Unii autori aleg funcții de activare mărginite, dar care nu sunt derivabile complex, iar alții aleg funcții de activare derivabile complex, care însă au puncte în care sunt nemărginite.

O altă problemă ridicată de analiza complexă este aceea că funcțiile de eroare folosite în rețelele neuronale au valori reale. După cum se poate observa ușor, singurele funcții  $f : \mathbb{C} \rightarrow \mathbb{R}$  derivabile complex sunt constantele. Prin urmare, pentru deducerea algoritmilor de învățare pentru rețelele neuronale cu valori complexe, nu vom putea utiliza derivata complexă a funcției de eroare, deoarece aceasta nu există. Singurele derivate care există pentru o astfel de funcție sunt derivatele parțiale  $\frac{\partial f}{\partial x}$  și  $\frac{\partial f}{\partial y}$ , și respectiv derivatele parțiale ale componentelor  $u$  și  $v$  ale funcției  $f$ , adică  $\frac{\partial u}{\partial x}$ ,  $\frac{\partial u}{\partial y}$ ,  $\frac{\partial v}{\partial x}$ ,  $\frac{\partial v}{\partial y}$ .

Vom discuta acum rețelele neuronale cu valori complexe, și vom începe cu neuronul complex, pe care îl vom compara cu un neuron real. Presupunem că avem o rețea neuronală cu două intrări reale  $x_1$  și  $x_2$  și două ieșiri reale  $y_1$  și  $y_2$ , fără straturi ascunse și cu funcția de activare  $g : \mathbb{R} \rightarrow \mathbb{R}$ ,  $g(x) = \frac{1}{1+e^{-x}}$ . Avem că

$$y_1 = \frac{1}{1 + e^{-(w_{11}x_1 + w_{12}x_2)}},$$

$$y_2 = \frac{1}{1 + e^{-(w_{21}x_1 + w_{22}x_2)}},$$

unde  $(w_{ij})_{1 \leq i, j \leq 2}$  sunt ponderile reale care leagă neuronul  $i$  din stratul 2 cu neuronul  $j$  din stratul 1.

Presupunem acum că avem o rețea neuronală formată dintr-un singur neuron de intrare cu valori complexe  $x$  și un singur neuron de ieșire cu valori complexe  $y$ . Singura pondere complexă a rețelei este cea care leagă neuronul  $x$  de neuronul  $y$ , pe care o vom nota cu  $w$ . Dacă alegem funcția de activare  $g: \mathbb{C} \rightarrow \mathbb{C}$ ,  $g(x+iy) = \frac{1}{1+e^{-x}} + i \frac{1}{1+e^{-y}}$ , avem că

$$y_1 = \frac{1}{1 + e^{-(w_1x_1 - w_2x_2)}},$$

$$y_2 = \frac{1}{1 + e^{-(w_2x_1 + w_1x_2)}},$$

ceea ce ne arată că rețeaua cu valori complexe, de fapt neuronul complex, este o particularizare a rețelei cu valori reale, pentru

$$w_{11} = w_1, w_{12} = -w_2, w_{21} = w_2, w_{22} = w_1,$$

ceea ce înseamnă că, dacă pentru rețeaua reală spațiul de căutare al ponderilor este  $\mathbb{R}^4$ , pentru rețeaua complexă acest spațiu se reduce la  $\mathbb{R}^2$ . Aceasta face ca rețelele cu valori complexe să nu aibă rezultate mai bune decât rețelele reale pentru orice aplicație, ci doar pentru acele aplicații care sunt formulate mai natural în numere complexe, și pentru care căutarea într-un spațiu mai mare al ponderilor nu este benefică din perspectiva performanței. Practic, rețelele neuronale cu valori complexe se pretează acelor probleme care au o formulare complexă, și care până la apariția rețelelor complexe au fost rezolvate despărțindu-se părțile reală și imaginară ale fiecărei intrări complexe, pierzând astfel legătura naturală care există între ele.

Metoda gradient a fost una dintre primele metode de învățare extinse din domeniul real în domeniul complex, marcând practic nașterea domeniului rețelelor neuronale cu valori complexe. Articolele clasice, care practic simultan realizează această extindere sunt [71, 143, 37, 38, 163, 39, 42, 90, 113, 20, 43, 89, 184], publicate în anii 1990-1993. Toate împreună marchează punctul de pornire pentru acest nou domeniu de cercetare, care apoi se extinde atât din punct de vedere teoretic, cât și din punctul de vedere al aplicațiilor.

În cadrul teoriei, se demonstrează în [20, 21, 145, 147, 148] că perceptronul multistrat poate aproxima oricât de bine orice funcție complexă, acesta fiind un rezultat important pentru rețelele neuronale cu valori reale care rămâne valabil și în cazul rețelelor neuronale cu valori complexe. Au fost descoperite apoi caracteristici specifice perceptronului complex, cum ar fi aceea că frontierele de decizie ale neuronului complex se intersectează ortogonal, ceea ce dă, de fapt, puterea neuronului complex asupra neuronului real, a se vedea [187, 189, 192, 193, 195, 194].

În cele ce urmează, vom realiza o prezentare unitară a metodei gradient pentru rețelele de tip feedforward cu valori complexe, care nu ține cont de faptul că funcțiile de activare sunt complexe complet (tratează numărul complex ca un întreg), sau complexe divizat (tratează separat părțile reală și imaginară ale numărului complex). Particularizând rezultatele obținute, regăsim formulele clasice deduse în literatura de specialitate pentru metoda gradient complexă divizat (spre exemplu în [143]) și respectiv pentru metoda gradient complexă complet (spre exemplu în [144]).

Să presupunem că avem o rețea neuronală cu valori complexe de tip feedforward, total conectată, care are  $L$  straturi, unde stratul 1 este stratul de intrare, stratul  $L$  este

stratul de ieșire, iar straturile notate cu  $\{2, \dots, L-1\}$  sunt straturi ascunse. Funcția de eroare  $E: \mathbb{C}^N \rightarrow \mathbb{R}$  pentru o asemenea rețea este definită prin

$$E(\mathbf{w}) = \frac{1}{2} \sum_{i=1}^c (y_i^L - t_i)(\overline{y_i^L - t_i}), \quad (2.1.2)$$

unde  $y^L = (y_i^L)_{1 \leq i \leq c}$  reprezintă ieșirile rețelei,  $\mathbf{t} = (t_i)_{1 \leq i \leq c}$  reprezintă ieșirile dorite (target-urile) ale rețelei, iar  $\mathbf{w}$  este vectorul tuturor celor  $N$  ponderi și bias-uri ale rețelei.

Dacă notăm cu  $w_{jk}^l$  ponderea care leagă neuronul  $j$  din stratul  $l$  de neuronul  $k$  din stratul  $l-1$ , pentru orice  $l \in \{2, \dots, L\}$ , putem defini pasul de actualizare al ponderii  $w_{jk}^l$  în epoca  $t$  ca fiind

$$\Delta w_{jk}^l(t) = w_{jk}^l(t+1) - w_{jk}^l(t).$$

Cu această notație, pentru metoda gradient, regula de actualizare pentru ponderea  $w_{jk}^l$  este

$$\Delta w_{jk}^l(t) = -\varepsilon \left( \frac{\partial E}{\partial w_{jk}^{l,R}}(t) + i \frac{\partial E}{\partial w_{jk}^{l,I}}(t) \right),$$

unde  $\varepsilon$  este un număr real care reprezintă rata de învățare, și am notat cu  $a^R$  partea reală a numărului complex  $a$ , și cu  $a^I$  partea imaginară a numărului complex  $a$ , i.e.  $a = a^R + ia^I$ ,  $i = \sqrt{-1}$ .

Scris sub formă vectorială, pasul de actualizare devine

$$\Delta \mathbf{w}(t) = \mathbf{w}(t+1) - \mathbf{w}(t),$$

unde  $\mathbf{w} \in \mathbb{C}^N$  este vectorul celor  $N$  ponderi și bias-uri ale rețelei, definit mai sus. Regula de actualizare pentru metoda gradient se poate scrie acum în formă vectorială, astfel:

$$\Delta \mathbf{w}(t) = -\varepsilon \nabla E(t),$$

unde  $\nabla E(t) := \nabla E(\mathbf{w}(t)) \in \mathbb{C}^N$ , este gradientul funcției  $E$ , ale cărei componente  $\frac{\partial E}{\partial w_{jk}^{l,R}}(\mathbf{w}(t)) + i \frac{\partial E}{\partial w_{jk}^{l,I}}(\mathbf{w}(t))$  au fost scrise prescurtat mai sus sub forma  $\frac{\partial E}{\partial w_{jk}^{l,R}}(t) + i \frac{\partial E}{\partial w_{jk}^{l,I}}(t)$ . Prin urmare, pentru a minimiza funcția de eroare  $E$ , avem nevoie să calculăm gradientul  $\nabla E$ , adică derivatele parțiale de forma  $\frac{\partial E}{\partial w_{jk}^{l,R}}$ ,  $\frac{\partial E}{\partial w_{jk}^{l,I}}$ .

Pentru aceasta, facem următoarele notații

$$s_j^l := \sum_k w_{jk}^l x_k^{l-1} + w_{j0}^l, \quad (2.1.3)$$

$$y_j^l := G^l(s_j^l), \quad (2.1.4)$$

unde  $G^l$  este funcția de activare a stratului  $l \in \{2, \dots, L\}$ ,  $\mathbf{x}^l = (x_k^l)_{1 \leq k \leq d}$  sunt intrările rețelei, și avem că  $x_k^l = y_k^{l-1}$ ,  $\forall l \in \{2, \dots, L-1\}$ ,  $\forall k$ .

Vom calcula mai întâi actualizările pentru ponderile dintre penultimul strat ascuns  $L-1$  și stratul de ieșire  $L$ , i.e.

$$\Delta w_{jk}^L = -\varepsilon \left( \frac{\partial E}{\partial w_{jk}^{L,R}} + i \frac{\partial E}{\partial w_{jk}^{L,I}} \right).$$

Folosind regula înlănțuirii, putem scrie următoarele relații:

$$\frac{\partial E}{\partial w_{jk}^{L,R}} = \frac{\partial E}{\partial s_j^{L,R}} \frac{\partial s_j^{L,R}}{\partial w_{jk}^{L,R}} + \frac{\partial E}{\partial s_j^{L,I}} \frac{\partial s_j^{L,I}}{\partial w_{jk}^{L,R}},$$

$$\frac{\partial E}{\partial w_{jk}^{L,I}} = \frac{\partial E}{\partial s_j^{L,R}} \frac{\partial s_j^{L,R}}{\partial w_{jk}^{L,I}} + \frac{\partial E}{\partial s_j^{L,I}} \frac{\partial s_j^{L,I}}{\partial w_{jk}^{L,I}}.$$

Aplicând din nou regula înălțurii pentru  $\partial E/\partial s_j^{L,R}$  și  $\partial E/\partial s_j^{L,I}$ , avem că

$$\begin{aligned} \frac{\partial E}{\partial s_j^{L,R}} &= \frac{\partial E}{\partial y_j^{L,R}} \frac{\partial y_j^{L,R}}{\partial s_j^{L,R}} + \frac{\partial E}{\partial y_j^{L,I}} \frac{\partial y_j^{L,I}}{\partial s_j^{L,R}} \\ &= (y_j^{L,R} - t_j^R) \frac{\partial G^{L,R}(s_j^L)}{\partial s_j^{L,R}} \\ &\quad + (y_j^{L,I} - t_j^I) \frac{\partial G^{L,I}(s_j^L)}{\partial s_j^{L,R}}, \end{aligned}$$

$$\begin{aligned} \frac{\partial E}{\partial s_j^{L,I}} &= \frac{\partial E}{\partial y_j^{L,R}} \frac{\partial y_j^{L,R}}{\partial s_j^{L,I}} + \frac{\partial E}{\partial y_j^{L,I}} \frac{\partial y_j^{L,I}}{\partial s_j^{L,I}} \\ &= (y_j^{L,R} - t_j^R) \frac{\partial G^{L,R}(s_j^L)}{\partial s_j^{L,I}} \\ &\quad + (y_j^{L,I} - t_j^I) \frac{\partial G^{L,I}(s_j^L)}{\partial s_j^{L,I}}, \end{aligned}$$

unde am ținut seama de notația (2.1.4) și de expresia pentru funcția de eroare (2.1.2). Din (2.1.3), deducem că

$$\frac{\partial s_j^{L,R}}{\partial w_{jk}^{L,R}} = x_k^{L-1,R}, \quad \frac{\partial s_j^{L,R}}{\partial w_{jk}^{L,I}} = -x_k^{L-1,I},$$

$$\frac{\partial s_j^{L,I}}{\partial w_{jk}^{L,R}} = x_k^{L-1,I}, \quad \frac{\partial s_j^{L,I}}{\partial w_{jk}^{L,I}} = x_k^{L-1,R},$$

și folosind notația  $\delta_j^L := \partial E/\partial s_j^L$ , obținem expresia pentru actualizarea dorită:

$$\Delta w_{jk}^L = -\varepsilon \delta_j^L \overline{x_k^{L-1}}.$$

Acum, vom calcula actualizarea pentru o pondere arbitrară  $w_{jk}^l$ , unde  $l \in \{2, \dots, L-1\}$ . În primul rând, putem scrie că

$$\Delta w_{jk}^l = -\varepsilon \left( \frac{\partial E}{\partial w_{jk}^{l,R}} + i \frac{\partial E}{\partial w_{jk}^{l,I}} \right),$$

iar apoi, din regula înălțurii, avem că

$$\frac{\partial E}{\partial w_{jk}^{l,R}} = \frac{\partial E}{\partial s_j^{l,R}} \frac{\partial s_j^{l,R}}{\partial w_{jk}^{l,R}} + \frac{\partial E}{\partial s_j^{l,I}} \frac{\partial s_j^{l,I}}{\partial w_{jk}^{l,R}},$$

$$\frac{\partial E}{\partial w_{jk}^{l,I}} = \frac{\partial E}{\partial s_j^{l,R}} \frac{\partial s_j^{l,R}}{\partial w_{jk}^{l,I}} + \frac{\partial E}{\partial s_j^{l,I}} \frac{\partial s_j^{l,I}}{\partial w_{jk}^{l,I}}.$$

Aplicând din nou regula înălțurii, obținem că

$$\begin{aligned} \frac{\partial E}{\partial s_j^{l,R}} &= \sum_m \frac{\partial E}{\partial s_m^{l+1,R}} \frac{\partial s_m^{l+1,R}}{\partial s_j^{l,R}} \\ &+ \sum_m \frac{\partial E}{\partial s_m^{l+1,I}} \frac{\partial s_m^{l+1,I}}{\partial s_j^{l,R}}, \end{aligned} \quad (2.1.5)$$

$$\begin{aligned} \frac{\partial E}{\partial s_j^{l,I}} &= \sum_m \frac{\partial E}{\partial s_m^{l+1,R}} \frac{\partial s_m^{l+1,R}}{\partial s_j^{l,I}} \\ &+ \sum_m \frac{\partial E}{\partial s_m^{l+1,I}} \frac{\partial s_m^{l+1,I}}{\partial s_j^{l,I}}, \end{aligned} \quad (2.1.6)$$

unde sumele sunt luate după toți neuronii  $m$  din stratul  $l+1$  către care neuronul  $j$  din stratul  $l$  trimite conexiuni. Apoi

$$\frac{\partial s_m^{l+1,R}}{\partial s_j^{l,R}} = \frac{\partial s_m^{l+1,R}}{\partial y_j^{l,R}} \frac{\partial y_j^{l,R}}{\partial s_j^{l,R}} + \frac{\partial s_m^{l+1,R}}{\partial y_j^{l,I}} \frac{\partial y_j^{l,I}}{\partial s_j^{l,R}},$$

și relațiile analoage. Din nou din (2.1.3), avem

$$\begin{aligned} \frac{\partial s_m^{l+1,R}}{\partial y_j^{l,R}} &= w_{mj}^{l+1,R}, \quad \frac{\partial s_m^{l+1,R}}{\partial y_j^{l,I}} = -w_{mj}^{l+1,I}, \\ \frac{\partial s_m^{l+1,I}}{\partial y_j^{l,R}} &= w_{mj}^{l+1,I}, \quad \frac{\partial s_m^{l+1,I}}{\partial y_j^{l,I}} = w_{mj}^{l+1,R}. \end{aligned}$$

Acum, punând toate cele de mai sus împreună, relațiile (2.1.5) și (2.1.6) devin

$$\begin{aligned} \frac{\partial E}{\partial s_j^{l,R}} &= \left( \sum_m \overline{w_{mj}^{l+1}} \delta_m^{l+1} \right)^R \frac{\partial G^{l,R}(s_j^l)}{\partial s_j^{l,R}} \\ &+ \left( \sum_m \overline{w_{mj}^{l+1}} \delta_m^{l+1} \right)^I \frac{\partial G^{l,I}(s_j^l)}{\partial s_j^{l,R}}, \\ \frac{\partial E}{\partial s_j^{l,I}} &= \left( \sum_m \overline{w_{mj}^{l+1}} \delta_m^{l+1} \right)^R \frac{\partial G^{l,R}(s_j^l)}{\partial s_j^{l,I}} \\ &+ \left( \sum_m \overline{w_{mj}^{l+1}} \delta_m^{l+1} \right)^I \frac{\partial G^{l,I}(s_j^l)}{\partial s_j^{l,I}}. \end{aligned}$$

În fine, dacă notăm  $\delta_j^l := \partial E / \partial s_j^l$ , și folosim (2.1.3) pentru a calcula

$$\begin{aligned} \frac{\partial s_j^{l,R}}{\partial w_{jk}^{l,R}} &= x_k^{l-1,R}, \quad \frac{\partial s_j^{l,R}}{\partial w_{jk}^{l,I}} = -x_k^{l-1,I}, \\ \frac{\partial s_j^{l,I}}{\partial w_{jk}^{l,R}} &= x_k^{l-1,I}, \quad \frac{\partial s_j^{l,I}}{\partial w_{jk}^{l,I}} = x_k^{l-1,R}, \end{aligned}$$

obținem

$$\Delta w_{jk}^l = -\varepsilon \delta_j^l \overline{x_k^{l-1}}, \quad \forall l \in \{2, \dots, L-1\}.$$

În concluzie, avem că

$$\Delta w_{jk}^l = -\varepsilon \delta_j^l \overline{x_k^{l-1}}, \quad \forall l \in \{2, \dots, L\},$$

unde

$$\delta_j^l = \begin{cases} \left( \left( \sum_m \overline{w_{mj}^{l+1}} \delta_m^{l+1} \right)^R \left( \frac{\partial G^{l,R}(s_j^l)}{\partial s_j^{l,R}} + i \frac{\partial G^{l,R}(s_j^l)}{\partial s_j^{l,I}} \right) \right. \\ \left. + \left( \sum_m \overline{w_{mj}^{l+1}} \delta_m^{l+1} \right)^I \left( \frac{\partial G^{l,I}(s_j^l)}{\partial s_j^{l,R}} + i \frac{\partial G^{l,I}(s_j^l)}{\partial s_j^{l,I}} \right) \right), & l \leq L-1 \\ \left( y_j^{l,R} - t_j^R \right) \left( \frac{\partial G^{l,R}(s_j^l)}{\partial s_j^{l,R}} + i \frac{\partial G^{l,R}(s_j^l)}{\partial s_j^{l,I}} \right) \\ \left. + \left( y_j^{l,I} - t_j^I \right) \left( \frac{\partial G^{l,I}(s_j^l)}{\partial s_j^{l,R}} + i \frac{\partial G^{l,I}(s_j^l)}{\partial s_j^{l,I}} \right), & l = L \end{cases}.$$

Observăm că aceste relații nu depind de tipul funcției de activare  $G^l$ : aceasta poate să fie *complexă complet* (tratează numărul complex ca un întreg) sau *complexă divizat* (tratează separat părțile reală și imaginară ale numărului complex).

Spre exemplu, dacă  $G^l(z) = \tanh z$ , adică  $G^l$  este complexă complet, avem că

$$\begin{aligned} \frac{\partial G^{l,R}(z)}{\partial z^R} + i \frac{\partial G^{l,R}(z)}{\partial z^I} &= \frac{\partial(\tanh z)^R}{\partial z^R} + i \frac{\partial(\tanh z)^R}{\partial z^I} \\ &= \frac{\partial}{\partial z^R} \left( \frac{\sinh 2z^R}{\cosh 2z^R + \cos 2z^I} + i \frac{\sin 2z^I}{\cosh 2z^R + \cos 2z^I} \right)^R \\ &\quad + i \frac{\partial}{\partial z^I} \left( \frac{\sinh 2z^R}{\cosh 2z^R + \cos 2z^I} + i \frac{\sin 2z^I}{\cosh 2z^R + \cos 2z^I} \right)^R \\ &= \frac{\partial}{\partial z^R} \left( \frac{\sinh 2z^R}{\cosh 2z^R + \cos 2z^I} \right) + i \frac{\partial}{\partial z^I} \left( \frac{\sinh 2z^R}{\cosh 2z^R + \cos 2z^I} \right) \\ &= \frac{2(1 + \cosh 2z^R \cos 2z^I)}{(\cosh 2z^R + \cos 2z^I)^2} + i \frac{2 \sinh 2z^R \sin 2z^I}{(\cosh 2z^R + \cos 2z^I)^2}, \end{aligned}$$

și analog pentru  $\frac{\partial G^{l,I}(z)}{\partial z^R} + i \frac{\partial G^{l,I}(z)}{\partial z^I}$ .

Dacă  $G^l$  este complexă divizat, de exemplu  $G^l(z) = G^l(z^R + iz^I) = \tanh z^R + i \tanh z^I$ , atunci

$$\begin{aligned}
\frac{\partial G^{l,R}(z)}{\partial z^R} + i \frac{\partial G^{l,R}(z)}{\partial z^I} &= \frac{\partial(\tanh z^R + i \tanh z^I)^R}{\partial z^R} + i \frac{\partial(\tanh z^R + i \tanh z^I)^R}{\partial z^I} \\
&= \frac{\partial(\tanh z^R)}{\partial z^R} + i \frac{\partial(0)}{\partial z^I} \\
&= 1 - \tanh^2 z^R,
\end{aligned}$$

și analog pentru  $\frac{\partial G^{l,I}(z)}{\partial z^R} + i \frac{\partial G^{l,I}(z)}{\partial z^I}$ .

## 2.2 Rețele neuronale cu valori hiperbolice

Rețelele neuronale cu valori hiperbolice au fost introduse în [52], unde a fost discutată varianta feedforward a acestora. Apoi, diverse experimente au fost făcute utilizând același tip de rețele cu valori hiperbolice în teza de doctorat [48]. În [203], Nitta demonstrează că, spre deosebire de rețelele neuronale cu valori complexe, care au frontiere de decizie care se intersectează ortogonal, frontierele de decizie ale rețelelor cu valori hiperbolice se pot intersecta sub orice unghi, fapt care le oferă o flexibilitate sporită și deschide calea unor aplicații pe viitor.

Rețelele cu valori hiperbolice de tip Hopfield au fost introduse de către Kuroe et al. în [156], iar apoi, mult mai detaliat, în [152]. În fine, Hitzer discută în [126] diverse posibilități pentru funcțiile de activare ale rețelelor cu valori hiperbolice de tip feedforward. Cercetarea în acest subdomeniu al rețelelor multidimensionale este încă la început, existând speranțe ca ele să poată fi aplicate în probleme pentru a da rezultate mai bune decât, spre exemplu, rețelele neuronale cu valori complexe, și cu atât mai mult decât rețelele neuronale clasice cu valori reale.

Vom prezenta mulțimea numerelor hiperbolice privită din trei perspective. În primul rând perspectiva pur hiperbolică, în care mulțimea numerelor hiperbolice este definită ca fiind

$$\mathbb{B} := \{x + uy \mid x, y \in \mathbb{R}, u^2 = 1, u \neq \pm 1\},$$

unde  $u$  reprezintă unitatea imaginară hiperbolică.

Pentru orice  $z_1 = x_1 + uy_1$ ,  $z_2 = x_2 + uy_2 \in \mathbb{B}$  definim *adunarea* prin

$$z_1 + z_2 := (x_1 + x_2) + u(y_1 + y_2),$$

*înmulțirea* prin

$$z_1 \cdot z_2 := (x_1 x_2 + y_1 y_2) + u(x_1 y_2 + x_2 y_1),$$

*inversul* lui  $z_1$  prin

$$z_1^{-1} := \frac{x_1}{x_1^2 - y_1^2} - u \frac{y_1}{x_1^2 - y_1^2}, \quad x_1 \neq \pm y_1,$$

*conjugatul* lui  $z_1$  prin

$$\bar{z}_1 := x_1 - uy_1,$$

și *modulul* lui  $z_1$  prin

$$|z_1| := \sqrt{|z_1 \bar{z}_1|} = \sqrt{|x_1^2 - y_1^2|}.$$

Un alt mod de a defini mulțimea numerelor hiperbolice este prin identificarea ei cu perechile ordonate de numere reale, astfel:

$$\mathbb{B} := \{(x, y) \mid x, y \in \mathbb{R}\}.$$



Acum, pentru orice  $z_1 = (x_1, y_1)$ ,  $z_2 = (x_2, y_2) \in \mathbb{B}$ , definim adunarea prin

$$z_1 + z_2 := (x_1 + x_2, y_1 + y_2),$$

înmulțirea prin

$$z_1 \cdot z_2 := (x_1 x_2 + y_1 y_2, x_1 y_2 + x_2 y_1),$$

și inversul lui  $z_1$  prin

$$z_1^{-1} := \left( \frac{x_1}{x_1^2 - y_1^2}, -\frac{y_1}{x_1^2 - y_1^2} \right), \quad x_1 \neq \pm y_1.$$

Dacă facem identificarea  $1 \equiv (1, 0)$  și  $u \equiv (0, 1)$  în acest caz, se poate vedea că avem  $z = x + uy \equiv (x, y)$ . Prin această identificare, fiecărui număr hiperbolic  $z = x + uy$  îi corespunde punctul  $(x, y)$  din plan, ceea ce constituie reprezentarea geometrică a numărului hiperbolic  $z$ .

O a treia definiție echivalentă a mulțimii numerelor hiperbolice este scrierea ei ca o subalgebră a algebrei matricilor pătratice de ordinul doi cu elemente reale  $\mathcal{M}_2(\mathbb{R})$ . Astfel, avem că

$$\mathbb{B} := \left\{ \begin{pmatrix} x & y \\ y & x \end{pmatrix} \mid x, y \in \mathbb{R} \right\}.$$

Acum avem identificarea  $1 \equiv \begin{pmatrix} 1 & 0 \\ 0 & 1 \end{pmatrix}$  și  $u \equiv \begin{pmatrix} 0 & 1 \\ 1 & 0 \end{pmatrix}$ , și prin urmare numărul hiperbolic  $z = x + uy$  se identifică cu matricea  $\begin{pmatrix} x & y \\ y & x \end{pmatrix}$ .

Adunarea a două numere hiperbolice  $z_1 = \begin{pmatrix} x_1 & y_1 \\ y_1 & x_1 \end{pmatrix}$  și  $z_2 = \begin{pmatrix} x_2 & y_2 \\ y_2 & x_2 \end{pmatrix}$  se definește ca fiind adunarea matricilor

$$z_1 + z_2 := \begin{pmatrix} x_1 & y_1 \\ y_1 & x_1 \end{pmatrix} + \begin{pmatrix} x_2 & y_2 \\ y_2 & x_2 \end{pmatrix} = \begin{pmatrix} x_1 + x_2 & y_1 + y_2 \\ y_1 + y_2 & x_1 + x_2 \end{pmatrix},$$

iar înmulțirea se definește ca fiind înmulțirea matricilor

$$z_1 \cdot z_2 := \begin{pmatrix} x_1 & y_1 \\ y_1 & x_1 \end{pmatrix} \begin{pmatrix} x_2 & y_2 \\ y_2 & x_2 \end{pmatrix} = \begin{pmatrix} x_1 x_2 + y_1 y_2 & x_1 y_2 + x_2 y_1 \\ x_1 y_2 + x_2 y_1 & x_1 x_2 + y_1 y_2 \end{pmatrix}.$$

Inversul numărului hiperbolic  $z = \begin{pmatrix} x & y \\ y & x \end{pmatrix}$  este inversa matricii care îl reprezintă pe  $z$

$$z^{-1} := \begin{pmatrix} x & y \\ y & x \end{pmatrix}^{-1} = \frac{1}{x^2 - y^2} \begin{pmatrix} x & -y \\ -y & x \end{pmatrix}, \quad x \neq \pm y,$$

conjugatul lui  $z$  este matricea dată prin

$$\bar{z} := \begin{pmatrix} x & -y \\ -y & x \end{pmatrix},$$

iar modulul lui  $z$  este radicalul modulului determinantului matricii  $z$

$$|z| := \sqrt{\left| \det \begin{pmatrix} x & y \\ y & x \end{pmatrix} \right|} = \sqrt{|x^2 - y^2|}.$$

Să presupunem acum că avem o rețea neuronală cu valori hiperbolice de tip feedforward, total conectată, care are  $L$  straturi, unde stratul 1 este stratul de intrare, stratul  $L$  este stratul de ieșire, iar straturile  $\{2, \dots, L-1\}$  sunt straturi ascunse. Funcția de eroare  $E : \mathbb{B}^N \rightarrow \mathbb{R}$  a acestei rețele este definită prin

$$E(\mathbf{w}) = \frac{1}{2} \sum_{i=1}^c ([y_i^L - t_i]_0^2 + [y_i^L - t_i]_1^2), \quad (2.2.1)$$

unde  $\mathbf{y}^L = (y_i^L)_{1 \leq i \leq c}$  sunt ieșirile rețelei,  $\mathbf{t} = (t_i)_{1 \leq i \leq c}$  sunt ieșirile dorite (target-urile) ale rețelei, iar  $\mathbf{w}$  este vectorul tuturor celor  $N$  ponderi și bias-uri ale rețelei.

Notând cu  $w_{jk}^l$  ponderea care leagă neuronul  $j$  din stratul  $l$  de neuronul  $k$  din stratul  $l-1$ , pentru orice  $l \in \{2, \dots, L\}$ , putem defini *pasul de actualizare* al ponderii  $w_{jk}^l$  în epoca  $t$  ca fiind

$$\Delta w_{jk}^l(t) = w_{jk}^l(t+1) - w_{jk}^l(t).$$

Astfel, pentru *metoda gradient*, *regula de actualizare* pentru ponderea  $w_{jk}^l$  este

$$\Delta w_{jk}^l(t) = -\varepsilon \left( \frac{\partial E}{\partial [w_{jk}^l]_0}(t) + u \frac{\partial E}{\partial [w_{jk}^l]_1}(t) \right),$$

unde  $\varepsilon$  este un număr real care reprezintă *rata de învățare*, și am notat cu  $[a]_0$  partea reală a numărului hiperbolic  $a$ , și cu  $[a]_1$  partea imaginară a numărului hiperbolic  $a$ , i.e.  $a = [a]_0 + u[a]_1$ ,  $u^2 = 1$ .

În scriere vectorială, pasul de actualizare devine

$$\Delta \mathbf{w}(t) = \mathbf{w}(t+1) - \mathbf{w}(t),$$

unde  $\mathbf{w} \in \mathbb{B}^N$  este vectorul celor  $N$  ponderi și bias-uri ale rețelei, definit mai sus. Regula de actualizare pentru metoda gradient se poate scrie acum vectorial, astfel:

$$\Delta \mathbf{w}(t) = -\varepsilon \nabla E(t),$$

unde  $\nabla E(t) := \nabla E(\mathbf{w}(t)) \in \mathbb{B}^N$ , este gradientul funcției  $E$ , ale cărei componente  $\frac{\partial E}{\partial [w_{jk}^l]_0}(\mathbf{w}(t)) + u \frac{\partial E}{\partial [w_{jk}^l]_1}(\mathbf{w}(t))$  au fost scrise prescurtat mai sus sub forma  $\frac{\partial E}{\partial [w_{jk}^l]_0}(t) + u \frac{\partial E}{\partial [w_{jk}^l]_1}(t)$ . Prin urmare, pentru a minimiza funcția de eroare  $E$ , avem nevoie să calculăm gradientul  $\nabla E$ , adică derivatele parțiale de forma  $\frac{\partial E}{\partial [w_{jk}^l]_0}$ ,  $\frac{\partial E}{\partial [w_{jk}^l]_1}$ .

Facem mai întâi următoarele notații

$$s_j^l := \sum_k w_{jk}^l x_k^{l-1} + w_{j0}^l, \quad (2.2.2)$$

$$y_j^l := G^l(s_j^l), \quad (2.2.3)$$

unde  $G^l$  este *funcția de activare* a stratului  $l \in \{2, \dots, L\}$ ,  $\mathbf{x}^1 = (x_k^1)_{1 \leq k \leq d}$  sunt intrările rețelei, și avem că  $x_k^l = y_k^{l-1}$ ,  $\forall l \in \{2, \dots, L-1\}$ ,  $\forall k$ .

Vom calcula mai întâi actualizarea pentru ponderile dintre penultimul strat ascuns  $L-1$  și stratul de ieșire  $L$ , i.e.

$$\Delta w_{jk}^L = -\varepsilon \left( \frac{\partial E}{\partial [w_{jk}^L]_0} + u \frac{\partial E}{\partial [w_{jk}^L]_1} \right),$$

Folosind regula înlănțuirii, putem scrie:

$$\begin{aligned}\frac{\partial E}{\partial[w_{jk}^L]_0} &= \frac{\partial E}{\partial[s_j^L]_0} \frac{\partial[s_j^L]_0}{\partial[w_{jk}^L]_0} + \frac{\partial E}{\partial[s_j^L]_1} \frac{\partial[s_j^L]_1}{\partial[w_{jk}^L]_0}, \\ \frac{\partial E}{\partial[w_{jk}^L]_1} &= \frac{\partial E}{\partial[s_j^L]_0} \frac{\partial[s_j^L]_0}{\partial[w_{jk}^L]_1} + \frac{\partial E}{\partial[s_j^L]_1} \frac{\partial[s_j^L]_1}{\partial[w_{jk}^L]_1}.\end{aligned}$$

Aplicând din nou regula înlănțuirii pentru  $\partial E/\partial[s_j^L]_0$  și  $\partial E/\partial[s_j^L]_1$ , avem că

$$\begin{aligned}\frac{\partial E}{\partial[s_j^L]_0} &= \frac{\partial E}{\partial[y_j^L]_0} \frac{\partial[y_j^L]_0}{\partial[s_j^L]_0} + \frac{\partial E}{\partial[y_j^L]_1} \frac{\partial[y_j^L]_1}{\partial[s_j^L]_0} \\ &= [y_j^L - t_j]_0 \frac{\partial[G^L(s_j^L)]_0}{\partial[s_j^L]_0} \\ &\quad + [y_j^L - t_j]_1 \frac{\partial[G^L(s_j^L)]_1}{\partial[s_j^L]_0}, \\ \frac{\partial E}{\partial[s_j^L]_1} &= \frac{\partial E}{\partial[y_j^L]_0} \frac{\partial[y_j^L]_0}{\partial[s_j^L]_1} + \frac{\partial E}{\partial[y_j^L]_1} \frac{\partial[y_j^L]_1}{\partial[s_j^L]_1} \\ &= [y_j^L - t_j]_0 \frac{\partial[G^L(s_j^L)]_0}{\partial[s_j^L]_1} \\ &\quad + [y_j^L - t_j]_1 \frac{\partial[G^L(s_j^L)]_1}{\partial[s_j^L]_1},\end{aligned}$$

unde am ținut seama de notația (2.2.3) și de expresia pentru funcția de eroare (2.2.1). Din (2.2.2), rezultă că

$$\begin{aligned}\frac{\partial[s_j^L]_0}{\partial[w_{jk}^L]_0} &= [x_k^{L-1}]_0, \quad \frac{\partial[s_j^L]_0}{\partial[w_{jk}^L]_1} = [x_k^{L-1}]_1, \\ \frac{\partial[s_j^L]_1}{\partial[w_{jk}^L]_0} &= [x_k^{L-1}]_1, \quad \frac{\partial[s_j^L]_1}{\partial[w_{jk}^L]_1} = [x_k^{L-1}]_0,\end{aligned}$$

și folosind notația  $\delta_j^L := \partial E/\partial s_j^L$ , obținem expresia pentru actualizarea dorită:

$$\Delta w_{jk}^L = -\varepsilon \delta_j^L x_k^{L-1}.$$

Acum, vom calcula actualizarea pentru o pondere arbitrară  $w_{jk}^l$ , unde  $l \in \{2, \dots, L-1\}$ . În primul rând, expresia actualizării este

$$\Delta w_{jk}^l = -\varepsilon \left( \frac{\partial E}{\partial[w_{jk}^l]_0} + u \frac{\partial E}{\partial[w_{jk}^l]_1} \right),$$

iar apoi, din regula înlănțuirii, avem că

$$\frac{\partial E}{\partial[w_{jk}^l]_0} = \frac{\partial E}{\partial[s_j^l]_0} \frac{\partial[s_j^l]_0}{\partial[w_{jk}^l]_0} + \frac{\partial E}{\partial[s_j^l]_1} \frac{\partial[s_j^l]_1}{\partial[w_{jk}^l]_0},$$

$$\frac{\partial E}{\partial [w_{jk}^l]_1} = \frac{\partial E}{\partial [s_j^l]_0} \frac{\partial [s_j^l]_0}{\partial [w_{jk}^l]_1} + \frac{\partial E}{\partial [s_j^l]_1} \frac{\partial [s_j^l]_1}{\partial [w_{jk}^l]_1}.$$

Aplicând din nou regula înălțurii, putem scrie că

$$\begin{aligned} \frac{\partial E}{\partial [s_j^l]_0} &= \sum_m \frac{\partial E}{\partial [s_m^{l+1}]_0} \frac{\partial [s_m^{l+1}]_0}{\partial [s_j^l]_0} \\ &+ \sum_m \frac{\partial E}{\partial [s_m^{l+1}]_1} \frac{\partial [s_m^{l+1}]_1}{\partial [s_j^l]_0}, \end{aligned} \quad (2.2.4)$$

$$\begin{aligned} \frac{\partial E}{\partial [s_j^l]_1} &= \sum_m \frac{\partial E}{\partial [s_m^{l+1}]_0} \frac{\partial [s_m^{l+1}]_0}{\partial [s_j^l]_1} \\ &+ \sum_m \frac{\partial E}{\partial [s_m^{l+1}]_1} \frac{\partial [s_m^{l+1}]_1}{\partial [s_j^l]_1}, \end{aligned} \quad (2.2.5)$$

unde sumele sunt luate după toți neuronii  $m$  din stratul  $l+1$  către care neuronul  $j$  din stratul  $l$  trimite conexiuni. Apoi

$$\frac{\partial [s_m^{l+1}]_0}{\partial [s_j^l]_0} = \frac{\partial [s_m^{l+1}]_0}{\partial [y_j^l]_0} \frac{\partial [y_j^l]_0}{\partial [s_j^l]_0} + \frac{\partial [s_m^{l+1}]_0}{\partial [y_j^l]_1} \frac{\partial [y_j^l]_1}{\partial [s_j^l]_0},$$

și relațiile analoge. Din nou din (2.2.2), avem

$$\begin{aligned} \frac{\partial [s_m^{l+1}]_0}{\partial [y_j^l]_0} &= [w_{mj}^{l+1}]_0, \quad \frac{\partial [s_m^{l+1}]_0}{\partial [y_j^l]_1} = [w_{mj}^{l+1}]_1, \\ \frac{\partial [s_m^{l+1}]_1}{\partial [y_j^l]_0} &= [w_{mj}^{l+1}]_1, \quad \frac{\partial [s_m^{l+1}]_1}{\partial [y_j^l]_1} = [w_{mj}^{l+1}]_0. \end{aligned}$$

Acum, punând toate cele de mai sus împreună, relațiile (2.2.4) și (2.2.5) devin

$$\begin{aligned} \frac{\partial E}{\partial [s_j^l]_0} &= \left[ \sum_m w_{mj}^{l+1} \delta_m^{l+1} \right]_0 \frac{\partial [G^l(s_j^l)]_0}{\partial [s_j^l]_0} \\ &+ \left[ \sum_m w_{mj}^{l+1} \delta_m^{l+1} \right]_1 \frac{\partial [G^l(s_j^l)]_1}{\partial [s_j^l]_0}, \\ \frac{\partial E}{\partial [s_j^l]_1} &= \left[ \sum_m w_{mj}^{l+1} \delta_m^{l+1} \right]_0 \frac{\partial [G^l(s_j^l)]_0}{\partial [s_j^l]_1} \\ &+ \left[ \sum_m w_{mj}^{l+1} \delta_m^{l+1} \right]_1 \frac{\partial [G^l(s_j^l)]_1}{\partial [s_j^l]_1}. \end{aligned}$$

În fine, dacă notăm  $\delta_j^l := \partial E / \partial s_j^l$ , și folosim (2.2.2) pentru a calcula

$$\begin{aligned}\frac{\partial [s_j^l]_0}{\partial [w_{jk}^l]_0} &= [x_k^{l-1}]_0, & \frac{\partial [s_j^l]_0}{\partial [w_{jk}^l]_1} &= [x_k^{l-1}]_1, \\ \frac{\partial [s_j^l]_1}{\partial [w_{jk}^l]_0} &= [x_k^{l-1}]_1, & \frac{\partial [s_j^l]_1}{\partial [w_{jk}^l]_1} &= [x_k^{l-1}]_0,\end{aligned}$$

obținem

$$\Delta w_{jk}^l = -\varepsilon \delta_j^l x_k^{l-1}, \forall l \in \{2, \dots, L-1\}.$$

În concluzie, avem că

$$\Delta w_{jk}^l = -\varepsilon \delta_j^l x_k^{l-1}, \forall l \in \{2, \dots, L\},$$

unde

$$\delta_j^l = \begin{cases} \left[ \sum_m w_{mj}^{l+1} \delta_m^{l+1} \right]_0 \left( \frac{\partial [G^l(s_j^l)]_0}{\partial [s_j^l]_0} + u \frac{\partial [G^l(s_j^l)]_0}{\partial [s_j^l]_1} \right) \\ + \left[ \sum_m w_{mj}^{l+1} \delta_m^{l+1} \right]_1 \left( \frac{\partial [G^l(s_j^l)]_1}{\partial [s_j^l]_0} + u \frac{\partial [G^l(s_j^l)]_1}{\partial [s_j^l]_1} \right), & l \leq L-1 \\ [y_j^L - t_j]_0 \left( \frac{\partial [G^L(s_j^L)]_0}{\partial [s_j^L]_0} + u \frac{\partial [G^L(s_j^L)]_0}{\partial [s_j^L]_1} \right) \\ + [y_j^L - t_j]_1 \left( \frac{\partial [G^L(s_j^L)]_1}{\partial [s_j^L]_0} + u \frac{\partial [G^L(s_j^L)]_1}{\partial [s_j^L]_1} \right), & l = L \end{cases}.$$

## 2.3 Rețele neuronale cu valori cuaternionice

Rețelele neuronale cu valori cuaternionice au fost introduse în [19] și [190], în primul rând ca o generalizare în 4 dimensiuni a rețelelor cu valori complexe. Cartea [18] este una dintre primele în care aceste rețele apar, cu aplicații în predicția seriilor de timp haotice și în robotică. Capabilitățile acestor rețele pentru predicția seriilor de timp haotice și a aproximării de funcții cu valori cuaternionice au fost discutate în [16], și respectiv [17]. Un tip nou de rețea neuronală cu valori cuaternionice, numită rețea neuronală spinor, a fost introdusă în [53], bazat pe faptul că algebra cuaternionilor nu este comutativă asemenea algebrilor numerelor complexe și hiperbolice. Isokawa et al. arată în [131] că rețelele neuronale feedforward cu valori cuaternionice obțin corect transformări geometrice pentru o problemă de compresie de imagini color, pe când o rețea neuronală cu valori reale eșuează. Apoi, Nitta demonstrează în [198] că un singur neuron cuaternionic poate învăța problema parității pe 4 biți, care altfel necesită o rețea neuronală reală cu cel puțin un strat ascuns pentru a fi învățată. Tot ca o aplicație a acestor rețele, se arată în [157] faptul că o astfel de rețea poate fi folosită pentru a extrage informații de culoare dintr-o imagine întunecată, care poate fi folosită pentru aplicații în care este necesară vederea nocturnă color. Datorită arhitecturii rețelei, la intrare i se dă imaginea întunecată, iar la ieșire i se dă imaginea color normală, iar rețeaua este capabilă să extragă informația de culoare din imaginea întunecată.

În ultimii ani însă, cele mai multe aplicații ale rețelelor neuronale cu valori cuaternionice au fost în procesarea semnalelor. Astfel, în [132], Isokawa et al. propune pentru prima dată o memorie asociativă cu valori cuaternionice. Buchholz & Le Bihan discută în [50] clasificarea semnalelor polarizate folosind rețele de tip feedforward cu valori cuaternionice. Apoi, Took & Mandic [251] și respectiv Took et al. [255] propun algoritmul celor mai mici pătrate (LMS) cu valori cuaternionice, care este practic

o rețea neuronală. Urmează rețelele neuronale feedforward cu valori cuaternionice care sunt propuse și folosite în [253] la aplicații din domeniul procesării de semnale. O problemă practică unde aceste rețele au fost folosite cu succes este aceea a predicției direcției și vitezei vântului, în trei dimensiuni de data aceasta, spre deosebire de problema similară în două dimensiuni care a fost tratată folosind rețele cu valori complexe, a se vedea, spre exemplu [135, 254, 256]. Un nou algoritm de învățare pentru rețele de tip feedforward cu valori cuaternionice a fost propus în [252], și un nou tip de rețea, asemănător celor care folosesc funcții de activare complexe divizat, în [65]. S-a trecut apoi la rețele recurente cu valori cuaternionice, folosite tot pentru probleme din domeniul procesării de semnale, de exemplu în [136]. Che Ujang et al. fac în [66, 67] o sinteză a tot ce se cunoaște până în acest moment despre rețelele cuaternionice folosite în aplicații din domeniul procesării de semnale.

Dovada faptului că cercetarea în domeniu este abia la început este aceea că articole foarte recente introduc pentru prima oară anumite tipuri de rețele cu valori cuaternionice, care au deja aplicații practice. Astfel, filtrele Kalman sunt introduse în [134], un nou tip de rețea Hopfield cu valori continue este introdusă în [260], rețele cuaternionice cu auto-organizare sunt folosite în [138] pentru modelarea articulațiilor anatomice, rețele cuaternionice neuro-fuzzy au rezultate promițătoare pe probleme de clasificare cu valori reale [110] și rețelele de tip echo state cu valori cuaternionice apar pentru prima dată în [265]. Vechimea de sub un an a tuturor acestor articole dovedește faptul că teoria rețelelor cu valori cuaternionice abia acum începe să se contureze, și se întrevede o dezvoltare asemănătoare cu a teoriei rețelelor cu valori complexe, în următorii ani.

Vom face o prezentare a mulțimii numerelor cuaternionice din mai multe perspective. În primul rând perspectiva pur cuaternionică, în care mulțimea numerelor cuaternionice este definită ca fiind

$$\mathbb{H} := \{x + iy + jz + kt \mid x, y, z, t \in \mathbb{R}, i^2 = j^2 = k^2 = ijk = -1\},$$

unde  $i, j, k$  reprezintă unitățile imaginare cuaternionice.

Pentru orice  $q_1 = x_1 + iy_1 + jz_1 + kt_1$ ,  $q_2 = x_2 + iy_2 + jz_2 + kt_2 \in \mathbb{H}$  definim *adunarea* prin

$$q_1 + q_2 := (x_1 + x_2) + i(y_1 + y_2) + j(z_1 + z_2) + k(t_1 + t_2),$$

*înmulțirea* prin

$$\begin{aligned} q_1 \cdot q_2 &:= (x_1x_2 - y_1y_2 - z_1z_2 - t_1t_2) + i(x_1y_2 + x_1y_2 + z_1t_2 - t_1z_2) \\ &+ j(x_1z_2 + x_1z_2 - y_1t_2 + t_1y_2) + k(x_1t_2 + x_1t_2 + y_1z_2 - z_1y_2) \end{aligned}$$

*inversul* lui  $q_1$  prin

$$q_1^{-1} := \frac{x_1}{x_1^2 + y_1^2 + z_1^2 + t_1^2} - i \frac{y_1}{x_1^2 + y_1^2 + z_1^2 + t_1^2} - j \frac{z_1}{x_1^2 + y_1^2 + z_1^2 + t_1^2} - k \frac{t_1}{x_1^2 + y_1^2 + z_1^2 + t_1^2},$$

*conjugatul* lui  $q_1$  prin

$$\bar{q}_1 := x_1 - iy_1 - jz_1 - kt_1,$$

și *modulul* lui  $q_1$  prin

$$|q_1| := \sqrt{q_1 \bar{q}_1} = \sqrt{x_1^2 + y_1^2 + z_1^2 + t_1^2}.$$

Un alt mod de a defini mulțimea numerelor cuaternionice este prin identificarea ei cu perechile ordonate de numere reale, astfel

$$\mathbb{H} := \{(x, y, z, t) \mid x, y, z, t \in \mathbb{R}\}.$$

Acum, pentru orice  $q_1 = (x_1, y_1, z_1, t_1)$ ,  $q_2 = (x_2, y_2, z_2, t_2) \in \mathbb{H}$ , adunarea este dată prin

$$q_1 + q_2 := (x_1 + x_2, y_1 + y_2, z_1 + z_2, t_1 + t_2),$$

înmulțirea prin

$$q_1 \cdot q_2 := (x_1x_2 - y_1y_2 - z_1z_2 - t_1t_2, x_1y_2 + x_1y_2 + z_1t_2 - t_1z_2, \\ x_1z_2 + x_1z_2 - y_1t_2 + t_1y_2, x_1t_2 + x_1t_2 + y_1z_2 - z_1y_2)$$

și inversul lui  $q_1$  prin

$$q_1^{-1} := \left( \frac{x_1}{x_1^2 + y_1^2 + z_1^2 + t_1^2}, \frac{-y_1}{x_1^2 + y_1^2 + z_1^2 + t_1^2}, \frac{-z_1}{x_1^2 + y_1^2 + z_1^2 + t_1^2}, \frac{-t_1}{x_1^2 + y_1^2 + z_1^2 + t_1^2} \right).$$

În acest caz se face identificarea  $1 \equiv (1, 0, 0, 0)$ ,  $i \equiv (0, 1, 0, 0)$ ,  $j \equiv (0, 0, 1, 0)$ ,  $k \equiv (0, 0, 0, 1)$ , de unde este clar că avem  $q = x + iy + jz + kt \equiv (x, y, z, t)$ . Prin această identificare, fiecărui număr cuaternionic  $q = x + iy + jz + kt$  îi corespunde punctul  $(x, y, z, t)$  din spațiul cvadridimensional, ceea ce constituie reprezentarea geometrică a numărului cuaternionic  $q$ .

O a treia reprezentare posibilă a mulțimii numerelor cuaternionice este ca o subalgebră a algebrei matricilor pătratice de ordinul patru cu elemente reale, notată  $\mathcal{M}_4(\mathbb{R})$ . Astfel, avem că

$$\mathbb{H} := \left\{ \left( \begin{array}{cccc} x & y & z & t \\ -y & x & -t & z \\ -z & t & x & -y \\ -t & -z & y & x \end{array} \right) \middle| x, y, z, t \in \mathbb{R} \right\}.$$

Acum avem identificarea

$$1 \equiv \begin{pmatrix} 1 & 0 & 0 & 0 \\ 0 & 1 & 0 & 0 \\ 0 & 0 & 1 & 0 \\ 0 & 0 & 0 & 1 \end{pmatrix}, \quad i \equiv \begin{pmatrix} 0 & 1 & 0 & 0 \\ -1 & 0 & 0 & 0 \\ 0 & 0 & 0 & -1 \\ 0 & 0 & 1 & 0 \end{pmatrix},$$

$$j \equiv \begin{pmatrix} 0 & 0 & 1 & 0 \\ 0 & 0 & 0 & 1 \\ -1 & 0 & 0 & 0 \\ 0 & -1 & 0 & 0 \end{pmatrix}, \quad k \equiv \begin{pmatrix} 0 & 0 & 0 & 1 \\ 0 & 0 & -1 & 0 \\ 0 & 1 & 0 & 0 \\ -1 & 0 & 0 & 0 \end{pmatrix},$$

și prin urmare numărul cuaternionic  $q = x + iy + jz + kt$  se identifică cu matricea

$$\begin{pmatrix} x & y & z & t \\ -y & x & -t & z \\ -z & t & x & -y \\ -t & -z & y & x \end{pmatrix}.$$

$$\text{Adunarea a două numere cuaternionice } q_1 = \begin{pmatrix} x_1 & y_1 & z_1 & t_1 \\ -y_1 & x_1 & -t_1 & z_1 \\ -z_1 & t_1 & x_1 & -y_1 \\ -t_1 & -z_1 & y_1 & x_1 \end{pmatrix} \text{ și } q_2 =$$

$\begin{pmatrix} x_2 & y_2 & z_2 & t_2 \\ -y_2 & x_2 & -t_2 & z_2 \\ -z_2 & t_2 & x_2 & -y_2 \\ -t_2 & -z_2 & y_2 & x_2 \end{pmatrix}$  se definește ca fiind adunarea matricilor

$$\begin{aligned} q_1 + q_2 &:= \begin{pmatrix} x_1 & y_1 & z_1 & t_1 \\ -y_1 & x_1 & -t_1 & z_1 \\ -z_1 & t_1 & x_1 & -y_1 \\ -t_1 & -z_1 & y_1 & x_1 \end{pmatrix} + \begin{pmatrix} x_2 & y_2 & z_2 & t_2 \\ -y_2 & x_2 & -t_2 & z_2 \\ -z_2 & t_2 & x_2 & -y_2 \\ -t_2 & -z_2 & y_2 & x_2 \end{pmatrix} \\ &= \begin{pmatrix} x_1 + x_2 & y_1 + y_2 & z_1 + z_2 & t_1 + t_2 \\ -(y_1 + y_2) & x_1 + x_2 & -(t_1 + t_2) & z_1 + z_2 \\ -(z_1 + z_2) & t_1 + t_2 & x_1 + x_2 & -(y_1 + y_2) \\ -(t_1 + t_2) & -(z_1 + z_2) & y_1 + y_2 & x_1 + x_2 \end{pmatrix}, \end{aligned}$$

iar înmulțirea este dată de înmulțirea matricilor

$$\begin{aligned} q_1 \cdot q_2 &:= \begin{pmatrix} x_1 & y_1 & z_1 & t_1 \\ -y_1 & x_1 & -t_1 & z_1 \\ -z_1 & t_1 & x_1 & -y_1 \\ -t_1 & -z_1 & y_1 & x_1 \end{pmatrix} \begin{pmatrix} x_2 & y_2 & z_2 & t_2 \\ -y_2 & x_2 & -t_2 & z_2 \\ -z_2 & t_2 & x_2 & -y_2 \\ -t_2 & -z_2 & y_2 & x_2 \end{pmatrix} \\ &= \begin{pmatrix} x_1x_2 - y_1y_2 - z_1z_2 - t_1t_2 & x_1y_2 + x_1y_2 + z_1t_2 - t_1z_2 \\ -(x_1y_2 + x_1y_2 + z_1t_2 - t_1z_2) & x_1x_2 - y_1y_2 - z_1z_2 - t_1t_2 \\ -(x_1z_2 + x_1z_2 - y_1t_2 + t_1y_2) & x_1t_2 + x_1t_2 + y_1z_2 - z_1y_2 \\ -(x_1t_2 + x_1t_2 + y_1z_2 - z_1y_2) & -(x_1z_2 + x_1z_2 - y_1t_2 + t_1y_2) \\ x_1z_2 + x_1z_2 - y_1t_2 + t_1y_2 & x_1t_2 + x_1t_2 + y_1z_2 - z_1y_2 \\ -(x_1t_2 + x_1t_2 + y_1z_2 - z_1y_2) & x_1z_2 + x_1z_2 - y_1t_2 + t_1y_2 \\ x_1x_2 - y_1y_2 - z_1z_2 - t_1t_2 & -(x_1y_2 + x_1y_2 + z_1t_2 - t_1z_2) \\ x_1y_2 + x_1y_2 + z_1t_2 - t_1z_2 & x_1x_2 - y_1y_2 - z_1z_2 - t_1t_2 \end{pmatrix}. \end{aligned}$$

Inversul numărului cuaternionic  $q = \begin{pmatrix} x & y & z & t \\ -y & x & -t & z \\ -z & t & x & -y \\ -t & -z & y & x \end{pmatrix}$  este inversa matricii

care îl reprezintă pe  $q$

$$q^{-1} := \begin{pmatrix} x & y & z & t \\ -y & x & -t & z \\ -z & t & x & -y \\ -t & -z & y & x \end{pmatrix}^{-1} = \frac{1}{x^2 + y^2 + z^2 + t^2} \begin{pmatrix} x & -y & -z & -t \\ y & x & t & -z \\ z & -t & x & y \\ t & z & -y & x \end{pmatrix},$$

conjugatul lui  $q$  este transpusa matricii  $q$

$$\bar{q} := \begin{pmatrix} x & y & z & t \\ -y & x & -t & z \\ -z & t & x & -y \\ -t & -z & y & x \end{pmatrix}^T = \begin{pmatrix} x & -y & -z & -t \\ y & x & t & -z \\ z & -t & x & y \\ t & z & -y & x \end{pmatrix},$$

iar modulul lui  $q$  este radicalul de ordinul 4 al determinantului matricii  $q$

$$|q| := \sqrt[4]{\det \begin{pmatrix} x & y & z & t \\ -y & x & -t & z \\ -z & t & x & -y \\ -t & -z & y & x \end{pmatrix}} = \sqrt{x^2 + y^2 + z^2 + t^2}.$$



Să presupunem acum că avem o rețea neuronală cu valori cuaternionice de tip feedforward, total conectată, care are  $L$  straturi, unde stratul 1 este stratul de intrare, stratul  $L$  este stratul de ieșire, iar straturile numerotate  $\{2, \dots, L-1\}$  sunt straturi ascunse. Funcția de eroare  $E : \mathbb{H}^N \rightarrow \mathbb{R}$  pentru o atare rețea este dată prin

$$E(\mathbf{w}) = \frac{1}{2} \sum_{i=1}^c (y_i^L - t_i) \overline{(y_i^L - t_i)}, \quad (2.3.1)$$

unde  $\mathbf{y}^L = (y_i^L)_{1 \leq i \leq c}$  reprezintă ieșirile rețelei,  $\mathbf{t} = (t_i)_{1 \leq i \leq c}$  reprezintă ieșirile dorite (target-urile) ale rețelei, iar  $\mathbf{w}$  reprezintă vectorul tuturor celor  $N$  ponderi și bias-uri ale rețelei.

Dacă notăm cu  $w_{jk}^l$  ponderea care leagă neuronul  $j$  din stratul  $l$  de neuronul  $k$  din stratul  $l-1$ , pentru orice  $l \in \{2, \dots, L\}$ , putem defini pasul de actualizare al ponderii  $w_{jk}^l$  în epoca  $t$  ca fiind

$$\Delta w_{jk}^l(t) = w_{jk}^l(t+1) - w_{jk}^l(t).$$

Regula de actualizare pentru ponderea  $w_{jk}^l$  este, pentru metoda gradient, dată de expresia

$$\Delta w_{jk}^l(t) = -\varepsilon \left( \frac{\partial E}{\partial [w_{jk}^l]_0}(t) + i \frac{\partial E}{\partial [w_{jk}^l]_1}(t) + j \frac{\partial E}{\partial [w_{jk}^l]_2}(t) + k \frac{\partial E}{\partial [w_{jk}^l]_3}(t) \right),$$

unde  $\varepsilon$  este un număr real care reprezintă rata de învățare, și am notat  $a = [a]_0 + i[a]_1 + j[a]_2 + k[a]_3$ ,  $i^2 = j^2 = k^2 = ijk = -1$ .

Scris sub formă vectorială, pasul de actualizare devine

$$\Delta \mathbf{w}(t) = \mathbf{w}(t+1) - \mathbf{w}(t),$$

unde  $\mathbf{w} \in \mathbb{H}^N$  este vectorul celor  $N$  ponderi și bias-uri ale rețelei, definit mai sus. Regula de actualizare pentru metoda gradient se scrie în formă vectorială, astfel:

$$\Delta \mathbf{w}(t) = -\varepsilon \nabla E(t),$$

unde  $\nabla E(t) := \nabla E(\mathbf{w}(t)) \in \mathbb{H}^N$ , este gradientul funcției  $E$ , ale cărei componente  $\frac{\partial E}{\partial [w_{jk}^l]_0}(\mathbf{w}(t)) + i \frac{\partial E}{\partial [w_{jk}^l]_1}(\mathbf{w}(t)) + j \frac{\partial E}{\partial [w_{jk}^l]_2}(\mathbf{w}(t)) + k \frac{\partial E}{\partial [w_{jk}^l]_3}(\mathbf{w}(t))$  au fost scrise prescurtat mai sus sub forma  $\frac{\partial E}{\partial [w_{jk}^l]_0}(t) + i \frac{\partial E}{\partial [w_{jk}^l]_1}(t) + j \frac{\partial E}{\partial [w_{jk}^l]_2}(t) + k \frac{\partial E}{\partial [w_{jk}^l]_3}(t)$ . Prin urmare, pentru a calcula actualizările ponderilor, avem nevoie să calculăm gradientul  $\nabla E$ , adică derivatele parțiale de forma  $\frac{\partial E}{\partial [w_{jk}^l]_0}$ ,  $\frac{\partial E}{\partial [w_{jk}^l]_1}$ ,  $\frac{\partial E}{\partial [w_{jk}^l]_2}$ ,  $\frac{\partial E}{\partial [w_{jk}^l]_3}$ .

Pentru aceasta, vom face următoarele notații

$$s_j^l := \sum_k w_{jk}^l x_k^{l-1} + w_{j0}^l, \quad (2.3.2)$$

$$y_j^l := G^l(s_j^l), \quad (2.3.3)$$

unde  $G^l$  este funcția de activare a stratului  $l \in \{2, \dots, L\}$ ,  $\mathbf{x}^1 = (x_k^1)_{1 \leq k \leq d}$  sunt intrările rețelei, și avem că  $x_k^l = y_k^l$ ,  $\forall l \in \{2, \dots, L-1\}$ ,  $\forall k$ .

Începem cu actualizarea pentru ponderile dintre penultimul strat ascuns  $L-1$  și stratul de ieșire  $L$ , i.e.

$$\Delta w_{jk}^L = -\varepsilon \left( \frac{\partial E}{\partial [w_{jk}^L]_0} + i \frac{\partial E}{\partial [w_{jk}^L]_1} + j \frac{\partial E}{\partial [w_{jk}^L]_2} + k \frac{\partial E}{\partial [w_{jk}^L]_3} \right).$$

Din regula înălțurii, putem scrie următoarele relații:

$$\frac{\partial E}{\partial [w_{jk}^L]_0} = \frac{\partial E}{\partial [s_j^L]_0} \frac{\partial [s_j^L]_0}{\partial [w_{jk}^L]_0} + \frac{\partial E}{\partial [s_j^L]_1} \frac{\partial [s_j^L]_1}{\partial [w_{jk}^L]_0} + \frac{\partial E}{\partial [s_j^L]_2} \frac{\partial [s_j^L]_2}{\partial [w_{jk}^L]_0} + \frac{\partial E}{\partial [s_j^L]_3} \frac{\partial [s_j^L]_3}{\partial [w_{jk}^L]_0},$$

$$\frac{\partial E}{\partial [w_{jk}^L]_1} = \frac{\partial E}{\partial [s_j^L]_0} \frac{\partial [s_j^L]_0}{\partial [w_{jk}^L]_1} + \frac{\partial E}{\partial [s_j^L]_1} \frac{\partial [s_j^L]_1}{\partial [w_{jk}^L]_1} + \frac{\partial E}{\partial [s_j^L]_2} \frac{\partial [s_j^L]_2}{\partial [w_{jk}^L]_1} + \frac{\partial E}{\partial [s_j^L]_3} \frac{\partial [s_j^L]_3}{\partial [w_{jk}^L]_1},$$

și analoagele. Aplicând aceeași regulă din nou pentru  $\partial E/\partial [s_j^L]_0$ ,  $\partial E/\partial [s_j^L]_1$ ,  $\partial E/\partial [s_j^L]_2$  și  $\partial E/\partial [s_j^L]_3$ , avem că

$$\begin{aligned} \frac{\partial E}{\partial [s_j^L]_0} &= \frac{\partial E}{\partial [y_j^L]_0} \frac{\partial [y_j^L]_0}{\partial [s_j^L]_0} + \frac{\partial E}{\partial [y_j^L]_1} \frac{\partial [y_j^L]_1}{\partial [s_j^L]_0} + \frac{\partial E}{\partial [y_j^L]_2} \frac{\partial [y_j^L]_2}{\partial [s_j^L]_0} + \frac{\partial E}{\partial [y_j^L]_3} \frac{\partial [y_j^L]_3}{\partial [s_j^L]_0} \\ &= [y_j^L - t_j]_0 \frac{\partial [G^L(s_j^L)]_0}{\partial [s_j^L]_0} + [y_j^L - t_j]_1 \frac{\partial [G^L(s_j^L)]_1}{\partial [s_j^L]_0} \\ &\quad + [y_j^L - t_j]_2 \frac{\partial [G^L(s_j^L)]_2}{\partial [s_j^L]_0} + [y_j^L - t_j]_3 \frac{\partial [G^L(s_j^L)]_3}{\partial [s_j^L]_0}, \end{aligned}$$

$$\begin{aligned} \frac{\partial E}{\partial [s_j^L]_1} &= \frac{\partial E}{\partial [y_j^L]_0} \frac{\partial [y_j^L]_0}{\partial [s_j^L]_1} + \frac{\partial E}{\partial [y_j^L]_1} \frac{\partial [y_j^L]_1}{\partial [s_j^L]_1} + \frac{\partial E}{\partial [y_j^L]_2} \frac{\partial [y_j^L]_2}{\partial [s_j^L]_1} + \frac{\partial E}{\partial [y_j^L]_3} \frac{\partial [y_j^L]_3}{\partial [s_j^L]_1} \\ &= [y_j^L - t_j]_0 \frac{\partial [G^L(s_j^L)]_0}{\partial [s_j^L]_1} + [y_j^L - t_j]_1 \frac{\partial [G^L(s_j^L)]_1}{\partial [s_j^L]_1} \\ &\quad + [y_j^L - t_j]_2 \frac{\partial [G^L(s_j^L)]_2}{\partial [s_j^L]_1} + [y_j^L - t_j]_3 \frac{\partial [G^L(s_j^L)]_3}{\partial [s_j^L]_1}, \end{aligned}$$

și cele analoage, unde am ținut seama de notația (2.3.3) și de expresia pentru funcția de eroare (2.3.1). Din (2.3.2) și

$$\begin{aligned} w_{jk}^L x_k^{L-1} &= ([w_{jk}^L]_0 [x_k^{L-1}]_0 - [w_{jk}^L]_1 [x_k^{L-1}]_1 - [w_{jk}^L]_2 [x_k^{L-1}]_2 - [w_{jk}^L]_3 [x_k^{L-1}]_3) \\ &\quad + i([w_{jk}^L]_0 [x_k^{L-1}]_1 + [w_{jk}^L]_1 [x_k^{L-1}]_0 + [w_{jk}^L]_2 [x_k^{L-1}]_3 - [w_{jk}^L]_3 [x_k^{L-1}]_2) \\ &\quad + j([w_{jk}^L]_0 [x_k^{L-1}]_2 + [w_{jk}^L]_2 [x_k^{L-1}]_0 - [w_{jk}^L]_1 [x_k^{L-1}]_3 + [w_{jk}^L]_3 [x_k^{L-1}]_1) \\ &\quad + k([w_{jk}^L]_0 [x_k^{L-1}]_3 + [w_{jk}^L]_3 [x_k^{L-1}]_0 + [w_{jk}^L]_1 [x_k^{L-1}]_2 - [w_{jk}^L]_2 [x_k^{L-1}]_1), \end{aligned}$$

rezultă că

$$\frac{\partial [s_j^L]_0}{\partial [w_{jk}^L]_0} = [x_k^{L-1}]_0, \frac{\partial [s_j^L]_0}{\partial [w_{jk}^L]_1} = -[x_k^{L-1}]_1, \frac{\partial [s_j^L]_0}{\partial [w_{jk}^L]_2} = -[x_k^{L-1}]_2, \frac{\partial [s_j^L]_0}{\partial [w_{jk}^L]_3} = -[x_k^{L-1}]_3,$$

$$\frac{\partial [s_j^L]_1}{\partial [w_{jk}^L]_0} = [x_k^{L-1}]_1, \frac{\partial [s_j^L]_1}{\partial [w_{jk}^L]_1} = [x_k^{L-1}]_0, \frac{\partial [s_j^L]_1}{\partial [w_{jk}^L]_2} = [x_k^{L-1}]_3, \frac{\partial [s_j^L]_1}{\partial [w_{jk}^L]_3} = -[x_k^{L-1}]_2,$$

și relațiile analoge, și folosind notația  $\delta_j^L := \partial E / \partial s_j^L$ , obținem expresia pentru actualizarea dorită:

$$\Delta w_{jk}^L = -\varepsilon \delta_j^L \overline{x_k^{L-1}}.$$

Acum, trecem la actualizarea pentru o pondere arbitrară  $w_{jk}^l$ , unde  $l \in \{2, \dots, L-1\}$ . În primul rând, aceasta este

$$\Delta w_{jk}^l = -\varepsilon \left( \frac{\partial E}{\partial [w_{jk}^l]_0} + i \frac{\partial E}{\partial [w_{jk}^l]_1} + j \frac{\partial E}{\partial [w_{jk}^l]_2} + k \frac{\partial E}{\partial [w_{jk}^l]_3} \right),$$

iar apoi, din regula înlănțuirii, avem că

$$\frac{\partial E}{\partial [w_{jk}^l]_0} = \frac{\partial E}{\partial [s_j^l]_0} \frac{\partial [s_j^l]_0}{\partial [w_{jk}^l]_0} + \frac{\partial E}{\partial [s_j^l]_1} \frac{\partial [s_j^l]_1}{\partial [w_{jk}^l]_0} + \frac{\partial E}{\partial [s_j^l]_2} \frac{\partial [s_j^l]_2}{\partial [w_{jk}^l]_0} + \frac{\partial E}{\partial [s_j^l]_3} \frac{\partial [s_j^l]_3}{\partial [w_{jk}^l]_0},$$

$$\frac{\partial E}{\partial [w_{jk}^l]_1} = \frac{\partial E}{\partial [s_j^l]_0} \frac{\partial [s_j^l]_0}{\partial [w_{jk}^l]_1} + \frac{\partial E}{\partial [s_j^l]_1} \frac{\partial [s_j^l]_1}{\partial [w_{jk}^l]_1} + \frac{\partial E}{\partial [s_j^l]_2} \frac{\partial [s_j^l]_2}{\partial [w_{jk}^l]_1} + \frac{\partial E}{\partial [s_j^l]_3} \frac{\partial [s_j^l]_3}{\partial [w_{jk}^l]_1},$$

și cele analoge.

Din nou regula înlănțuirii ne dă

$$\begin{aligned} \frac{\partial E}{\partial [s_j^l]_0} &= \sum_m \frac{\partial E}{\partial [s_m^{l+1}]_0} \frac{\partial [s_m^{l+1}]_0}{\partial [s_j^l]_0} + \frac{\partial E}{\partial [s_m^{l+1}]_1} \frac{\partial [s_m^{l+1}]_1}{\partial [s_j^l]_0} \\ &+ \sum_m \frac{\partial E}{\partial [s_m^{l+1}]_2} \frac{\partial [s_m^{l+1}]_2}{\partial [s_j^l]_0} + \frac{\partial E}{\partial [s_m^{l+1}]_3} \frac{\partial [s_m^{l+1}]_3}{\partial [s_j^l]_0}, \end{aligned} \quad (2.3.4)$$

$$\begin{aligned} \frac{\partial E}{\partial [s_j^l]_1} &= \sum_m \frac{\partial E}{\partial [s_m^{l+1}]_0} \frac{\partial [s_m^{l+1}]_0}{\partial [s_j^l]_1} + \frac{\partial E}{\partial [s_m^{l+1}]_1} \frac{\partial [s_m^{l+1}]_1}{\partial [s_j^l]_1} \\ &+ \sum_m \frac{\partial E}{\partial [s_m^{l+1}]_2} \frac{\partial [s_m^{l+1}]_2}{\partial [s_j^l]_1} + \frac{\partial E}{\partial [s_m^{l+1}]_3} \frac{\partial [s_m^{l+1}]_3}{\partial [s_j^l]_1}, \end{aligned} \quad (2.3.5)$$

și analog pentru  $\frac{\partial E}{\partial [s_j^l]_2}$  și  $\frac{\partial E}{\partial [s_j^l]_3}$ , unde sumele sunt luate după toți neuronii  $m$  din stratul  $l+1$  către care neuronul  $j$  din stratul  $l$  trimite conexiuni. Apoi

$$\frac{\partial [s_m^{l+1}]_0}{\partial [s_j^l]_0} = \frac{\partial [s_m^{l+1}]_0}{\partial [y_j^l]_0} \frac{\partial [y_j^l]_0}{\partial [s_j^l]_0} + \frac{\partial [s_m^{l+1}]_0}{\partial [y_j^l]_1} \frac{\partial [y_j^l]_1}{\partial [s_j^l]_0} + \frac{\partial [s_m^{l+1}]_0}{\partial [y_j^l]_2} \frac{\partial [y_j^l]_2}{\partial [s_j^l]_0} + \frac{\partial [s_m^{l+1}]_0}{\partial [y_j^l]_3} \frac{\partial [y_j^l]_3}{\partial [s_j^l]_0},$$

și relațiile analoge. Folosind (2.3.2) și

$$\begin{aligned} w_{mj}^{l+1} y_j^l &= ([w_{mj}^{l+1}]_0 [y_j^l]_0 - [w_{mj}^{l+1}]_1 [y_j^l]_1 - [w_{mj}^{l+1}]_2 [y_j^l]_2 - [w_{mj}^{l+1}]_3 [y_j^l]_3) \\ &+ i([w_{mj}^{l+1}]_0 [y_j^l]_1 + [w_{mj}^{l+1}]_1 [y_j^l]_0 + [w_{mj}^{l+1}]_2 [y_j^l]_3 - [w_{mj}^{l+1}]_3 [y_j^l]_2) \\ &+ j([w_{mj}^{l+1}]_0 [y_j^l]_2 + [w_{mj}^{l+1}]_2 [y_j^l]_0 - [w_{mj}^{l+1}]_1 [y_j^l]_3 + [w_{mj}^{l+1}]_3 [y_j^l]_1) \\ &+ k([w_{mj}^{l+1}]_0 [y_j^l]_3 + [w_{mj}^{l+1}]_3 [y_j^l]_0 + [w_{mj}^{l+1}]_1 [y_j^l]_2 - [w_{mj}^{l+1}]_2 [y_j^l]_1) \end{aligned}$$

avem

$$\begin{aligned}\frac{\partial[s_m^{l+1}]_0}{\partial[y_j^l]_0} &= [w_{mj}^{l+1}]_0, \quad \frac{\partial[s_m^{l+1}]_0}{\partial[y_j^l]_1} = -[w_{mj}^{l+1}]_1, \quad \frac{\partial[s_m^{l+1}]_0}{\partial[y_j^l]_2} = -[w_{mj}^{l+1}]_2, \quad \frac{\partial[s_m^{l+1}]_0}{\partial[y_j^l]_3} = -[w_{mj}^{l+1}]_3, \\ \frac{\partial[s_m^{l+1}]_1}{\partial[y_j^l]_0} &= [w_{mj}^{l+1}]_1, \quad \frac{\partial[s_m^{l+1}]_1}{\partial[y_j^l]_1} = [w_{mj}^{l+1}]_0, \quad \frac{\partial[s_m^{l+1}]_1}{\partial[y_j^l]_2} = -[w_{mj}^{l+1}]_3, \quad \frac{\partial[s_m^{l+1}]_1}{\partial[y_j^l]_3} = [w_{mj}^{l+1}]_2,\end{aligned}$$

și celelalte relații analoage. Acum, punând toate ecuațiile de mai sus împreună, relațiile (2.3.4) și (2.3.5) devin

$$\begin{aligned}\frac{\partial E}{\partial[s_j^l]_0} &= \left[ \sum_m \overline{w_{mj}^{l+1}} \delta_m^{l+1} \right]_0 \frac{\partial[G^l(s_j^l)]_0}{\partial[s_j^l]_0} + \left[ \sum_m \overline{w_{mj}^{l+1}} \delta_m^{l+1} \right]_1 \frac{\partial[G^l(s_j^l)]_1}{\partial[s_j^l]_0} \\ &+ \left[ \sum_m \overline{w_{mj}^{l+1}} \delta_m^{l+1} \right]_2 \frac{\partial[G^l(s_j^l)]_2}{\partial[s_j^l]_0} + \left[ \sum_m \overline{w_{mj}^{l+1}} \delta_m^{l+1} \right]_3 \frac{\partial[G^l(s_j^l)]_3}{\partial[s_j^l]_0}, \\ \frac{\partial E}{\partial[s_j^l]_1} &= \left[ \sum_m \overline{w_{mj}^{l+1}} \delta_m^{l+1} \right]_0 \frac{\partial[G^l(s_j^l)]_0}{\partial[s_j^l]_1} + \left[ \sum_m \overline{w_{mj}^{l+1}} \delta_m^{l+1} \right]_1 \frac{\partial[G^l(s_j^l)]_1}{\partial[s_j^l]_1} \\ &+ \left[ \sum_m \overline{w_{mj}^{l+1}} \delta_m^{l+1} \right]_2 \frac{\partial[G^l(s_j^l)]_2}{\partial[s_j^l]_1} + \left[ \sum_m \overline{w_{mj}^{l+1}} \delta_m^{l+1} \right]_3 \frac{\partial[G^l(s_j^l)]_3}{\partial[s_j^l]_1},\end{aligned}$$

și analoagele.

În fine, dacă notăm  $\delta_j^l := \partial E / \partial s_j^l$  și folosim (2.3.2) pentru a calcula

$$\begin{aligned}\frac{\partial[s_j^l]_0}{\partial[w_{jk}^l]_0} &= [x_k^{l-1}]_0, \quad \frac{\partial[s_j^l]_0}{\partial[w_{jk}^l]_1} = -[x_k^{l-1}]_1, \quad \frac{\partial[s_j^l]_0}{\partial[w_{jk}^l]_2} = -[x_k^{l-1}]_2, \quad \frac{\partial[s_j^l]_0}{\partial[w_{jk}^l]_3} = -[x_k^{l-1}]_3, \\ \frac{\partial[s_j^l]_1}{\partial[w_{jk}^l]_0} &= [x_k^{l-1}]_1, \quad \frac{\partial[s_j^l]_1}{\partial[w_{jk}^l]_1} = [x_k^{l-1}]_0, \quad \frac{\partial[s_j^l]_1}{\partial[w_{jk}^l]_2} = [x_k^{l-1}]_3, \quad \frac{\partial[s_j^l]_1}{\partial[w_{jk}^l]_3} = -[x_k^{l-1}]_2,\end{aligned}$$

și celelalte, obținem

$$\Delta w_{jk}^l = -\varepsilon \delta_j^l \overline{x_k^{l-1}}, \quad \forall l \in \{2, \dots, L-1\}.$$

Prin urmare, avem că

$$\Delta w_{jk}^l = -\varepsilon \delta_j^l \overline{x_k^{l-1}}, \quad \forall l \in \{2, \dots, L\},$$

unde

$$\delta_j^l = \begin{cases} \left[ \sum_m \overline{w_{mj}^{l+1}} \delta_m^{l+1} \right]_0 \left( \frac{\partial[G^l(s_j^l)]_0}{\partial[s_j^l]_0} + i \frac{\partial[G^l(s_j^l)]_0}{\partial[s_j^l]_1} + j \frac{\partial[G^l(s_j^l)]_0}{\partial[s_j^l]_2} + k \frac{\partial[G^l(s_j^l)]_0}{\partial[s_j^l]_3} \right) + \dots \\ + \left[ \sum_m \overline{w_{mj}^{l+1}} \delta_m^{l+1} \right]_3 \left( \frac{\partial[G^l(s_j^l)]_3}{\partial[s_j^l]_0} + i \frac{\partial[G^l(s_j^l)]_3}{\partial[s_j^l]_1} + j \frac{\partial[G^l(s_j^l)]_3}{\partial[s_j^l]_2} + k \frac{\partial[G^l(s_j^l)]_3}{\partial[s_j^l]_3} \right), & l \leq L-1 \\ [y_j^L - t_j]_0 \left( \frac{\partial[G^l(s_j^l)]_0}{\partial[s_j^l]_0} + i \frac{\partial[G^l(s_j^l)]_0}{\partial[s_j^l]_1} + j \frac{\partial[G^l(s_j^l)]_0}{\partial[s_j^l]_2} + k \frac{\partial[G^l(s_j^l)]_0}{\partial[s_j^l]_3} \right) + \dots \\ + [y_j^L - t_j]_3 \left( \frac{\partial[G^l(s_j^l)]_3}{\partial[s_j^l]_0} + i \frac{\partial[G^l(s_j^l)]_3}{\partial[s_j^l]_1} + j \frac{\partial[G^l(s_j^l)]_3}{\partial[s_j^l]_2} + k \frac{\partial[G^l(s_j^l)]_3}{\partial[s_j^l]_3} \right), & l = L \end{cases}.$$

## 2.4 Rețele neuronale Clifford

În ultimul timp, s-au făcut cercetări în încercarea de a generaliza rețelele neuronale bazate pe numere complexe și pe cuaternioni, aceste cercetări concretizându-se în ceea ce poartă denumirea de rețele neuronale bazate pe algebre Clifford. Algebrele Clifford reprezintă generalizarea naturală a numerelor complexe și a cuaternionilor, fiind astfel alegerea naturală pentru folosirea în cadrul teoriei rețelelor neuronale. Rețelele Clifford de tip feedforward au fost introduse de Pearson în teza sa [210], precum și în articolele [211, 212].

Bayro-Corrochano et al. au introdus rețelele Clifford cu auto-organizare în [27] și [28]. În lucrarea [29], Bayro-Corrochano & Sommer fac o prezentare generală a acestor rețele, introduc rețelele Clifford de tip RBF, și prezintă experimente în pre-procesarea geometrică incorporată, recunoașterea de obiecte tridimensionale și recunoașterea geometriei în procese haotice. În [127], sunt prezentate diferite aplicații ale rețelelor Clifford: procesarea imaginilor color, predicția locației vehiculelor și analiza biometrică bazată pe verificarea automată a semnăturilor. Articolul [30] dezvoltă SVM-urile Clifford, cu noi experimente în învățarea proceselor haotice și în clasificarea multivectorilor. Buchholz & Sommer [51] discută neuronul Clifford în contextul învățării transformărilor geometrice, ceea ce îl face promițător pentru folosirea în aplicații. După ce face o prezentare sintetică a domeniului în [24], Bayro-Corrochano prezintă aplicații ale SVM-urilor Clifford în vederea automată tridimensională în [31]. O aplicație interesantă și inovativă apare în [223], rețelele Clifford fiind folosite pentru recunoașterea de caractere.

Un rezumat al aplicațiilor rețelelor Clifford este făcut în [32], cu accent pe problemele din domeniul recunoașterii de tipare și a determinării obiectelor tridimensionale pornind de la imagini bidimensionale (pose estimation). Apoi, în [25] și în [26], se continuă cercetarea în domeniul SVM-urilor Clifford, și se introduce un nou tip de neuron, și anume neuronul geometric conformal. Aplicarea rețelelor Clifford pentru predicția seriilor de timp haotice a fost făcută în [275]. Un tutorial despre rețelele feedforward cu valori Clifford este [56], unde sunt prezentate și alte aplicații. Un studiu asupra ratelor de învățare optime pentru neuronul Clifford este [55], unde apare pentru prima dată și hessiana unui astfel de neuron. Se face de asemenea și o discuție amănunțită a suprafețelor de eroare pentru acest tip de neuroni, cu experimente care să ilustreze rezultatele teoretice.

O altă lucrare generală de prezentare detaliată a stării domeniului este [54], unde sunt introduse rețelele Clifford de tip spinor, o generalizare a rețelelor cu valori cuaternionice de tip spinor, bazate pe noncomutativitatea algebrelor Clifford de dimensiune mai mare decât 2. Neuronii Clifford de tip versor sunt introduși în [49], unde sunt date de asemenea formule de actualizare pentru acești neuroni care sunt independente de sistemul de coordonate ales. Un alt tutorial despre rețelele pe algebra geometrică, cum mai sunt denumite rețelele Clifford, este [246], unde sunt evidențiate aplicații în special în reprezentarea și calculele cu date geometrice multidimensionale. SVM-urile Clifford recurente sunt introduse pentru prima dată de către Bayro-Corrochano et al. în [33], iar rețelele Clifford de tip Hopfield de către Vallejo & Bayro-Corrochano în [261]. Acest ultim tip de rețele, a mai fost discutat în [156], iar rețelele Clifford recurente au fost introduse de către Kuroe în [154]. În fine, una dintre cele mai recente aplicații ale rețelelor Clifford de tip feedforward este într-o problemă de control a unui robot și este discutată în [72].

În cele ce urmează, urmărind îndeosebi teza lui Buchholz [48], cât și capitole din cartea [241], vom face o introducere în recent dezvoltata teorie a rețelelor neuronale bazate pe algebre Clifford.

Motivația introducerii acestui tip de rețele este una dublă. Pe de o parte, există ideea clară de a generaliza din planul real, în planul complex, hiperbolic, cuaternionic și în final în planul Clifford, deoarece aceste algebre sunt extensiile naturale ale numerelor reale și complexe. Pe de altă parte, pentru a vedea dacă extinderea rețelelor neuronale la algebre multidimensionale nu rezultă într-o reprezentare mai compactă a unor spații de semnale, dând astfel un model mai puternic și cu performanțe mai bune decât cel clasic.

Ideea generală a acestor rețele, menționată și în cazul rețelelor cu valori complexe și cuaternionice, este aceea de a putea procesa semnale multidimensionale care ar putea apărea în diverse domenii folosind mai puțini neuroni Clifford în loc de mai mulți neuroni reali, ținând cont și de forma naturală în care apar aceste semnale. În anumite situații, este evident din contextul problemei care dintre algebrele Clifford trebuie folosită, însă în alte cazuri alegerea s-ar putea să nu fie atât de clară. Din acest motiv, trebuie făcute experimente cu diferite algebre Clifford, de exemplu de aceeași dimensiune, pentru a vedea care este cea mai potrivită pentru problema în cauză.

Aceasta constituie o motivație în plus pentru a studia acest tip de rețele. Exact după cum se experimentează cu diverse arhitecturi de rețele, la fel s-ar putea experimenta cu diverse configurații ale algebrei pe care este definită rețeaua neuronală, pentru a alege pe cea care are cele mai bune performanțe și cele mai potrivite caracteristici pentru respectiva aplicație.

Pentru început, vom introduce succesiv noțiunile necesare definirii unei algebre Clifford.

O *algebră reală* este un spațiu liniar real  $(\mathcal{A}, +, \cdot)$  înzestrat cu un produs bilinear  $\otimes$ ,  $\otimes : \mathcal{A} \times \mathcal{A} \rightarrow \mathcal{A}$ ,  $(a, b) \mapsto a \otimes b$ . O algebră reală este deci perechea  $((\mathcal{A}, +, \cdot), \otimes)$ .

Deoarece vom folosi doar algebre reale, în continuare vom folosi termenul simplu de algebră cu înțelesul de algebră reală. De asemenea, dacă nu există pericol de confuzie, vom nota  $a \otimes b$  cu  $ab$ .

O algebră  $((\mathcal{A}, +, \cdot), \otimes)$  se numește:

(i) *asociativă*, dacă are loc  $(a \otimes b) \otimes c = a \otimes (b \otimes c), \forall a, b, c \in \mathcal{A}$ .

(ii) *comutativă*, dacă are loc  $a \otimes b = b \otimes a, \forall a, b, c \in \mathcal{A}$ .

(iii) *cu element neutru*, dacă  $\exists 1 \in \mathcal{A}$ , astfel încât are loc  $a \otimes 1 = 1 \otimes a = a, \forall a \in \mathcal{A}$ .

Biliniaritatea produsului unei algebre are două consecințe importante, date mai jos. Prima va fi folosită mult în cele de mai jos.

**Propoziția 1.** Pentru orice algebră  $((\mathcal{A}, +, \cdot), \otimes)$ , produsul  $\otimes$  este unic determinat de produsele dintre elementele unei baze a lui  $\mathcal{A}$ .

A doua specifică legătura dintre algebre și inele.

**Propoziția 2.** Orice algebră  $((\mathcal{A}, +, \cdot), \otimes)$  este distributivă conform definiției, sau altfel spus,  $(\mathcal{A}, +, \otimes)$  este un inel.

Două algebre finit dimensionale  $\mathcal{A}$  și  $\mathcal{B}$  sunt izomorfe dacă sunt izomorfe ca inele, și scriem  $\mathcal{A} \simeq \mathcal{B}$ , adică există o aplicație bijectivă  $\varphi : \mathcal{A} \rightarrow \mathcal{B}$ , care satisface, pentru orice  $a, b \in \mathcal{A}$ , relațiile:

(i)  $\varphi(a +_{\mathcal{A}} b) = \varphi(a) +_{\mathcal{B}} \varphi(b)$ ,

(ii)  $\varphi(a \otimes_{\mathcal{A}} b) = \varphi(a) \otimes_{\mathcal{B}} \varphi(b)$ .

Se poate defini și un produs tensorial de algebre:

Fie  $\mathcal{A}$  o algebră asociativă cu element neutru. Dacă există două subalgebre  $\mathcal{B}$  și  $\mathcal{C}$  a lui  $\mathcal{A}$  astfel încât:

- (i)  $b \otimes c = c \otimes b, \forall b \in \mathcal{B}, \forall c \in \mathcal{C}$ ,
- (ii)  $\mathcal{A}$  este generată ca algebră de  $\mathcal{B}$  și  $\mathcal{C}$ ,
- (iii)  $\dim \mathcal{A} = \dim \mathcal{B} \cdot \dim \mathcal{C}$ ,

atunci  $\mathcal{A}$  este *produsul tensorial* dintre  $\mathcal{B}$  și  $\mathcal{C}$ , și scriem  $\mathcal{A} = \mathcal{B} \otimes \mathcal{C}$ .

Fie  $X$  un spațiu linear real înzestrat cu un produs scalar, adică cu o formă simetrică biliniară  $F : X \times X \rightarrow \mathbb{R}$ ,  $(a, b) \mapsto a \cdot b$ . Atunci aplicația  $Q : X \rightarrow \mathbb{R}$ ,  $a \mapsto a \cdot a$  se numește *forma pătratică* a lui  $F$ . Mai mult, perechea  $(X, Q)$  se numește *spațiu pătratic real*.

Se observă că  $Q$  este unic determinată de către  $F$  și viceversa, deoarece

$$F(a, b) = \frac{1}{2}(Q(a + b) - Q(a) - Q(b)). \quad (2.4.1)$$

Orice spațiu pătratic real finit dimensional posedă o bază specială, după cum rezultă din propoziția de mai jos:

**Propoziția 3.** Fie  $(X, Q)$  un spațiu pătratic real  $n$ -dimensional. Atunci există o bază  $\{e_1, \dots, e_n\}$  a lui  $(X, Q)$  și numerele unic determinate  $p, q, r \in \{0, \dots, n\}$ , astfel încât, pentru orice  $i, j \in \{1, \dots, n\}$ , următoarele condiții sunt îndeplinite:

- (i)  $Q(e_i) = \begin{cases} 1 & 1 \leq i \leq p \\ -1 & p + 1 \leq i \leq p + q \\ 0 & p + q + 1 \leq i \leq p + q + r = n \end{cases}$ ,
- (ii)  $Q(e_i + e_j) - Q(e_i) - Q(e_j) = 0$ .

O bază care are proprietățile de mai sus se numește *bază ortonormată* a lui  $(X, Q)$ , iar tripletul  $(p, q, r)$  se numește *signatura* lui  $(X, Q)$ .

Se poate face o diferențiere între spațiile pătratice pornind de la valorile lui  $r$ . Un spațiu pătratic real finit dimensional  $(X, Q)$  se numește *degenerat* dacă există  $a \in X$  astfel încât  $Q(a) = 0$ , și *nede degenerat* în caz contrar. Se poate demonstra că dacă  $r = 0$ , atunci spațiul este nede degenerat, iar dacă  $r \neq 0$ , atunci el este degenerat.

Particularizând, pentru  $X = \mathbb{R}^{p+q+r}$ , obținem *spațiul pătratic standard*.

Pentru orice  $p, q, r \in \{0, \dots, n\}$  definim produsul scalar

$$F : \mathbb{R}^{p+q+r} \times \mathbb{R}^{p+q+r} \rightarrow \mathbb{R}, (a, b) \mapsto \sum_{i=1}^p a_i b_i - \sum_{i=p+1}^{p+q} a_i b_i.$$

Spațiul pătratic real standard corespunzător acestui produs scalar este  $(\mathbb{R}^{p+q+r}, Q)$ , care va fi notat  $\mathbb{R}^{p,q,r}$ .

Suntem acum pregătiți să dăm definiția unei algebre Clifford.

*Algebra universală Clifford*  $Cl_{p,q,r}$  a lui  $\mathbb{R}^{p,q,r}$  este unica algebră asociativă  $2^{p+q+r}$ -dimensională cu element unitate  $1_{\mathbb{R}}$ , care satisface următoarele proprietăți:

- (i)  $Cl_{p,q,r}$  este generată ca algebră de către subspațiile sale distincte  $\mathbb{R}$  și  $\mathbb{R}^{p,q,r}$ ,
- (ii)  $x \otimes_{p,q,r} x = xx = Q(x) \cdot 1_{\mathbb{R}}, \forall x \in \mathbb{R}^{p,q,r}$ .

Deoarece fiecare algebră Clifford este o algebră reală asociativă prin definiție, are loc următoarea teoremă importantă:

**Teorema 1.** *Orice algebră Clifford este izomorfă cu o algebră de matrici.*

Deoarece vom folosi doar algebrele universale,  $Cl_{p,q,r}$  acest atribut nu va mai fi menționat. De asemenea, dacă  $r = 0$ , vom folosi notațiile mai scurte  $Cl_{p,q}$  și  $\otimes_{p,q}$ .

În cele ce urmează vom specifica o bază a algebrelor  $Cl_{p,q,r}$ . Să notăm

$$\mathcal{I} = \{\{i_1, \dots, i_s\} \in \mathcal{P}(\{1, \dots, n\}) \mid 1 \leq i_1 < \dots < i_s \leq n\}, \quad (2.4.2)$$

unde  $\mathcal{P}(\{1, \dots, n\})$  este mulțimea părților lui  $\{1, \dots, n\}$ , iar  $n = p + q + r$ .

Acum, dacă  $\{e_1, \dots, e_n\}$  este o bază ortonormată a lui  $\mathbb{R}^{p,q,r}$ , atunci, pentru orice  $I \in \mathcal{I}$  definim

$$e_I := e_{i_1} \cdots e_{i_s}, \quad (2.4.3)$$

unde între elementele bazei avem produsul  $\otimes_{p,q,r}$  scris prescurtat prin juxtapunere. În particular,  $e_\emptyset := 1_{\mathbb{R}}$ . În cele ce urmează, când nu este pericol de confuzie, vom nota  $e_I = e_{\{i_1, \dots, i_s\}}$  cu  $e_{i_1 \dots i_s}$ . Putem demonstra acum următoarea propoziție:

**Propoziția 4.** *Dacă  $\{e_1, \dots, e_n\}$  este o bază ortonormată a lui  $\mathbb{R}^{p,q,r}$ , atunci  $\{e_I \mid I \in \mathcal{I}\}$ , unde  $\mathcal{I}$  este definit ca mai sus, este o bază pentru algebra Clifford  $Cl_{p,q,r}$ . În particular, orice element din  $Cl_{p,q,r}$ , numit multivector, poate fi scris ca*

$$x = \sum_{I \in \mathcal{I}} x_I e_I, \quad (2.4.4)$$

unde  $x_I \in \mathbb{R}, \forall I \in \mathcal{I}$ .

Se observă ușor că baza este formată din  $2^n = 2^{p+q+r}$  vectori, ceea ce este consistent cu faptul că algebrele Clifford  $Cl_{p,q,r}$  au dimensiune  $2^{p+q+r}$ . Acei vectori pentru care  $|I| = k$ , unde  $k \in \{0, \dots, n\}$  se numesc  $k$ -vectori și generează subspații ale lui  $Cl_{p,q,r}$ .

Dacă  $\{e_1, \dots, e_n\}$  este o bază ortonormată a lui  $\mathbb{R}^{p,q,r}$ , atunci, pentru orice  $k \in \{0, \dots, n\}$ , mulțimea

$$\{e_I \mid I \in \mathcal{I}, |I| = k\} \quad (2.4.5)$$

generează un subspațiu liniar al algebrei  $Cl_{p,q,r}$ , notat  $Cl_{p,q,r}^k$ , ale cărui elemente se numesc  $k$ -vectori.

Este clar că

$$Cl_{p,q,r} = \bigoplus_{k=0}^n Cl_{p,q,r}^k, \quad (2.4.6)$$

unde am notat prin  $\bigoplus$  suma directă de subspații. Este evident și că  $Cl_{p,q,r}^0 = \mathbb{R}$  și  $Cl_{p,q,r}^1 = \mathbb{R}^{p,q,r}$ . Fiecare subspațiu  $Cl_{p,q,r}^k$  este de dimensiune  $C_n^k$ . Toate subspațiile de dimensiune pară ale lui  $Cl_{p,q,r}$  formează o subalgebră:

**Propoziția 5.** *Suma directă definită prin*

$$Cl_{p,q,r}^+ := \bigoplus_{k=0}^{\lfloor \frac{n}{2} \rfloor} Cl_{p,q,r}^{2k} \quad (2.4.7)$$

este o subalgebră a lui  $Cl_{p,q,r}$  de dimensiune  $2^{n-1}$ , numită subalgebra pară a lui  $Cl_{p,q,r}$ .



Putem defini, pentru orice  $k \in \{0, \dots, n\}$ , următorul operator de gradare:

$$\langle \cdot \rangle_k : C\ell_{p,q,r} \rightarrow C\ell_{p,q,r}^k, x \mapsto \sum_{\substack{I \in \mathcal{I} \\ |I|=k}} x_I e_I. \quad (2.4.8)$$

Folosind acest operator, orice multivector din  $C\ell_{p,q,r}$  poate fi scris ca

$$x = \sum_{k=0}^n \langle x \rangle_k. \quad (2.4.9)$$

Un automorfism  $f$  de algebră  $\mathcal{A}$  este *involuție* dacă și numai dacă  $f^2 = 1_{\mathcal{A}}$ .

Pentru algebrele Clifford nedegenerate  $C\ell_{p,q}$  se pot defini trei automorfisme importante, care sunt și involuții:

- (i) Inversiune  $\tilde{\cdot} : C\ell_{p,q} \rightarrow C\ell_{p,q}, x \mapsto \sum_{k=0}^n (-1)^k \langle x \rangle_k$ ,
- (ii) Reversiune  $\hat{\cdot} : C\ell_{p,q} \rightarrow C\ell_{p,q}, x \mapsto \sum_{k=0}^n (-1)^{\frac{k(k-1)}{2}} \langle x \rangle_k$ ,
- (ii) Conjugare  $\bar{\cdot} : C\ell_{p,q} \rightarrow C\ell_{p,q}, x \mapsto \sum_{k=0}^n (-1)^{\frac{k(k+1)}{2}} \langle x \rangle_k$ .

În cele ce urmează vom introduce rețele neuronale cu valori din  $C\ell_{p,q}$ . Să presupunem că avem o rețea neuronală cu valori Clifford de tip feedforward, total conectată, care are  $L$  straturi, unde stratul 1 este stratul de intrare, stratul  $L$  este stratul de ieșire, iar straturile notate cu  $\{2, \dots, L-1\}$  sunt straturi ascunse. Funcția de eroare  $E : (C\ell_{p,q})^N \rightarrow \mathbb{R}$  pentru o asemenea rețea este definită prin

$$E(\mathbf{w}) = \frac{1}{2} \sum_{i=1}^c \|y_i^L - t_i\|^2, \quad (2.4.10)$$

unde  $\|y\|$  reprezintă norma euclidiană a lui  $y$ .  $\mathbf{y}^L = (y_i^L)_{1 \leq i \leq c} \in (C\ell_{p,q})^c$  sunt ieșirile rețelei,  $\mathbf{t} = (t_i)_{1 \leq i \leq c} \in (C\ell_{p,q})^c$  sunt ieșirile dorite (target-urile) ale rețelei, iar  $\mathbf{w} \in (C\ell_{p,q})^N$  este vectorul tuturor celor  $N$  ponderi și bias-uri ale rețelei.

Dacă notăm cu  $w_{jk}^l \in C\ell_{p,q}$  ponderea care leagă neuronul  $j$  din stratul  $l$  de neuronul  $k$  din stratul  $l-1$ , pentru orice  $l \in \{2, \dots, L\}$ , putem defini pasul de actualizare al ponderii  $w_{jk}^l$  în epoca  $t$  ca fiind

$$\Delta w_{jk}^l(t) = w_{jk}^l(t+1) - w_{jk}^l(t).$$

Cu această notație, pentru metoda gradient, regula de actualizare pentru ponderea  $w_{jk}^l$  este

$$\Delta w_{jk}^l(t) = -\varepsilon \sum_{A \in \mathcal{I}} \frac{\partial E}{\partial [w_{jk}^l]_A}(t) e_A,$$

unde  $\varepsilon$  este un număr real care reprezintă rata de învățare, unde  $\frac{\partial E}{\partial [w_{jk}^l]_A}(t)$  reprezintă derivata parțială a funcției  $E$  în raport cu fiecare componentă  $[w_{jk}^l]_A$  a numărului Clifford  $w_{jk}^l$ , cu  $A \in \mathcal{I}$ .

Scris sub formă vectorială, pasul de actualizare devine

$$\Delta \mathbf{w}(t) = \mathbf{w}(t+1) - \mathbf{w}(t),$$

unde  $\mathbf{w} \in (C\ell_{p,q})^N$  este vectorul celor  $N$  ponderi și bias-uri ale rețelei, definit mai sus. Regula de actualizare pentru metoda gradient devine acum:

$$\Delta \mathbf{w}(t) = -\varepsilon \nabla E(t),$$

unde  $\nabla E(t) := \nabla E(\mathbf{w}(t)) \in (C\ell_{p,q})^N$ , este gradientul funcției  $E$ , ale cărui componente  $\sum_{A \in \mathcal{I}} \frac{\partial E}{\partial [w_{jk}^l]_A}(\mathbf{w}(t)) e_A$  au fost scrise prescurtat mai sus sub forma  $\sum_{A \in \mathcal{I}} \frac{\partial E}{\partial [w_{jk}^l]_A}(t) e_A$ . Prin urmare, pentru a minimiza funcția de eroare  $E$  pentru metoda gradient, avem nevoie să calculăm derivatele parțiale de forma  $\frac{\partial E}{\partial [w_{jk}^l]_A}$ , pentru  $A \in \mathcal{I}$ .

Pentru aceasta, facem notațiile

$$s_j^l := \sum_k w_{jk}^l \otimes_{p,q} x_k^{l-1}, \quad (2.4.11)$$

$$y_j^l := G^l(s_j^l), \quad (2.4.12)$$

unde (2.4.11) ne spune că înmulțirea de la rețelele neuronale cu valori reale este înlocuită cu înmulțirea Clifford,  $G^l$  este funcția de activare a stratului  $l \in \{2, \dots, L\}$ ,  $\mathbf{x}^1 = (x_k^1)_{1 \leq k \leq d} \in (C\ell_{p,q})^d$  sunt intrările rețelei, și avem că  $x_k^l = y_k^{l-1}, \forall l \in \{2, \dots, L-1\}, \forall k$ . Funcția de activare este considerată a fi definită pe componente. De pildă, pentru numărul Clifford  $x = \sum_{I \in \mathcal{I}} [x]_I e_I \in C\ell_{p,q}$ , un exemplu de funcție de activare este funcția tangentă hiperbolică pe componente definită prin

$$G\left(\sum_{I \in \mathcal{I}} [x]_I e_I\right) = \sum_{I \in \mathcal{I}} (\tanh[x]_I) e_I.$$

Vom începe cu actualizarea pentru ponderile dintre penultimul strat ascuns  $L-1$  și stratul de ieșire  $L$ , care este dată prin

$$\Delta w_{jk}^L(t) = -\varepsilon \sum_{A \in \mathcal{I}} \frac{\partial E}{\partial [w_{jk}^L]_A}(t) e_A.$$

Folosind regula înlănțuirii, putem scrie următorul set de relații:

$$\frac{\partial E}{\partial [w_{jk}^L]_A} = \sum_{B \in \mathcal{I}} \frac{\partial E}{\partial [s_j^L]_B} \frac{\partial [s_j^L]_B}{\partial [w_{jk}^L]_A}, \quad (2.4.13)$$

pentru orice  $A \in \mathcal{I}$ .

Ne vom ocupa mai întâi de  $\frac{\partial [s_j^L]_B}{\partial [w_{jk}^L]_A}$ . Astfel, avem,  $\forall A, B \in \mathcal{I}$ , că

$$\frac{\partial [s_j^L]_B}{\partial [w_{jk}^L]_A} = \frac{\partial [\sum_k w_{jk}^L \otimes_{p,q} x_k^{L-1}]_B}{\partial [w_{jk}^L]_A} = \frac{\partial [w_{jk}^L \otimes_{p,q} x_k^{L-1}]_B}{\partial [w_{jk}^L]_A}. \quad (2.4.14)$$

Folosind faptul că

$$w_{jk}^L \otimes_{p,q} x_k^{L-1} = \sum_{C, D \in \mathcal{I}} [w_{jk}^L]_C [x_k^{L-1}]_D e_C e_D, \quad (2.4.15)$$

conchidem că ecuația (2.4.14) se poate scrie

$$\begin{aligned} \frac{\partial[w_{jk}^L \otimes_{p,q} x_k^{L-1}]_B}{\partial[w_{jk}^L]_A} &= \frac{\partial[\sum_{C,D \in \mathcal{I}} [w_{jk}^L]_C [x_k^{L-1}]_D e_C e_D]_B}{\partial[w_{jk}^L]_A} \\ &= \frac{\partial(\sum_{\substack{C,D \in \mathcal{I} \\ \kappa_{C,D} e_C e_D = e_B}} \kappa_{C,D} [w_{jk}^L]_C [x_k^{L-1}]_D)}{\partial[w_{jk}^L]_A} \\ &= \kappa_{A,D} [x_k^{L-1}]_D, \text{ unde } \kappa_{A,D} e_A e_D = e_B, \kappa_{A,D} \in \{\pm 1\}. \end{aligned}$$

Am obținut prin urmare

$$\frac{\partial[s_j^L]_B}{\partial[w_{jk}^L]_A} = \kappa_{A,D} [x_k^{L-1}]_D, \text{ unde } \kappa_{A,D} e_A e_D = e_B,$$

de unde relația (2.4.13) se poate scrie sub forma

$$\frac{\partial E}{\partial[w_{jk}^L]_A} = \sum_{\substack{B \in \mathcal{I} \\ \kappa_{A,D} e_A e_D = e_B}} \frac{\partial E}{\partial[s_j^L]_B} \kappa_{A,D} [x_k^{L-1}]_D. \quad (2.4.16)$$

Mai departe, cu notația  $\delta_j^L := \frac{\partial E}{\partial s_j^L}$ , avem din regula înlănțuirii că

$$[\delta_j^L]_B = \frac{\partial E}{\partial[s_j^L]_B} = \sum_{E \in \mathcal{I}} \frac{\partial E}{\partial[y_j^L]_E} \frac{\partial[y_j^L]_E}{\partial[s_j^L]_B},$$

$\forall B \in \mathcal{I}$ , sau, ținând seama de notația (2.4.12) și de expresia pentru funcția de eroare (2.4.10), că

$$\begin{aligned} [\delta_j^L]_B &= \sum_{E \in \mathcal{I}} ([y_j^L]_E - [t_j]_E) \frac{\partial[G^L(s_j^L)]_E}{\partial[s_j^L]_B} \\ &= ([y_j^L]_B - [t_j]_B) \frac{\partial[G^L(s_j^L)]_B}{\partial[s_j^L]_B}, \end{aligned}$$

$\forall B \in \mathcal{I}$ , deoarece  $[G^L(s_j^L)]_E$  depinde de  $[s_j^L]_B$  doar pentru  $E = B$ , ceea ce înseamnă că  $\frac{\partial[G^L(s_j^L)]_E}{\partial[s_j^L]_B} = 0, \forall E \neq B$ . Dacă notăm cu  $\odot$  înmulțirea pe componente a două numere Clifford, relația de mai sus ne dă

$$\delta_j^L = (y_j^L - t_j) \odot \frac{\partial G^L(s_j^L)}{\partial s_j^L}, \quad (2.4.17)$$

unde  $\frac{\partial G^L(s_j^L)}{\partial s_j^L}$  este numărul Clifford al derivatei pe componente a funcției de activare  $G^L$ . De exemplu, dacă  $x = \sum_{I \in \mathcal{I}} [x]_I e_I$ , atunci

$$\frac{\partial G(x)}{\partial x} = \sum_{I \in \mathcal{I}} (\text{sech}^2[x]_I) e_I,$$

cu funcția  $G$  definită ca în exemplul de mai sus. În final, din ecuația (2.4.16), obținem expresia pentru actualizarea dorită:

$$\Delta w_{jk}^L(t) = -\varepsilon \delta_j^L \otimes_{p,q} (x_k^{L-1})^*,$$

unde numărul Clifford  $\delta_j^L \in C_{p,q}^L$  este dat de relația (2.4.17), și  $x^*$  reprezintă conjugatul Clifford al numărului Clifford  $x$ , operația de conjugare fiind cea definită mai sus.

Acum, vom calcula actualizarea pentru o pondere arbitrară  $w_{jk}^l$ , unde  $l \in \{2, \dots, L-1\}$ . În primul rând, aceasta este dată prin

$$\Delta w_{jk}^l(t) = -\varepsilon \sum_{A \in \mathcal{I}} \frac{\partial E}{\partial [w_{jk}^l]_A} e_A,$$

iar apoi, regula înlănțuirii ne dă

$$\frac{\partial E}{\partial [w_{jk}^l]_A} = \sum_{B \in \mathcal{I}} \frac{\partial E}{\partial [s_j^l]_B} \frac{\partial [s_j^l]_B}{\partial [w_{jk}^l]_A}, \forall A \in \mathcal{I}. \quad (2.4.18)$$

Aplicând din nou regula înlănțuirii, obținem

$$\frac{\partial E}{\partial [s_j^l]_B} = \sum_r \sum_{C \in \mathcal{I}} \frac{\partial E}{\partial [s_r^{l+1}]_C} \frac{\partial [s_r^{l+1}]_C}{\partial [s_j^l]_B}, \forall B \in \mathcal{I}, \quad (2.4.19)$$

unde suma se ia după toți neuronii  $r$  din stratul  $l+1$  către care neuronul  $j$  din stratul  $l$  trimite legături. Apoi, cu aceeași regulă, avem că

$$\frac{\partial [s_r^{l+1}]_C}{\partial [s_j^l]_B} = \sum_{D \in \mathcal{I}} \frac{\partial [s_r^{l+1}]_C}{\partial [y_j^l]_D} \frac{\partial [y_j^l]_D}{\partial [s_j^l]_B}, \forall B, C \in \mathcal{I}.$$

Ca mai sus, avem,  $\forall A, B \in \mathcal{I}$ , că

$$\frac{\partial [s_r^{l+1}]_C}{\partial [y_j^l]_D} = \frac{\partial [\sum_j w_{rj}^{l+1} \otimes_{p,q} y_j^l]_C}{\partial [y_j^l]_D} = \frac{\partial [w_{rj}^{l+1} \otimes_{p,q} y_j^l]_C}{\partial [y_j^l]_D}. \quad (2.4.20)$$

Din

$$w_{rj}^{l+1} \otimes_{p,q} y_j^l = \sum_{E, F \in \mathcal{I}} [w_{rj}^{l+1}]_E [y_j^l]_F e_E e_F, \quad (2.4.21)$$

rezultă că ecuația (2.4.20) se poate scrie

$$\begin{aligned} \frac{\partial [s_r^{l+1}]_C}{\partial [y_j^l]_D} &= \frac{\partial [\sum_{E, F \in \mathcal{I}} [w_{rj}^{l+1}]_E [y_j^l]_F e_E e_F]_C}{\partial [y_j^l]_D} \\ &= \frac{\partial (\sum_{\substack{E, F \in \mathcal{I} \\ \kappa_{E, F} e_E e_F = e_C}} \kappa_{E, F} [w_{rj}^{l+1}]_E [y_j^l]_F)}{\partial [y_j^l]_D} \\ &= \kappa_{E, D} [w_{rj}^{l+1}]_E, \text{ unde } \kappa_{E, D} e_E e_D = e_C. \end{aligned}$$

Deci

$$\frac{\partial [s_r^{l+1}]_C}{\partial [y_j^l]_D} = \kappa_{E, D} [w_{rj}^{l+1}]_E, \text{ unde } \kappa_{E, D} e_E e_D = e_C.$$

și apoi

$$\begin{aligned} \frac{\partial[s_r^{l+1}]_C}{\partial[s_j^l]_B} &= \sum_{\substack{D \in \mathcal{I} \\ \kappa_{E,D} e_{EeD} = e_C}} \kappa_{E,D} [w_{rj}^{l+1}]_E \frac{\partial[G^l(s_j^l)]_D}{\partial[s_j^l]_B} \\ &= \kappa_{E,B} [w_{rj}^{l+1}]_E \frac{\partial[G^l(s_j^l)]_B}{\partial[s_j^l]_B}, \text{ unde } \kappa_{E,B} e_{EeB} = e_C, \end{aligned}$$

$\forall B, C \in \mathcal{I}$ , unde din nou am ținut cont de faptul că  $\frac{\partial[G^l(s_j^l)]_D}{\partial[s_j^l]_B} = 0, \forall D \neq B$ . Revenind înapoi în ecuația (2.4.19), avem

$$\begin{aligned} \frac{\partial E}{\partial[s_j^l]_B} &= \sum_r \sum_{\substack{C \in \mathcal{I} \\ \kappa_{E,B} e_{EeB} = e_C}} \frac{\partial E}{\partial[s_r^{l+1}]_C} \kappa_{E,B} [w_{rj}^{l+1}]_E \frac{\partial[G^l(s_j^l)]_B}{\partial[s_j^l]_B} \\ &= \sum_r \left( \sum_{\substack{C \in \mathcal{I} \\ \kappa_{E,B} e_{EeB} = e_C}} \kappa_{E,B} [w_{rj}^{l+1}]_E \frac{\partial E}{\partial[s_r^{l+1}]_C} \right) \frac{\partial[G^l(s_j^l)]_B}{\partial[s_j^l]_B} \\ &= \sum_r [(w_{rj}^{l+1})^* \otimes_{p,q} \delta_r^{l+1}]_B \frac{\partial[G^l(s_j^l)]_B}{\partial[s_j^l]_B}, \end{aligned}$$

$\forall B \in \mathcal{I}$ , unde, din nou,  $\delta_j^l := \frac{\partial E}{\partial[s_j^l]}$ . Acum, putem scrie relația de mai sus sub forma

$$\delta_j^l = \left( \sum_r (w_{rj}^{l+1})^* \otimes_{p,q} \delta_r^{l+1} \right) \odot \frac{\partial G^l(s_j^l)}{\partial s_j^l}, \quad (2.4.22)$$

unde  $\odot$  este înmulțirea pe componente a două numere Clifford, ca mai sus.

Apoi, ținând cont că

$$\frac{\partial[s_j^l]_B}{\partial[w_{jk}^l]_A} = \kappa_{A,D} [x_k^{l-1}]_D, \text{ unde } \kappa_{A,D} e_{AeD} = e_B,$$

relația (2.4.18) devine

$$\begin{aligned} \frac{\partial E}{\partial[w_{jk}^l]_A} &= \sum_{\substack{B \in \mathcal{I} \\ \kappa_{A,D} e_{AeD} = e_B}} \frac{\partial E}{\partial[s_j^l]_B} \kappa_{A,D} [x_k^{l-1}]_D \\ &= [\delta_j^l \otimes_{p,q} (x_k^{l-1})^*]_A, \end{aligned}$$

unde  $\delta_j^l := \frac{\partial E}{\partial s_j^l}$ , ca mai sus.

În final am obținut o formulă de calcul pentru actualizarea ponderii  $w_{jk}^l$  asemănătoare cu cea din primul caz tratat, și anume

$$\Delta w_{jk}^l(t) = -\varepsilon \delta_j^l \otimes_{p,q} (x_k^{l-1})^*.$$

Avem deci următoarea formulă pentru actualizarea ponderii  $w_{jk}^l$ :

$$\Delta w_{jk}^l(t) = -\varepsilon \delta_j^l \otimes_{p,q} (x_k^{l-1})^*, \forall l \in \{2, \dots, L\},$$

unde

$$\delta_j^l = \begin{cases} (\sum_r (w_{rj}^{l+1})^* \otimes_{p,q} \delta_r^{l+1}) \odot \frac{\partial G^l(s_j^l)}{\partial s_j^l}, & l \leq L-1 \\ (y_j^l - t_j) \odot \frac{\partial G^l(s_j^l)}{\partial s_j^l}, & l = L \end{cases}.$$

## 2.5 Concluzii

Prezentul capitol este dedicat introducerii în stadiul actual al cercetării în domeniul rețelelor neuronale Clifford de tip feedforward. Astfel,

- Secțiunea 2.1 prezintă **rețelele neuronale cu valori complexe**. După o scurtă introducere în istoria rețelelor neuronale cu valori complexe și o prezentare a progreselor făcute în acest domeniu în ultimii ani, precum și a aplicațiilor acestui tip de rețele, am făcut o descriere a mulțimii numerelor complexe privită din mai multe perspective. Apoi am discutat principalele probleme ale calculului diferențial pe această mulțime și am arătat diferența dintre neuronul complex și neuronul real. În final, am dedus algoritmul backpropagation pentru rețelele neuronale cu valori complexe de tip feedforward, folosind derivate parțiale reale.
- Secțiunea 2.2 introduce **rețelele neuronale cu valori hiperbolice**. O generalizare diferită de dimensiune doi a mulțimii numerelor reale, mulțimea numerelor hiperbolice a fost introdusă prin mai multe definiții echivalente, după evidențierea principalelor contribuții în domeniul rețelelor neuronale hiperbolice. Apoi am prezentat algoritmul backpropagation pentru rețelele neuronale cu valori hiperbolice de tip feedforward, folosind singurul tip de calcul diferențial posibil pe mulțimea numerelor hiperbolice în acest context, și anume cel cu derivate parțiale reale.
- În Secțiunea 2.3, am făcut o prezentare succintă a **rețelelor neuronale cu valori cuaternionice**. Mulțimea numerelor cuaternionice este o generalizare de dimensiune patru a mulțimii numerelor reale, fiind prima dintre mulțimile discutate în care înmulțirea definită nu este comutativă. La început, am prezentat cele mai importante contribuții în domeniul rețelelor cu valori cuaternionice, evidențind de asemenea și aplicațiile acestui tip de rețele. Și cuaternionii pot fi definiți în mai multe feluri echivalente, pe care le-am prezentat în această secțiune. Apoi am introdus rețelele neuronale cu valori cuaternionice de tip feedforward, pentru care am arătat deducerea completă a algoritmului de învățare backpropagation. Calculul diferențial a presupus patru derivate parțiale diferite pentru fiecare funcție definită pe mulțimea numerelor cuaternionice, câte una pentru fiecare din cele patru componente reale ale unui astfel de număr.
- În fine, Secțiunea 2.4 prezintă generalizarea tuturor acestor tipuri de rețele, și anume rețelele neuronale cu valori în algebre Clifford, sau **rețelele neuronale Clifford**. Datorită faptului că definiția unei algebre Clifford este mai dificilă decât în cazurile discutate anterior, am prezentat pas cu pas etapele necesare construirii unei astfel de algebre. După ce am definit algebra Clifford, am enumerat succint contribuțiile și aplicațiile existente la ora actuală în acest domeniu, iar apoi am introdus rețelele neuronale Clifford de tip feedforward. Algoritmul backpropagation a fost dedus și pentru aceste rețele, folosind tot calculul diferențial real, și fiind o generalizare a tuturor algoritmilor de acest tip prezentați în secțiunile anterioare.

## Capitolul 3

# Algoritmi de învățare pentru rețele neuronale cu valori complexe

Prezentul capitol este dedicat deducerii complete a algoritmilor pentru antrenarea rețelelor neuronale de tip feedforward cu valori complexe. Motivul pentru care au fost introduși toți acești algoritmi este acela că s-a demonstrat în cazul real că nu există un algoritm sau o clasă de algoritmi care să fie mai bun decât toți ceilalți indiferent de aplicație. Astfel, punem la dispoziția celor interesați o paletă largă de algoritmi, din care, în urma experimentelor, se pot alege cei mai potriviți și cu cea mai bună performanță pentru o anumită problemă.

Secțiunea 3.1 face o introducere în calculul diferențial Wirtinger sau calculul diferențial  $\mathbb{C}\mathbb{R}$ , care este standardul în literatură pentru lucrul cu rețele neuronale cu valori complexe. Sunt prezentate pas cu pas, toate noțiunile care vor fi folosite pe parcursul capitolului pentru a deduce algoritmi de învățare propuși.

Secțiunea 3.2 prezintă metoda gradient folosind algoritmul de tip backpropagation, însă de această dată bazat pe calculul Wirtinger, spre deosebire de Secțiunea 2.1, care a prezentat același algoritm folosind derivate parțiale reale.

Următoarea secțiune, Secțiunea 3.3, introduce metodele gradient îmbunătățite: metoda gradient cu moment, metoda quickprop, metoda resilient backpropagation, metoda delta-bar-delta și metoda SuperSAB. Cu excepția primei și a celei de-a treia, toate aceste metode sunt deduse aici pentru prima oară. Acești algoritmi constituie o excepție față de toți ceilalți din acest capitol, deoarece ei nu pot fi deduși folosind calculul Wirtinger, ci doar derivatele parțiale reale.

După această clasă simplă de algoritmi, Secțiunea 3.4 este dedicată metodei gradientilor conjugați. Prima subsecțiune explică metoda gradientilor conjugați liniară, care stă la baza celei de a doua subsecțiuni, unde sunt deduse expresii pentru metoda gradientilor conjugați cu actualizări Hestenes-Stiefel, metoda gradientilor conjugați cu actualizări Polak-Ribiere, metoda gradientilor conjugați cu actualizări Fletcher-Reeves, metoda gradientilor conjugați cu actualizări Dai-Yuan, variațiile algoritmilor Hestenes-Stiefel și Polak-Ribiere și metoda gradientilor conjugați cu reporniri Powell-Beale.

În continuare, Secțiunea 3.5 introduce o variațiune a metodei gradientilor conjugați, și anume metoda gradientilor conjugați scalați. Aceasta propune două îmbunătățiri ale metodei mai sus menționate, care se vor dovedi foarte importante în cadrul experimentelor.

Cea mai importantă metodă de ordinul doi, metoda Newton, este prezentată în Secțiunea 3.6. Deoarece această metodă presupune calculul explicit al hessianei, un algoritm pentru efectuarea acestui calcul a fost propus într-o subsecțiune a acestei secțiuni, cu o particularizare pentru o rețea cu trei straturi în subsecțiunea următoare.

O simplificare a metodei pornește de la observația că nu este necesar atât calculul hessianei, cât calculul produsului hessianei cu un vector. Astfel, ultima subsecțiune prezintă un algoritm pentru efectuarea acestui calcul.

Deoarece metoda Newton este foarte intensivă computațional, Secțiunea 3.7 introduce o clasă foarte importantă de metode de ordinul doi, care se bazează pe o aproximare a hessianei, și anume metodele quasi-Newton. Astfel, sunt deduse progresiv metoda metoda actualizării de rang unu, metoda Davidon-Fletcher-Powell, metoda Broyden-Fletcher-Goldfarb-Shanno și metoda one step secant.

Pentru completitudine, deși a mai apărut și în altă parte în literatură, Secțiunea 3.8 prezintă metoda de învățare Levenberg-Marquardt.

În final, Secțiunea 3.9 este dedicată concluziilor acestui capitol.

### 3.1 Introducere în calculul Wirtinger sau calculul $\mathbb{C}\mathbb{R}$

Ideile principale ale acestui tip de calcul sunt prezentate în cele ce urmează (a se vedea, spre exemplu, [153]).

Să presupunem că avem o funcție  $f : \mathbb{C} \rightarrow \mathbb{R}$ , care în cazul nostru va fi o funcție de eroare pe care vrem s-o minimizăm. Pentru această funcție, fie  $g : \mathbb{R}^2 \rightarrow \mathbb{R}$  astfel încât  $g(x, y) = f(z)$ , unde  $z = x + iy$ ,  $i = \sqrt{-1}$ , și  $h : \mathbb{C} \times \mathbb{C} \rightarrow \mathbb{R}$ , astfel încât  $h(z, \bar{z}) = f(z)$ , unde  $\bar{z}$  este conjugatul complex al lui  $z$ . De exemplu, dacă  $f_0(z) = z\bar{z} = |z|^2 = x^2 + y^2$ , atunci  $g_0(x, y) = x^2 + y^2$ , și  $h_0(z, \bar{z}) = z\bar{z}$ , unde în acest ultim caz  $z$  și  $\bar{z}$  sunt variabile independente.

Funcția  $f$  nu este derivabilă complex datorită faptului că are valori reale, singurele funcții derivabile complex sau olomorfe cu valori reale fiind cele constante. Prin urmare,  $f$  nu poate avea decât derivate parțiale în funcție de părțile reală și respectiv imaginară ale argumentului complex. Din felul în care a fost definită funcția  $g$ , rezultă că

$$\begin{aligned}\frac{\partial f}{\partial z^R}(z) &= \frac{\partial g}{\partial x}(x, y), \\ \frac{\partial f}{\partial z^I}(z) &= \frac{\partial g}{\partial y}(x, y),\end{aligned}$$

$\forall z = z^R + iz^I = x + iy \in \mathbb{C}$ . Din nou din  $g(x, y) = f(z)$ , rezultă că orice punct de extrem local pentru  $g$  este un punct de extrem local pentru  $f$ . Deci, pentru a minimiza funcția  $f$  este suficient să minimizăm funcția  $g$ .

Pentru funcția  $h$ , definim  $\mathbb{R}$ -derivata parțială prin

$$\frac{\partial h}{\partial z}(z, \bar{z}) := \frac{1}{2} \left( \frac{\partial g}{\partial x}(x, y) - i \frac{\partial g}{\partial y}(x, y) \right) = \frac{1}{2} \left( \frac{\partial f}{\partial z^R}(z) - i \frac{\partial f}{\partial z^I}(z) \right),$$

și  $\mathbb{R}$ -derivata parțială complexă, sau  $\overline{\mathbb{R}}$ -derivata parțială prin

$$\frac{\partial h}{\partial \bar{z}}(z, \bar{z}) := \frac{1}{2} \left( \frac{\partial g}{\partial x}(x, y) + i \frac{\partial g}{\partial y}(x, y) \right) = \frac{1}{2} \left( \frac{\partial f}{\partial z^R}(z) + i \frac{\partial f}{\partial z^I}(z) \right),$$

$\forall z = z^R + iz^I = x + iy \in \mathbb{C}$ . De exemplu, avem că  $\frac{\partial h_0}{\partial z} = \frac{1}{2}(2x - 2iy) = \bar{z}$  și  $\frac{\partial h_0}{\partial \bar{z}} = \frac{1}{2}(2x + 2iy) = z$ , de unde se poate vedea că în cazul  $\mathbb{R}$ -derivatei parțiale îl tratăm pe  $\bar{z}$  ca o constantă și derivăm în funcție de  $z$ , iar pentru  $\overline{\mathbb{R}}$ -derivata parțială îl tratăm pe  $z$  ca o constantă și derivăm în funcție de  $\bar{z}$ .

Să trecem acum la cazul  $N$ -dimensional. Presupunem că avem o funcție  $F : \mathbb{C}^N \rightarrow \mathbb{R}$ , care va fi tot o funcție de eroare în cazul nostru, și pe care vrem să o minimizăm. Pentru această funcție, fie  $G : \mathbb{R}^{2N} \rightarrow \mathbb{R}$  astfel încât  $G(\mathbf{x}, \mathbf{y}) = F(\mathbf{z})$ ,



unde  $\mathbf{z} = (z_1, \dots, z_N)^T \in \mathbb{C}^N$ ,  $\mathbf{x} = (x_1, \dots, x_N)^T \in \mathbb{R}^N$ ,  $\mathbf{y} = (y_1, \dots, y_N)^T \in \mathbb{R}^N$  și  $\mathbf{z} = \mathbf{x} + i\mathbf{y}$ , adică  $z_j = x_j + iy_j$ ,  $\forall j \in \{1, \dots, N\}$ , și  $H : \mathbb{C}^N \times \mathbb{C}^N \rightarrow \mathbb{R}$ , astfel încât  $H(\mathbf{z}, \bar{\mathbf{z}}) = F(\mathbf{z})$ , unde  $\bar{\mathbf{z}} = (\bar{z}_1, \dots, \bar{z}_N)^T \in \mathbb{C}^N$  este conjugatul complex al vectorului  $\mathbf{z} = (z_1, \dots, z_N)^T \in \mathbb{C}^N$ , adică  $\bar{z}_j$  este conjugatul complex al lui  $z_j$ ,  $\forall j \in \{1, \dots, N\}$ .

În acest caz, avem relațiile

$$\frac{\partial F}{\partial z_j^R}(\mathbf{z}) = \frac{\partial G}{\partial x_j}(\mathbf{x}, \mathbf{y}),$$

$$\frac{\partial F}{\partial z_j^I}(\mathbf{z}) = \frac{\partial G}{\partial y_j}(\mathbf{x}, \mathbf{y}),$$

$$\forall z_j = z_j^R + iz_j^I = x_j + iy_j \in \mathbb{C}, \forall j \in \{1, \dots, N\}.$$

Pentru funcția  $H$ ,  $\mathbb{R}$ -derivata parțială în funcție de  $z_j$  este dată de

$$\frac{\partial H}{\partial z_j}(\mathbf{z}, \bar{\mathbf{z}}) = \frac{1}{2} \left( \frac{\partial G}{\partial x_j}(\mathbf{x}, \mathbf{y}) - i \frac{\partial G}{\partial y_j}(\mathbf{x}, \mathbf{y}) \right) = \frac{1}{2} \left( \frac{\partial F}{\partial z_j^R}(\mathbf{z}) - i \frac{\partial F}{\partial z_j^I}(\mathbf{z}) \right),$$

și  $\mathbb{R}$ -derivata parțială complexă, sau  $\bar{\mathbb{R}}$ -derivata parțială în funcție de  $\bar{z}_j$  de

$$\frac{\partial H}{\partial \bar{z}_j}(\mathbf{z}, \bar{\mathbf{z}}) = \frac{1}{2} \left( \frac{\partial G}{\partial x_j}(\mathbf{x}, \mathbf{y}) + i \frac{\partial G}{\partial y_j}(\mathbf{x}, \mathbf{y}) \right) = \frac{1}{2} \left( \frac{\partial F}{\partial z_j^R}(\mathbf{z}) + i \frac{\partial F}{\partial z_j^I}(\mathbf{z}) \right),$$

$$\forall z_j = z_j^R + iz_j^I = x_j + iy_j \in \mathbb{C}, \forall j \in \{1, \dots, N\}.$$

Vom defini acum operatorul gradient pentru funcția  $G$  prin

$$\frac{\partial G}{\partial \mathbf{x}}(\mathbf{x}, \mathbf{y}) = \left( \frac{\partial G}{\partial x_1}(\mathbf{x}, \mathbf{y}), \dots, \frac{\partial G}{\partial x_N}(\mathbf{x}, \mathbf{y}) \right),$$

$$\frac{\partial G}{\partial \mathbf{y}}(\mathbf{x}, \mathbf{y}) = \left( \frac{\partial G}{\partial y_1}(\mathbf{x}, \mathbf{y}), \dots, \frac{\partial G}{\partial y_N}(\mathbf{x}, \mathbf{y}) \right),$$

$$\frac{\partial G}{\partial (\mathbf{x}, \mathbf{y})}(\mathbf{x}, \mathbf{y}) = \left( \frac{\partial G}{\partial \mathbf{x}}(\mathbf{x}, \mathbf{y}), \frac{\partial G}{\partial \mathbf{y}}(\mathbf{x}, \mathbf{y}) \right),$$

$\forall \mathbf{x}, \mathbf{y} \in \mathbb{R}^N$ . Pentru funcția  $H$ , operatorul gradient se definește prin

$$\frac{\partial H}{\partial \mathbf{z}}(\mathbf{z}, \bar{\mathbf{z}}) = \left( \frac{\partial H}{\partial z_1}(\mathbf{z}, \bar{\mathbf{z}}), \dots, \frac{\partial H}{\partial z_N}(\mathbf{z}, \bar{\mathbf{z}}) \right),$$

$$\frac{\partial H}{\partial \bar{\mathbf{z}}}(\mathbf{z}, \bar{\mathbf{z}}) = \left( \frac{\partial H}{\partial \bar{z}_1}(\mathbf{z}, \bar{\mathbf{z}}), \dots, \frac{\partial H}{\partial \bar{z}_N}(\mathbf{z}, \bar{\mathbf{z}}) \right),$$

$$\frac{\partial H}{\partial (\mathbf{z}, \bar{\mathbf{z}})}(\mathbf{z}, \bar{\mathbf{z}}) = \left( \frac{\partial H}{\partial \mathbf{z}}(\mathbf{z}, \bar{\mathbf{z}}), \frac{\partial H}{\partial \bar{\mathbf{z}}}(\mathbf{z}, \bar{\mathbf{z}}) \right),$$

$$\forall \mathbf{z} \in \mathbb{C}^N.$$

În cele ce urmează, vom lucra cu o funcție  $E : \mathbb{C}^N \rightarrow \mathbb{R}$ , care va fi funcția de eroare.

Prin abuz de notație, vom defini  $E : \mathbb{R}^{2N} \rightarrow \mathbb{R}$ ,  $E(\bar{\mathbf{z}}) = E(\mathbf{z})$ , unde  $\bar{\mathbf{z}} = (\mathbf{x}^T, \mathbf{y}^T)^T \in \mathbb{R}^{2N}$ ,  $\mathbf{z} = (z_1, \dots, z_N)^T \in \mathbb{C}^N$ ,  $\mathbf{x} = (x_1, \dots, x_N)^T \in \mathbb{R}^N$ ,  $\mathbf{y} = (y_1, \dots, y_N)^T \in \mathbb{R}^N$  și  $\mathbf{z} = \mathbf{x} + i\mathbf{y}$ , adică  $z_j = x_j + iy_j$ ,  $\forall j \in \{1, \dots, N\}$ , și  $E : \mathbb{C}^{2N} \rightarrow \mathbb{R}$ , astfel încât  $E(\bar{\mathbf{z}}) = E(\mathbf{z})$ , unde  $\bar{\mathbf{z}} = (\mathbf{z}^T, \bar{\mathbf{z}}^T)^T \in \mathbb{C}^{2N}$ , iar  $\bar{\mathbf{z}} = (\bar{z}_1, \dots, \bar{z}_N)^T \in \mathbb{C}^N$  este conjugatul

complex al vectorului  $\mathbf{z} = (z_1, \dots, z_N)^T \in \mathbb{C}^N$ , adică  $\bar{z}_j$  este conjugatul complex al lui  $z_j$ ,  $\forall j \in \{1, \dots, N\}$ . Prin urmare, discriminarea între cele trei funcții se va face în funcție de argument:  $\mathbf{z} \in \mathbb{C}^N$ ,  $\bar{\mathbf{z}} \in \mathbb{R}^{2N}$ ,  $\overset{c}{\mathbf{z}} \in \mathbb{C}^{2N}$ , pe care le vom considera ca fiind convenții generale pentru orice vector: lui  $\mathbf{z} \in \mathbb{C}^N$  îi corespunde vectorul părților reale și al părților complexe  $\bar{\mathbf{z}} \in \mathbb{R}^{2N}$ , și vectorul complex și complex conjugat  $\overset{c}{\mathbf{z}} \in \mathbb{C}^{2N}$ .

Acum putem scrie dezvoltarea în serie Taylor pentru funcțiile  $E(\bar{\mathbf{z}})$  și  $E(\overset{c}{\mathbf{z}})$ :

$$E(\bar{\mathbf{z}} + \Delta\bar{\mathbf{z}}) = E(\bar{\mathbf{z}}) + \frac{\partial E}{\partial \bar{\mathbf{z}}}(\bar{\mathbf{z}})\Delta\bar{\mathbf{z}} + \frac{1}{2}\Delta\bar{\mathbf{z}}^T \frac{\partial^2 E}{\partial \bar{\mathbf{z}}\partial \bar{\mathbf{z}}^T}(\bar{\mathbf{z}})\Delta\bar{\mathbf{z}},$$

$$E(\overset{c}{\mathbf{z}} + \Delta\overset{c}{\mathbf{z}}) = E(\overset{c}{\mathbf{z}}) + \frac{\partial E}{\partial \overset{c}{\mathbf{z}}}(\overset{c}{\mathbf{z}})\Delta\overset{c}{\mathbf{z}} + \frac{1}{2}\Delta\overset{c}{\mathbf{z}}^H \frac{\partial^2 E}{\partial \overset{c}{\mathbf{z}}\partial \overset{c}{\mathbf{z}}^H}(\overset{c}{\mathbf{z}})\Delta\overset{c}{\mathbf{z}}.$$

Pentru funcția  $E(\mathbf{z})$ , dezvoltarea în serie Taylor se poate scrie doar în funcție de gradientii definiți pentru  $E(\bar{\mathbf{z}})$  și  $E(\overset{c}{\mathbf{z}})$ :

$$\begin{aligned} E(\mathbf{z} + \Delta\mathbf{z}) &= E(\mathbf{z}) + \frac{\partial E}{\partial \mathbf{z}}(\overset{c}{\mathbf{z}})\Delta\mathbf{z} + \frac{\partial E}{\partial \bar{\mathbf{z}}}(\bar{\mathbf{z}})\Delta\bar{\mathbf{z}} + \frac{1}{2}\Delta\mathbf{z}^H \frac{\partial^2 E}{\partial \mathbf{z}\partial \mathbf{z}^H}(\overset{c}{\mathbf{z}})\Delta\mathbf{z} \\ &+ \frac{1}{2}\Delta\mathbf{z}^H \frac{\partial^2 E}{\partial \bar{\mathbf{z}}\partial \bar{\mathbf{z}}^H}(\bar{\mathbf{z}})\Delta\bar{\mathbf{z}} + \frac{1}{2}\Delta\bar{\mathbf{z}}^H \frac{\partial^2 E}{\partial \mathbf{z}\partial \bar{\mathbf{z}}^H}(\bar{\mathbf{z}})\Delta\mathbf{z} + \frac{1}{2}\Delta\bar{\mathbf{z}}^H \frac{\partial^2 E}{\partial \bar{\mathbf{z}}\partial \bar{\mathbf{z}}^H}(\bar{\mathbf{z}})\Delta\bar{\mathbf{z}} \\ &= E(\mathbf{z}) + 2 \left( \frac{\partial E}{\partial \mathbf{z}}(\overset{c}{\mathbf{z}})\Delta\mathbf{z} \right)^R + \left( \Delta\mathbf{z}^H \frac{\partial^2 E}{\partial \mathbf{z}\partial \mathbf{z}^H}(\overset{c}{\mathbf{z}})\Delta\mathbf{z} + \Delta\mathbf{z}^H \frac{\partial^2 E}{\partial \bar{\mathbf{z}}\partial \bar{\mathbf{z}}^H}(\bar{\mathbf{z}})\Delta\bar{\mathbf{z}} \right)^R, \end{aligned}$$

unde  $\overset{c}{\mathbf{z}} = (\mathbf{z}^T, \bar{\mathbf{z}}^T)^T$ , și

$$\begin{aligned} E(\mathbf{z} + \Delta\mathbf{z}) &= E(\mathbf{z}) + \frac{\partial E}{\partial \mathbf{x}}(\bar{\mathbf{z}})\Delta\mathbf{x} + \frac{\partial E}{\partial \mathbf{y}}(\bar{\mathbf{z}})\Delta\mathbf{y} + \frac{1}{2}\Delta\mathbf{x}^T \frac{\partial^2 E}{\partial \mathbf{x}\partial \mathbf{x}^T}(\bar{\mathbf{z}})\Delta\mathbf{x} \\ &+ \frac{1}{2}\Delta\mathbf{y}^T \frac{\partial^2 E}{\partial \mathbf{x}\partial \mathbf{y}^T}(\bar{\mathbf{z}})\Delta\mathbf{x} + \frac{1}{2}\Delta\mathbf{x}^T \frac{\partial^2 E}{\partial \mathbf{y}\partial \mathbf{x}^T}(\bar{\mathbf{z}})\Delta\mathbf{y} + \frac{1}{2}\Delta\mathbf{y}^T \frac{\partial^2 E}{\partial \mathbf{y}\partial \mathbf{y}^T}(\bar{\mathbf{z}})\Delta\mathbf{y}, \end{aligned}$$

unde  $\bar{\mathbf{z}} = (\mathbf{x}^T, \mathbf{y}^T)^T$  și  $\mathbf{z} = \mathbf{x} + i\mathbf{y}$ .

O altă proprietate importantă pe care o vom folosi este regula înlănțuirii:

$$\frac{\partial h_1(h_2)}{\partial z} = \frac{\partial h_1}{\partial h_2} \frac{\partial h_2}{\partial z} + \frac{\partial h_1}{\partial \bar{h}_2} \frac{\partial \bar{h}_2}{\partial z},$$

$$\frac{\partial h_1(h_2)}{\partial \bar{z}} = \frac{\partial h_1}{\partial h_2} \frac{\partial h_2}{\partial \bar{z}} + \frac{\partial h_1}{\partial \bar{h}_2} \frac{\partial \bar{h}_2}{\partial \bar{z}}.$$

### 3.2 Metoda gradient

În cele ce urmează, vom realiza o prezentare unitară a metodei gradient pentru rețelele de tip feedforward cu valori complexe folosind calculul Wirtinger, care nu ține cont de faptul că funcțiile de activare sunt complexe complet (tratează numărul complex ca un întreg), sau complexe divizat (tratează separat părțile reală și imaginară ale numărului complex), acesta reprezentând primul element de noutate al tezei. Deosebirea față de primul capitol o constituie folosirea  $\mathbb{R}$ - și  $\mathbb{R}$ -derivatelor parțiale în locul derivatelor parțiale obișnuite în raport cu părțile reală și imaginară. Particularizând rezultatele obținute, regăsim formulele clasice deduse în literatura de specialitate pentru

metoda gradient complexă divizat (spre exemplu în [143]) și respectiv pentru metoda gradient complexă complet (spre exemplu în [144]).

Să considerăm o rețea neuronală cu valori complexe care are  $L$  straturi notate  $\{1, \dots, L\}$ , unde 1 este stratul de intrare,  $L$  este stratul de ieșire, iar restul sunt straturi ascunse. Pentru această rețea, avem următoarea funcție de eroare:

$$E(\mathbf{w}) = \frac{1}{2} \sum_{i=1}^c (y_i^L - t_i) \overline{(y_i^L - t_i)},$$

unde  $\mathbf{w}$  reprezintă vectorul tuturor ponderilor și bias-urilor rețelei,  $\mathbf{y}^L = (y_i^L)_{1 \leq i \leq c}$  reprezintă ieșirile rețelei, și  $\mathbf{t} = (t_i)_{1 \leq i \leq c}$  reprezintă ieșirile dorite ale rețelei. Am notat cu  $E : \mathbb{C}^N \rightarrow \mathbb{R}$  funcția de eroare care depinde de cele  $N$  ponderi și bias-uri ale rețelei. Pentru această funcție, fie  $E : \mathbb{C}^{2N} \rightarrow \mathbb{R}$  astfel încât  $E(\overset{c}{\mathbf{w}}) = E(\mathbf{w})$ ,  $\overset{c}{\mathbf{w}} = (\mathbf{w}^T, \overline{\mathbf{w}}^T)^T$  și  $E : \mathbb{R}^{2N} \rightarrow \mathbb{R}$ ,  $E(\overset{\mathbb{R}}{\mathbf{w}}) = E(\mathbf{w})$ ,  $\overset{\mathbb{R}}{\mathbf{w}} = ((\mathbf{w}^R)^T, (\mathbf{w}^I)^T)^T$ . Prin urmare, pentru  $E$  putem aplica  $\mathbb{R}$ -derivata parțială și  $\mathbb{R}$ -derivata parțială în funcție de fiecare pondere și bias al rețelei, pe care le-am definit în secțiunea anterioară.

Dacă notăm cu  $w_{jk}^l$  ponderea dintre neuronul  $j$  din stratul  $l$  și neuronul  $k$  din stratul  $l-1$ , putem scrie actualizarea pentru ponderea  $w_{jk}^l$  ca fiind

$$\Delta w_{jk}^l = -\varepsilon \frac{\partial E}{\partial w_{jk}^{l,R}}(\overset{\mathbb{R}}{\mathbf{w}}) - i\varepsilon \frac{\partial E}{\partial w_{jk}^{l,I}}(\overset{\mathbb{R}}{\mathbf{w}}) = -2\varepsilon \frac{\partial E}{\partial w_{jk}^l}(\overset{c}{\mathbf{w}}).$$

Din această relație deducem că este suficient să calculăm  $\mathbb{R}$ -derivata parțială a lui  $E$  în funcție de  $\overline{w_{jk}^l}$  pentru a obține actualizarea dorită a ponderii  $w_{jk}^l$ . Pentru acest calcul, facem următoarele notații:

$$s_j^l := \sum_k w_{jk}^l x_k^{l-1} + w_{j0}^l, \quad (3.2.1)$$

$$y_j^l := G^l(s_j^l), \quad (3.2.2)$$

unde  $G^l : \mathbb{C} \rightarrow \mathbb{C}$  reprezintă funcția de activare a stratului  $l \in \{2, \dots, L\}$ ,  $\mathbf{x}^1 = (x_k^1)_{1 \leq k \leq d}$  sunt intrările rețelei și  $x_k^l = y_k^l$ ,  $\forall l \in \{2, \dots, L-1\}$ ,  $\forall k$ . Funcția de activare poate fi o funcție complexă complet sau complexă divizat, după cum am arătat în Secțiunea 2.1.

Pentru că în Secțiunea 2.1 am dedus formula de actualizare pentru metoda gradient folosind derivate parțiale clasice, vom deduce din nou aici metoda gradient folosind calculul  $\mathbb{C}\mathbb{R}$ .

Mai întâi, vom începe cu stratul de ieșire  $L$ , pentru care putem scrie regula înlănțuirii

$$\begin{aligned} \frac{\partial E}{\partial w_{jk}^L} &= \frac{\partial E}{\partial s_j^L} \frac{\partial s_j^L}{\partial w_{jk}^L} + \frac{\partial E}{\partial s_j^L} \frac{\partial \overline{s_j^L}}{\partial w_{jk}^L} \\ &= \frac{\partial E}{\partial s_j^L} \overline{x_k^{L-1}}, \end{aligned}$$

unde  $\frac{\partial s_j^L}{\partial w_{jk}^L} = 0$ , deoarece  $s_j^L$  nu depinde de  $\overline{w_{jk}^L}$ . Aplicând în continuare regula înlănțuirii, avem

$$\begin{aligned}\frac{\partial E}{\partial \overline{s_j^L}} &= \frac{\partial E}{\partial y_j^L} \frac{\partial y_j^L}{\partial \overline{s_j^L}} + \frac{\partial E}{\partial \overline{y_j^L}} \frac{\partial \overline{y_j^L}}{\partial \overline{s_j^L}} \\ &= \frac{1}{2} \overline{(y_j^L - t_j)} \frac{\partial G^L(s_j^L)}{\partial s_j^L} + \frac{1}{2} (y_j^L - t_j) \frac{\partial \overline{G^L(s_j^L)}}{\partial \overline{s_j^L}},\end{aligned}$$

și notând  $\delta_j^l := \frac{\partial E}{\partial \overline{s_j^l}}$ , avem că

$$\frac{\partial E}{\partial w_{jk}^l} = \delta_j^l \overline{x_k^{l-1}},$$

unde

$$\delta_j^L = \frac{1}{2} \overline{(y_j^L - t_j)} \frac{\partial G^L(s_j^L)}{\partial s_j^L} + \frac{1}{2} (y_j^L - t_j) \frac{\partial \overline{G^L(s_j^L)}}{\partial \overline{s_j^L}}.$$

Pentru un strat ascuns  $l \in \{2, \dots, L-1\}$ , aplicarea regulii înlănțuirii ne dă

$$\begin{aligned}\frac{\partial E}{\partial w_{jk}^l} &= \frac{\partial E}{\partial s_j^l} \frac{\partial s_j^l}{\partial w_{jk}^l} + \frac{\partial E}{\partial \overline{s_j^l}} \frac{\partial \overline{s_j^l}}{\partial w_{jk}^l} \\ &= \frac{\partial E}{\partial s_j^l} x_k^{l-1},\end{aligned}$$

deoarece  $\frac{\partial s_j^l}{\partial w_{jk}^l} = 0$ , și atunci

$$\frac{\partial E}{\partial \overline{s_j^l}} = \sum_r \left( \frac{\partial E}{\partial s_r^{l+1}} \frac{\partial s_r^{l+1}}{\partial \overline{s_j^l}} + \frac{\partial E}{\partial \overline{s_r^{l+1}}} \frac{\partial \overline{s_r^{l+1}}}{\partial \overline{s_j^l}} \right), \quad (3.2.3)$$

unde suma este luată după toți neuronii  $r$  din stratul  $l+1$  către care neuronul  $j$  din stratul  $l$  trimite conexiuni.

Folosind din nou regula înlănțuirii, avem că

$$\begin{aligned}\frac{\partial s_r^{l+1}}{\partial s_j^l} &= \frac{\partial s_r^{l+1}}{\partial y_j^l} \frac{\partial y_j^l}{\partial s_j^l} + \frac{\partial s_r^{l+1}}{\partial \overline{y_j^l}} \frac{\partial \overline{y_j^l}}{\partial s_j^l} \\ &= w_{rj}^{l+1} \frac{\partial G^l(s_j^l)}{\partial s_j^l},\end{aligned}$$

$$\begin{aligned}\frac{\partial \overline{s_r^{l+1}}}{\partial \overline{s_j^l}} &= \frac{\partial \overline{s_r^{l+1}}}{\partial \overline{y_j^l}} \frac{\partial \overline{y_j^l}}{\partial \overline{s_j^l}} + \frac{\partial \overline{s_r^{l+1}}}{\partial y_j^l} \frac{\partial y_j^l}{\partial \overline{s_j^l}} \\ &= \overline{w_{rj}^{l+1}} \frac{\partial \overline{G^l(s_j^l)}}{\partial \overline{s_j^l}},\end{aligned}$$

pentru că din nou avem că  $\frac{\partial s_r^{l+1}}{\partial y_j^l} = \frac{\partial \overline{s_r^{l+1}}}{\partial y_j^l} = 0$ . Dacă notăm  $\delta_j^l := \frac{\partial E}{\partial s_j^l}$ ,  $\forall l \in \{2, \dots, L-1\}$ , ecuația (3.2.3) devine

$$\frac{\partial E}{\partial s_j^l} = \sum_r \left( \delta_r^{l+1} \overline{w_{rj}^{l+1}} \frac{\partial \overline{G^l(s_j^l)}}{\partial s_j^l} + \overline{\delta_r^{l+1}} w_{rj}^{l+1} \frac{\partial G^l(s_j^l)}{\partial s_j^l} \right),$$

și în final

$$\frac{\partial E}{\partial w_{jk}^l} = \delta_j^l \overline{x_k^{l-1}}, \forall l \in \{2, \dots, L-1\}.$$

unde

$$\delta_j^l = \sum_r \left( \delta_r^{l+1} \overline{w_{rj}^{l+1}} \frac{\partial \overline{G^l(s_j^l)}}{\partial s_j^l} + \overline{\delta_r^{l+1}} w_{rj}^{l+1} \frac{\partial G^l(s_j^l)}{\partial s_j^l} \right).$$

În concluzie,

$$\Delta w_{jk}^l = -2\varepsilon \delta_j^l \overline{x_k^{l-1}}, \forall l \in \{2, \dots, L\}, \quad (3.2.4)$$

unde

$$\delta_j^l = \begin{cases} \sum_r \left( \delta_r^{l+1} \overline{w_{rj}^{l+1}} \frac{\partial \overline{G^l(s_j^l)}}{\partial s_j^l} + \overline{\delta_r^{l+1}} w_{rj}^{l+1} \frac{\partial G^l(s_j^l)}{\partial s_j^l} \right), & l \leq L-1 \\ \frac{1}{2}(y_j^l - t_j) \frac{\partial G^l(s_j^l)}{\partial s_j^l} + \frac{1}{2}(\overline{y_j^l} - \overline{t_j}) \frac{\partial \overline{G^l(s_j^l)}}{\partial s_j^l}, & l = L \end{cases}. \quad (3.2.5)$$

Alternativ, mai putem scrie, înlocuind  $2\delta_j^l$  cu  $\delta_j^l$ , regula de actualizare sub forma

$$\Delta w_{jk}^l = -\varepsilon \delta_j^l \overline{x_k^{l-1}}, \forall l \in \{2, \dots, L\}, \quad (3.2.6)$$

unde

$$\delta_j^l = \begin{cases} \left( \sum_m \overline{w_{mj}^{l+1}} \delta_m^{l+1} \right)^R \left( \frac{\partial G^{l,R}(s_j^l)}{\partial s_j^{l,R}} + i \frac{\partial G^{l,R}(s_j^l)}{\partial s_j^{l,I}} \right) \\ + \left( \sum_m \overline{w_{mj}^{l+1}} \delta_m^{l+1} \right)^I \left( \frac{\partial G^{l,I}(s_j^l)}{\partial s_j^{l,R}} + i \frac{\partial G^{l,I}(s_j^l)}{\partial s_j^{l,I}} \right), & l \leq L-1 \\ \left( y_j^{l,R} - t_j^R \right) \left( \frac{\partial G^{l,R}(s_j^l)}{\partial s_j^{l,R}} + i \frac{\partial G^{l,R}(s_j^l)}{\partial s_j^{l,I}} \right) \\ + \left( y_j^{l,I} - t_j^I \right) \left( \frac{\partial G^{l,I}(s_j^l)}{\partial s_j^{l,R}} + i \frac{\partial G^{l,I}(s_j^l)}{\partial s_j^{l,I}} \right), & l = L \end{cases}.$$

### 3.3 Metode gradient îmbunătățite

Una dintre cele mai simple clase de algoritmi care au o performanță mai bună decât metoda gradient clasică în domeniul real este așa-numita clasă a *metodelor gradient îmbunătățite*. Algoritmii din această clasă cresc performanța metodei gradient făcând diferite modificări ad hoc algoritmului original. Există o literatură vastă care prezintă astfel de algoritmi, din care am ales unele dintre cele mai cunoscute, robuste și bine fundamentate teoretic metode de optimizare pentru a le extinde în domeniul complex. Acesta este un prim pas făcut în direcția găririi unor algoritmi de optimizare a funcției de eroare care să aibă performanțe mai bune decât clasica metodă gradient. În cele ce urmează vom prezenta metodele gradient îmbunătățite pentru rețele cu valori complexe, ca în articolul nostru [215].

### 3.3.1 Metoda gradient cu moment

Cu notațiile din secțiunea precedentă, regula de actualizare pentru *metoda gradient cu moment* este

$$\begin{aligned}\Delta w_{jk}^l(t) &= -\varepsilon \frac{\partial E}{\partial w_{jk}^{l,R}}(\bar{\mathbf{w}}(t)) - i\varepsilon \frac{\partial E}{\partial w_{jk}^{l,I}}(\bar{\mathbf{w}}(t)) + \mu \Delta w_{jk}^l(t-1) \\ &= -2\varepsilon \frac{\partial E}{\partial w_{jk}^l}(\bar{\mathbf{w}}(t)) + \mu \Delta w_{jk}^l(t-1)\end{aligned}\quad (3.3.1)$$

unde parametrul  $\mu$  reprezintă *momentul*, și este, la fel ca rata de învățare  $\varepsilon$ , un număr real. Ideea din spatele acestei modificări a metodei gradient clasice este de a da o anumită inerție mișcării în spațiul ponderilor pentru a netezi posibilele oscilații ale unor pași succesivi din metoda gradient. Pentru rețelele cu valori complexe, această metodă a fost discutată într-unul dintre primele articole pe acest subiect, și anume [143].

### 3.3.2 Metoda quickprop

Să presupunem că avem o funcție  $f$  definită în planul real, al cărei minim dorim să-l găsim. Pentru aceasta, trebuie să căutăm un  $x$  astfel încât  $f'(x) = 0$ . O metodă pentru a face acest lucru, în ipoteza că  $f$  este convexă, este să-l calculăm pe  $x$  iterativ, folosind metoda Newton:

$$x(t+1) = x(t) + \Delta x(t),$$

unde

$$\Delta x(t) = -\frac{f'(x(t))}{f''(x(t))}. \quad (3.3.2)$$

Dacă nu putem sau nu dorim să calculăm a doua derivată a lui  $f$ , putem să o înlocuim printr-o aproximare de tip secantă:

$$f''(x(t)) \simeq \frac{f'(x(t)) - f'(x(t-1))}{x(t) - x(t-1)}. \quad (3.3.3)$$

Înlocuind această expresie cu a doua derivată în (3.3.2), avem

$$\Delta x(t) = \frac{f'(x(t))}{f'(x(t-1)) - f'(x(t))} \Delta x(t-1).$$

Folosind formula de mai sus pentru actualizarea ponderilor într-o rețea neuronală cu valori complexe, unde funcția  $f$  este funcția de eroare  $E$ , avem, pentru o anumită pondere  $w_{jk}^l$  definită ca mai sus, următoarea regulă de actualizare:

$$\Delta w_{jk}^{l,R}(t) = \frac{\frac{\partial E}{\partial w_{jk}^{l,R}}(\bar{\mathbf{w}}(t))}{\frac{\partial E}{\partial w_{jk}^{l,R}}(\bar{\mathbf{w}}(t-1)) - \frac{\partial E}{\partial w_{jk}^{l,R}}(\bar{\mathbf{w}}(t-1))} \Delta w_{jk}^{l,R}(t-1). \quad (3.3.4)$$

$$\Delta w_{jk}^{l,I}(t) = \frac{\frac{\partial E}{\partial w_{jk}^{l,I}}(\bar{\mathbf{w}}(t))}{\frac{\partial E}{\partial w_{jk}^{l,I}}(\bar{\mathbf{w}}(t-1)) - \frac{\partial E}{\partial w_{jk}^{l,I}}(\bar{\mathbf{w}}(t-1))} \Delta w_{jk}^{l,I}(t-1). \quad (3.3.5)$$

Această schemă de actualizare este cunoscută sub numele de algoritmul *quickprop*, și a fost pentru prima dată propus de către Fahlman în [80]. Expresia de actualizare este exact aceeași în cazul complex ca în cazul real, fiind o aplicare pe componente a aceluiași formule de actualizare. Pornirea algoritmului necesită doar un singur pas făcut cu metoda gradient, pentru a calcula pasul de actualizare în prima epocă. Euristica din spatele algoritmului este aceea că pasul de actualizare aproximează funcția de eroare în raport cu fiecare pondere printr-un polinom de gradul doi, pentru care formula (3.3.3) este exactă. Această aproximare presupune că fiecare pondere este independentă de toate celelalte și că polinomul de gradul doi are un minim, și nu un maxim. De asemenea, o limită a valorii maxime a pasului de actualizare trebuie impusă pentru a evita probleme în cazul în care numitorul din (3.3.4) devine foarte mic.

### 3.3.3 Metoda RPROP

Pentru a elimina influența potențial negativă a mărimii derivatei parțiale asupra pasului de actualizare, Riedmiller și Braun [226], au conceput algoritmul *resilient backpropagation algorithm*, sau prescurtat *RPROP*. Ideea de bază a algoritmului este de a înlocui derivata parțială din formula de actualizare a ponderilor, și de a folosi doar semnul ei pentru a calcula o cantitate notată  $\Delta_{jk}^l$ , care va fi apoi folosită pentru actualizarea ponderii  $w_{jk}^l$ . Pentru că suntem în planul complex, trebuie să tratăm părțile reală și imaginară separat. Astfel, formulele pentru calcularea cantităților  $\Delta_{jk}^l$  sunt:

$$\Delta_{jk}^{l,R}(t) = \begin{cases} \eta^+ \Delta_{jk}^{l,R}(t-1), & \text{dacă } \frac{\partial E}{\partial w_{jk}^{l,R}}(\bar{\mathbf{w}}(t-1)) \times \frac{\partial E}{\partial w_{jk}^{l,R}}(\bar{\mathbf{w}}(t)) > 0 \\ \eta^- \Delta_{jk}^{l,R}(t-1), & \text{dacă } \frac{\partial E}{\partial w_{jk}^{l,R}}(\bar{\mathbf{w}}(t-1)) \times \frac{\partial E}{\partial w_{jk}^{l,R}}(\bar{\mathbf{w}}(t)) < 0, \\ \Delta_{jk}^{l,R}(t-1) & \text{altfel} \end{cases}$$

$$\Delta_{jk}^{l,I}(t) = \begin{cases} \eta^+ \Delta_{jk}^{l,I}(t-1), & \text{dacă } \frac{\partial E}{\partial w_{jk}^{l,I}}(\bar{\mathbf{w}}(t-1)) \times \frac{\partial E}{\partial w_{jk}^{l,I}}(\bar{\mathbf{w}}(t)) > 0 \\ \eta^- \Delta_{jk}^{l,I}(t-1), & \text{dacă } \frac{\partial E}{\partial w_{jk}^{l,I}}(\bar{\mathbf{w}}(t-1)) \times \frac{\partial E}{\partial w_{jk}^{l,I}}(\bar{\mathbf{w}}(t)) < 0. \\ \Delta_{jk}^{l,I}(t-1) & \text{altfel} \end{cases}$$

Aceste formule depind de parametri reali  $\eta^+$  și  $\eta^-$ , care trebuie să satisfacă

$$0 < \eta^- < 1 < \eta^+,$$

și sunt de obicei folosiți cu valorile  $\eta^- = 0.5$  și  $\eta^+ = 1.2$ . Aceste formule spun că de fiecare dată când părțile reală sau imaginară ale derivatei parțiale a funcției de eroare în raport cu ponderea  $w_{jk}^l$  își schimbă semnul, ceea ce indică faptul că ultima actualizare a fost prea mare și că algoritmul a sărit peste un minim local, cantitățile  $\Delta_{jk}^{l,R}$  și  $\Delta_{jk}^{l,I}$  sunt micșorate cu un factor de  $\eta^-$ . Dacă acele derivate parțiale au același semn, aceste cantități sunt mărite cu un factor de  $\eta^+$ , pentru a accelera convergența.

Odată ce am calculat valorile lui  $\Delta_{jk}^{l,R}$  și  $\Delta_{jk}^{l,I}$ , putem scrie formulele pentru actualizarea părților reală și imaginară ale ponderii  $w_{jk}^l$ :

$$\Delta w_{jk}^{l,R}(t) = \begin{cases} -\Delta_{jk}^{l,R}(t), & \text{dacă } \frac{\partial E}{\partial w_{jk}^{l,R}}(\bar{\mathbf{w}}(t)) > 0 \\ \Delta_{jk}^{l,R}(t), & \text{dacă } \frac{\partial E}{\partial w_{jk}^{l,R}}(\bar{\mathbf{w}}(t)) < 0, \\ 0, & \text{altfel} \end{cases}$$

$$\Delta w_{jk}^{l,I}(t) = \begin{cases} -\Delta_{jk}^{l,I}(t), & \text{dacă } \frac{\partial E}{\partial w_{jk}^{l,I}}(\bar{\mathbf{w}}(t)) > 0 \\ \Delta_{jk}^{l,I}(t), & \text{dacă } \frac{\partial E}{\partial w_{jk}^{l,I}}(\bar{\mathbf{w}}(t)) < 0 \\ 0, & \text{altfel} \end{cases}$$

Se poate vedea că regula de actualizare este simplă: dacă derivata este pozitivă, ceea ce înseamnă o creștere a erorii, ponderea este micșorată cu  $\Delta_{jk}^{l,R}$  sau  $\Delta_{jk}^{l,I}$ , iar dacă derivata este negativă, aceste valori sunt adunate la partea reală respectiv imaginară a pasului de actualizare a ponderii  $w_{jk}^l$ . La începutul algoritmului trebuie să dăm o valoare pentru cantitățile  $\Delta_{jk}^{l,R}(0)$  și  $\Delta_{jk}^{l,I}(0)$ , iar această valoare o luăm ca fiind 0.07.

În contextul rețelelor neuronale cu valori complexe, acest algoritm a fost propus pentru rezolvarea problemei egalizării transmisiilor de date GSM în articolul [141]. Acesta a adus astfel atât o contribuție teoretică prin extinderea algoritmului în domeniul complex, cât și una aplicativă, folosind rețelele neuronale de tip feedforward cu valori complexe în domeniul egalizării semnalelor de date GSM.

### 3.3.4 Metoda delta-bar-delta

O altă cale de a îmbunătăți performanța metodei gradient este de a introduce o rată de învățare diferită pentru fiecare pondere a rețelei, și de a concepe o procedură pentru actualizarea acestor rate de învățare pe parcursul antrenării rețelei. Metoda gradient devine în acest caz

$$\Delta w_{jk}^{l,R}(t) = -\varepsilon_{jk}^{l,R}(t) \frac{\partial E}{\partial w_{jk}^{l,R}}(\bar{\mathbf{w}}(t)),$$

$$\Delta w_{jk}^{l,I}(t) = -\varepsilon_{jk}^{l,I}(t) \frac{\partial E}{\partial w_{jk}^{l,I}}(\bar{\mathbf{w}}(t)),$$

unde fiecare rată de învățare  $\varepsilon_{jk}^l(t)$  depinde de ponderea  $w_{jk}^l$  și de epoca  $t$ . Dintru început, facem observația că rata de învățare  $\varepsilon$  este un număr real în metoda gradient pentru rețele cu valori complexe, în vreme ce în acest nou algoritm, rata de învățare este un număr complex. Formulele pentru actualizarea părților reală și imaginară ale fiecărei rate de învățare  $\varepsilon_{jk}^l(t)$  sunt:

$$\varepsilon_{jk}^{l,R}(t) = \begin{cases} \kappa + \varepsilon_{jk}^{l,R}(t-1), & \text{dacă } \frac{\partial \bar{E}}{\partial w_{jk}^{l,R}}(\bar{\mathbf{w}}(t-1)) \times \frac{\partial E}{\partial w_{jk}^{l,R}}(\bar{\mathbf{w}}(t)) > 0 \\ \eta^- \varepsilon_{jk}^{l,R}(t-1), & \text{dacă } \frac{\partial \bar{E}}{\partial w_{jk}^{l,R}}(\bar{\mathbf{w}}(t-1)) \times \frac{\partial E}{\partial w_{jk}^{l,R}}(\bar{\mathbf{w}}(t)) < 0 \\ \varepsilon_{jk}^{l,R}(t-1) & \text{altfel} \end{cases}$$

$$\varepsilon_{jk}^{l,I}(t) = \begin{cases} \kappa + \varepsilon_{jk}^{l,I}(t-1), & \text{dacă } \frac{\partial \bar{E}}{\partial w_{jk}^{l,I}}(\bar{\mathbf{w}}(t-1)) \times \frac{\partial E}{\partial w_{jk}^{l,I}}(\bar{\mathbf{w}}(t)) > 0 \\ \eta^- \varepsilon_{jk}^{l,I}(t-1), & \text{dacă } \frac{\partial \bar{E}}{\partial w_{jk}^{l,I}}(\bar{\mathbf{w}}(t-1)) \times \frac{\partial E}{\partial w_{jk}^{l,I}}(\bar{\mathbf{w}}(t)) < 0 \\ \varepsilon_{jk}^{l,I}(t-1) & \text{altfel} \end{cases}$$

unde am făcut notațiile

$$\frac{\partial \bar{E}}{\partial w_{jk}^{l,R}}(\bar{\mathbf{w}}(t)) = (1 - \theta) \frac{\partial E}{\partial w_{jk}^{l,R}}(\bar{\mathbf{w}}(t)) + \theta \frac{\partial \bar{E}}{\partial w_{jk}^{l,R}}(\bar{\mathbf{w}}(t-1)),$$



$$\frac{\partial \bar{E}}{\partial w_{jk}^{l,I}}(\bar{\mathbf{w}}(t)) = (1 - \theta) \frac{\partial E}{\partial w_{jk}^{l,I}}(\bar{\mathbf{w}}(t)) + \theta \frac{\partial \bar{E}}{\partial w_{jk}^{l,I}}(\bar{\mathbf{w}}(t-1)).$$

Parametrul  $\eta^-$  trebuie să satisfacă relația  $0 < \eta^- < 1$ , și este de obicei considerat, ca în algoritmul RPROP, ca fiind 0.5. Am luat de asemenea  $\kappa = 10^{-6}$  și  $\theta = 0.7$  în experimentele noastre, dar aceste valori sunt de obicei determinate empiric.

Ideea de bază a acestei metode este următoarea: dacă două derivate parțiale consecutive, mai precis părțile lor reale și respectiv imaginare, au același semn, atunci rata de învățare este mărită cu o constantă de valoare mică  $\kappa$  pentru a accelera învățarea. O schimbare a semnului părților reale și respectiv imaginare ale acestor derivate parțiale arată că s-a trecut peste minimumul local, ceea ce înseamnă că pasul de învățare a fost prea mare. În consecință, rata de învățare este micșorată prin înmulțire cu un factor pozitiv subunitar  $\eta^-$ . Pentru a asigura convergența, derivata parțială anterioară  $\frac{\partial E}{\partial w_{jk}^l}(t-1)$  a fost înlocuită cu media ponderată exponențial între derivata parțială curentă și cea anterioară, având pe  $\theta$  ca bază a acestei medii și epoca în calitate de exponent. Această medie ponderată a fost notată cu  $\frac{\partial \bar{E}}{\partial w_{jk}^{l,R}}(t)$  și  $\frac{\partial \bar{E}}{\partial w_{jk}^{l,I}}(t)$ , și a fost definită mai sus.

Algoritmul pe care tocmai l-am descris a fost propus de Jacobs în [133], și este numit algoritmul *delta-bar-delta*, deoarece în acel articol, autorul a notat derivata parțială  $\frac{\partial E}{\partial w_{jk}^l}(t)$  cu  $\delta$  (delta), și media ponderată  $\frac{\partial \bar{E}}{\partial w_{jk}^l}(t)$  cu  $\bar{\delta}$  (delta-bar).

### 3.3.5 Metoda SuperSAB

Ultimul algoritm din seria metodelor gradient îmbunătățite se numește *SuperSAB* și a fost propus de Tollenaere în [250]. Este foarte asemănător cu algoritmul delta-bar-delta, în aceea că pentru fiecare pondere a rețelei este folosită o rată de învățare diferită. Prin urmare, ca în cazul algoritmului anterior, regula de actualizare este

$$\Delta w_{jk}^{l,R}(t) = -\varepsilon_{jk}^{l,R}(t) \frac{\partial E}{\partial w_{jk}^{l,R}}(\bar{\mathbf{w}}(t)),$$

$$\Delta w_{jk}^{l,I}(t) = -\varepsilon_{jk}^{l,I}(t) \frac{\partial E}{\partial w_{jk}^{l,I}}(\bar{\mathbf{w}}(t)),$$

cu excepția faptului că aici rata de învățare  $\varepsilon_{jk}^l(t)$  corespunzătoare ponderii  $w_{jk}^l$  și epocii  $t$  are o formulă de actualizare diferită. De fapt, se poate spune că algoritmul SuperSAB este o combinație între algoritmi RPROP și delta-bar-delta, pentru că formulele pentru actualizarea părților reală și imaginare ale lui  $\varepsilon_{jk}^l(t)$  sunt:

$$\varepsilon_{jk}^{l,R}(t) = \begin{cases} \eta^+ \varepsilon_{jk}^{l,R}(t-1), & \text{dacă } \frac{\partial E}{\partial w_{jk}^{l,R}}(\bar{\mathbf{w}}(t-1)) \times \frac{\partial E}{\partial w_{jk}^{l,R}}(\bar{\mathbf{w}}(t)) > 0 \\ \eta^- \varepsilon_{jk}^{l,R}(t-1), & \text{dacă } \frac{\partial E}{\partial w_{jk}^{l,R}}(\bar{\mathbf{w}}(t-1)) \times \frac{\partial E}{\partial w_{jk}^{l,R}}(\bar{\mathbf{w}}(t)) < 0, \\ \varepsilon_{jk}^{l,R}(t-1) & \text{altfel} \end{cases}$$

$$\varepsilon_{jk}^{l,I}(t) = \begin{cases} \eta^+ \varepsilon_{jk}^{l,I}(t-1), & \text{dacă } \frac{\partial E}{\partial w_{jk}^{l,I}}(\bar{\mathbf{w}}(t-1)) \times \frac{\partial E}{\partial w_{jk}^{l,I}}(\bar{\mathbf{w}}(t)) > 0 \\ \eta^- \varepsilon_{jk}^{l,I}(t-1), & \text{dacă } \frac{\partial E}{\partial w_{jk}^{l,I}}(\bar{\mathbf{w}}(t-1)) \times \frac{\partial E}{\partial w_{jk}^{l,I}}(\bar{\mathbf{w}}(t)) < 0, \\ \varepsilon_{jk}^{l,I}(t-1) & \text{altfel} \end{cases}$$

unde parametrii  $\eta^+$  și  $\eta^-$  trebuie să satisfacă

$$0 < \eta^- < 1 < \eta^+,$$

exact ca în algoritmul resilient backpropagation. Datorită acestei asemănări, am luat în experimentele noastre aceleași valori pentru acești parametri ca în cazul algoritmului RPROP, și anume  $\eta^- = 0.5$  și  $\eta^+ = 1.2$ .

Ideea este destul de ușor de văzut: în loc să adunăm un termen la rata de învățare dacă derivatele parțiale au același semn, facem o înmulțire cu un factor pozitiv supraunitar  $\eta^+$  a acesteia, ca în cazul algoritmului RPROP. În acest caz, ultimele două derivate parțiale au fost luate în considerare cu valorile inițiale, fără a folosi media ponderată, ca pentru algoritmul delta-bar-delta.

Toți acești algoritmi sunt strategii de adaptare locală, în care pentru actualizarea fiecărei ponderi este folosită informație care este proprie doar acelei ponderi, fără a avea o cunoaștere globală a întregii stări a rețelei, așa cum fac strategiile de adaptare globală. Deși aceste strategii folosesc mai puțină informație, și operațiile de actualizare se fac mai ușor și mai repede, pentru multe aplicații s-a dovedit că ele au o performanță mai bună decât strategiile globale.

Una dintre principalele diferențe între primul algoritm și următorii patru, este aceea că regula de actualizare (3.3.1) depinde de numărul complex ca întreg, și nu separat de părțile reală și imaginară ca regulile de actualizare ale celorlalți patru algoritmi. Motivul principal al acestei diferențe este că acești algoritmi fac presupuneri despre valoarea derivatei parțiale a funcției de eroare în raport cu ponderea care este actualizată, presupuneri care implică realizarea de comparații. Este cunoscut că, spre deosebire de numerele reale, numerele complexe nu au o ordonare naturală, și prin urmare nu există un analog al inegalităților de numere reale între numere complexe. În consecință, pentru quickprop, RPROP, delta-bar-delta și SuperSAB, trebuie să dăm reguli de actualizare diferite pentru părțile reală și imaginară ale fiecărei ponderi, care depind de presupuneri făcute asupra părților reală și respectiv imaginară ale derivatei parțiale. Cu excepția acestui fapt, putem observa că regulile de actualizare arată exact la fel în domeniul complex ca în domeniul real, și nu pun niciun fel de probleme de implementare.

### 3.4 Metoda gradientilor conjugați

Metodele gradientilor conjugați sunt un caz particular dintr-o clasă mai largă de *algoritmi de căutare liniară*. Pentru a minimiza funcția de eroare a unei rețele neuronale, sunt necesari mai mulți pași prin spațiul valorilor ponderilor pentru a găsi acea valoare a ponderilor pentru care minimumul funcției de eroare este atins. Fiecare pas este determinat de o *direcție de căutare* și de un număr real care ne spune cât de mult trebuie să ne deplasăm în acea direcție. În metoda gradient clasică, direcția de căutare este aceea a gradientului cu semn schimbat, iar numărul real este rata de învățare. În cazul general, putem considera o anumită direcție de căutare, și apoi putem determina minimumul funcției de eroare în acea direcție, obținând în acest fel acel număr real care ne spune cât de mult trebuie să ne deplasăm în direcția de căutare. Acesta reprezintă *algoritmul de căutare liniară*, și se află la baza unei familii de metode care au o performanță mai bună decât metoda gradient. Deducerea algoritmilor gradientilor conjugați prezentată mai jos, urmărește în principal referința [46], care la rândul ei urmărește referința [140], unul dintre primele articole în care se aplică acești algoritmi pentru antrenarea rețelelor neuronale, un altul fiind [64], și este făcută ca în articolul nostru [217].

Să presupunem că avem o rețea neuronală cu valori complexe care are funcția de eroare notată cu  $E$ , și un vector al ponderilor  $N$ -dimensional notat cu  $\mathbf{w}$ . Trebuie să găsim vectorul ponderilor notat prin  $\mathbf{w}^c$  care minimizează funcția  $E(\mathbf{w}^c)$ , unde  $\mathbf{w}^c = (\mathbf{w}^T, \overline{\mathbf{w}}^T)^T \in \mathbb{C}^{2N}$ . Să presupunem că facem pași iterativi prin spațiul ponderilor pentru a găsi valoarea lui  $\mathbf{w}^c$ , sau o foarte bună aproximare a ei. Mai mult, să presupunem că la pasul  $k$  în iterație, vrem ca direcția de căutare să fie  $\mathbf{p}_k$ , unde  $\mathbf{p}_k$  este evident un vector  $2N$ -dimensional. În acest caz, următoarea valoare pentru vectorul ponderilor este dată prin

$$\mathbf{w}_{k+1}^c = \mathbf{w}_k^c + \lambda_k \mathbf{p}_k^c,$$

unde parametrul  $\lambda_k$  este un număr real care ne spune cât de mult în direcția  $\mathbf{p}_k^c$  vrem să mergem, ceea ce înseamnă că  $\lambda_k$  trebuie ales pentru a minimiza funcția

$$E(\lambda) = E(\mathbf{w}_k^c + \lambda \mathbf{p}_k^c).$$

Aceasta este o funcție reală de o variabilă reală, ceea ce înseamnă că minimumul ei este atins când

$$\frac{\partial E(\lambda)}{\partial \lambda} = \frac{\partial E(\mathbf{w}_k^c + \lambda \mathbf{p}_k^c)}{\partial \lambda} = 0.$$

Folosind regula înlănțuirii, putem scrie că

$$\begin{aligned} \frac{\partial E(\mathbf{w}_k^c + \lambda \mathbf{p}_k^c)}{\partial \lambda} &= \sum_{j=1}^N \frac{\partial E(\mathbf{w}_k^c + \lambda \mathbf{p}_k^c)}{\partial (w_{j,k} + \lambda p_{j,k})} \frac{\partial (w_{j,k} + \lambda p_{j,k})}{\partial \lambda} \\ &\quad + \sum_{j=1}^N \frac{\partial E(\mathbf{w}_k^c + \lambda \mathbf{p}_k^c)}{\partial (w_{j,k} + \lambda p_{j,k})} \frac{\partial (w_{j,k} + \lambda p_{j,k})}{\partial \lambda} \\ &= \sum_{j=1}^N \frac{\partial E(\mathbf{w}_{k+1}^c)}{\partial w_{j,k+1}} p_{j,k} + \frac{\partial E(\mathbf{w}_{k+1}^c)}{\partial w_{j,k+1}} p_{j,k} \\ &= \langle \nabla E(\mathbf{w}_{k+1}^c), \mathbf{p}_k^c \rangle, \end{aligned} \quad (3.4.1)$$

unde  $\langle \mathbf{a}, \mathbf{b} \rangle$  este produsul scalar euclidian din  $\mathbb{C}^{2N}$ , dat prin

$$\langle \mathbf{a}, \mathbf{b} \rangle = \left\langle \begin{pmatrix} \mathbf{a} \\ \overline{\mathbf{a}} \end{pmatrix}, \begin{pmatrix} \mathbf{b} \\ \overline{\mathbf{b}} \end{pmatrix} \right\rangle = \mathbf{a}^H \mathbf{b} = \sum_{j=1}^N a_j \overline{b_j} + \overline{a_j} b_j,$$

pentru orice  $\mathbf{a}, \mathbf{b} \in \mathbb{C}^{2N}$ , și gradientul  $\nabla E(\mathbf{w}_{k+1}^c)$  este definit prin

$$\nabla E(\mathbf{w}^c) := \left( \frac{\partial E(\mathbf{w}^c)}{\partial \mathbf{w}^c} \right)^H.$$

Prin urmare, dacă notăm  $\mathbf{g}(\mathbf{w}^c) := \nabla E(\mathbf{w}^c)$ , atunci (3.4.1) poate fi scrisă sub forma

$$\langle \mathbf{g}(\mathbf{w}_{k+1}^c), \mathbf{p}_k^c \rangle = 0, \quad (3.4.2)$$

ceea ce arată că vectorii  $\mathbf{g}(\mathbf{w}_{k+1}^c)$  și  $\mathbf{p}_k^c$  sunt ortogonali în  $\mathbb{C}^{2N}$ .

Următoarea direcție de căutare  $\mathbf{p}_{k+1}^c$  este aleasă astfel încât componenta gradientului paralelă cu direcția de căutare anterioară  $\mathbf{p}_k^c$  rămâne zero. În consecință, avem că

$$\langle \mathbf{g}(\mathbf{w}_{k+1}^c + \lambda \mathbf{p}_{k+1}^c), \mathbf{p}_k^c \rangle = 0.$$

Din dezvoltarea în serie Taylor până la gradul întâi, avem că

$$\mathbf{g}(\mathbf{w}_{k+1}^c + \lambda \mathbf{p}_{k+1}^c) = \mathbf{g}(\mathbf{w}_{k+1}^c) + \nabla \mathbf{g}(\mathbf{w}_{k+1}^c)^H \lambda \mathbf{p}_{k+1}^c,$$

și apoi, dacă ținem cont de (3.4.2), obținem că

$$\lambda \langle \nabla \mathbf{g}(\mathbf{w}_{k+1}^c)^H \mathbf{p}_{k+1}^c, \mathbf{p}_k^c \rangle = 0,$$

ceea ce este echivalent cu

$$\langle \mathbf{H}^H(\mathbf{w}_{k+1}^c) \mathbf{p}_{k+1}^c, \mathbf{p}_k^c \rangle = 0,$$

sau, mai departe, cu

$$\langle \mathbf{p}_{k+1}^c, \mathbf{H}(\mathbf{w}_{k+1}^c) \mathbf{p}_k^c \rangle = 0, \quad (3.4.3)$$

unde am notat prin  $\mathbf{H}(\mathbf{w}_{k+1}^c)$  hessiana funcției de eroare  $E(\mathbf{w}^c)$ , deoarece  $\mathbf{g}(\mathbf{w}^c) = \nabla E(\mathbf{w}^c)$ , și deci  $\nabla \mathbf{g}(\mathbf{w}^c) = \frac{\partial^2 E}{\partial \mathbf{w}^c \partial \mathbf{w}^c}(\mathbf{w}^c) = \frac{\partial^2 E}{\partial \mathbf{w}^c \partial \mathbf{w}^c}(\mathbf{w}^c)$  este hessiana.

Direcțiile de căutare care satisfac ecuația (3.4.3) se numesc *direcții conjugate*. Metoda direcțiilor conjugate construiește direcțiile de căutare  $\mathbf{p}_k^c$ , astfel încât fiecare nouă direcție este conjugată cu toate cele anterioare.

### 3.4.1 Metoda gradientilor conjugăți liniară

În continuare, vom explica metoda gradientilor conjugăți liniară. Pentru aceasta, să considerăm o funcție de eroare de forma

$$E(\mathbf{w}^c) = E_0 + \mathbf{b}^H \mathbf{w}^c + \frac{1}{2} \mathbf{w}^c H \mathbf{w}^c, \quad (3.4.4)$$

unde  $\mathbf{b}$  și  $\mathbf{H}$  sunt constante, și matricea  $\mathbf{H}$  este presupusă a fi pozitiv definită. Gradientul acestei funcții este dat de

$$\mathbf{g}(\mathbf{w}^c) = \mathbf{b} + \mathbf{H} \mathbf{w}^c. \quad (3.4.5)$$

Vectorul ponderilor  $\mathbf{w}^{c*}$  care minimizează funcția  $E(\mathbf{w}^c)$  satisface ecuația

$$\mathbf{b} + \mathbf{H} \mathbf{w}^{c*} = 0. \quad (3.4.6)$$

După cum am văzut mai devreme din ecuația (3.4.3), o mulțime de  $2N$  vectori nenuli  $\{\mathbf{p}_1^c, \mathbf{p}_2^c, \dots, \mathbf{p}_{2N}^c\} \subset \mathbb{C}^{2N}$  se zice a fi *conjugată față de matricea pozitiv definită  $\mathbf{H}$*  dacă și numai dacă

$$\langle \mathbf{p}_i^c, \mathbf{H} \mathbf{p}_j^c \rangle = 0, \forall i \neq j. \quad (3.4.7)$$

Este ușor de văzut că în aceste condiții, mulțimea de  $2N$  vectori este de asemenea liniar independentă, ceea ce înseamnă că acești vectori formează o bază în  $\mathbb{C}^{2N}$ . Dacă începem din punctul inițial notat  $\mathbf{w}_1^c$  și vrem să găsim valoarea lui  $\mathbf{w}^{c*}$  care minimizează

funcția de eroare dată în (3.4.4), luând în considerare remarcile anterioare, putem scrie că

$$\overset{c}{\mathbf{w}}^* - \overset{c}{\mathbf{w}}_1 = \sum_{i=1}^{2N} \alpha_i \overset{c}{\mathbf{p}}_i. \quad (3.4.8)$$

Acum, dacă punem

$$\overset{c}{\mathbf{w}}_k = \overset{c}{\mathbf{w}}_1 + \sum_{i=1}^{k-1} \alpha_i \overset{c}{\mathbf{p}}_i, \quad (3.4.9)$$

atunci (3.4.8) poate fi scrisă în formă iterativă, astfel

$$\overset{c}{\mathbf{w}}_{k+1} = \overset{c}{\mathbf{w}}_k + \alpha_k \overset{c}{\mathbf{p}}_k, \quad (3.4.10)$$

ceea ce înseamnă că valoarea lui  $\overset{c}{\mathbf{w}}^*$  poate fi determinată în cel mult  $2N$  pași pentru funcția de eroare (3.4.4), folosind iterația de mai sus. Mai trebuie să determinăm parametri reali  $\alpha_k$  care ne spun cât de mult trebuie să avansăm în fiecare dintre cele  $2N$  direcții conjugate  $\overset{c}{\mathbf{p}}_k$ .

Pentru aceasta, înmulțim ecuația (3.4.8) cu  $\mathbf{H}$  la stânga, și luăm produsul scalar euclidian din  $\mathbb{C}^{2N}$  cu  $\overset{c}{\mathbf{p}}_k$ . Ținând cont de ecuația (3.4.6), obținem că

$$-\langle \overset{c}{\mathbf{p}}_k, \mathbf{b} + \mathbf{H}\overset{c}{\mathbf{w}}_1 \rangle = \sum_{i=1}^N \alpha_i \langle \overset{c}{\mathbf{p}}_k, \mathbf{H}\overset{c}{\mathbf{p}}_i \rangle.$$

Dar, pentru că direcțiile  $\overset{c}{\mathbf{p}}_k$  sunt conjugate față de matricea  $\mathbf{H}$ , avem din (3.4.7) că  $\langle \overset{c}{\mathbf{p}}_k, \mathbf{H}\overset{c}{\mathbf{p}}_i \rangle = 0, \forall i \neq k$ , și prin urmare ecuația de mai sus dă următoarea expresie pentru calculul lui  $\alpha_k$ :

$$\alpha_k = -\frac{\langle \overset{c}{\mathbf{p}}_k, \mathbf{b} + \mathbf{H}\overset{c}{\mathbf{w}}_1 \rangle}{\langle \overset{c}{\mathbf{p}}_k, \mathbf{H}\overset{c}{\mathbf{p}}_k \rangle}. \quad (3.4.11)$$

Acum, dacă înmulțim ecuația (3.4.9) cu  $\mathbf{H}$  la stânga și luăm același produs scalar cu  $\overset{c}{\mathbf{p}}_k$ , avem că:

$$\langle \overset{c}{\mathbf{p}}_k, \mathbf{H}\overset{c}{\mathbf{w}}_k \rangle = \langle \overset{c}{\mathbf{p}}_k, \mathbf{H}\overset{c}{\mathbf{w}}_1 \rangle + \sum_{i=1}^{k-1} \alpha_i \langle \overset{c}{\mathbf{p}}_k, \mathbf{H}\overset{c}{\mathbf{p}}_i \rangle,$$

sau, ținând cont că  $\langle \overset{c}{\mathbf{p}}_k, \mathbf{H}\overset{c}{\mathbf{p}}_i \rangle = 0, \forall i \neq k$ , avem că

$$\langle \overset{c}{\mathbf{p}}_k, \mathbf{H}\overset{c}{\mathbf{w}}_k \rangle = \langle \overset{c}{\mathbf{p}}_k, \mathbf{H}\overset{c}{\mathbf{w}}_1 \rangle,$$

și astfel relația (3.4.11) pentru calculul lui  $\alpha_k$  devine:

$$\alpha_k = -\frac{\langle \overset{c}{\mathbf{p}}_k, \mathbf{b} + \mathbf{H}\overset{c}{\mathbf{w}}_k \rangle}{\langle \overset{c}{\mathbf{p}}_k, \mathbf{H}\overset{c}{\mathbf{p}}_k \rangle} = -\frac{\langle \overset{c}{\mathbf{p}}_k, \overset{c}{\mathbf{g}}_k \rangle}{\langle \overset{c}{\mathbf{p}}_k, \mathbf{H}\overset{c}{\mathbf{p}}_k \rangle}, \quad (3.4.12)$$

unde  $\overset{c}{\mathbf{g}}_k := \mathbf{g}(\overset{c}{\mathbf{w}}_k) = \mathbf{b} + \mathbf{H}\overset{c}{\mathbf{w}}_k$ , după cum rezultă din relația (3.4.5).

În final, mai trebuie doar să construim direcțiile mutual conjugate  $\overset{c}{\mathbf{p}}_k$ . Pentru aceasta, prima direcție este inițializată cu gradientul cu semn schimbat al funcției de

eroare în punctul inițial  $\overset{c}{\mathbf{w}}_1$ , i.e.  $\overset{c}{\mathbf{p}}_1 = -\overset{c}{\mathbf{g}}_1$ . Avem următoarea regulă de actualizare pentru direcțiile conjugate:

$$\overset{c}{\mathbf{p}}_{k+1} = -\overset{c}{\mathbf{g}}_{k+1} + \beta_k \overset{c}{\mathbf{p}}_k. \quad (3.4.13)$$

Luând produsul scalar cu  $\mathbf{H}\overset{c}{\mathbf{p}}_k$ , și impunând condiția de conjugare  $\langle \overset{c}{\mathbf{p}}_{k+1}, \mathbf{H}\overset{c}{\mathbf{p}}_k \rangle = 0$ , obținem că

$$\beta_k = \frac{\langle \overset{c}{\mathbf{g}}_{k+1}, \mathbf{H}\overset{c}{\mathbf{p}}_k \rangle}{\langle \overset{c}{\mathbf{p}}_k, \mathbf{H}\overset{c}{\mathbf{p}}_k \rangle}. \quad (3.4.14)$$

Se poate arăta ușor prin inducție că aplicarea repetată a relațiilor (3.4.13) și (3.4.14), dă o mulțime de direcții mutual conjugate față de matricea pozitiv definită  $\mathbf{H}$ .

### 3.4.2 Metoda gradientilor conjugăți neliniară

Până acum, am tratat cazul unei funcții de eroare polinomiale de gradul doi care are o matrice hessiană pozitiv definită  $\mathbf{H}$ . Dar în aplicații practice, funcția de eroare poate fi departe de a fi polinomială de gradul doi, și astfel expresiile pentru calculul lui  $\alpha_k$  și  $\beta_k$  pe care le-am dedus mai sus, s-ar putea să nu fie la fel de precise ca în cazul polinomial. Mai mult, aceste expresii au nevoie de calculul explicit al matricii hessiene  $\mathbf{H}$  pentru fiecare pas al algoritmului, pentru că hessiana este constantă doar în cazul unei funcții de eroare polinomiale de gradul doi. Acest calcul este dificil de făcut, și ar trebui să fie evitat. În cele ce urmează, vom deduce expresii pentru  $\alpha_k$  și  $\beta_k$  care nu necesită calculul explicit al matricii hessiene, și nici măcar nu presupun această matrice ca fiind pozitiv definită.

În primul rând, să luăm în considerare expresia pentru  $\alpha_k$ , dată în (3.4.12). Datorită relației iterative (3.4.10), putem să înlocuim calculul explicit al lui  $\alpha_k$  cu o *căutare liniară inexactă* care minimizează  $E(\overset{c}{\mathbf{w}}_{k+1}) = E(\overset{c}{\mathbf{w}}_k + \alpha_k \overset{c}{\mathbf{p}}_k)$ , i.e. o minimizare liniară de-a lungul direcției  $\overset{c}{\mathbf{p}}_k$ , începând de la punctul  $\overset{c}{\mathbf{w}}_k$ . În experimentele noastre, am folosit metoda secțiunii de aur, care s-a demonstrat că are convergență liniară, de exemplu în [167, 47].

Acum, să ne îndreptăm atenția către  $\beta_k$ . Din (3.4.5), avem că

$$\overset{c}{\mathbf{g}}_{k+1} - \overset{c}{\mathbf{g}}_k = \overset{c}{\mathbf{H}}_k (\overset{c}{\mathbf{w}}_{k+1} - \overset{c}{\mathbf{w}}_k) = \alpha_k \overset{c}{\mathbf{H}}_k \overset{c}{\mathbf{p}}_k, \quad (3.4.15)$$

unde  $\overset{c}{\mathbf{H}}_k := \mathbf{H}(\overset{c}{\mathbf{w}}_k)$ , și deci expresia (3.4.14) devine:

$$\beta_k = \frac{\langle \overset{c}{\mathbf{g}}_{k+1}, \overset{c}{\mathbf{g}}_{k+1} - \overset{c}{\mathbf{g}}_k \rangle}{\langle \overset{c}{\mathbf{p}}_k, \overset{c}{\mathbf{g}}_{k+1} - \overset{c}{\mathbf{g}}_k \rangle}. \quad (3.4.16)$$

Aceasta este cunoscută ca fiind expresia de actualizare *Hestenes-Stiefel*, a se vedea [112].

Pentru a prelucra mai departe această expresie, trebuie să luăm produsul scalar euclidian din  $\mathbb{C}^{2N}$  al ecuației (3.4.15) cu  $\overset{c}{\mathbf{p}}_k$  și să ținem cont de expresia (3.4.12) pentru  $\alpha_k$  obținând astfel

$$\langle \overset{c}{\mathbf{p}}_k, \overset{c}{\mathbf{g}}_{k+1} \rangle = 0. \quad (3.4.17)$$

Luând produsul scalar dintre (3.4.13) și  $\overset{c}{\mathbf{g}}_{k+1}$ , și folosind ecuația de mai sus, rezultă că

$$\langle \overset{c}{\mathbf{p}}_{k+1}, \overset{c}{\mathbf{g}}_{k+1} \rangle = -\langle \overset{c}{\mathbf{g}}_{k+1}, \overset{c}{\mathbf{g}}_{k+1} \rangle. \quad (3.4.18)$$

Acum, inserând relațiile (3.4.17) și (3.4.18) în expresia (3.4.16), obținem expresia de actualizare *Polak-Ribiere* (a se vedea [214]):

$$\beta_k = \frac{\langle \overset{c}{\mathbf{g}}_{k+1}, \overset{c}{\mathbf{g}}_{k+1} - \overset{c}{\mathbf{g}}_k \rangle}{\langle \overset{c}{\mathbf{g}}_k, \overset{c}{\mathbf{g}}_k \rangle}. \quad (3.4.19)$$

În continuare, luăm produsul scalar euclidian din  $\mathbb{C}^{2N}$  al ecuației (3.4.15) cu  $\overset{c}{\mathbf{p}}_i$ ,  $i < k$ , pentru a obține

$$\langle \overset{c}{\mathbf{p}}_i, \overset{c}{\mathbf{g}}_{k+1} - \overset{c}{\mathbf{g}}_k \rangle = \alpha_k \langle \overset{c}{\mathbf{p}}_i, \overset{c}{\mathbf{H}}_k \overset{c}{\mathbf{p}}_k \rangle = 0, \quad (3.4.20)$$

unde am luat în considerare faptul că  $\overset{c}{\mathbf{p}}_i$  și  $\overset{c}{\mathbf{p}}_k$  sunt direcții conjugate, pentru  $i < k$ . Ecuațiile (3.4.20) și (3.4.17) pot fi folosite pentru a demonstra prin inducție că avem

$$\langle \overset{c}{\mathbf{p}}_i, \overset{c}{\mathbf{g}}_k \rangle = 0, \forall i < k \leq N. \quad (3.4.21)$$

Din expresia pentru  $\overset{c}{\mathbf{p}}_{k+1}$  dată în ecuația (3.4.13), deducem că  $\overset{c}{\mathbf{p}}_k$  este dat de o combinație liniară a tuturor vectorilor gradient anteriori, și anume putem scrie că

$$\overset{c}{\mathbf{p}}_i = -\overset{c}{\mathbf{g}}_i + \sum_{j=1}^{k-1} \gamma_j \overset{c}{\mathbf{g}}_j. \quad (3.4.22)$$

Luând produsul scalar al ecuației (3.4.22) cu  $\overset{c}{\mathbf{p}}_i$ ,  $i < k$ , și folosind ecuația (3.4.21), obținem următoarea relație:

$$\langle \overset{c}{\mathbf{g}}_i, \overset{c}{\mathbf{g}}_k \rangle = \sum_{j=1}^{k-1} \gamma_j \langle \overset{c}{\mathbf{g}}_j, \overset{c}{\mathbf{g}}_k \rangle, \forall i < k \leq N.$$

Pornind de la faptul că  $\overset{c}{\mathbf{p}}_1 = -\overset{c}{\mathbf{g}}_1$ , și de la ecuația (3.4.21), obținem prin inducție că

$$\langle \overset{c}{\mathbf{g}}_i, \overset{c}{\mathbf{g}}_k \rangle = 0, \forall i < k \leq N. \quad (3.4.23)$$

În particular, avem că  $\langle \overset{c}{\mathbf{g}}_k, \overset{c}{\mathbf{g}}_{k+1} \rangle = 0$ , și astfel expresia (3.4.19) devine:

$$\beta_k = \frac{\langle \overset{c}{\mathbf{g}}_{k+1}, \overset{c}{\mathbf{g}}_{k+1} \rangle}{\langle \overset{c}{\mathbf{g}}_k, \overset{c}{\mathbf{g}}_k \rangle}. \quad (3.4.24)$$

Această expresie este cunoscută ca formula de actualizare *Fletcher-Reeves*, a se vedea [225].

În fine, utilizând (3.4.23), și anume faptul că  $\langle \overset{c}{\mathbf{g}}_k, \overset{c}{\mathbf{g}}_{k+1} \rangle = 0$ , în ecuația (3.4.16), obținem următoarea formulă de actualizare:

$$\beta_k = \frac{\langle \overset{c}{\mathbf{g}}_{k+1}, \overset{c}{\mathbf{g}}_{k+1} \rangle}{\langle \overset{c}{\mathbf{p}}_k, \overset{c}{\mathbf{g}}_{k+1} - \overset{c}{\mathbf{g}}_k \rangle},$$

care este cunoscută sub numele de expresia de actualizare *Dai-Yuan*, a se vedea [73].

Există două variații ale formulelor de actualizare Hestenes-Stiefel și Polak-Ribiere, a căror convergență s-a demonstrat în [103, 91] chiar dacă este folosită o căutare liniară inexactă pentru a determina valoarea lui  $\alpha_k$ . Dacă notăm cu  $\beta_k^{HS}$ , și respectiv

cu  $\beta_k^{PR}$ , valorile pașilor de actualizare ale celor doi algoritmi, expresiile pentru acești pași care garantează convergența sunt

$$\beta_k^{HS+} = \max\{0, \beta_k^{HS}\},$$

și respectiv

$$\beta_k^{PR+} = \max\{0, \beta_k^{PR}\}.$$

Dacă funcția de eroare  $E$  este pătratică (polinom de gradul doi), atunci metoda gradientilor conjugați va găsi garantat minimum în cel mult  $2N$  pași. Dar, în general, funcția de eroare poate fi departe de a fi pătratică, și astfel algoritmul va avea nevoie de mai mult de  $2N$  pași pentru a se apropia de minim. De-a lungul acestor pași, conjugarea direcțiilor de căutare tinde să se deterioreze, și astfel este o practică comună aceea de a reporni algoritmul cu gradientul cu semn schimbat

$$\mathbf{p}_k^c = -\mathbf{g}_k^c,$$

după  $2N$  pași.

Un algoritm de repornire mai sofisticat, propus de Powell în [222], urmând o idee a lui Beale din [35], este de a reporni dacă există puțină ortogonalitate rămasă între gradientul curent și gradientul anterior. Pentru a testa aceasta, verificăm faptul că are loc următoarea inegalitate:

$$|\langle \mathbf{g}_k^c, \mathbf{g}_{k+1}^c \rangle| \geq 0.2 \langle \mathbf{g}_{k+1}^c, \mathbf{g}_{k+1}^c \rangle.$$

Regula de actualizare (3.4.13) pentru direcția de căutare  $\mathbf{p}_k^c$  este de asemenea schimbată în

$$\mathbf{p}_{k+1}^c = -\mathbf{g}_{k+1}^c + \beta_k \mathbf{p}_k^c + \gamma_k \mathbf{p}_t^c,$$

unde coeficienții  $\beta_k$  și  $\gamma_k$  sunt calculați în felul următor:

$$\beta_k = \frac{\langle \mathbf{g}_{k+1}^c, \mathbf{g}_{k+1}^c - \mathbf{g}_k^c \rangle}{\langle \mathbf{p}_k^c, \mathbf{g}_{k+1}^c - \mathbf{g}_k^c \rangle}$$

$$\gamma_k = \frac{\langle \mathbf{g}_{k+1}^c, \mathbf{g}_{t+1}^c - \mathbf{g}_t^c \rangle}{\langle \mathbf{p}_t^c, \mathbf{g}_{t+1}^c - \mathbf{g}_t^c \rangle},$$

iar  $\mathbf{p}_t^c$  este o direcție descendentă de repornire arbitrar aleasă. Aceste expresii sunt deduse în același fel cu cele de mai sus. Metoda gradientilor conjugați cu aceste caracteristici este numită metoda *Powell-Beale*.

### 3.5 Metoda gradientilor conjugați scalați

După cum am văzut mai sus, în aplicațiile din lumea reală, matricea hessiană poate fi departe de a fi pozitiv definită. Datorită acestui fapt, Møller a propus în [178], metoda gradientilor conjugați scalați care folosește metoda *model trust region* cunoscută de la algoritmul Levenberg-Marquardt, combinată cu metoda gradientilor conjugați. În cele ce urmează, vom prezenta această metodă pentru rețele neuronale cu valori complexe, ca în articolul nostru [221].

Pentru a asigura pozitiv definirea, trebuie să adăugăm la matricea hessiană o constantă pozitivă suficient de mare  $\lambda_k$ , înmulțită cu matricea identitate. Cu această modificare, formula pentru pasul de actualizare dată în (3.4.12), devine



$$\alpha_k = - \frac{\langle \overset{c}{\mathbf{p}}_k, \overset{c}{\mathbf{g}}_k \rangle}{\langle \overset{c}{\mathbf{p}}_k, \overset{c}{\mathbf{H}}_k \overset{c}{\mathbf{p}}_k \rangle + \lambda_k \langle \overset{c}{\mathbf{p}}_k, \overset{c}{\mathbf{p}}_k \rangle}. \quad (3.5.1)$$

Notăm numitorul din (3.5.1) cu  $\delta_k := \langle \overset{c}{\mathbf{p}}_k, \overset{c}{\mathbf{H}}_k \overset{c}{\mathbf{p}}_k \rangle + \lambda_k \langle \overset{c}{\mathbf{p}}_k, \overset{c}{\mathbf{p}}_k \rangle$ . Pentru o hessiană pozitiv definită, avem că  $\delta_k > 0$ . Dar dacă  $\delta_k \leq 0$ , atunci va trebui să creștem valoarea lui  $\delta_k$  pentru a o face pozitivă. Fie  $\bar{\delta}_k$  noua valoare a lui  $\delta_k$ , și, corespunzător, fie  $\bar{\lambda}_k$  noua valoare a lui  $\lambda_k$ . Este clar că avem următoarea relație

$$\bar{\delta}_k = \delta_k + (\bar{\lambda}_k - \lambda_k) \langle \overset{c}{\mathbf{p}}_k, \overset{c}{\mathbf{p}}_k \rangle, \quad (3.5.2)$$

și, pentru ca  $\bar{\delta}_k > 0$ , trebuie să avem  $\bar{\lambda}_k > \lambda_k - \delta_k / \langle \overset{c}{\mathbf{p}}_k, \overset{c}{\mathbf{p}}_k \rangle$ . Møller în [178] alege pentru  $\bar{\lambda}_k$  valoarea

$$\bar{\lambda}_k = 2 \left( \lambda_k - \frac{\delta_k}{\langle \overset{c}{\mathbf{p}}_k, \overset{c}{\mathbf{p}}_k \rangle} \right),$$

și astfel expresia pentru noua valoare a lui  $\delta_k$  dată în (3.5.2), devine

$$\bar{\delta}_k = -\delta_k + \lambda_k \langle \overset{c}{\mathbf{p}}_k, \overset{c}{\mathbf{H}}_k \overset{c}{\mathbf{p}}_k \rangle = -\langle \overset{c}{\mathbf{p}}_k, \overset{c}{\mathbf{H}}_k \overset{c}{\mathbf{p}}_k \rangle,$$

care este acum pozitivă și va fi folosită în (3.5.1) pentru a calcula valoarea lui  $\alpha_k$ .

O altă problemă semnalată mai sus este aproximarea pătratică pentru funcția de eroare  $E$ . Algoritmul gradientilor conjugați scalați rezolvă această problemă prin considerarea unui parametru de comparație definit prin

$$\Delta_k = \frac{E(\overset{c}{\mathbf{w}}_k) - E(\overset{c}{\mathbf{w}}_k + \alpha_k \overset{c}{\mathbf{p}}_k)}{E(\overset{c}{\mathbf{w}}_k) - E_Q(\overset{c}{\mathbf{w}}_k + \alpha_k \overset{c}{\mathbf{p}}_k)}, \quad (3.5.3)$$

unde  $E_Q(\overset{c}{\mathbf{w}}_k + \alpha_k \overset{c}{\mathbf{p}}_k)$  reprezintă aproximarea pătratică locală a funcției de eroare într-o vecinătate a punctului  $\overset{c}{\mathbf{w}}_k$ , dată prin

$$E_Q(\overset{c}{\mathbf{w}}_k + \alpha_k \overset{c}{\mathbf{p}}_k) = E(\overset{c}{\mathbf{w}}_k) + \alpha_k \overset{c}{\mathbf{g}}_k^H \overset{c}{\mathbf{p}}_k + \frac{1}{2} \alpha_k^2 \overset{c}{\mathbf{p}}_k^H \overset{c}{\mathbf{H}}_k \overset{c}{\mathbf{p}}_k,$$

sau

$$E_Q(\overset{c}{\mathbf{w}}_k + \alpha_k \overset{c}{\mathbf{p}}_k) = E(\overset{c}{\mathbf{w}}_k) + \alpha_k \langle \overset{c}{\mathbf{p}}_k, \overset{c}{\mathbf{g}}_k \rangle + \frac{1}{2} \alpha_k^2 \langle \overset{c}{\mathbf{p}}_k, \overset{c}{\mathbf{H}}_k \overset{c}{\mathbf{p}}_k \rangle. \quad (3.5.4)$$

Putem vedea cu ușurință că  $\Delta_k$  măsoară cât de bună este această aproximare pătratică. Introducând relația (3.5.4) în relația (3.5.3), și ținând cont de expresia (3.4.12) pentru  $\alpha_k$ , avem că

$$\Delta_k = \frac{2(E(\overset{c}{\mathbf{w}}_k) - E(\overset{c}{\mathbf{w}}_k + \alpha_k \overset{c}{\mathbf{p}}_k))}{\alpha_k \langle \overset{c}{\mathbf{p}}_k, \overset{c}{\mathbf{g}}_k \rangle}.$$

Valoarea lui  $\lambda_k$  este apoi actualizată în felul următor:

$$\lambda_{k+1} = \begin{cases} \lambda_k/2, & \text{dacă } \Delta_k > 0.75 \\ 4\lambda_k, & \text{dacă } \Delta_k < 0.25, \\ \lambda_k, & \text{altfel} \end{cases} \quad (3.5.5)$$

pentru a asigura o mai bună aproximare pătratică.

Prin urmare, există două stadii ale actualizării lui  $\lambda_k$ : una pentru a ne asigura că  $\delta_k > 0$ , și una corespunzătoare validității aproximării pătratice. Cele două stadii sunt aplicate succesiv după fiecare actualizare a ponderilor.

### 3.6 Metoda Newton

Să presupunem că avem o rețea neuronală cu valori complexe, a cărei funcție de eroare este  $E : \mathbb{C}^{2N} \rightarrow \mathbb{R}$ . Dacă notăm  $\mathbf{g}(\mathbf{w}) := \nabla E(\mathbf{w})$ , gradientul funcției  $E$ , și cu  $\mathbf{H}(\mathbf{w}) := \nabla^2 E(\mathbf{w})$ , hessiana funcției  $E$ , atunci presupunând că  $\mathbf{w} \in \mathbb{C}^{2N}$  este vectorul  $2N$ -dimensional al tuturor ponderilor și bias-urilor rețelei și ale conjugatelor lor, putem găsi minimumul funcției de eroare folosind *metoda lui Newton* care presupune calculul iterativ al vectorului  $\mathbf{w}^*$  care minimizează funcția  $E$  folosind următoarea regulă de actualizare

$$\mathbf{w}_{k+1}^c = \mathbf{w}_k^c - \mathbf{H}^{-1}(\mathbf{w}_k^c) \mathbf{g}(\mathbf{w}_k^c),$$

sau, echivalent, dacă notăm  $\mathbf{H}_k^c := \mathbf{H}(\mathbf{w}_k^c)$  și respectiv  $\mathbf{g}_k^c := \mathbf{g}(\mathbf{w}_k^c)$ ,

$$\mathbf{w}_{k+1}^c = \mathbf{w}_k^c - \mathbf{H}_k^{c-1} \mathbf{g}_k^c.$$

Această regulă de actualizare face o presupunere esențială asupra matricii hessiene, și anume aceea că ea trebuie să fie pozitiv definită. Dacă această condiție nu este îndeplinită, atunci se folosește formula de actualizare modificată

$$\mathbf{w}_{k+1}^c = \mathbf{w}_k^c - (\mathbf{H}_k^c + \lambda_k \mathbf{I}_{2N})^{-1} \mathbf{g}_k^c,$$

unde  $\lambda_k$  este o constantă care se alege astfel încât matricea  $\mathbf{H}_k^c + \lambda_k \mathbf{I}_{2N}$  să fie pozitiv definită.

Deoarece am dat în cadrul metodei gradient un algoritm de calculare a gradientului funcției de eroare a unei rețele neuronale cu valori complexe, pentru a putea implementa metoda Newton, mai trebuie să găsim o modalitate de calcul a hessianei funcției de eroare. Din acest motiv, restul acestei secțiuni este dedicat deducerii complete a unei metode de calcul a hessianei funcției de eroare a unei rețele neuronale cu valori complexe, și respectiv a produsului hessianei cu un vector. Pentru această deducere, s-a folosit calculul Wirtinger, descris în prima secțiune a acestui capitol. Prima subsecțiune dă procedura generală de calcul a hessianei, a doua prezintă o aplicație a acestei proceduri generale pe o rețea cu valori complexe cu un singur strat ascuns, iar ultima este dedicată calculului produsului dintre matricea hessiană și un vector oarecare.

Chiar dacă este complicată din punct de vedere computațional, metoda Newton este cea mai exactă dintre metodele de optimizare de ordinul doi folosite pentru găsirea minimumului funcției de eroare, motiv pentru care am decis s-o includem în studiul nostru despre algoritmi de învățare pentru rețelele neuronale cu valori complexe. În plus, hessiana are și alte aplicații în domeniul rețelelor neuronale, cum ar fi spre exemplu diferiți algoritmi de antrenare a rețelelor, în reantrenarea rapidă a rețelei după o mică modificare în datele de antrenare [44], pentru identificarea celor mai puțin semnificative ponderi ca o bază pentru tehnici de simplificare a rețelelor [158], pentru îmbunătățirea vitezei algoritmilor de antrenare [36], pentru estimarea bayesiană a parametrilor de regularizare [168], pentru asignarea de probabilități diferitelor soluții ale rețelei, și multe altele. Prezentarea noastră urmărește în principal primul articol în care a fost calculată exact hessiana pentru rețelele neuronale cu valori reale, și anume [45], care a fost apoi reluat în cartea clasică [46].

#### 3.6.1 Calculul hessianei

Vom prezenta algoritmul pentru calculul matricii hessiene ca în articolul nostru [216]. Elementele hessianei sunt  $\mathbb{R}$ - și  $\mathbb{R}$ -derivatele parțiale de ordinul doi ale funcției de

eroare  $E(\bar{w})$  față de oricare două ponderi sau bias-uri ale rețelei. Să notăm cu  $w_{mn}^{l_1}$  și  $w_{jk}^{l_2}$  doi astfel de parametri ai rețelei neuronale cu valori complexe, și să presupunem de asemenea că  $2 \leq l_1 \leq l_2 \leq L$ . Pentru acești doi parametri, avem patru  $\mathbb{R}$ - și  $\overline{\mathbb{R}}$ -derivate parțiale de ordinul doi:

$$\frac{\partial^2 E}{\partial w_{mn}^{l_1} \partial w_{jk}^{l_2}}, \quad \frac{\partial^2 E}{\partial \overline{w_{mn}^{l_1}} \partial \overline{w_{jk}^{l_2}}}, \quad \frac{\partial^2 E}{\partial w_{mn}^{l_1} \partial \overline{w_{jk}^{l_2}}}, \quad \frac{\partial^2 E}{\partial \overline{w_{mn}^{l_1}} \partial w_{jk}^{l_2}}.$$

Deoarece calculele sunt asemănătoare, vom da o metodă pentru a calcula  $\overline{\mathbb{R}}$ -derivata parțială de ordinul doi a funcției  $E$  în raport cu  $w_{mn}^{l_1}$  și  $\overline{w_{jk}^{l_2}}$ .

Începem din nou cu regula înlănțuirii

$$\begin{aligned} \frac{\partial^2 E}{\partial w_{mn}^{l_1} \partial \overline{w_{jk}^{l_2}}} &= \frac{\partial s_m^{l_1}}{\partial w_{mn}^{l_1}} \frac{\partial^2 E}{\partial s_m^{l_1} \partial \overline{w_{jk}^{l_2}}} + \frac{\partial \overline{s_m^{l_1}}}{\partial \overline{w_{mn}^{l_1}}} \frac{\partial^2 E}{\partial s_m^{l_1} \partial \overline{w_{jk}^{l_2}}} \\ &= \frac{\overline{x_n^{l_1-1}}}{\partial s_m^{l_1} \partial \overline{w_{jk}^{l_2}}}, \end{aligned}$$

unde avem că  $\frac{\partial s_m^{l_1}}{\partial w_{mn}^{l_1}} = 0$ . Acum, folosind (3.2.4), putem scrie că

$$\begin{aligned} \frac{\partial^2 E}{\partial s_m^{l_1} \partial \overline{w_{jk}^{l_2}}} &= \frac{\partial(\delta_j^{l_2} \overline{x_k^{l_2-1}})}{\partial s_m^{l_1}} \\ &= \frac{\partial \delta_j^{l_2}}{\partial s_m^{l_1}} \overline{x_k^{l_2-1}} + \frac{\partial \overline{x_k^{l_2-1}}}{\partial s_m^{l_1}} \delta_j^{l_2}, \end{aligned} \quad (3.6.1)$$

și, din regula înlănțuirii, că

$$\begin{aligned} \frac{\partial \overline{x_k^{l_2-1}}}{\partial s_m^{l_1}} &= \frac{\partial s_k^{l_2-1}}{\partial s_m^{l_1}} \frac{\partial \overline{x_k^{l_2-1}}}{\partial s_k^{l_2-1}} + \frac{\partial \overline{s_k^{l_2-1}}}{\partial s_m^{l_1}} \frac{\partial \overline{x_k^{l_2-1}}}{\partial \overline{s_k^{l_2-1}}} \\ &= \frac{\partial s_k^{l_2-1}}{\partial s_m^{l_1}} \frac{\partial G^{l_2-1}(s_k^{l_2-1})}{\partial s_k^{l_2-1}} + \frac{\partial \overline{s_k^{l_2-1}}}{\partial s_m^{l_1}} \frac{\partial \overline{G^{l_2-1}(s_k^{l_2-1})}}{\partial \overline{s_k^{l_2-1}}} \\ &= h_{km}^{l_2-1, l_1} \frac{\partial G^{l_2-1}(s_k^{l_2-1})}{\partial s_k^{l_2-1}} + g_{km}^{l_2-1, l_1} \frac{\partial \overline{G^{l_2-1}(s_k^{l_2-1})}}{\partial \overline{s_k^{l_2-1}}}, \end{aligned}$$

unde am notat  $h_{km}^{l_2-1, l_1} := \frac{\partial s_k^{l_2-1}}{\partial s_m^{l_1}}$  și  $g_{km}^{l_2-1, l_1} := \frac{\partial \overline{s_k^{l_2-1}}}{\partial \overline{s_m^{l_1}}}$ . Dacă notăm în continuare  $b_{jm}^{l_2, l_1} :=$

$\frac{\partial \delta_j^{l_2}}{\partial s_m^{l_1}}$ , ecuația (3.6.1) devine

$$\frac{\partial^2 E}{\partial s_m^{l_1} \partial \overline{w_{jk}^{l_2}}} = b_{jm}^{l_2, l_1} \overline{x_k^{l_2-1}} + h_{km}^{l_2-1, l_1} \frac{\partial G^{l_2-1}(s_k^{l_2-1})}{\partial s_k^{l_2-1}} \delta_j^{l_2} + g_{km}^{l_2-1, l_1} \frac{\partial \overline{G^{l_2-1}(s_k^{l_2-1})}}{\partial \overline{s_k^{l_2-1}}} \delta_j^{l_2}.$$

Acum trebuie să găsim o metodă de a calcula  $h_{km}^{l_2-1, l_1}$ ,  $g_{km}^{l_2-1, l_1}$ , și  $b_{jm}^{l_2, l_1}$ . Începem cu primele două. Dacă  $l_2 = l_1$ , avem că  $h_{km}^{l_2-1, l_1} = g_{km}^{l_2-1, l_1} = 0$ , deoarece  $s_k^{l_2-1}$  și  $\overline{s_k^{l_2-1}}$  nu depind de  $\overline{s_m^{l_1}}$ . Dacă  $l_2 - 1 = l_1$ ,  $h_{km}^{l_2-1, l_1} = 0$ ,  $g_{km}^{l_2-1, l_1} = \delta_{km}$ , deoarece  $s_k^{l_2-1}$ ,  $\overline{s_k^{l_2-1}}$ , și  $\overline{s_m^{l_1}}$  sunt acum pe același strat, și  $\delta_{km}$  este simbolul delta al lui Kronecker:  $\delta_{km} = 1$  dacă  $k = m$  și  $\delta_{km} = 0$  dacă  $k \neq m$ . Pentru  $l_2 \geq l_1 + 2$ , (în care caz trebuie să avem  $L \geq 4$ ) putem să aplicăm din nou regula înlănțuirii

$$\begin{aligned} \frac{\partial s_k^{l_2-1}}{\partial s_m^{l_1}} &= \sum_r \left( \frac{\partial s_r^{l_2-2}}{\partial s_m^{l_1}} \frac{\partial s_k^{l_2-1}}{\partial s_r^{l_2-2}} + \frac{\overline{\partial s_r^{l_2-2}}}{\partial s_m^{l_1}} \frac{\overline{\partial s_k^{l_2-1}}}{\partial s_r^{l_2-2}} \right) \\ &= \sum_r \left( h_{rm}^{l_2-2, l_1} w_{kr}^{l_2-1} \frac{\partial G^{l_2-2}(s_r^{l_2-2})}{\partial s_r^{l_2-2}} + g_{rm}^{l_2-2, l_1} w_{kr}^{l_2-1} \frac{\overline{\partial G^{l_2-2}(s_r^{l_2-2})}}{\partial s_r^{l_2-2}} \right), \end{aligned}$$

unde am folosit faptul că

$$\begin{aligned} \frac{\partial s_k^{l_2-1}}{\partial s_r^{l_2-2}} &= \frac{\partial s_k^{l_2-1}}{\partial y_r^{l_2-2}} \frac{\partial y_r^{l_2-2}}{\partial s_r^{l_2-2}} + \frac{\overline{\partial s_k^{l_2-1}}}{\partial y_r^{l_2-2}} \frac{\overline{\partial y_r^{l_2-2}}}{\partial s_r^{l_2-2}} \\ &= w_{kr}^{l_2-1} \frac{\partial G^{l_2-2}(s_r^{l_2-2})}{\partial s_r^{l_2-2}}, \end{aligned}$$

și

$$\begin{aligned} \frac{\overline{\partial s_k^{l_2-1}}}{\partial s_r^{l_2-2}} &= \frac{\overline{\partial s_k^{l_2-1}}}{\partial y_r^{l_2-2}} \frac{\overline{\partial y_r^{l_2-2}}}{\partial s_r^{l_2-2}} + \frac{\partial s_k^{l_2-1}}{\partial y_r^{l_2-2}} \frac{\partial y_r^{l_2-2}}{\partial s_r^{l_2-2}} \\ &= w_{kr}^{l_2-1} \frac{\overline{\partial G^{l_2-2}(s_r^{l_2-2})}}{\partial s_r^{l_2-2}}, \end{aligned}$$

iar suma se ia după toți neuronii  $r$  din stratul  $l_2 - 2$  care trimit conexiuni către neuronul  $k$  din stratul  $l_2 - 1$ .

Similar, avem că

$$\begin{aligned} \frac{\overline{\partial s_k^{l_2-1}}}{\partial s_m^{l_1}} &= \sum_r \left( \frac{\partial s_r^{l_2-2}}{\partial s_m^{l_1}} \frac{\overline{\partial s_k^{l_2-1}}}{\partial s_r^{l_2-2}} + \frac{\overline{\partial s_r^{l_2-2}}}{\partial s_m^{l_1}} \frac{\overline{\partial s_k^{l_2-1}}}{\partial s_r^{l_2-2}} \right) \\ &= \sum_r \left( h_{rm}^{l_2-2, l_1} w_{kr}^{l_2-1} \frac{\overline{\partial G^{l_2-2}(s_r^{l_2-2})}}{\partial s_r^{l_2-2}} + g_{rm}^{l_2-2, l_1} w_{kr}^{l_2-1} \frac{\partial G^{l_2-2}(s_r^{l_2-2})}{\partial s_r^{l_2-2}} \right), \end{aligned}$$

unde, ca mai sus, am folosit

$$\begin{aligned} \frac{\overline{\partial s_k^{l_2-1}}}{\partial s_r^{l_2-2}} &= \frac{\overline{\partial s_k^{l_2-1}}}{\partial y_r^{l_2-2}} \frac{\overline{\partial y_r^{l_2-2}}}{\partial s_r^{l_2-2}} + \frac{\partial s_k^{l_2-1}}{\partial y_r^{l_2-2}} \frac{\partial y_r^{l_2-2}}{\partial s_r^{l_2-2}} \\ &= w_{kr}^{l_2-1} \frac{\overline{\partial G^{l_2-2}(s_r^{l_2-2})}}{\partial s_r^{l_2-2}}, \end{aligned}$$

și

$$\begin{aligned}\frac{\overline{\partial s_k^{l_2-1}}}{\overline{\partial s_r^{l_2-2}}} &= \frac{\overline{\partial s_k^{l_2-1}}}{\overline{\partial y_r^{l_2-2}}} \frac{\overline{\partial y_r^{l_2-2}}}{\overline{\partial s_r^{l_2-2}}} + \frac{\overline{\partial s_k^{l_2-1}}}{\overline{\partial y_r^{l_2-2}}} \frac{\overline{\partial y_r^{l_2-2}}}{\overline{\partial s_r^{l_2-2}}} \\ &= \frac{\overline{w_{kr}^{l_2-1}}}{\overline{\partial s_r^{l_2-2}}} \overline{\partial G^{l_2-2}(s_r^{l_2-2})}.\end{aligned}$$

În concluzie, am obținut următoarele relații de recurență pentru calculul lui  $h_{km}^{l_2-1, l_1}$  și  $g_{km}^{l_2-1, l_1}$ :

$$h_{km}^{l_2-1, l_1} = \sum_r \left( h_{rm}^{l_2-2, l_1} \overline{w_{kr}^{l_2-1}} \frac{\overline{\partial G^{l_2-2}(s_r^{l_2-2})}}{\overline{\partial s_r^{l_2-2}}} + g_{rm}^{l_2-2, l_1} \overline{w_{kr}^{l_2-1}} \frac{\overline{\partial G^{l_2-2}(s_r^{l_2-2})}}{\overline{\partial s_r^{l_2-2}}} \right), \quad (3.6.2)$$

$$g_{km}^{l_2-1, l_1} = \sum_r \left( h_{rm}^{l_2-2, l_1} \overline{w_{kr}^{l_2-1}} \frac{\overline{\partial G^{l_2-2}(s_r^{l_2-2})}}{\overline{\partial s_r^{l_2-2}}} + g_{rm}^{l_2-2, l_1} \overline{w_{kr}^{l_2-1}} \frac{\overline{\partial G^{l_2-2}(s_r^{l_2-2})}}{\overline{\partial s_r^{l_2-2}}} \right). \quad (3.6.3)$$

Acum, să ne îndreptăm atenția către  $b_{jm}^{l_2, l_1}$ . Tratăm mai întâi cazul în care  $l_2 \leq L-1$ . Din formula pentru  $\delta_j^l$  dată în ecuația (3.2.5), avem că

$$\begin{aligned}\frac{\partial \delta_j^{l_2}}{\partial s_m^{l_1}} &= \sum_r \left( \frac{\partial \delta_r^{l_2+1}}{\partial s_m^{l_1}} \overline{w_{rj}^{l_2+1}} \frac{\overline{\partial G^{l_2}(s_j^{l_2})}}{\overline{\partial s_j^{l_2}}} + \delta_r^{l_2+1} \frac{\partial \overline{w_{rj}^{l_2+1}}}{\partial s_m^{l_1}} \frac{\overline{\partial G^{l_2}(s_j^{l_2})}}{\overline{\partial s_j^{l_2}}} \right. \\ &+ \delta_r^{l_2+1} \overline{w_{rj}^{l_2+1}} \frac{\partial^2 \overline{G^{l_2}(s_j^{l_2})}}{\partial s_m^{l_1} \partial s_j^{l_2}} + \frac{\partial \delta_r^{l_2+1}}{\partial s_m^{l_1}} \overline{w_{rj}^{l_2+1}} \frac{\overline{\partial G^{l_2}(s_j^{l_2})}}{\overline{\partial s_j^{l_2}}} \\ &\left. + \delta_r^{l_2+1} \frac{\partial \overline{w_{rj}^{l_2+1}}}{\partial s_m^{l_1}} \frac{\overline{\partial G^{l_2}(s_j^{l_2})}}{\overline{\partial s_j^{l_2}}} + \delta_r^{l_2+1} \overline{w_{rj}^{l_2+1}} \frac{\partial^2 \overline{G^{l_2}(s_j^{l_2})}}{\partial s_m^{l_1} \partial s_j^{l_2}} \right) \\ &= \frac{\overline{\partial G^{l_2}(s_j^{l_2})}}{\overline{\partial s_j^{l_2}}} \sum_r b_{rm}^{l_2+1, l_1} \overline{w_{rj}^{l_2+1}} + \frac{\partial^2 \overline{G^{l_2}(s_j^{l_2})}}{\partial s_m^{l_1} \partial s_j^{l_2}} \sum_r \delta_r^{l_2+1} \overline{w_{rj}^{l_2+1}} \\ &+ \frac{\overline{\partial G^{l_2}(s_j^{l_2})}}{\overline{\partial s_j^{l_2}}} \sum_r a_{rm}^{l_2+1, l_1} \overline{w_{rj}^{l_2+1}} + \frac{\partial^2 \overline{G^{l_2}(s_j^{l_2})}}{\partial s_m^{l_1} \partial s_j^{l_2}} \sum_r \delta_r^{l_2+1} \overline{w_{rj}^{l_2+1}},\end{aligned}$$

unde am notat  $a_{jm}^{l_2, l_1} := \frac{\partial \delta_j^{l_2}}{\partial s_m^{l_1}}$ , iar suma se ia după toți neuronii  $r$  din stratul  $l_2 + 1$  către care neuronul  $j$  din stratul  $l_2$  trimite conexiuni, și  $\frac{\partial \overline{w_{rj}^{l_2+1}}}{\partial s_m^{l_1}} = \frac{\partial \overline{w_{rj}^{l_2+1}}}{\partial s_m^{l_1}} = 0$ . Aceasta înseamnă că trebuie să găsim o formulă pentru a calcula  $a_{jm}^{l_2, l_1}$ , de asemenea. Ca în cazul lui  $b_{jm}^{l_2, l_1}$ , putem scrie că

$$\begin{aligned}
\frac{\partial \overline{\delta_j^{l_2}}}{\partial s_m^{l_1}} &= \sum_r \left( \frac{\partial \overline{\delta_r^{l_2+1}}}{\partial s_m^{l_1}} w_{rj}^{l_2+1} \frac{\partial G^{l_2}(s_j^{l_2})}{\partial s_j^{l_2}} + \overline{\delta_r^{l_2+1}} \frac{\partial w_{rj}^{l_2+1}}{\partial s_m^{l_1}} \frac{\partial G^{l_2}(s_j^{l_2})}{\partial s_j^{l_2}} \right. \\
&+ \overline{\delta_r^{l_2+1}} w_{rj}^{l_2+1} \frac{\partial^2 G^{l_2}(s_j^{l_2})}{\partial s_m^{l_1} \partial s_j^{l_2}} + \frac{\partial \overline{\delta_r^{l_2+1}}}{\partial s_m^{l_1}} w_{rj}^{l_2+1} \frac{\partial G^{l_2}(s_j^{l_2})}{\partial s_j^{l_2}} \\
&\left. + \overline{\delta_r^{l_2+1}} \frac{\partial w_{rj}^{l_2+1}}{\partial s_m^{l_1}} \frac{\partial G^{l_2}(s_j^{l_2})}{\partial s_j^{l_2}} + \overline{\delta_r^{l_2+1}} w_{rj}^{l_2+1} \frac{\partial^2 G^{l_2}(s_j^{l_2})}{\partial s_m^{l_1} \partial s_j^{l_2}} \right) \\
&= \frac{\partial G^{l_2}(s_j^{l_2})}{\partial s_j^{l_2}} \sum_r a_{rm}^{l_2+1, l_1} w_{rj}^{l_2+1} + \frac{\partial^2 G^{l_2}(s_j^{l_2})}{\partial s_m^{l_1} \partial s_j^{l_2}} \sum_r \overline{\delta_r^{l_2+1}} w_{rj}^{l_2+1} \\
&+ \frac{\partial G^{l_2}(s_j^{l_2})}{\partial s_j^{l_2}} \sum_r b_{rm}^{l_2+1, l_1} w_{rj}^{l_2+1} + \frac{\partial^2 G^{l_2}(s_j^{l_2})}{\partial s_m^{l_1} \partial s_j^{l_2}} \sum_r \delta_r^{l_2+1} \overline{w_{rj}^{l_2+1}}. \quad (3.6.4)
\end{aligned}$$

Expresiile pentru  $\mathbb{R}$ - și  $\overline{\mathbb{R}}$ -derivatele parțiale de ordinul doi ale funcțiilor de activare rezultă ușor din aplicarea regulii înălțurii:

$$\begin{aligned}
\frac{\partial^2 G^{l_2}(s_j^{l_2})}{\partial s_m^{l_1} \partial s_j^{l_2}} &= \frac{\partial^2 G^{l_2}(s_j^{l_2})}{\partial s_j^{l_2} \partial s_j^{l_2}} \frac{\partial s_j^{l_2}}{\partial s_m^{l_1}} + \frac{\partial^2 G^{l_2}(s_j^{l_2})}{\partial s_j^{l_2} \partial s_j^{l_2}} \frac{\partial \overline{s_j^{l_2}}}{\partial s_m^{l_1}} \\
&= \frac{\partial^2 G^{l_2}(s_j^{l_2})}{\partial s_j^{l_2} \partial s_j^{l_2}} h_{jm}^{l_2, l_1} + \frac{\partial^2 G^{l_2}(s_j^{l_2})}{\partial s_j^{l_2} \partial s_j^{l_2}} g_{jm}^{l_2, l_1},
\end{aligned}$$

$$\begin{aligned}
\frac{\partial^2 G^{l_2}(s_j^{l_2})}{\partial s_m^{l_1} \partial s_j^{l_2}} &= \frac{\partial^2 G^{l_2}(s_j^{l_2})}{\partial s_j^{l_2} \partial s_j^{l_2}} \frac{\partial s_j^{l_2}}{\partial s_m^{l_1}} + \frac{\partial^2 G^{l_2}(s_j^{l_2})}{\partial s_j^{l_2} \partial s_j^{l_2}} \frac{\partial \overline{s_j^{l_2}}}{\partial s_m^{l_1}} \\
&= \frac{\partial^2 G^{l_2}(s_j^{l_2})}{\partial s_j^{l_2} \partial s_j^{l_2}} h_{jm}^{l_2, l_1} + \frac{\partial^2 G^{l_2}(s_j^{l_2})}{\partial s_j^{l_2} \partial s_j^{l_2}} g_{jm}^{l_2, l_1},
\end{aligned}$$

și cele analoage pentru  $\frac{\partial^2 G^{l_2}(s_j^{l_2})}{\partial s_m^{l_1} \partial s_j^{l_2}}$  și  $\frac{\partial^2 G^{l_2}(s_j^{l_2})}{\partial s_m^{l_1} \partial s_j^{l_2}}$ .

În continuare, avem de tratat cazul în care  $l_2 = L$ . Atunci, din expresia (3.2.5), rezultă că

$$\begin{aligned}
\frac{\partial \delta_j^{l_2}}{\partial s_m^{l_1}} &= \frac{1}{2} \frac{\partial(y_j^{l_2} - t_j)}{\partial s_m^{l_1}} \frac{\partial G^{l_2}(s_j^{l_2})}{\partial s_j^{l_2}} + \frac{1}{2} (y_j^{l_2} - t_j) \frac{\partial^2 G^{l_2}(s_j^{l_2})}{\partial s_m^{l_1} \partial s_j^{l_2}} \\
&+ \frac{1}{2} \frac{\partial(y_j^{l_2} - t_j)}{\partial s_m^{l_1}} \frac{\partial G^{l_2}(s_j^{l_2})}{\partial s_j^{l_2}} + \frac{1}{2} (y_j^{l_2} - t_j) \frac{\partial^2 G^{l_2}(s_j^{l_2})}{\partial s_m^{l_1} \partial s_j^{l_2}} \\
&= \frac{1}{2} \frac{\partial G^{l_2}(s_j^{l_2})}{\partial s_m^{l_1}} \frac{\partial G^{l_2}(s_j^{l_2})}{\partial s_j^{l_2}} + \frac{1}{2} (y_j^{l_2} - t_j) \frac{\partial^2 G^{l_2}(s_j^{l_2})}{\partial s_m^{l_1} \partial s_j^{l_2}} \\
&+ \frac{1}{2} \frac{\partial G^{l_2}(s_j^{l_2})}{\partial s_m^{l_1}} \frac{\partial G^{l_2}(s_j^{l_2})}{\partial s_j^{l_2}} + \frac{1}{2} (y_j^{l_2} - t_j) \frac{\partial^2 G^{l_2}(s_j^{l_2})}{\partial s_m^{l_1} \partial s_j^{l_2}}, \tag{3.6.5}
\end{aligned}$$

și

$$\begin{aligned}
\frac{\partial \delta_j^{l_2}}{\partial s_m^{l_1}} &= \frac{1}{2} \frac{\partial(y_j^{l_2} - t_j)}{\partial s_m^{l_1}} \frac{\partial G^{l_2}(s_j^{l_2})}{\partial s_j^{l_2}} + \frac{1}{2} (y_j^{l_2} - t_j) \frac{\partial^2 G^{l_2}(s_j^{l_2})}{\partial s_m^{l_1} \partial s_j^{l_2}} \\
&+ \frac{1}{2} \frac{\partial(y_j^{l_2} - t_j)}{\partial s_m^{l_1}} \frac{\partial G^{l_2}(s_j^{l_2})}{\partial s_j^{l_2}} + \frac{1}{2} (y_j^{l_2} - t_j) \frac{\partial^2 G^{l_2}(s_j^{l_2})}{\partial s_m^{l_1} \partial s_j^{l_2}} \\
&= \frac{1}{2} \frac{\partial G^{l_2}(s_j^{l_2})}{\partial s_m^{l_1}} \frac{\partial G^{l_2}(s_j^{l_2})}{\partial s_j^{l_2}} + \frac{1}{2} (y_j^{l_2} - t_j) \frac{\partial^2 G^{l_2}(s_j^{l_2})}{\partial s_m^{l_1} \partial s_j^{l_2}} \\
&+ \frac{1}{2} \frac{\partial G^{l_2}(s_j^{l_2})}{\partial s_m^{l_1}} \frac{\partial G^{l_2}(s_j^{l_2})}{\partial s_j^{l_2}} + \frac{1}{2} (y_j^{l_2} - t_j) \frac{\partial^2 G^{l_2}(s_j^{l_2})}{\partial s_m^{l_1} \partial s_j^{l_2}}.
\end{aligned}$$

Expresiile pentru calculul  $\mathbb{R}$ - și  $\overline{\mathbb{R}}$ -derivatelor parțiale de ordinul doi ale funcțiilor de activare sunt la fel ca cele de mai sus. Prin urmare, trebuie doar să mai dăm expresii pentru calculul  $\mathbb{R}$ - și  $\overline{\mathbb{R}}$ -derivatelor parțiale ale funcțiilor de activare folosite în expresiile de mai sus. Acestea sunt deduse prin aplicarea regulii înlănțuirii:

$$\begin{aligned}
\frac{\partial G^{l_2}(s_j^{l_2})}{\partial s_m^{l_1}} &= \frac{\partial G^{l_2}(s_j^{l_2})}{\partial s_j^{l_2}} \frac{\partial s_j^{l_2}}{\partial s_m^{l_1}} + \frac{\partial G^{l_2}(s_j^{l_2})}{\partial s_j^{l_2}} \frac{\partial s_j^{l_2}}{\partial s_m^{l_1}} \\
&= \frac{\partial G^{l_2}(s_j^{l_2})}{\partial s_j^{l_2}} h_{jm}^{l_2, l_1} + \frac{\partial G^{l_2}(s_j^{l_2})}{\partial s_j^{l_2}} g_{jm}^{l_2, l_1},
\end{aligned}$$

și cele analoage pentru  $\frac{\partial G^{l_2}(s_j^{l_2})}{\partial s_m^{l_1}}$ .

Se poate observa că expresiile pentru  $h_{km}^{l_2-1, l_1}$  și  $g_{km}^{l_2-1, l_1}$  sunt calculate prin propagare înainte, iar expresiile pentru  $b_{jm}^{l_2, l_1}$  și  $a_{jm}^{l_2, l_1}$  sunt calculate prin propagare înapoi. În fine, punând totul împreună, obținem următoarea formulă pentru o componentă arbitrară a matricii hessiene a funcției de eroare  $E(\vec{w})$ :

$$\begin{aligned} \frac{\partial^2 E}{\partial \overline{w_{mn}^{l_1}} \partial \overline{w_{jk}^{l_2}}} &= \overline{x_n^{l_1-1} b_{jm}^{l_2, l_1} x_k^{l_2-1}} + \overline{x_n^{l_1-1} h_{km}^{l_2-1, l_1} \frac{\partial G^{l_2-1}(s_k^{l_2-1})}{\partial s_k^{l_2-1}} \delta_j^{l_2}} \\ &+ \overline{x_n^{l_1-1} g_{km}^{l_2-1, l_1} \frac{\partial G^{l_2-1}(s_k^{l_2-1})}{\partial s_k^{l_2-1}} \delta_j^{l_2}}. \end{aligned} \quad (3.6.6)$$

### 3.6.2 Calculul hessienei pentru o rețea neuronală cu trei straturi

În această subsecțiune, vom considera cazul special al unei rețele cu un singur strat ascuns, pentru care  $L = 3$ . Vom nota prin  $i, i'$  neuronii din stratul de intrare, prin  $j, j'$  neuronii din stratul ascuns, și prin  $k, k'$  neuronii din stratul de ieșire. Cu aceste convenții, ecuațiile (3.2.1) și (3.2.2) devin

$$s_j^2 := \sum_i w_{ji}^2 x_i^1 + w_{j0}^2,$$

$$x_j^2 := G^2(s_j^2),$$

$$s_k^3 := \sum_j w_{kj}^3 x_j^2 + w_{k0}^3,$$

$$x_k^3 := G^3(s_k^3).$$

Expresia (3.6.6) pentru  $\mathbb{R}$ -derivata parțială de ordinul doi a funcției de eroare  $E(\vec{w})$ , în cazul  $l_1 = l_2 = 3$ , este

$$\frac{\partial^2 E}{\partial \overline{w_{k'j'}^3} \partial \overline{w_{kj}^3}} = \overline{x_{j'}^2} \frac{\partial \delta_k^3}{\partial s_{k'}^3} \overline{x_j^2},$$

deoarece  $h_{jk'}^{2,3} = g_{jk'}^{2,3} = 0$ . Acum, mai trebuie doar să calculăm  $\frac{\partial \delta_k^3}{\partial s_{k'}^3}$  folosind ecuația (3.6.5):

$$\begin{aligned} \frac{\partial \delta_k^3}{\partial s_{k'}^3} &= \frac{1}{2} \frac{\partial G^3(s_k^3)}{\partial s_{k'}^3} \frac{\partial \overline{G^3(s_k^3)}}{\partial s_k^3} + \frac{1}{2} (y_k^3 - t_k) \frac{\partial^2 \overline{G^3(s_k^3)}}{\partial s_{k'}^3 \partial s_k^3} \\ &+ \frac{1}{2} \frac{\partial \overline{G^3(s_k^3)}}{\partial s_{k'}^3} \frac{\partial G^3(s_k^3)}{\partial s_k^3} + \frac{1}{2} (y_k^3 - t_k) \frac{\partial^2 G^3(s_k^3)}{\partial s_{k'}^3 \partial s_k^3} \\ &= \delta_{k'k} \left[ \frac{\partial G^3(s_k^3)}{\partial s_k^3} \frac{\partial \overline{G^3(s_k^3)}}{\partial s_k^3} + \frac{1}{2} (y_k^3 - t_k) \frac{\partial^2 \overline{G^3(s_k^3)}}{\partial s_k^3{}^2} + \frac{1}{2} (y_k^3 - t_k) \frac{\partial^2 G^3(s_k^3)}{\partial s_k^3{}^2} \right], \end{aligned}$$

unde am folosit expresia (3.2.5) pentru  $\delta_k^3$ , și  $\delta_{k'k}$  este simbolul delta al lui Kronecker definit mai sus. Expresia finală pentru  $\mathbb{R}$ -derivata parțială de ordinul doi este



$$\frac{\partial^2 E}{\partial w_{k',j'}^3 \partial w_{k,j}^3} = \overline{x_j^2 x_j^2} \delta_{k',k} \left[ \frac{\partial G^3(s_k^3)}{\partial s_k^3} \frac{\partial \overline{G^3(s_k^3)}}{\partial s_k^3} + \frac{1}{2} (y_k^3 - t_k) \frac{\partial^2 \overline{G^3(s_k^3)}}{\partial^2 s_k^3} + \frac{1}{2} (\overline{y_k^3} - t_k) \frac{\partial^2 \overline{G^3(s_k^3)}}{\partial^2 s_k^3} \right].$$

Acum, considerăm cazul în care  $l_1 = l_2 = 2$ . Avem de asemenea  $h_{ij'}^{1,2} = g_{ij'}^{1,2} = 0$ , deci expresia (3.6.6) devine

$$\frac{\partial^2 E}{\partial w_{j',i}^2 \partial w_{j,i}^2} = \overline{x_i^1} \frac{\partial \delta_j^2}{\partial s_{j'}^2} \overline{x_i^1}.$$

Trebuie să calculăm  $\frac{\partial \delta_j^2}{\partial s_{j'}^2}$ , și pentru aceasta vom folosi formula (3.6.4):

$$\begin{aligned} \frac{\partial \delta_j^2}{\partial s_{j'}^2} &= \frac{\partial \overline{G^2(s_j^2)}}{\partial s_j^2} \sum_r \overline{b_{rj'}^{3,2} w_{rj}^3} + \frac{\partial^2 \overline{G^2(s_j^2)}}{\partial s_{j'}^2 \partial s_j^2} \sum_r \overline{\delta_r^3 w_{rj}^3} \\ &+ \frac{\partial G^2(s_j^2)}{\partial s_j^2} \sum_r \overline{a_{rj'}^{3,2} w_{rj}^3} + \frac{\partial^2 G^2(s_j^2)}{\partial s_{j'}^2 \partial s_j^2} \sum_r \overline{\delta_r^3 w_{rj}^3}. \end{aligned}$$

Relația de mai sus arată că avem de asemenea nevoie de expresii pentru  $a_{rj'}^{3,2}$  și  $b_{rj'}^{3,2}$ . Folosind din nou ecuația (3.6.5), avem că

$$\begin{aligned} \frac{\partial \overline{\delta_r^3}}{\partial s_{j'}^2} &= \frac{1}{2} \frac{\partial G^3(s_r^3)}{\partial s_{j'}^2} \frac{\partial \overline{G^3(s_r^3)}}{\partial s_r^3} + \frac{1}{2} (\overline{y_r^3} - t_r) \frac{\partial^2 \overline{G^3(s_r^3)}}{\partial s_{j'}^2 \partial s_r^3} \\ &+ \frac{1}{2} \frac{\partial \overline{G^3(s_r^3)}}{\partial s_{j'}^2} \frac{\partial G^3(s_r^3)}{\partial s_r^3} + \frac{1}{2} (\overline{y_r^3} - t_r) \frac{\partial^2 G^3(s_r^3)}{\partial s_{j'}^2 \partial s_r^3}, \end{aligned}$$

și

$$\begin{aligned} \frac{\partial \overline{\delta_r^3}}{\partial s_{j'}^2} &= \frac{1}{2} \frac{\partial \overline{G^3(s_r^3)}}{\partial s_{j'}^2} \frac{\partial G^3(s_r^3)}{\partial s_r^3} + \frac{1}{2} (\overline{y_r^3} - t_r) \frac{\partial^2 G^3(s_r^3)}{\partial s_{j'}^2 \partial s_r^3} \\ &+ \frac{1}{2} \frac{\partial G^3(s_r^3)}{\partial s_{j'}^2} \frac{\partial \overline{G^3(s_r^3)}}{\partial s_r^3} + \frac{1}{2} (\overline{y_r^3} - t_r) \frac{\partial^2 \overline{G^3(s_r^3)}}{\partial s_{j'}^2 \partial s_r^3}, \end{aligned}$$

unde avem următoarele expresii:

$$\frac{\partial G^3(s_r^3)}{\partial s_{j'}^2} = \frac{\partial G^3(s_r^3)}{\partial s_r^3} h_{rj'}^{3,2} + \frac{\partial G^3(s_r^3)}{\partial s_r^3} g_{rj'}^{3,2},$$

și analog pentru  $\frac{\partial \overline{G^3(s_r^3)}}{\partial s_{j'}^2}$ , și

$$\frac{\partial^2 G^3(s_r^3)}{\partial s_r^3 \partial s_{j'}^2} = \frac{\partial^2 G^3(s_r^3)}{\partial s_r^3 \partial s_r^3} h_{rj'}^{3,2} + \frac{\partial^2 G^3(s_r^3)}{\partial s_r^3 \partial s_r^3} g_{rj'}^{3,2},$$

$$\frac{\partial^2 G^3(s_r^3)}{\partial s_r^3 \partial s_{j'}^2} = \frac{\partial^2 G^3(s_r^3)}{\partial s_r^3 \partial s_r^3} h_{rj'}^{3,2} + \frac{\partial^2 G^3(s_r^3)}{\partial s_r^3 \partial s_r^3} g_{rj'}^{3,2},$$

și cele analoge pentru  $\frac{\partial^2 \overline{G^3(s_r^3)}}{\partial s_r^3 \partial s_{j'}^2}$  și  $\frac{\partial^2 \overline{G^3(s_r^3)}}{\partial s_r^3 \partial s_{j'}^2}$ .

În fine, expresiile pentru  $h_{rj'}^{3,2}$  și  $g_{rj'}^{3,2}$  pot fi deduse folosind ecuațiile (3.6.2) și (3.6.3):

$$\begin{aligned} h_{rj'}^{3,2} &= \sum_j \left( h_{jj'}^{2,2} w_{rj}^2 \frac{\partial G^2(s_j^2)}{\partial s_j^2} + g_{jj'}^{2,2} w_{rj}^2 \frac{\partial G^2(s_j^2)}{\partial s_j^2} \right) \\ &= w_{rj'}^2 \frac{\partial G^2(s_{j'}^2)}{\partial s_{j'}^2}, \end{aligned}$$

$$\begin{aligned} g_{rj'}^{3,2} &= \sum_j \left( h_{jj'}^{2,2} \overline{w_{rj}^2} \frac{\partial \overline{G^2(s_j^2)}}{\partial s_j^2} + g_{jj'}^{2,2} \overline{w_{rj}^2} \frac{\partial \overline{G^2(s_j^2)}}{\partial s_j^2} \right) \\ &= \overline{w_{rj'}^2} \frac{\partial \overline{G^2(s_{j'}^2)}}{\partial s_{j'}^2}, \end{aligned}$$

unde am folosit faptul că  $h_{jj'}^{2,2} = 0$ ,  $g_{jj'}^{2,2} = \delta_{jj'}$ .

Ultimul caz este acela în care  $l_1 = 2$ ,  $l_2 = 3$ . În această situație, avem că  $h_{jj'}^{2,2} = 0$ ,  $g_{jj'}^{2,2} = \delta_{jj'}$ , deci expresia (3.6.6) devine

$$\frac{\partial^2 E}{\partial w_{j'i}^2 \partial w_{kj}^3} = x_i^1 b_{kj}^{3,2} x_j^1 + x_i^1 \delta_{jj'} \frac{\partial \overline{G^2(s_j^2)}}{\partial s_j^2} \delta_k^3,$$

în care expresia pentru  $b_{kj}^{3,2}$  a fost dedusă mai sus.

### 3.6.3 Produsul hessianei cu un vector

În unele aplicații, cantitatea de interes nu este matricea hessiană  $\mathbf{H}$  însăși, ci produsul ei cu un vector  $\mathbf{v}$ . Calculul hessianei este o operație de ordinul lui  $N^2$ , unde  $N$  este numărul de ponderi și bias-uri ale rețelei, pe când vectorul  $\mathbf{H}\mathbf{v}$  are  $N$  elemente, și calculul lui este de ordinul lui  $N$ . Din acest motiv, este preferabil să găsim o procedură de calcul direct a produsului  $\mathbf{H}\mathbf{v}$ , fără a trece prin pasul intermediar al calculului hessianei. Prezentarea urmărește pe cea din [209], fiind o adaptare a aceluiași metode din cazul real în cazul complex.

Fiind dată o rețea neuronală cu funcția de eroare  $E$ , din dezvoltarea în serie Taylor de ordinul unu a gradientului  $\nabla E$  al funcției de eroare, avem că

$$\nabla E(\mathbf{w} + \Delta \mathbf{w}) = \nabla E(\mathbf{w}) + \mathbf{H}(\mathbf{w})\Delta \mathbf{w} + O(\|\Delta \mathbf{w}\|^2),$$

unde  $O(\|\Delta \mathbf{w}\|^2)$  desemnează termeni de ordinul doi care depind de  $\|\Delta \mathbf{w}\|$ , iar  $\mathbf{H}(\mathbf{w}) := \nabla^2 E(\mathbf{w})$  reprezintă hessiana funcției de eroare. Dacă scriem relația de mai sus pentru  $\Delta \mathbf{w} = r\mathbf{v}$ , unde  $r$  este un număr real mic, și  $\mathbf{v}$  este un vector, avem că

$$\mathbf{H}(\mathbf{w})(r\mathbf{v}) = r\mathbf{H}(\mathbf{w})\mathbf{v} = \nabla E(\mathbf{w} + \Delta \mathbf{w}) - \nabla E(\mathbf{w}) + O(r^2),$$

sau, echivalent, că

$$\mathbf{H}(\mathbf{w})\mathbf{v} = \frac{\nabla E(\mathbf{w} + \Delta \mathbf{w}) - \nabla E(\mathbf{w})}{r} + O(r).$$

Trecând la limită pentru  $r \rightarrow 0$ , avem că

$$\mathbf{H}(\mathbf{w})\mathbf{v} = \lim_{r \rightarrow 0} \frac{\nabla E(\mathbf{w} + \Delta \mathbf{w}) - \nabla E(\mathbf{w})}{r} = \left. \frac{\partial}{\partial r} \nabla E(\mathbf{w} + r\mathbf{v}) \right|_{r=0}.$$

Acum, pentru a calcula exact produsul  $\mathbf{H}(\mathbf{w})\mathbf{v}$  vom folosi ceea ce poartă denumirea de tehnica  $\mathcal{R}$ . Aceasta este o transformare care convertește un algoritm care calculează gradientul unui sistem într-un algoritm care calculează pe  $\mathbf{H}(\mathbf{w})\mathbf{v}$ . Cheia acestei transformări este să definim operatorul

$$\mathcal{R}\{f(\mathbf{w})\} = \left. \frac{\partial}{\partial r} f(\mathbf{w} + r\mathbf{v}) \right|_{r=0},$$

astfel încât avem

$$\mathbf{H}(\mathbf{w})\mathbf{v} = \mathcal{R}\{\nabla E(\mathbf{w})\}.$$

Acum, putem să luăm toate ecuațiile unui algoritm care calculează gradientul, de exemplu metoda gradient, și să aplicăm operatorul  $\mathcal{R}$  pentru fiecare ecuație. Deoarece  $\mathcal{R}$  este un operator diferențial, el satisface regulile uzuale ale operatorilor diferențiali, cum ar fi, de exemplu următoarele reguli:

$$\mathcal{R}\{cf(\mathbf{w})\} = c\mathcal{R}\{f(\mathbf{w})\}.$$

$$\mathcal{R}\{f(\mathbf{w}) + g(\mathbf{w})\} = \mathcal{R}\{f(\mathbf{w})\} + \mathcal{R}\{g(\mathbf{w})\},$$

$$\mathcal{R}\{f(\mathbf{w})g(\mathbf{w})\} = \mathcal{R}\{f(\mathbf{w})\}g(\mathbf{w}) + f(\mathbf{w})\mathcal{R}\{g(\mathbf{w})\},$$

$$\mathcal{R}\{f(g(\mathbf{w}))\} = f'(g(\mathbf{w}))\mathcal{R}\{g(\mathbf{w})\},$$

$$\mathcal{R}\left\{\frac{df(\mathbf{w})}{dt}\right\} = \frac{d\mathcal{R}\{f(\mathbf{w})\}}{dt}.$$

Se mai poate observa ușor că avem

$$\mathcal{R}\{\mathbf{w}\} = \mathbf{v}.$$

Folosind această tehnică, metoda gradient poate fi transformată într-o metodă de calcul al lui  $\mathcal{R}\{\nabla E(\mathbf{w})\}$ , care este tocmai produsul matricii hessiene cu un vector,  $\mathbf{H}(\mathbf{w})\mathbf{v}$ , pe care dorim să-l calculăm.

Aplicăm deci operatorul  $\mathcal{R}$  formulelor pentru propagarea înainte din metoda gradient

$$s_j^l := \sum_k w_{jk}^l x_k^{l-1} + w_{j0}^l,$$

$$y_j^l := G^l(s_j^l),$$

și obținem

$$\mathcal{R}\{s_j^l\} = \sum_k (\mathcal{R}\{w_{jk}^l\} x_k^{l-1} + w_{jk}^l \mathcal{R}\{x_k^{l-1}\}) + \mathcal{R}\{w_{j0}^l\} = \sum_k (v_{jk}^l x_k^{l-1} + w_{jk}^l \mathcal{R}\{x_k^{l-1}\}) + v_{j0}^l,$$

și respectiv

$$\mathcal{R}\{y_j^l\} = \mathcal{R}\{s_j^l\} \frac{\partial G^l(s_j^l)}{\partial s_j^l} + \mathcal{R}\{\overline{s_j^l}\} \frac{\partial G^l(s_j^l)}{\partial \overline{s_j^l}}.$$

Apoi, din

$$\frac{\partial E}{\partial w_{jk}^l} = \frac{\partial E}{\partial s_j^{l-1}} x_k^{l-1},$$

avem

$$\mathcal{R} \left\{ \frac{\partial E}{\partial w_{jk}^l} \right\} = \mathcal{R} \left\{ \frac{\partial E}{\partial s_j^{l-1}} \right\} x_k^{l-1} + \frac{\partial E}{\partial s_j^{l-1}} \mathcal{R} \left\{ x_k^{l-1} \right\},$$

și din

$$\frac{\partial E}{\partial s_j^l} = \frac{1}{2} (\overline{y_j^l} - t_j) \frac{\partial G^L(s_j^L)}{\partial s_j^L} + \frac{1}{2} (y_j^L - t_j) \frac{\partial \overline{G^L(s_j^L)}}{\partial \overline{s_j^L}},$$

că

$$\begin{aligned} \mathcal{R} \left\{ \frac{\partial E}{\partial s_j^l} \right\} &= \frac{1}{2} \mathcal{R} \left\{ \overline{y_j^L} \right\} \frac{\partial G^L(s_j^L)}{\partial s_j^L} + \frac{1}{2} (\overline{y_j^L} - t_j) \mathcal{R} \left\{ \frac{\partial G^L(s_j^L)}{\partial s_j^L} \right\} \\ &+ \frac{1}{2} \mathcal{R} \left\{ y_j^L \right\} \frac{\partial \overline{G^L(s_j^L)}}{\partial \overline{s_j^L}} + \frac{1}{2} (y_j^L - t_j) \mathcal{R} \left\{ \frac{\partial \overline{G^L(s_j^L)}}{\partial \overline{s_j^L}} \right\}. \end{aligned}$$

Putem scrie că

$$\mathcal{R} \left\{ \frac{\partial G^L(s_j^L)}{\partial s_j^L} \right\} = \mathcal{R}\{s_j^L\} \frac{\partial^2 G^L(s_j^L)}{\partial s_j^L \partial s_j^L} + \mathcal{R}\{\overline{s_j^L}\} \frac{\partial^2 G^L(s_j^L)}{\partial \overline{s_j^L}^2}$$

și

$$\mathcal{R} \left\{ \frac{\partial \overline{G^L(s_j^L)}}{\partial \overline{s_j^L}} \right\} = \mathcal{R}\{s_j^L\} \frac{\partial^2 \overline{G^L(s_j^L)}}{\partial s_j^L \partial s_j^L} + \mathcal{R}\{\overline{s_j^L}\} \frac{\partial^2 \overline{G^L(s_j^L)}}{\partial \overline{s_j^L}^2}.$$

Trecem acum la un strat arbitrar  $l \in \{1, \dots, L-1\}$ . Avem din

$$\frac{\partial E}{\partial w_{jk}^l} = \frac{\partial E}{\partial s_j^{l-1}} x_k^{l-1},$$

că

$$\mathcal{R} \left\{ \frac{\partial E}{\partial w_{jk}^l} \right\} = \mathcal{R} \left\{ \frac{\partial E}{\partial s_j^{l-1}} \right\} x_k^{l-1} + \frac{\partial E}{\partial s_j^{l-1}} \mathcal{R} \left\{ x_k^{l-1} \right\},$$

și din

$$\frac{\partial E}{\partial \overline{s_j^l}} = \sum_r \left( \frac{\partial E}{\partial s_r^{l+1}} \overline{w_{rj}^{l+1}} \frac{\partial \overline{G^l(s_j^l)}}{\partial \overline{s_j^l}} + \frac{\partial E}{\partial s_r^{l+1}} w_{rj}^{l+1} \frac{\partial G^l(s_j^l)}{\partial s_j^l} \right),$$

că

$$\begin{aligned} \mathcal{R} \left\{ \frac{\partial E}{\partial \overline{s_j^l}} \right\} &= \sum_r \mathcal{R} \left\{ \frac{\partial E}{\partial s_r^{l+1}} \overline{w_{rj}^{l+1}} \frac{\partial \overline{G^l(s_j^l)}}{\partial \overline{s_j^l}} + \frac{\partial E}{\partial s_r^{l+1}} w_{rj}^{l+1} \frac{\partial G^l(s_j^l)}{\partial s_j^l} \right\} \\ &= \sum_r \mathcal{R} \left\{ \frac{\partial E}{\partial s_r^{l+1}} \right\} \overline{w_{rj}^{l+1}} \frac{\partial \overline{G^l(s_j^l)}}{\partial \overline{s_j^l}} + \frac{\partial E}{\partial s_r^{l+1}} \overline{v_{rj}^{l+1}} \frac{\partial \overline{G^l(s_j^l)}}{\partial \overline{s_j^l}} \\ &+ \sum_r \frac{\partial E}{\partial s_r^{l+1}} \overline{w_{rj}^{l+1}} \mathcal{R} \left\{ \frac{\partial \overline{G^l(s_j^l)}}{\partial \overline{s_j^l}} \right\} + \mathcal{R} \left\{ \frac{\partial E}{\partial s_r^{l+1}} \right\} w_{rj}^{l+1} \frac{\partial G^l(s_j^l)}{\partial s_j^l} \\ &+ \sum_r \frac{\partial E}{\partial s_r^{l+1}} \overline{v_{rj}^{l+1}} \frac{\partial \overline{G^l(s_j^l)}}{\partial \overline{s_j^l}} + \frac{\partial E}{\partial s_r^{l+1}} w_{rj}^{l+1} \mathcal{R} \left\{ \frac{\partial G^l(s_j^l)}{\partial s_j^l} \right\}, \end{aligned}$$

unde, ca mai sus, putem scrie că

$$\mathcal{R} \left\{ \frac{\partial \overline{G^l(s_j^l)}}{\partial \overline{s_j^l}} \right\} = \mathcal{R}\{s_j^l\} \frac{\partial^2 \overline{G^l(s_j^l)}}{\partial \overline{s_j^l} \partial s_j^l} + \mathcal{R}\{\overline{s_j^l}\} \frac{\partial^2 \overline{G^l(s_j^l)}}{\partial \overline{s_j^l}^2}$$

și

$$\mathcal{R} \left\{ \frac{\partial G^l(s_j^l)}{\partial s_j^l} \right\} = \mathcal{R}\{s_j^l\} \frac{\partial^2 G^l(s_j^l)}{\partial s_j^l \partial s_j^l} + \mathcal{R}\{\overline{s_j^l}\} \frac{\partial^2 G^l(s_j^l)}{\partial \overline{s_j^l}^2}.$$

### 3.7 Metode quasi-Newton

După cum am evidențiat în secțiunea anterioară, principalul dezavantaj al metodei Newton este acela că hessiana și inversa ei sunt dificil de calculat. Din acest motiv, *metodele quasi-Newton* urmăresc înlocuirea hessianei funcției de eroare cu o aproximare a ei, care ar fi preferabil să fie pozitiv definită prin construcție, pentru a se evita problemele apărute în acest sens în cazul metodei Newton. Prezentarea acestor metode pentru cazul complex este făcută ca în articolul nostru [220].

Astfel, fie  $E : \mathbb{C}^{2N} \rightarrow \mathbb{R}$  funcția de eroare a unei rețele neuronale cu valori complexe. Metoda Newton ne dă următoarea regulă de actualizare pentru vectorul  $\overline{\mathbf{w}}^c \in \mathbb{C}^{2N}$  al ponderilor și bias-urilor rețelei:

$$\overline{\mathbf{w}}_{k+1}^c = \overline{\mathbf{w}}_k^c - (\nabla^2 E(\overline{\mathbf{w}}_k^c))^{-1} \nabla E(\overline{\mathbf{w}}_k^c).$$

În metodele quasi-Newton se înlocuiește inversa hessianei  $(\nabla^2 E(\overline{\mathbf{w}}_k^c))^{-1}$  cu o matrice  $\overline{\mathbf{H}}_{k+1}^c$  care se poate calcula mai ușor. Din dezvoltarea în serie Taylor de ordinul unu a gradientului  $\nabla E$  al funcției de eroare, avem că

$$\nabla E(\overline{\mathbf{w}}_{k+1}^c) = \nabla E(\overline{\mathbf{w}}_k^c) + \nabla^2 E(\overline{\mathbf{w}}_k^c) (\overline{\mathbf{w}}_{k+1}^c - \overline{\mathbf{w}}_k^c).$$

Dacă aproximăm hessiana funcției de eroare  $\nabla^2 E(\overset{c}{\mathbf{w}}_k)$  cu o matrice  $\overset{c}{\mathbf{B}}_{k+1}$ , relația de mai sus devine

$$\nabla E(\overset{c}{\mathbf{w}}_{k+1}) - \nabla E(\overset{c}{\mathbf{w}}_k) = \overset{c}{\mathbf{B}}_{k+1}(\overset{c}{\mathbf{w}}_{k+1} - \overset{c}{\mathbf{w}}_k). \quad (3.7.1)$$

Făcând notațiile  $\overset{c}{\mathbf{g}}_k := \nabla E(\overset{c}{\mathbf{w}}_k)$  și respectiv

$$\overset{c}{\mathbf{p}}_k := \overset{c}{\mathbf{w}}_{k+1} - \overset{c}{\mathbf{w}}_k,$$

și

$$\overset{c}{\mathbf{q}}_k := \overset{c}{\mathbf{g}}_{k+1} - \overset{c}{\mathbf{g}}_k,$$

ecuația (3.7.1) devine

$$\overset{c}{\mathbf{q}}_k = \overset{c}{\mathbf{B}}_{k+1} \overset{c}{\mathbf{p}}_k, \quad (3.7.2)$$

relație care poartă denumirea de *ecuația secantei*. Aceasta poate fi scrisă echivalent și sub forma

$$\overset{c}{\mathbf{p}}_k = \overset{c}{\mathbf{H}}_{k+1} \overset{c}{\mathbf{q}}_k, \quad (3.7.3)$$

unde evident avem că  $\overset{c}{\mathbf{H}}_{k+1} = \overset{c}{\mathbf{B}}_{k+1}^{-1}$ .

Cea mai simplă dintre metodele quasi-Newton este *metoda actualizării de rang unu*, în care se pornește de la o matrice inițială  $\overset{c}{\mathbf{H}}_0$  hermitiană și pozitiv definită, și se calculează iterativ matricea  $\overset{c}{\mathbf{H}}_k$  folosind recurența

$$\overset{c}{\mathbf{H}}_{k+1} = \overset{c}{\mathbf{H}}_k + a_k \overset{c}{\mathbf{r}}_k \overset{c}{\mathbf{r}}_k^H, \quad (3.7.4)$$

unde  $a_k \in \mathbb{R}$  și vectorul  $\overset{c}{\mathbf{r}}_k \in \mathbb{C}^{2N}$  sunt alese astfel încât să fie satisfăcută ecuația secantei (3.7.2) sau (3.7.3). Combinând acum ecuația (3.7.3) cu (3.7.4), rezultă că

$$\overset{c}{\mathbf{p}}_k = \overset{c}{\mathbf{H}}_{k+1} \overset{c}{\mathbf{q}}_k = (\overset{c}{\mathbf{H}}_k + a_k \overset{c}{\mathbf{r}}_k \overset{c}{\mathbf{r}}_k^H) \overset{c}{\mathbf{q}}_k = \overset{c}{\mathbf{H}}_k \overset{c}{\mathbf{q}}_k + a_k \overset{c}{\mathbf{r}}_k \overset{c}{\mathbf{r}}_k^H \overset{c}{\mathbf{q}}_k.$$

De aici, rezultă că

$$(\overset{c}{\mathbf{p}}_k - \overset{c}{\mathbf{H}}_k \overset{c}{\mathbf{q}}_k)(\overset{c}{\mathbf{p}}_k - \overset{c}{\mathbf{H}}_k \overset{c}{\mathbf{q}}_k)^H = a_k^2 \overset{c}{\mathbf{r}}_k |\overset{c}{\mathbf{r}}_k^H \overset{c}{\mathbf{q}}_k|^2 \overset{c}{\mathbf{r}}_k^H,$$

și respectiv

$$(\overset{c}{\mathbf{p}}_k - \overset{c}{\mathbf{H}}_k \overset{c}{\mathbf{q}}_k)^H \overset{c}{\mathbf{q}}_k = (a_k \overset{c}{\mathbf{r}}_k \overset{c}{\mathbf{r}}_k^H \overset{c}{\mathbf{q}}_k)^H \overset{c}{\mathbf{q}}_k = a_k |\overset{c}{\mathbf{q}}_k^H \overset{c}{\mathbf{r}}_k|^2,$$

(unde  $|z|$  reprezintă modulul numărului complex  $z$ ) pe care dacă le împărțim, obținem că

$$a_k \overset{c}{\mathbf{r}}_k \overset{c}{\mathbf{r}}_k^H = \frac{(\overset{c}{\mathbf{p}}_k - \overset{c}{\mathbf{H}}_k \overset{c}{\mathbf{q}}_k)(\overset{c}{\mathbf{p}}_k - \overset{c}{\mathbf{H}}_k \overset{c}{\mathbf{q}}_k)^H}{(\overset{c}{\mathbf{p}}_k - \overset{c}{\mathbf{H}}_k \overset{c}{\mathbf{q}}_k)^H \overset{c}{\mathbf{q}}_k},$$

și întorcându-ne în ecuația (3.7.4), obținem iterația pentru calculul aproximării inversei hessienei  $\overset{c}{\mathbf{H}}_k$  sub forma

$$\overset{c}{\mathbf{H}}_{k+1} = \overset{c}{\mathbf{H}}_k + \frac{(\overset{c}{\mathbf{p}}_k - \overset{c}{\mathbf{H}}_k \overset{c}{\mathbf{q}}_k)(\overset{c}{\mathbf{p}}_k - \overset{c}{\mathbf{H}}_k \overset{c}{\mathbf{q}}_k)^H}{(\overset{c}{\mathbf{p}}_k - \overset{c}{\mathbf{H}}_k \overset{c}{\mathbf{q}}_k)^H \overset{c}{\mathbf{q}}_k}, \quad (3.7.5)$$

care este cunoscută sub denumirea de *metoda actualizării de rang unu*. Din faptul că matricea inițială  $\overset{c}{\mathbf{H}}_0$  este hermitiană și pozitiv definită, rezultă imediat că toate matricile  $\overset{c}{\mathbf{H}}_k$  au această proprietate.

Dacă dorim să facem direct aproximarea hessianei  $\overset{c}{\mathbf{B}}_k$ , pornim la fel cu o matrice inițială hermitiană și pozitiv definită  $\overset{c}{\mathbf{B}}_0$ . Apoi, folosind formula Sherman-Morrison, care spune că dacă  $\mathbf{A}$  este o matrice pătratică inversabilă de ordin  $2N$  cu elemente complexe, și  $\mathbf{u}, \mathbf{v} \in \mathbb{C}^{2N}$  astfel încât  $1 + \mathbf{v}^H \mathbf{A}^{-1} \mathbf{u} \neq 0$ , atunci are loc

$$(\mathbf{A} + \mathbf{u}\mathbf{v}^H)^{-1} = \mathbf{A}^{-1} - \frac{\mathbf{A}^{-1}\mathbf{u}\mathbf{v}^H\mathbf{A}^{-1}}{1 + \mathbf{v}^H\mathbf{A}^{-1}\mathbf{u}}, \quad (3.7.6)$$

și ecuația (3.7.5), obținem actualizarea pentru  $\overset{c}{\mathbf{B}}_k$  sub forma

$$\overset{c}{\mathbf{B}}_{k+1} = \overset{c}{\mathbf{B}}_k + \frac{(\overset{c}{\mathbf{q}}_k - \overset{c}{\mathbf{B}}_k \overset{c}{\mathbf{p}}_k)(\overset{c}{\mathbf{q}}_k - \overset{c}{\mathbf{B}}_k \overset{c}{\mathbf{p}}_k)^H}{(\overset{c}{\mathbf{q}}_k - \overset{c}{\mathbf{B}}_k \overset{c}{\mathbf{p}}_k)^H \overset{c}{\mathbf{p}}_k}.$$

În continuare, pentru a prezenta metodele quasi-Newton cu actualizări de rang doi, folosim ideile din [76]. Pornim de la ecuația secantei scrisă sub forma (3.7.3):

$$\overset{c}{\mathbf{p}}_k = \overset{c}{\mathbf{H}}_{k+1} \overset{c}{\mathbf{q}}_k.$$

Vom defini iterația pentru calculul lui  $\overset{c}{\mathbf{H}}_{k+1}$  sub forma

$$\overset{c}{\mathbf{H}}_{k+1} = \arg \min_{\substack{\overset{c}{\mathbf{H}} = \overset{c}{\mathbf{H}}^H \\ \overset{c}{\mathbf{p}}_k = \overset{c}{\mathbf{H}} \overset{c}{\mathbf{q}}_k}} \|\overset{c}{\mathbf{H}} - \overset{c}{\mathbf{H}}_k\|, \quad (3.7.7)$$

unde  $\|\overset{c}{\mathbf{H}}\|$  este norma Frobenius a matricii  $\overset{c}{\mathbf{H}}$ , definită prin  $\|\overset{c}{\mathbf{H}}\| := \sqrt{\text{Tr}(\overset{c}{\mathbf{H}}\overset{c}{\mathbf{H}}^H)}$ ,  $\text{Tr}(\overset{c}{\mathbf{H}})$  fiind urma matricii  $\overset{c}{\mathbf{H}}$ . Relația (3.7.7) ne spune că vrem să găsim acea matrice hermitiană  $\overset{c}{\mathbf{H}}_{k+1}$  care este cea mai apropiată în sensul normei Frobenius de matricea  $\overset{c}{\mathbf{H}}_k$ , și care satisface ecuația secantei (3.7.3). Se poate demonstra ușor că soluția pentru (3.7.7) este dată de

$$\overset{c}{\mathbf{H}}_{k+1} = \overset{c}{\mathbf{H}}_k + \frac{(\overset{c}{\mathbf{p}}_k - \overset{c}{\mathbf{H}}_k \overset{c}{\mathbf{q}}_k) \overset{c}{\mathbf{q}}_k^H}{\overset{c}{\mathbf{q}}_k^H \overset{c}{\mathbf{q}}_k}.$$

Luând descompunerea Cholesky a matricii  $\overset{c}{\mathbf{H}}_{k+1}$  sub forma

$$\overset{c}{\mathbf{H}}_{k+1} = \overset{c}{\mathbf{L}}_{k+1} \overset{c}{\mathbf{L}}_{k+1}^H,$$

se poate demonstra că  $\overset{c}{\mathbf{H}}_{k+1}$  este hermitiană și pozitiv definită dacă și numai dacă există  $\overset{c}{\mathbf{v}}_k \in \mathbb{C}^{2N}$  astfel încât  $\overset{c}{\mathbf{L}}_{k+1} \overset{c}{\mathbf{v}}_k = \overset{c}{\mathbf{p}}_k$  și  $\overset{c}{\mathbf{v}}_k = \overset{c}{\mathbf{L}}_{k+1}^H \overset{c}{\mathbf{q}}_k$ . Dacă vom lua pe  $\overset{c}{\mathbf{L}}_{k+1}$  astfel încât

$$\begin{aligned} \mathbf{L}_{k+1}^c &= \arg \min_{\substack{\mathbf{L}=\mathbf{L}^c \\ \mathbf{p}_k=\mathbf{L}^c \mathbf{v}_k}} \|\mathbf{L}^c - \mathbf{L}_k^c\|, \end{aligned}$$

rezultă ca mai sus că

$$\mathbf{L}_{k+1}^c = \mathbf{L}_k^c + \frac{(\mathbf{p}_k^c - \mathbf{L}_k^c \mathbf{v}_k^c) \mathbf{v}_k^{cH}}{\mathbf{v}_k^{cH} \mathbf{v}_k^c}. \quad (3.7.8)$$

Avem în continuare că

$$\mathbf{v}_k^c = \mathbf{L}_{k+1}^{cH} \mathbf{q}_k^c = \mathbf{L}_k^{cH} \mathbf{q}_k^c + \frac{\mathbf{p}_k^{cH} \mathbf{q}_k^c - \mathbf{v}_k^{cH} \mathbf{L}_k^c \mathbf{q}_k^c}{\mathbf{v}_k^{cH} \mathbf{v}_k^c} \mathbf{v}_k^c,$$

de unde rezultă că există  $\alpha_k \in \mathbb{C}$  astfel încât să avem  $\mathbf{v}_k^c = \alpha_k \mathbf{L}_k^{cH} \mathbf{q}_k^c$ . Obținem mai departe că

$$\alpha_k = 1 + \frac{\alpha_k^{cH} \mathbf{p}_k^c \mathbf{q}_k^c - |\alpha_k|^2 \mathbf{q}_k^{cH} \mathbf{H}_k^c \mathbf{q}_k^c}{|\alpha_k|^2 \mathbf{q}_k^{cH} \mathbf{H}_k^c \mathbf{q}_k^c},$$

și apoi

$$|\alpha_k|^2 = \frac{\mathbf{p}_k^{cH} \mathbf{q}_k^c}{\mathbf{q}_k^{cH} \mathbf{H}_k^c \mathbf{q}_k^c},$$

iar dacă revenim în (3.7.8), rezultă că

$$\mathbf{L}_{k+1}^c = \mathbf{L}_k^c \left( \mathbf{I}_{2N} \pm \sqrt{\frac{\mathbf{p}_k^{cH} \mathbf{q}_k^c \mathbf{p}_k^c \mathbf{q}_k^{cH}}{\mathbf{q}_k^{cH} \mathbf{H}_k^c \mathbf{q}_k^c \mathbf{p}_k^c \mathbf{q}_k^c} - \frac{\mathbf{H}_k^c \mathbf{q}_k^c \mathbf{q}_k^{cH}}{\mathbf{q}_k^{cH} \mathbf{H}_k^c \mathbf{q}_k^c}} \right).$$

ținând seama că  $\mathbf{H}_{k+1}^c = \mathbf{L}_{k+1}^c \mathbf{L}_{k+1}^{cH}$ , obținem în final actualizarea pentru calculul matricii  $\mathbf{H}_k^c$ :

$$\mathbf{H}_{k+1}^c = \mathbf{H}_k^c + \frac{\mathbf{p}_k^c \mathbf{p}_k^{cH}}{\mathbf{p}_k^{cH} \mathbf{q}_k^c} - \frac{\mathbf{H}_k^c \mathbf{q}_k^c \mathbf{q}_k^{cH} \mathbf{H}_k^c}{\mathbf{q}_k^{cH} \mathbf{H}_k^c \mathbf{q}_k^c}.$$

Aceasta este cunoscută sub denumirea de *metoda Davidon-Fletcher-Powell (DFP)*, a se vedea [85]. Folosind formula Sherman-Morrison dată în (3.7.6), obținem actualizarea pentru aproximarea  $\mathbf{B}_k^c$  a hessianei ca fiind

$$\mathbf{B}_{k+1}^c = \left( \mathbf{I}_{2N} - \frac{\mathbf{q}_k^c \mathbf{p}_k^{cH}}{\mathbf{p}_k^{cH} \mathbf{q}_k^c} \right) \mathbf{B}_k^c \left( \mathbf{I}_{2N} - \frac{\mathbf{p}_k^c \mathbf{q}_k^{cH}}{\mathbf{p}_k^{cH} \mathbf{q}_k^c} \right) + \frac{\mathbf{q}_k^c \mathbf{q}_k^{cH}}{\mathbf{p}_k^{cH} \mathbf{q}_k^c}.$$

Acum, pornind cu ecuația secantei sub forma (3.7.2)

$$\mathbf{B}_{k+1}^c \mathbf{p}_k^c = \mathbf{q}_k^c,$$



și definind iterația pentru calculul lui  $\overset{c}{\mathbf{B}}_{k+1}$  sub forma

$$\overset{c}{\mathbf{B}}_{k+1} = \arg \min_{\substack{\overset{c}{\mathbf{B}} = \overset{c}{\mathbf{B}} \\ \overset{c}{\mathbf{q}}_k = \overset{c}{\mathbf{B}} \overset{c}{\mathbf{p}}_k}} \|\overset{c}{\mathbf{B}} - \overset{c}{\mathbf{B}}_k\|,$$

obținem, analog ca mai sus, că

$$\overset{c}{\mathbf{B}}_{k+1} = \overset{c}{\mathbf{B}}_k + \frac{(\overset{c}{\mathbf{q}}_k - \overset{c}{\mathbf{B}}_k \overset{c}{\mathbf{p}}_k) \overset{c}{\mathbf{p}}_k^H}{\overset{c}{\mathbf{p}}_k^H \overset{c}{\mathbf{p}}_k},$$

unde am folosit aceeași normă Frobenius pentru matrici.

Folosind același raționament ca în cazul metodei DFP, avem în final următoarea actualizare pentru  $\overset{c}{\mathbf{B}}_k$ :

$$\overset{c}{\mathbf{B}}_{k+1} = \overset{c}{\mathbf{B}}_k + \frac{\overset{c}{\mathbf{q}}_k \overset{c}{\mathbf{q}}_k^H}{\overset{c}{\mathbf{q}}_k^H \overset{c}{\mathbf{p}}_k} - \frac{\overset{c}{\mathbf{B}}_k \overset{c}{\mathbf{p}}_k \overset{c}{\mathbf{p}}_k^H \overset{c}{\mathbf{B}}_k}{\overset{c}{\mathbf{p}}_k^H \overset{c}{\mathbf{B}}_k \overset{c}{\mathbf{p}}_k}.$$

Aceasta poartă denumirea de *metoda Broyden-Fletcher-Goldfarb-Shanno (BFGS)*, a se vedea [238]. Folosind din nou formula Sherman-Morrison (3.7.6), obținem acum actualizarea pentru aproximarea  $\overset{c}{\mathbf{H}}_k$  a inversei hessianei ca fiind

$$\overset{c}{\mathbf{H}}_{k+1} = \left( \mathbf{I}_{2N} - \frac{\overset{c}{\mathbf{p}}_k \overset{c}{\mathbf{q}}_k^H}{\overset{c}{\mathbf{q}}_k^H \overset{c}{\mathbf{p}}_k} \right) \overset{c}{\mathbf{H}}_k \left( \mathbf{I}_{2N} - \frac{\overset{c}{\mathbf{q}}_k \overset{c}{\mathbf{p}}_k^H}{\overset{c}{\mathbf{p}}_k^H \overset{c}{\mathbf{B}}_k \overset{c}{\mathbf{p}}_k} \right) + \frac{\overset{c}{\mathbf{p}}_k \overset{c}{\mathbf{p}}_k^H}{\overset{c}{\mathbf{q}}_k^H \overset{c}{\mathbf{p}}_k}.$$

O metodă simplificatoare care presupune că  $\overset{c}{\mathbf{H}}_k = \mathbf{I}_{2N}$ , calculează următoarea direcție de căutare după formula

$$\overset{c}{\mathbf{d}}_{k+1} = -\overset{c}{\mathbf{H}}_{k+1} \overset{c}{\mathbf{g}}_{k+1},$$

unde dacă facem înlocuirea

$$\begin{aligned} \overset{c}{\mathbf{H}}_{k+1} &= \left( \mathbf{I}_{2N} - \frac{\overset{c}{\mathbf{p}}_k \overset{c}{\mathbf{q}}_k^H}{\overset{c}{\mathbf{q}}_k^H \overset{c}{\mathbf{p}}_k} \right) \left( \mathbf{I}_{2N} - \frac{\overset{c}{\mathbf{q}}_k \overset{c}{\mathbf{p}}_k^H}{\overset{c}{\mathbf{p}}_k^H \overset{c}{\mathbf{B}}_k \overset{c}{\mathbf{p}}_k} \right) + \frac{\overset{c}{\mathbf{p}}_k \overset{c}{\mathbf{p}}_k^H}{\overset{c}{\mathbf{q}}_k^H \overset{c}{\mathbf{p}}_k} \\ &= \mathbf{I}_{2N} - \frac{\overset{c}{\mathbf{p}}_k \overset{c}{\mathbf{q}}_k^H}{\overset{c}{\mathbf{q}}_k^H \overset{c}{\mathbf{p}}_k} - \frac{\overset{c}{\mathbf{q}}_k \overset{c}{\mathbf{p}}_k^H}{\overset{c}{\mathbf{p}}_k^H \overset{c}{\mathbf{B}}_k \overset{c}{\mathbf{p}}_k} + \frac{\overset{c}{\mathbf{p}}_k \overset{c}{\mathbf{q}}_k \overset{c}{\mathbf{q}}_k^H \overset{c}{\mathbf{p}}_k^H}{\left( \overset{c}{\mathbf{q}}_k^H \overset{c}{\mathbf{p}}_k \right)^2} + \frac{\overset{c}{\mathbf{p}}_k \overset{c}{\mathbf{p}}_k^H}{\overset{c}{\mathbf{q}}_k^H \overset{c}{\mathbf{p}}_k} \\ &= \mathbf{I}_{2N} - \frac{\overset{c}{\mathbf{p}}_k \overset{c}{\mathbf{q}}_k^H}{\overset{c}{\mathbf{q}}_k^H \overset{c}{\mathbf{p}}_k} - \frac{\overset{c}{\mathbf{q}}_k \overset{c}{\mathbf{p}}_k^H}{\overset{c}{\mathbf{p}}_k^H \overset{c}{\mathbf{B}}_k \overset{c}{\mathbf{p}}_k} + \frac{\overset{c}{\mathbf{p}}_k \overset{c}{\mathbf{p}}_k^H}{\overset{c}{\mathbf{q}}_k^H \overset{c}{\mathbf{p}}_k} \left( 1 + \frac{\overset{c}{\mathbf{q}}_k \overset{c}{\mathbf{q}}_k^H}{\overset{c}{\mathbf{q}}_k^H \overset{c}{\mathbf{p}}_k} \right), \end{aligned}$$

avem că

$$\begin{aligned} \mathbf{d}_{k+1}^c &= -\mathbf{g}_{k+1}^c + \mathbf{p}_k^c \frac{\mathbf{q}_k^{Hc} \mathbf{g}_{k+1}^c}{\mathbf{q}_k^{Hc} \mathbf{p}_k^c} + \mathbf{q}_k^c \frac{\mathbf{p}_k^{Hc} \mathbf{g}_{k+1}^c}{\mathbf{q}_k^{Hc} \mathbf{p}_k^c} - \mathbf{p}_k^c \frac{\mathbf{p}_k^{Hc} \mathbf{g}_{k+1}^c}{\mathbf{q}_k^{Hc} \mathbf{p}_k^c} \left( 1 + \frac{\mathbf{q}_k^{Hc} \mathbf{q}_k^c}{\mathbf{q}_k^{Hc} \mathbf{p}_k^c} \right) \\ &= -\mathbf{g}_{k+1}^c + \mathbf{p}_k^c \left( \frac{\mathbf{q}_k^{Hc} \mathbf{g}_{k+1}^c}{\mathbf{q}_k^{Hc} \mathbf{p}_k^c} - \frac{\mathbf{p}_k^{Hc} \mathbf{g}_{k+1}^c}{\mathbf{q}_k^{Hc} \mathbf{p}_k^c} \left( 1 + \frac{\mathbf{q}_k^{Hc} \mathbf{q}_k^c}{\mathbf{q}_k^{Hc} \mathbf{p}_k^c} \right) \right) + \mathbf{q}_k^c \frac{\mathbf{p}_k^{Hc} \mathbf{g}_{k+1}^c}{\mathbf{q}_k^{Hc} \mathbf{p}_k^c}, \end{aligned}$$

sau, scriind compact, că

$$\mathbf{d}_{k+1}^c = -\mathbf{g}_{k+1}^c + A_k \mathbf{p}_k^c + B_k \mathbf{q}_k^c,$$

unde

$$\begin{aligned} A_k &= - \left( 1 + \frac{\mathbf{q}_k^{Hc} \mathbf{q}_k^c}{\mathbf{q}_k^{Hc} \mathbf{p}_k^c} \right) \frac{\mathbf{p}_k^{Hc} \mathbf{g}_{k+1}^c}{\mathbf{q}_k^{Hc} \mathbf{p}_k^c} + \frac{\mathbf{q}_k^{Hc} \mathbf{g}_{k+1}^c}{\mathbf{q}_k^{Hc} \mathbf{p}_k^c}, \\ B_k &= \frac{\mathbf{p}_k^{Hc} \mathbf{g}_{k+1}^c}{\mathbf{q}_k^{Hc} \mathbf{p}_k^c}. \end{aligned}$$

Metoda descrisă poartă numele de *one step secant* (a se vedea [23]), și este o metodă aflată ca performanță între metoda gradientilor conjugați și metodele quasi-Newton, mai exact metoda BFGS din care a fost derivată.

### 3.8 Metoda Levenberg-Marquardt

Metoda Levenberg-Marquardt a fost pentru prima dată aplicată rețelelor neuronale în [102]. Prezentarea noastră urmărește îndeosebi pe cea din [277]. Pornim de la expresia funcției de eroare scrisă sub forma

$$E = \frac{1}{2} \sum_{m=1}^M \sum_{j=1}^c \|e_j^m\|^2 = \frac{1}{2} \sum_{m=1}^M \sum_{j=1}^c e_j^m \overline{e_j^m},$$

unde  $e_j^m := y_j^{L,m} - t_j^m$  reprezintă eroarea pentru fiecare dintre cele  $m$  tipare de antrenare. Notăm cu  $\mathbf{w}$  vectorul tuturor celor  $N$  ponderi și bias-uri ale rețelei, însă acum vom nota fiecare pondere cu  $w_i$ . Ca mai sus, vom nota  $\mathbf{c} = (\mathbf{w}^T, \overline{\mathbf{w}^T})^T$ . Putem forma acum matricea Jacobiană de dimensiune  $2cM \times 2N$ , ale cărei componente sunt  $\mathbb{R}$ - și  $\mathbb{R}$ -derivatele parțiale ale fiecărei erori de forma  $e_j^m$  în raport cu ponderile  $w_i$ ,

$1 \leq i \leq N$ :

$${}^c \mathbf{J} = \begin{pmatrix} \frac{\partial e_1^1}{\partial w_1} & \frac{\partial e_1^1}{\partial w_1} & \cdots & \frac{\partial e_1^1}{\partial w_N} & \frac{\partial e_1^1}{\partial w_N} \\ \vdots & \vdots & \ddots & \vdots & \vdots \\ \frac{\partial e_1^M}{\partial w_1} & \frac{\partial e_1^M}{\partial w_1} & \cdots & \frac{\partial e_1^M}{\partial w_N} & \frac{\partial e_1^M}{\partial w_N} \\ \vdots & \vdots & \ddots & \vdots & \vdots \\ \frac{\partial e_c^1}{\partial w_1} & \frac{\partial e_c^1}{\partial w_1} & \cdots & \frac{\partial e_c^1}{\partial w_N} & \frac{\partial e_c^1}{\partial w_N} \\ \vdots & \vdots & \ddots & \vdots & \vdots \\ \frac{\partial e_c^M}{\partial w_1} & \frac{\partial e_c^M}{\partial w_1} & \cdots & \frac{\partial e_c^M}{\partial w_N} & \frac{\partial e_c^M}{\partial w_N} \\ \frac{\partial e_1^1}{\partial w_1} & \frac{\partial e_1^1}{\partial w_1} & \cdots & \frac{\partial e_1^1}{\partial w_N} & \frac{\partial e_1^1}{\partial w_N} \\ \vdots & \vdots & \ddots & \vdots & \vdots \\ \frac{\partial e_1^M}{\partial w_1} & \frac{\partial e_1^M}{\partial w_1} & \cdots & \frac{\partial e_1^M}{\partial w_N} & \frac{\partial e_1^M}{\partial w_N} \\ \vdots & \vdots & \ddots & \vdots & \vdots \\ \frac{\partial e_c^1}{\partial w_1} & \frac{\partial e_c^1}{\partial w_1} & \cdots & \frac{\partial e_c^1}{\partial w_N} & \frac{\partial e_c^1}{\partial w_N} \\ \vdots & \vdots & \ddots & \vdots & \vdots \\ \frac{\partial e_c^M}{\partial w_1} & \frac{\partial e_c^M}{\partial w_1} & \cdots & \frac{\partial e_c^M}{\partial w_N} & \frac{\partial e_c^M}{\partial w_N} \end{pmatrix}.$$

Acum, hessiana funcției de eroare este matricea de dimensiune  $2N \times 2N$ , ale cărei componente sunt  $\mathbb{R}$  și  $\overline{\mathbb{R}}$ -derivatele parțiale de ordinul doi ale funcției de eroare  $E$  în raport cu ponderile  $w_i$ ,  $1 \leq i \leq N$ :

$${}^c \mathbf{H} = \begin{pmatrix} \frac{\partial^2 E}{\partial w_1 \partial w_1} & \frac{\partial^2 E}{\partial w_1 \partial w_1} & \cdots & \frac{\partial^2 E}{\partial w_1 \partial w_N} & \frac{\partial^2 E}{\partial w_1 \partial w_N} \\ \frac{\partial^2 E}{\partial w_1 \partial w_1} & \frac{\partial^2 E}{\partial w_1 \partial w_1} & \cdots & \frac{\partial^2 E}{\partial w_1 \partial w_N} & \frac{\partial^2 E}{\partial w_1 \partial w_N} \\ \frac{\partial w_1 \partial w_1}{\partial^2 E} & \frac{\partial w_1 \partial w_1}{\partial^2 E} & \cdots & \frac{\partial w_1 \partial w_N}{\partial^2 E} & \frac{\partial w_1 \partial w_N}{\partial^2 E} \\ \frac{\partial w_2 \partial w_1}{\partial^2 E} & \frac{\partial w_2 \partial w_1}{\partial^2 E} & \cdots & \frac{\partial w_2 \partial w_N}{\partial^2 E} & \frac{\partial w_2 \partial w_N}{\partial^2 E} \\ \frac{\partial w_2 \partial w_1}{\partial^2 E} & \frac{\partial w_2 \partial w_1}{\partial^2 E} & \cdots & \frac{\partial w_2 \partial w_N}{\partial^2 E} & \frac{\partial w_2 \partial w_N}{\partial^2 E} \\ \vdots & \vdots & \ddots & \vdots & \vdots \\ \frac{\partial^2 E}{\partial w_N \partial w_1} & \frac{\partial^2 E}{\partial w_N \partial w_1} & \cdots & \frac{\partial^2 E}{\partial w_N \partial w_N} & \frac{\partial^2 E}{\partial w_N \partial w_N} \\ \frac{\partial^2 E}{\partial w_N \partial w_1} & \frac{\partial^2 E}{\partial w_N \partial w_1} & \cdots & \frac{\partial^2 E}{\partial w_N \partial w_N} & \frac{\partial^2 E}{\partial w_N \partial w_N} \end{pmatrix}.$$

Vom defini vectorul  $2cM \times 1$

$${}^c \mathbf{e} = \begin{pmatrix} e_1^1 \\ \vdots \\ e_1^M \\ \vdots \\ e_c^1 \\ \vdots \\ e_c^M \\ e_1^1 \\ \vdots \\ e_1^M \\ \vdots \\ e_c^1 \\ \vdots \\ e_c^M \end{pmatrix},$$

de unde gradientul  ${}^c \mathbf{g}$  de dimensiune  $2N \times 1$  va fi

$${}^c \mathbf{g} = \mathbf{J}^H {}^c \mathbf{e}, \quad (3.8.1)$$

pentru că

$$\frac{\partial E}{\partial w_i} = \sum_{m=1}^M \sum_{j=1}^c \left( \frac{\partial e_j^m}{\partial w_i} \overline{e_j^m} + \frac{\partial \overline{e_j^m}}{\partial w_i} e_j^m \right),$$

și cele analoage.

Avem acum pentru  $\mathbb{R}$ - și  $\overline{\mathbb{R}}$ -derivatele parțiale de ordinul doi ale funcției de eroare  $E$  în raport cu ponderile  $w_i$ ,  $1 \leq i \leq N$ :

$$\frac{\partial^2 E}{\partial w_i \partial w_k} = \sum_{m=1}^M \sum_{j=1}^c \left( \frac{\partial^2 e_j^m}{\partial w_i \partial w_k} \overline{e_j^m} + \frac{\partial^2 \overline{e_j^m}}{\partial w_i \partial w_k} e_j^m + \frac{\partial e_j^m}{\partial w_i} \frac{\partial \overline{e_j^m}}{\partial w_k} + \frac{\partial \overline{e_j^m}}{\partial w_i} \frac{\partial e_j^m}{\partial w_k} \right),$$

și cele analoage. Algoritmul Levenberg-Marquardt se bazează pe aproximările  $\frac{\partial^2 e_j^m}{\partial w_i \partial w_k} \approx 0$  și respectiv  $\frac{\partial^2 \overline{e_j^m}}{\partial w_i \partial w_k} \approx 0$ , și cele analoage, iar expresia pentru un element al hessianei

${}^c \mathbf{H}$  devine acum

$$\frac{\partial^2 E}{\partial w_i \partial w_k} = \sum_{m=1}^M \sum_{j=1}^c \left( \frac{\partial e_j^m}{\partial w_i} \frac{\partial \overline{e_j^m}}{\partial w_k} + \frac{\partial \overline{e_j^m}}{\partial w_i} \frac{\partial e_j^m}{\partial w_k} \right),$$

de unde avem aproximarea

$${}^c \mathbf{H} \approx \mathbf{J}^H \mathbf{J}.$$

Folosind această aproximare, formula de actualizare modificată din cadrul metodei Newton

$${}^c \mathbf{w}_{k+1} = {}^c \mathbf{w}_k - ({}^c \mathbf{H}_k + \lambda_k \mathbf{I}_{2N})^{-1} {}^c \mathbf{g}_k,$$

unde  $\lambda_k$  este o constantă care se alege astfel încât matricea  $\mathbf{H}_k^c + \lambda_k \mathbf{I}_{2N}$  să fie pozitiv definită, devine

$$\mathbf{w}_{k+1}^c = \mathbf{w}_k^c - (\mathbf{J}_k^c \mathbf{J}_k^{cH} + \lambda_k \mathbf{I}_{2N})^{-1} \mathbf{J}_k^c \mathbf{e}_k^c,$$

unde am folosit și relația (3.8.1). Aceasta este regula de actualizare pentru *metoda Levenberg-Marquardt* (a se vedea [174]).

### 3.9 Concluzii

Prezentul capitol este dedicat introducerii unor noi algoritmi de învățare pentru rețelele neuronale cu valori complexe de tip feedforward, algoritmi care au fost extinși din domeniul real în domeniul complex. Dintre algoritmi prezentați doar metoda gradient (a se vedea, spre exemplu [71, 184]), metoda gradient cu moment [143], algoritmul resilient backpropagation [141] și algoritmul Levenberg-Marquardt [11] au fost extinși anterior în domeniul complex, restul reprezentând o contribuție originală a tezei. Astfel,

- Secțiunea 3.1 face o introducere într-un tip de calcul diferențial devenit standard pentru literatura de specialitate din domeniul rețelelor neuronale cu valori complexe, și anume **calculul Wirtinger sau calculul  $\mathbb{C}\mathbb{R}$** . Acesta reprezintă o alternativă mai naturală la calculul cu derivate parțiale reale, folosit în Capitolul 2, Secțiunea 2.1 pentru a deduce algoritmul backpropagation. Acest tip de calcul este folosit în tot capitolul pentru dezvoltarea algoritmilor de învățare propuși.
- Secțiunea 3.2 prezintă algoritmul backpropagation sau **metoda gradient** folosind tipul de calcul diferențial prezentat în secțiunea anterioară. Puțin surprinzător, rezultatele finale sunt aceleași cu cele obținute în cazul folosirii calculului diferențial cu derivate parțiale reale.
- În Secțiunea 3.3, pe lângă **metoda gradient cu moment**, au fost introduse **metodele quickprop, resilient backpropagation, delta-bar-delta și Super-SAB**. Acestea fac parte din clasa metodelor gradient îmbunătățite, și constituie un prim pas făcut în direcția găsirii unor algoritmi care să depășească performanțele metodei gradient clasice. Ultimele patru din cele cinci metode introduse au reguli de actualizare separate pentru părțile reală și imaginară ale numerelor complexe implicate, deoarece fac presupuneri asupra semnului derivatelor parțiale, iar aceste derivate parțiale trebuie să aibă valori reale pentru a putea fi comparate cu zero. Această secțiune constituie singura excepție în care nu au fost folosite derivate de tip Wirtinger.
- O metodă ceva mai complicată, **metoda gradientilor conjugați** a fost prezentată în Secțiunea 3.4. După ce am discutat cazul unei funcții de eroare pătratică, corespunzător metodei gradientilor conjugați liniară, am prezentat metoda gradientilor conjugați neliniară, în cadrul căreia am dedus formule pentru **metoda gradientilor conjugați cu actualizări Hestenes-Stiefel, metoda gradientilor conjugați cu actualizări Polak-Ribiere, metoda gradientilor conjugați cu actualizări Fletcher-Reeves, metoda gradientilor conjugați cu actualizări Dai-Yuan, variațiile algoritmilor Hestenes-Stiefel și Polak-Ribiere și metoda gradientilor conjugați cu reporniri Powell-Beale**.
- O extindere interesantă a metodei gradientilor conjugați este **metoda gradientilor conjugați scalați**, dedusă pentru rețelele neuronale cu valori complexe de tip feedforward în Secțiunea 3.5. Această metodă reprezintă o îmbunătățire a

metodei de bază cu elemente care corectează principalele neajunsuri ale acestui algoritm de învățare.

- Secțiunea 3.6 prezintă **metoda Newton**. Elementul principal al metodei Newton este hessiana funcției de eroare a cărei inversă trebuie calculată exact. Din acest motiv, în cadrul acestei secțiuni, am făcut deducerea completă a metodei de calcul a **hessianei** funcției de eroare pentru o rețea neuronală cu valori complexe de tip feedforward, precum și o particularizare a acestei metode pentru o rețea cu un singur strat ascuns. De asemenea, tot în cadrul acestei secțiuni, am prezentat o metodă de calcul a **produsului hessianei cu un vector**, cantitate care este necesară pentru implementarea multor algoritmi de învățare.
- O variantă mai simplă din punct de vedere computațional al metodei Newton este **metoda quasi-Newton**, discutată în Secțiunea 3.7. Această metodă înlocuiește calculul dificil computațional al hessianei din metoda Newton, cu calculul iterativ al unei aproximări a inversei acestei matrici. Patru algoritmi din această clasă de metode au fost detaliați în această secțiune, și anume **metoda actualizării de rang unu**, **metoda Davidon-Fletcher-Powell**, **metoda Broyden-Fletcher-Goldfarb-Shanno** și **metoda one step secant**.
- Ultima metodă prezentată este **metoda Levenberg-Marquardt**, în Secțiunea 3.8. În această metodă, hessiana din metoda Newton este înlocuită cu o altă aproximare a ei, și anume una în care este folosit un Jacobian care este mai ușor de calculat decât hessiana.

## Capitolul 4

# Algoritmi de învățare pentru rețele neuronale Clifford

Acest capitol este dedicat deducerii complete a algoritmilor de învățare pentru rețele neuronale Clifford de tip feedforward. Acești algoritmi sunt practic o generalizare  $2^n$ -dimensională a algoritmilor prezentați în capitolul anterior pentru rețele neuronale cu valori complexe. Pe lângă argumentele prezentate în acel capitol cu privire la faptul că performanțele algoritmilor sunt puternic dependente de problema de rezolvat, motivul pentru care am decis să extindem aceiași algoritmi și pentru cazul Clifford este acela că, adesea, nu se cunoaște de la început care algebră Clifford este cea mai potrivită pentru a reprezenta datele dintr-o anumită aplicație.

Astfel, am pus la dispoziția celor interesați o paletă largă de algoritmi, care pot fi aplicați pentru rețele neuronale cu valori în diferite algebre Clifford, pentru a determina experimental care este cea mai potrivită configurație arhitectură-algoritm de învățare pentru fiecare problemă de interes. De exemplu, pentru cazul 2-dimensional există 2 algebre Clifford, pentru cazul 4-dimensional există 3 algebre Clifford, iar pentru cazul 8-dimensional avem 4 algebre Clifford cu care se poate experimenta.

Secțiunea 4.1 este dedicată prezentării din nou a metodei gradient pentru antrenarea unei rețele neuronale Clifford, după ce aceasta a fost făcută în Capitolul 2, în Secțiunea 2.4. Ea a fost repetată aici, pentru completitudinea și claritatea expunerii. Pe parcursul acestui capitol, este folosit calculul diferențial cu derivate parțiale reale, deoarece nu există în cazul Clifford general ceva asemănător calculului Wirtinger din cazul complex. De asemenea, funcția de activare a fost considerată ca fiind funcție Clifford divizat, care tratează separat fiecare componentă a unui număr Clifford, spre deosebire de funcția Clifford complet, care tratează numărul Clifford ca întreg.

Următoarea secțiune, Secțiunea 4.2, introduce metodele gradient îmbunătățite: metoda gradient cu moment, metoda quickprop, metoda resilient backpropagation, metoda delta-bar-delta și metoda SuperSAB. Toate apar aici pentru prima oară, și constituie o generalizare directă a aceluși algoritmi din cazul complex, deoarece și aceștia au fost deduși folosind derivate parțiale reale.

După această clasă simplă de algoritmi, Secțiunea 4.3 este dedicată metodei gradientilor conjugați. Prima subsecțiune explică metoda gradientilor conjugați liniară, care stă la baza celei de a doua subsecțiuni, unde sunt deduse expresii pentru metoda gradientilor conjugați cu actualizări Hestenes-Stiefel, metoda gradientilor conjugați cu actualizări Polak-Ribiere, metoda gradientilor conjugați cu actualizări Fletcher-Reeves, metoda gradientilor conjugați cu actualizări Dai-Yuan, variațiile algoritmilor Hestenes-Stiefel și Polak-Ribiere și metoda gradientilor conjugați cu reporniri Powell-Beale.

În continuare, Secțiunea 4.4 introduce o variațiune a metodei gradientilor conju-

gați, și anume metoda gradientilor conjugați scalați, care propune două îmbunătățiri ale metodei mai sus menționate.

Cea mai importantă metodă de ordinul doi, metoda Newton, este prezentată în Secțiunea 4.5. Un algoritm pentru calcularea explicită a hessianei este propus într-o subsecțiune a acestei secțiuni, cu o particularizare pentru o rețea cu trei straturi în subsecțiunea următoare, deoarece metoda Newton necesită hessiana pentru calculul actualizării unei ponderi. O simplificare a metodei pornește de la observația că nu este necesar atât calculul hessianei, cât calculul produsului hessianei cu un vector. Astfel, ultima subsecțiune prezintă un algoritm pentru efectuarea acestui calcul.

Datorită faptului că metoda Newton este foarte intensivă computațional, Secțiunea 4.6 introduce o clasă importantă de metode de ordinul doi, care se bazează pe o aproximare a hessianei, și anume metodele quasi-Newton. Astfel, sunt deduse progresiv metoda metoda actualizării de rang unu, metoda Davidon-Fletcher-Powell, metoda Broyden-Fletcher-Goldfarb-Shanno și metoda one step secant.

Secțiunea 4.7 prezintă metoda de învățare Levenberg-Marquardt, care, pentru cazul Clifford, apare aici pentru prima dată, și care realizează o aproximare a hessianei din metoda Newton, diferită ca idee de cele folosite în metodele quasi-Newton.

În final, Secțiunea 4.8 este dedicată concluziilor acestui capitol.

## 4.1 Metoda gradient

Să presupunem că avem o rețea neuronală cu valori în algebra Clifford nedegenerată  $C^{\ell_{p,q}}$ , de tip feedforward, total conectată, care are  $L$  straturi, unde stratul 1 este stratul de intrare, stratul  $L$  este stratul de ieșire, iar straturile notate cu  $\{2, \dots, L-1\}$  sunt straturi ascunse. Funcția de eroare  $E : (C^{\ell_{p,q}})^N \rightarrow \mathbb{R}$  pentru o asemenea rețea este definită prin

$$E(\mathbf{w}) = \frac{1}{2} \sum_{i=1}^c \|y_i^L - t_i\|^2, \quad (4.1.1)$$

unde  $\|y\|$  reprezintă norma euclidiană a lui  $y$ .  $\mathbf{y}^L = (y_i^L)_{1 \leq i \leq c} \in (C^{\ell_{p,q}})^c$  sunt ieșirile rețelei,  $\mathbf{t} = (t_i)_{1 \leq i \leq c} \in (C^{\ell_{p,q}})^c$  sunt ieșirile dorite (target-urile) ale rețelei, iar  $\mathbf{w} \in (C^{\ell_{p,q}})^N$  este vectorul tuturor celor  $N$  ponderi și bias-uri ale rețelei.

Dacă notăm cu  $w_{jk}^l \in C^{\ell_{p,q}}$  ponderea care leagă neuronul  $j$  din stratul  $l$  de neuronul  $k$  din stratul  $l-1$ , pentru orice  $l \in \{2, \dots, L\}$ , putem defini pasul de actualizare al ponderii  $w_{jk}^l$  în epoca  $t$  ca fiind

$$\Delta w_{jk}^l(t) = w_{jk}^l(t+1) - w_{jk}^l(t).$$

Cu această notație, pentru metoda gradient, regula de actualizare pentru ponderea  $w_{jk}^l$  este

$$\Delta w_{jk}^l(t) = -\varepsilon \sum_{A \in \mathcal{I}} \frac{\partial E}{\partial [w_{jk}^l]_A}(t) e_A,$$

unde  $\varepsilon$  este un număr real care reprezintă rata de învățare, și am notat cu  $\frac{\partial E}{\partial [w_{jk}^l]_A}(t)$  derivata parțială a funcției  $E$  în raport cu fiecare componentă  $[w_{jk}^l]_A$  a numărului Clifford  $w_{jk}^l$ , cu  $A \in \mathcal{I}$ .

Scris sub formă vectorială, pasul de actualizare devine

$$\Delta \mathbf{w}(t) = \mathbf{w}(t+1) - \mathbf{w}(t),$$



unde  $\mathbf{w} \in (\mathcal{C}^{\ell_{p,q}})^N$  este vectorul celor  $N$  ponderi și bias-uri ale rețelei, definit mai sus. Regula de actualizare pentru metoda gradient se poate scrie acum în formă vectorială, astfel:

$$\Delta \mathbf{w}(t) = -\varepsilon \nabla E(t),$$

unde  $\nabla E(t) := \nabla E(\mathbf{w}(t)) \in (\mathcal{C}^{\ell_{p,q}})^N$ , este gradientul funcției  $E$ , ale cărui componente  $\sum_{A \in \mathcal{I}} \frac{\partial E}{\partial [w_{jk}^l]_A}(\mathbf{w}(t)) e_A$  au fost scrise prescurtat mai sus sub forma  $\sum_{A \in \mathcal{I}} \frac{\partial E}{\partial [w_{jk}^l]_A}(t) e_A$ . Prin urmare, pentru a minimiza funcția de eroare  $E$ , avem nevoie să calculăm gradientul  $\nabla E$ , adică derivatele parțiale de forma  $\frac{\partial E}{\partial [w_{jk}^l]_A}$ , pentru  $A \in \mathcal{I}$ .

Pentru aceasta, facem următoarele notații

$$s_j^l := \sum_k w_{jk}^l \otimes_{p,q} x_k^{l-1}, \quad (4.1.2)$$

$$y_j^l := G^l(s_j^l), \quad (4.1.3)$$

unde (4.1.2) înseamnă că înmulțirea de la rețelele neuronale cu valori reale este înlocuită cu înmulțirea Clifford,  $G^l$  este funcția de activare a stratului  $l \in \{2, \dots, L\}$ ,  $\mathbf{x}^1 = (x_k^1)_{1 \leq k \leq d} \in (\mathcal{C}^{\ell_{p,q}})^d$  sunt intrările rețelei, și avem că  $x_k^l = y_k^l, \forall l \in \{2, \dots, L-1\}, \forall k$ . Funcția de activare este considerată a fi definită pe componente. De pildă, pentru numărul Clifford  $x = \sum_{I \in \mathcal{I}} [x]_I e_I \in \mathcal{C}^{\ell_{p,q}}$ , un exemplu de funcție de activare este funcția tangentă hiperbolică pe componente definită prin

$$G\left(\sum_{I \in \mathcal{I}} [x]_I e_I\right) = \sum_{I \in \mathcal{I}} (\tanh[x]_I) e_I.$$

Vom calcula mai întâi actualizarea pentru ponderile dintre penultimul strat ascuns  $L-1$  și stratul de ieșire  $L$ , i.e.

$$\Delta w_{jk}^L(t) = -\varepsilon \sum_{A \in \mathcal{I}} \frac{\partial E}{\partial [w_{jk}^L]_A}(t) e_A.$$

Folosind regula înlănțuirii, putem scrie următorul set de relații:

$$\frac{\partial E}{\partial [w_{jk}^L]_A} = \sum_{B \in \mathcal{I}} \frac{\partial E}{\partial [s_j^L]_B} \frac{\partial [s_j^L]_B}{\partial [w_{jk}^L]_A}, \quad (4.1.4)$$

pentru orice  $A \in \mathcal{I}$ .

În continuare, avem,  $\forall A, B \in \mathcal{I}$ , că

$$\frac{\partial [s_j^L]_B}{\partial [w_{jk}^L]_A} = \frac{\partial [\sum_k w_{jk}^L \otimes_{p,q} x_k^{L-1}]_B}{\partial [w_{jk}^L]_A} = \frac{\partial [w_{jk}^L \otimes_{p,q} x_k^{L-1}]_B}{\partial [w_{jk}^L]_A}. \quad (4.1.5)$$

Folosind faptul că

$$w_{jk}^L \otimes_{p,q} x_k^{L-1} = \sum_{C, D \in \mathcal{I}} [w_{jk}^L]_C [x_k^{L-1}]_D e_C e_D, \quad (4.1.6)$$

deducem că ecuația (4.1.5) se poate scrie

$$\begin{aligned} \frac{\partial[w_{jk}^L \otimes_{p,q} x_k^{L-1}]_B}{\partial[w_{jk}^L]_A} &= \frac{\partial[\sum_{C,D \in \mathcal{I}} [w_{jk}^L]_C [x_k^{L-1}]_D e_C e_D]_B}{\partial[w_{jk}^L]_A} \\ &= \frac{\partial(\sum_{\substack{C,D \in \mathcal{I} \\ \kappa_{C,D} e_C e_D = e_B}} \kappa_{C,D} [w_{jk}^L]_C [x_k^{L-1}]_D)}{\partial[w_{jk}^L]_A} \\ &= \kappa_{A,D} [x_k^{L-1}]_D, \text{ unde } \kappa_{A,D} e_A e_D = e_B, \kappa_{A,D} \in \{\pm 1\}. \end{aligned}$$

Am obținut prin urmare

$$\frac{\partial[s_j^L]_B}{\partial[w_{jk}^L]_A} = \kappa_{A,D} [x_k^{L-1}]_D, \text{ unde } \kappa_{A,D} e_A e_D = e_B,$$

de unde relația (4.1.4) se poate scrie sub forma

$$\frac{\partial E}{\partial[w_{jk}^L]_A} = \sum_{\substack{B \in \mathcal{I} \\ \kappa_{A,D} e_A e_D = e_B}} \frac{\partial E}{\partial[s_j^L]_B} \kappa_{A,D} [x_k^{L-1}]_D. \quad (4.1.7)$$

Mai departe, notând  $\delta_j^L := \frac{\partial E}{\partial s_j^L}$ , avem din regula înlănțuirii că

$$[\delta_j^L]_B = \frac{\partial E}{\partial[s_j^L]_B} = \sum_{E \in \mathcal{I}} \frac{\partial E}{\partial[y_j^L]_E} \frac{\partial[y_j^L]_E}{\partial[s_j^L]_B},$$

$\forall B \in \mathcal{I}$ , sau, ținând seama de notația (4.1.3) și de expresia pentru funcția de eroare (4.1.1), că

$$\begin{aligned} [\delta_j^L]_B &= \sum_{E \in \mathcal{I}} ([y_j^L]_E - [t_j]_E) \frac{\partial[G^L(s_j^L)]_E}{\partial[s_j^L]_B} \\ &= ([y_j^L]_B - [t_j]_B) \frac{\partial[G^L(s_j^L)]_B}{\partial[s_j^L]_B}, \end{aligned}$$

$\forall B \in \mathcal{I}$ , deoarece  $[G^L(s_j^L)]_E$  depinde de  $[s_j^L]_B$  doar pentru  $E = B$ , ceea ce înseamnă că  $\frac{\partial[G^L(s_j^L)]_E}{\partial[s_j^L]_B} = 0, \forall E \neq B$ . Dacă notăm cu  $\odot$  înmulțirea pe componente a două numere Clifford, relația de mai sus ne dă

$$\delta_j^L = (y_j^L - t_j) \odot \frac{\partial G^L(s_j^L)}{\partial s_j^L}, \quad (4.1.8)$$

unde  $\frac{\partial G^L(s_j^L)}{\partial s_j^L}$  reprezintă numărul Clifford al derivatei pe componente a funcției de activare  $G^L$ . De exemplu, dacă  $x = \sum_{I \in \mathcal{I}} [x]_I e_I$ , atunci

$$\frac{\partial G(x)}{\partial x} = \sum_{I \in \mathcal{I}} (\text{sech}^2[x]_I) e_I,$$

cu funcția  $G$  definită ca în exemplul de mai sus. În final, din ecuația (4.1.7), obținem expresia pentru actualizarea dorită:

$$\Delta w_{jk}^L(t) = -\varepsilon \delta_j^L \otimes_{p,q} (x_k^{L-1})^*,$$

unde numărul Clifford  $\delta_j^L \in C\ell_{p,q}$  este dat de relația (4.1.8), și  $x^*$  reprezintă conjugatul Clifford al numărului Clifford  $x$ , operația de conjugare fiind cea definită în Secțiunea 2.4.

Acum, vom calcula actualizarea pentru o pondere arbitrară  $w_{jk}^l$ , unde  $l \in \{2, \dots, L-1\}$ . În primul rând, putem scrie că

$$\Delta w_{jk}^l(t) = -\varepsilon \sum_{A \in \mathcal{I}} \frac{\partial E}{\partial [w_{jk}^l]_A} e_A,$$

iar apoi, din regula înlănțuirii, avem că

$$\frac{\partial E}{\partial [w_{jk}^l]_A} = \sum_{B \in \mathcal{I}} \frac{\partial E}{\partial [s_j^l]_B} \frac{\partial [s_j^l]_B}{\partial [w_{jk}^l]_A}, \forall A \in \mathcal{I}. \quad (4.1.9)$$

Aplicând din nou regula înlănțuirii, obținem că

$$\frac{\partial E}{\partial [s_j^l]_B} = \sum_r \sum_{C \in \mathcal{I}} \frac{\partial E}{\partial [s_r^{l+1}]_C} \frac{\partial [s_r^{l+1}]_C}{\partial [s_j^l]_B}, \forall B \in \mathcal{I}, \quad (4.1.10)$$

unde suma se ia după toți neuronii  $r$  din stratul  $l+1$  către care neuronul  $j$  din stratul  $l$  trimite legături. Apoi avem că

$$\frac{\partial [s_r^{l+1}]_C}{\partial [s_j^l]_B} = \sum_{D \in \mathcal{I}} \frac{\partial [s_r^{l+1}]_C}{\partial [y_j^l]_D} \frac{\partial [y_j^l]_D}{\partial [s_j^l]_B}, \forall B, C \in \mathcal{I}.$$

Ca mai sus, avem,  $\forall A, B \in \mathcal{I}$ , că

$$\frac{\partial [s_r^{l+1}]_C}{\partial [y_j^l]_D} = \frac{\partial [\sum_j w_{rj}^{l+1} \otimes_{p,q} y_j^l]_C}{\partial [y_j^l]_D} = \frac{\partial [w_{rj}^{l+1} \otimes_{p,q} y_j^l]_C}{\partial [y_j^l]_D}. \quad (4.1.11)$$

Din

$$w_{rj}^{l+1} \otimes_{p,q} y_j^l = \sum_{E, F \in \mathcal{I}} [w_{rj}^{l+1}]_E [y_j^l]_F e_E e_F, \quad (4.1.12)$$

rezultă că ecuația (4.1.11) se poate scrie

$$\begin{aligned} \frac{\partial [s_r^{l+1}]_C}{\partial [y_j^l]_D} &= \frac{\partial [\sum_{E, F \in \mathcal{I}} [w_{rj}^{l+1}]_E [y_j^l]_F e_E e_F]_C}{\partial [y_j^l]_D} \\ &= \frac{\partial (\sum_{\substack{E, F \in \mathcal{I} \\ \kappa_{E, F} e_E e_F = e_C}} \kappa_{E, F} [w_{rj}^{l+1}]_E [y_j^l]_F)}{\partial [y_j^l]_D} \\ &= \kappa_{E, D} [w_{rj}^{l+1}]_E, \text{ unde } \kappa_{E, D} e_E e_D = e_C. \end{aligned}$$

Deci

$$\frac{\partial [s_r^{l+1}]_C}{\partial [y_j^l]_D} = \kappa_{E, D} [w_{rj}^{l+1}]_E, \text{ unde } \kappa_{E, D} e_E e_D = e_C.$$

și apoi

$$\begin{aligned} \frac{\partial [s_r^{l+1}]_C}{\partial [s_j^l]_B} &= \sum_{\substack{D \in \mathcal{I} \\ \kappa_{E,D} e_E e_D = e_C}} \kappa_{E,D} [w_{rj}^{l+1}]_E \frac{\partial [G^l(s_j^l)]_D}{\partial [s_j^l]_B} \\ &= \kappa_{E,B} [w_{rj}^{l+1}]_E \frac{\partial [G^l(s_j^l)]_B}{\partial [s_j^l]_B}, \text{ unde } \kappa_{E,B} e_E e_B = e_C, \end{aligned}$$

$\forall B, C \in \mathcal{I}$ , unde din nou am ținut cont de faptul că  $\frac{\partial [G^l(s_j^l)]_D}{\partial [s_j^l]_B} = 0, \forall D \neq B$ . Revenind înapoi în ecuația (4.1.10), avem succesiv

$$\begin{aligned} \frac{\partial E}{\partial [s_j^l]_B} &= \sum_r \sum_{\substack{C \in \mathcal{I} \\ \kappa_{E,B} e_E e_C = e_C}} \frac{\partial E}{\partial [s_r^{l+1}]_C} \kappa_{E,B} [w_{rj}^{l+1}]_E \frac{\partial [G^l(s_j^l)]_B}{\partial [s_j^l]_B} \\ &= \sum_r \left( \sum_{\substack{C \in \mathcal{I} \\ \kappa_{E,B} e_E e_C = e_C}} \kappa_{E,B} [w_{rj}^{l+1}]_E \frac{\partial E}{\partial [s_r^{l+1}]_C} \right) \frac{\partial [G^l(s_j^l)]_B}{\partial [s_j^l]_B} \\ &= \sum_r [(w_{rj}^{l+1})^* \otimes_{p,q} \delta_r^{l+1}]_B \frac{\partial [G^l(s_j^l)]_B}{\partial [s_j^l]_B}, \end{aligned}$$

$\forall B \in \mathcal{I}$ , și am făcut notația  $\delta_j^l := \frac{\partial E}{\partial [s_j^l]_B}$ . Acum, putem scrie relația de mai sus sub forma

$$\delta_j^l = \left( \sum_r (w_{rj}^{l+1})^* \otimes_{p,q} \delta_r^{l+1} \right) \odot \frac{\partial [G^l(s_j^l)]_B}{\partial [s_j^l]_B}, \quad (4.1.13)$$

unde prin  $\odot$  am notat înmulțirea pe componente a două numere Clifford.

Apoi, ținând cont că

$$\frac{\partial [s_j^l]_B}{\partial [w_{jk}^l]_A} = \kappa_{A,D} [x_k^{l-1}]_D, \text{ unde } \kappa_{A,D} e_A e_D = e_B,$$

relația (4.1.9) devine

$$\begin{aligned} \frac{\partial E}{\partial [w_{jk}^l]_A} &= \sum_{\substack{B \in \mathcal{I} \\ \kappa_{A,D} e_A e_D = e_B}} \frac{\partial E}{\partial [s_j^l]_B} \kappa_{A,D} [x_k^{l-1}]_D \\ &= [\delta_j^l \otimes_{p,q} (x_k^{l-1})^*]_A, \end{aligned}$$

unde  $\delta_j^l := \frac{\partial E}{\partial [s_j^l]_B}$ , ca mai sus.

În final am obținut o formulă de calcul pentru actualizarea ponderii  $w_{jk}^l$  asemănătoare cu cea din primul caz tratat, și anume

$$\Delta w_{jk}^l(t) = -\varepsilon \delta_j^l \otimes_{p,q} (x_k^{l-1})^*.$$

În concluzie, avem următoarea formulă pentru actualizarea ponderii  $w_{jk}^l$ :

$$\Delta w_{jk}^l(t) = -\varepsilon \delta_j^l \otimes_{p,q} (x_k^{l-1})^*, \forall l \in \{2, \dots, L\},$$

unde

$$\delta_j^l = \begin{cases} (\sum_r (w_{rj}^{l+1})^* \otimes_{p,q} \delta_r^{l+1}) \odot \frac{\partial G^l(s_j^l)}{\partial s_j^l}, & l \leq L-1 \\ (y_j^l - t_j) \odot \frac{\partial G^l(s_j^l)}{\partial s_j^l}, & l = L \end{cases}.$$

## 4.2 Metode gradient îmbunătățite

Una dintre cele mai simple clase de algoritmi care au o performanță mai bună decât metoda gradient clasică în domeniul real este așa-numita clasă a *metodelor gradient îmbunătățite*. Algoritmii din această clasă cresc performanța metodei gradient făcând diferite modificări ad hoc algoritmului original. Există o literatură vastă care prezintă astfel de algoritmi, din care am ales unele dintre cele mai cunoscute, robuste și bine fundamentate teoretic metode de optimizare pentru a le extinde în domeniul Clifford. Acesta este un prim pas făcut în direcția găsirii unor algoritmi de optimizare a funcției de eroare care să aibă performanțe mai bune decât clasica metodă gradient.

### 4.2.1 Metoda gradient cu moment

Cu notațiile din secțiunea precedentă, regula de actualizare pentru *metoda gradient cu moment* este

$$\Delta w_{jk}^l(t) = -\varepsilon \sum_{A \in \mathcal{I}} \frac{\partial E}{\partial [w_{jk}^l]_A}(t) e_A + \mu \Delta w_{jk}^l(t-1), \quad (4.2.1)$$

unde parametrul  $\mu$  reprezintă *momentul*, și este, la fel ca rata de învățare  $\varepsilon$ , un număr real. Ideea din spatele acestei modificări a metodei gradient clasice este de a da o anumită inerție mișcării în spațiul ponderilor pentru a netezi posibilele oscilații ale unor pași succesivi din metoda gradient.

### 4.2.2 Metoda quickprop

Să presupunem că avem o funcție  $f$  definită pe  $\mathbb{R}^{2^n}$ , al cărei minim dorim să-l găsim. Pentru aceasta, trebuie să căutăm un  $x$  astfel încât  $f'(x) = 0$ . O metodă pentru a face acest lucru, în ipoteza că  $f$  este convexă, este să-l calculăm pe  $x$  iterativ, folosind metoda Newton:

$$x(t+1) = x(t) + \Delta x(t),$$

unde

$$\nabla^2 f(x(t)) \Delta x(t) = -\nabla f(x(t)), \quad (4.2.2)$$

sau echivalent

$$(\Delta x(t))^T \nabla^2 f(x(t)) = -(\nabla f(x(t)))^T, \quad (4.2.3)$$

unde am ținut cont de faptul că hessiana este o matrice simetrică (adică  $\nabla^2 f(x(t)) = (\nabla^2 f(x(t)))^T$ ) pentru  $f$  indefinit derivabilă, cum este funcția de eroare în cazul nostru.

Dacă nu putem sau nu dorim să calculăm a doua derivată a lui  $f$ , putem să o înlocuim printr-o aproximare de tip secantă:

$$\nabla^2 f(x(t))(x(t) - x(t-1)) \simeq \nabla f(x(t)) - \nabla f(x(t-1)). \quad (4.2.4)$$

Înmulțind această expresie la stânga cu  $(\Delta x(t))^T$  și ținând cont de (4.2.3), avem că

$$-(\nabla f(x(t)))^T \Delta x(t-1) = (\Delta x(t))^T (\nabla f(x(t)) - \nabla f(x(t-1))).$$

Înmulțind această relație cu  $(\nabla f(x(t)) - \nabla f(x(t-1)))^T$  la dreapta, obținem

$$\frac{(\nabla f(x(t)))^T \Delta x(t-1) (\nabla f(x(t-1)) - \nabla f(x(t)))^T}{\|\nabla f(x(t)) - \nabla f(x(t-1))\|^2} = (\Delta x(t))^T,$$

și luând transpusa acestei relații, avem

$$\Delta x(t) = \frac{(\nabla f(x(t-1)) - \nabla f(x(t))) (\Delta x(t-1))^T \nabla f(x(t))}{\|\nabla f(x(t)) - \nabla f(x(t-1))\|^2},$$

unde  $\|x\|$  reprezintă norma euclidiană din  $\mathbb{R}^{2^n}$  a vectorului  $x$ .

Folosind formula de mai sus pentru actualizarea ponderilor într-o rețea neuronală cu valori Clifford, unde funcția  $f$  este funcția de eroare  $E$ , avem pentru o anumită pondere  $w_{jk}^l$  (văzută ca un vector din  $\mathbb{R}^{2^n}$ ), definită ca mai sus, următoarea regulă de actualizare:

$$\Delta w_{jk}^l(t) = \frac{\left( \frac{\partial E}{\partial w_{jk}^l}(t-1) - \frac{\partial E}{\partial w_{jk}^l}(t) \right) (\Delta w_{jk}^l(t-1))^T \frac{\partial E}{\partial w_{jk}^l}(t)}{\left\| \frac{\partial E}{\partial w_{jk}^l}(t-1) - \frac{\partial E}{\partial w_{jk}^l}(t) \right\|^2}, \quad (4.2.5)$$

unde derivatele parțiale  $\frac{\partial E}{\partial w_{jk}^l}(t-1)$  și  $\frac{\partial E}{\partial w_{jk}^l}(t)$  sunt exprimări sub formă de vectori din  $\mathbb{R}^{2^n}$  ale numerelor Clifford  $\sum_{A \in \mathcal{I}} \frac{\partial E}{\partial [w_{jk}^l]_A}(t-1) e_A$ , respectiv  $\sum_{A \in \mathcal{I}} \frac{\partial E}{\partial [w_{jk}^l]_A}(t) e_A$ .

Această schemă de actualizare este cunoscută sub numele de algoritmul *quickprop*, și a fost pentru prima dată propus de către Fahlman în [80]. Expresia de actualizare este asemănătoare în cazul Clifford cu cazul real. Pornirea algoritmului necesită doar un singur pas făcut cu metoda gradient, pentru a calcula pasul de actualizare în prima epocă. Euristică din spatele algoritmului este aceea că pasul de actualizare aproximează funcția de eroare în raport cu fiecare pondere printr-un polinom de gradul doi, pentru care formula (4.2.4) este exactă. Această aproximare presupune că fiecare pondere este independentă de toate celelalte și că polinomul de gradul doi are un minim, și nu un maxim. De asemenea, o limită a valorii maxime a pasului de actualizare trebuie impusă pentru a evita probleme în cazul în care numitorul din (4.2.5) devine foarte mic.

### 4.2.3 Metoda RPROP

Pentru a elimina influența potențial negativă a mărimii derivatei parțiale asupra pasului de actualizare, Riedmiller și Braun [226] au conceput algoritmul *resilient backpropagation*, sau prescurtat *RPROP*. Ideea de bază a algoritmului este de a înlocui derivata parțială din formula de actualizare a ponderilor, și de a folosi doar semnul ei pentru a calcula o cantitate notată  $\Delta_{jk}^l$ , care va fi apoi folosită pentru actualizarea ponderii  $w_{jk}^l$ . Pentru că suntem în planul Clifford, trebuie să tratăm fiecare componentă a unui număr Clifford separat. Astfel, formulele pentru calcularea cantităților  $\Delta_{jk}^l$  sunt:

$$[\Delta_{jk}^l(t)]_I = \begin{cases} \eta^+ [\Delta_{jk}^l(t-1)]_I, & \text{dacă } \frac{\partial E}{\partial [w_{jk}^l]_I}(t-1) \times \frac{\partial E}{\partial [w_{jk}^l]_I}(t) > 0 \\ \eta^- [\Delta_{jk}^l(t-1)]_I, & \text{dacă } \frac{\partial E}{\partial [w_{jk}^l]_I}(t-1) \times \frac{\partial E}{\partial [w_{jk}^l]_I}(t) < 0, \forall I \in \mathcal{I}. \\ [\Delta_{jk}^l(t-1)]_I, & \text{altfel} \end{cases}$$

Aceste formule depind de parametri reali  $\eta^+$  și  $\eta^-$ , care trebuie să satisfacă

$$0 < \eta^- < 1 < \eta^+,$$

și sunt de obicei folosiți cu valorile  $\eta^- = 0.5$  și  $\eta^+ = 1.2$ . Aceste formule spun că de fiecare dată când una dintre derivatele parțiale ale funcției de eroare în raport cu  $[w_{jk}^l]_I$  își schimbă semnul, ceea ce indică faptul că ultima actualizare a fost prea mare și că algoritmul a sărit peste un minim local, cantitățile  $[\Delta_{jk}^l]_I$  sunt micșorate cu un factor de  $\eta^-$ ,  $\forall I \in \mathcal{I}$ . Dacă acele derivate parțiale au același semn, aceste cantități sunt mărite cu un factor de  $\eta^+$  pentru a accelera convergența.

Odată ce am calculat valorile  $[\Delta_{jk}^l]_I$ , putem scrie formulele pentru actualizarea componentelor ponderii  $w_{jk}^l$ :

$$[\Delta w_{jk}^l(t)]_I = \begin{cases} -[\Delta_{jk}^l(t)]_I, & \text{dacă } \frac{\partial E}{\partial [w_{jk}^l]_I}(t) > 0 \\ [\Delta_{jk}^l(t)]_I, & \text{dacă } \frac{\partial E}{\partial [w_{jk}^l]_I}(t) < 0, \forall I \in \mathcal{I}. \\ 0, & \text{altfel} \end{cases}$$

Se poate vedea că regula de actualizare este simplă: dacă derivata este pozitivă, ceea ce înseamnă o creștere a erorii, ponderea este micșorată cu  $[\Delta_{jk}^l]_I$ , iar dacă derivata este negativă, aceste valori sunt adunate la pasul de actualizare a ponderii  $[w_{jk}^l]_I$ . La începutul algoritmului, trebuie să dăm o valoare pentru cantitățile  $[\Delta_{jk}^l(0)]_I$ , iar această valoare o luăm ca fiind 0.07.

#### 4.2.4 Metoda delta-bar-delta

O altă cale de a îmbunătăți performanța metodei gradient este de a introduce o rată de învățare diferită pentru fiecare pondere a rețelei, și de a concepe o procedură pentru actualizarea acestor rate de învățare pe parcursul antrenării rețelei. Metoda gradient devine în acest caz

$$[\Delta w_{jk}^l(t)]_I = -[\varepsilon_{jk}^l(t)]_I \frac{\partial E}{\partial [w_{jk}^l]_I}(t), \forall I \in \mathcal{I},$$

unde fiecare rată de învățare  $\varepsilon_{jk}^l(t)$  depinde de ponderea  $w_{jk}^l$  și de epoca  $t$ . Dintru început, facem observația că rata de învățare  $\varepsilon$  este un număr real în metoda gradient pentru rețele cu valori Clifford, în vreme ce în acest nou algoritm, rata de învățare este un număr Clifford. Formulele pentru actualizarea componentelor ratei de învățare  $\varepsilon_{jk}^l(t)$  sunt:

$$[\varepsilon_{jk}^l(t)]_I = \begin{cases} \kappa + [\varepsilon_{jk}^l(t-1)]_I, & \text{dacă } \frac{\partial E}{\partial [w_{jk}^l]_I}(t-1) \times \frac{\partial E}{\partial [w_{jk}^l]_I}(t) > 0 \\ \eta^- [\varepsilon_{jk}^l(t-1)]_I, & \text{dacă } \frac{\partial E}{\partial [w_{jk}^l]_I}(t-1) \times \frac{\partial E}{\partial [w_{jk}^l]_I}(t) < 0, \forall I \in \mathcal{I}, \\ [\varepsilon_{jk}^l(t-1)]_I, & \text{altfel} \end{cases}$$

unde am făcut notațiile

$$\frac{\partial \bar{E}}{\partial [w_{jk}^l]_I}(t) = (1 - \theta) \frac{\partial E}{\partial [w_{jk}^l]_I}(t) + \theta \frac{\partial \bar{E}}{\partial [w_{jk}^l]_I}(t-1), \forall I \in \mathcal{I}.$$

Parametrul  $\eta^-$  trebuie să satisfacă relația  $0 < \eta^- < 1$ , și este de obicei considerat, ca în algoritmul RPROP, ca fiind 0.5. Se poate lua de asemenea  $\kappa = 10^{-6}$  și  $\theta = 0.7$ , însă aceste valori sunt de obicei determinate empiric.

Ideea de bază a acestei metode este următoarea: dacă două derivate parțiale consecutive în raport cu  $[w_{jk}^l]_I$  au același semn, atunci rata de învățare este mărită cu o constantă de valoare mică  $\kappa$  pentru a accelera învățarea. O schimbare a semnului derivatelor parțiale în raport cu  $[w_{jk}^l]_I$  arată că s-a trecut peste minimul local, ceea ce înseamnă că pasul de învățare a fost prea mare. În consecință, rata de învățare este micșorată prin înmulțire cu un factor pozitiv subunitar  $\eta^-$ . Pentru a asigura convergența, derivata parțială anterioară  $\frac{\partial E}{\partial [w_{jk}^l]_I}(t-1)$  a fost înlocuită cu media ponderată exponențial între derivata parțială curentă și cea anterioară, având pe  $\theta$  ca bază a acestei medii și epoca în calitate de exponent. Această medie ponderată a fost notată cu  $\frac{\partial \bar{E}}{\partial [w_{jk}^l]_I}(t)$ , și a fost definită mai sus.

Algoritmul pe care tocmai l-am descris a fost propus de Jacobs în [133], și este numit algoritmul *delta-bar-delta*, deoarece, în acel articol, autorul a notat derivata parțială  $\frac{\partial E}{\partial w_{jk}^l}(t)$  cu  $\delta$  (delta), și media ponderată  $\frac{\partial \bar{E}}{\partial w_{jk}^l}(t)$  cu  $\bar{\delta}$  (delta-bar).

#### 4.2.5 Metoda SuperSAB

Ultimul algoritm din seria metodelor gradient îmbunătățite se numește *SuperSAB* și a fost propus de Tollenaere în [250]. Este foarte asemănător cu algoritmul delta-bar-delta, în aceea că pentru fiecare pondere a rețelei este folosită o rată de învățare diferită. Prin urmare, ca în cazul algoritmului anterior, regula de actualizare este

$$[\Delta w_{jk}^l(t)]_I = -[\varepsilon_{jk}^l(t)]_I \frac{\partial E}{\partial [w_{jk}^l]_I}(t), \forall I \in \mathcal{I},$$

cu excepția faptului că aici rata de învățare  $\varepsilon_{jk}^l(t)$  corespunzătoare ponderii  $w_{jk}^l$  și epocii  $t$  are o formulă de actualizare diferită. De fapt, se poate spune că algoritmul SuperSAB este o combinație între algoritmi RPROP și delta-bar-delta, pentru că formulele pentru actualizarea componentelor lui  $\varepsilon_{jk}^l(t)$  sunt:

$$[\varepsilon_{jk}^l(t)]_I = \begin{cases} \eta^+ [\varepsilon_{jk}^l(t-1)]_I, & \text{dacă } \frac{\partial E}{\partial [w_{jk}^l]_I}(t-1) \times \frac{\partial E}{\partial [w_{jk}^l]_I}(t) > 0 \\ \eta^- [\varepsilon_{jk}^l(t-1)]_I, & \text{dacă } \frac{\partial E}{\partial [w_{jk}^l]_I}(t-1) \times \frac{\partial E}{\partial [w_{jk}^l]_I}(t) < 0, \forall I \in \mathcal{I}, \\ [\varepsilon_{jk}^l(t-1)]_I, & \text{altfel} \end{cases}$$

unde parametrii  $\eta^+$  și  $\eta^-$  trebuie să satisfacă

$$0 < \eta^- < 1 < \eta^+,$$

exact ca în algoritmul resilient backpropagation. Datorită acestei asemănări, se pot lua aceleași valori pentru acești parametri ca în cazul algoritmului RPROP, și anume  $\eta^- = 0.5$  și  $\eta^+ = 1.2$ .

Ideea este destul de ușor de văzut: în loc să adunăm un termen la rata de învățare dacă derivatele parțiale au același semn, facem o înmulțire cu un factor pozitiv



supraunitar  $\eta^+$  a acesteia, ca în cazul algoritmului RPROP. În acest caz, ultimele două derivate parțiale au fost luate în considerare cu valorile inițiale, fără a folosi media ponderată, ca pentru algoritmul delta-bar-delta.

Toți acești algoritmi sunt strategii de adaptare locală, în care pentru actualizarea fiecărei ponderi este folosită informație care este proprie doar acelei ponderi, fără a avea o cunoaștere globală a întregii stări a rețelei, așa cum fac strategiile de adaptare globală. Deși aceste strategii folosesc mai puțină informație, și operațiile de actualizare se fac mai ușor și mai repede, pentru multe aplicații s-a dovedit că ele au o performanță mai bună decât strategiile globale.

Una dintre principalele diferențe între primii doi algoritmi și următorii trei, este aceea că regulile de actualizare (4.2.1) și (4.2.5) depind de numărul Clifford ca întreg, și nu separat de componentele sale ca regulile de actualizare ale celorlalți trei algoritmi. Motivul principal al acestei diferențe este că acești algoritmi fac presupuneri despre valoarea derivatei parțiale a funcției de eroare în raport cu ponderea care este actualizată, presupuneri care implică realizarea de comparații. Este cunoscut că, spre deosebire de numerele reale, numerele Clifford nu au o ordonare naturală, și prin urmare nu există un analog al inegalităților de numere reale între numere Clifford. În consecință, pentru RPROP, delta-bar-delta și SuperSAB, trebuie să dăm reguli de actualizare diferite pentru componentele fiecărei ponderi, care depind de presupuneri făcute asupra derivatelor parțiale în raport cu respectivele componente. Cu excepția acestui fapt, putem observa că regulile de actualizare arată exact la fel în domeniul Clifford ca în domeniul real, și nu pun niciun fel de probleme de implementare.

### 4.3 Metoda gradientilor conjugați

Metodele gradientilor conjugați sunt un caz particular dintr-o clasă mai largă de *algoritmi de căutare liniară*. Pentru a minimiza funcția de eroare a unei rețele neuronale, sunt necesari mai mulți pași prin spațiul valorilor ponderilor pentru a găsi acea valoare a ponderilor pentru care minimul funcției de eroare este atins. Fiecare pas este determinat de o *direcție de căutare* și de un număr real care ne spune cât de mult trebuie să ne deplasăm în acea direcție. În metoda gradient clasică, direcția de căutare este aceea a gradientului cu semn schimbat, iar numărul real este rata de învățare. În cazul general, putem considera o anumită direcție de căutare, și apoi putem determina minimul funcției de eroare în acea direcție, obținând în acest fel acel număr real care ne spune cât de mult trebuie să ne deplasăm în direcția de căutare. Acesta reprezintă *algoritmul de căutare liniară*, și se află la baza unei familii de metode care au o performanță mai bună decât metoda gradient. Deducerea algoritmilor gradientilor conjugați prezentată mai jos, urmărește în principal referința [46], care la rândul ei urmărește referința [140], unul dintre primele articole în care se aplică acești algoritmi pentru antrenarea rețelelor neuronale, un altul fiind [64].

Să presupunem că avem o rețea neuronală cu valori Clifford care are funcția de eroare notată cu  $E$ , un vector al ponderilor  $N$ -dimensional  $\mathbf{w}$ , și notăm  $\overset{\mathcal{R}}{\mathbf{w}} = ((\mathbf{w}_I^T)_{I \in \mathcal{I}})^T \in \mathbb{R}^{2^n N}$ . Trebuie să găsim vectorul ponderilor  $\overset{\mathcal{R}}{\mathbf{w}}^*$  care minimizează funcția  $E(\overset{\mathcal{R}}{\mathbf{w}})$ . Să presupunem că facem pași iterativi prin spațiul ponderilor pentru a găsi valoarea lui  $\overset{\mathcal{R}}{\mathbf{w}}^*$ , sau o foarte bună aproximare a ei. Mai mult, să presupunem că la pasul  $k$  în iterație, vrem ca direcția de căutare să fie  $\overset{\mathcal{R}}{\mathbf{p}}_k$ , unde  $\overset{\mathcal{R}}{\mathbf{p}}_k$  este evident un vector  $2^n N$ -dimensional. În acest caz, următoarea valoare pentru vectorul ponderilor este dată prin

$$\overset{\mathcal{R}}{\mathbf{w}}_{k+1} = \overset{\mathcal{R}}{\mathbf{w}}_k + \lambda_k \overset{\mathcal{R}}{\mathbf{p}}_k,$$

unde parametrul  $\lambda_k$  este un număr real care ne spune cât de mult în direcția  $\overset{\mathcal{R}}{\mathbf{p}}_k$  vrem să mergem, ceea ce înseamnă că  $\lambda_k$  trebuie ales pentru a minimiza funcția

$$E(\lambda) = E(\overset{\mathcal{R}}{\mathbf{w}}_k + \lambda \overset{\mathcal{R}}{\mathbf{p}}_k).$$

Aceasta este o funcție reală de o variabilă reală, ceea ce înseamnă că minimumul ei este atins când

$$\frac{\partial E(\lambda)}{\partial \lambda} = \frac{\partial E(\overset{\mathcal{R}}{\mathbf{w}}_k + \lambda \overset{\mathcal{R}}{\mathbf{p}}_k)}{\partial \lambda} = 0.$$

Folosind regula înălțurii, putem scrie că

$$\begin{aligned} \frac{\partial E(\overset{\mathcal{R}}{\mathbf{w}}_k + \lambda \overset{\mathcal{R}}{\mathbf{p}}_k)}{\partial \lambda} &= \sum_{j=1}^N \sum_{I \in \mathcal{I}} \frac{\partial E(\overset{\mathcal{R}}{\mathbf{w}}_k + \lambda \overset{\mathcal{R}}{\mathbf{p}}_k)}{\partial [w_{j,k} + \lambda p_{j,k}]_I} \frac{\partial [w_{j,k} + \lambda p_{j,k}]_I}{\partial \lambda} \\ &= \sum_{j=1}^N \sum_{I \in \mathcal{I}} \frac{\partial E(\overset{\mathcal{R}}{\mathbf{w}}_{k+1})}{\partial [w_{j,k+1}]_I} [p_{j,k}]_I \\ &= \langle \nabla E(\overset{\mathcal{R}}{\mathbf{w}}_{k+1}), \overset{\mathcal{R}}{\mathbf{p}}_k \rangle, \end{aligned} \quad (4.3.1)$$

unde  $\langle \overset{\mathcal{R}}{\mathbf{a}}, \overset{\mathcal{R}}{\mathbf{b}} \rangle$  este *produsul scalar euclidian* din  $\mathbb{R}^{2^N}$ , dat prin

$$\langle \overset{\mathcal{R}}{\mathbf{a}}, \overset{\mathcal{R}}{\mathbf{b}} \rangle = \langle (([\mathbf{a}]_I^T)_{I \in \mathcal{I}})^T, (([\mathbf{b}]_I^T)_{I \in \mathcal{I}})^T \rangle = \sum_{I \in \mathcal{I}} \langle [\mathbf{a}]_I, [\mathbf{b}]_I \rangle = \sum_{j=1}^N \sum_{I \in \mathcal{I}} [a_j]_I [b_j]_I,$$

pentru orice  $\overset{\mathcal{R}}{\mathbf{a}}, \overset{\mathcal{R}}{\mathbf{b}} \in \mathbb{R}^{2^N}$ , și gradientul  $\nabla E(\overset{\mathcal{R}}{\mathbf{w}}_{k+1})$  este definit prin

$$\nabla E(\overset{\mathcal{R}}{\mathbf{w}}) := \left( \frac{\partial E}{\partial \overset{\mathcal{R}}{\mathbf{w}}}(\overset{\mathcal{R}}{\mathbf{w}}) \right)^T.$$

Prin urmare, dacă notăm  $\mathbf{g}(\overset{\mathcal{R}}{\mathbf{w}}) := \nabla E(\overset{\mathcal{R}}{\mathbf{w}})$ , atunci (4.3.1) poate fi scrisă sub forma

$$\langle \mathbf{g}(\overset{\mathcal{R}}{\mathbf{w}}_{k+1}), \overset{\mathcal{R}}{\mathbf{p}}_k \rangle = 0, \quad (4.3.2)$$

ceea ce arată că vectorii  $\mathbf{g}(\overset{\mathcal{R}}{\mathbf{w}}_{k+1})$  și  $\overset{\mathcal{R}}{\mathbf{p}}_k$  sunt ortogonali în  $\mathbb{R}^{2^N}$ .

Următoarea direcție de căutare  $\overset{\mathcal{R}}{\mathbf{p}}_{k+1}$  este aleasă astfel încât componenta gradientului paralelă cu direcția de căutare anterioară  $\overset{\mathcal{R}}{\mathbf{p}}_k$  rămâne zero. În consecință, avem că

$$\langle \mathbf{g}(\overset{\mathcal{R}}{\mathbf{w}}_{k+1} + \lambda \overset{\mathcal{R}}{\mathbf{p}}_{k+1}), \overset{\mathcal{R}}{\mathbf{p}}_k \rangle = 0.$$

Din dezvoltarea în serie Taylor până la gradul întâi, avem că

$$\mathbf{g}(\overset{\mathcal{R}}{\mathbf{w}}_{k+1} + \lambda \overset{\mathcal{R}}{\mathbf{p}}_{k+1}) = \mathbf{g}(\overset{\mathcal{R}}{\mathbf{w}}_{k+1}) + \nabla \mathbf{g}(\overset{\mathcal{R}}{\mathbf{w}}_{k+1})^T \lambda \overset{\mathcal{R}}{\mathbf{p}}_{k+1},$$

și apoi, dacă ținem cont de (4.3.2), obținem că

$$\lambda \langle \nabla \mathbf{g}(\overset{\mathcal{R}}{\mathbf{w}}_{k+1})^T \overset{\mathcal{R}}{\mathbf{p}}_{k+1}, \overset{\mathcal{R}}{\mathbf{p}}_k \rangle = 0,$$

ceea ce este echivalent cu

$$\langle \mathbf{H}^T(\overset{\mathcal{R}}{\mathbf{w}}_{k+1}) \overset{\mathcal{R}}{\mathbf{p}}_{k+1}, \overset{\mathcal{R}}{\mathbf{p}}_k \rangle = 0,$$

sau, mai departe, cu

$$\langle \mathbf{p}_{k+1}, \mathbf{H}(\mathbf{w}_{k+1}) \mathbf{p}_k \rangle = 0, \quad (4.3.3)$$

unde am notat prin  $\mathbf{H}(\mathbf{w}_{k+1})$  hessiana funcției de eroare  $E(\mathbf{w})$ , deoarece  $\mathbf{g}(\mathbf{w}) = \nabla E(\mathbf{w})$ , și deci  $\nabla \mathbf{g}(\mathbf{w}) = \frac{\partial^2 E}{\partial \mathbf{w}^T \partial \mathbf{w}}(\mathbf{w}) = \frac{\partial^2 E}{\partial \mathbf{w} \partial \mathbf{w}^T}(\mathbf{w})$  este hessiana.

Direcțiile de căutare care satisfac ecuația (4.3.3) se numesc *direcții conjugate*. Metoda direcțiilor conjugate construiește direcțiile de căutare  $\mathbf{p}_k$ , astfel încât fiecare nouă direcție este conjugată cu toate cele anterioare.

### 4.3.1 Metoda gradientilor conjugați liniară

În continuare, vom explica metoda gradientilor conjugați liniară. Pentru aceasta, să considerăm o funcție de eroare de forma

$$E(\mathbf{w}) = E_0 + \mathbf{b}^T \mathbf{w} + \frac{1}{2} \mathbf{w}^T \mathbf{H} \mathbf{w}, \quad (4.3.4)$$

unde  $\mathbf{b}$  și  $\mathbf{H}$  sunt constante, și matricea  $\mathbf{H}$  este presupusă a fi pozitiv definită. Gradientul acestei funcții este dat de

$$\mathbf{g}(\mathbf{w}) = \mathbf{b} + \mathbf{H} \mathbf{w}. \quad (4.3.5)$$

Vectorul ponderilor  $\mathbf{w}^*$  care minimizează funcția  $E(\mathbf{w})$  satisface ecuația

$$\mathbf{b} + \mathbf{H} \mathbf{w}^* = 0. \quad (4.3.6)$$

După cum am văzut mai devreme din ecuația (4.3.3), o mulțime de  $2^n N$  vectori nenuli  $\{\mathbf{p}_1, \mathbf{p}_2, \dots, \mathbf{p}_{2^n N}\} \subset \mathbb{R}^{2^n N}$  se zice a fi *conjugată față de matricea pozitiv definită*  $\mathbf{H}$  dacă și numai dacă

$$\langle \mathbf{p}_i, \mathbf{H} \mathbf{p}_j \rangle = 0, \forall i \neq j. \quad (4.3.7)$$

Este ușor de văzut că, în aceste condiții, mulțimea de  $2^n N$  vectori este de asemenea liniar independentă, ceea ce înseamnă că acești vectori formează o bază în  $\mathbb{R}^{2^n N}$ . Dacă începem din punctul inițial notat  $\mathbf{w}_1$  și vrem să găsim valoarea lui  $\mathbf{w}^*$  care minimizează funcția de eroare dată în (4.3.4), luând în considerare remarcile anterioare, putem scrie că

$$\mathbf{w}^* - \mathbf{w}_1 = \sum_{i=1}^{2^n N} \alpha_i \mathbf{p}_i. \quad (4.3.8)$$

Acum, dacă punem

$$\mathbf{w}_k = \mathbf{w}_1 + \sum_{i=1}^{k-1} \alpha_i \mathbf{p}_i, \quad (4.3.9)$$

atunci (4.3.8) poate fi scrisă în formă iterativă, astfel

$$\mathbf{w}_{k+1} = \mathbf{w}_k + \alpha_k \mathbf{p}_k, \quad (4.3.10)$$

ceea ce înseamnă că valoarea lui  $\mathbf{w}^*$  poate fi determinată în cel mult  $2^n N$  pași pentru funcția de eroare (4.3.4), folosind iterația de mai sus. Mai trebuie să determinăm parametrii reali  $\alpha_k$  care ne spun cât de mult trebuie să avansăm în fiecare dintre cele  $2^n N$  direcții conjugate  $\mathbf{p}_k$ .

Pentru aceasta, înmulțim ecuația (4.3.8) cu  $\mathbf{H}$  la stânga, și luăm produsul scalar euclidian din  $\mathbb{R}^{2^n N}$  cu  $\mathbf{p}_k$ . Ținând cont de ecuația (4.3.6), obținem că

$$-\langle \mathbf{p}_k, \mathbf{b} + \mathbf{H}\mathbf{w}_1 \rangle = \sum_{i=1}^N \alpha_i \langle \mathbf{p}_k, \mathbf{H}\mathbf{p}_i \rangle.$$

Dar, pentru că direcțiile  $\mathbf{p}_k$  sunt conjugate față de matricea  $\mathbf{H}$ , avem din (4.3.7) că  $\langle \mathbf{p}_k, \mathbf{H}\mathbf{p}_i \rangle = 0, \forall i \neq k$ , și prin urmare ecuația de mai sus dă următoarea expresie pentru calculul lui  $\alpha_k$ :

$$\alpha_k = -\frac{\langle \mathbf{p}_k, \mathbf{b} + \mathbf{H}\mathbf{w}_1 \rangle}{\langle \mathbf{p}_k, \mathbf{H}\mathbf{p}_k \rangle}. \quad (4.3.11)$$

Acum, dacă înmulțim ecuația (4.3.9) cu  $\mathbf{H}$  la stânga și luăm același produs scalar cu  $\mathbf{p}_k$ , avem că:

$$\langle \mathbf{p}_k, \mathbf{H}\mathbf{w}_k \rangle = \langle \mathbf{p}_k, \mathbf{H}\mathbf{w}_1 \rangle + \sum_{i=1}^{k-1} \alpha_i \langle \mathbf{p}_k, \mathbf{H}\mathbf{p}_i \rangle,$$

sau, ținând cont că  $\langle \mathbf{p}_k, \mathbf{H}\mathbf{p}_i \rangle = 0, \forall i \neq k$ , avem că

$$\langle \mathbf{p}_k, \mathbf{H}\mathbf{w}_k \rangle = \langle \mathbf{p}_k, \mathbf{H}\mathbf{w}_1 \rangle,$$

și astfel relația (4.3.11) pentru calculul lui  $\alpha_k$  devine:

$$\alpha_k = -\frac{\langle \mathbf{p}_k, \mathbf{b} + \mathbf{H}\mathbf{w}_k \rangle}{\langle \mathbf{p}_k, \mathbf{H}\mathbf{p}_k \rangle} = -\frac{\langle \mathbf{p}_k, \mathbf{g}_k \rangle}{\langle \mathbf{p}_k, \mathbf{H}\mathbf{p}_k \rangle}, \quad (4.3.12)$$

unde  $\mathbf{g}_k := \mathbf{g}(\mathbf{w}_k) = \mathbf{b} + \mathbf{H}\mathbf{w}_k$ , după cum rezultă din relația (4.3.5).

În final, mai trebuie doar să construim direcțiile mutual conjugate  $\mathbf{p}_k$ . Pentru aceasta, prima direcție este inițializată cu gradientul cu semn schimbat al funcției de eroare în punctul inițial  $\mathbf{w}_1$ , i.e.  $\mathbf{p}_1 = -\mathbf{g}_1$ . Avem următoarea regulă de actualizare pentru direcțiile conjugate:

$$\mathbf{p}_{k+1} = -\mathbf{g}_{k+1} + \beta_k \mathbf{p}_k. \quad (4.3.13)$$

Luând produsul scalar cu  $\mathbf{H}\mathbf{p}_k$ , și impunând condiția de conjugare  $\langle \mathbf{p}_{k+1}, \mathbf{H}\mathbf{p}_k \rangle = 0$ , obținem că

$$\beta_k = \frac{\langle \mathbf{g}_{k+1}, \mathbf{H}\mathbf{p}_k \rangle}{\langle \mathbf{p}_k, \mathbf{H}\mathbf{p}_k \rangle}. \quad (4.3.14)$$

Se poate arăta ușor prin inducție că aplicarea repetată a relațiilor (4.3.13) și (4.3.14), dă o mulțime de direcții mutual conjugate față de matricea pozitiv definită  $\mathbf{H}$ .

#### 4.3.2 Metoda gradientilor conjugăți neliniară

Până acum, am tratat cazul unei funcții de eroare polinomiale de gradul doi care are o matrice hessiană pozitiv definită  $\mathbf{H}$ . Dar în aplicații practice, funcția de eroare poate fi departe de a fi polinomială de gradul doi, și astfel expresiile pentru calculul lui  $\alpha_k$  și  $\beta_k$  pe care le-am dedus mai sus, s-ar putea să nu fie la fel de precise ca în cazul polinomial. Mai mult, aceste expresii au nevoie de calculul explicit al matricii hessiene

$\mathbf{H}$  pentru fiecare pas al algoritmului, pentru că hessiana este constantă doar în cazul unei funcții de eroare polinomiale de gradul doi. Acest calcul este dificil de făcut, și ar trebui să fie evitat. În cele ce urmează, vom deduce expresii pentru  $\alpha_k$  și  $\beta_k$  care nu necesită calculul explicit al matricii hessiene, și nici măcar nu presupun această matrice ca fiind pozitiv definită.

În primul rând, să luăm în considerare expresia pentru  $\alpha_k$ , dată în (4.3.12). Datorită relației iterative (4.3.10), putem să înlocuim calculul explicit al lui  $\alpha_k$  cu o *căutare liniară inexactă* care minimizează  $E(\bar{\mathbf{w}}_{k+1}) = E(\bar{\mathbf{w}}_k + \alpha_k \bar{\mathbf{p}}_k)$ , i.e. o minimizare liniară de-a lungul direcției  $\bar{\mathbf{p}}_k$ , începând de la punctul  $\bar{\mathbf{w}}_k$ . Un exemplu de căutare liniară este metoda secțiunii de aur, care s-a demonstrat că are convergență liniară, de exemplu în [167, 47].

Acum, să ne îndreptăm atenția către  $\beta_k$ . Din (4.3.5), avem că

$$\bar{\mathbf{g}}_{k+1} - \bar{\mathbf{g}}_k = \bar{\mathbf{H}}_k(\bar{\mathbf{w}}_{k+1} - \bar{\mathbf{w}}_k) = \alpha_k \bar{\mathbf{H}}_k \bar{\mathbf{p}}_k, \quad (4.3.15)$$

unde  $\bar{\mathbf{H}}_k := \mathbf{H}(\bar{\mathbf{w}}_k)$ , și deci expresia (4.3.14) devine:

$$\beta_k = \frac{\langle \bar{\mathbf{g}}_{k+1}, \bar{\mathbf{g}}_{k+1} - \bar{\mathbf{g}}_k \rangle}{\langle \bar{\mathbf{p}}_k, \bar{\mathbf{g}}_{k+1} - \bar{\mathbf{g}}_k \rangle}. \quad (4.3.16)$$

Aceasta este cunoscută ca fiind expresia de actualizare *Hestenes-Stiefel*, a se vedea [112].

Pentru a prelucra mai departe această expresie, trebuie să luăm produsul scalar euclidian din  $\mathbb{R}^{2^n N}$  al ecuației (4.3.15) cu  $\bar{\mathbf{p}}_k$  și să ținem cont de expresia (4.3.12) pentru  $\alpha_k$  obținând astfel

$$\langle \bar{\mathbf{p}}_k, \bar{\mathbf{g}}_{k+1} \rangle = 0. \quad (4.3.17)$$

Luând produsul scalar dintre (4.3.13) și  $\bar{\mathbf{g}}_{k+1}$ , și folosind ecuația de mai sus, rezultă că

$$\langle \bar{\mathbf{p}}_{k+1}, \bar{\mathbf{g}}_{k+1} \rangle = -\langle \bar{\mathbf{g}}_{k+1}, \bar{\mathbf{g}}_{k+1} \rangle. \quad (4.3.18)$$

Acum, inserând relațiile (4.3.17) și (4.3.18) în expresia (4.3.16), obținem expresia de actualizare *Polak-Ribiere* (a se vedea [214]):

$$\beta_k = \frac{\langle \bar{\mathbf{g}}_{k+1}, \bar{\mathbf{g}}_{k+1} - \bar{\mathbf{g}}_k \rangle}{\langle \bar{\mathbf{g}}_k, \bar{\mathbf{g}}_k \rangle}. \quad (4.3.19)$$

În continuare, luăm produsul scalar euclidian  $\mathbb{R}^{2^n N}$  al ecuației (4.3.15) cu  $\bar{\mathbf{p}}_i$ ,  $i < k$ , pentru a obține

$$\langle \bar{\mathbf{p}}_i, \bar{\mathbf{g}}_{k+1} - \bar{\mathbf{g}}_k \rangle = \alpha_k \langle \bar{\mathbf{p}}_i, \bar{\mathbf{H}}_k \bar{\mathbf{p}}_k \rangle = 0, \quad (4.3.20)$$

unde am luat în considerare faptul că  $\bar{\mathbf{p}}_i$  și  $\bar{\mathbf{p}}_k$  sunt direcții conjugate, pentru  $i < k$ . Ecuațiile (4.3.20) și (4.3.17) pot fi folosite pentru a demonstra prin inducție că avem

$$\langle \bar{\mathbf{p}}_i, \bar{\mathbf{g}}_k \rangle = 0, \forall i < k \leq N. \quad (4.3.21)$$

Din expresia pentru  $\bar{\mathbf{p}}_{k+1}$  dată în ecuația (4.3.13), deducem că  $\bar{\mathbf{p}}_k$  este dat de o combinație liniară a tuturor vectorilor gradient anteriori, și anume putem scrie că

$$\bar{\mathbf{p}}_i = -\bar{\mathbf{g}}_i + \sum_{j=1}^{k-1} \gamma_j \bar{\mathbf{g}}_j. \quad (4.3.22)$$

Luând produsul scalar al ecuației (4.3.22) cu  $\overset{\mathcal{R}}{\mathbf{p}}_i$ ,  $i < k$ , și folosind ecuația (4.3.21), obținem următoarea relație:

$$\langle \overset{\mathcal{R}}{\mathbf{g}}_i, \overset{\mathcal{R}}{\mathbf{g}}_k \rangle = \sum_{j=1}^{k-1} \gamma_j \langle \overset{\mathcal{R}}{\mathbf{g}}_j, \overset{\mathcal{R}}{\mathbf{g}}_k \rangle, \forall i < k \leq N.$$

Pornind de la faptul că  $\overset{\mathcal{R}}{\mathbf{p}}_1 = -\overset{\mathcal{R}}{\mathbf{g}}_1$  și de la ecuația (4.3.21), obținem prin inducție că

$$\langle \overset{\mathcal{R}}{\mathbf{g}}_i, \overset{\mathcal{R}}{\mathbf{g}}_k \rangle = 0, \forall i < k \leq N. \quad (4.3.23)$$

În particular, avem că  $\langle \overset{\mathcal{R}}{\mathbf{g}}_k, \overset{\mathcal{R}}{\mathbf{g}}_{k+1} \rangle = 0$ , și astfel expresia (4.3.19) devine:

$$\beta_k = \frac{\langle \overset{\mathcal{R}}{\mathbf{g}}_{k+1}, \overset{\mathcal{R}}{\mathbf{g}}_{k+1} \rangle}{\langle \overset{\mathcal{R}}{\mathbf{g}}_k, \overset{\mathcal{R}}{\mathbf{g}}_k \rangle}. \quad (4.3.24)$$

Această expresie este cunoscută ca formula de actualizare *Fletcher-Reeves*, a se vedea [225].

În fine, utilizând (4.3.23), și anume faptul că  $\langle \overset{\mathcal{R}}{\mathbf{g}}_k, \overset{\mathcal{R}}{\mathbf{g}}_{k+1} \rangle = 0$ , în ecuația (4.3.16), obținem următoarea formulă de actualizare:

$$\beta_k = \frac{\langle \overset{\mathcal{R}}{\mathbf{g}}_{k+1}, \overset{\mathcal{R}}{\mathbf{g}}_{k+1} \rangle}{\langle \overset{\mathcal{R}}{\mathbf{p}}_k, \overset{\mathcal{R}}{\mathbf{g}}_{k+1} - \overset{\mathcal{R}}{\mathbf{g}}_k \rangle},$$

care este cunoscută sub numele de expresia de actualizare *Dai-Yuan*, a se vedea [73].

Există două variații ale formulilor de actualizare Hestenes-Stiefel și Polak-Ribiere, a căror convergență s-a demonstrat în [103, 91] chiar dacă este folosită o căutare liniară inexactă pentru a determina valoarea lui  $\alpha_k$ . Dacă notăm cu  $\beta_k^{HS}$ , și respectiv cu  $\beta_k^{PR}$ , valorile pașilor de actualizare ale celor doi algoritmi, expresiile pentru acești pași care garantează convergența sunt

$$\beta_k^{HS+} = \max\{0, \beta_k^{HS}\},$$

și respectiv

$$\beta_k^{PR+} = \max\{0, \beta_k^{PR}\}.$$

Dacă funcția de eroare  $E$  este pătratică (polinom de gradul doi), atunci metoda gradientilor conjugați va găsi garantat minimul în cel mult  $2^n N$  pași. Dar, în general, funcția de eroare poate fi departe de a fi pătratică, și astfel algoritmul va avea nevoie de mai mult de  $2^n N$  pași pentru a se apropia de minim. De-a lungul acestor pași, conjugarea direcțiilor de căutare tinde să se deterioreze, și astfel este o practică comună aceea de a reporni algoritmul cu gradientul cu semn schimbat

$$\overset{\mathcal{R}}{\mathbf{p}}_k = -\overset{\mathcal{R}}{\mathbf{g}}_k,$$

după  $2^n N$  pași.

Un algoritm de repornire mai sofisticat, propus de Powell în [222], urmând o idee a lui Beale din [35], este de a reporni dacă există puțină ortogonalitate rămasă între gradientul curent și gradientul anterior. Pentru a testa aceasta, verificăm faptul că are loc următoarea inegalitate:

$$|\langle \overset{\mathcal{R}}{\mathbf{g}}_k, \overset{\mathcal{R}}{\mathbf{g}}_{k+1} \rangle| \geq 0.2 \langle \overset{\mathcal{R}}{\mathbf{g}}_{k+1}, \overset{\mathcal{R}}{\mathbf{g}}_{k+1} \rangle.$$

Regula de actualizare (4.3.13) pentru direcția de căutare  $\overset{\mathcal{R}}{\mathbf{p}}_k$  este de asemenea schimbată în

$$\overset{\mathcal{R}}{\mathbf{p}}_{k+1} = -\overset{\mathcal{R}}{\mathbf{g}}_{k+1} + \beta_k \overset{\mathcal{R}}{\mathbf{p}}_k + \gamma_k \overset{\mathcal{R}}{\mathbf{p}}_t,$$

unde coeficienții  $\beta_k$  și  $\gamma_k$  sunt calculați în felul următor:

$$\beta_k = \frac{\langle \overset{\mathcal{R}}{\mathbf{g}}_{k+1}, \overset{\mathcal{R}}{\mathbf{g}}_{k+1} - \overset{\mathcal{R}}{\mathbf{g}}_k \rangle}{\langle \overset{\mathcal{R}}{\mathbf{p}}_k, \overset{\mathcal{R}}{\mathbf{g}}_{k+1} - \overset{\mathcal{R}}{\mathbf{g}}_k \rangle}$$

$$\gamma_k = \frac{\langle \overset{\mathcal{R}}{\mathbf{g}}_{k+1}, \overset{\mathcal{R}}{\mathbf{g}}_{t+1} - \overset{\mathcal{R}}{\mathbf{g}}_t \rangle}{\langle \overset{\mathcal{R}}{\mathbf{p}}_t, \overset{\mathcal{R}}{\mathbf{g}}_{t+1} - \overset{\mathcal{R}}{\mathbf{g}}_t \rangle},$$

iar  $\overset{\mathcal{R}}{\mathbf{p}}_t$  este o direcție descendentă de repornire arbitrar aleasă. Aceste expresii sunt deduse în același fel cu cele de mai sus. Metoda gradientilor conjugați cu aceste caracteristici este numită metoda *Powell-Beale*.

#### 4.4 Metoda gradientilor conjugați scalați

După cum am văzut mai sus, în aplicațiile din lumea reală, matricea hessiană poate fi departe de a fi pozitiv definită. Datorită acestui fapt, Møller a propus în [178], metoda gradientilor conjugați scalați care folosește metoda *model trust region* cunoscută de la algoritmul Levenberg-Marquardt, combinată cu metoda gradientilor conjugați. Pentru a asigura pozitiv definirea, trebuie să adăugăm la matricea hessiană o constantă pozitivă suficient de mare  $\lambda_k$ , înmulțită cu matricea identitate. Cu această modificare, formula pentru pasul de actualizare dată în (4.3.12), devine

$$\alpha_k = - \frac{\langle \overset{\mathcal{R}}{\mathbf{p}}_k, \overset{\mathcal{R}}{\mathbf{g}}_k \rangle}{\langle \overset{\mathcal{R}}{\mathbf{p}}_k, \overset{\mathcal{R}}{\mathbf{H}}_k \overset{\mathcal{R}}{\mathbf{p}}_k \rangle + \lambda_k \langle \overset{\mathcal{R}}{\mathbf{p}}_k, \overset{\mathcal{R}}{\mathbf{p}}_k \rangle}. \quad (4.4.1)$$

Notăm numitorul din (4.4.1) cu  $\delta_k := \langle \overset{\mathcal{R}}{\mathbf{p}}_k, \overset{\mathcal{R}}{\mathbf{H}}_k \overset{\mathcal{R}}{\mathbf{p}}_k \rangle + \lambda_k \langle \overset{\mathcal{R}}{\mathbf{p}}_k, \overset{\mathcal{R}}{\mathbf{p}}_k \rangle$ . Pentru o hessiană pozitiv definită, avem că  $\delta_k > 0$ . Dar dacă  $\delta_k \leq 0$ , atunci va trebui să creștem valoarea lui  $\delta_k$  pentru a o face pozitivă. Fie  $\bar{\delta}_k$  noua valoare a lui  $\delta_k$ , și, corespunzător, fie  $\bar{\lambda}_k$  noua valoare a lui  $\lambda_k$ . Este clar că avem următoarea relație

$$\bar{\delta}_k = \delta_k + (\bar{\lambda}_k - \lambda_k) \langle \overset{\mathcal{R}}{\mathbf{p}}_k, \overset{\mathcal{R}}{\mathbf{p}}_k \rangle, \quad (4.4.2)$$

și, pentru ca  $\bar{\delta}_k > 0$ , trebuie să avem  $\bar{\lambda}_k > \lambda_k - \delta_k / \langle \overset{\mathcal{R}}{\mathbf{p}}_k, \overset{\mathcal{R}}{\mathbf{p}}_k \rangle$ . Møller în [178] alege pentru  $\bar{\lambda}_k$  valoarea

$$\bar{\lambda}_k = 2 \left( \lambda_k - \frac{\delta_k}{\langle \overset{\mathcal{R}}{\mathbf{p}}_k, \overset{\mathcal{R}}{\mathbf{p}}_k \rangle} \right),$$

și astfel expresia pentru noua valoare a lui  $\delta_k$  dată în (4.4.2), devine

$$\bar{\delta}_k = -\delta_k + \lambda_k \langle \overset{\mathcal{R}}{\mathbf{p}}_k, \overset{\mathcal{R}}{\mathbf{p}}_k \rangle = -\langle \overset{\mathcal{R}}{\mathbf{p}}_k, \overset{\mathcal{R}}{\mathbf{H}}_k \overset{\mathcal{R}}{\mathbf{p}}_k \rangle,$$

care este acum pozitivă și va fi folosită în (4.4.1) pentru a calcula valoarea lui  $\alpha_k$ .

O altă problemă semnalată mai sus este aproximarea pătratică pentru funcția de eroare  $E$ . Algoritmul gradientilor conjugați scalați rezolvă această problemă prin considerarea unui parametru de comparație definit prin

$$\Delta_k = \frac{E(\bar{\mathbf{w}}_k) - E(\bar{\mathbf{w}}_k + \alpha_k \bar{\mathbf{p}}_k)}{E(\bar{\mathbf{w}}_k) - E_Q(\bar{\mathbf{w}}_k + \alpha_k \bar{\mathbf{p}}_k)}, \quad (4.4.3)$$

unde  $E_Q(\bar{\mathbf{w}}_k + \alpha_k \bar{\mathbf{p}}_k)$  reprezintă aproximarea pătratică locală a funcției de eroare într-o vecinătate a punctului  $\bar{\mathbf{w}}_k$ , dată prin

$$E_Q(\bar{\mathbf{w}}_k + \alpha_k \bar{\mathbf{p}}_k) = E(\bar{\mathbf{w}}_k) + \alpha_k \langle \bar{\mathbf{p}}_k, \bar{\mathbf{g}}_k \rangle + \frac{1}{2} \alpha_k^2 \langle \bar{\mathbf{p}}_k, \bar{\mathbf{H}}_k \bar{\mathbf{p}}_k \rangle. \quad (4.4.4)$$

Putem vedea cu ușurință că  $\Delta_k$  măsoară cât de bună este această aproximare pătratică. Introducând relația (4.4.4) în relația (4.4.3), și ținând cont de expresia (4.3.12) pentru  $\alpha_k$ , avem că

$$\Delta_k = \frac{2(E(\bar{\mathbf{w}}_k) - E(\bar{\mathbf{w}}_k + \alpha_k \bar{\mathbf{p}}_k))}{\alpha_k \langle \bar{\mathbf{p}}_k, \bar{\mathbf{g}}_k \rangle}.$$

Valoarea lui  $\lambda_k$  este apoi actualizată în felul următor:

$$\lambda_{k+1} = \begin{cases} \lambda_k/2, & \text{dacă } \Delta_k > 0.75 \\ 4\lambda_k, & \text{dacă } \Delta_k < 0.25, \\ \lambda_k, & \text{altfel} \end{cases} \quad (4.4.5)$$

pentru a asigura o mai bună aproximare pătratică.

Prin urmare, există două stadii ale actualizării lui  $\lambda_k$ : una pentru a ne asigura că  $\delta_k > 0$ , și una corespunzătoare validității aproximării pătratice. Cele două stadii sunt aplicate succesiv după fiecare actualizare a ponderilor.

## 4.5 Metoda Newton

Să presupunem că avem o rețea neuronală cu valori complexe, a cărei funcție de eroare este  $E : \mathbb{R}^{2^n N} \rightarrow \mathbb{R}$ . Dacă notăm  $\mathbf{g}(\bar{\mathbf{w}}) := \nabla E(\bar{\mathbf{w}})$ , gradientul funcției  $E$ , și cu  $\mathbf{H}(\bar{\mathbf{w}}) := \nabla^2 E(\bar{\mathbf{w}})$ , hessiana funcției  $E$ , atunci, presupunând că  $\bar{\mathbf{w}} = (([\mathbf{w}]_j^T)_{I \in \mathcal{I}})^T \in \mathbb{R}^{2^n N}$  este vectorul  $2^n N$ -dimensional al componentelor tuturor ponderilor și bias-urilor rețelei, putem găsi minimumul funcției de eroare folosind *metoda lui Newton* care presupune calculul iterativ al vectorului  $\bar{\mathbf{w}}^*$  care minimizează funcția  $E$  folosind următoarea regulă de actualizare

$$\bar{\mathbf{w}}_{k+1} = \bar{\mathbf{w}}_k - \mathbf{H}^{-1}(\bar{\mathbf{w}}_k) \mathbf{g}(\bar{\mathbf{w}}_k),$$

sau, echivalent, dacă notăm  $\bar{\mathbf{H}}_k := \mathbf{H}(\bar{\mathbf{w}}_k)$  și respectiv  $\bar{\mathbf{g}}_k := \mathbf{g}(\bar{\mathbf{w}}_k)$ ,

$$\bar{\mathbf{w}}_{k+1} = \bar{\mathbf{w}}_k - \bar{\mathbf{H}}_k^{-1} \bar{\mathbf{g}}_k.$$

Această regulă de actualizare face o presupunere esențială asupra matricii hessiene, și anume aceea că ea trebuie să fie pozitiv definită. Dacă această condiție nu este îndeplinită, atunci se folosește formula de actualizare modificată

$$\bar{\mathbf{w}}_{k+1} = \bar{\mathbf{w}}_k - (\bar{\mathbf{H}}_k + \lambda_k \mathbf{I}_{2^n N})^{-1} \bar{\mathbf{g}}_k,$$



unde  $\lambda_k$  este o constantă care se alege astfel încât matricea  $\overset{\mathcal{R}}{\mathbf{H}}_k + \lambda_k \mathbf{I}_{2^n N}$  să fie pozitiv definită.

Deoarece am dat în cadrul metodei gradient un algoritm de calculare a gradientului funcției de eroare a unei rețele neuronale cu valori Clifford, pentru a putea implementa metoda Newton, mai trebuie să găsim o modalitate de calcul a hessianei funcției de eroare. Din acest motiv, restul acestei secțiuni este dedicat deducerii complete a unei metode de calcul a hessianei funcției de eroare a unei rețele neuronale cu valori Clifford.

Chiar dacă este complicată din punct de vedere computațional, metoda Newton este cea mai exactă dintre metodele de optimizare de ordinul doi folosite pentru găsirea minimului funcției de eroare, motiv pentru care am decis s-o includem în studiul nostru despre algoritmi de învățare pentru rețelele neuronale cu valori Clifford. În plus, hessiana are și alte aplicații în domeniul rețelelor neuronale, cum ar fi spre exemplu diferiți algoritmi de antrenare a rețelelor, în reantrenarea rapidă a rețelei după o mică modificare în datele de antrenare [44], pentru identificarea celor mai puțin semnificative ponderi ca o bază pentru tehnici de simplificare a rețelelor [158], pentru îmbunătățirea vitezei algoritmilor de antrenare [36], pentru estimarea bayesiană a parametrilor de regularizare [168], pentru asignarea de probabilități diferitelor soluții ale rețelei, și multe altele. Prezentarea noastră urmărește în principal primul articol în care a fost calculată exact hessiana pentru rețelele neuronale cu valori reale, și anume [45], care a fost apoi reluat în cartea clasică [46].

#### 4.5.1 Calculul hessianei

Să considerăm o rețea neuronală cu valori complexe care are  $L$  straturi notate  $\{1, \dots, L\}$ , unde 1 este stratul de intrare,  $L$  este stratul de ieșire, iar restul sunt straturi ascunse. Pentru această rețea, avem următoarea funcție de eroare:

$$E(\mathbf{w}) = \frac{1}{2} \sum_{i=1}^c \|y_i^L - t_i\|^2,$$

unde  $\mathbf{w}$  reprezintă vectorul tuturor ponderilor și bias-urilor rețelei,  $\mathbf{y}^L = (y_i^L)_{1 \leq i \leq c}$  reprezintă ieșirile rețelei, și  $\mathbf{t} = (t_i)_{1 \leq i \leq c}$  reprezintă ieșirile dorite ale rețelei. Am notat cu  $E : (C_{p,q}^L)^N \rightarrow \mathbb{R}$  funcția de eroare care depinde de cele  $N$  ponderi și bias-uri ale rețelei.

Vrem să calculăm hessiana funcției de eroare  $E$ . Pentru hessiană, avem nevoie de componentele vectorului gradient. Dacă notăm cu  $w_{jk}^l$  ponderea dintre neuronul  $j$  din stratul  $l$  și neuronul  $k$  din stratul  $l-1$ , putem scrie componenta vectorului gradient al funcției de eroare  $E$  în raport cu ponderea  $w_{jk}^l$  ca fiind

$$\sum_{A \in \mathcal{I}} \frac{\partial E}{\partial [w_{jk}^l]_A} e_A = \delta_j^l \otimes_{p,q} (x_k^{l-1})^*, \forall l \in \{2, \dots, L\},$$

unde

$$\delta_j^l = \begin{cases} (\sum_r (w_{rj}^{l+1})^* \otimes_{p,q} \delta_r^{l+1}) \odot \frac{\partial G^l(s_j^l)}{\partial s_j^l}, & l \leq L-1 \\ (y_j^l - t_j) \odot \frac{\partial G^l(s_j^l)}{\partial s_j^l}, & l = L \end{cases}. \quad (4.5.1)$$

și am notat

$$s_j^l := \sum_k w_{jk}^l \otimes_{p,q} x_k^{l-1}, \quad (4.5.2)$$

$$y_j^l := G^l(s_j^l), \quad (4.5.3)$$

unde  $G^l : C\ell_{p,q} \rightarrow C\ell_{p,q}$  reprezintă funcția de activare a stratului  $l \in \{2, \dots, L\}$ ,  $\mathbf{x}^1 = (x_k^1)_{1 \leq k \leq d}$  sunt intrările rețelei și  $x_k^l = y_k^{l-1}$ ,  $\forall l \in \{2, \dots, L-1\}$ ,  $\forall k$ .

Elementele hessienei sunt derivate parțiale de ordinul doi ale funcției de eroare  $E$  în raport cu oricare două ponderi sau bias-uri arbitrare ale rețelei. Să notăm cu  $w_{mn}^{l_1}$  și  $w_{jk}^{l_2}$  doi astfel de parametri ai rețelei neuronale cu valori Clifford, și să presupunem de asemenea că  $2 \leq l_1 \leq l_2 \leq L$ . Avem de calculat  $2^{2n}$  derivate parțiale de forma

$$\frac{\partial^2 E}{\partial[w_{mn}^{l_1}]_A \partial[w_{jk}^{l_2}]_B}, \forall A, B \in \mathcal{I}.$$

Începem din nou cu regula înlănțuirii

$$\begin{aligned} \frac{\partial^2 E}{\partial[w_{mn}^{l_1}]_A \partial[w_{jk}^{l_2}]_B} &= \sum_{C \in \mathcal{I}} \frac{\partial[s_m^{l_1}]_C}{\partial[w_{mn}^{l_1}]_A} \frac{\partial^2 E}{\partial[s_m^{l_1}]_C \partial[w_{jk}^{l_2}]_B} \\ &= \sum_{\substack{C \in \mathcal{I} \\ \kappa_{A,D} e_A e_D = e_C}} \kappa_{A,D} [x_n^{l_1-1}]_D \frac{\partial^2 E}{\partial[s_m^{l_1}]_C \partial[w_{jk}^{l_2}]_B}. \end{aligned}$$

Acum, folosind (4.5.1), putem scrie că

$$\delta_j^{l_2} \otimes_{p,q} (x_k^{l_2-1})^* = \sum_{E, F \in \mathcal{I}} [\delta_j^{l_2}]_E [x_k^{l_2-1}]_F e_E e_F,$$

și deci

$$\begin{aligned} \frac{\partial^2 E}{\partial[s_m^{l_1}]_C \partial[w_{jk}^{l_2}]_B} &= \frac{\partial[\delta_j^{l_2} \otimes_{p,q} (x_k^{l_2-1})^*]_B}{\partial[s_m^{l_1}]_C} \\ &= \frac{\partial[\sum_{E, F \in \mathcal{I}} [\delta_j^{l_2}]_E [x_k^{l_2-1}]_F \kappa_{E, F} e_E e_F]_B}{\partial[s_m^{l_1}]_C} \\ &= \sum_{\substack{E, F \in \mathcal{I} \\ \kappa_{E, F} e_E e_F = e_B}} \frac{\partial[\delta_j^{l_2}]_E}{\partial[s_m^{l_1}]_C} [x_k^{l_2-1}]_F + [\delta_j^{l_2}]_E \frac{\partial[x_k^{l_2-1}]_F}{\partial[s_m^{l_1}]_C} \quad (4.5.4) \end{aligned}$$

și, din regula înlănțuirii, că

$$\begin{aligned} \frac{\partial[x_k^{l_2-1}]_F}{\partial[s_m^{l_1}]_C} &= \sum_{G \in \mathcal{I}} \frac{\partial[s_k^{l_2-1}]_G}{\partial[s_m^{l_1}]_C} \frac{\partial[x_k^{l_2-1}]_F}{\partial[s_k^{l_2-1}]_G} \\ &= \sum_{G \in \mathcal{I}} \frac{\partial[s_k^{l_2-1}]_G}{\partial[s_m^{l_1}]_C} \frac{\partial[G^{l_2-1}(s_k^{l_2-1})]_F}{\partial[s_k^{l_2-1}]_G} \\ &= \frac{\partial[s_k^{l_2-1}]_F}{\partial[s_m^{l_1}]_C} \frac{\partial[G^{l_2-1}(s_k^{l_2-1})]_F}{\partial[s_k^{l_2-1}]_F} \\ &= [h_{km}^{l_2-1, l_1}]_{FC} \frac{\partial[G^{l_2-1}(s_k^{l_2-1})]_F}{\partial[s_k^{l_2-1}]_F}, \end{aligned}$$

unde am notat  $[h_{km}^{l_2-1, l_1}]_{FC} := \frac{\partial [s_k^{l_2-1}]_F}{\partial [s_m^{l_1}]_C}$ . Dacă notăm în continuare  $[b_{jm}^{l_2, l_1}]_{EC} := \frac{\partial [\delta_j^{l_2}]_E}{\partial [s_m^{l_1}]_C}$ , ecuația (4.5.4) devine

$$\frac{\partial^2 E}{\partial [s_m^{l_1}]_C \partial [w_{jk}^{l_2}]_B} = \sum_{\substack{E, F \in \mathcal{I} \\ \kappa_{E, F} e_E e_F = e_B}} \left( [b_{jm}^{l_2, l_1}]_{EC} [x_k^{l_2-1}]_F + [h_{km}^{l_2-1, l_1}]_{FC} \frac{\partial [G^{l_2-1}(s_k^{l_2-1})]_F}{\partial [s_k^{l_2-1}]_F} [\delta_j^{l_2}]_E \right).$$

Acum trebuie să găsim o metodă de a calcula  $[h_{km}^{l_2-1, l_1}]_{FC}$  și  $[b_{jm}^{l_2, l_1}]_{EC}$ . Începem cu prima. Dacă  $l_2 = l_1$ , avem că  $h_{km}^{l_2-1, l_1} = 0$ , deoarece  $s_k^{l_2-1}$  nu depinde de  $s_m^{l_1}$ . Dacă  $l_2 - 1 = l_1$ ,  $h_{km}^{l_2-1, l_1} = \delta_{km}$ , deoarece  $s_k^{l_2-1}$  și  $s_m^{l_1}$  sunt acum pe același strat, și  $\delta_{km}$  este simbolul delta al lui Kronecker:  $\delta_{km} = \mathbf{I}_{2^n}$  dacă  $k = m$  și  $\delta_{km} = \mathbf{O}_{2^n}$  dacă  $k \neq m$ . Pentru  $l_2 \geq l_1 + 2$  (în care caz trebuie să avem  $L \geq 4$ ), putem să aplicăm din nou regula înlănțuirii

$$\begin{aligned} \frac{\partial [s_k^{l_2-1}]_F}{\partial [s_m^{l_1}]_C} &= \sum_r \left( \sum_{G \in \mathcal{I}} \frac{\partial [s_r^{l_2-2}]_G}{\partial [s_m^{l_1}]_C} \frac{\partial [s_k^{l_2-1}]_F}{\partial [s_r^{l_2-2}]_G} \right) \\ &= \sum_r \sum_{\substack{G \in \mathcal{I} \\ \kappa_{G, I} e_G e_I = e_F}} \left( [h_{rm}^{l_2-2, l_1}]_{GC} \kappa_{G, I} [w_{kr}^{l_2-1}]_I \frac{\partial [G^{l_2-2}(s_r^{l_2-2})]_G}{\partial [s_r^{l_2-2}]_G} \right), \end{aligned}$$

unde am folosit faptul că

$$\begin{aligned} \frac{\partial [s_k^{l_2-1}]_F}{\partial [s_r^{l_2-2}]_G} &= \sum_{H \in \mathcal{I}} \frac{\partial [s_k^{l_2-1}]_F}{\partial [y_r^{l_2-2}]_H} \frac{\partial [y_r^{l_2-2}]_H}{\partial [s_r^{l_2-2}]_G} \\ &= \kappa_{G, I} [w_{kr}^{l_2-1}]_I \frac{\partial [G^{l_2-2}(s_r^{l_2-2})]_G}{\partial [s_r^{l_2-2}]_G}, \kappa_{G, I} e_G e_I = e_F, \end{aligned}$$

iar suma se ia după toți neuronii  $r$  din stratul  $l_2 - 2$  care trimit conexiuni către neuronul  $k$  din stratul  $l_2 - 1$ .

În concluzie, am obținut următoarea relație de recurență pentru calculul lui  $[h_{km}^{l_2-1, l_1}]_{FC}$ :

$$[h_{km}^{l_2-1, l_1}]_{FC} = \sum_r \sum_{\substack{G \in \mathcal{I} \\ \kappa_{G, I} e_G e_I = e_F}} \left( [h_{rm}^{l_2-2, l_1}]_{GC} \kappa_{G, I} [w_{kr}^{l_2-1}]_I \frac{\partial [G^{l_2-2}(s_r^{l_2-2})]_G}{\partial [s_r^{l_2-2}]_G} \right), \quad (4.5.5)$$

Acum, să ne îndreptăm atenția către  $[b_{jm}^{l_2, l_1}]_{EC}$ . Tratăm mai întâi cazul în care  $l_2 \leq L - 1$ . Din formula pentru  $\delta_j^l$ , dată în ecuația (4.5.1), avem că

$$\left( \sum_r (w_{rj}^{l_2+1})^* \otimes_{p, q} \delta_r^{l_2+1} \right) \odot \frac{\partial G^{l_2}(s_j^{l_2})}{\partial s_j^{l_2}} = \sum_r \sum_{\substack{H, I \in \mathcal{I} \\ \kappa_{H, I} e_H e_I = e_J}} \kappa_{H, I} [w_{rj}^{l_2+1}]_H [\delta_r^{l_2+1}]_I \frac{\partial [G^{l_2}(s_j^{l_2})]_J}{\partial [s_j^{l_2}]_J} e_{HEI},$$

și deci

$$\begin{aligned}
\frac{\partial[\delta_j^{l_2}]_E}{\partial[s_m^{l_1}]_C} &= \frac{\left[ \sum_r \sum_{\substack{H,I \in \mathcal{I} \\ \kappa_{H,I} e_H e_I = e_J}} \kappa_{H,I} [w_{rj}^{l_2+1}]_H [\delta_r^{l_2+1}]_I \frac{\partial[G^{l_2}(s_j^{l_2})]_J}{\partial[s_j^{l_2}]_J} e_H e_I \right]_E}{\partial[s_m^{l_1}]_C} \\
&= \frac{\partial \left( \sum_r \sum_{\substack{H,I \in \mathcal{I} \\ \kappa_{H,I} e_H e_I = e_E}} \kappa_{H,I} [w_{rj}^{l_2+1}]_H [\delta_r^{l_2+1}]_I \frac{\partial[G^{l_2}(s_j^{l_2})]_E}{\partial[s_j^{l_2}]_E} \right)}{\partial[s_m^{l_1}]_C} \\
&= \sum_r \sum_{\substack{H,I \in \mathcal{I} \\ \kappa_{H,I} e_H e_I = e_E}} \left( \frac{\partial[w_{rj}^{l_2+1}]_H}{\partial[s_m^{l_1}]_C} [\delta_r^{l_2+1}]_I \frac{\partial[G^{l_2}(s_j^{l_2})]_E}{\partial[s_j^{l_2}]_E} \right. \\
&\quad \left. + [w_{rj}^{l_2+1}]_H \frac{\partial[\delta_r^{l_2+1}]_I}{\partial[s_m^{l_1}]_C} \frac{\partial[G^{l_2}(s_j^{l_2})]_E}{\partial[s_j^{l_2}]_E} + [w_{rj}^{l_2+1}]_H [\delta_r^{l_2+1}]_I \frac{\partial^2[G^{l_2}(s_j^{l_2})]_E}{\partial[s_m^{l_1}]_C \partial[s_j^{l_2}]_E} \right) \\
&= \sum_r \sum_{\substack{H,I \in \mathcal{I} \\ \kappa_{H,I} e_H e_I = e_E}} \left( [w_{rj}^{l_2+1}]_H [b_{rm}^{l_2+1, l_1}]_{IC} \frac{\partial[G^{l_2}(s_j^{l_2})]_E}{\partial[s_j^{l_2}]_E} \right. \\
&\quad \left. + [w_{rj}^{l_2+1}]_H [\delta_r^{l_2+1}]_I \frac{\partial^2[G^{l_2}(s_j^{l_2})]_E}{\partial[s_m^{l_1}]_C \partial[s_j^{l_2}]_E} \right), \tag{4.5.6}
\end{aligned}$$

unde suma se ia după toți neuronii  $r$  din stratul  $l_2 + 1$  către care neuronul  $j$  din stratul  $l_2$  trimite conexiuni, și  $\frac{\partial[w_{rj}^{l_2+1}]_H}{\partial[s_m^{l_1}]_C} = 0$ . Expresiile pentru derivatele parțiale ale funcțiilor de activare rezultă ușor din aplicarea regulii înălțuririi:

$$\begin{aligned}
\frac{\partial^2[G^{l_2}(s_j^{l_2})]_E}{\partial[s_m^{l_1}]_C \partial[s_j^{l_2}]_E} &= \sum_{H \in \mathcal{I}} \frac{\partial^2[G^{l_2}(s_j^{l_2})]_E}{\partial[s_j^{l_2}]_H \partial[s_j^{l_2}]_E} \frac{\partial[s_j^{l_2}]_H}{\partial[s_m^{l_1}]_C} \\
&= \frac{\partial^2[G^{l_2}(s_j^{l_2})]_E}{\partial[s_j^{l_2}]_E^2} [h_{jm}^{l_2, l_1}]_{EC}
\end{aligned}$$

În continuare, avem de tratat cazul în care  $l_2 = L$ . Atunci, din expresia (4.5.1), rezultă că

$$\begin{aligned}
\frac{\partial[\delta_j^{l_2}]_E}{\partial[s_m^{l_1}]_C} &= \frac{\partial \left[ (y_j^{l_2} - t_j) \odot \frac{\partial G^{l_2}(s_j^{l_2})}{\partial s_j^{l_2}} \right]_E}{\partial[s_m^{l_1}]_C} \\
&= \frac{\partial[y_j^{l_2} - t_j]_E}{\partial[s_m^{l_1}]_C} \frac{\partial[G^{l_2}(s_j^{l_2})]_E}{\partial[s_j^{l_2}]_E} + [y_j^{l_2} - t_j]_E \frac{\partial^2[G^{l_2}(s_j^{l_2})]_E}{\partial[s_m^{l_1}]_C \partial[s_j^{l_2}]_E} \\
&= \frac{\partial[G^{l_2}(s_j^{l_2})]_E}{\partial[s_m^{l_1}]_C} \frac{\partial[G^{l_2}(s_j^{l_2})]_E}{\partial[s_j^{l_2}]_E} + [y_j^{l_2} - t_j]_E \frac{\partial^2[G^{l_2}(s_j^{l_2})]_E}{\partial[s_m^{l_1}]_C \partial[s_j^{l_2}]_E} \tag{4.5.7}
\end{aligned}$$

Expresiile pentru calculul derivatelor parțiale de ordinul doi ale funcțiilor de activare sunt la fel ca cele de mai sus. Prin urmare, trebuie doar să mai dăm expresii pentru

calculul derivatelor parțiale ale funcțiilor de activare folosite în expresiile de mai sus. Acestea sunt deduse prin aplicarea regulii înlănțuirii:

$$\begin{aligned} \frac{\partial[G^{l_2}(s_j^{l_2})]_E}{\partial[s_m^{l_1}]_C} &= \sum_{H \in \mathcal{I}} \frac{\partial[G^{l_2}(s_j^{l_2})]_E}{\partial[s_j^{l_2}]_H} \frac{\partial[s_j^{l_2}]_H}{\partial[s_m^{l_1}]_C} \\ &= \frac{\partial[G^{l_2}(s_j^{l_2})]_E}{\partial[s_j^{l_2}]_E} [h_{jm}^{l_2, l_1}]_{EC}. \end{aligned}$$

Se poate observa că expresia pentru  $h_{km}^{l_2-1, l_1}$  este calculată prin propagare înainte, iar expresia pentru  $b_{jm}^{l_2, l_1}$  este calculată prin propagare înapoi. În fine, punând totul împreună, obținem următoarea formulă pentru o componentă arbitrară a matricii hessiene a funcției de eroare  $E$ :

$$\begin{aligned} \frac{\partial^2 E}{\partial[w_{mn}^{l_1}]_A \partial[w_{jk}^{l_2}]_B} &= \sum_{\substack{C, E, F \in \mathcal{I} \\ \kappa_{A, D} e_{A, E} e_{D, F} = e_C \\ \kappa_{E, F} e_{E, F} = e_B}} \left( \kappa_{A, D} [x_n^{l_1-1}]_D [b_{jm}^{l_2, l_1}]_{EC} [x_k^{l_2-1}]_F \right. \\ &\quad \left. + \kappa_{A, D} [x_n^{l_1-1}]_D [h_{km}^{l_2-1, l_1}]_{FC} \frac{\partial[G^{l_2-1}(s_k^{l_2-1})]_F}{\partial[s_k^{l_2-1}]_F} [\delta_j^{l_2}]_E \right). \end{aligned} \quad (4.5.8)$$

#### 4.5.2 Calculul hessienei pentru o rețea neuronală cu trei straturi

În această subsecțiune, vom considera cazul special al unei rețele cu un singur strat ascuns, pentru care  $L = 3$ . Vom nota prin  $i, i'$  neuronii din stratul de intrare, prin  $j, j'$  neuronii din stratul ascuns, și prin  $k, k'$  neuronii stratul de ieșire. Cu aceste convenții, ecuațiile (4.5.2) și (4.5.3) devin

$$s_j^2 := \sum_i w_{ji}^2 \otimes_{p,q} x_i^1,$$

$$x_j^2 := G^2(s_j^2),$$

$$s_k^3 := \sum_j w_{kj}^3 \otimes_{p,q} x_j^2,$$

$$x_k^3 := G^3(s_k^3).$$

Expresia (4.5.8) pentru derivata parțială de ordinul doi a funcției de eroare, în cazul  $l_1 = l_2 = 3$ , este

$$\frac{\partial^2 E}{\partial[w_{k'j'}^3]_A \partial[w_{kj}^3]_B} = \sum_{\substack{C, E, F \in \mathcal{I} \\ \kappa_{A, D} e_{A, E} e_{D, F} = e_C \\ \kappa_{E, F} e_{E, F} = e_B}} \kappa_{A, D} [x_{j'}^2]_D \frac{\partial[\delta_k^3]_E}{\partial[s_{k'}^3]_C} [x_j^2]_F,$$

deoarece  $h_{jk'}^{2,3} = 0$ . Acum, mai trebuie doar să calculăm  $\frac{\partial[\delta_k^3]_E}{\partial[s_{k'}^3]_C}$  folosind ecuația (4.5.7):

$$\begin{aligned}
\frac{\partial[\delta_k^3]_E}{\partial[s_{k'}^3]_C} &= \frac{\partial[G^3(s_k^3)]_E}{\partial[s_{k'}^3]_C} \frac{\partial[G^3(s_k^3)]_E}{\partial[s_k^3]_E} + [y_k^3 - t_k]_E \frac{\partial^2[G^3(s_k^3)]_E}{\partial[s_{k'}^3]_C \partial[s_k^3]_E} \\
&= \frac{\partial[G^3(s_k^3)]_E}{\partial[s_k^3]_E} [h_{kk'}^{3,3}]_{EC} \frac{\partial[G^3(s_k^3)]_E}{\partial[s_k^3]_E} + [y_k^3 - t_k]_E \frac{\partial^2[G^3(s_k^3)]_E}{\partial[s_k^3]_E^2} [h_{kk'}^{3,3}]_{EC} \\
&= [\delta_{k'k}]_{EC} \left[ \left( \frac{\partial[G^3(s_k^3)]_E}{\partial[s_k^3]_E} \right)^2 + [y_k^3 - t_k]_E \frac{\partial^2[G^3(s_k^3)]_E}{\partial[s_k^3]_E^2} \right],
\end{aligned}$$

unde am folosit expresia (4.5.1) pentru  $\delta_k^3$ , și  $\delta_{k'k}$  este simbolul delta al lui Kronecker definit mai sus. Expresia finală pentru derivata parțială de ordinul doi este

$$\begin{aligned}
\frac{\partial^2 E}{\partial[w_{k'j'}^3]_A \partial[w_{kj}^3]_B} &= \sum_{\substack{C,E,F \in \mathcal{I} \\ \kappa_{A,D} e_A e_D = e_C \\ \kappa_{E,F} e_E e_F = e_B}} \kappa_{A,D} [x_{j'}^2]_D [x_j^2]_F [\delta_{k'k}]_{EC} \left[ \left( \frac{\partial[G^3(s_k^3)]_E}{\partial[s_k^3]_E} \right)^2 \right. \\
&\quad \left. + [y_k^3 - t_k]_E \frac{\partial^2[G^3(s_k^3)]_E}{\partial[s_k^3]_E^2} \right].
\end{aligned}$$

Acum, considerăm cazul în care  $l_1 = l_2 = 2$ . Avem de asemenea  $h_{ij'}^{1,2} = g_{ij'}^{1,2} = 0$ , deci expresia (4.5.8) devine

$$\frac{\partial^2 E}{\partial[w_{j'v'}^2]_A \partial[w_{ji}^2]_B} = \sum_{\substack{C,E,F \in \mathcal{I} \\ \kappa_{A,D} e_A e_D = e_C \\ \kappa_{E,F} e_E e_F = e_B}} \kappa_{A,D} [x_{v'}^1]_D \frac{\partial[\delta_j^2]_E}{\partial[s_{j'}^2]_C} [x_i^1]_F.$$

Trebuie să calculăm  $\frac{\partial[\delta_j^2]_E}{\partial[s_{j'}^2]_C}$ , și pentru aceasta vom folosi formula (4.5.6):

$$\frac{\partial[\delta_j^2]_E}{\partial[s_{j'}^2]_C} = \sum_r \sum_{\substack{H,I \in \mathcal{I} \\ \kappa_{H,I} e_H e_I = e_E}} \left( [w_{rj'}^3]_H [b_{rj'}^{3,2}]_{IC} \frac{\partial[G^2(s_j^2)]_E}{\partial[s_j^2]_E} + [w_{rj}^3]_H [\delta_r^3]_I \frac{\partial^2[G^2(s_j^2)]_E}{\partial[s_{j'}^2]_C \partial[s_r^2]_E} \right).$$

Relația de mai sus arată că avem de asemenea nevoie de o expresie pentru  $[b_{rj'}^{3,2}]_{IC}$ . Folosind din nou ecuația (4.5.7), avem că

$$\frac{\partial[\delta_r^3]_I}{\partial[s_{j'}^2]_C} = \frac{\partial[G^3(s_r^3)]_I}{\partial[s_{j'}^2]_C} \frac{\partial[G^3(s_r^3)]_I}{\partial[s_r^3]_I} + [y_r^3 - t_r]_I \frac{\partial^2[G^3(s_r^3)]_I}{\partial[s_{j'}^2]_C \partial[s_r^3]_I},$$

unde avem următoarele expresii:

$$\frac{\partial[G^3(s_r^3)]_I}{\partial[s_{j'}^2]_C} = \frac{\partial[G^3(s_r^3)]_I}{\partial[s_r^3]_I} [h_{rj'}^{3,2}]_{IC}$$

și

$$\frac{\partial^2[G^3(s_r^3)]_I}{\partial[s_{j'}^2]_C \partial[s_r^3]_I} = \frac{\partial^2[G^3(s_r^3)]_I}{\partial[s_r^3]_I^2} [h_{rj'}^{3,2}]_{IC}.$$

În fine, expresia pentru  $[h_{rj'}^{3,2}]_{IC}$  poate fi dedusă folosind ecuația (4.5.5):

$$\begin{aligned} [h_{rj'}^{3,2}]_{IC} &= \sum_j \sum_{\substack{G \in \mathcal{I} \\ \kappa_{G,J} e_G e_J = e_I}} \left( [h_{jj'}^{2,2}]_{GC} \kappa_{G,J} [w_{rj}^2]_J \frac{\partial [G^2(s_j^2)]_G}{\partial [s_j^2]_G} \right) \\ &= \sum_j \sum_{\substack{G \in \mathcal{I} \\ \kappa_{G,J} e_G e_J = e_I}} \left( [\delta_{jj'}]_{GC} \kappa_{G,J} [w_{rj}^2]_J \frac{\partial [G^2(s_j^2)]_G}{\partial [s_j^2]_G} \right), \end{aligned}$$

unde am folosit faptul că  $h_{jj'}^{2,2} = \delta_{jj'}$ .

Ultimul caz este acela în care  $l_1 = 2$ ,  $l_2 = 3$ . În această situație, avem că  $h_{jj'}^{2,2} = \delta_{jj'}$ , deci expresia (4.5.8) devine

$$\begin{aligned} \frac{\partial^2 E}{\partial [w_{j'v}^2]_A \partial [w_{kj}^3]_B} &= \sum_{\substack{C, E, F \in \mathcal{I} \\ \kappa_{A,D} e_A e_D = e_C \\ \kappa_{E,F} e_E e_F = e_B}} \left( \kappa_{A,D} [x_{i'}^1]_D [b_{kj'}^{3,2}]_{EC} [x_j^1]_F \right. \\ &\quad \left. + \kappa_{A,D} [x_{i'}^1]_D [\delta_{jj'}]_{FC} \frac{\partial [G^2(s_j^2)]_F}{\partial [s_j^2]_F} [\delta_k^3]_E \right), \end{aligned}$$

în care expresia pentru  $[b_{kj'}^{3,2}]_{EC}$  a fost dedusă mai sus.

### 4.5.3 Produsul hessianei cu un vector

În unele aplicații, cantitatea de interes nu este matricea hessiană  $\mathbf{H}$  însăși, ci produsul ei cu un vector  $\mathbf{v}$ . Calculul hessianei este o operație de ordinul lui  $N^2$ , unde  $N$  este numărul de ponderi și bias-uri ale rețelei, pe când vectorul  $\mathbf{H}\mathbf{v}$  are  $N$  elemente, și calculul lui este de ordinul lui  $N$ . Din acest motiv, este preferabil să găsim o procedură de calcul direct a produsului  $\mathbf{H}\mathbf{v}$ , fără a trece prin pasul intermediar al calculului hessianei. Prezentarea urmărește pe cea din [209], fiind o adaptare a aceleași metode din cazul real în cazul Clifford.

Fiind dată o rețea neuronală cu funcția de eroare  $E$ , din dezvoltarea în serie Taylor de ordinul unu a gradientului  $\nabla E$  al funcției de eroare, avem că

$$\nabla E(\mathbf{w} + \Delta \mathbf{w}) = \nabla E(\mathbf{w}) + \mathbf{H}(\mathbf{w})\Delta \mathbf{w} + O(\|\Delta \mathbf{w}\|^2),$$

unde  $O(\|\Delta \mathbf{w}\|^2)$  desemnează termeni de ordinul doi care depind de  $\|\Delta \mathbf{w}\|$ , iar  $\mathbf{H}(\mathbf{w}) := \nabla^2 E(\mathbf{w})$  reprezintă hessiana funcției de eroare. Dacă scriem relația de mai sus pentru  $\Delta \mathbf{w} = r\mathbf{v}$ , unde  $r$  este un număr real mic, și  $\mathbf{v}$  este un vector, avem că

$$\mathbf{H}(\mathbf{w})(r\mathbf{v}) = r\mathbf{H}(\mathbf{w})\mathbf{v} = \nabla E(\mathbf{w} + \Delta \mathbf{w}) - \nabla E(\mathbf{w}) + O(r^2),$$

sau, echivalent, că

$$\mathbf{H}(\mathbf{w})\mathbf{v} = \frac{\nabla E(\mathbf{w} + \Delta \mathbf{w}) - \nabla E(\mathbf{w})}{r} + O(r).$$

Trecând la limită pentru  $r \rightarrow 0$ , avem că

$$\mathbf{H}(\mathbf{w})\mathbf{v} = \lim_{r \rightarrow 0} \frac{\nabla E(\mathbf{w} + \Delta \mathbf{w}) - \nabla E(\mathbf{w})}{r} = \left. \frac{\partial}{\partial r} \nabla E(\mathbf{w} + r\mathbf{v}) \right|_{r=0}.$$

Acum, pentru a calcula exact produsul  $\mathbf{H}(\mathbf{w})\mathbf{v}$ , vom folosi ceea ce poartă denumirea de tehnica  $\mathcal{R}$ . Aceasta este o transformare care convertește un algoritm care calculează gradientul unui sistem într-un algoritm care calculează pe  $\mathbf{H}(\mathbf{w})\mathbf{v}$ . Cheia acestei transformări este să definim operatorul

$$\mathcal{R}\{f(\mathbf{w})\} = \left. \frac{\partial}{\partial r} f(\mathbf{w} + r\mathbf{v}) \right|_{r=0},$$

astfel încât avem

$$\mathbf{H}(\mathbf{w})\mathbf{v} = \mathcal{R}\{\nabla E(\mathbf{w})\}.$$

Acum, putem să luăm toate ecuațiile unui algoritm care calculează gradientul, de exemplu metoda gradient, și să aplicăm operatorul  $\mathcal{R}$  pentru fiecare ecuație. Deoarece  $\mathcal{R}$  este un operator diferențial, el satisface regulile uzuale ale operatorilor diferențiali, cum ar fi, spre exemplu, următoarele:

$$\begin{aligned} \mathcal{R}\{cf(\mathbf{w})\} &= c\mathcal{R}\{f(\mathbf{w})\}. \\ \mathcal{R}\{f(\mathbf{w}) + g(\mathbf{w})\} &= \mathcal{R}\{f(\mathbf{w})\} + \mathcal{R}\{g(\mathbf{w})\}, \\ \mathcal{R}\{f(\mathbf{w})g(\mathbf{w})\} &= \mathcal{R}\{f(\mathbf{w})\}g(\mathbf{w}) + f(\mathbf{w})\mathcal{R}\{g(\mathbf{w})\}, \\ \mathcal{R}\{f(g(\mathbf{w}))\} &= f'(g(\mathbf{w}))\mathcal{R}\{g(\mathbf{w})\}, \\ \mathcal{R}\left\{\frac{df(\mathbf{w})}{dt}\right\} &= \frac{d\mathcal{R}\{f(\mathbf{w})\}}{dt}. \end{aligned}$$

Se mai poate observa ușor că avem

$$\mathcal{R}\{\mathbf{w}\} = \mathbf{v}.$$

Folosind această tehnică, metoda gradient poate fi transformată într-o metodă de calcul al lui  $\mathcal{R}\{\nabla E(\mathbf{w})\}$ , care este tocmai produsul matricii hessiene cu un vector,  $\mathbf{H}(\mathbf{w})\mathbf{v}$ , pe care dorim să-l calculăm.

Aplicăm acum operatorul  $\mathcal{R}$  pentru metoda gradient. Din

$$s_j^l = \sum_k w_{jk}^l \otimes_{p,q} x_k^{l-1},$$

avem

$$s_j^l = \sum_k w_{jk}^l \otimes_{p,q} x_k^{l-1} = \sum_{C,D \in \mathcal{I}} [w_{jk}^l]_C [x_k^{l-1}]_D e_C e_D,$$

și

$$[s_j^l]_B = \sum_k \sum_{\substack{C,D \in \mathcal{I} \\ \kappa_{C,D} e_C e_D = e_B}} \kappa_{C,D} [w_{jk}^l]_C [x_k^{l-1}]_D,$$

de unde

$$\begin{aligned} \mathcal{R}\{[s_j^l]_B\} &= \sum_k \sum_{\substack{C,D \in \mathcal{I} \\ \kappa_{C,D} e_C e_D = e_B}} (\kappa_{C,D} \mathcal{R}\{[w_{jk}^l]_C\} [x_k^{l-1}]_D + \kappa_{C,D} [w_{jk}^l]_C \mathcal{R}\{[x_k^{l-1}]_D\}) \\ &= \sum_k \sum_{\substack{C,D \in \mathcal{I} \\ \kappa_{C,D} e_C e_D = e_B}} (\kappa_{C,D} [v_{jk}^l]_C [x_k^{l-1}]_D + \kappa_{C,D} [w_{jk}^l]_C \mathcal{R}\{[x_k^{l-1}]_D\}). \end{aligned}$$



Din

$$y_j^l := G^l(s_j^l),$$

avem

$$[y_j^l]_B = [G^l(s_j^l)]_B,$$

și

$$\mathcal{R}\{[y_j^l]_B\} = \mathcal{R}\{[s_j^l]_B\} \frac{\partial[G^l(s_j^l)]_B}{\partial[s_j^l]_B},$$

deoarece  $\frac{\partial[G^l(s_j^l)]_B}{\partial[s_j^l]_C} = 0$ , pentru  $C \neq B$ . Acum, aplicând operatorul  $\mathcal{R}$  în relația

$$\frac{\partial E}{\partial[w_{jk}^L]_A} = \sum_{\substack{B \in \mathcal{I} \\ \kappa_{A,D} e_A e_D = e_B}} \frac{\partial E}{\partial[s_j^L]_B} \kappa_{A,D} [x_k^{L-1}]_D,$$

obținem

$$\mathcal{R}\left\{\frac{\partial E}{\partial[w_{jk}^L]_A}\right\} = \sum_{\substack{B \in \mathcal{I} \\ \kappa_{A,D} e_A e_D = e_B}} \left( \mathcal{R}\left\{\frac{\partial E}{\partial[s_j^L]_B}\right\} \kappa_{A,D} [x_k^{L-1}]_D + \frac{\partial E}{\partial[s_j^L]_B} \kappa_{A,D} \mathcal{R}\{[x_k^{L-1}]_D\} \right),$$

și în relația

$$\frac{\partial E}{\partial[s_j^L]_B} = ([y_j^L]_B - [t_j]_B) \frac{\partial[G^L(s_j^L)]_B}{\partial[s_j^L]_B},$$

obținem

$$\mathcal{R}\left\{\frac{\partial E}{\partial[s_j^L]_B}\right\} = \mathcal{R}\{[y_j^L]_B\} \frac{\partial[G^L(s_j^L)]_B}{\partial[s_j^L]_B} + ([y_j^L]_B - [t_j]_B) \frac{\partial^2[G^L(s_j^L)]_B}{\partial[s_j^L]_B^2},$$

unde am folosit că  $\frac{\partial^2[G^L(s_j^L)]_B}{\partial[s_j^L]_B \partial[s_j^L]_C} = 0$ , pentru  $C \neq B$ .

Trecând la un strat ascuns  $l$ , avem din relația

$$\frac{\partial E}{\partial[w_{jk}^l]_A} = \sum_{\substack{B \in \mathcal{I} \\ \kappa_{A,D} e_A e_D = e_B}} \frac{\partial E}{\partial[s_j^l]_B} \kappa_{A,D} [x_k^{l-1}]_D,$$

că

$$\mathcal{R}\left\{\frac{\partial E}{\partial[w_{jk}^l]_A}\right\} = \sum_{\substack{B \in \mathcal{I} \\ \kappa_{A,D} e_A e_D = e_B}} \left( \mathcal{R}\left\{\frac{\partial E}{\partial[s_j^l]_B}\right\} \kappa_{A,D} [x_k^{l-1}]_D + \frac{\partial E}{\partial[s_j^l]_B} \kappa_{A,D} \mathcal{R}\{[x_k^{l-1}]_D\} \right),$$

și apoi din relația

$$\frac{\partial E}{\partial[s_j^l]_B} = \sum_r \left( \sum_{\substack{C \in \mathcal{I} \\ \kappa_{E,B} e_E e_B = e_C}} \kappa_{E,B} [w_{rj}^{l+1}]_E \frac{\partial E}{\partial[s_r^{l+1}]_C} \right) \frac{\partial[G^l(s_j^l)]_B}{\partial[s_j^l]_B},$$

că

$$\begin{aligned} \mathcal{R} \left\{ \frac{\partial E}{\partial [s_j^l]_B} \right\} &= \sum_r \mathcal{R} \left\{ \sum_{\substack{C \in \mathcal{I} \\ \kappa_{E,B} \in e_B = e_C}} \kappa_{E,B}[w_{rj}^{l+1}]_E \frac{\partial E}{\partial [s_r^{l+1}]_C} \frac{\partial [G^l(s_j^l)]_B}{\partial [s_j^l]_B} \right\} \\ &= \sum_r \sum_{\substack{C \in \mathcal{I} \\ \kappa_{E,B} \in e_B = e_C}} \left( \mathcal{R} \left\{ \frac{\partial E}{\partial [s_r^{l+1}]_C} \right\} \kappa_{E,B}[w_{rj}^{l+1}]_E \frac{\partial [G^l(s_j^l)]_B}{\partial [s_j^l]_B} \right. \\ &\quad \left. + \frac{\partial E}{\partial [s_r^{l+1}]_C} \kappa_{E,B}[w_{rj}^{l+1}]_E \frac{\partial [G^l(s_j^l)]_B}{\partial [s_j^l]_B} + \frac{\partial E}{\partial [s_r^{l+1}]_C} \kappa_{E,B}[w_{rj}^{l+1}]_E \frac{\partial^2 [G^l(s_j^l)]_B}{\partial [s_j^l]_B^2} \right), \end{aligned}$$

unde din nou am folosit faptul că  $\frac{\partial^2 [G^l(s_j^l)]_B}{\partial [s_j^l]_B \partial [s_j^l]_C} = 0$ , pentru  $C \neq B$ .

#### 4.6 Metode quasi-Newton

După cum am evidențiat în secțiunea anterioară, principalul dezavantaj al metodei Newton este acela că hessiana și inversa ei sunt dificil de calculat. Din acest motiv, *metodele quasi-Newton* urmăresc înlocuirea hessianei funcției de eroare cu o aproximație a ei, care ar fi preferabil să fie pozitiv definită prin construcție, pentru a se evita problemele apărute în acest sens în cazul metodei Newton. Astfel, fie  $E : \mathbb{R}^{2^N} \rightarrow \mathbb{R}$  funcția de eroare a unei rețele neuronale Clifford. Metoda Newton ne dă următoarea regulă de actualizare pentru vectorul  $\bar{\mathbf{w}} \in \mathbb{R}^{2^N}$  al componentelor ponderilor și bias-urilor rețelei:

$$\bar{\mathbf{w}}_{k+1} = \bar{\mathbf{w}}_k - (\nabla^2 E(\bar{\mathbf{w}}_k))^{-1} \nabla E(\bar{\mathbf{w}}_k).$$

În metodele quasi-Newton se înlocuiește inversa hessianei  $(\nabla^2 E(\bar{\mathbf{w}}_k))^{-1}$  cu o matrice  $\bar{\mathbf{H}}_{k+1}$  care se poate calcula mai ușor. Din dezvoltarea în serie Taylor de ordinul unu a gradientului  $\nabla E$  al funcției de eroare, avem că

$$\nabla E(\bar{\mathbf{w}}_{k+1}) = \nabla E(\bar{\mathbf{w}}_k) + \nabla^2 E(\bar{\mathbf{w}}_k)(\bar{\mathbf{w}}_{k+1} - \bar{\mathbf{w}}_k).$$

Dacă aproximăm hessiana funcției de eroare  $\nabla^2 E(\bar{\mathbf{w}}_k)$  cu o matrice  $\bar{\mathbf{B}}_{k+1}$ , relația de mai sus devine

$$\nabla E(\bar{\mathbf{w}}_{k+1}) - \nabla E(\bar{\mathbf{w}}_k) = \bar{\mathbf{B}}_{k+1}(\bar{\mathbf{w}}_{k+1} - \bar{\mathbf{w}}_k). \quad (4.6.1)$$

Făcând notațiile  $\bar{\mathbf{g}}_k := \nabla E(\bar{\mathbf{w}}_k)$  și respectiv

$$\bar{\mathbf{p}}_k := \bar{\mathbf{w}}_{k+1} - \bar{\mathbf{w}}_k,$$

și

$$\bar{\mathbf{q}}_k := \bar{\mathbf{g}}_{k+1} - \bar{\mathbf{g}}_k,$$

ecuația (4.6.1) devine

$$\bar{\mathbf{q}}_k = \bar{\mathbf{B}}_{k+1} \bar{\mathbf{p}}_k, \quad (4.6.2)$$

relație care poartă denumirea de *ecuația secantei*. Aceasta poate fi scrisă echivalent și sub forma

$$\overset{\mathcal{R}}{\mathbf{p}}_k = \overset{\mathcal{R}}{\mathbf{H}}_{k+1} \overset{\mathcal{R}}{\mathbf{q}}_k, \quad (4.6.3)$$

unde evident avem că  $\overset{\mathcal{R}}{\mathbf{H}}_{k+1} = \overset{\mathcal{R}}{\mathbf{B}}_{k+1}^{-1}$ .

Cea mai simplă dintre metodele quasi-Newton este *metoda actualizării de rang unu*, în care se pornește de la o matrice inițială  $\overset{\mathcal{R}}{\mathbf{H}}_0$  simetrică și pozitiv definită, și se calculează iterativ matricea  $\overset{\mathcal{R}}{\mathbf{H}}_k$  folosind recurența

$$\overset{\mathcal{R}}{\mathbf{H}}_{k+1} = \overset{\mathcal{R}}{\mathbf{H}}_k + a_k \overset{\mathcal{R}}{\mathbf{r}}_k \overset{\mathcal{R}}{\mathbf{r}}_k^T, \quad (4.6.4)$$

unde  $a_k \in \mathbb{R}$  și vectorul  $\overset{\mathcal{R}}{\mathbf{r}}_k \in \mathbb{R}^{2^n N}$  sunt alese astfel încât să fie satisfăcută ecuația secantei (4.6.2) sau (4.6.3), și  $\mathbf{r}^T$  reprezintă transpusa lui  $\mathbf{r}$ . Combinând acum ecuația (4.6.3) cu (4.6.4), rezultă că

$$\overset{\mathcal{R}}{\mathbf{p}}_k = \overset{\mathcal{R}}{\mathbf{H}}_{k+1} \overset{\mathcal{R}}{\mathbf{q}}_k = (\overset{\mathcal{R}}{\mathbf{H}}_k + a_k \overset{\mathcal{R}}{\mathbf{r}}_k \overset{\mathcal{R}}{\mathbf{r}}_k^T) \overset{\mathcal{R}}{\mathbf{q}}_k = \overset{\mathcal{R}}{\mathbf{H}}_k \overset{\mathcal{R}}{\mathbf{q}}_k + a_k \overset{\mathcal{R}}{\mathbf{r}}_k \overset{\mathcal{R}}{\mathbf{r}}_k^T \overset{\mathcal{R}}{\mathbf{q}}_k.$$

De aici, rezultă că

$$(\overset{\mathcal{R}}{\mathbf{p}}_k - \overset{\mathcal{R}}{\mathbf{H}}_k \overset{\mathcal{R}}{\mathbf{q}}_k)(\overset{\mathcal{R}}{\mathbf{p}}_k - \overset{\mathcal{R}}{\mathbf{H}}_k \overset{\mathcal{R}}{\mathbf{q}}_k)^T = a_k^2 \overset{\mathcal{R}}{\mathbf{r}}_k (\overset{\mathcal{R}}{\mathbf{r}}_k^T \overset{\mathcal{R}}{\mathbf{q}}_k) \overset{\mathcal{R}}{\mathbf{r}}_k^T,$$

și respectiv

$$(\overset{\mathcal{R}}{\mathbf{p}}_k - \overset{\mathcal{R}}{\mathbf{H}}_k \overset{\mathcal{R}}{\mathbf{q}}_k)^T \overset{\mathcal{R}}{\mathbf{q}}_k = (a_k \overset{\mathcal{R}}{\mathbf{r}}_k \overset{\mathcal{R}}{\mathbf{r}}_k^T \overset{\mathcal{R}}{\mathbf{q}}_k)^T \overset{\mathcal{R}}{\mathbf{q}}_k = a_k (\overset{\mathcal{R}}{\mathbf{q}}_k^T \overset{\mathcal{R}}{\mathbf{r}}_k)^2,$$

pe care dacă le împărțim, obținem că

$$a_k \overset{\mathcal{R}}{\mathbf{r}}_k \overset{\mathcal{R}}{\mathbf{r}}_k^T = \frac{(\overset{\mathcal{R}}{\mathbf{p}}_k - \overset{\mathcal{R}}{\mathbf{H}}_k \overset{\mathcal{R}}{\mathbf{q}}_k)(\overset{\mathcal{R}}{\mathbf{p}}_k - \overset{\mathcal{R}}{\mathbf{H}}_k \overset{\mathcal{R}}{\mathbf{q}}_k)^T}{(\overset{\mathcal{R}}{\mathbf{p}}_k - \overset{\mathcal{R}}{\mathbf{H}}_k \overset{\mathcal{R}}{\mathbf{q}}_k)^T \overset{\mathcal{R}}{\mathbf{q}}_k},$$

și întorcându-ne în ecuația (4.6.4), obținem iterația pentru calculul aproximării inversei hessienei  $\overset{\mathcal{R}}{\mathbf{H}}_k$  sub forma

$$\overset{\mathcal{R}}{\mathbf{H}}_{k+1} = \overset{\mathcal{R}}{\mathbf{H}}_k + \frac{(\overset{\mathcal{R}}{\mathbf{p}}_k - \overset{\mathcal{R}}{\mathbf{H}}_k \overset{\mathcal{R}}{\mathbf{q}}_k)(\overset{\mathcal{R}}{\mathbf{p}}_k - \overset{\mathcal{R}}{\mathbf{H}}_k \overset{\mathcal{R}}{\mathbf{q}}_k)^T}{(\overset{\mathcal{R}}{\mathbf{p}}_k - \overset{\mathcal{R}}{\mathbf{H}}_k \overset{\mathcal{R}}{\mathbf{q}}_k)^T \overset{\mathcal{R}}{\mathbf{q}}_k}, \quad (4.6.5)$$

care este cunoscută sub denumirea de *metoda actualizării de rang unu*. Din faptul că matricea inițială  $\overset{\mathcal{R}}{\mathbf{H}}_0$  este simetrică și pozitiv definită, rezultă imediat că toate matricile  $\overset{\mathcal{R}}{\mathbf{H}}_k$  au această proprietate.

Dacă dorim să facem direct aproximarea hessienei  $\overset{\mathcal{R}}{\mathbf{B}}_k$ , pornim la fel cu o matrice inițială simetrică și pozitiv definită  $\overset{\mathcal{R}}{\mathbf{B}}_0$ . Apoi, folosind formula Sherman-Morrison, care spune că dacă  $\mathbf{A}$  este o matrice pătratică inversabilă de ordin  $2^n N$  cu elemente reale, și  $\mathbf{u}, \mathbf{v} \in \mathbb{R}^{2^n N}$  astfel încât  $1 + \mathbf{v}^T \mathbf{A}^{-1} \mathbf{u} \neq 0$ , atunci are loc

$$(\mathbf{A} + \mathbf{u}\mathbf{v}^T)^{-1} = \mathbf{A}^{-1} - \frac{\mathbf{A}^{-1} \mathbf{u}\mathbf{v}^T \mathbf{A}^{-1}}{1 + \mathbf{v}^T \mathbf{A}^{-1} \mathbf{u}}, \quad (4.6.6)$$

și ecuația (4.6.5), obținem actualizarea pentru  $\overset{\mathcal{R}}{\mathbf{B}}_k$  sub forma

$$\overset{\mathcal{R}}{\mathbf{B}}_{k+1} = \overset{\mathcal{R}}{\mathbf{B}}_k + \frac{(\overset{\mathcal{R}}{\mathbf{q}}_k - \overset{\mathcal{R}}{\mathbf{B}}_k \overset{\mathcal{R}}{\mathbf{p}}_k)(\overset{\mathcal{R}}{\mathbf{q}}_k - \overset{\mathcal{R}}{\mathbf{B}}_k \overset{\mathcal{R}}{\mathbf{p}}_k)^T}{(\overset{\mathcal{R}}{\mathbf{q}}_k - \overset{\mathcal{R}}{\mathbf{B}}_k \overset{\mathcal{R}}{\mathbf{p}}_k)^T \overset{\mathcal{R}}{\mathbf{p}}_k}.$$

În continuare, pentru a prezenta metodele quasi-Newton cu actualizări de rang doi, folosim ideile din [76]. Pornim de la ecuația secantei scrisă sub forma (4.6.3):

$$\overset{\mathcal{R}}{\mathbf{p}}_k = \overset{\mathcal{R}}{\mathbf{H}}_{k+1} \overset{\mathcal{R}}{\mathbf{q}}_k.$$

Vom defini iterația pentru calculul lui  $\overset{\mathcal{R}}{\mathbf{H}}_{k+1}$  sub forma

$$\overset{\mathcal{R}}{\mathbf{H}}_{k+1} = \arg \min_{\substack{\overset{\mathcal{R}}{\mathbf{H}} = \overset{\mathcal{R}}{\mathbf{H}}^T \\ \overset{\mathcal{R}}{\mathbf{p}}_k = \overset{\mathcal{R}}{\mathbf{H}} \overset{\mathcal{R}}{\mathbf{q}}_k}} \|\overset{\mathcal{R}}{\mathbf{H}} - \overset{\mathcal{R}}{\mathbf{H}}_k\|, \quad (4.6.7)$$

unde  $\|\overset{\mathcal{R}}{\mathbf{H}}\|$  este norma Frobenius a matricii  $\overset{\mathcal{R}}{\mathbf{H}}$ , definită prin  $\|\overset{\mathcal{R}}{\mathbf{H}}\| := \sqrt{\text{Tr}(\overset{\mathcal{R}}{\mathbf{H}} \overset{\mathcal{R}}{\mathbf{H}}^T)}$ ,  $\text{Tr}(\overset{\mathcal{R}}{\mathbf{H}})$  fiind urma matricii  $\overset{\mathcal{R}}{\mathbf{H}}$ . Relația (4.6.7) ne spune că vrem să găsim acea matrice simetrică  $\overset{\mathcal{R}}{\mathbf{H}}_{k+1}$  care este cea mai apropiată în sensul normei Frobenius de matricea  $\overset{\mathcal{R}}{\mathbf{H}}_k$  și care satisface ecuația secantei (4.6.3). Se poate demonstra ușor că soluția pentru (4.6.7) este dată de

$$\overset{\mathcal{R}}{\mathbf{H}}_{k+1} = \overset{\mathcal{R}}{\mathbf{H}}_k + \frac{(\overset{\mathcal{R}}{\mathbf{p}}_k - \overset{\mathcal{R}}{\mathbf{H}}_k \overset{\mathcal{R}}{\mathbf{q}}_k) \overset{\mathcal{R}}{\mathbf{q}}_k^T}{\overset{\mathcal{R}}{\mathbf{q}}_k^T \overset{\mathcal{R}}{\mathbf{q}}_k}.$$

Luând descompunerea Cholesky a matricii  $\overset{\mathcal{R}}{\mathbf{H}}_{k+1}$  sub forma

$$\overset{\mathcal{R}}{\mathbf{H}}_{k+1} = \overset{\mathcal{R}}{\mathbf{L}}_{k+1} \overset{\mathcal{R}}{\mathbf{L}}_{k+1}^T,$$

se poate demonstra că  $\overset{\mathcal{R}}{\mathbf{H}}_{k+1}$  este simetrică și pozitiv definită dacă și numai dacă există  $\overset{\mathcal{R}}{\mathbf{v}}_k \in \mathbb{R}^{2^n N}$  astfel încât  $\overset{\mathcal{R}}{\mathbf{L}}_{k+1} \overset{\mathcal{R}}{\mathbf{v}}_k = \overset{\mathcal{R}}{\mathbf{p}}_k$  și  $\overset{\mathcal{R}}{\mathbf{v}}_k = \overset{\mathcal{R}}{\mathbf{L}}_{k+1}^T \overset{\mathcal{R}}{\mathbf{q}}_k$ . Dacă vom lua pe  $\overset{\mathcal{R}}{\mathbf{L}}_{k+1}$  astfel încât

$$\overset{\mathcal{R}}{\mathbf{L}}_{k+1} = \arg \min_{\substack{\overset{\mathcal{R}}{\mathbf{L}} = \overset{\mathcal{R}}{\mathbf{L}}^T \\ \overset{\mathcal{R}}{\mathbf{p}}_k = \overset{\mathcal{R}}{\mathbf{L}} \overset{\mathcal{R}}{\mathbf{v}}_k}} \|\overset{\mathcal{R}}{\mathbf{L}} - \overset{\mathcal{R}}{\mathbf{L}}_k\|,$$

rezultă ca mai sus că

$$\overset{\mathcal{R}}{\mathbf{L}}_{k+1} = \overset{\mathcal{R}}{\mathbf{L}}_k + \frac{(\overset{\mathcal{R}}{\mathbf{p}}_k - \overset{\mathcal{R}}{\mathbf{L}}_k \overset{\mathcal{R}}{\mathbf{v}}_k) \overset{\mathcal{R}}{\mathbf{v}}_k^T}{\overset{\mathcal{R}}{\mathbf{v}}_k^T \overset{\mathcal{R}}{\mathbf{v}}_k}. \quad (4.6.8)$$

Avem în continuare că

$$\overset{\mathcal{R}}{\mathbf{v}}_k = \overset{\mathcal{R}}{\mathbf{L}}_{k+1}^T \overset{\mathcal{R}}{\mathbf{q}}_k = \overset{\mathcal{R}}{\mathbf{L}}_k^T \overset{\mathcal{R}}{\mathbf{q}}_k + \frac{\overset{\mathcal{R}}{\mathbf{p}}_k \overset{\mathcal{R}}{\mathbf{q}}_k - \overset{\mathcal{R}}{\mathbf{v}}_k \overset{\mathcal{R}}{\mathbf{L}}_k \overset{\mathcal{R}}{\mathbf{q}}_k}{\overset{\mathcal{R}}{\mathbf{v}}_k^T \overset{\mathcal{R}}{\mathbf{v}}_k} \overset{\mathcal{R}}{\mathbf{v}}_k,$$

de unde rezultă că există  $\alpha_k \in \mathbb{R}$  astfel încât să avem  $\mathbf{v}_k^{\mathcal{R}} = \alpha_k \mathbf{L}_k^{\mathcal{R}T} \mathbf{q}_k^{\mathcal{R}}$ . Obținem mai departe că

$$\alpha_k = 1 + \frac{\alpha_k \mathbf{p}_k^{\mathcal{R}T} \mathbf{q}_k^{\mathcal{R}} - \alpha_k^2 \mathbf{q}_k^{\mathcal{R}T} \mathbf{H}_k^{\mathcal{R}} \mathbf{q}_k^{\mathcal{R}}}{\alpha_k^2 \mathbf{q}_k^{\mathcal{R}T} \mathbf{H}_k^{\mathcal{R}} \mathbf{q}_k^{\mathcal{R}}},$$

și apoi

$$\alpha_k^2 = \frac{\mathbf{p}_k^{\mathcal{R}T} \mathbf{q}_k^{\mathcal{R}}}{\mathbf{q}_k^{\mathcal{R}T} \mathbf{H}_k^{\mathcal{R}} \mathbf{q}_k^{\mathcal{R}}},$$

iar dacă revenim în (4.6.8), rezultă că

$$\mathbf{L}_{k+1}^{\mathcal{R}} = \mathbf{L}_k^{\mathcal{R}} \left( \mathbf{I}_{2^n N} \pm \sqrt{\frac{\mathbf{p}_k^{\mathcal{R}T} \mathbf{q}_k^{\mathcal{R}} \mathbf{p}_k^{\mathcal{R}T} \mathbf{q}_k^{\mathcal{R}}}{\mathbf{q}_k^{\mathcal{R}T} \mathbf{H}_k^{\mathcal{R}} \mathbf{q}_k^{\mathcal{R}} \mathbf{p}_k^{\mathcal{R}T} \mathbf{q}_k^{\mathcal{R}}} - \frac{\mathbf{H}_k^{\mathcal{R}} \mathbf{q}_k^{\mathcal{R}} \mathbf{q}_k^{\mathcal{R}T}}{\mathbf{q}_k^{\mathcal{R}T} \mathbf{H}_k^{\mathcal{R}} \mathbf{q}_k^{\mathcal{R}}}} \right).$$

ținând seama că  $\mathbf{H}_{k+1}^{\mathcal{R}} = \mathbf{L}_{k+1}^{\mathcal{R}} \mathbf{L}_{k+1}^{\mathcal{R}T}$ , obținem în final actualizarea pentru calculul matricii  $\mathbf{H}_k^{\mathcal{R}}$ :

$$\mathbf{H}_{k+1}^{\mathcal{R}} = \mathbf{H}_k^{\mathcal{R}} + \frac{\mathbf{p}_k^{\mathcal{R}} \mathbf{p}_k^{\mathcal{R}T}}{\mathbf{p}_k^{\mathcal{R}T} \mathbf{q}_k^{\mathcal{R}}} - \frac{\mathbf{H}_k^{\mathcal{R}} \mathbf{q}_k^{\mathcal{R}} \mathbf{q}_k^{\mathcal{R}T} \mathbf{H}_k^{\mathcal{R}}}{\mathbf{q}_k^{\mathcal{R}T} \mathbf{H}_k^{\mathcal{R}} \mathbf{q}_k^{\mathcal{R}}}.$$

Aceasta este cunoscută sub denumirea de *metoda Davidon-Fletcher-Powell (DFP)*, a se vedea [85]. Folosind formula Sherman-Morrison dată în (4.6.6), obținem actualizarea pentru aproximarea  $\mathbf{B}_k^{\mathcal{R}}$  a hessianei ca fiind

$$\mathbf{B}_{k+1}^{\mathcal{R}} = \left( \mathbf{I}_{2^n N} - \frac{\mathbf{q}_k^{\mathcal{R}} \mathbf{p}_k^{\mathcal{R}T}}{\mathbf{p}_k^{\mathcal{R}T} \mathbf{q}_k^{\mathcal{R}}} \right) \mathbf{B}_k^{\mathcal{R}} \left( \mathbf{I}_{2^n N} - \frac{\mathbf{p}_k^{\mathcal{R}} \mathbf{q}_k^{\mathcal{R}T}}{\mathbf{p}_k^{\mathcal{R}T} \mathbf{q}_k^{\mathcal{R}}} \right) + \frac{\mathbf{q}_k^{\mathcal{R}} \mathbf{q}_k^{\mathcal{R}T}}{\mathbf{p}_k^{\mathcal{R}T} \mathbf{q}_k^{\mathcal{R}}}.$$

Acum, pornind cu ecuația secantei sub forma (4.6.2)

$$\mathbf{B}_{k+1}^{\mathcal{R}} \mathbf{p}_k^{\mathcal{R}} = \mathbf{q}_k^{\mathcal{R}},$$

și definind iterația pentru calculul lui  $\mathbf{B}_{k+1}^{\mathcal{R}}$  sub forma

$$\mathbf{B}_{k+1}^{\mathcal{R}} = \arg \min_{\substack{\mathbf{B} = \mathbf{B} \\ \mathbf{q}_k^{\mathcal{R}} = \mathbf{B} \mathbf{p}_k^{\mathcal{R}}}} \|\mathbf{B} - \mathbf{B}_k^{\mathcal{R}}\|,$$

obținem, analog ca mai sus, că

$$\mathbf{B}_{k+1}^{\mathcal{R}} = \mathbf{B}_k^{\mathcal{R}} + \frac{(\mathbf{q}_k^{\mathcal{R}} - \mathbf{B}_k^{\mathcal{R}} \mathbf{p}_k^{\mathcal{R}}) \mathbf{p}_k^{\mathcal{R}T}}{\mathbf{p}_k^{\mathcal{R}T} \mathbf{p}_k^{\mathcal{R}}},$$

unde am folosit aceeași normă Frobenius pentru matrici.

Folosind același raționament ca în cazul metodei DFP, avem în final următoarea actualizare pentru  $\mathbf{B}_k^{\mathcal{R}}$ :

$$\mathcal{B}_{k+1} = \mathcal{B}_k + \frac{\mathcal{q}_k \mathcal{q}_k^T}{\mathcal{q}_k^T \mathcal{p}_k} - \frac{\mathcal{B}_k \mathcal{p}_k \mathcal{p}_k^T \mathcal{B}_k}{\mathcal{p}_k^T \mathcal{B}_k \mathcal{p}_k}.$$

Aceasta poartă denumirea de *metoda Broyden-Fletcher-Goldfarb-Shanno (BFGS)*, a se vedea [238]. Folosind din nou formula Sherman-Morrison (4.6.6), obținem acum actualizarea pentru aproximarea  $\mathcal{H}_k$  a inversei hessianei ca fiind

$$\mathcal{H}_{k+1} = \left( \mathbf{I}_{2^n N} - \frac{\mathcal{p}_k \mathcal{q}_k^T}{\mathcal{q}_k^T \mathcal{p}_k} \right) \mathcal{H}_k \left( \mathbf{I}_{2^n N} - \frac{\mathcal{q}_k \mathcal{p}_k^T}{\mathcal{q}_k^T \mathcal{p}_k} \right) + \frac{\mathcal{p}_k \mathcal{p}_k^T}{\mathcal{q}_k^T \mathcal{p}_k}.$$

O metodă simplificatoare care presupune că  $\mathcal{H}_k = \mathbf{I}_{2^n N}$ , calculează următoarea direcție de căutare după formula

$$\mathcal{d}_{k+1} = -\mathcal{H}_{k+1} \mathcal{g}_{k+1},$$

unde, dacă facem înlocuirea

$$\begin{aligned} \mathcal{H}_{k+1} &= \left( \mathbf{I}_{2^n N} - \frac{\mathcal{p}_k \mathcal{q}_k^T}{\mathcal{q}_k^T \mathcal{p}_k} \right) \left( \mathbf{I}_{2^n N} - \frac{\mathcal{q}_k \mathcal{p}_k^T}{\mathcal{q}_k^T \mathcal{p}_k} \right) + \frac{\mathcal{p}_k \mathcal{p}_k^T}{\mathcal{q}_k^T \mathcal{p}_k} \\ &= \mathbf{I}_{2^n N} - \frac{\mathcal{p}_k \mathcal{q}_k^T}{\mathcal{q}_k^T \mathcal{p}_k} - \frac{\mathcal{q}_k \mathcal{p}_k^T}{\mathcal{q}_k^T \mathcal{p}_k} + \frac{\mathcal{p}_k \mathcal{q}_k^T \mathcal{q}_k \mathcal{p}_k^T}{\left( \mathcal{q}_k^T \mathcal{p}_k \right)^2} + \frac{\mathcal{p}_k \mathcal{p}_k^T}{\mathcal{q}_k^T \mathcal{p}_k} \\ &= \mathbf{I}_{2^n N} - \frac{\mathcal{p}_k \mathcal{q}_k^T}{\mathcal{q}_k^T \mathcal{p}_k} - \frac{\mathcal{q}_k \mathcal{p}_k^T}{\mathcal{q}_k^T \mathcal{p}_k} + \frac{\mathcal{p}_k \mathcal{p}_k^T}{\mathcal{q}_k^T \mathcal{p}_k} \left( 1 + \frac{\mathcal{q}_k \mathcal{q}_k^T}{\mathcal{q}_k^T \mathcal{p}_k} \right), \end{aligned}$$

avem

$$\begin{aligned} \mathcal{d}_{k+1} &= -\mathcal{g}_{k+1} + \mathcal{p}_k \frac{\mathcal{q}_k^T \mathcal{g}_{k+1}}{\mathcal{q}_k^T \mathcal{p}_k} + \mathcal{q}_k \frac{\mathcal{p}_k^T \mathcal{g}_{k+1}}{\mathcal{q}_k^T \mathcal{p}_k} - \mathcal{p}_k \frac{\mathcal{p}_k^T \mathcal{g}_{k+1}}{\mathcal{q}_k^T \mathcal{p}_k} \left( 1 + \frac{\mathcal{q}_k \mathcal{q}_k^T}{\mathcal{q}_k^T \mathcal{p}_k} \right) \\ &= -\mathcal{g}_{k+1} + \mathcal{p}_k \left( \frac{\mathcal{q}_k^T \mathcal{g}_{k+1}}{\mathcal{q}_k^T \mathcal{p}_k} - \frac{\mathcal{p}_k^T \mathcal{g}_{k+1}}{\mathcal{q}_k^T \mathcal{p}_k} \left( 1 + \frac{\mathcal{q}_k \mathcal{q}_k^T}{\mathcal{q}_k^T \mathcal{p}_k} \right) \right) + \mathcal{q}_k \frac{\mathcal{p}_k^T \mathcal{g}_{k+1}}{\mathcal{q}_k^T \mathcal{p}_k}, \end{aligned}$$

sau, scriind compact avem că

$$\mathcal{d}_{k+1} = -\mathcal{g}_{k+1} + A_k \mathcal{p}_k + B_k \mathcal{q}_k,$$

unde

$$\begin{aligned} A_k &= - \left( 1 + \frac{\mathcal{q}_k \mathcal{q}_k^T}{\mathcal{q}_k^T \mathcal{p}_k} \right) \frac{\mathcal{p}_k^T \mathcal{g}_{k+1}}{\mathcal{q}_k^T \mathcal{p}_k} + \frac{\mathcal{q}_k^T \mathcal{g}_{k+1}}{\mathcal{q}_k^T \mathcal{p}_k}, \\ B_k &= \frac{\mathcal{p}_k^T \mathcal{g}_{k+1}}{\mathcal{q}_k^T \mathcal{p}_k}. \end{aligned}$$

Metoda descrisă poartă numele de *one step secant* (a se vedea [23]), și este o metodă aflată între metoda gradientilor conjugați și metodele quasi-Newton, mai exact metoda BFGS din care a fost derivată.

## 4.7 Metoda Levenberg-Marquardt

Metoda Levenberg-Marquardt a fost pentru prima dată aplicată rețelelor neuronale în [102]. Prezentarea noastră urmărește îndeosebi pe cea din [277]. Pornim de la expresia funcției de eroare scrisă sub forma

$$E = \frac{1}{2} \sum_{m=1}^M \sum_{j=1}^c \|e_j^m\|^2 = \frac{1}{2} \sum_{m=1}^M \sum_{j=1}^c \sum_{I \in \mathcal{I}} [e_j^m]_I^2,$$

unde  $e_j^m := y_j^{L,m} - t_j^m$  reprezintă eroarea pentru fiecare dintre cele  $m$  tipare de antrenare. Notăm cu  $\mathbf{w}$  vectorul tuturor celor  $N$  ponderi și bias-uri ale rețelei, însă acum vom nota fiecare pondere cu  $w_i$ . Ca mai sus, vom nota  $\overset{\mathcal{R}}{\mathbf{w}} = (([\mathbf{w}]_I^T)_{I \in \mathcal{I}})^T$ . Putem forma acum matricea Jacobiană de dimensiune  $2^n c M \times 2^n N$ , ale cărei componente sunt derivatele parțiale ale fiecărei erori de forma  $e_j^m$  în raport cu ponderile  $w_i$ ,  $1 \leq i \leq N$ :

$$\overset{\mathcal{R}}{\mathbf{J}} = \begin{pmatrix} \frac{\partial [e_1^1]_0}{\partial [w_1]_0} & \cdots & \frac{\partial [e_1^1]_0}{\partial [w_1]_{2^n-1}} & \cdots & \frac{\partial [e_1^1]_0}{\partial [w_N]_0} & \cdots & \frac{\partial [e_1^1]_0}{\partial [w_N]_{2^n-1}} \\ \vdots & \ddots & \vdots & \ddots & \vdots & \ddots & \vdots \\ \frac{\partial [e_1^M]_0}{\partial [w_1]_0} & \cdots & \frac{\partial [e_1^M]_0}{\partial [w_1]_{2^n-1}} & \cdots & \frac{\partial [e_1^M]_0}{\partial [w_N]_0} & \cdots & \frac{\partial [e_1^M]_0}{\partial [w_N]_{2^n-1}} \\ \vdots & \ddots & \vdots & \ddots & \vdots & \ddots & \vdots \\ \frac{\partial [e_c^1]_0}{\partial [w_1]_0} & \cdots & \frac{\partial [e_c^1]_0}{\partial [w_1]_{2^n-1}} & \cdots & \frac{\partial [e_c^1]_0}{\partial [w_N]_0} & \cdots & \frac{\partial [e_c^1]_0}{\partial [w_N]_{2^n-1}} \\ \vdots & \ddots & \vdots & \ddots & \vdots & \ddots & \vdots \\ \frac{\partial [e_c^M]_0}{\partial [w_1]_0} & \cdots & \frac{\partial [e_c^M]_0}{\partial [w_1]_{2^n-1}} & \cdots & \frac{\partial [e_c^M]_0}{\partial [w_N]_0} & \cdots & \frac{\partial [e_c^M]_0}{\partial [w_N]_{2^n-1}} \\ \vdots & \ddots & \vdots & \ddots & \vdots & \ddots & \vdots \\ \frac{\partial [e_1^1]_{2^n-1}}{\partial [w_1]_0} & \cdots & \frac{\partial [e_1^1]_{2^n-1}}{\partial [w_1]_{2^n-1}} & \cdots & \frac{\partial [e_1^1]_{2^n-1}}{\partial [w_N]_0} & \cdots & \frac{\partial [e_1^1]_{2^n-1}}{\partial [w_N]_{2^n-1}} \\ \vdots & \ddots & \vdots & \ddots & \vdots & \ddots & \vdots \\ \frac{\partial [e_1^M]_{2^n-1}}{\partial [w_1]_0} & \cdots & \frac{\partial [e_1^M]_{2^n-1}}{\partial [w_1]_{2^n-1}} & \cdots & \frac{\partial [e_1^M]_{2^n-1}}{\partial [w_N]_0} & \cdots & \frac{\partial [e_1^M]_{2^n-1}}{\partial [w_N]_{2^n-1}} \\ \vdots & \ddots & \vdots & \ddots & \vdots & \ddots & \vdots \\ \frac{\partial [e_c^1]_{2^n-1}}{\partial [w_1]_0} & \cdots & \frac{\partial [e_c^1]_{2^n-1}}{\partial [w_1]_{2^n-1}} & \cdots & \frac{\partial [e_c^1]_{2^n-1}}{\partial [w_N]_0} & \cdots & \frac{\partial [e_c^1]_{2^n-1}}{\partial [w_N]_{2^n-1}} \\ \vdots & \ddots & \vdots & \ddots & \vdots & \ddots & \vdots \\ \frac{\partial [e_c^M]_{2^n-1}}{\partial [w_1]_0} & \cdots & \frac{\partial [e_c^M]_{2^n-1}}{\partial [w_1]_{2^n-1}} & \cdots & \frac{\partial [e_c^M]_{2^n-1}}{\partial [w_N]_0} & \cdots & \frac{\partial [e_c^M]_{2^n-1}}{\partial [w_N]_{2^n-1}} \end{pmatrix}.$$

Acum, hessiana funcției de eroare este matricea de dimensiune  $2^n N \times 2^n N$ , ale cărei componente sunt derivatele parțiale de ordinul doi ale funcției de eroare  $E$  în raport

cu ponderile  $w_i$ ,  $1 \leq i \leq N$ :

$$\overset{\mathcal{R}}{\mathbf{H}} = \begin{pmatrix} \frac{\partial^2 E}{\partial[w_1]_0 \partial[w_1]_0} & \cdots & \frac{\partial^2 E}{\partial[w_1]_0 \partial[w_1]_{2^n-1}} & \cdots & \frac{\partial^2 E}{\partial[w_1]_0 \partial[w_N]_0} & \cdots & \frac{\partial^2 E}{\partial[w_1]_0 \partial[w_N]_{2^n-1}} \\ \vdots & \ddots & \vdots & \ddots & \vdots & \ddots & \vdots \\ \frac{\partial^2 E}{\partial[w_1]_{2^n-1} \partial[w_1]_0} & \cdots & \frac{\partial^2 E}{\partial[w_1]_{2^n-1} \partial[w_1]_{2^n-1}} & \cdots & \frac{\partial^2 E}{\partial[w_1]_{2^n-1} \partial[w_N]_0} & \cdots & \frac{\partial^2 E}{\partial[w_1]_{2^n-1} \partial[w_N]_{2^n-1}} \\ \frac{\partial^2 E}{\partial[w_2]_0 \partial[w_1]_0} & \cdots & \frac{\partial^2 E}{\partial[w_2]_0 \partial[w_1]_{2^n-1}} & \cdots & \frac{\partial^2 E}{\partial[w_2]_0 \partial[w_N]_0} & \cdots & \frac{\partial^2 E}{\partial[w_2]_0 \partial[w_N]_{2^n-1}} \\ \vdots & \ddots & \vdots & \ddots & \vdots & \ddots & \vdots \\ \frac{\partial^2 E}{\partial[w_2]_{2^n-1} \partial[w_1]_0} & \cdots & \frac{\partial^2 E}{\partial[w_2]_{2^n-1} \partial[w_1]_{2^n-1}} & \cdots & \frac{\partial^2 E}{\partial[w_2]_{2^n-1} \partial[w_N]_0} & \cdots & \frac{\partial^2 E}{\partial[w_2]_{2^n-1} \partial[w_N]_{2^n-1}} \\ \vdots & \ddots & \vdots & \ddots & \vdots & \ddots & \vdots \\ \frac{\partial^2 E}{\partial[w_N]_0 \partial[w_1]_0} & \cdots & \frac{\partial^2 E}{\partial[w_N]_0 \partial[w_1]_{2^n-1}} & \cdots & \frac{\partial^2 E}{\partial[w_N]_0 \partial[w_N]_0} & \cdots & \frac{\partial^2 E}{\partial[w_N]_0 \partial[w_N]_{2^n-1}} \\ \vdots & \ddots & \vdots & \ddots & \vdots & \ddots & \vdots \\ \frac{\partial^2 E}{\partial[w_N]_{2^n-1} \partial[w_1]_0} & \cdots & \frac{\partial^2 E}{\partial[w_N]_{2^n-1} \partial[w_1]_{2^n-1}} & \cdots & \frac{\partial^2 E}{\partial[w_N]_{2^n-1} \partial[w_N]_0} & \cdots & \frac{\partial^2 E}{\partial[w_N]_{2^n-1} \partial[w_N]_{2^n-1}} \end{pmatrix}.$$

Vom defini vectorul  $2^n cM \times 1$

$$\overset{\mathcal{R}}{\mathbf{e}} = \begin{pmatrix} [e_1^1]_0 \\ \vdots \\ [e_1^M]_0 \\ \vdots \\ [e_c^1]_0 \\ \vdots \\ [e_c^M]_0 \\ \vdots \\ [e_1^1]_{2^n-1} \\ \vdots \\ [e_1^M]_{2^n-1} \\ \vdots \\ [e_c^1]_{2^n-1} \\ \vdots \\ [e_c^M]_{2^n-1} \end{pmatrix},$$

de unde gradientul  $\overset{\mathcal{R}}{\mathbf{g}}$  de dimensiune  $2^n N \times 1$  va fi

$$\overset{\mathcal{R}}{\mathbf{g}} = \mathbf{J}^T \overset{\mathcal{R}}{\mathbf{e}}, \quad (4.7.1)$$

pentru că

$$\frac{\partial E}{\partial[w_i]_A} = \sum_{m=1}^M \sum_{j=1}^c \sum_{I \in \mathcal{I}} \frac{\partial [e_j^m]_I}{\partial[w_i]_A} [e_j^m]_I, \forall A \in \mathcal{I}.$$

Avem acum pentru derivatele parțiale de ordinul doi ale funcției de eroare  $E$  în raport cu ponderile  $w_i$ ,  $1 \leq i \leq N$ :

$$\frac{\partial^2 E}{\partial[w_i]_A \partial[w_k]_B} = \sum_{m=1}^M \sum_{j=1}^c \sum_{I \in \mathcal{I}} \left( \frac{\partial^2 [e_j^m]_I}{\partial[w_i]_A \partial[w_k]_B} [e_j^m]_I + \frac{\partial [e_j^m]_I}{\partial[w_i]_A} \frac{\partial [e_j^m]_I}{\partial[w_k]_B} \right), \forall A, B \in \mathcal{I}.$$



Algoritmul Levenberg-Marquardt se bazează pe aproximarea

$$\frac{\partial^2 [e_j^m]_I}{\partial [w_i]_A \partial [w_k]_B} \approx 0,$$

iar expresia pentru un element al hessianei  $\overset{\mathcal{R}}{\mathbf{H}}$  devine acum

$$\frac{\partial^2 E}{\partial [w_i]_A \partial [w_k]_B} = \sum_{m=1}^M \sum_{j=1}^c \sum_{I \in \mathcal{I}} \frac{\partial [e_j^m]_I}{\partial [w_i]_A} \frac{\partial [e_j^m]_I}{\partial [w_k]_B},$$

de unde avem aproximarea

$$\overset{\mathcal{R}}{\mathbf{H}} \approx \overset{\mathcal{R}}{\mathbf{J}} \overset{\mathcal{R}}{\mathbf{J}}^T.$$

Folosind această aproximare, formula de actualizare modificată din cadrul metodei Newton

$$\overset{\mathcal{R}}{\mathbf{w}}_{k+1} = \overset{\mathcal{R}}{\mathbf{w}}_k - (\overset{\mathcal{R}}{\mathbf{H}}_k + \lambda_k \mathbf{I}_{2N})^{-1} \overset{\mathcal{R}}{\mathbf{g}}_k,$$

unde  $\lambda_k$  este o constantă care se alege astfel încât matricea  $\overset{\mathcal{R}}{\mathbf{H}}_k + \lambda_k \mathbf{I}_{2N}$  să fie pozitiv definită, devine

$$\overset{\mathcal{R}}{\mathbf{w}}_{k+1} = \overset{\mathcal{R}}{\mathbf{w}}_k - (\overset{\mathcal{R}}{\mathbf{J}}_k \overset{\mathcal{R}}{\mathbf{J}}_k^T + \lambda_k \mathbf{I}_{2N})^{-1} \overset{\mathcal{R}}{\mathbf{J}}_k^T \overset{\mathcal{R}}{\mathbf{e}}_k,$$

unde am folosit și relația (4.7.1). Aceasta este regula de actualizare pentru *metoda Levenberg-Marquardt* (a se vedea [174]).

## 4.8 Concluzii

Acest capitol este dedicat prezentării unor noi algoritmi de învățare pentru rețele neuronale Clifford de tip feedforward, algoritmi care au fost generalizați din domeniul real. Doar metoda gradient (a se vedea, spre exemplu [211]) a fost extinsă anterior în domeniul Clifford, restul reprezentând o contribuție originală a tezei. Toți acești algoritmi pot fi particularizați ușor pentru rețele neuronale cu valori complexe, cu valori hiperbolice, sau cu valori cuaternionice. Pentru fiecare dintre aceste tipuri de rețele, algoritmi nu au fost încă deduși în literatura de specialitate, chiar dacă în domeniul rețelelor neuronale cu valori cuaternionice cercetarea s-a dezvoltat foarte mult în ultimii doi-trei ani. Astfel,

- Secțiunea 4.1 a prezentat algoritmul backpropagation sau **metoda gradient** pentru rețelele Clifford folosind calculul diferențial cu derivate parțiale reale, singurul posibil în acest context.
- În Secțiunea 4.2, au fost introduse **metoda gradient cu moment**, **metodele quickprop**, **resilient backpropagation**, **delta-bar-delta** și **SuperSAB**. Acestea fac parte din clasa metodelor gradient îmbunătățite, și constituie un prim pas făcut în direcția găsirii unor algoritmi care să depășească performanțele metodei gradient clasice.
- O metodă ceva mai complicată, **metoda gradientilor conjugați** a fost prezentată în Secțiunea 4.3. După ce am discutat cazul unei funcții de eroare pătratică, corespunzător metodei gradientilor conjugați liniară, am prezentat metoda gradientilor conjugați neliniară, în cadrul căreia am dedus formule pentru **metoda**

**gradientilor conjugați cu actualizări Hestenes-Stiefel, metoda gradientilor conjugați cu actualizări Polak-Ribiere, metoda gradientilor conjugați cu actualizări Fletcher-Reeves, metoda gradientilor conjugați cu actualizări Dai-Yuan, variațiile algoritmilor Hestenes-Stiefel și Polak-Ribiere și metoda gradientilor conjugați cu reporniri Powell-Beale.**

- O extindere interesantă a metodei gradientilor conjugați este **metoda gradientilor conjugați scalați**, dedusă pentru rețelele neuronale cu valori Clifford de tip feedforward în Secțiunea 4.4. Această metodă reprezintă o îmbunătățire a metodei de bază cu elemente care corectează principalele neajunsuri ale acestui algoritm de învățare.
- Secțiunea 4.5 prezintă **metoda Newton**. Elementul principal al metodei Newton este hessiana funcției de eroare a cărei inversă trebuie calculată exact. Din acest motiv, în cadrul acestei secțiuni am făcut deducerea completă a metodei de calcul a **hessianei** funcției de eroare pentru o rețea neuronală cu valori Clifford de tip feedforward, precum și o particularizare a acestei metode pentru o rețea cu un singur strat ascuns. De asemenea, tot în cadrul acestei secțiuni, am prezentat o metodă de calcul a **produsului hessianei cu un vector**, cantitate care este necesară pentru implementarea multor algoritmi de învățare.
- O variantă mai simplă din punct de vedere computațional al metodei Newton este **metoda quasi-Newton**, discutată în Secțiunea 4.6. Această metodă înlocuiește calculul dificil computațional al hessianei din metoda Newton, cu calculul iterativ al unei aproximări a inversei acestei matrici. Patru algoritmi din această clasă de metode au fost detaliați în această secțiune, și anume **metoda actualizării de rang unu, metoda Davidon-Fletcher-Powell, metoda Broyden-Fletcher-Goldfarb-Shanno și metoda one step secant**.
- Ultima metodă prezentată este **metoda Levenberg-Marquardt**, în Secțiunea 4.7. În această metodă, hessiana din metoda Newton este înlocuită cu o altă aproximare a ei, și anume una în care este folosit un Jacobian care este mai ușor de calculat decât hessiana.

## Capitolul 5

# Generalizări ale rețelelor neuronale Clifford

Prezentul capitol are în vedere diferite generalizări, altele decât rețelele Clifford, ale rețelelor neuronale cu valori reale, precum și generalizări ale rețelelor Clifford. El se înscrie tot în cadrul demersului de a obține rețele neuronale care să realizeze o reprezentare diferită a datelor față de rețelele clasice fiind, practic, o altă abordare făcută în direcția rețelelor neuronale definite pe algebre multidimensionale. Apartenența la o algebră este singura condiție pe care trebuie să o satisfacă intrările, ieșirile și ponderile unei rețele, deoarece pentru definirea unui model de rețea neuronală, trebuie să avem operațiile de adunare și înmulțire, care să dea rezultate în mulțimea de intrare.

Astfel, Secțiunea 5.1 are în vedere rețele neuronale cu valori vectori tridimensionali, care au fost prezentate anterior în literatură. Ele sunt definite pe algebra vectorilor de dimensiune 3, ceea ce le face mai eficiente în reprezentarea datelor tridimensionale decât, spre exemplu, rețelele Clifford definite pe algebre de dimensiune 4. După o scurtă introducere a celor mai importante contribuții din domeniu, este prezentat algoritmul backpropagation pentru antrenarea unei rețele de tip feedforward cu valori vectori tridimensionali.

O abordare oarecum diferită, este cea din Secțiunea 5.2, unde sunt introduse rețele neuronale cu valori vectori  $n$ -dimensionali. În literatură există doar două contribuții care vizează un singur neuron  $n$ -dimensional, în care ponderea este o matrice ortogonală. Abordarea noastră este mai generală, deoarece sunt definite rețele neuronale de tip feedforward cu valori vectori  $n$ -dimensionali, în care intrările și ieșirile sunt vectori  $n$ -dimensionali, dar în care ponderile sunt matrici pătratice, fără proprietăți speciale. Pe viitor, intenționăm să definim rețele neuronale care să generalizeze neuronul  $n$ -dimensional existent în literatură, adică să aibă ponderi matrici ortogonale.

Secțiunea 5.3 este dedicată introducerii, în premieră după cunoștințele noastre, a rețelelor neuronale cu valori matrici pătratice. Ele constituie o generalizare directă a rețelelor Clifford, deoarece orice algebră Clifford se poate scrie ca o subalgebră a unei algebre de matrici pătratice de dimensiune  $2^n$ . Motivul pentru care am introdus aceste rețele este, în primul rând, gradul lor de generalitate și dimensiunea algebrei de  $n^2$ , cu mult mai mică decât dimensiunea unei algebre Clifford, care este  $2^n$ . Apoi, calculul matricial este extrem de folosit în multe ramuri ale ingineriei, și nu numai, fapt care dă speranțe că pe viitor aceste rețele vor putea fi utilizate pentru a rezolva mai eficient probleme care apar în acest domeniu. Imaginile sunt reprezentate ca matrici de pixeli, ceea ce ar face aceste rețele foarte potrivite pentru probleme ce țin de procesarea imaginilor, practic o imagine fiind o singură intrare pentru aceste rețele, și nu multe intrări reale, cum se întâmplă în prezent. Este introdusă o rețea

feedforward cu valori matriciale, pentru care este dedus algoritmul backpropagation, ca în secțiunile precedente ale acestui capitol.

Următoarea secțiune, Secțiunea 5.4, definește, tot în premieră după cunoștințele noastre, rețelele neuronale cu valori matrici antisimetrice. Deoarece algebra vectorilor de dimensiune 3 cu adunarea și produsul vectorial este izomorfă cu algebra matricilor antisimetrice de dimensiune 3 cu adunarea și înmulțirea matricilor, aceste rețele constituie o generalizare directă a rețelelor neuronale cu valori vectori tridimensionali, introduse în Secțiunea 5.1. Motivația introducerii acestor rețele este tot una de generalizare a acestor rețele anterior definite în literatură, însă și una practică, vizând posibilitatea manipulării unor obiecte geometrice folosind aceste rețele. Deoarece algebra matricilor antisimetrice face parte din clasa mai generală a algebrilor Lie, a căror definiție vine din geometrie, având multe aplicații în fizică și inginerie (a se vedea, spre exemplu, [130, 74, 229]), iar mai recent în computer vision (a se vedea, spre exemplu, [269], și referințele citate în acest articol), am considerat oportună definirea unor rețele neuronale pe această algebră, ele putând avea pe viitor aplicații în aceste domenii. Ca mai sus, metoda gradient de antrenare a unei astfel de rețele de tip feedforward este prezentată în detaliu.

În Secțiunea 5.5 este introdus un nou algoritm, numit algoritmul de încorporare, pentru medierea matricilor ortogonale. Problema medierii matricilor ortogonale, care sunt de fapt reprezentări ale rotațiilor, este una importantă în mai multe domenii ale ingineriei (pentru o descriere completă a acestei probleme, a soluțiilor existente și a aplicațiilor, a se vedea, spre exemplu, [109]). Astfel, este dezvoltat un algoritm care presupune calcule doar în coordonate carteziene, fără a folosi coordonate locale pe grupul matricilor ortogonale. După o introducere în problematica de interes, a doua subsecțiune prezintă algoritmul în cazul general, pe o varietate riemanniană. Apoi, subsecțiunea a treia, particularizează algoritmul general pentru matricile ortogonale de ordinul 3, arătând cum se aplică acesta pentru cele mai cunoscute patru funcții de cost din literatură. Ultima subsecțiune vizează matricile ortogonale de ordinul  $n$ , cu particularizarea algoritmului de încorporare pentru aceleași patru funcții de cost.

Secțiunea 5.6 prezintă concluziile capitolului de față.

## 5.1 Rețele neuronale cu valori vectori tridimensionali

O abordare diferită a generalizării în algebre multidimensionale a rețelelor neuronale cu valori reale, care nu are nicio legătură directă cu diferitele algebre Clifford discutate mai sus, este aceea a *rețelelor neuronale cu valori vectoriale*, definite în [185, 186, 188, 199]. Aceste rețele procesează vectorii tridimensionali în două feluri: unul bazat pe produsul vectorial, în care ponderile sunt tot vectori tridimensional, și unul în care ponderile sunt matrici ortogonale (i.e. matrici care satisfac  $AA^T = A^T A = I$ ). Domeniul acestor rețele neuronale este încă la început, rezultatele experimentale pe transformări geometrice fiind promițătoare pentru aplicații viitoare în procesarea imaginilor.

Să considerăm spațiul vectorial de dimensiune 3 al vectorilor cu valori reale,  $\mathbb{R}^3$ , pe care îl vom nota în continuare  $\mathcal{V}_3(\mathbb{R}) := \mathbb{R}^3$ .

În cele ce urmează vom introduce rețele neuronale cu valori din  $\mathcal{V}_3(\mathbb{R})$ , bazate pe produsul vectorial. Să presupunem că avem o rețea neuronală cu valori vectoriale de tip feedforward, total conectată, care are  $L$  straturi, unde stratul 1 este stratul de intrare, stratul  $L$  este stratul de ieșire, iar straturile  $\{2, \dots, L-1\}$  sunt straturi ascunse.

Funcția de eroare  $E : \mathcal{V}_3(\mathbb{R})^N \rightarrow \mathbb{R}$  pentru o asemenea rețea este definită prin

$$E(\mathbf{w}) = \frac{1}{2} \sum_{i=1}^c \|y_i^L - t_i\|^2, \quad (5.1.1)$$

unde  $\|y\|$  reprezintă norma în  $\mathcal{V}_n(\mathbb{R})$  a lui  $y$ .  $\mathbf{y}^L = (y_i^L)_{1 \leq i \leq c} \in \mathcal{V}_3(\mathbb{R})^c$  reprezintă ieșirile rețelei,  $\mathbf{t} = (t_i)_{1 \leq i \leq c} \in \mathcal{V}_3(\mathbb{R})^c$  reprezintă ieșirile dorite (target-urile) ale rețelei, iar  $\mathbf{w} \in \mathcal{V}_3(\mathbb{R})^N$  este vectorul tuturor celor  $N$  ponderi și bias-uri ale rețelei, care sunt vectori din  $\mathcal{V}_3(\mathbb{R})$ .

Notând cu  $w_{jk}^l \in \mathcal{V}_3(\mathbb{R})$  ponderea care leagă neuronul  $j$  din stratul  $l$  de neuronul  $k$  din stratul  $l-1$ , pentru orice  $l \in \{2, \dots, L\}$ , putem defini pasul de actualizare al ponderii  $w_{jk}^l$  în epoca  $t$  ca fiind

$$\Delta w_{jk}^l(t) = w_{jk}^l(t+1) - w_{jk}^l(t).$$

În cazul metodei gradient, regula de actualizare pentru ponderea  $w_{jk}^l$  se poate scrie

$$\Delta w_{jk}^l(t) = -\varepsilon \left( \frac{\partial E}{\partial [w_{jk}^l]_1}(t), \frac{\partial E}{\partial [w_{jk}^l]_2}(t), \frac{\partial E}{\partial [w_{jk}^l]_3}(t) \right)^T,$$

unde  $\varepsilon$  este un număr real care reprezintă rata de învățare, și  $\frac{\partial E}{\partial [w_{jk}^l]_i}(t)$  este derivata parțială a funcției de eroare  $E$  în raport cu fiecare componentă  $[w_{jk}^l]_i$  a vectorului  $w_{jk}^l$ , unde  $1 \leq i \leq 3$ .

Scris sub formă vectorială, ca vectori de vectori, pasul de actualizare devine

$$\Delta \mathbf{w}(t) = \mathbf{w}(t+1) - \mathbf{w}(t),$$

unde  $\mathbf{w} \in \mathcal{V}_3(\mathbb{R})^N$  este vectorul celor  $N$  ponderi și bias-uri ale rețelei, definit mai sus. Regula de actualizare pentru metoda gradient ia acum forma:

$$\Delta \mathbf{w}(t) = -\varepsilon \nabla E(t),$$

unde  $\nabla E(t) := \nabla E(\mathbf{w}(t)) \in \mathcal{V}_3(\mathbb{R})^N$  este gradientul funcției  $E$ , ale cărui componente

$$\left( \frac{\partial E}{\partial [w_{jk}^l]_1}(\mathbf{w}(t)), \frac{\partial E}{\partial [w_{jk}^l]_2}(\mathbf{w}(t)), \frac{\partial E}{\partial [w_{jk}^l]_3}(\mathbf{w}(t)) \right)^T,$$

au fost scrise prescurtat mai sus sub forma

$$\left( \frac{\partial E}{\partial [w_{jk}^l]_1}(t), \frac{\partial E}{\partial [w_{jk}^l]_2}(t), \frac{\partial E}{\partial [w_{jk}^l]_3}(t) \right)^T.$$

Prin urmare, pentru metoda gradient, avem nevoie să calculăm derivatele parțiale de forma  $\frac{\partial E}{\partial [w_{jk}^l]_i}(t)$ , cu  $1 \leq i \leq 3$ .

Facem mai întâi următoarele notații

$$s_j^l = \sum_k w_{jk}^l \times x_k^{l-1}, \quad (5.1.2)$$

$$y_j^l = G^l(s_j^l), \quad (5.1.3)$$

unde (5.1.2) ne arată faptul că înmulțirea de la rețele neuronale cu valori reale este înlocuită de produsul vectorial dintre doi vectori,  $G^l$  este funcția de activare a stratului  $l \in \{2, \dots, L\}$ ,  $\mathbf{x}^1 = (x_k^1)_{1 \leq k \leq d} \in \mathcal{V}_3(\mathbb{R})^d$  sunt intrările rețelei, și avem că  $x_k^l = y_k^l$ ,  $\forall l \in \{2, \dots, L-1\}$ ,  $\forall k$ .

Funcția de activare este considerată a fi definită pe componente. Un exemplu de funcție de activare este funcția tangentă hiperbolică pe componente definită, pentru orice vector  $\begin{pmatrix} a_1 \\ a_2 \\ a_3 \end{pmatrix} \in \mathcal{V}_3(\mathbb{R})$ , prin

$$G \left( \begin{pmatrix} a_1 \\ a_2 \\ a_3 \end{pmatrix} \right) = \begin{pmatrix} \tanh a_1 \\ \tanh a_2 \\ \tanh a_3 \end{pmatrix}.$$

Vom începe cu actualizarea ponderilor dintre penultimul strat ascuns  $L-1$  și stratul de ieșire  $L$ , i.e.

$$\Delta w_{jk}^L(t) = -\varepsilon \left( \frac{\partial E}{\partial [w_{jk}^L]_1}(t), \frac{\partial E}{\partial [w_{jk}^L]_2}(t), \frac{\partial E}{\partial [w_{jk}^L]_3}(t) \right)^T.$$

Regula înlănțuirii ne permite să scriem următorul set de relații:

$$\frac{\partial E}{\partial [w_{jk}^L]_i} = \sum_{c=1}^3 \frac{\partial E}{\partial [s_j^L]_c} \frac{\partial [s_j^L]_c}{\partial [w_{jk}^L]_i}, \quad (5.1.4)$$

pentru orice  $1 \leq i \leq 3$ .

Ne vom ocupa mai întâi de  $\frac{\partial [s_j^L]_c}{\partial [w_{jk}^L]_i}$ . Pentru calculul acestei derivate, avem nevoie de o formulă explicită pentru  $[s_j^L]_c$ , care se poate deduce din (5.1.2):

$$[s_j^L]_c = \sum_k [w_{jk}^L]_{c+1} [x_k^{L-1}]_{c+2} - [w_{jk}^L]_{c+2} [x_k^{L-1}]_{c+1}, \forall 1 \leq c \leq 3.$$

Acum, se vede ușor că

$$\frac{\partial [s_j^L]_c}{\partial [w_{jk}^L]_i} = \begin{cases} [x_k^{L-1}]_{c+2}, & \text{dacă } c+1 = i \\ -[x_k^{L-1}]_{c+1}, & \text{dacă } c+2 = i \\ 0, & \text{dacă } c = i \end{cases}$$

de unde relația (5.1.4) se poate scrie sub forma

$$\frac{\partial E}{\partial [w_{jk}^L]_i} = \frac{\partial E}{\partial [s_j^L]_{i-1}} [x_k^{L-1}]_{i+1} - \frac{\partial E}{\partial [s_j^L]_{i-2}} [x_k^{L-1}]_{i-1}, \forall 1 \leq i \leq 3,$$

sau, ținând seama de definiția produsului vectorial,

$$\frac{\partial E}{\partial [w_{jk}^L]_i} = \left[ \frac{\partial E}{\partial [s_j^L]} \times x_k^{L-1} \right]_i, \forall 1 \leq i \leq 3. \quad (5.1.5)$$

Mai departe, cu notația  $\delta_j^L := \frac{\partial E}{\partial [s_j^L]}$ , avem din regula înlănțuirii că

$$[\delta_j^L]_c = \frac{\partial E}{\partial [s_j^L]_c} = \sum_{d=1}^3 \frac{\partial E}{\partial [y_j^L]_d} \frac{\partial [y_j^L]_d}{\partial [s_j^L]_c},$$

$\forall 1 \leq c \leq 3$ , sau, ținând seama de (5.1.3) și de expresia pentru funcția de eroare dată în (5.1.1), că

$$\begin{aligned} [\delta_j^L]_c &= \sum_{d=1}^3 ([y_j^L]_d - [t_j]_d) \frac{\partial [G^L(s_j^L)]_d}{\partial [s_j^L]_c} \\ &= ([y_j^L]_c - [t_j]_c) \frac{\partial [G^L(s_j^L)]_c}{\partial [s_j^L]_c}, \end{aligned}$$

$\forall 1 \leq c \leq 3$ , deoarece  $[G^L(s_j^L)]_d$  depinde de  $[s_j^L]_c$  doar pentru  $d = c$ , ceea ce înseamnă că  $\frac{\partial [G^L(s_j^L)]_d}{\partial [s_j^L]_c} = 0, \forall d \neq c$ . Dacă notăm cu  $\odot$  înmulțirea pe componente a doi vectori, relația de mai sus se scrie compactat

$$\delta_j^L = (y_j^L - t_j) \odot \frac{\partial G^L(s_j^L)}{\partial s_j^L}, \quad (5.1.6)$$

unde  $\frac{\partial G^L(s_j^L)}{\partial s_j^L}$  reprezintă vectorul derivatei pe componente a funcției de activare  $G^L$ .

De exemplu, dacă  $S = \begin{pmatrix} a_1 \\ a_2 \\ a_3 \end{pmatrix} \in \mathcal{V}_3(\mathbb{R})$ , atunci

$$\frac{\partial G(S)}{\partial S} = \begin{pmatrix} \text{sech}^2 a_1 \\ \text{sech}^2 a_2 \\ \text{sech}^2 a_3 \end{pmatrix},$$

cu funcția  $G$  definită ca în exemplul de mai sus. În final, din ecuația (5.1.5), obținem expresia pentru actualizarea dorită:

$$\Delta w_{jk}^L(t) = -\varepsilon \delta_j^L \times x_k^{L-1},$$

unde vectorul  $\delta_j^L \in \mathcal{V}_3(\mathbb{R})$  este dat de relația (5.1.6).

Acum, trecem la actualizarea pentru o pondere arbitrară  $w_{jk}^l$ , unde  $l \in \{2, \dots, L-1\}$ . În primul rând, aceasta se scrie

$$\Delta w_{jk}^l(t) = -\varepsilon \left( \frac{\partial E}{\partial [w_{jk}^l]_1}(t), \frac{\partial E}{\partial [w_{jk}^l]_2}(t), \frac{\partial E}{\partial [w_{jk}^l]_3}(t) \right)^T,$$

iar apoi, din regula înlănțuirii, rezultă

$$\frac{\partial E}{\partial [w_{jk}^l]_i} = \sum_{c=1}^3 \frac{\partial E}{\partial [s_j^l]_c} \frac{\partial [s_j^l]_c}{\partial [w_{jk}^l]_i}, \forall 1 \leq i \leq 3. \quad (5.1.7)$$

Aplicând din nou această regulă, obținem că

$$\frac{\partial E}{\partial [s_j^l]_c} = \sum_r \sum_{d=1}^3 \frac{\partial E}{\partial [s_r^{l+1}]_d} \frac{\partial [s_r^{l+1}]_d}{\partial [s_j^l]_c}, \forall 1 \leq c \leq 3, \quad (5.1.8)$$

unde suma se ia după toți neuronii  $r$  din stratul  $l+1$  către care neuronul  $j$  din stratul  $l$  trimite legături. Mai apoi

$$\frac{\partial [s_r^{l+1}]_d}{\partial [s_j^l]_c} = \sum_{e=1}^3 \frac{\partial [s_r^{l+1}]_d}{\partial [y_j^l]_e} \frac{\partial [y_j^l]_e}{\partial [s_j^l]_c},$$

$\forall 1 \leq c, d \leq 3$ . Din nou din (5.1.2), avem

$$\frac{\partial [s_r^{l+1}]_d}{\partial [y_j^l]_e} = \begin{cases} [w_{rj}^{l+1}]_{d+1}, & \text{dacă } d+2 = e \\ -[w_{rj}^{l+1}]_{d+2}, & \text{dacă } d+1 = e, \\ 0, & \text{dacă } d = e \end{cases}$$

și apoi

$$\frac{\partial [s_r^{l+1}]_d}{\partial [s_j^l]_c} = [w_{rj}^{l+1}]_{d+1} \frac{\partial [G^l(s_j^l)]_{d+2}}{\partial [s_j^l]_c} - [w_{rj}^{l+1}]_{d+2} \frac{\partial [G^l(s_j^l)]_{d+1}}{\partial [s_j^l]_c},$$

$\forall 1 \leq c, d \leq 3$ , și revenind înapoi în ecuația (5.1.8), obținem succesiv

$$\begin{aligned} \frac{\partial E}{\partial [s_j^l]_c} &= \sum_r \sum_{d=1}^3 \frac{\partial E}{\partial [s_r^{l+1}]_d} \left( [w_{rj}^{l+1}]_{d+1} \frac{\partial [G^l(s_j^l)]_{d+2}}{\partial [s_j^l]_c} - [w_{rj}^{l+1}]_{d+2} \frac{\partial [G^l(s_j^l)]_{d+1}}{\partial [s_j^l]_c} \right) \\ &= \sum_r \sum_{d=1}^3 [w_{rj}^{l+1}]_{d+1} \frac{\partial E}{\partial [s_r^{l+1}]_d} \frac{\partial [G^l(s_j^l)]_{d+2}}{\partial [s_j^l]_c} - [w_{rj}^{l+1}]_{d+2} \frac{\partial E}{\partial [s_r^{l+1}]_d} \frac{\partial [G^l(s_j^l)]_{d+1}}{\partial [s_j^l]_c} \\ &= \sum_r \left( [w_{rj}^{l+1}]_{c-1} \frac{\partial E}{\partial [s_r^{l+1}]_{c-2}} - [w_{rj}^{l+1}]_{c+1} \frac{\partial E}{\partial [s_r^{l+1}]_{c-1}} \right) \frac{\partial [G^l(s_j^l)]_c}{\partial [s_j^l]_c} \\ &= \sum_r [w_{rj}^{l+1} \times \delta_r^{l+1}]_c \frac{\partial [G^l(s_j^l)]_c}{\partial [s_j^l]_c}, \end{aligned}$$

$\forall 1 \leq c \leq 3$ , unde am ținut cont de faptul că  $\frac{\partial [G^l(s_j^l)]_e}{\partial [s_j^l]_c} = 0, \forall e \neq c$  și am făcut notația  $\delta_j^l := \frac{\partial E}{\partial s_j^l}$ . Acum, relația de mai sus se poate scrie sub forma

$$\delta_j^l = \left( \sum_r w_{rj}^{l+1} \times \delta_r^{l+1} \right) \odot \frac{\partial G^l(s_j^l)}{\partial s_j^l}, \quad (5.1.9)$$

unde  $\odot$  este notația pentru înmulțirea pe componente a doi vectori.

Apoi, ținând cont că

$$\frac{\partial [s_j^l]_c}{\partial [w_{jk}^l]_i} = \begin{cases} [x_k^{l-1}]_{c+2}, & \text{dacă } c+1 = i \\ -[x_k^{l-1}]_{c+1}, & \text{dacă } c+2 = i, \\ 0, & \text{dacă } c = i \end{cases}$$

relația (5.1.7) devine

$$\frac{\partial E}{\partial [w_{jk}^l]_i} = \frac{\partial E}{\partial [s_j^l]_{i-1}} [x_k^{l-1}]_{i+1} - \frac{\partial E}{\partial [s_j^l]_{i-2}} [x_k^{l-1}]_{i-1}, \forall 1 \leq i \leq 3,$$

sau, echivalent,

$$\frac{\partial E}{\partial [w_{jk}^l]_i} = [\delta_j^l \times x_k^{l-1}]_i, \forall 1 \leq i \leq 3,$$



unde  $\delta_j^l := \frac{\partial E}{\partial s_j^l}$ , ca mai sus.

În final am obținut o formulă de calcul pentru actualizarea ponderii  $w_{jk}^l$  asemănătoare cu cea din primul caz tratat, și anume

$$\Delta w_{jk}^l(t) = -\varepsilon \delta_j^l \times x_k^{l-1}.$$

Avem, prin urmare, următoarea formulă pentru actualizarea ponderii  $w_{jk}^l$  în cazul metodei gradient:

$$\Delta w_{jk}^l(t) = -\varepsilon \delta_j^l \times x_k^{l-1}, \forall l \in \{2, \dots, L\},$$

unde

$$\delta_j^l = \begin{cases} (\sum_r w_{rj}^{l+1} \times \delta_r^{l+1}) \odot \frac{\partial G^l(s_j^l)}{\partial s_j^l}, & l \leq L-1 \\ (y_j^l - t_j) \odot \frac{\partial G^l(s_j^l)}{\partial s_j^l}, & l = L \end{cases}.$$

## 5.2 Rețele neuronale cu valori vectori $n$ -dimensionali

Dintre cele două tipuri de rețele cu valori vectoriale discutate în secțiunea anterioară, cel de-al doilea poate fi generalizat la vectori  $n$ -dimensionali, rezultând astfel *rețele neuronale  $n$ -dimensionale* (pentru definiția neuronului  $n$ -dimensional, a se vedea [200, 202]). Aceste rețele au intrări și ieșiri vectori  $n$ -dimensionali, dar ponderile și bias-urile sunt matrici ortogonale. În cele două referințe citate, neuronul  $n$ -dimensional a fost folosit pentru rezolvarea cu succes a problemei parității pe  $n$  biți. Teoria rețelelor neuronale  $n$ -dimensionale este încă la început, singurele articole din domeniu fiind cele specificate mai sus. Există însă motive de speranță că aceste rețele vor putea fi utilizate cu succes în rezolvarea unor probleme  $n$ -dimensionale la care rețelele clasice au eșuat sau au avut performanțe slabe.

Considerăm spațiul vectorial de dimensiune  $n$  al vectorilor cu valori reale,  $\mathbb{R}^n$ , pe care îl vom nota în continuare  $\mathcal{V}_n(\mathbb{R}) := \mathbb{R}^n$ .

În cele ce urmează vom introduce rețele neuronale cu valori din  $\mathcal{V}_n(\mathbb{R})$ , dar ale căror ponderi sunt matrici pătratice oarecare, și nu matrici pătratice ortogonale, ca în cazul neuronului  $n$ -dimensional. Să presupunem că avem o rețea neuronală cu valori vectoriale de tip feedforward, total conectată, care are  $L$  straturi, unde stratul 1 este stratul de intrare, stratul  $L$  este stratul de ieșire, iar straturile intermediare  $\{2, \dots, L-1\}$  sunt straturi ascunse. Funcția de eroare  $E : \mathcal{M}_n(\mathbb{R})^N \rightarrow \mathbb{R}$  a acestei rețele este definită prin

$$E(\mathbf{W}) = \frac{1}{2} \sum_{i=1}^c \|y_i^L - t_i\|^2, \quad (5.2.1)$$

unde  $\|y\|$  reprezintă norma în  $\mathcal{V}_n(\mathbb{R})$  a lui  $y$ .  $\mathbf{y}^L = (y_i^L)_{1 \leq i \leq c} \in \mathcal{V}_n(\mathbb{R})^c$  reprezintă *ieșirile* rețelei,  $\mathbf{t} = (t_i)_{1 \leq i \leq c} \in \mathcal{V}_n(\mathbb{R})^c$  reprezintă *ieșirile dorite (target-urile)* ale rețelei, iar  $\mathbf{W} \in \mathcal{M}_n(\mathbb{R})^N$  este vectorul tuturor celor  $N$  ponderi și bias-uri ale rețelei, care sunt matrici pătratice de ordinul  $n$ .

Notând cu  $W_{jk}^l \in \mathcal{M}_n(\mathbb{R})$  ponderea care leagă neuronul  $j$  din stratul  $l$  de neuronul  $k$  din stratul  $l-1$ , pentru orice  $l \in \{2, \dots, L\}$ , se poate defini *pasul de actualizare* al ponderii  $W_{jk}^l$  în epoca  $t$  ca fiind

$$\Delta W_{jk}^l(t) = W_{jk}^l(t+1) - W_{jk}^l(t).$$

Regula de actualizare pentru ponderea  $W_{jk}^l$ , în cadrul metodei gradient, este

$$\Delta W_{jk}^l(t) = -\varepsilon \left( \frac{\partial E}{\partial [W_{jk}^l]_{ab}}(t) \right)_{1 \leq a, b \leq n},$$

unde  $\varepsilon$  este un număr real care reprezintă *rata de învățare*, și  $\frac{\partial E}{\partial [W_{jk}^l]_{ab}}(t)$  reprezintă derivata parțială a funcției  $E$  în raport cu fiecare componentă  $[W_{jk}^l]_{ab}$  a matricii  $W_{jk}^l$ , cu  $1 \leq a, b \leq n$ .

Scris sub formă vectorială, pasul de actualizare devine

$$\Delta \mathbf{W}(t) = \mathbf{W}(t+1) - \mathbf{W}(t),$$

unde  $\mathbf{W} \in \mathcal{M}_n(\mathbb{R})^N$  este vectorul celor  $N$  ponderi și bias-uri ale rețelei, care a fost definit mai sus. Regula de actualizare se poate scrie, în formă vectorială, pentru metoda gradient, astfel:

$$\Delta \mathbf{W}(t) = -\varepsilon \nabla E(t),$$

unde  $\nabla E(t) := \nabla E(\mathbf{W}(t)) \in \mathcal{M}_n(\mathbb{R})^N$ , reprezintă gradientul funcției  $E$ , ale cărui componente

$$\left( \frac{\partial E}{\partial [W_{jk}^l]_{ab}}(\mathbf{W}(t)) \right)_{1 \leq a, b \leq n}$$

au fost prescurtate mai sus în forma

$$\left( \frac{\partial E}{\partial [W_{jk}^l]_{ab}}(t) \right)_{1 \leq a, b \leq n}.$$

Prin urmare, a minimiza funcția de eroare  $E$  înseamnă a calcula gradientul  $\nabla E$ , adică derivatele parțiale de forma  $\frac{\partial E}{\partial [W_{jk}^l]_{ab}}(t)$ , cu  $1 \leq a, b \leq n$ .

Se impun următoarele notații

$$s_j^l = \sum_k W_{jk}^l x_k^{l-1}, \quad (5.2.2)$$

$$y_j^l = G^l(s_j^l), \quad (5.2.3)$$

unde (5.2.2) ne arată că înmulțirea de la rețelele neuronale cu valori reale este înlocuită de înmulțirea între o matrice și un vector,  $G^l$  este *funcția de activare* a stratului  $l \in \{2, \dots, L\}$ ,  $\mathbf{x}^1 = (x_k^1)_{1 \leq k \leq d} \in \mathcal{V}_n(\mathbb{R})^d$  sunt intrările rețelei, și  $x_k^l = y_k^{l-1}$ ,  $\forall l \in \{2, \dots, L-1\}$ ,  $\forall k$ .

Funcția de activare este considerată a fi definită pe componente. De pildă, pentru vectorul  $\begin{pmatrix} a_1 \\ a_2 \\ a_3 \end{pmatrix} \in \mathcal{V}_3(\mathbb{R})$ , un exemplu de funcție de activare este funcția tangentă hiperbolică pe componente definită prin

$$G \left( \begin{pmatrix} a_1 \\ a_2 \\ a_3 \end{pmatrix} \right) = \begin{pmatrix} \tanh a_1 \\ \tanh a_2 \\ \tanh a_3 \end{pmatrix}.$$

Mai întâi, vom calcula actualizarea pentru ponderile dintre penultimul strat ascuns  $L-1$  și stratul de ieșire  $L$ , i.e.

$$\Delta W_{jk}^L(t) = -\varepsilon \left( \frac{\partial E}{\partial [W_{jk}^L]_{ab}} \right)_{1 \leq a, b \leq n}.$$

Folosind regula înălțurii, putem scrie setul de relații:

$$\frac{\partial E}{\partial [W_{jk}^L]_{ab}} = \sum_{c=1}^n \frac{\partial E}{\partial [s_j^L]_c} \frac{\partial [s_j^L]_c}{\partial [W_{jk}^L]_{ab}}, \quad (5.2.4)$$

pentru orice  $1 \leq a, b \leq n$ .

Ne vom ocupa mai întâi de  $\frac{\partial [s_j^L]_c}{\partial [W_{jk}^L]_{ab}}$ . Pentru calculul acestei derivate, avem nevoie de o formulă explicită pentru  $[s_j^L]_c$ , care se calculează ușor din (5.2.2):

$$[s_j^L]_c = \sum_k \sum_{m=1}^n [W_{jk}^L]_{cm} [x_k^{L-1}]_m, \forall 1 \leq c \leq n.$$

Acum, se vede imediat că

$$\frac{\partial [s_j^L]_c}{\partial [W_{jk}^L]_{ab}} = \begin{cases} [x_k^{L-1}]_b, & \text{dacă } c = a \\ 0, & \text{dacă } c \neq a \end{cases},$$

de unde relația (5.2.4) se poate scrie sub forma

$$\frac{\partial E}{\partial [W_{jk}^L]_{ab}} = \frac{\partial E}{\partial [s_j^L]_a} [x_k^{L-1}]_b,$$

sau, echivalent

$$\frac{\partial E}{\partial [W_{jk}^L]_{ab}} = \frac{\partial E}{\partial [s_j^L]_a} [(x_k^{L-1})^T]_b, \forall 1 \leq a, b \leq n. \quad (5.2.5)$$

Mai departe, notând  $\delta_j^L := \frac{\partial E}{\partial s_j^L}$ , avem din regula înălțurii că

$$[\delta_j^L]_c = \frac{\partial E}{\partial [s_j^L]_c} = \sum_{d=1}^n \frac{\partial E}{\partial [y_j^L]_d} \frac{\partial [y_j^L]_d}{\partial [s_j^L]_c},$$

$\forall 1 \leq c \leq n$ , sau, ținând seama de notația (5.2.3) și de expresia pentru funcția de eroare (5.2.1), că

$$\begin{aligned} [\delta_j^L]_c &= \sum_{d=1}^n ([y_j^L]_d - [t_j]_d) \frac{\partial [G^L(s_j^L)]_d}{\partial [s_j^L]_c} \\ &= ([y_j^L]_c - [t_j]_c) \frac{\partial [G^L(s_j^L)]_c}{\partial [s_j^L]_c}, \end{aligned}$$

$\forall 1 \leq c \leq n$ , deoarece  $[G^L(s_j^L)]_d$  depinde de  $[s_j^L]_c$  doar pentru  $d = c$ , ceea ce înseamnă că  $\frac{\partial [G^L(s_j^L)]_d}{\partial [s_j^L]_c} = 0, \forall d \neq c$ . Notând cu  $\odot$  înmulțirea pe componente a doi vectori, relația de mai sus ne dă

$$\delta_j^L = (y_j^L - t_j) \odot \frac{\partial G^L(s_j^L)}{\partial s_j^L}, \quad (5.2.6)$$

unde  $\frac{\partial G^L(s_j^L)}{\partial s_j^L}$  reprezintă vectorul derivatei pe componente a funcției de activare  $G^L$ .

De exemplu, dacă  $S = \begin{pmatrix} a_1 \\ a_2 \\ a_3 \end{pmatrix} \in \mathcal{V}_3(\mathbb{R})$ , atunci

$$\frac{\partial G(S)}{\partial S} = \begin{pmatrix} \operatorname{sech}^2 a_1 \\ \operatorname{sech}^2 a_2 \\ \operatorname{sech}^2 a_3 \end{pmatrix},$$

cu funcția  $G$  definită ca în exemplul de mai sus. În final, din ecuația (5.2.5), obținem expresia pentru actualizarea dorită:

$$\Delta W_{jk}^L(t) = -\varepsilon \delta_j^L (x_k^{L-1})^T,$$

unde vectorul  $\delta_j^L \in \mathcal{V}_n(\mathbb{R})$  este dat de relația (5.2.6).

Acum, trecem la actualizarea pentru o pondere arbitrară  $W_{jk}^l$ , unde  $l \in \{2, \dots, L-1\}$ . În primul rând, putem scrie că

$$\Delta W_{jk}^l(t) = -\varepsilon \left( \frac{\partial E}{\partial [W_{jk}^l]_{ab}} \right)_{1 \leq a, b \leq n},$$

iar apoi, din regula înlănțuirii, avem că

$$\frac{\partial E}{\partial [W_{jk}^l]_{ab}} = \sum_{c=1}^n \frac{\partial E}{\partial [s_j^l]_c} \frac{\partial [s_j^l]_c}{\partial [W_{jk}^l]_{ab}}, \forall 1 \leq a, b \leq n. \quad (5.2.7)$$

Tot cu regula înlănțuirii, obținem că

$$\frac{\partial E}{\partial [s_j^l]_c} = \sum_r \sum_{d=1}^n \frac{\partial E}{\partial [s_r^{l+1}]_d} \frac{\partial [s_r^{l+1}]_d}{\partial [s_j^l]_c}, \forall 1 \leq c \leq n, \quad (5.2.8)$$

unde suma se ia după toți neuronii  $r$  din stratul  $l+1$  către care neuronul  $j$  din stratul  $l$  trimite legături. Mai apoi

$$\frac{\partial [s_r^{l+1}]_d}{\partial [s_j^l]_c} = \sum_{e=1}^n \frac{\partial [s_r^{l+1}]_d}{\partial [y_j^l]_e} \frac{\partial [y_j^l]_e}{\partial [s_j^l]_c},$$

$\forall 1 \leq c, d \leq n$ . Din nou din (5.2.2), avem

$$\frac{\partial [s_r^{l+1}]_d}{\partial [y_j^l]_e} = [W_{rj}^{l+1}]_{de},$$

și apoi

$$\frac{\partial [s_r^{l+1}]_d}{\partial [s_j^l]_c} = \sum_{e=1}^n [W_{rj}^{l+1}]_{de} \frac{\partial [G^l(s_j^l)]_e}{\partial [s_j^l]_c},$$

$\forall 1 \leq c, d \leq n$ , și revenind înapoi în (5.2.8), rezultă succesiv

$$\begin{aligned}
\frac{\partial E}{\partial [s_j^l]_c} &= \sum_r \sum_{d=1}^n \frac{\partial E}{\partial [s_r^{l+1}]_d} \sum_{e=1}^n [W_{rj}^{l+1}]_{de} \frac{\partial [G^l(s_j^l)]_e}{\partial [s_j^l]_c} \\
&= \sum_r \sum_{1 \leq d, e \leq n} [W_{rj}^{l+1}]_{de} \frac{\partial E}{\partial [s_r^{l+1}]_d} \frac{\partial [G^l(s_j^l)]_e}{\partial [s_j^l]_c} \\
&= \sum_r \left( \sum_{d=1}^n [(W_{rj}^{l+1})^T]_{cd} \frac{\partial E}{\partial [s_r^{l+1}]_d} \right) \frac{\partial [G^l(s_j^l)]_c}{\partial [s_j^l]_c} \\
&= \sum_r [(W_{rj}^{l+1})^T \delta_r^{l+1}]_c \frac{\partial [G^l(s_j^l)]_c}{\partial [s_j^l]_c},
\end{aligned}$$

$\forall 1 \leq c \leq n$ , unde din nou am ținut cont de faptul că  $\frac{\partial [G^l(s_j^l)]_e}{\partial [s_j^l]_c} = 0, \forall e \neq c$  și am făcut notația  $\delta_j^l := \frac{\partial E}{\partial s_j^l}$ . Acum, putem scrie relația de mai sus sub forma

$$\delta_j^l = \left( \sum_r (W_{rj}^{l+1})^T \delta_r^{l+1} \right) \odot \frac{\partial G^l(s_j^l)}{\partial s_j^l}, \quad (5.2.9)$$

unde prin  $\odot$  am notat înmulțirea pe componente a doi vectori.  
Ținând acum cont că

$$\frac{\partial [s_j^l]_c}{\partial [W_{jk}^l]_{ab}} = \begin{cases} [x_k^{l-1}]_b, & \text{dacă } c = a \\ 0, & \text{dacă } c \neq a \end{cases}$$

relația (5.2.7) devine

$$\begin{aligned}
\frac{\partial E}{\partial [W_{jk}^l]_{ab}} &= \frac{\partial E}{\partial [s_j^l]_a} [x_k^{l-1}]_b \\
&= \frac{\partial E}{\partial [s_j^l]_a} [(x_k^{l-1})^T]_b \\
&= [\delta_j^l (X_k^{l-1})^T]_{ab}, \forall 1 \leq a, b \leq n,
\end{aligned}$$

cu notația  $\delta_j^l := \frac{\partial E}{\partial s_j^l}$ , ca mai sus.

În final, am obținut o formulă de calcul pentru actualizarea ponderii  $W_{jk}^l$  asemănătoare cu cea din primul caz tratat, și anume

$$\Delta W_{jk}^l(t) = -\varepsilon \delta_j^l (x_k^{l-1})^T.$$

Prin urmare, avem următoarea formulă pentru actualizarea ponderii  $W_{jk}^l$  la metoda gradient:

$$\Delta W_{jk}^l(t) = -\varepsilon \delta_j^l (x_k^{l-1})^T, \forall l \in \{2, \dots, L\},$$

unde

$$\delta_j^l = \begin{cases} (\sum_r (W_{rj}^{l+1})^T \delta_r^{l+1}) \odot \frac{\partial G^l(s_j^l)}{\partial s_j^l}, & l \leq L-1 \\ (y_j^l - t_j) \odot \frac{\partial G^l(s_j^l)}{\partial s_j^l}, & l = L \end{cases}.$$

### 5.3 Rețele neuronale cu valori matriciale pătratice

Faptul că numerele complexe, hiperbolice, cuaternionice și Clifford pot fi scrise sub formă matricială (spre exemplu, un număr complex  $a + ib$ ,  $i = \sqrt{-1}$ , poate fi scris sub forma  $\begin{pmatrix} a & -b \\ b & a \end{pmatrix}$ ), a condus la ideea naturală de a defini rețele neuronale multidimensionale ale căror intrări, ieșiri, ponderi și bias-uri să fie matrici. *Rețele neuronale cu valori matriciale* sunt deci o generalizare a rețelelor neuronale studiate anterior, deoarece fiecare dintre algebrele pe care au fost definite aceste rețele neuronale, poate fi văzută ca o subalgebră a algebrei matricilor pătratice, cu operațiile naturale de adunare și înmulțire a matricilor. Datorită gradului lor de generalitate, aceste rețele neuronale sunt menite să aibă multe aplicații în viitor la rezolvarea acelor probleme la care rețelele neuronale cu valori reale au eșuat sau au avut performanțe slabe.

Considerăm algebra matricilor pătratice de dimensiune  $n$ ,  $\mathcal{M}_n(\mathbb{R})$ , cu operațiile naturale de adunare și înmulțire a matricilor.

În cele ce urmează vom introduce rețele neuronale cu valori în această algebră, ca în articolul nostru [219]. Să presupunem că avem o rețea neuronală cu valori matriciale de tip feedforward, total conectată, care are  $L$  straturi, unde stratul 1 este stratul de intrare, stratul  $L$  este stratul de ieșire, iar straturile numerotate  $\{2, \dots, L-1\}$  sunt straturi ascunse. Funcția de eroare  $E : \mathcal{M}_n(\mathbb{R})^N \rightarrow \mathbb{R}$  a acestei rețele este dată prin

$$E(\mathbf{W}) = \frac{1}{2} \sum_{i=1}^c \|Y_i^L - T_i\|^2, \quad (5.3.1)$$

unde  $\|Y\|$  este norma Frobenius a matricii  $Y$  definită prin  $\|Y\| := \sqrt{\text{Tr}(YY^T)}$ , și  $\text{Tr}(Y)$  este urma matricii  $Y$ .  $\mathbf{Y}^L = (Y_i^L)_{1 \leq i \leq c} \in \mathcal{M}_n(\mathbb{R})^c$  reprezintă *ieșirile* rețelei,  $\mathbf{T} = (T_i)_{1 \leq i \leq c} \in \mathcal{M}_n(\mathbb{R})^c$  reprezintă *ieșirile dorite (target-urile)* ale rețelei, iar  $\mathbf{W} \in \mathcal{M}_n(\mathbb{R})^N$  este vectorul tuturor celor  $N$  ponderi și bias-uri ale rețelei.

Dacă  $W_{jk}^l \in \mathcal{M}_n(\mathbb{R})$  reprezintă ponderea care leagă neuronul  $j$  din stratul  $l$  de neuronul  $k$  din stratul  $l-1$ , pentru orice  $l \in \{2, \dots, L\}$ , atunci putem defini *pasul de actualizare* al ponderii  $W_{jk}^l$  în epoca  $t$  ca fiind

$$\Delta W_{jk}^l(t) = W_{jk}^l(t+1) - W_{jk}^l(t).$$

Cu această notație, pentru *metoda gradient, regula de actualizare* pentru ponderea  $W_{jk}^l$  este

$$\Delta W_{jk}^l(t) = -\varepsilon \left( \frac{\partial E}{\partial [W_{jk}^l]_{ab}}(t) \right)_{1 \leq a, b \leq n},$$

unde  $\varepsilon$  este un număr real care reprezintă *rata de învățare*, și am notat cu  $\frac{\partial E}{\partial [W_{jk}^l]_{ab}}(t)$  derivata parțială a funcției  $E$  în funcție de fiecare componentă  $[W_{jk}^l]_{ab}$  a matricii  $W_{jk}^l$ , cu  $1 \leq a, b \leq n$ .

Sub formă vectorială, pasul de actualizare devine

$$\Delta \mathbf{W}(t) = \mathbf{W}(t+1) - \mathbf{W}(t),$$

unde  $\mathbf{W} \in \mathcal{M}_n(\mathbb{R})^N$  este vectorul celor  $N$  ponderi și bias-uri ale rețelei, definit mai sus. Regula de actualizare pentru metoda gradient se poate scrie acum

$$\Delta \mathbf{W}(t) = -\varepsilon \nabla E(t),$$

unde  $\nabla E(t) := \nabla E(\mathbf{W}(t)) \in \mathcal{M}_n(\mathbb{R})^N$ , este gradientul funcției  $E$ , ale cărui componente

$$\left( \frac{\partial E}{\partial [W_{jk}^l]_{ab}}(\mathbf{W}(t)) \right)_{1 \leq a, b \leq n},$$

au fost scrise prescurtat mai sus sub forma

$$\left( \frac{\partial E}{\partial [W_{jk}^l]_{ab}}(t) \right)_{1 \leq a, b \leq n}.$$

Prin urmare, pentru metoda gradient, avem nevoie să calculăm pe  $\nabla E$ , adică derivatele parțiale de forma  $\frac{\partial E}{\partial [W_{jk}^l]_{ab}}(t)$ , cu  $1 \leq a, b \leq n$ .

Începem prin a face următoarele notații

$$S_j^l = \sum_k W_{jk}^l X_k^{l-1}, \quad (5.3.2)$$

$$Y_j^l = G^l(S_j^l), \quad (5.3.3)$$

unde (5.3.2) denotă faptul că înmulțirea de la rețelele neuronale cu valori reale este înlocuită de înmulțirea între matrici,  $G^l$  este funcția de activare a stratului  $l \in \{2, \dots, L\}$ ,  $\mathbf{X}^1 = (X_k^1)_{1 \leq k \leq d} \in \mathcal{M}_n(\mathbb{R})^d$  sunt intrările rețelei, și avem că  $X_k^l = Y_k^l$ ,  $\forall l \in \{2, \dots, L-1\}$ ,  $\forall k$ .

Funcția de activare este considerată a fi definită pe componente. Un exemplu de funcție de activare este funcția tangentă hiperbolică pe componente definită, pentru

matricea  $\begin{pmatrix} a_{11} & a_{12} & a_{13} \\ a_{21} & a_{22} & a_{23} \\ a_{31} & a_{32} & a_{33} \end{pmatrix} \in \mathcal{M}_3(\mathbb{R})$ , prin

$$G \left( \begin{pmatrix} a_{11} & a_{12} & a_{13} \\ a_{21} & a_{22} & a_{23} \\ a_{31} & a_{32} & a_{33} \end{pmatrix} \right) = \begin{pmatrix} \tanh a_{11} & \tanh a_{12} & \tanh a_{13} \\ \tanh a_{21} & \tanh a_{22} & \tanh a_{23} \\ \tanh a_{31} & \tanh a_{32} & \tanh a_{33} \end{pmatrix}.$$

Vom începe cu actualizarea pentru ponderile dintre penultimul strat ascuns  $L-1$  și stratul de ieșire  $L$ , care se poate scrie

$$\Delta W_{jk}^L(t) = -\varepsilon \left( \frac{\partial E}{\partial [W_{jk}^L]_{ab}} \right)_{1 \leq a, b \leq n}.$$

Regula înlănțuirii, ne permite să scriem următorul set de relații:

$$\frac{\partial E}{\partial [W_{jk}^L]_{ab}} = \sum_{1 \leq c, d \leq n} \frac{\partial E}{\partial [S_j^L]_{cd}} \frac{\partial [S_j^L]_{cd}}{\partial [W_{jk}^L]_{ab}}, \quad (5.3.4)$$

pentru orice  $1 \leq a, b \leq n$ .

Vom începe cu derivata parțială  $\frac{\partial [S_j^L]_{cd}}{\partial [W_{jk}^L]_{ab}}$ . Pentru calculul acestei derivate, este nevoie de o formulă explicită pentru  $[S_j^L]_{cd}$ , care se poate deduce din (5.3.2):

$$[S_j^L]_{cd} = \sum_k \sum_{m=1}^n [W_{jk}^L]_{cm} [X_k^{L-1}]_{md}, \forall 1 \leq c, d \leq n.$$

Acum, se vede ușor că

$$\frac{\partial[S_j^L]_{cd}}{\partial[W_{jk}^L]_{ab}} = \begin{cases} [X_k^{L-1}]_{bd}, & \text{dacă } c = a \\ 0, & \text{dacă } c \neq a \end{cases},$$

de unde relația (5.3.4) se poate scrie astfel:

$$\frac{\partial E}{\partial[W_{jk}^L]_{ab}} = \sum_{d=1}^n \frac{\partial E}{\partial[S_j^L]_{ad}} [X_k^{L-1}]_{bd},$$

sau, echivalent

$$\frac{\partial E}{\partial[W_{jk}^L]_{ab}} = \sum_{1 \leq d \leq n} \frac{\partial E}{\partial[S_j^L]_{ad}} [(X_k^{L-1})^T]_{db}. \quad (5.3.5)$$

Mai departe, cu notația  $\Delta_j^L := \frac{\partial E}{\partial S_j^L}$ , avem din regula înlănțuirii că

$$[\Delta_j^L]_{cd} = \frac{\partial E}{\partial[S_j^L]_{cd}} = \sum_{1 \leq e, f \leq n} \frac{\partial E}{\partial[Y_j^L]_{ef}} \frac{\partial[Y_j^L]_{ef}}{\partial[S_j^L]_{cd}},$$

$\forall 1 \leq c, d \leq n$ , sau, ținând seama de (5.3.3) și de expresia pentru funcția de eroare (5.3.1), că

$$\begin{aligned} [\Delta_j^L]_{cd} &= \sum_{1 \leq e, f \leq n} ([Y_j^L]_{ef} - [T_j]_{ef}) \frac{\partial[G^L(S_j^L)]_{ef}}{\partial[S_j^L]_{cd}} \\ &= ([Y_j^L]_{cd} - [T_j]_{cd}) \frac{\partial[G^L(S_j^L)]_{cd}}{\partial[S_j^L]_{cd}}, \end{aligned}$$

$\forall 1 \leq c, d \leq n$ , deoarece  $[G^L(S_j^L)]_{ef}$  depinde de  $[S_j^L]_{cd}$  doar pentru  $e = c$  și  $f = d$ , ceea ce înseamnă că  $\frac{\partial[G^L(S_j^L)]_{ef}}{\partial[S_j^L]_{cd}} = 0, \forall (e, f) \neq (c, d)$ . Dacă notăm cu  $\odot$  înmulțirea pe componente a două matrici, relația de mai sus ne dă

$$\Delta_j^L = (Y_j^L - T_j) \odot \frac{\partial G^L(S_j^L)}{\partial S_j^L}, \quad (5.3.6)$$

unde  $\frac{\partial G^L(S_j^L)}{\partial S_j^L}$  reprezintă matricea derivatei pe componente a funcției de activare  $G^L$ .

De exemplu, dacă  $S = \begin{pmatrix} a_{11} & a_{12} & a_{13} \\ a_{21} & a_{22} & a_{23} \\ a_{31} & a_{32} & a_{33} \end{pmatrix} \in \mathcal{M}_3(\mathbb{R})$ , atunci

$$\frac{\partial G(S)}{\partial S} = \begin{pmatrix} \text{sech}^2 a_{11} & \text{sech}^2 a_{12} & \text{sech}^2 a_{13} \\ \text{sech}^2 a_{21} & \text{sech}^2 a_{22} & \text{sech}^2 a_{23} \\ \text{sech}^2 a_{31} & \text{sech}^2 a_{32} & \text{sech}^2 a_{33} \end{pmatrix},$$

cu funcția  $G$  definită ca în exemplul de mai sus. În fine, din ecuația (5.3.5), obținem actualizarea dorită:

$$\Delta W_{jk}^L(t) = -\varepsilon \Delta_j^L (X_k^{L-1})^T,$$



unde matricea  $\Delta_j^l \in \mathcal{M}_n(\mathbb{R})$  este dată de relația (5.3.6).

Acum, vom calcula actualizarea pentru o pondere arbitrară  $W_{jk}^l$ , unde  $l \in \{2, \dots, L-1\}$ . În primul rând, această pondere este

$$\Delta W_{jk}^l(t) = -\varepsilon \left( \frac{\partial E}{\partial [W_{jk}^l]_{ab}} \right)_{1 \leq a, b \leq n},$$

iar apoi, din regula înlănțuirii, avem că

$$\frac{\partial E}{\partial [W_{jk}^l]_{ab}} = \sum_{1 \leq c, d \leq n} \frac{\partial E}{\partial [S_j^l]_{cd}} \frac{\partial [S_j^l]_{cd}}{\partial [W_{jk}^l]_{ab}}, \forall 1 \leq a, b \leq n. \quad (5.3.7)$$

Aplicând din nou regula înlănțuirii, obținem că

$$\frac{\partial E}{\partial [S_j^l]_{cd}} = \sum_r \sum_{1 \leq e, f \leq n} \frac{\partial E}{\partial [S_r^{l+1}]_{ef}} \frac{\partial [S_r^{l+1}]_{ef}}{\partial [S_j^l]_{cd}}, \forall 1 \leq c, d \leq n, \quad (5.3.8)$$

unde suma se ia după toți neuronii  $r$  din stratul  $l+1$  către care neuronul  $j$  din stratul  $l$  trimite legături. Apoi avem

$$\frac{\partial [S_r^{l+1}]_{ef}}{\partial [S_j^l]_{cd}} = \sum_{1 \leq g, h \leq n} \frac{\partial [S_r^{l+1}]_{ef}}{\partial [Y_j^l]_{gh}} \frac{\partial [Y_j^l]_{gh}}{\partial [S_j^l]_{cd}},$$

$\forall 1 \leq c, d \leq n, \forall 1 \leq e, f \leq n$ . Din nou din (5.3.2), obținem

$$\frac{\partial [S_r^{l+1}]_{ef}}{\partial [Y_j^l]_{gh}} = \begin{cases} [W_{rj}^{l+1}]_{eg}, & \text{dacă } f = h \\ 0, & \text{dacă } f \neq h \end{cases},$$

și apoi

$$\frac{\partial [S_r^{l+1}]_{ef}}{\partial [S_j^l]_{cd}} = \sum_{g=1}^n [W_{rj}^{l+1}]_{eg} \frac{\partial [G^l(S_j^l)]_{gf}}{\partial [S_j^l]_{cd}},$$

$\forall 1 \leq c, d \leq n, \forall 1 \leq e, f \leq n$ , și revenind înapoi în ecuația (5.3.8), avem succesiv

$$\begin{aligned} \frac{\partial E}{\partial [S_j^l]_{cd}} &= \sum_r \sum_{1 \leq e, f \leq n} \frac{\partial E}{\partial [S_r^{l+1}]_{ef}} \sum_{g=1}^n [W_{rj}^{l+1}]_{eg} \frac{\partial [G^l(S_j^l)]_{gf}}{\partial [S_j^l]_{cd}} \\ &= \sum_r \sum_{1 \leq e, f, g \leq n} [W_{rj}^{l+1}]_{eg} \frac{\partial E}{\partial [S_r^{l+1}]_{ef}} \frac{\partial [G^l(S_j^l)]_{gf}}{\partial [S_j^l]_{cd}} \\ &= \sum_r \left( \sum_{e=1}^n [(W_{rj}^{l+1})^T]_{ce} \frac{\partial E}{\partial [S_r^{l+1}]_{ed}} \right) \frac{\partial [G^l(S_j^l)]_{cd}}{\partial [S_j^l]_{cd}} \\ &= \sum_r [(W_{rj}^{l+1})^T \Delta_r^{l+1}]_{cd} \frac{\partial [G^l(S_j^l)]_{cd}}{\partial [S_j^l]_{cd}}, \end{aligned}$$

$\forall 1 \leq c, d \leq n_l$ , unde din nou am ținut cont de faptul că  $\frac{\partial [G^l(S_j^l)]_{gf}}{\partial [S_j^l]_{cd}} = 0, \forall (g, f) \neq (c, d)$ .  
Acum, notând  $\Delta_j^l := \frac{\partial E}{\partial S_j^l}$ , putem scrie relația de mai sus sub forma

$$\Delta_j^l = \left( \sum_r (W_{rj}^{l+1})^T \Delta_r^{l+1} \right) \odot \frac{\partial G^l(S_j^l)}{\partial S_j^l}, \quad (5.3.9)$$

unde  $\odot$  este înmulțirea pe componente a două matrici.

Ținând cont că

$$\frac{\partial [S_j^l]_{cd}}{\partial [W_{jk}^l]_{ab}} = \begin{cases} [X_k^{l-1}]_{bd}, & \text{dacă } c = a \\ 0, & \text{dacă } c \neq a \end{cases}$$

relația (5.3.7) devine

$$\begin{aligned} \frac{\partial E}{\partial [W_{jk}^l]_{ab}} &= \sum_{d=1}^n \frac{\partial E}{\partial [S_j^l]_{ad}} [X_k^{l-1}]_{bd} \\ &= \sum_{d=1}^n \frac{\partial E}{\partial [S_j^l]_{ad}} [(X_k^{l-1})^T]_{db} \\ &= [\Delta_j^l (X_k^{l-1})^T]_{ab}, \forall 1 \leq a, b \leq n, \end{aligned}$$

unde am făcut notația  $\Delta_j^l := \frac{\partial E}{\partial S_j^l}$ , analog ca mai sus.

În final, a rezultat o formulă de calcul pentru actualizarea ponderii  $W_{jk}^l$  asemănătoare cu cea din primul caz tratat, și anume

$$\Delta W_{jk}^l(t) = -\varepsilon \Delta_j^l (X_k^{l-1})^T.$$

Pentru metoda gradient, avem, în concluzie, următoarea formulă de actualizare a ponderii  $W_{jk}^l$ :

$$\Delta W_{jk}^l(t) = -\varepsilon \Delta_j^l (X_k^{l-1})^T, \forall l \in \{2, \dots, L\},$$

unde

$$\Delta_j^l = \begin{cases} \left( \sum_r (W_{rj}^{l+1})^T \Delta_r^{l+1} \right) \odot \frac{\partial G^l(S_j^l)}{\partial S_j^l}, & l \leq L-1 \\ (Y_j^l - T_j) \odot \frac{\partial G^l(S_j^l)}{\partial S_j^l}, & l = L \end{cases}.$$

## 5.4 Rețele neuronale cu valori matrici antisimetrice

O generalizare diferită a rețelelor neuronale cu valori reale în domenii multidimensionale sunt *rețelele neuronale* care au intrări, ieșiri, ponderi și bias-uri dintr-o *algebră Lie*. Pentru că algebrele Lie pot avea orice dimensiune  $n$ , ele reprezintă de asemenea o alternativă la rețelele neuronale  $N$ -dimensionale discutate mai sus. Ținând cont de faptul că definiția lor vine din geometrie, și că au numeroase aplicații în fizică și inginerie (a se vedea [130, 74, 229]), și de asemenea de faptul că au fost folosite cu succes în domeniul computer vision în ultimii ani (pentru o trecere în revistă, a se vedea [269], și referințele de acolo), am considerat o idee promițătoare aceea de a defini rețele neuronale cu valori în algebre Lie.

Rețelele neuronale cu valori în algebre Lie ar putea avea aplicații interesante în computer vision și toate celelalte domenii care au legătură cu transformările geometrice ale obiectelor tridimensionale, dar ar putea de asemenea să aibă performanțe mai bune pe anumite probleme  $n$ -dimensionale decât soluțiile disponibile în acest moment.

O *algebră Lie* este un spațiu vectorial  $\mathfrak{g}$  peste un corp  $F$  împreună cu o operație  $[\cdot, \cdot] : \mathfrak{g} \times \mathfrak{g} \rightarrow \mathfrak{g}$  numită *paranteză Lie*, care satisface următoarele axiome:

- Este biliniară:  $[ax + by, z] = a[x, z] + b[y, z]$ ,  $[x, ay + bz] = a[x, y] + b[x, z]$ ,  $\forall a, b \in F$ ,  $\forall x, y, z \in \mathfrak{g}$ .
- Este antisimetrică:  $[x, x] = 0$ , ceea ce implică  $[x, y] = -[y, x]$ ,  $\forall x, y \in \mathfrak{g}$ .
- Satisface identitatea lui Jacobi:  $[x, [y, z]] + [y, [z, x]] + [z, [x, y]] = 0$ ,  $\forall x, y, z \in \mathfrak{g}$ .

Considerăm spațiul vectorial  $\mathfrak{so}(n)$  al matricilor pătratice antisimetrice de ordin  $n$ . Este ușor de verificat că operația dată prin

$$[A, B] := AB - BA, \forall A, B \in \mathfrak{so}(n),$$

satisface axiomele de mai sus, ceea ce înseamnă că  $\mathfrak{so}(n)$  este o algebră Lie, operația definită mai sus fiind paranteza sa Lie. Pentru ușurința expunerii, am decis să lucrăm doar cu această algebră Lie, dar generalizarea la o algebră Lie arbitrară este imediată.

În cele ce urmează vom introduce rețele neuronale cu valori în această algebră, ca în articolul nostru [218]. Să presupunem că avem o rețea neuronală cu valori din  $\mathfrak{so}(n)$  de tip feedforward, total conectată, care are  $L$  straturi, unde stratul 1 este stratul de intrare, stratul  $L$  este stratul de ieșire, iar straturile  $\{2, \dots, L-1\}$  sunt straturi ascunse. Funcția de eroare  $E : \mathfrak{so}(n)^N \rightarrow \mathbb{R}$  este dată prin următoarea expresie:

$$E(\mathbf{W}) = \frac{1}{2} \sum_{i=1}^c \|Y_i^L - T_i\|^2, \quad (5.4.1)$$

unde  $\|Y\|$  este norma Frobenius a matricii  $Y$ , definită prin  $\|Y\| := \sqrt{\text{Tr}(YY^T)}$ , și  $\text{Tr}(Y)$  este urma matricii  $Y$ .  $\mathbf{Y}^L = (Y_i^L)_{1 \leq i \leq c} \in \mathfrak{so}(n)^c$  reprezintă *ieșirile* rețelei,  $\mathbf{T} = (T_i)_{1 \leq i \leq c} \in \mathfrak{so}(n)^c$  reprezintă *ieșirile dorite* ale rețelei, iar  $\mathbf{W} \in \mathfrak{so}(n)^N$  este vectorul tuturor celor  $N$  ponderi și bias-uri ale rețelei, care este un vector ale cărui componente sunt matrici din  $\mathfrak{so}(n)$ .

Fie  $W_{jk}^l \in \mathfrak{so}(n)$  ponderea care leagă neuronul  $j$  din stratul  $l$  cu neuronul  $k$  din stratul  $l-1$ , pentru orice  $l \in \{2, \dots, L\}$ . Putem defini *pasul de actualizare* al ponderii  $W_{jk}^l$  în epoca  $t$  ca fiind

$$\Delta W_{jk}^l(t) = W_{jk}^l(t+1) - W_{jk}^l(t).$$

Cu această notație, metoda gradient are următoarea *regulă de actualizare* pentru ponderea  $W_{jk}^l \in \mathfrak{so}(n)$ :

$$\Delta W_{jk}^l(t) = -\varepsilon \left( \frac{\partial E}{\partial [W_{jk}^l]_{ab}}(t) \right)_{1 \leq a, b \leq n},$$

unde  $\varepsilon$  este un număr real reprezentând *rata de învățare*, și am notat cu  $\frac{\partial E}{\partial [W_{jk}^l]_{ab}}(t)$  derivata parțială a funcției de eroare  $E$  în raport cu fiecare element  $[W_{jk}^l]_{ab}$  al matricii  $W_{jk}^l \in \mathfrak{so}(n)$ , unde  $1 \leq a, b \leq n$ . Astfel, pentru a minimiza funcția  $E$ , trebuie să calculăm derivatele parțiale  $\frac{\partial E}{\partial [W_{jk}^l]_{ab}}(t)$ , cu  $1 \leq a, b \leq n$ .

Acum, facem următoarele notații

$$S_j^l = \sum_k [W_{jk}^l, X_k^{l-1}], \quad (5.4.2)$$

$$Y_j^l = G^l(S_j^l), \quad (5.4.3)$$

unde (5.4.2) înseamnă că înmulțirea din cazul rețelelor cu valori reale este înlocuită de paranteza Lie,  $G^l$  reprezintă funcția de activare a stratului  $l \in \{2, \dots, L\}$ ,  $\mathbf{X}^1 = (X_k^1)_{1 \leq k \leq d} \in \mathfrak{so}(n)^d$  sunt intrările rețelei, și avem că  $X_k^l = Y_k^l, \forall l \in \{2, \dots, L-1\}, \forall k$ .

Funcția de activare este considerată a fi definită pe componente. De exemplu, pentru matricea  $\begin{pmatrix} 0 & x & y \\ -x & 0 & z \\ -y & -z & 0 \end{pmatrix} \in \mathfrak{so}(3)$ , un exemplu de funcție de activare este funcția tangentă hiperbolică pe componente definită prin

$$G \left( \begin{pmatrix} 0 & x & y \\ -x & 0 & z \\ -y & -z & 0 \end{pmatrix} \right) = \begin{pmatrix} 0 & \tanh x & \tanh y \\ -\tanh x & 0 & \tanh z \\ -\tanh y & -\tanh z & 0 \end{pmatrix}.$$

Vom calcula mai întâi actualizarea pentru ponderile dintre stratul  $L-1$  și stratul de ieșire  $L$ , i.e.

$$\Delta W_{jk}^L(t) = -\varepsilon \left( \frac{\partial E}{\partial [W_{jk}^L]_{ab}} \right)_{1 \leq a, b \leq n}.$$

Folosind din nou regula înălțăturii, putem scrie următorul set de relații  $\forall 1 \leq a, b \leq n$ :

$$\frac{\partial E}{\partial [W_{jk}^L]_{ab}} = \sum_{1 \leq c, d \leq n} \frac{\partial E}{\partial [S_j^L]_{cd}} \frac{\partial [S_j^L]_{cd}}{\partial [W_{jk}^L]_{ab}}. \quad (5.4.4)$$

Ne vom ocupa mai întâi de  $\frac{\partial [S_j^L]_{cd}}{\partial [W_{jk}^L]_{ab}}$ . Pentru a calcula această derivată, avem nevoie de o formulă explicită pentru  $[S_j^L]_{cd}$ , care poate fi ușor dedusă din (5.4.2):

$$[S_j^L]_{cd} = \sum_k \sum_{m=1}^n [W_{jk}^L]_{cm} [X_k^{L-1}]_{md} - [X_k^{L-1}]_{cm} [W_{jk}^L]_{md},$$

$\forall 1 \leq c, d \leq n$ . Acum, se poate vedea ușor că

$$\frac{\partial [S_j^L]_{cd}}{\partial [W_{jk}^L]_{ab}} = \begin{cases} [X_k^{L-1}]_{bd}, & \text{dacă } c = a, d \neq b \\ -[X_k^{L-1}]_{ca}, & \text{dacă } c \neq a, d = b, \\ 0, & \text{altfel} \end{cases}$$

și relația (5.4.4) poate fi scrisă sub forma

$$\begin{aligned} \frac{\partial E}{\partial [W_{jk}^L]_{ab}} &= \sum_{d=1}^n \frac{\partial E}{\partial [S_j^L]_{ad}} [X_k^{L-1}]_{bd} \\ &\quad - \sum_{c=1}^n [X_k^{L-1}]_{ca} \frac{\partial E}{\partial [S_j^L]_{cb}}, \end{aligned}$$

sau, echivalent

$$\begin{aligned} \frac{\partial E}{\partial [W_{jk}^L]_{ab}} &= \sum_{d=1}^n \frac{\partial E}{\partial [S_j^L]_{ad}} [(X_k^{L-1})^T]_{db} \\ &- \sum_{c=1}^n [(X_k^{L-1})^T]_{ac} \frac{\partial E}{\partial [S_j^L]_{cb}}, \forall 1 \leq a, b \leq n. \end{aligned} \quad (5.4.5)$$

Mai departe, notând  $\Delta_j^L := \frac{\partial E}{\partial S_j^L}$ , avem din regula înălțurii că

$$[\Delta_j^L]_{cd} = \frac{\partial E}{\partial [S_j^L]_{cd}} = \sum_{1 \leq e, f \leq n} \frac{\partial E}{\partial [Y_j^L]_{ef}} \frac{\partial [Y_j^L]_{ef}}{\partial [S_j^L]_{cd}},$$

$\forall 1 \leq c, d \leq n$ . Ținând cont de notația (5.4.3), și de expresia funcției de eroare dată în (5.4.1), avem că

$$\begin{aligned} [\Delta_j^L]_{cd} &= \sum_{1 \leq e, f \leq n} ([Y_j^L]_{ef} - [T_j]_{ef}) \frac{\partial [G^L(S_j^L)]_{ef}}{\partial [S_j^L]_{cd}} \\ &= ([Y_j^L]_{cd} - [T_j]_{cd}) \frac{\partial [G^L(S_j^L)]_{cd}}{\partial [S_j^L]_{cd}}, \end{aligned}$$

$\forall 1 \leq c, d \leq n$ , deoarece  $[G^L(S_j^L)]_{ef}$  depinde de  $[S_j^L]_{cd}$  doar pentru  $e = c$  și  $f = d$ , ceea ce înseamnă că  $\frac{\partial [G^L(S_j^L)]_{ef}}{\partial [S_j^L]_{cd}} = 0, \forall (e, f) \neq (c, d)$ . Dacă notăm cu  $\odot$  înmulțirea pe componente a două matrici, relația de mai sus ne dă următoarea expresie pentru  $\Delta_j^L$ :

$$\Delta_j^L = (Y_j^L - T_j) \odot \frac{\partial G^L(S_j^L)}{\partial S_j^L}, \quad (5.4.6)$$

unde  $\frac{\partial G^L(S_j^L)}{\partial S_j^L}$  reprezintă matricea derivatelor pe componente ale funcției de activare

$G^L$ . De exemplu, dacă  $S = \begin{pmatrix} 0 & x & y \\ -x & 0 & z \\ -y & -z & 0 \end{pmatrix} \in \mathfrak{so}(3)$ , atunci

$$\frac{\partial G(S)}{\partial S} = \begin{pmatrix} 0 & \operatorname{sech}^2 x & \operatorname{sech}^2 y \\ -\operatorname{sech}^2 x & 0 & \operatorname{sech}^2 z \\ -\operatorname{sech}^2 y & -\operatorname{sech}^2 z & 0 \end{pmatrix},$$

cu funcția  $G$  definită ca în exemplul de mai sus.

În fine, obținem expresia pentru actualizarea dorită sub forma

$$\Delta W_{jk}^L(t) = -\varepsilon [\Delta_j^L, (X_k^{L-1})^T],$$

unde matricea  $\Delta_j^L \in \mathfrak{so}(n)$  este dată de relația (5.4.6).

Acum, vom calcula actualizarea pentru o pondere arbitrară  $W_{jk}^l$ , unde  $l \in \{2, \dots, L-1\}$ . În primul rând, putem scrie că

$$\Delta W_{jk}^l(t) = -\varepsilon \left( \frac{\partial E}{\partial [W_{jk}^l]_{ab}} \right)_{1 \leq a, b \leq n},$$

și apoi, din regula înlănțuirii, avem că

$$\frac{\partial E}{\partial [W_{jk}^l]_{ab}} = \sum_{1 \leq c, d \leq n} \frac{\partial E}{\partial [S_j^l]_{cd}} \frac{\partial [S_j^l]_{cd}}{\partial [W_{jk}^l]_{ab}}. \quad (5.4.7)$$

$\forall 1 \leq a, b \leq n$ . Aplicând regula înlănțuirii din nou, obținem că

$$\frac{\partial E}{\partial [S_j^l]_{cd}} = \sum_r \sum_{1 \leq e, f \leq n} \frac{\partial E}{\partial [S_r^{l+1}]_{ef}} \frac{\partial [S_r^{l+1}]_{ef}}{\partial [S_j^l]_{cd}}, \quad (5.4.8)$$

$\forall 1 \leq c, d \leq n$ , unde suma este luată după toți neuronii  $r$  din stratul  $l + 1$  către care neuronul  $j$  din stratul  $l$  trimite conexiuni. Avem mai departe că

$$\frac{\partial [S_r^{l+1}]_{ef}}{\partial [S_j^l]_{cd}} = \sum_{1 \leq g, h \leq n} \frac{\partial [S_r^{l+1}]_{ef}}{\partial [Y_j^l]_{gh}} \frac{\partial [Y_j^l]_{gh}}{\partial [S_j^l]_{cd}},$$

$\forall 1 \leq c, d \leq n, \forall 1 \leq e, f \leq n$ . Din nou din (5.4.2), putem să calculăm

$$\frac{\partial [S_r^{l+1}]_{ef}}{\partial [Y_j^l]_{gh}} = \begin{cases} [W_{rj}^{l+1}]_{eg}, & \text{dacă } f = h, e \neq g \\ -[W_{rj}^{l+1}]_{hf}, & \text{dacă } f \neq h, e = g, \\ 0, & \text{altfel} \end{cases}$$

și atunci

$$\begin{aligned} \frac{\partial [S_r^{l+1}]_{ef}}{\partial [S_j^l]_{cd}} &= \sum_{g=1}^n [W_{rj}^{l+1}]_{eg} \frac{\partial [G^l(S_j^l)]_{gf}}{\partial [S_j^l]_{cd}} \\ &\quad - \sum_{h=1}^n [W_{rj}^{l+1}]_{hf} \frac{\partial [G^l(S_j^l)]_{eh}}{\partial [S_j^l]_{cd}}, \end{aligned}$$

$\forall 1 \leq c, d \leq n, \forall 1 \leq e, f \leq n$ . Acum, revenind la ecuația (5.4.8), și punând totul împreună, avem că

$$\begin{aligned}
\frac{\partial E}{\partial [S_j^l]_{cd}} &= \sum_r \sum_{1 \leq e, f \leq n} \frac{\partial E}{\partial [S_r^{l+1}]_{ef}} \sum_{g=1}^n [W_{rj}^{l+1}]_{eg} \frac{\partial [G^l(S_j^l)]_{gf}}{\partial [S_j^l]_{cd}} \\
&- \sum_r \sum_{1 \leq e, f \leq n} \frac{\partial E}{\partial [S_r^{l+1}]_{ef}} \sum_{h=1}^n [W_{rj}^{l+1}]_{hf} \frac{\partial [G^l(S_j^l)]_{eh}}{\partial [S_j^l]_{cd}} \\
&= \sum_r \sum_{1 \leq e, f, g \leq n} [W_{rj}^{l+1}]_{eg} \frac{\partial E}{\partial [S_r^{l+1}]_{ef}} \frac{\partial [G^l(S_j^l)]_{gf}}{\partial [S_j^l]_{cd}} \\
&- \sum_r \sum_{1 \leq e, f, h \leq n} \frac{\partial E}{\partial [S_r^{l+1}]_{ef}} [W_{rj}^{l+1}]_{hf} \frac{\partial [G^l(S_j^l)]_{eh}}{\partial [S_j^l]_{cd}} \\
&= \sum_r \left( \sum_{e=1}^n [(W_{rj}^{l+1})^T]_{ce} \frac{\partial E}{\partial [S_r^{l+1}]_{ed}} \right) \frac{\partial [G^l(S_j^l)]_{cd}}{\partial [S_j^l]_{cd}} \\
&- \sum_r \left( \sum_{f=1}^n \frac{\partial E}{\partial [S_r^{l+1}]_{cf}} [(W_{rj}^{l+1})^T]_{fd} \right) \frac{\partial [G^l(S_j^l)]_{cd}}{\partial [S_j^l]_{cd}} \\
&= \sum_r [(W_{rj}^{l+1})^T, \Delta_r^{l+1}]_{cd} \frac{\partial [G^l(S_j^l)]_{cd}}{\partial [S_j^l]_{cd}},
\end{aligned}$$

$\forall 1 \leq c, d \leq n$ , unde din nou am ținut cont de faptul că  $\frac{\partial [G^l(S_j^l)]_{ef}}{\partial [S_j^l]_{cd}} = 0, \forall (e, f) \neq (c, d)$ .

Acum, notând  $\Delta_j^l := \frac{\partial E}{\partial S_j^l}$ , putem scrie relația de mai sus sub forma

$$\Delta_j^l = \left( \sum_r [(W_{rj}^{l+1})^T, \Delta_r^{l+1}] \right) \odot \frac{\partial G^l(S_j^l)}{\partial S_j^l}, \quad (5.4.9)$$

unde prin  $\odot$  am notat înmulțirea pe componente a două matrici.

În final, ținând cont de faptul că

$$\frac{\partial [S_j^l]_{cd}}{\partial [W_{jk}^l]_{ab}} = \begin{cases} [X_k^{l-1}]_{bd}, & \text{dacă } c = a, d \neq b \\ -[X_k^{l-1}]_{ca}, & \text{dacă } c \neq a, d = b, \\ 0 & \text{altfel} \end{cases}$$

relația (5.4.7) devine

$$\begin{aligned}
\frac{\partial E}{\partial [W_{jk}^L]_{ab}} &= \sum_{d=1}^n \frac{\partial E}{\partial [S_j^L]_{ad}} [X_k^{L-1}]_{bd} \\
&\quad - \sum_{c=1}^n [X_k^{L-1}]_{ca} \frac{\partial E}{\partial [S_j^L]_{cb}} \\
&= \sum_{d=1}^n \frac{\partial E}{\partial [S_j^L]_{ad}} [(X_k^{L-1})^T]_{db} \\
&\quad - \sum_{c=1}^n [(X_k^{L-1})^T]_{ac} \frac{\partial E}{\partial [S_j^L]_{cb}} \\
&= [\Delta_j^L, (X_k^{L-1})^T]_{ab},
\end{aligned}$$

$\forall 1 \leq a, b \leq n$ . Relația de mai sus poate fi scrisă în formă matricială în modul următor:

$$\Delta W_{jk}^L(t) = -\varepsilon [\Delta_j^L, (X_k^{L-1})^T],$$

care este asemănătoare cu formula pe care am obținut-o pentru stratul de ieșire  $L$ .

În concluzie, avem următoarea formulă pentru actualizarea ponderii  $W_{jk}^l$ :

$$\Delta W_{jk}^l(t) = -\varepsilon [\Delta_j^l, (X_k^{l-1})^T], \forall l \in \{2, \dots, L\},$$

unde

$$\Delta_j^l = \begin{cases} (\sum_r [(W_{rj}^{l+1})^T, \Delta_r^{l+1}]) \odot \frac{\partial G^l(S_j^l)}{\partial S_j^l}, & l \leq L-1 \\ (Y_j^l - T_j) \odot \frac{\partial G^l(S_j^l)}{\partial S_j^l}, & l = L \end{cases}.$$

## 5.5 Medierea matricilor ortogonale

### 5.5.1 Introducere

Această secțiune este structurată după cum urmează. După prezentarea contextului, facem o prezentare detaliată a *algoritmului de încorporare*, sau *embedding algorithm*, cum a fost numit în articolul nostru [41]. Apoi prezentăm aplicarea acestui algoritm asupra grupului special ortogonal  $SO(3)$ , prin scufundare în  $\mathbb{R}^4$ , ca în articolul [41]. După aceea, aplicăm algoritmul grupului special ortogonal  $SO(n)$ , această aplicație apărând aici pentru prima dată.

O problemă des întâlnită în aplicații este de a găsi media unui set de puncte aparținând unei varietăți diferențiabile  $N$ . Mai precis, fie  $\{y_1, y_2, \dots, y_m\} \subset N$  o mulțime finită de puncte și  $G_N : N \rightarrow \mathbb{R}$  o funcție cost. Atunci media este definită ca fiind

$$\arg \min_{y \in N} G(y).$$

Un interes deosebit îl prezintă funcțiile cost de tip cele mai mici pătrate

$$G_N(y) = \sum_{i=1}^m d^2(y, y_i),$$



unde  $d$  este o funcție distanță pe  $N$ . Media punctelor  $\{y_1, y_2, \dots, y_m\}$  pe varietatea  $N$  este mulțimea definită prin

$$\arg \min_{y \in N} \sum_{i=1}^m d^2(y, y_i).$$

Când funcția  $G_N$  este diferențiabilă, aceasta este echivalent cu rezolvarea ecuației  $dG_N(y) = 0$  și testarea pentru care soluții se obține valoarea minimă. Scrierea acestei ecuații implică o cunoaștere a unui sistem local de coordonate pe varietatea  $N$ , o cerință care poate fi dificil de satisfăcut în multe situații practice. O altă problemă care poate apărea în această abordare a problemei este aceea că punctele  $\{y_1, y_2, \dots, y_m\}$  pot să nu aparțină toate domeniului unui singur sistem local de coordonate. O modalitate de a scăpa de aceste probleme este de a rezolva problema pe o varietate mai simplă  $S$ .

Fie  $\mathbf{P} : S \rightarrow N$  o submersie surjectivă. Funcția cost liftată  $G_S : S \rightarrow \mathbb{R}$  este definită prin  $G_S = G_N \circ \mathbf{P}$ . Egalitatea de mulțimi  $\mathbf{P}(\{x \in S \mid dG_S(x) = 0\}) = \{y \in N \mid dG_N(y) = 0\}$  arată că este suficient să rezolvăm ecuația  $dG_S(x) = 0$  pe varietatea mai simplă  $S$  și să proiectăm aceste soluții pe varietatea  $N$ .

O modalitate de a rezolva această problemă este de a înzestra  $S$  cu o metrică riemanniană  $\tau$ , a calcula punctele critice ale câmpului de vectori  $\nabla_{\tau} G_S$  și a găsi care sunt minimele locale sau globale. Observăm că dacă  $x_0 \in S$  este un punct critic pentru  $\nabla_{\tau} G_S$ , atunci este un punct critic și pentru  $\nabla_{\tau'} G_S$ , unde  $\tau'$  este orice altă metrică riemanniană pe  $S$ . Deși varietatea  $S$  s-ar putea să aibă o structură geometrică mai simplă decât varietatea inițială  $N$ , totuși avem nevoie de un sistem de coordonate locale pentru a putea calcula punctele critice ale funcției  $G_S$ , a se vedea [1], [2], [79], [83], [177], [227]. Pentru a evita utilizarea coordonatelor locale, vom scufunda  $S$  într-un spațiu mai mare  $M$ . O teoremă a lui Whitney ne garantează că această scufundare se poate întotdeauna face, cu  $M$  spațiu euclidian.

În cele ce urmează, vom prezenta o soluție pentru găsirea punctelor critice ale funcției cost liftate  $G_S$  prin construirea unui câmp de vectori pe spațiul ambient  $M$  (de obicei un spațiu euclidian)  $\mathbf{v}_0 \in \mathcal{X}(M)$ , care este tangent subvarietății  $S$  și construirea unei metrici riemanniene  $\tau$  pe  $S$  astfel încât  $\mathbf{v}_0|_S = \nabla_{\tau} G_S$ . Prin urmare, punctele critice ale câmpului de vectori  $\mathbf{v}_0$  (care este de obicei scris în coordonate euclidiene) care aparțin lui  $S$  sunt puncte critice ale funcției de cost liftate  $G_S$  iar proiecțiile lor prin submersia surjectivă  $\mathbf{P}$  dau punctele critice ale funcției de cost inițiale  $G_N$ . Această construcție va fi ilustrată în detaliu pentru problema de mediere pe grupul Lie  $SO(3)$  asociat cu patru funcții de cost diferite. Printre aceste funcții vom studia funcțiile de cost de tip  $L^p$ . Vom analiza și compara problemele de mediere pentru cazurile  $L^2$  și  $L^4$ . Cazul  $L^2$  a fost studiat în literatură. Vom arăta că în cazul  $L^4$  anumite aspecte importante diferă față de cazul  $L^2$ .

În literatură, problema medierii pe grupuri Lie este adesea rezolvată folosind aplicația exponențială ca o unealtă de a introduce coordonate locale și a lifta astfel problema pe spațiul tangent, a se vedea [2], [22], [83], [84], [100], [213]. Această metodă poate fi generalizată în contextul varietăților riemanniene deoarece și acolo există o aplicație exponențială. Aplicația exponențială poate fi mai departe înlocuită cu noțiunea de retractă dezvoltată în [2], [3], [82]. Problemele de mediere vin din aplicații din viața reală și au fost studiate în [1], [2], [111], [227], [243], [262], folosind noțiunile de derivată covariantă și geometria geodezicilor pe diferite varietăți riemanniene. În această teză vom propune un algoritm diferit pentru rezolvarea problemei medierii pe varietăți diferențiabile generale.

Alte funcții de cost interesante sunt cele care provin din problema Fermat-Torricelli. Această problemă de mediere a fost studiată pe diferite spații, a se vedea [77], [78],

[108], [207], și ar fi de interes aplicarea tehnicilor dezvoltate în această teză unor astfel de probleme.

### 5.5.2 Medierea pe o varietate riemanniană

Vom rezolva problema de mediere prezentată în Introducere prin scufundarea varietății  $S$  ca o subvarietate a varietății riemanniene  $(M, g)$ . Mai mult, vom presupune în continuare că  $S$  este preimaginea unei valori regulate pentru o funcție netedă  $\mathbf{F} := (F_1, \dots, F_k) : M \rightarrow \mathbb{R}^k$ , adică  $S = \mathbf{F}^{-1}(c)$ , pentru  $c$  o valoare regulată a lui  $\mathbf{F}$ .

După cum deja am menționat, abordarea constă în găsirea unei metrici riemanniene  $\tau$  pe subvarietatea  $S$  și un câmp de vectori  $\mathbf{v}_0 \in \mathcal{X}(M)$  astfel încât

$$\mathbf{v}_0|_S = \nabla_\tau G_S. \quad (5.5.1)$$

Prin urmare, problema inițială este echivalentă cu găsirea punctelor critice ale câmpului de vectori  $\mathbf{v}_0$ , care este definit pe spațiul ambient  $M$ , și alegerea acelor care aparțin lui  $S$ .

În cele ce urmează, vom prezenta construcția câmpului de vectori de control standard  $\mathbf{v}_0$ . Fie  $(M, g)$  o varietate riemanniană  $n$  dimensională și  $F_1, \dots, F_k, G : M \rightarrow \mathbb{R}$   $k + 1$  funcții netede. Câmpul de vectori de control standard este definit prin

$$\mathbf{v}_0 = \sum_{i=1}^k (-1)^{i+k+1} \det \Sigma_{(F_1, \dots, \hat{F}_i, \dots, F_k, G)}^{(F_1, \dots, F_k, G)} \nabla F_i + \det \Sigma_{(F_1, \dots, F_k)}^{(F_1, \dots, F_k)} \nabla G, \quad (5.5.2)$$

unde  $\hat{\phantom{x}}$  reprezintă un termen lipsă, iar  $\Sigma_{(g_1, \dots, g_s)}^{(f_1, \dots, f_r)}$  reprezintă matricea Gram de dimensiune  $r \times s$ :

$$\Sigma_{(g_1, \dots, g_s)}^{(f_1, \dots, f_r)} = \begin{pmatrix} \langle \nabla g_1, \nabla f_1 \rangle & \dots & \langle \nabla g_s, \nabla f_1 \rangle \\ \dots & \dots & \dots \\ \langle \nabla g_1, \nabla f_r \rangle & \dots & \langle \nabla g_s, \nabla f_r \rangle \end{pmatrix}, \quad (5.5.3)$$

generată de funcțiile netede  $f_1, \dots, f_r, g_1, \dots, g_s : M \rightarrow \mathbb{R}$ .

Câmpul de vectori  $\mathbf{v}_0$  conservă foile regulate ale funcției  $\mathbf{F} := (F_1, \dots, F_k) : M \rightarrow \mathbb{R}^k$  și disipă funcția  $G$ , mai precis derivata funcției  $G$  de-a lungul câmpului de vectori  $\mathbf{v}_0$  este dat de derivata Lie  $\mathcal{L}_{\mathbf{v}_0} G = \det \Sigma_{(F_1, \dots, F_k, G)}^{(F_1, \dots, F_k, G)} \geq 0$ .

Vom descrie în continuare geometria câmpului de vectori de control standard. Fie  $\Omega^1(M)$  spațiul vectorial real al 1-formelor diferențiale pe varietatea  $M$ . Fie  $\mathbf{T} : \Omega^1(M) \times \Omega^1(M) \rightarrow \mathbb{R}$  2-tensorul simetric contravariant degenerat dat de

$$\mathbf{T} := \sum_{i,j=1}^k (-1)^{i+j+1} \det \Sigma_{(F_1, \dots, \hat{F}_j, \dots, F_k)}^{(F_1, \dots, \hat{F}_i, \dots, F_k)} \nabla F_i \otimes \nabla F_j + \det \Sigma_{(F_1, \dots, F_k)}^{(F_1, \dots, F_k)} g^{-1}. \quad (5.5.4)$$

unde  $g^{-1}$  este 2-tensorul cometric  $g^{-1}(x) = g^{pq}(x) \frac{\partial}{\partial x^p} \otimes \frac{\partial}{\partial x^q}$  construit din tensorul metric  $g$  și 2-tensorul contravariant  $\nabla F_i \otimes \nabla F_j : \Omega^1(M) \times \Omega^1(M) \rightarrow \mathbb{R}$  este definit de formula

$$\nabla F_i \otimes \nabla F_j (\alpha, \beta) := \alpha(\nabla F_i) \beta(\nabla F_j).$$

În geometria riemanniană, câmpul de vectori gradient al unei funcții netede  $G$  poate fi definit prin formula  $\nabla G = \mathbf{i}_{dG} g^{-1}$ , unde prin  $\mathbf{i}$  am notat produsul interior definit prin  $\mathbf{i}_{dG} g^{-1}(\alpha) := g^{-1}(dG, \alpha)$ ,  $\forall \alpha \in \Omega^1(M)$ . Următorul rezultat arată că  $\mathbf{v}_0$  arată ca un câmp de vectori gradient al funcției  $G$ , în funcție de 2-tensorul simetric contravariant degenerat  $\mathbf{T}$ .

**Teorema 2.** [40] Pe varietatea riemanniană  $(M, g)$  câmpul de vectori de control standard  $\mathbf{v}_0$  este dat de următoarea formulă:

$$\mathbf{v}_0 = \mathbf{i}_{dG}(\mathbf{T}).$$

Din teorema de mai sus, a calcula punctele critice ale lui  $\mathbf{v}_0$  (care este scris în coordonate locale pe  $M$ ) care aparțin de asemenea lui  $S$  este echivalent cu a rezolva următorul sistem de  $n + k$  ecuații pe  $M$

$$\mathbf{v}_0(x) = \begin{bmatrix} \mathbf{T}^{11}(x) & \dots & \mathbf{T}^{1n}(x) \\ \vdots & \dots & \vdots \\ \mathbf{T}^{n1}(x) & \dots & \mathbf{T}^{nn}(x) \end{bmatrix} \begin{bmatrix} \frac{\partial G}{\partial x^1}(x) \\ \vdots \\ \frac{\partial G}{\partial x^n}(x) \end{bmatrix}, \quad (5.5.5)$$

unde  $\mathbf{T} = \mathbf{T}^{pq} \frac{\partial}{\partial x^p} \otimes \frac{\partial}{\partial x^q}$  și  $dG = \frac{\partial G}{\partial x^i} dx^i$ . În general, un sistem de  $n + k$  ecuații cu  $n$  necunoscute poate să nu aibă soluții. Dar sistemul de mai sus care are  $n$  necunoscute, și anume coordonatele lui  $x$  în  $M$ , are exact  $n$  ecuații funcțional independente datorită faptului că rangul tensorului  $\mathbf{T}$  este  $n - k$ , pentru fiecare punct regulat din mulțimea deschisă în  $M$  a punctelor regulate ale lui  $\mathbf{F}$  (rangul tensorului  $\mathbf{T}$  este  $m - k$  în fiecare punct  $x \in M$  unde  $\nabla F_1(x), \dots, \nabla F_k(x)$  sunt liniar independenți, a se vedea Secțiunea 4 din [40]).

Câmpul de vectori de control standard  $\mathbf{v}_0$  este tangent la fiecare foaie regulată și în continuare îi vom prezenta geometria când este restricționat la o foaie regulată. Fie  $i_c : L_c \rightarrow M$  incluziunea canonică a foii regulate  $L_c$  în varietatea  $M$ . 2-tensorul simetric contravariant  $\mathbf{T}$  este nedegenerat atunci când este restricționat la o foaie regulată  $L_c$  și prin urmare restricția poate fi inversată, generând, după cum se poate vedea în [40], metrica riemanniană  $\tau_c : \mathcal{X}(L_c) \times \mathcal{X}(L_c) \rightarrow \mathcal{C}^\infty(L_c)$  definită prin

$$\tau_c(X^c, Y^c) := \mathbf{T}^{-1}(i_{c*}X^c, i_{c*}Y^c),$$

unde  $(i_c)_* : \mathcal{X}(L_c) \rightarrow \mathcal{X}(M)$  este aplicația push-forward.

**Teorema 3.** [40] Pe o foaie regulată  $L_c$  avem următoarele caracterizări

$$(i) \quad \tau_c = \frac{1}{\det \Sigma_{(F_1, \dots, F_k)}^{(F_1, \dots, F_k)}} i_c^* g$$

$$(ii) \quad \mathbf{v}_0|_{L_c} = i_{c*} \nabla_{\tau_c} (G \circ i_c).$$

Teorema de mai sus arată că tensorul  $\mathbf{T}$  induce o metrică riemanniană pe fiecare foaie regulată  $L_c$  care este prima formă fundamentală a subvarietății  $L_c \subset (M, g)$  înmulțită cu o funcție pozitivă. Câmpul de vectori  $\mathbf{v}_0$  este tangent la subvarietatea  $L_c$  și restricția este egală cu câmpul de vectori gradient al funcției restricționate  $G|_{L_c}$  în funcție de metrica  $\tau_c$ . Cum  $S$  este o astfel de foaie regulată, metrica riemanniană pe  $S$  este  $\tau = \tau_{c_0}$  și teorema de mai sus arată că egalitatea (5.5.1) are loc, unde  $G_S = G|_S$ .

În concluzie, pentru a rezolva problema noastră de mediere pe varietatea  $N$  care are asociată o funcție de cost  $G_N$ , folosind câmpul de vectori de control standard, aplicăm următorul **algoritm de încorporare** (embedding algorithm):

- (i) Alegem un cadrul geometric constituit de varietatea  $S$  și o submersie surjectivă  $\mathbf{P} : S \rightarrow N$  și construim funcția de cost liftată  $G_S = G_N \circ \mathbf{P}$ .

- (ii) Găsim un spațiu ambient o varietate riemanniană  $(M, g)$  și o funcție diferențiabilă  $F : M \rightarrow \mathbb{R}^k$  astfel încât  $S = F^{-1}(c)$ , unde  $c$  este o valoare regulată a lui  $F$ . Construim 2-tensorul simetric contravariant  $\mathbf{T}$ .
- (iii) Găsim o funcție  $G : M \rightarrow \mathbb{R}$  astfel încât  $G|_S = G_S$  și construim câmpul de vectori de control standard  $\mathbf{v}_0$  cu datele inițiale  $\mathbf{F}, G$ .
- (iv) Rezolvăm sistemul  $\mathbf{v}_0|_S(x) = 0$  (mai precis sistemul (5.5.5)), care este echivalent cu găsirea punctelor critice ale funcției de cost liftate  $G_S$ . Proiectăm prin  $\mathbf{P}$  aceste soluții, găsind astfel punctele critice ale funcției de cost originale  $G_N$ .
- (v) Găsim acele puncte critice care sunt minime locale sau globale pentru funcția de cost  $G_N$ .

În cazul în care  $N$  poate fi scrisă ca preimaginea unei valori regulate a unei funcții netede  $F$ , atunci pasul (i) nu mai este necesar ( $S = N$  și  $\mathbf{P}$  este identitatea).

În cazul în care  $\mathbf{P}_*\mathbf{v}_0|_S$  este un câmp de vectori pe varietatea  $N$ , atunci avem incluziunea de mulțimi  $\mathbf{P}(\{x \in S | \mathbf{v}_0|_S(x) = 0\}) \subset \{y \in N | \mathbf{P}_*\mathbf{v}_0|_S(y) = 0\}$ . Dacă  $\mathbf{P}$  este de asemenea un difeomorfism local obținem egalitate în incluziunea de mulțimi de mai sus și prin urmare punctele critice ale funcției de cost  $G_N$  sunt caracterizate prin ecuația  $\mathbf{P}_*\mathbf{v}_0|_S(y) = 0$ . În acest caz particular, pasul (iv) poate fi înlocuit prin

- (iv') Presupunem că  $\mathbf{P}_*\mathbf{v}_0|_S \in \mathcal{X}(N)$  iar  $\mathbf{P}$  este un difeomorfism local, atunci rezolvăm ecuația  $\mathbf{P}_*\mathbf{v}_0|_S(y) = 0$  (soluțiile sunt puncte critice pentru funcția de cost  $G_N$ ).

Pentru rezolvarea punctului (v) putem studia derivatele de ordinul doi ale funcției de cost  $G_N$  (a se vedea [79], [111], [177]) sau să studiem proprietățile de convexitate ale funcțiilor de cost ca în [108].

### 5.5.3 Medierea pe $SO(3)$

O problemă frecvent întâlnită în practică este de a găsi o rotație care este media unei mulțimi finite de rotații în spațiul tridimensional. Grupul special al rotațiilor  $SO(3)$  nu este un spațiu euclidian, dar este o varietate diferențiabilă. Prin urmare, o problemă de mediere pe un astfel de spațiu trebuie considerată pe tărâmul geometriei diferențiale. Vom discuta scufundarea lui  $SO(3)$  în spațiul euclidian  $\mathbb{R}^4$ .

Grupul ortogonal special  $SO(3)$  poate fi identificat cu ajutorul unei funcții de acoperire dublă cu sfera  $S^3$  din  $\mathbb{R}^4$ , a se vedea [10], [240]. Varietatea noastră  $S$  va fi  $S^3$  și spațiul ambient  $(M, g)$  va fi spațiul euclidian  $\mathbb{R}^4$ . Vom lua diferite funcții distanță pe  $SO(3)$  care vor genera diferite funcții de cost și vom rezolva problemele de mediere asociate, după cum am arătat în subsecțiunea anterioară.

Cuaternionii unitate  $\mathbf{q} = (q^1, q^2, q^3, q^4) \in S^3 \subset \mathbb{R}^4$  și  $-\mathbf{q} \in S^3 \subset \mathbb{R}^4$  corespund următoarei rotații din  $SO(3)$ :

$$\mathbf{R}^{\mathbf{q}} = \begin{pmatrix} (q^0)^2 + (q^1)^2 + (q^2)^2 + (q^3)^2 & 2(q^1q^2 - q^0q^3) & 2(q^1q^3 + q^0q^2) \\ 2(q^1q^2 + q^0q^3) & (q^0)^2 - (q^1)^2 + (q^2)^2 - (q^3)^2 & 2(q^2q^3 - q^0q^1) \\ 2(q^1q^3 - q^0q^2) & 2(q^2q^3 + q^0q^1) & (q^0)^2 - (q^1)^2 - (q^2)^2 + (q^3)^2 \end{pmatrix}.$$

Aceasta generează proiecția de acoperire cu două foi  $\mathbf{P} : S^3 \rightarrow SO(3)$ ,  $\mathbf{P}(\mathbf{q}) = \mathbf{R}^{\mathbf{q}}$ . Proiecția de acoperire este un difeomorfism local, și prin urmare, în loc să lucrăm cu funcția distanță (și funcția cost) pe  $SO(3)$ , vom lucra cu funcții de cost pe sfera unitate  $S^3 \subset \mathbb{R}^4$ , după cum am explicat în subsecțiunea anterioară. În acest caz, avem că  $S^3 = F^{-1}(1)$ , unde  $F : \mathbb{R}^4 \rightarrow \mathbb{R}$ ,  $F(\mathbf{q}) = (q^0)^2 + (q^1)^2 + (q^2)^2 + (q^3)^2$  și tensorul  $\mathbf{T}$  este dat de formula  $\mathbf{T} = -\nabla F \otimes \nabla F + \|\nabla F\|^2 g^{-1}$ , unde  $g$  este metrica euclidiană pe  $\mathbb{R}^4$ . Scriind explicit, matricea asociată 2-tensorului simetric contravariant  $\mathbf{T}$  este dată de:

$$\mathbf{T}(\mathbf{q}) = 4 \begin{pmatrix} (q^1)^2 + (q^2)^2 + (q^3)^2 & -q^0 q^1 & -q^0 q^2 & -q^0 q^3 \\ -q^1 q^0 & (q^0)^2 + (q^2)^2 + (q^3)^2 & -q^1 q^2 & -q^1 q^3 \\ -q^2 q^0 & -q^2 q^1 & (q^0)^2 + (q^1)^2 + (q^3)^2 & -q^2 q^3 \\ -q^3 q^0 & -q^3 q^1 & -q^3 q^2 & (q^0)^2 + (q^1)^2 + (q^2)^2 \end{pmatrix}.$$

Dacă  $\omega(\mathbf{q}) = \omega_0(\mathbf{q})dq^0 + \omega_1(\mathbf{q})dq^1 + \omega_2(\mathbf{q})dq^2 + \omega_3(\mathbf{q})dq^3$  este o 1-formă pe  $\mathbb{R}^4$ , atunci

$$\mathbf{i}_\omega \mathbf{T}(\mathbf{q}) = 4(\langle \mathbf{q}, \mathbf{q} \rangle \bar{\omega}(\mathbf{q}) - \langle \mathbf{q}, \bar{\omega}(\mathbf{q}) \rangle \mathbf{q}), \quad (5.5.6)$$

unde am făcut notația  $\bar{\omega}(\mathbf{q}) := (\omega_0(\mathbf{q}), \omega_1(\mathbf{q}), \omega_2(\mathbf{q}), \omega_3(\mathbf{q}))$ .

Vom exemplifica construcția folosind diverse funcții distanță folosite în literatură pentru măsurarea distanțelor dintre transformările euclidiene. O listă extinsă este prezentată în [129], unde este de asemenea studiată echivalența și funcțional dependența lor.

**I.** Pe grupul Lie  $SO(3)$  vom considera funcția distanță  $d_1 : SO(3) \times SO(3) \rightarrow \mathbb{R}_+$ ,  $d_1(\mathbf{R}_1, \mathbf{R}_2) = \|\mathbf{R}_1 - \mathbf{R}_2\|_F$ , unde  $\|\cdot\|_F$  este norma Frobenius. Funcția de cost asociată este  $G_{1_{SO(3)}} : SO(3) \rightarrow \mathbb{R}$ ,

$$G_{1_{SO(3)}}(\mathbf{R}) = \sum_{i=1}^m \|\mathbf{R} - \mathbf{R}_i\|_F^2,$$

unde  $\{\mathbf{R}_1, \dots, \mathbf{R}_m\}$  sunt matricile de rotație cărora dorim să le facem media, a se vedea [177], [239].

Conform pasului **(i)** al algoritmului de încorporare, vom transforma problema găsirii punctelor critice ale funcției de cost  $G_{1_{SO(3)}}$  în problema găsirii punctelor critice pentru funcția de cost liftată  $G_{1_{S^3}} : S^3 \rightarrow \mathbb{R}$ ,  $G_{1_{S^3}} := G_{1_{SO(3)}} \circ \mathbf{P}$ .

Pentru a calcula funcția de cost liftată  $G_{1_{S^3}}$ , folosind surjectivitatea proiecției de acoperire  $\mathbf{P}$ , pentru fiecare matrice  $\mathbf{R}_i$  vom alege un cuaternion corespunzător  $\mathbf{q}_i$ . Avem următorul calcul:

$$\begin{aligned} G_{1_{S^3}}(\mathbf{q}) &= \sum_{i=1}^m \|\mathbf{R}^{\mathbf{q}} - \mathbf{R}^{\mathbf{q}_i}\|_F^2 = \sum_{i=1}^m \text{tr}((\mathbf{R}^{\mathbf{q}} - \mathbf{R}^{\mathbf{q}_i})(\mathbf{R}^{\mathbf{q}} - \mathbf{R}^{\mathbf{q}_i})^T) \\ &= 2 \sum_{i=1}^m (3 - \text{tr}(\mathbf{R}^{\mathbf{q}T} \mathbf{R}^{\mathbf{q}_i})) \\ &= 8 \sum_{i=1}^m (1 - \langle \mathbf{q}, \mathbf{q}_i \rangle^2), \end{aligned}$$

unde am folosit egalitatea

$$\langle \mathbf{q}, \mathbf{q}_i \rangle^2 = \frac{1}{4}(\text{tr}(\mathbf{R}^{\mathbf{q}T} \mathbf{R}^{\mathbf{q}_i}) + 1). \quad (5.5.7)$$

Pentru implementarea pasului **(iii)**, trebuie să construim funcția prelungită  $G_1 : \mathbb{R}^4 \rightarrow \mathbb{R}$ ,

$$G_1(\mathbf{q}) = \sum_{i=1}^m 8(1 - \langle \mathbf{q}, \mathbf{q}_i \rangle^2).$$

Să observăm că  $G_1$  este o funcție pară și prin urmare nu depinde de alegerea cuaternionilor  $\mathbf{q}_i$  sau  $-\mathbf{q}_i$  care reprezintă aceeași rotație  $\mathbf{R}_i$ . Această problemă mai

subtilă a fost de asemenea tratată într-o manieră diferită în [173]. Calculând 1-forma diferențială  $dG_1$  obținem:

$$\begin{aligned} \overline{dG_1}(\mathbf{q}) &= \left( \frac{\partial G_1}{\partial q^0}(\mathbf{q}), \dots, \frac{\partial G_1}{\partial q^3}(\mathbf{q}) \right) = \left( -16 \sum_{i=1}^m q_i^0 \langle \mathbf{q}, \mathbf{q}_i \rangle, \dots, -16 \sum_{i=1}^m q_i^3 \langle \mathbf{q}, \mathbf{q}_i \rangle \right) \\ &= -16 \sum_{i=1}^m \langle \mathbf{q}, \mathbf{q}_i \rangle \mathbf{q}_i. \end{aligned}$$

Folosind (5.5.6), unde 1-forma  $\omega$  este  $dG_1$ , sistemul de ecuații (5.5.5) devine:

$$\begin{cases} \sum_{i=1}^m \langle \mathbf{q}, \mathbf{q}_i \rangle (\langle \mathbf{q}, \mathbf{q}_i \rangle \mathbf{q}_i - \langle \mathbf{q}, \mathbf{q}_i \rangle \mathbf{q}) = \mathbf{0} \\ \langle \mathbf{q}, \mathbf{q} \rangle = 1 \end{cases}, \quad (5.5.8)$$

și acesta reprezintă ecuația  $\mathbf{v}_{0|S^3}(\mathbf{q}) = \mathbf{0}$ . Sistemul de mai sus are patru ecuații de gradul trei în cele patru necunoscute  $\mathbf{q} = (q^0, q^1, q^2, q^3)$  corespunzând câmpului de vectori de control standard  $\mathbf{v}_0 = \mathbf{0}$ , plus constrângerea care descrie pe  $S^3$ .

Cele patru ecuații corespunzând lui  $\mathbf{v}_0 = \mathbf{0}$  nu sunt funcțional independente deoarece, după cum am arătat în subsecțiunea anterioară, tensorul  $\mathbf{T}$  este degenerat. Totuși, deoarece  $\mathbf{v}_0(\mathbf{q}) \in T_{\mathbf{q}}S^3$ , pentru orice  $\mathbf{q} \in S^3$ , sistemul (5.5.8) poate fi descris prin doar trei ecuații plus constrângerea.

Pentru a scrie  $\mathbf{v}_{0|S^3}(\mathbf{q}) = \mathbf{0}$  ca un sistem de trei ecuații independente, vom împinge înaintea câmpul de vectori  $\mathbf{v}_{0|S^3}$  prin proiecția de acoperire  $\mathbf{P}$ , care ne va plasa în ipoteza pasului **(iv')** al algoritmului de încorporare. Din definiția operatorului push-forward, avem că

$$\mathbf{P}_* \mathbf{v}_{0|S^3}(\mathbf{R}^q) = T_{\mathbf{q}}\mathbf{P}(\mathbf{v}_{0|S^3}(\mathbf{q})) \in T_{\mathbf{R}^q}SO(3).$$

Cum  $\mathbf{P}$  nu este o aplicație injectivă, pentru a obține un câmp de vectori pe spațiul destinație  $SO(3)$  egalitatea  $T_{\mathbf{q}}\mathbf{P}(\mathbf{v}_{0|S^3}(\mathbf{q})) = T_{-\mathbf{q}}\mathbf{P}(\mathbf{v}_{0|S^3}(-\mathbf{q}))$  trebuie să fie satisfăcută. Vom arăta în cele ce urmează că ea este într-adevăr satisfăcută.

În continuare, trebuie să calculăm aplicația tangentă a proiecției de acoperire  $\mathbf{P} : S^3 \rightarrow SO(3)$ . Această aplicație poate fi scrisă ca restricția aplicației  $\tilde{\mathbf{P}} : \mathbb{R}^4 \rightarrow \mathbb{R}^9$  definită prin  $\tilde{\mathbf{P}}(q^0, q^1, q^2, q^3) = ((q^0)^2 + (q^1)^2 - (q^2)^2 - (q^3)^2, 2(q^1q^2 - q^0q^3), 2(q^1q^3 + q^0q^2), 2(q^1q^2 + q^0q^3), (q^0)^2 - (q^1)^2 + (q^2)^2 - (q^3)^2, 2(q^2q^3 - q^0q^1), 2(q^1q^3 - q^0q^2), 2(q^2q^3 + q^0q^1), (q^0)^2 - (q^1)^2 - (q^2)^2 + (q^3)^2)$ , unde o matrice de rotație  $\mathbf{R}^q$  a fost identificată cu un punct din  $\mathbb{R}^9$ .

Matricea corespunzătoare aplicației liniare  $T_{\mathbf{q}}\tilde{\mathbf{P}} : \mathbb{R}^4 \rightarrow \mathbb{R}^9$  este dată prin

$$\text{Jac}_{\mathbf{q}}\tilde{\mathbf{P}} = 2 \begin{bmatrix} q^0 & q^1 & -q^2 & -q^3 \\ -q^3 & q^2 & q^1 & -q^0 \\ q^2 & q^3 & q^0 & q^1 \\ q^3 & q^2 & q^1 & q^0 \\ q^0 & -q^1 & q^2 & -q^3 \\ -q^1 & -q^0 & q^3 & q^2 \\ -q^2 & q^3 & -q^0 & q^1 \\ q^1 & q^0 & q^3 & q^2 \\ q^0 & -q^1 & -q^2 & q^3 \end{bmatrix}.$$

Printr-un calcul direct, în care identificăm un vector din  $\mathbb{R}^9$  cu un vector tangent  $\mathbf{R}^q \Delta \in T_{\mathbf{R}^q} SO(3) = \{\mathbf{R}^q \Delta \mid \Delta \text{ este o matrice } 3 \times 3 \text{ antisimetrică}\}$ , pentru  $\mathbf{q} \in S^3$  avem că

$$\begin{aligned} T_{\mathbf{q}} \mathbf{P} \cdot \mathbf{v}_{0|S^3}(\mathbf{q}) &= T_{\mathbf{q}} \tilde{\mathbf{P}} \cdot \mathbf{v}_{0|S^3}(\mathbf{q}) \\ &= \sum_{i=1}^m \langle \mathbf{q}, \mathbf{q}_i \rangle T_{\mathbf{q}} \tilde{\mathbf{P}} \cdot (\langle \mathbf{q}, \mathbf{q} \rangle \mathbf{q}_i - \langle \mathbf{q}, \mathbf{q}_i \rangle \mathbf{q}) \\ &= \sum_{i=1}^m \langle \mathbf{q}, \mathbf{q}_i \rangle \text{Jac}_{\mathbf{q}} \tilde{\mathbf{P}} \cdot (\langle \mathbf{q}, \mathbf{q} \rangle \mathbf{q}_i - \langle \mathbf{q}, \mathbf{q}_i \rangle \mathbf{q}) \\ &\cong \sum_{i=1}^m \langle \mathbf{q}, \mathbf{q}_i \rangle \mathbf{R}^q \Delta_i(\mathbf{q}) \\ &= \mathbf{R}^q \sum_{i=1}^m \langle \mathbf{q}, \mathbf{q}_i \rangle \Delta_i(\mathbf{q}), \end{aligned}$$

unde

$$\Delta_i(\mathbf{q}) = \begin{pmatrix} 0 & -q^0 q_i^3 + q^1 q_i^2 - q^2 q_i^1 + q^3 q_i^0 & q^0 q_i^2 + q^1 q_i^3 - q^2 q_i^0 - q^3 q_i^1 \\ q^0 q_i^3 - q^1 q_i^2 + q^2 q_i^1 - q^3 q_i^0 & 0 & -q^0 q_i^1 + q^1 q_i^0 + q^2 q_i^3 - q^3 q_i^2 \\ -q^0 q_i^2 - q^1 q_i^3 + q^2 q_i^0 + q^3 q_i^1 & q^0 q_i^1 - q^1 q_i^0 - q^2 q_i^3 + q^3 q_i^2 & 0 \end{pmatrix}.$$

Identificând vectorul  $\text{Jac}_{\mathbf{q}} \tilde{\mathbf{P}} \cdot (\langle \mathbf{q}, \mathbf{q} \rangle \mathbf{q}_i - \langle \mathbf{q}, \mathbf{q}_i \rangle \mathbf{q}) \in \mathbb{R}^9$  cu o matrice  $3 \times 3$ , matricea antisimetrică este dată de formula

$$\Delta_i(\mathbf{q}) = \mathbf{R}^q \text{Jac}_{\mathbf{q}} \tilde{\mathbf{P}} \cdot (\langle \mathbf{q}, \mathbf{q} \rangle \mathbf{q}_i - \langle \mathbf{q}, \mathbf{q}_i \rangle \mathbf{q}).$$

Observând că  $\Delta_i(-\mathbf{q}) = -\Delta_i(\mathbf{q})$  avem că  $T_{\mathbf{q}} \mathbf{P}(\mathbf{v}_{0|S^3}(\mathbf{q})) = T_{-\mathbf{q}} \mathbf{P}(\mathbf{v}_{0|S^3}(-\mathbf{q}))$  și prin urmare,  $\mathbf{P}_* \mathbf{v}_{0|S^3}$  este un câmp de vectori pe varietatea  $SO(3)$ .

Ca urmare obținem că punctele critice ale funcției de cost  $G_{1_{S^3}}$  sunt soluțiile următorului sistem (care este echivalent cu (5.5.8)):

$$\begin{cases} \sum_{i=1}^m \langle \mathbf{q}, \mathbf{q}_i \rangle \Delta_i(\mathbf{q}) = \mathbf{0} \\ \langle \mathbf{q}, \mathbf{q} \rangle = 1 \end{cases} \quad (5.5.9)$$

Avantajul sistemului de mai sus comparativ cu sistemul (5.5.8) este că avem doar trei ecuații de gradul doi în locul a patru ecuații de gradul trei plus o constrângere.

Dacă transformăm sistemul de mai sus în rotații, prin calcul direct avem că:

$$\langle \mathbf{q}, \mathbf{q}_i \rangle \Delta_i(\mathbf{q}) = \frac{1}{4} (\mathbf{R}^{q_i T} \mathbf{R}^q - \mathbf{R}^q \mathbf{R}^{q_i}), \quad (5.5.10)$$

și sistemul de mai sus devine:

$$\sum_{i=1}^m (\mathbf{R}^{q_i T} \mathbf{R}^q - \mathbf{R}^q \mathbf{R}^{q_i}) = \mathbf{0},$$

care este echivalent cu

$$\bar{\mathbf{R}}^T \mathbf{R}^q - \mathbf{R}^q \bar{\mathbf{R}} = \mathbf{0}, \quad (5.5.11)$$

unde  $\bar{\mathbf{R}} = \frac{1}{m} \sum_{i=1}^m \mathbf{R}^{q_i} = \frac{1}{m} \sum_{i=1}^m \mathbf{R}_i$ . Soluțiile ecuației de mai sus dau punctele critice ale funcției de cost  $G_{1_{SO(3)}}$ . Găsirea acestor soluții corespunde pasului (**iv'**) din algoritmul

de încorporare. De asemenea, această ecuație este aceeași cu caracterizarea pentru media aritmetică obținută în [177]. Prin urmare căutarea punctelor critice ale funcției de cost  $G_{1_{SO(3)}}$  poate fi făcută în două moduri. Mai precis, putem rezolva (5.5.11) sau putem transforma problema în cuaternioni și să rezolvăm sistemul (5.5.9) transformând apoi soluțiile în rotații.

**II.** În continuare, vom lua în considerare distanța geodezică pe grupul Lie  $SO(3)$  care este definită prin unghiul dintre două rotații, după cum se arată în [10], [22], [101], [177], [213], [239]. Pentru două rotații  $\mathbf{R}_1, \mathbf{R}_2 \in SO(3)$ ,

$$d_2(\mathbf{R}_1, \mathbf{R}_2) = \|\text{Log}(\mathbf{R}_1^T \mathbf{R}_2)\|_F = \sqrt{2}|\theta|,$$

unde  $\theta \in (-\pi, \pi)$  este unghiul dintre rotațiile  $\mathbf{R}_1$  și  $\mathbf{R}_2$ . Funcția de cost asociată este  $G_{2_{SO(3)}} : SO(3) \rightarrow \mathbb{R}$ ,

$$G_{2_{SO(3)}}(\mathbf{R}) = \sum_{i=1}^m \|\text{Log}(\mathbf{R}_i^T \mathbf{R})\|_F^2,$$

unde  $\{\mathbf{R}_1, \dots, \mathbf{R}_m\}$  sunt matricile de rotație cărora dorim să le facem media.

Ca mai înainte, vom calcula funcția de cost liftată  $G_{2_{S^3}}$ , ca în pasul (i) al algoritmului de încorporare. Mai precis, avem că

$$\begin{aligned} G_{2_{S^3}}(\mathbf{q}) &= \sum_{i=1}^m \|\text{Log}(\mathbf{R}_i^T \mathbf{R})\|_F^2 = 2 \sum_{i=1}^m \theta_i^2 \\ &= 2 \sum_{i=1}^m \arccos^2 \left( \frac{\text{tr}(\mathbf{R}^{\mathbf{q}_i^T \mathbf{R}^{\mathbf{q}}}) - 1}{2} \right) \\ &= 2 \sum_{i=1}^m \arccos^2(2\langle \mathbf{q}_i, \mathbf{q} \rangle^2 - 1) \\ &= 2 \sum_{i=1}^m \arccos^2(|\langle \mathbf{q}_i, \mathbf{q} \rangle|). \end{aligned}$$

Funcția de cost liftată  $G_{2_{S^3}}$  nu depinde de alegerea cuaternionilor  $\mathbf{q}_i$  sau  $-\mathbf{q}_i$  care reprezintă aceeași rotație  $\mathbf{R}_i$ . Pentru pasul (iii) al algoritmului de încorporare, funcția prelungită este  $G_2 : \mathbb{R}^4 \setminus \{0\} \rightarrow \mathbb{R}$ ,

$$G_2(\mathbf{q}) = 2 \sum_{i=1}^m \arccos^2 \left( \frac{|\langle \mathbf{q}, \mathbf{q}_i \rangle|}{\|\mathbf{q}\| \cdot \|\mathbf{q}_i\|} \right).$$

Coefficienții 1-formei diferențiale  $dG_2$  sunt dați de:

$$\begin{aligned} \overline{dG_2}(\mathbf{q}) &= \left( \frac{\partial G_2}{\partial q^0}(\mathbf{q}), \dots, \frac{\partial G_2}{\partial q^3}(\mathbf{q}) \right) \\ &= \left( \dots, -4 \sum_{i=1}^m \frac{\text{sgn}(\langle \mathbf{q}, \mathbf{q}_i \rangle) \|\mathbf{q}\|^2 q_i^j - |\langle \mathbf{q}, \mathbf{q}_i \rangle| q^j}{\|\mathbf{q}\|^2 \sqrt{\|\mathbf{q}\|^2 \|\mathbf{q}_i\|^2 - \langle \mathbf{q}, \mathbf{q}_i \rangle^2}} \arccos \left( \frac{|\langle \mathbf{q}, \mathbf{q}_i \rangle|}{\|\mathbf{q}\| \cdot \|\mathbf{q}_i\|} \right), \dots \right) \\ &= -4 \sum_{i=1}^m \arccos \left( \frac{|\langle \mathbf{q}, \mathbf{q}_i \rangle|}{\|\mathbf{q}\| \cdot \|\mathbf{q}_i\|} \right) \frac{\text{sgn}(\langle \mathbf{q}, \mathbf{q}_i \rangle)}{\|\mathbf{q}\|^2 \sqrt{\|\mathbf{q}\|^2 \|\mathbf{q}_i\|^2 - \langle \mathbf{q}, \mathbf{q}_i \rangle^2}} (\langle \mathbf{q}, \mathbf{q} \rangle \mathbf{q}_i - \langle \mathbf{q}, \mathbf{q}_i \rangle \mathbf{q}). \end{aligned}$$



Pentru a rezolva problema diferențiabilității, vom elimina din domeniul de definiție al funcției  $G_2$  hiperplanele  $\Pi_i = \{\mathbf{q} \in \mathbb{R}^4 \mid \langle \mathbf{q}, \mathbf{q}_i \rangle = 0\}$  și dreptele  $d_i$  care trec prin punctele  $\mathbf{0}$  și  $\mathbf{q}_i$ .

În acest caz, ecuația  $\mathbf{v}_{0|S^3}(\mathbf{q}) = \mathbf{0}$  este echivalentă cu

$$\begin{cases} \sum_{i=1}^m \frac{\text{sgn}(\langle \mathbf{q}, \mathbf{q}_i \rangle) \arccos(|\langle \mathbf{q}, \mathbf{q}_i \rangle|)}{\sqrt{1 - \langle \mathbf{q}, \mathbf{q}_i \rangle^2}} (\langle \mathbf{q}, \mathbf{q} \rangle \mathbf{q}_i - \langle \mathbf{q}, \mathbf{q}_i \rangle \mathbf{q}) = \mathbf{0} \\ \mathbf{q} \in S^3 \setminus \bigcup_{i=1}^m \Pi_i \\ \mathbf{q} \neq \pm \mathbf{q}_i \end{cases}$$

Folosind aceleași argumente ca mai sus, ecuația  $\mathbf{v}_{0|S^3}(\mathbf{q}) = \mathbf{0}$  este echivalentă cu  $\mathbf{P}_* \mathbf{v}_{0|S^3} = \mathbf{0}$  care are următoarea formă

$$\begin{cases} \sum_{i=1}^m \frac{\text{sgn}(\langle \mathbf{q}, \mathbf{q}_i \rangle) \arccos(|\langle \mathbf{q}, \mathbf{q}_i \rangle|)}{\sqrt{1 - \langle \mathbf{q}, \mathbf{q}_i \rangle^2}} \Delta_i(\mathbf{q}) = \mathbf{0} \\ \mathbf{q} \in S^3 \setminus \bigcup_{i=1}^m \Pi_i \\ \mathbf{q} \neq \pm \mathbf{q}_i \end{cases} \quad (5.5.12)$$

Expresia de mai sus arată de asemenea că  $\mathbf{P}_* \mathbf{v}_{0|S^3}$  este un câmp de vectori pe varietatea  $SO(3)$ .

Pentru a transforma ecuația (5.5.12) în rotații avem nevoie de următorul calcul:

$$\begin{aligned} \frac{\text{sgn}(\langle \mathbf{q}, \mathbf{q}_i \rangle) \arccos(|\langle \mathbf{q}, \mathbf{q}_i \rangle|)}{\sqrt{1 - \langle \mathbf{q}, \mathbf{q}_i \rangle^2}} &= \frac{\arccos(|\langle \mathbf{q}, \mathbf{q}_i \rangle|) \langle \mathbf{q}, \mathbf{q}_i \rangle}{|\langle \mathbf{q}, \mathbf{q}_i \rangle| \sqrt{1 - \langle \mathbf{q}, \mathbf{q}_i \rangle^2}} = \frac{\frac{|\theta_i|}{2}}{|\cos(\frac{\theta_i}{2})| \sqrt{1 - \cos^2(\frac{\theta_i}{2})}} \langle \mathbf{q}, \mathbf{q}_i \rangle \\ &= \frac{|\theta_i|}{|\sin(\theta_i)|} \langle \mathbf{q}, \mathbf{q}_i \rangle = \frac{\theta_i}{\sin(\theta_i)} \langle \mathbf{q}, \mathbf{q}_i \rangle, \end{aligned}$$

unde am folosit proprietatea că  $\mathbf{q} \in S^3 \setminus \bigcup_{i=1}^m \Pi_i$  care implică  $\langle \mathbf{q}, \mathbf{q}_i \rangle \neq 0$ . Folosind (5.5.10) obținem sistemul echivalent în rotații, care corespunde pasului **(iv')** al algoritmului de încorporare:

$$\sum_{i=1}^m (\mathbf{R}^{\mathbf{q}_i T} \mathbf{R}^{\mathbf{q}} - \mathbf{R}^{\mathbf{q} T} \mathbf{R}^{\mathbf{q}_i}) \frac{\theta_i}{\sin \theta_i} = \mathbf{0} \Leftrightarrow \sum_{i=1}^m \text{Log}(\mathbf{R}^{\mathbf{q}_i T} \mathbf{R}^{\mathbf{q}}) = \mathbf{0}. \quad (5.5.13)$$

Ecuația de mai sus a fost obținută în [177] ca fiind o caracterizare a mediei geometrice. Acest lucru era de așteptat, din moment ce facem medierea pentru aceeași funcție de cost prin două metode diferite, care în mod natural duc la același rezultat. Să observăm de asemenea că funcția de cost  $G_{2_{SO(3)}}$  nu este definită pentru unghiurile  $\theta_i = \pm\pi$  sau echivalent  $\langle \mathbf{q}, \mathbf{q}_i \rangle = 0$ , situație în care funcția prelungită  $G_2$  nu este diferențiabilă.

**III.** O altă distanță folosită pe grupul Lie  $SO(3)$  este dată prin  $d_3(\mathbf{R}_1, \mathbf{R}_2) = 1 - \frac{1}{2} \sqrt{\text{tr}(\mathbf{R}_1^T \mathbf{R}_2) + 1}$ . Această distanță apare în [129], unde dependența funcțională dintre  $d_3$  și  $d_2$  este de asemenea dată. Observăm că această funcție distanță pe

$SO(3)$  poate fi obținută din pseudodistanța  $d_3 : S^3 \times S^3 \rightarrow \mathbb{R}$ ,  $d_3(\mathbf{q}_1, \mathbf{q}_2) = 1 - |\langle \mathbf{q}_1, \mathbf{q}_2 \rangle|$ .

Funcția de cost  $G_{3_{SO(3)}}(\mathbf{R}) = \sum_{i=1}^m d_3^2(\mathbf{R}, \mathbf{R}_i)$  este liftată în funcția de cost

$$G_{3_{S^3}}(\mathbf{q}) = \sum_{i=1}^m (1 - |\langle \mathbf{q}, \mathbf{q}_i \rangle|)^2.$$

Funcția prelungită este  $G_3 : \mathbb{R}^4 \rightarrow \mathbb{R}$ ,

$$G_3(\mathbf{q}) = \sum_{i=1}^m (1 - |\langle \mathbf{q}, \mathbf{q}_i \rangle|)^2.$$

Coeficienții 1-formei diferențiale  $dG_3$  sunt dați prin:

$$\overline{dG_3}(\mathbf{q}) = -2 \sum_{i=1}^m (1 - |\langle \mathbf{q}, \mathbf{q}_i \rangle|) \operatorname{sgn}(\langle \mathbf{q}, \mathbf{q}_i \rangle) \mathbf{q}_i,$$

unde, pentru a avea diferențiabilitate, ne restricționăm la mulțimea deschisă  $\mathbf{q} \in S^3 \setminus \bigcup_{i=1}^m \Pi_i$

(mulțimea  $\Pi_i$  este hiperplanul determinat de  $\mathbf{q}_i$  ca mai sus).

Sistemul de ecuații (5.5.5) devine

$$\begin{cases} \sum_{i=1}^m (1 - |\langle \mathbf{q}, \mathbf{q}_i \rangle|) \operatorname{sgn}(\langle \mathbf{q}, \mathbf{q}_i \rangle) (\langle \mathbf{q}, \mathbf{q}_i \rangle \mathbf{q}_i - \langle \mathbf{q}, \mathbf{q}_i \rangle \mathbf{q}) = \mathbf{0} \\ \mathbf{q} \in S^3 \setminus \bigcup_{i=1}^m \Pi_i \end{cases}, \quad (5.5.14)$$

iar acesta reprezintă ecuația  $\mathbf{v}_0 = \mathbf{0}$  restricționată la mulțimea deschisă  $S^3 \setminus \bigcup_{i=1}^m \Pi_i$  pe sfera  $S^3$ .

Ca în cazurile anterioare, după aplicarea operatorului de proiecție  $\mathbf{P}_*$ , generăm câmpul de vectori  $\mathbf{P}_* \mathbf{v}_0|_{S^3}$  și, prin urmare, obținem sistemul de ecuații echivalent:

$$\begin{cases} \sum_{i=1}^m (1 - |\langle \mathbf{q}, \mathbf{q}_i \rangle|) \operatorname{sgn}(\langle \mathbf{q}, \mathbf{q}_i \rangle) \Delta_i(\mathbf{q}) = \mathbf{0} \\ \mathbf{q} \in S^3 \setminus \bigcup_{i=1}^m \Pi_i \end{cases}. \quad (5.5.15)$$

Transformând sistemul de mai sus în rotații, după calcule algebrice folosind (5.5.10) și (5.5.7), obținem ecuația corespunzătoare pasului (**iv'**) al algoritmului de încorporare

$$\sum_{i=1}^m \left( \frac{2}{\sqrt{\operatorname{tr}(\mathbf{R}^{\mathbf{q}_i T} \mathbf{R}^{\mathbf{q}_i})} + 1} - 1 \right) (\mathbf{R}^{\mathbf{q}_i T} \mathbf{R}^{\mathbf{q}} - \mathbf{R}^{\mathbf{q} T} \mathbf{R}^{\mathbf{q}_i}) = \mathbf{0}.$$

**IV.** În continuare, vom aplica tehnicile descrise mai sus pentru o funcție de cost care este de tip  $L^p$  cu  $p \geq 1$ , a se vedea [108]. Pornim cu distanța  $d_1 : SO(3) \times$

$SO(3) \rightarrow \mathbb{R}_+$ ,  $d_1(\mathbf{R}_1, \mathbf{R}_2) = \|\mathbf{R}_1 - \mathbf{R}_2\|_F$ . Funcția de cost asociată de tip medie  $L^p$  este  $G_{(p)SO(3)} : SO(3) \rightarrow \mathbb{R}$ ,

$$G_{(p)SO(3)}(\mathbf{R}) = \sum_{i=1}^m \|\mathbf{R} - \mathbf{R}_i\|_F^p.$$

Funcția de cost liftată  $G_{(p)S^3} : S^3 \rightarrow \mathbb{R}$  este

$$G_{(p)S^3}(\mathbf{q}) = 8^{\frac{p}{2}} \sum_{i=1}^m (1 - \langle \mathbf{q}, \mathbf{q}_i \rangle^2)^{\frac{p}{2}}.$$

Alegem funcția prelungită  $G_{(p)} : \mathbb{R}^4 \rightarrow \mathbb{R}$ ,

$$G_{(p)}(\mathbf{q}) = 8^{\frac{p}{2}} \sum_{i=1}^m (\|\mathbf{q}\|^2 \cdot \|\mathbf{q}_i\|^2 - \langle \mathbf{q}, \mathbf{q}_i \rangle^2)^{\frac{p}{2}}.$$

Prin calcul direct obținem:

$$\overline{dG_{(p)}}(\mathbf{q}) = -p8^{\frac{p}{2}} \sum_{i=1}^m (\|\mathbf{q}\|^2 \cdot \|\mathbf{q}_i\|^2 - \langle \mathbf{q}, \mathbf{q}_i \rangle^2)^{\frac{p}{2}-1} (\langle \mathbf{q}, \mathbf{q}_i \rangle \mathbf{q}_i - \|\mathbf{q}_i\|^2 \mathbf{q}).$$

Pentru a avea diferențiabilitate pentru funcția  $G_{(p)}$ , pentru  $p \in [1, 2)$  trebuie să eliminăm din domeniul de definiție dreptele  $d_i$  care trec prin punctele  $\mathbf{0}$  și  $\mathbf{q}_i$ . Ca în cazul funcției  $G_1$ , sistemul (5.5.5) corespunzând funcției  $G_{(p)}$  devine:

$$\begin{cases} \sum_{i=1}^m \langle \mathbf{q}, \mathbf{q}_i \rangle (\|\mathbf{q}\|^2 \cdot \|\mathbf{q}_i\|^2 - \langle \mathbf{q}, \mathbf{q}_i \rangle^2)^{\frac{p}{2}-1} (\langle \mathbf{q}, \mathbf{q}_i \rangle \mathbf{q}_i - \langle \mathbf{q}, \mathbf{q}_i \rangle \mathbf{q}) = \mathbf{0} \\ \langle \mathbf{q}, \mathbf{q} \rangle = 1 \\ \mathbf{q} \neq \pm \mathbf{q}_i, \text{ pentru cazul când } p \in [1, 2) \end{cases} \quad (5.5.16)$$

Folosind aceleași argumente ca mai sus, în cazul funcției  $G_{(p)}$ , ecuația  $\mathbf{v}_{0|S^3}(\mathbf{q}) = \mathbf{0}$  este echivalentă cu  $\mathbf{P}_* \mathbf{v}_{0|S^3} = \mathbf{0}$ , care are următoarea formă

$$\begin{cases} \sum_{i=1}^m (1 - \langle \mathbf{q}, \mathbf{q}_i \rangle^2)^{\frac{p}{2}-1} \langle \mathbf{q}, \mathbf{q}_i \rangle \Delta_i(\mathbf{q}) = \mathbf{0} \\ \langle \mathbf{q}, \mathbf{q} \rangle = 1 \\ \mathbf{q} \neq \pm \mathbf{q}_i, \text{ pentru cazul când } p \in [1, 2) \end{cases} \quad (5.5.17)$$

Folosind din nou (5.5.7) și (5.5.10) obținem, conform pasului (**iv'**) al algoritmului de încorporare, ecuațiile în rotații care dau punctele critice ale funcției de cost  $G_{(p)SO(3)}$ ,

$$\sum_{i=1}^m (3 - \text{tr}(\mathbf{R}^{\mathbf{q}T} \mathbf{R}^{\mathbf{q}_i}))^{\frac{p}{2}-1} (\mathbf{R}^{\mathbf{q}_i T} \mathbf{R}^{\mathbf{q}} - \mathbf{R}^{\mathbf{q}T} \mathbf{R}^{\mathbf{q}_i}) = \mathbf{0},$$

cu condiția suplimentară  $\mathbf{R}^{\mathbf{q}} \neq \mathbf{R}^{\mathbf{q}_i}$  pentru cazul când  $p \in [1, 2)$ .

### 5.5.4 Mediarea pe $SO(n)$

Acum vom lucra pe grupul ortogonal al matricilor de ordinul  $n$  pe  $\mathbb{R}$ , notat  $SO(n)$ . Grupul ortogonal  $O(n)$  este un subgrup al grupului liniar general  $GL(n)$  definit prin

$$O(n) = \{\mathbf{R} \in GL(n) | \mathbf{R}^T \mathbf{R} = \mathbf{I}_n\}.$$

Ca spațiu topologic, are două componente conexe, iar componenta conținând identitatea este chiar grupul ortogonal special  $SO(n)$ . Ca în cazul secțiunii anterioare, se poate demonstra că  $O(n)$  poate fi privit ca preimaginea valorii regulate  $\mathbf{I}_n$  pentru funcția  $\mathbf{F} : GL(n) \rightarrow S(n)$ , unde  $S(n)$  este spațiul vectorial al matricilor simetrice  $n \times n$  și  $\mathbf{F}(\mathbf{A}) = \mathbf{A}^T \mathbf{A}$ . Avem astfel cadrul pentru prima subsecțiune, în care varietatea  $N$  este  $O(n)$ , iar spațiul ambient  $(M, g)$  este spațiul euclidian  $\mathbb{R}^{n^2}$ . Deci acest caz general corespunde scufundării în  $\mathbb{R}^9$  a lui  $SO(3)$ . Suntem de asemenea în cazul în care  $S = N$  și  $\mathbf{P}$  este identitatea.

Un punct  $\mathbf{x} = (x^1, \dots, x^{n^2}) \in \mathbb{R}^{n^2}$  corespunde rotației din  $O(n)$ :

$$\mathbf{R} = \begin{pmatrix} x^1 & x^2 & \dots & x^n \\ x^{n+1} & x^{n+2} & \dots & x^{2n} \\ \dots & \dots & \dots & \dots \\ x^{n^2-n+1} & x^{n^2-n+2} & \dots & x^{n^2} \end{pmatrix}.$$

Condiția  $\mathbf{R}^T \mathbf{R} = \mathbf{I}_n$  devine

$$\begin{pmatrix} (x^1)^2 + \dots + (x^n)^2 & x^1 x^{n+1} + \dots + x^n x^{2n} & \dots & x^1 x^{n^2-n+1} + \dots + x^n x^{n^2} \\ x^1 x^{n+1} + \dots + x^n x^{2n} & (x^{n+1})^2 + \dots + (x^{2n})^2 & \dots & x^{n+1} x^{n^2-n+1} + \dots + x^{2n} x^{n^2} \\ \dots & \dots & \dots & \dots \\ x^1 x^{n^2-n+1} + \dots + x^n x^{n^2} & x^{n+1} x^{n^2-n+1} + \dots + x^{2n} x^{n^2} & \dots & (x^{n^2-n+1})^2 + \dots + (x^{n^2})^2 \end{pmatrix} \\ = \begin{pmatrix} 1 & 0 & \dots & 0 \\ 0 & 1 & \dots & 0 \\ \dots & \dots & \dots & \dots \\ 0 & 0 & \dots & 1 \end{pmatrix}$$

Definim funcția  $\mathbf{F} : \mathbb{R}^{n^2} \rightarrow \mathbb{R}^{\frac{n(n+1)}{2}}$ ,  $\mathbf{F} = (F_1, F_2, \dots, F_{\frac{n(n+1)}{2}})$ , unde

$$\begin{aligned} F_1(x^1, \dots, x^{n^2}) &= (x^1)^2 + \dots + (x^n)^2 \\ F_2(x^1, \dots, x^{n^2}) &= x^1 x^{n+1} + \dots + x^n x^{2n} \\ &\dots \dots \dots \\ F_n(x^1, \dots, x^{n^2}) &= x^1 x^{n^2-n+1} + \dots + x^n x^{n^2} \\ F_{n+1}(x^1, \dots, x^{n^2}) &= (x^{n+1})^2 + \dots + (x^{2n})^2 \\ &\dots \dots \dots \\ F_{2n-1}(x^1, \dots, x^{n^2}) &= x^{n+1} x^{n^2-n+1} + \dots + x^{2n} x^{n^2} \\ &\dots \dots \dots \\ F_{\frac{n(n+1)}{2}}(x^1, \dots, x^{n^2}) &= (x^{n^2-n+1})^2 + \dots + (x^{n^2})^2. \end{aligned}$$

Prin urmare  $O(n)$  poate fi identificat cu foaia regulată

$$O(n) = \mathbf{F}^{-1}(1, 0, \dots, 0, 0, 1, \dots, 0, \dots, 0, \dots, 0, 1).$$

Pentru o simplificare a calculelor, introducem funcțiile vectoriale  $\bar{u}_1, \bar{u}_2, \dots, \bar{u}_n : \mathbb{R}^{n^2} \rightarrow \mathbb{R}^n$ ,  $\bar{u}_i(x^1, \dots, x^{n^2}) = (x^{n(i-1)+1}, x^{n(i-1)+2}, \dots, x^{n(i-1)+n})$ ,  $\forall i = \bar{1}, \bar{n}$ . Pentru a calcula

câmpul de vectori standard de control  $\mathbf{v}_0$ , trebuie să determinăm matricea asociată 2-tensorului simetric contravariant  $\mathbf{T}$ . Pentru aceasta, trebuie să determinăm matricea

Gram  $\Sigma_{(F_1, \dots, F_{\frac{n(n+1)}{2}})}$ , și anume

$$\Sigma_{(F_1, \dots, F_{\frac{n(n+1)}{2}})} = \begin{pmatrix} \langle \nabla F_1, \nabla F_1 \rangle & \dots & \langle \nabla F_{\frac{n(n+1)}{2}}, \nabla F_1 \rangle \\ \vdots & \dots & \vdots \\ \langle \nabla F_1, \nabla F_{\frac{n(n+1)}{2}} \rangle & \dots & \langle \nabla F_{\frac{n(n+1)}{2}}, \nabla F_{\frac{n(n+1)}{2}} \rangle \end{pmatrix}.$$

Utilizând notațiile de mai sus, rezultă imediat că

$$\begin{aligned} F_1(x^1, \dots, x^{n^2}) &= \langle \bar{u}_1, \bar{u}_1 \rangle \\ F_2(x^1, \dots, x^{n^2}) &= \langle \bar{u}_1, \bar{u}_2 \rangle \\ &\dots \dots \dots \\ F_n(x^1, \dots, x^{n^2}) &= \langle \bar{u}_1, \bar{u}_n \rangle \\ F_{n+1}(x^1, \dots, x^{n^2}) &= \langle \bar{u}_2, \bar{u}_2 \rangle \\ &\dots \dots \dots \\ F_{2n-1}(x^1, \dots, x^{n^2}) &= \langle \bar{u}_2, \bar{u}_n \rangle \\ &\dots \dots \dots \\ F_{\frac{n(n+1)}{2}}(x^1, \dots, x^{n^2}) &= \langle \bar{u}_n, \bar{u}_n \rangle. \end{aligned}$$

și prin urmare

$$\begin{aligned} \nabla F_1(x^1, \dots, x^{n^2}) &= (2\bar{u}_1, \bar{0}, \dots, \bar{0}) \\ \nabla F_2(x^1, \dots, x^{n^2}) &= (\bar{u}_2, \bar{u}_1, \dots, \bar{0}) \\ &\dots \dots \dots \\ \nabla F_n(x^1, \dots, x^{n^2}) &= (\bar{u}_n, \bar{0}, \dots, \bar{u}_1) \\ \nabla F_{n+1}(x^1, \dots, x^{n^2}) &= (\bar{0}, 2\bar{u}_2, \dots, \bar{0}) \\ &\dots \dots \dots \\ \nabla F_{2n-1}(x^1, \dots, x^{n^2}) &= (\bar{0}, \bar{u}_n, \dots, \bar{u}_2) \\ &\dots \dots \dots \\ \nabla F_{\frac{n(n+1)}{2}}(x^1, \dots, x^{n^2}) &= (\bar{0}, \bar{0}, \dots, 2\bar{u}_n). \end{aligned}$$

Matricea Gram devine astfel

$$\Sigma_{(F_1, \dots, F_{\frac{n(n+1)}{2}})} = \begin{pmatrix} 4F_1 & \dots & 0 \\ \vdots & \dots & \vdots \\ 0 & \dots & 4F_{\frac{n(n+1)}{2}} \end{pmatrix}.$$

Trebuie să calculăm câmpul de vectori  $\mathbf{v}_0$  doar restricționat la  $O(n)$  și prin urmare trebuie să calculăm matricea asociată lui  $\mathbf{T}$  doar pentru elemente din  $O(n)$ , pentru care au loc relațiile  $F_1(x^1, \dots, x^{n^2}) = F_{n+1}(x^1, \dots, x^{n^2}) = \dots = F_{\frac{n(n+1)}{2}}(x^1, \dots, x^{n^2}) = 1$  și  $F_j(x^1, \dots, x^{n^2}) = 0$ , pentru  $j \in \{1, \dots, \frac{n(n+1)}{2}\} \setminus K$ , unde am notat

$$K := \left\{ (k-1) \left( n+1 - \frac{k}{2} \right) + 1 \mid k = \overline{1, n} \right\}.$$

Matricea Gram calculată în puncte din  $O(n)$  devine, pentru  $\forall \mathbf{R} \in O(n)$ , următoarea:

$$\left( \Sigma_{(F_1, \dots, F_{\frac{n(n+1)}{2}})}^{(F_1, \dots, F_{\frac{n(n+1)}{2}})}(\mathbf{R}) \right)_{1 \leq i, j \leq \frac{n(n+1)}{2}} = \begin{cases} 4, & i = j \in K \\ 2, & i = j \in \left\{ 1, \dots, \frac{n(n+1)}{2} \right\} \setminus K \\ 0, & i \neq j \end{cases} .$$

Calcul elementare arată acum că pentru orice  $\mathbf{R} \in O(n)$ , avem că

$$\det \Sigma_{(F_1, \dots, \hat{F}_j, \dots, F_{\frac{n(n+1)}{2}})}^{(F_1, \dots, \hat{F}_j, \dots, F_{\frac{n(n+1)}{2}})}(\mathbf{R}) = 0$$

pentru  $\forall i \neq j, i, j = 1, \frac{n(n+1)}{2}$ ,  $\det \Sigma_{(F_1, \dots, F_{\frac{n(n+1)}{2}})}^{(F_1, \dots, F_{\frac{n(n+1)}{2}})}(\mathbf{R}) = 2^{n^2}$  și

$$\begin{aligned} \det \Sigma_{(\hat{F}_1, \dots, F_{\frac{n(n+1)}{2}})}^{(F_1, \dots, F_{\frac{n(n+1)}{2}})}(\mathbf{R}) &= \det \Sigma_{(F_1, \dots, \hat{F}_{n+1}, \dots, F_{\frac{n(n+1)}{2}})}^{(F_1, \dots, \hat{F}_{n+1}, \dots, F_{\frac{n(n+1)}{2}})}(\mathbf{R}) = \dots \\ &= \det \Sigma_{(F_1, \dots, \hat{F}_{\frac{n(n+1)}{2}})}^{(F_1, \dots, \hat{F}_{\frac{n(n+1)}{2}})}(\mathbf{R}) = 2^{n^2-2}, \end{aligned}$$

$$\det \Sigma_{(F_1, \dots, \hat{F}_j, \dots, F_{\frac{n(n+1)}{2}})}^{(F_1, \dots, \hat{F}_j, \dots, F_{\frac{n(n+1)}{2}})}(\mathbf{R}) = 2^{n^2-1}, \forall j \in \left\{ 1, \dots, \frac{n(n+1)}{2} \right\} \setminus K.$$

Luând în considerare faptul că pe  $\mathbb{R}^{n^2}$  avem metrica euclidiană, avem că matricea asociată 2-tensorului contravariant  $g^{-1}$  este matricea identitate  $\mathbf{I}_{n^2}$ . Mai mult, vom introduce următoarea notație

$$k(\mathbf{R}) = \bar{u}_1(\mathbf{R}) \otimes \bar{u}_1(\mathbf{R}) + \bar{u}_2(\mathbf{R}) \otimes \bar{u}_2(\mathbf{R}) + \dots + \bar{u}_n(\mathbf{R}) \otimes \bar{u}_n(\mathbf{R}) - 2\mathbf{I}_n, \forall \mathbf{R} \in O(n).$$

Folosind această notație, matricea asociată 2-tensorului contravariant  $\mathbf{T}$  calculată în puncte din  $O(n)$  devine

$$\mathbf{T}(\mathbf{R}) = -2^{n^2-1} \begin{pmatrix} k(\mathbf{R}) + \bar{u}_1(\mathbf{R}) \otimes \bar{u}_1(\mathbf{R}) & \bar{u}_1(\mathbf{R}) \otimes \bar{u}_2(\mathbf{R}) & \dots & \bar{u}_1(\mathbf{R}) \otimes \bar{u}_n(\mathbf{R}) \\ \bar{u}_1(\mathbf{R}) \otimes \bar{u}_2(\mathbf{R}) & k(\mathbf{R}) + \bar{u}_2(\mathbf{R}) \otimes \bar{u}_2(\mathbf{R}) & \dots & \bar{u}_2(\mathbf{R}) \otimes \bar{u}_n(\mathbf{R}) \\ \dots & \dots & \dots & \dots \\ \bar{u}_1(\mathbf{R}) \otimes \bar{u}_n(\mathbf{R}) & \bar{u}_2(\mathbf{R}) \otimes \bar{u}_n(\mathbf{R}) & \dots & k(\mathbf{R}) + \bar{u}_n(\mathbf{R}) \otimes \bar{u}_n(\mathbf{R}) \end{pmatrix}.$$

Dacă  $\omega(\mathbf{R}) = \omega_1(\mathbf{R})dx^1 + \dots + \omega_{n^2}(\mathbf{R})dx^{n^2}$  este o 1-formă pe  $\mathbb{R}^{n^2}$ , atunci

$$\mathbf{i}_\omega \mathbf{T}(\mathbf{R}) = -2^{n^2-1}(\mathbf{R}\bar{\omega}(\mathbf{R})^T \mathbf{R} - \bar{\omega}(\mathbf{R})), \quad (5.5.18)$$

unde am făcut notația  $\bar{\omega}(\mathbf{R}) = (\omega_{n(k-1)+l}(\mathbf{R}))_{1 \leq k, l \leq n}$ . Se observă că aceste calcule sunt similare celor din cazul  $O(3)$ , reprezentând o generalizare a lor.

**I.** Din nou vom lucra pe  $SO(n)$ , deoarece acest grup prezintă interes din punctul de vedere al aplicațiilor practice. De asemenea, vom folosi aceleași funcții de cost, pentru motivele explicate mai sus, în cazul  $SO(3)$ . Pe grupul Lie  $SO(n)$  vom considera funcția distanță  $d_1 : SO(n) \times SO(n) \rightarrow \mathbb{R}_+$ ,  $d_1(\mathbf{R}_1, \mathbf{R}_2) = \|\mathbf{R}_1 - \mathbf{R}_2\|_F$ , unde  $\|\cdot\|_F$  este norma Frobenius. Funcția de cost asociată este  $G_{1SO(n)} : SO(n) \rightarrow \mathbb{R}$ ,

$$G_{1SO(n)}(\mathbf{R}) = \sum_{i=1}^m \|\mathbf{R} - \mathbf{R}_i\|_F^2,$$

unde  $\{\mathbf{R}_1, \dots, \mathbf{R}_m\}$  sunt matricile de rotație cărora dorim să le facem media, notate  $\mathbf{R}_i = (x_i^{n(k-1)+l})_{1 \leq k, l \leq n}$ . Din  $\mathbf{R} = (x^{n(k-1)+l})_{1 \leq k, l \leq n}$ , putem scrie

$$G_{1SO(n)}(\mathbf{R}) = \sum_{i=1}^m \|\mathbf{R} - \mathbf{R}_i\|_F^2 = \sum_{i=1}^m \text{tr}[(\mathbf{R} - \mathbf{R}_i)^T(\mathbf{R} - \mathbf{R}_i)] = \sum_{i=1}^m \langle \mathbf{x} - \mathbf{x}_i, \mathbf{x} - \mathbf{x}_i \rangle.$$

Funcția prelungită este  $G_1 : \mathbb{R}^{n^2} \rightarrow \mathbb{R}$ ,

$$G_1(\mathbf{x}) = \sum_{i=1}^m \langle \mathbf{x} - \mathbf{x}_i, \mathbf{x} - \mathbf{x}_i \rangle,$$

aceeași ca în cazul  $SO(3)$ . Calculând 1-forma diferențială  $dG_1$  obținem:

$$\overline{dG_1}(\mathbf{R}) = \left( \frac{\partial G_1}{\partial x^{n(k-1)+l}} \right)_{1 \leq k, l \leq n} = 2 \sum_{i=1}^m (\mathbf{R} - \mathbf{R}_i) = 2m(\mathbf{R} - \overline{\mathbf{R}}),$$

$$\sum_{i=1}^m \mathbf{R}_i$$

unde am notat  $\overline{\mathbf{R}} = \frac{\sum_{i=1}^m \mathbf{R}_i}{m}$ . Folosind (5.5.18), unde 1-forma  $\omega$  este  $dG_1$ , sistemul de ecuații (5.5.5) devine:

$$\begin{cases} \mathbf{R}(\mathbf{R} - \overline{\mathbf{R}})^T \mathbf{R} - (\mathbf{R} - \overline{\mathbf{R}}) = \mathbf{0} \\ \mathbf{R}^T \mathbf{R} = \mathbf{I}_n \end{cases} \Leftrightarrow \begin{cases} \mathbf{R} \overline{\mathbf{R}}^T \mathbf{R} - \overline{\mathbf{R}} = \mathbf{0} \\ \mathbf{R}^T \mathbf{R} = \mathbf{I}_n \end{cases} \quad (5.5.19)$$

$$\Leftrightarrow \begin{cases} \overline{\mathbf{R}}^T \mathbf{R} - \mathbf{R}^T \overline{\mathbf{R}} = \mathbf{0} \\ \mathbf{R}^T \mathbf{R} = \mathbf{I}_n \end{cases}.$$

Regăsim formula pentru media aritmetică din [177], care de asemenea este făcută pentru cazul general  $SO(n)$ . Articolul [177] folosește însă pentru a obține această formulă derivata covariantă, adică o metodă mai laborioasă decât algoritmul de încorporare prezentat mai sus.

**II.** În continuare, vom lua în considerare distanța geodezică pe grupul Lie  $SO(n)$ : pentru două rotații  $\mathbf{R}_1, \mathbf{R}_2 \in SO(n)$ ,  $d_2(\mathbf{R}_1, \mathbf{R}_2) = \|\text{Log}(\mathbf{R}_1^T \mathbf{R}_2)\|_F = \sqrt{2}|\theta|$ , unde  $\theta \in (-\pi, \pi)$  este unghiul dintre rotațiile  $\mathbf{R}_1$  și  $\mathbf{R}_2$ . Funcția de cost asociată este  $G_{2SO(n)} : SO(n) \rightarrow \mathbb{R}$ ,

$$G_{2SO(n)}(\mathbf{R}) = \sum_{i=1}^m \|\text{Log}(\mathbf{R}_i^T \mathbf{R})\|_F^2,$$

unde  $\{\mathbf{R}_1, \dots, \mathbf{R}_m\}$  sunt matricile de rotație cărora dorim să le facem media, pe care le notăm  $\mathbf{R}_i = (x_i^{n(k-1)+l})_{1 \leq k, l \leq n}$ . Din  $\mathbf{R} = (x^{n(k-1)+l})_{1 \leq k, l \leq n}$ , putem scrie

$$\begin{aligned} G_{2SO(n)}(\mathbf{R}) &= \sum_{i=1}^m \|\text{Log}(\mathbf{R}_i^T \mathbf{R})\|_F^2 = 2 \sum_{i=1}^m \theta_i^2 \\ &= 2 \sum_{i=1}^m \arccos^2 \left( \frac{\text{tr}(\mathbf{R}_i^T \mathbf{R}) - 1}{2} \right) \\ &= 2 \sum_{i=1}^m \arccos^2 \left( \frac{\langle \mathbf{x}_i, \mathbf{x} \rangle - 1}{2} \right). \end{aligned}$$

Funcția prelungită este  $G_2 : \mathbb{R}^{n^2} \rightarrow \mathbb{R}$ ,

$$G_2(\mathbf{x}) = 2 \sum_{i=1}^m \arccos^2 \left( \frac{\langle \mathbf{x}_i, \mathbf{x} \rangle - 1}{2} \right).$$

Coefficienții 1-formei diferențiale  $dG_2$  sunt dați de:

$$\overline{dG_2}(\mathbf{R}) = \left( \frac{\partial G_2}{\partial x^{n(k-1)+l}} \right)_{1 \leq k, l \leq n} = -4 \sum_{i=1}^m \mathbf{R}_i \frac{\theta_i}{\sin \theta_i}.$$

Sistemul de ecuații (5.5.5) devine în acest caz:

$$\begin{cases} \sum_{i=1}^m \mathbf{R} \left( \mathbf{R}_i \frac{\theta_i}{\sin \theta_i} \right)^T \mathbf{R} - \mathbf{R}_i \frac{\theta_i}{\sin \theta_i} = \mathbf{0} \\ \mathbf{R}^T \mathbf{R} = \mathbf{I}_n \end{cases} \Leftrightarrow \begin{cases} \sum_{i=1}^m (\mathbf{R} \mathbf{R}_i^T \mathbf{R} - \mathbf{R}_i) \frac{\theta_i}{\sin \theta_i} = \mathbf{0} \\ \mathbf{R}^T \mathbf{R} = \mathbf{I}_n \end{cases} \quad (5.5.20)$$

$$\Leftrightarrow \begin{cases} \sum_{i=1}^m \text{Log}(\mathbf{R}_i^T \mathbf{R}) = \mathbf{0} \\ \mathbf{R}^T \mathbf{R} = \mathbf{I}_n \end{cases}.$$

Și aici regăsim caracterizarea mediei geometrice din [177], făcută pentru cazul general  $SO(n)$ , unde din nou este folosită o metodă mult mai greoaie pentru calculul acestei medii.

**III.** O altă distanță folosită pe grupul Lie  $SO(n)$  este dată prin  $d_3(\mathbf{R}_1, \mathbf{R}_2) = 1 - \frac{1}{2} \sqrt{\text{tr}(\mathbf{R}_1^T \mathbf{R}_2) + 1}$ . Această distanță apare în [129] unde dependența funcțională dintre  $d_3$  și  $d_2$  este de asemenea dată. Funcția de cost  $G_{3_{SO(n)}}$  este:

$$G_{3_{SO(n)}}(\mathbf{R}) = \sum_{i=1}^m \left( 1 - \frac{1}{2} \sqrt{\text{tr}(\mathbf{R}_i^T \mathbf{R}) + 1} \right)^2 = \sum_{i=1}^m \left( 1 - \frac{1}{2} \sqrt{\langle \mathbf{x}_i, \mathbf{x} \rangle + 1} \right)^2,$$

unde  $\{\mathbf{R}_1, \dots, \mathbf{R}_m\}$  sunt matricile de rotație cărora dorim să le facem media și am considerat  $\mathbf{R}_i = (x_i^{n(k-1)+l})_{1 \leq k, l \leq n}$  și  $\mathbf{R} = (x^{n(k-1)+l})_{1 \leq k, l \leq n}$ .

Funcția prelungită este  $G_3 : \mathbb{R}^{n^2} \rightarrow \mathbb{R}$ ,

$$G_3(\mathbf{x}) = \sum_{i=1}^m \left( 1 - \frac{1}{2} \sqrt{\langle \mathbf{x}_i, \mathbf{x} \rangle + 1} \right)^2.$$

Coefficienții 1-formei diferențiale  $dG_3$  sunt dați prin:

$$\overline{dG_3}(\mathbf{R}) = \left( \frac{\partial G_3}{\partial x^{n(k-1)+l}} \right)_{1 \leq k, l \leq n} = 2 \sum_{i=1}^m \mathbf{R}_i \left( \frac{2}{\sqrt{\text{tr}(\mathbf{R}_i^T \mathbf{R}) + 1}} - 1 \right).$$

Transformând sistemul de mai sus în rotații, după calcule algebrice folosind (5.5.10) și (5.5.7), obținem

$$\begin{cases} \sum_{i=1}^m \mathbf{R} \left[ \mathbf{R}_i \left( \frac{2}{\sqrt{\text{tr}(\mathbf{R}_i^T \mathbf{R}) + 1}} - 1 \right) \right]^T \mathbf{R} - \mathbf{R}_i \left( \frac{2}{\sqrt{\text{tr}(\mathbf{R}_i^T \mathbf{R}) + 1}} - 1 \right) = \mathbf{0} \\ \mathbf{R}^T \mathbf{R} = \mathbf{I}_n \end{cases} \quad (5.5.21)$$



$$\Leftrightarrow \begin{cases} \sum_{i=1}^m \left( \frac{2}{\sqrt{\text{tr}(\mathbf{R}_i^T \mathbf{R})} + 1} - 1 \right) (\mathbf{R}_i^T \mathbf{R} - \mathbf{R}^T \mathbf{R}_i) = \mathbf{0} \\ \mathbf{R}^T \mathbf{R} = \mathbf{I}_n \end{cases} .$$

**IV.** În continuare, vom aplica tehnicile descrise mai sus pentru o funcție de cost care este de tip  $L^p$ , cu  $p \geq 1$ . Pornim cu distanța  $d_1 : SO(n) \times SO(n) \rightarrow \mathbb{R}_+$ ,  $d_1(\mathbf{R}_1, \mathbf{R}_2) = \|\mathbf{R}_1 - \mathbf{R}_2\|_F$ . Dacă  $\{\mathbf{R}_1, \dots, \mathbf{R}_m\}$  sunt matricile de rotație cărora dorim să le facem media, funcția de cost de tip medie  $L^p$  asociată este  $G_{(p)SO(n)} : SO(n) \rightarrow \mathbb{R}$ ,

$$G_{(p)SO(n)}(\mathbf{R}) = \sum_{i=1}^m \|\mathbf{R} - \mathbf{R}_i\|_F^p.$$

Aceasta se poate scrie, ținând cont că  $\mathbf{R}_i = (x_i^{n(k-1)+l})_{1 \leq k, l \leq n}$  și  $\mathbf{R} = (x^{n(k-1)+l})_{1 \leq k, l \leq n}$  astfel:

$$G_{4SO(n)}(\mathbf{R}) = \sum_{i=1}^m \|\mathbf{R} - \mathbf{R}_i\|_F^p = \sum_{i=1}^m (\text{tr}[(\mathbf{R} - \mathbf{R}_i)^T (\mathbf{R} - \mathbf{R}_i)])^{\frac{p}{2}} = \sum_{i=1}^m \langle \mathbf{x} - \mathbf{x}_i, \mathbf{x} - \mathbf{x}_i \rangle^{\frac{p}{2}}.$$

Funcția prelungită este  $G_{(p)} : \mathbb{R}^{n^2} \rightarrow \mathbb{R}$ ,

$$G_{(p)}(\mathbf{x}) = \sum_{i=1}^m \langle \mathbf{x} - \mathbf{x}_i, \mathbf{x} - \mathbf{x}_i \rangle^{\frac{p}{2}}.$$

Coefficienții 1-formei diferențiale  $dG_4$  sunt dați prin:

$$\overline{dG_{(p)}}(\mathbf{R}) = \left( \frac{\partial G_{(p)}}{\partial x^{n(k-1)+l}} \right)_{1 \leq k, l \leq n} = p 2^{\frac{p}{2}-1} \sum_{i=1}^m (\mathbf{R} - \mathbf{R}_i) (n - \text{tr}(\mathbf{R}_i^T \mathbf{R}))^{\frac{p}{2}-1}.$$

În final sistemul devine

$$\begin{cases} \sum_{i=1}^m \mathbf{R} [(n - \text{tr}(\mathbf{R}_i^T \mathbf{R}))^{\frac{p}{2}-1}]^T \mathbf{R} - (\mathbf{R} - \mathbf{R}_i) (n - \text{tr}(\mathbf{R}_i^T \mathbf{R}))^{\frac{p}{2}-1} = \mathbf{0} \\ \mathbf{R}^T \mathbf{R} = \mathbf{I}_n \end{cases}$$

$$\Leftrightarrow \begin{cases} \sum_{i=1}^m (n - \text{tr}(\mathbf{R}_i^T \mathbf{R}))^{\frac{p}{2}-1} (\mathbf{R}_i^T \mathbf{R} - \mathbf{R}^T \mathbf{R}_i) = \mathbf{0} \\ \mathbf{R}^T \mathbf{R} = \mathbf{I}_n \end{cases} .$$

## 5.6 Concluzii

Prezentul capitol a prezentat mai multe generalizări posibile ale rețelelor neuronale Clifford. Astfel,

- Secțiunea 5.1 a prezentat **rețelele neuronale cu valori vectori tridimensionali**, mai exact, bazate pe produsul vectorial din spațiul tridimensional. Aceste rețele nu sunt o generalizare directă a rețelelor Clifford, ci mai degrabă reprezintă o încercare paralelă de definire a unor rețele neuronale multidimensionale care să poată procesa direct intrări tridimensionale. A fost prezentată definiția acestui tip de rețele, precum și algoritmul backpropagation de învățare pentru rețelele de tip feedforward.
- Secțiunea 5.2 a introdus **rețelele neuronale cu valori vectori  $n$ -dimensionali**, diferite de cele cu valori vectori tridimensionali prin aceea că în aceste rețele, ponderile sunt matrici, pe când în cele definite în secțiunea anterioară, ponderile sunt vectori tridimensionali. Acest tip de rețele sunt o contribuție originală a prezentei teze, ele fiind definite doar pentru cazul  $n = 3$  în literatură, iar pentru cazul general, fiind definit doar neuronul, fără ca acesta să fie inclus într-o rețea neuronală. În această secțiune, am definit rețelele de tip feedforward și am dedus algoritmul backpropagation pentru aceste rețele.
- Secțiunea 5.3 a definit, în premieră după cunoștințele noastre, **rețelele neuronale cu valori matrici pătratice**. Acest tip de rețele constituie o generalizare directă a rețelelor neuronale Clifford, deoarece orice algebră Clifford poate fi scrisă ca o subalgebră a algebrei matricilor pătratice. Un avantaj deosebit al acestor rețele este acela că dimensiunea lor este  $n^2$ , spre deosebire de dimensiunea rețelelor Clifford, care este  $2^n$ . În această secțiune, am prezentat rețelele neuronale cu valori matrici pătratice de tip feedforward, și am dedus algoritmul de învățare backpropagation pentru acest tip de rețele.
- În Secțiunea 5.4 am introdus, tot în premieră, **rețelele neuronale cu valori matrici antisimetrice**, sau mai general rețelele neuronale cu valori în algebre Lie. Datorită aplicațiilor pe care le au algebrele Lie în domeniul computer vision, am considerat că o generalizare interesantă a rețelelor cu valori reale ar fi cea a rețelelor cu valori în algebre Lie, în particular cu valori matrici antisimetrice. Acestea constituie, de asemenea, o generalizare de dimensiune  $\frac{n(n-1)}{2}$  a rețelelor cu valori vectori tridimensionali (de dimensiune 3), care au fost prezentate în prima secțiune a acestui capitol.
- În fine, Secțiunea 5.5 a prezentat o problemă legată de rețelele neuronale cu valori matrici, și anume **problema medierii matricilor ortogonale**. După o scurtă introducere, am prezentat un nou algoritm pentru **medierea pe o varietate riemanniană**, care, spre deosebire de algoritmi existenți în literatură, permite calcule în coordonate carteziene (pe  $\mathbb{R}^n$ ), care pot fi ușor automatizate cu ajutorul calculatorului. Deoarece o problemă de interes în aplicațiile ingineresti o constituie medierea pe grupul matricilor ortogonale, am prezentat particularizarea algoritmului general pentru medierea pe  $SO(3)$  prin scufundarea în  $\mathbb{R}^4$ , pentru patru funcții de cost prezente în literatură. În finalul acestei secțiuni, am realizat, de asemenea, particularizarea algoritmului general pe  $SO(n)$  (grupul matricilor ortogonale de ordinul  $n$ ), prin scufundare în  $\mathbb{R}^{n^2}$ , pentru aceleași patru funcții de cost.

## Capitolul 6

# Rezultate experimentale

Prezentul capitol este dedicat experimentelor cu algoritmi introduși de-a lungul tezei. Implementarea acestor algoritmi a fost făcută folosind MATLAB, care reprezintă standardul în ceea ce privește cercetarea din inteligența artificială, și mai ales din învățarea automată.

Secțiunea 6.1 este dedicată rețelelor neuronale cu valori complexe. Prima subsecțiune descrie caracteristicile de implementare și execuție a experimentelor cu acest tip de rețele. Apoi, sunt prezentate 12 seturi de experimente, fiecare set făcându-se pe câte un benchmark foarte cunoscut din domeniu, atât sintetic, cât și din lumea reală. Astfel, aplicațiile sintetice includ problema XOR și problema XOR extinsă, din domeniul recunoașterii de tipare și două funcții complexe complete și trei funcții complexe divizate, din domeniul aproximării de funcții. Aplicațiile din lumea reală includ egalizarea cu canal liniar și neliniar, predicția seriilor de timp liniare și neliniare și predicția direcției și vitezei vântului, din domeniul predicției de semnale.

Secțiunea 6.2 prezintă rezultatele experimentale a trei funcții sintetice, din domeniul aproximării de funcții, folosind rețele neuronale cu valori matrici pătratice. Singurul algoritm folosit este metoda gradient.

Următoarea secțiune, Secțiunea 6.3 este dedicată rețelelor neuronale cu valori matrici antisimetrice. Există 5 subsecțiuni, câte una pentru fiecare dintre cele două funcții sintetice, și cele trei transformări geometrice, toate făcând parte din domeniul aproximării de funcții.

În Secțiunea 6.4 sunt tratate două funcții de cost din cele patru pentru care a fost aplicat algoritmul de încorporare, pentru medierea unor matrici ortogonale de dimensiune 3. Practic, fiecare dintre cele două funcții de cost dă o altă medie, iar alegerea uneia sau a alteia depinde exclusiv de aplicația care necesită medierea rotațiilor. În unele cazuri este posibil ca o medie să fie mai aproape de ceea ce se consideră intuitiv a fi media matricilor ortogonale, iar în alte cazuri este posibil să fie cealaltă. După cum contextul este cel care impune alegerea mediei aritmetice sau geometrice ca fiind cea mai potrivită în cazul numerelor reale, așa și în acest caz, doar contextul poate arăta care medie este cea mai bună. Algoritmul nostru însă are meritul de a da posibilitatea alegerii oricărei medii, fără niciun fel de restricții asupra funcției de cost, ceea ce nu se întâmplă în cazul algoritmilor existenți deja în literatură, unde calculele sunt practic imposibil de realizat pentru anumite expresii ale funcțiilor de cost.

În fine, Secțiunea 6.5 prezintă pe scurt concluziile capitolului dedicat experimentelor.

## 6.1 Rețele neuronale cu valori complexe

### 6.1.1 Implementarea

Implementarea algoritmilor prezentați în Capitolul 3 s-a realizat folosind MATLAB R2013b. Practic, însăși ideea dezvoltării acestor algoritmi a venit din MATLAB, și anume din Neural Network Toolbox, care, chiar și în cea mai recentă versiune de MATLAB, și anume R2015a, cuprinde majoritatea acestor algoritmi. Metodele de antrenare a rețelelor feedforward din Neural Network Toolbox sunt date în Tabelul 6.1. Abrevierea lor din tabel este exact numele funcției din MATLAB care trebuie dat la crearea unei rețele de tip feedforward folosind funcția `feedforwardnet(hiddenSizes,trainFcn)`, al cărei prim parametru este un vector linie al dimensiunilor straturilor ascunse, și al doilea parametru este funcția de antrenare, care poate fi una dintre cele date în tabel.

Abreviere	Denumire
TRAINGD	Metoda gradient
TRAINGDA	Metoda gradient adaptivă
TRAINGDM	Metoda gradient cu moment
TRAINGDX	Metoda gradient adaptivă cu moment
TRAINRP	Metoda resilient backpropagation
TRAINCGP	Metoda gradientilor conjugați cu actualizări Polak-Ribiere
TRAINCGF	Metoda gradientilor conjugați cu actualizări Fletcher-Reeves
TRAINCGB	Metoda gradientilor conjugați cu reporniri Powell-Beale
TRAINSCG	Metoda gradientilor conjugați scalați
TRAINBFG	Metoda Broyden-Fletcher-Goldfarb-Shanno
TRAIPOSS	Metoda one step secant
TRAINLM	Metoda Levenberg-Marquardt
TRAINBR	Metoda regularizării bayesiene

Tabela 6.1: Algoritmii din Neural Network Toolbox din MATLAB

Pornind de la această schemă, am creat un cadru asemănător celui din Neural Network Toolbox, pentru rețele neuronale feedforward cu valori complexe. Astfel, am implementat câte o funcție pentru fiecare dintre algoritmii descriși în Capitolul 3, a căror denumire apare în prima coloană a Tabelului 6.2, a doua coloană prezentând numele pe larg al fiecărui algoritm. Fiecare astfel de funcție are ca parametri aceiași parametri care pot fi setați și în `trainParam` pentru `feedforwardnet`, în Neural Network Toolbox. Aceste funcții se pot folosi în același fel cu cele standard din MATLAB, dând celor interesați posibilitatea experimentării cu acești algoritmi de antrenare, fără a fi nevoie de o perioadă de familiarizare prea îndelungată cu cadrul propus.

### 6.1.2 Problema XOR

*Problema XOR* este un benchmark clasic pentru rețelele neuronale, pentru că este cunoscut faptul că un neuron cu valori reale nu poate învăța această problemă. Cu toate acestea, o rețea neuronală multistrat cu valori reale poate învăța cu succes problema XOR. Pe de altă parte, s-a arătat în [194] că problema XOR complexă, care este doar o codificare în domeniul complex a problemei XOR reale, dată în Tabelul

Abreviere	Denumire
GD	Metoda gradient
GDM	Metoda gradient cu moment
QCP	Metoda quickprop
RPR	Metoda resilient backpropagation
DBD	Metoda delta-bar-delta
SAB	Metoda SuperSAB
CGHS	Metoda gradientilor conjugați cu actualizări Hestenes-Stiefel
CGPR	Metoda gradientilor conjugați cu actualizări Polak-Ribiere
CGFR	Metoda gradientilor conjugați cu actualizări Fletcher-Reeves
CGDY	Metoda gradientilor conjugați cu actualizări Dai-Yuan
CGHS+	Metoda gradientilor conjugați cu actualizări Hestenes-Stiefel pozitive
CGPR+	Metoda gradientilor conjugați cu actualizări Polak-Ribiere pozitive
CGPB	Metoda gradientilor conjugați cu reporniri Powell-Beale
SCG	Metoda gradientilor conjugați scalați
SR1	Metoda actualizării de grad unu
DFP	Metoda Davidon-Fletcher-Powell
BFG	Metoda Broyden-Fletcher-Goldfarb-Shanno
OSS	Metoda one step secant

Tabela 6.2: Algoritmii implementați pentru rețele neuronale cu valori complexe

6.3, poate fi învățată de un singur neuron cu valori complexe. Aceasta demonstrează puterea acestui tip de neuron și constituie un bun argument pentru studierea rețelelor neuronale cu valori complexe.

$z_I$	$z_O$
$-1 - i$	1
$-1 + i$	0
$1 - i$	$1 + i$
$1 + i$	$i$

Tabela 6.3: Problema XOR

Problema XOR complexă a fost folosită ca benchmark pentru mai multe tipuri de rețele neuronale cu valori complexe, spre exemplu de [143, 189, 196, 194, 70, 257, 12, 236, 237, 279, 278], și ca o consecință am decis să începem experimentele noastre, cu algoritmii de învățare propuși, pe acest exemplu simplu.

În primul set de experimente, am antrenat o rețea neuronală cu valori complexe cu un strat ascuns constând din 2 neuroni timp de 100 de epoci. Funcția de activare a stratului ascuns a fost funcția complexă divizat tangentă hiperbolică, dată prin

$$G^2(x + iy) = \tanh x + i \tanh y = \frac{e^x - e^{-x}}{e^x + e^{-x}} + i \frac{e^y - e^{-y}}{e^y + e^{-y}},$$

și a stratului de ieșire funcția identitate  $G^3(z) = z$ . Ponderile au fost inițializate cu valori aflate în interiorul cercului cu centrul în origine de rază 0.5.

Antrenarea a fost făcută utilizând metoda gradient (abreviată GD), metoda gradient cu moment (GDM), algoritmul quickprop (QCP), algoritmul resilient backpropagation (RPR), algoritmul delta-bar-delta (DBD) și algoritmul SuperSAB (SAB), din seria metodelor gradient îmbunătățite. Rata de învățare pentru metoda gradient a fost aleasă 0.1, iar momentul pentru metoda gradient cu moment a fost 0.9. Din metodele gradientilor conjugați, am făcut experimente cu metoda gradientilor conjugați cu actualizări Hestenes-Stiefel (CGHS), metoda gradientilor conjugați cu actualizări Polak-Ribiere (CGPR), metoda gradientilor conjugați cu actualizări Fletcher-Reeves (CGFR), metoda gradientilor conjugați cu actualizări Dai-Yuan (CGDY), variațiile algoritmilor Hestenes-Stiefel (CGHS+) și Polak-Ribiere (CGPR+) și metoda gradientilor conjugați cu reporniri Powell-Beale (CGPB) și cu metoda gradientilor conjugați scalați (SCG). Din clasa metodelor quasi-Newton, am folosit pentru antrenare metoda actualizării de rang unu (SR1), metoda Davidon-Fletcher-Powell (DFP), metoda Broyden-Fletcher-Goldfarb-Shanno (BFG) și metoda one step secant (OSS).

Antrenarea a fost repetată de 50 de ori, și eroarea medie pătratică (EMP) este dată în Tabelul 6.4, specificând pentru fiecare algoritm media și deviația standard a EMP de-a lungul celor 50 de rulări. Tabelul a fost împărțit în funcție de cele cinci clase de algoritmi implementați, cu evidențierea algoritmului care a avut cea mai bună performanță din fiecare clasă. În Figura 6.1 am prezentat, într-o formă sintetică, cantitatea  $-10 \log_{10}(EMP)$ , adică logaritmul zecimal al erorii medii pătratice, înmulțit cu  $-10$ , astfel că cel mai bun algoritm are cea mai mare valoare pentru această cantitate.

Algoritm	EMP Antrenare
<b>GD</b>	<b><math>2.58e - 4 \pm 2.01e - 4</math></b>
GDM	$3.28e - 4 \pm 1.80e - 4$
QCP	$2.03e - 5 \pm 2.34e - 5$
<b>RPR</b>	<b><math>1.04e - 5 \pm 8.31e - 6</math></b>
DBD	$7.98e - 1 \pm 1.52e - 1$
SAB	$1.58e - 4 \pm 1.06e - 4$
CGHS	$2.73e - 8 \pm 3.22e - 8$
CGPR	$4.69e - 7 \pm 6.16e - 7$
CGFR	$2.10e - 8 \pm 2.83e - 8$
CGDY	$2.83e - 8 \pm 3.00e - 8$
CGHS+	$2.73e - 8 \pm 3.01e - 8$
CGPR+	$9.04e - 7 \pm 1.20e - 6$
<b>CGPB</b>	<b><math>9.04e - 10 \pm 1.35e - 9</math></b>
<b>SCG</b>	<b><math>1.39e - 10 \pm 2.56e - 10</math></b>
SR1	$1.06e - 8 \pm 1.90e - 8$
DFP	$3.56e - 9 \pm 5.63e - 9$
<b>BFG</b>	<b><math>8.29e - 11 \pm 1.70e - 10</math></b>
OSS	$3.54e - 8 \pm 3.85e - 8$

Tabela 6.4: Rezultate experimentale pentru problema XOR

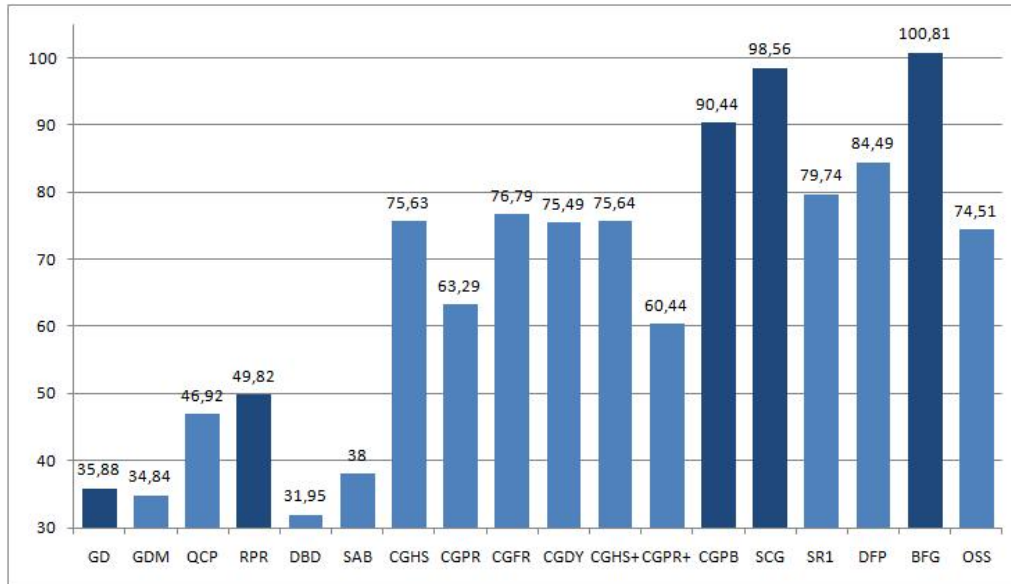


Figura 6.1: Rezultate experimentale pentru problema XOR

### 6.1.3 Problema XOR extinsă

Pentru al doilea set de experimente, am decis să considerăm o versiune augmentată a problemei XOR complexe, pe care am numit-o *problema XOR extinsă*. A fost folosită ca benchmark pentru testarea rețelelor neuronale cu valori complexe, de exemplu în [87, 88, 61, 57]. Este puțin mai complicată decât problema XOR complexă considerată mai sus, în aceea că are două intrări și 16 *tipare de antrenare*, după cum se poate vedea în Tabelul 6.5.

La fel ca în experimentul de mai sus, am repetat antrenarea folosind aceiași 18 algoritmi din cele cinci clase, descriși în subsecțiunea anterioară, de 50 de ori, și media și deviația standard a erorii medii pătratice (EMP) este dată în Tabelul 6.6. Toate rețelele au avut 5 neuroni ascunși pe un singur strat, aceleași funcții de activare ca mai sus, și au fost antrenate timp de 500 de epoci. Rata de învățare pentru metoda gradient a fost tot 0.1, iar momentul pentru metoda gradient cu moment a fost 0.9. Inițializarea ponderilor s-a făcut cu valori aleatoare din interiorul cercului cu centrul în origine de rază 0.5. În fiecare clasă marcată în tabel, s-a evidențiat algoritmul cu cea mai bună performanță. Figura 6.2 prezintă sintetic cantitatea  $-10 \log_{10}(EMP)$ , astfel încât cei mai buni algoritmi au cea mai mare valoare pentru această cantitate.

### 6.1.4 Funcția complexă complet I

Prima funcție complexă complet sintetică pe care vom testa algoritmi propuși este funcția pătratică de două variabile

$$f_1(z_1, z_2) = \frac{1}{6} (z_1^2 + z_2^2).$$

Cea mai importantă proprietate a funcțiilor complexe complet este aceea că tratează numărul complex ca un întreg, și nu părțile reală și imaginară separat. Această funcție

$z_{I1}$	$z_{I2}$	$z_O$
0	0	1
0	$-i$	$i$
$-i$	0	0
$-i$	$-i$	$1+i$
$-i$	1	$i$
1	1	$1+i$
$1-i$	$-i$	$i$
$1-i$	$1-i$	1
0	1	$i$
0	$1-i$	0
$-i$	$1-i$	0
1	0	0
1	$-i$	$i$
1	$1-i$	0
$1-i$	0	0
$1-i$	1	$i$

Tabela 6.5: Problema XOR extinsă

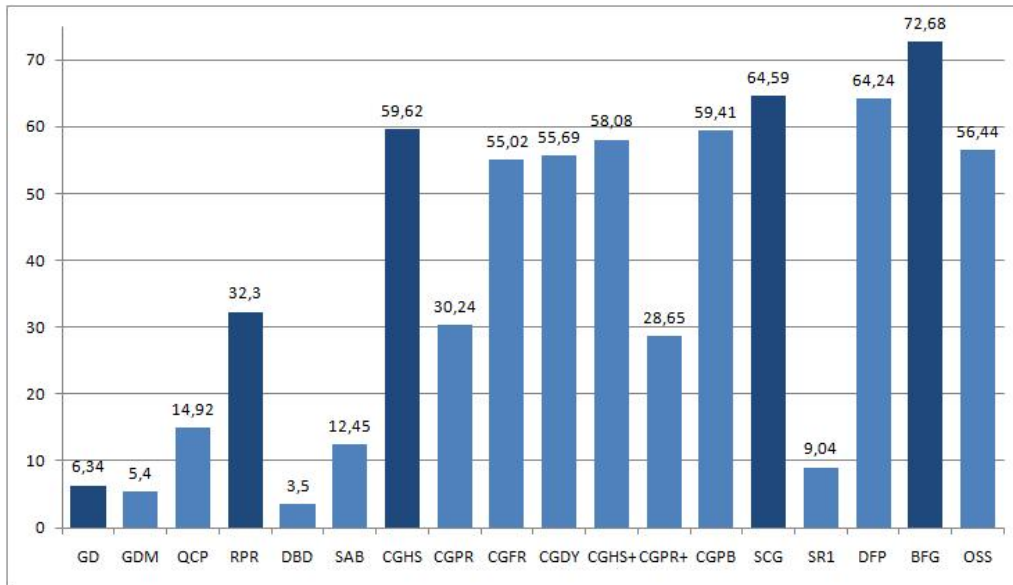


Figura 6.2: Rezultate experimentale pentru problema XOR extinsă

a fost folosită pentru a testa eficiența diferitelor arhitecturi de rețele neuronale cu valori complexe și a diferiților algoritmi de antrenare a acestora, de exemplu în [237, 231, 230, 232, 244].

Pentru a antrena rețelele, am generat 3000 de tipare de antrenare, astfel încât fiecare tipar are intrările  $z_1, z_2$  în interiorul discului centrat în origine cu raza 2.5. Pentru testare, am generat 1000 de tipare de testare având aceleași caracteristici. Toate rețelele au avut un singur strat ascuns format din 15 neuroni și au fost antrenate 5000 de epoci. Funcția de activare a stratului ascuns a fost funcția complexă complet



Algoritm	EMP Antrenare
<b>GD</b>	<b><math>2.33e - 1 \pm 9.05e - 2</math></b>
GDM	$2.88e - 1 \pm 8.17e - 2$
QCP	$3.22e - 2 \pm 1.69e - 2$
<b>RPR</b>	<b><math>5.89e - 4 \pm 4.47e - 4</math></b>
DBD	$4.47e - 1 \pm 5.09e - 3$
SAB	$5.69e - 2 \pm 3.50e - 2$
<b>CGHS</b>	<b><math>1.09e - 6 \pm 8.02e - 7</math></b>
CGPR	$9.47e - 4 \pm 1.01e - 3$
CGFR	$3.15e - 6 \pm 2.47e - 6$
CGDY	$2.70e - 6 \pm 1.91e - 6$
CGHS+	$1.55e - 6 \pm 1.24e - 6$
CGPR+	$1.36e - 3 \pm 1.44e - 3$
CGPB	$1.14e - 6 \pm 8.74e - 7$
<b>SCG</b>	<b><math>3.47e - 7 \pm 3.27e - 7</math></b>
SR1	$1.25e - 1 \pm 9.70e - 2$
DFP	$3.77e - 7 \pm 4.79e - 7$
<b>BFG</b>	<b><math>5.39e - 8 \pm 7.69e - 8</math></b>
OSS	$2.27e - 6 \pm 1.45e - 6$

Tabela 6.6: Rezultate experimentale pentru problema XOR extinsă

tangentă hiperbolică, dată prin

$$G^2(z) = \tanh z = \frac{e^z - e^{-z}}{e^z + e^{-z}},$$

și a stratului de ieșire a fost tot funcția identitate  $G^3(z) = z$ .

Media și deviația standard a EMP luate pentru 50 de rulări ale fiecărui algoritm sunt date în Tabelul 6.7, iar dinamica învățării apare în Figura 6.4, separat pentru fiecare dintre cele trei clase de algoritmi studiați. Pentru a observa felul în care EMP evoluează de-a lungul procesului de învățare a rețelelor, am reprezentat  $10 \log_{10}(EMP)$  pe axa verticală a figurii, cu cea mai mică valoare fiind cea mai bună. Ca o consecință, valorile pe acea axă sunt negative. Axa orizontală reprezintă epocile de antrenare. În tabel sunt date de asemenea valorile EMP pentru alți algoritmi folosiți pentru a învăța această funcție, împreună cu referințele în care acești algoritmi și rețele au apărut pentru prima dată. Ca mai sus, Figura 6.3 prezintă valoarea lui  $-10 \log_{10}(EMP)$  pentru algoritmii propuși.

### 6.1.5 Funcția complexă complet II

Un exemplu mai complicat, care presupune patru variabile de intrare și inversul uneia dintre variabile, este dat de următoarea funcție:

$$f_2(z_1, z_2, z_3, z_4) = \frac{1}{10} \left( z_3 + 10z_1z_4 + \frac{z_2^2}{z_1} \right),$$

care a fost folosită ca benchmark în [237, 232, 13, 233, 234]. Am generat 3000 de tipare aleatoare de antrenare și 1000 de tipare de testare, toate având intrările în interiorul discului centrat în origine și cu raza 1. Variabila  $z_1$  a fost aleasă astfel încât raza ei să fie mai mare decât 0.1, deoarece inversa ei apare în expresia funcției, și altfel ar fi putut rezulta valori foarte mari ale funcției în comparație cu celelalte

Algoritm	EMP Antrenare	EMP Testare
<b>GD</b>	<b><math>5.23e - 5 \pm 9.29e - 6</math></b>	<b><math>5.84e - 5 \pm 1.16e - 5</math></b>
GDM	$5.05e - 5 \pm 9.23e - 6$	$5.65e - 5 \pm 1.10e - 5$
QCP	$8.28e - 6 \pm 2.06e - 6$	$9.51e - 6 \pm 2.65e - 6$
<b>RPR</b>	<b><math>2.09e - 6 \pm 4.02e - 7</math></b>	<b><math>2.45e - 6 \pm 5.22e - 7</math></b>
DBD	$5.50e - 6 \pm 1.26e - 6$	$6.28e - 6 \pm 1.60e - 6$
SAB	$1.55e - 5 \pm 5.65e - 6$	$1.74e - 5 \pm 6.58e - 6$
<b>CGHS</b>	<b><math>1.21e - 7 \pm 2.96e - 8</math></b>	<b><math>1.38e - 7 \pm 3.70e - 8</math></b>
CGPR	$1.61e - 5 \pm 5.14e - 6$	$1.80e - 5 \pm 6.19e - 6$
CGFR	$1.51e - 7 \pm 3.95e - 8$	$1.78e - 7 \pm 4.98e - 8$
CGDY	$1.45e - 7 \pm 4.02e - 8$	$1.69e - 7 \pm 4.66e - 8$
CGHS+	$1.38e - 7 \pm 2.01e - 8$	$1.63e - 7 \pm 2.74e - 8$
CGPR+	$1.73e - 5 \pm 4.18e - 6$	$1.89e - 5 \pm 4.75e - 6$
CGPB	$1.78e - 7 \pm 4.98e - 8$	$2.21e - 7 \pm 5.78e - 8$
<b>SCG</b>	<b><math>7.22e - 9 \pm 2.75e - 9</math></b>	<b><math>8.77e - 9 \pm 3.34e - 9</math></b>
SR1	$1.51e - 5 \pm 4.58e - 6$	$1.53e - 5 \pm 6.03e - 6$
DFP	$2.56e - 9 \pm 1.15e - 9$	$2.94e - 9 \pm 1.38e - 9$
<b>BFG</b>	<b><math>7.78e - 12 \pm 4.29e - 12</math></b>	<b><math>9.43e - 12 \pm 5.33e - 12</math></b>
OSS	$2.70e - 7 \pm 7.36e - 8$	$3.23e - 7 \pm 9.82e - 8$
CRBF [231, 230]	$3.50e - 1$	$3.88e - 1$
C-ELM (RBF) [231, 230]	$4.74e - 1$	$4.95e - 1$
FC-RBF [231, 230]	$3.61e - 6$	$9.00e - 6$
<b>FC-RBF with KMC [231]</b>	<b><math>2.01e - 6</math></b>	<b><math>1.87e - 6</math></b>
Mc-FCRBF [232]	$2.50e - 5$	$2.56e - 6$
CSRAN [244]	$9.00e - 6$	$9.00e - 6$
CMRAN [231, 230]	$4.60e - 3$	$4.90e - 3$

Tabela 6.7: Rezultate experimentale pentru funcția complexă complet I

variabile. Singurul strat ascuns a avut 25 de neuroni, aceleași funcții de activare ca în experimentele din subsecțiunea anterioară, iar rețelele au fost antrenate pentru 5000 de epoci. Tabelul 6.8 arată rezultatele antrenării, utilizând algoritmi descriși, pe parcursul a 50 de rulări ale fiecărui algoritm, iar Figura 6.5 ilustrează, pe o scară logaritmică identică cu cele din experimentele anterioare, aceleași rezultate.

### 6.1.6 Funcția complexă divizat I

Testăm acum algoritmi propuși pe funcții complexe divizat, i.e. funcții care tratează separat părțile reală și imaginară ale argumentului complex. Prima astfel de funcție, care a fost folosită în [21, 128, 54] pentru a testa performanța rețelelor neuronale cu valori complexe, este

$$f_3(x + iy) = e^{iy}(1 - x^2 - y^2).$$

Setul de antrenare a fost compus din 3000 de tipare de antrenare, iar setul de testare din 1000 de tipare de testare generate aleator din interiorul discului unitate. Rețelele neuronale au avut 15 neuroni pe un singur strat ascuns. Ca în experimentele din Subsecțiunea 6.1.2, funcțiile de activare au fost tangenta hiperbolică complexă divizat și respectiv funcția identitate. Ponderile au fost inițializate aleator cu valori din interiorul discului unitate.

Rezultatele mediate de-a lungul a 50 de rulări ale fiecărui algoritm antrenat timp de 5000 de epoci sunt prezentate în Tabelul 6.9 și, pe o scară logaritmică, în Figura

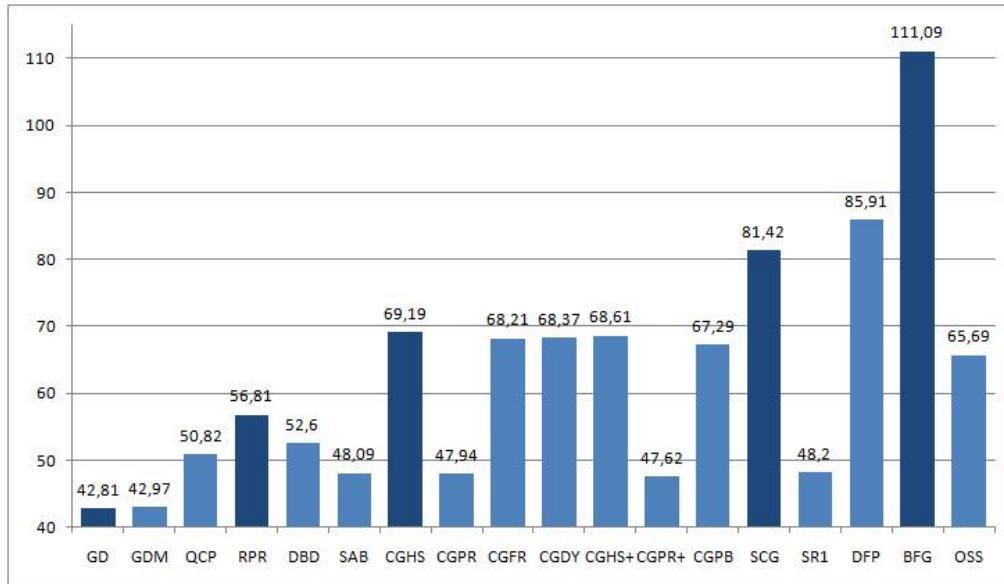


Figura 6.3: Rezultate experimentale pentru funcția complexă complet I

6.6. Dinamica învățării este înfățișată în Figura 6.7.

### 6.1.7 Funcția complexă divizat II

A doua funcție complexă divizat, care a fost folosită în unul dintre primele articole din domeniul rețelelor neuronale cu valori complexe, și anume [20], dar de asemenea în [21, 128, 54], este

$$f_4(x + iy) = x^2 + y^2 + 2ixy.$$

Seturile de antrenare și de testare, precum și arhitectura rețelelor sunt la fel ca în setul precedent de experimente. Tabelul 6.10 prezintă rezultatele de antrenare și testare cu valoarea EMP mediată de-a lungul a 50 de rulări ale fiecărui algoritm, iar Figura 6.8 ilustrează aceleași rezultate, folosind o scară logaritmică.

### 6.1.8 Funcția complexă divizat III

Ultima funcție de test din categoria complexă divizat, de asemenea folosită în [21, 128, 54], care conține funcții trigonometrice și hiperbolice, este

$$f_5(x + iy) = \sin x \cosh y + i \cos x \sinh y.$$

Acest set de experimente a avut aceleași arhitecturi de rețele și seturile de antrenare și testare generate în același fel cu anterioarele două. Media și deviația standard a erorii medii pătratice calculate pentru 50 de rulări ale fiecăruia dintre cei 18 algoritmi sunt prezentate în Tabelul 6.11. Figura 6.9 prezintă grafic valoarea lui  $-10 \log_{10}(EMP)$  pentru fiecare dintre cei 18 algoritmi implementați.

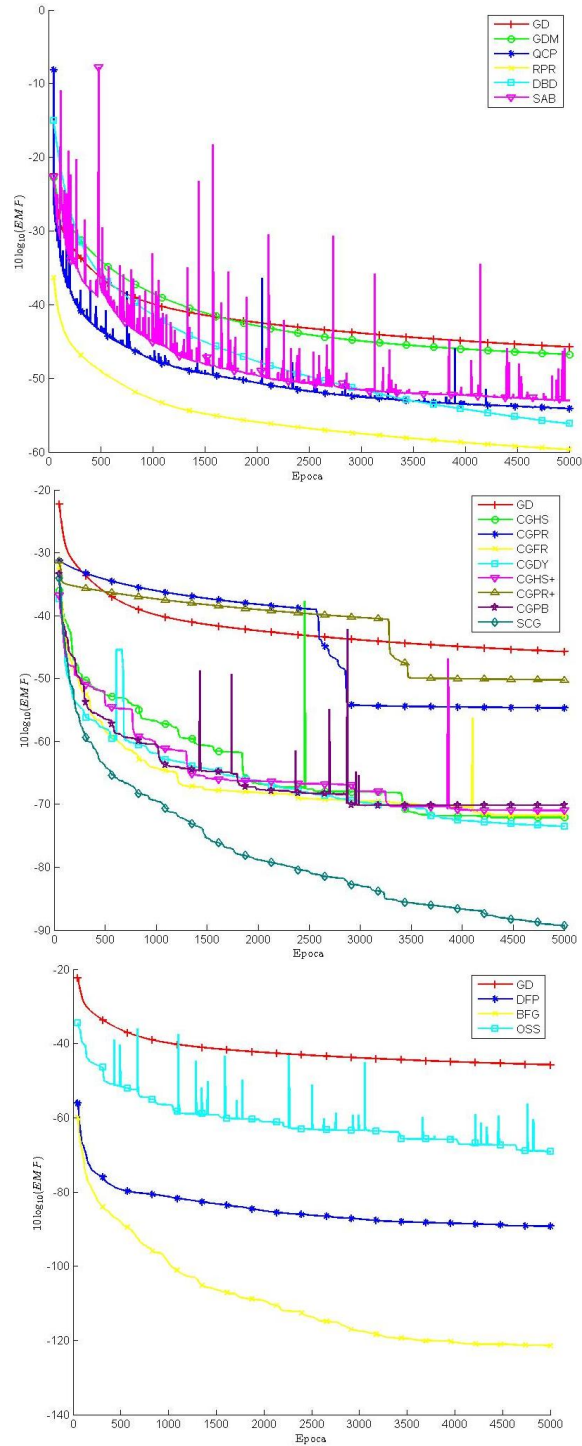


Figura 6.4: Dinamica învățării pentru funcția complexă complet I

Algoritm	EMP Antrenare	EMP Testare
<b>GD</b>	<b><math>5.32e - 4 \pm 4.35e - 5</math></b>	<b><math>6.26e - 4 \pm 1.40e - 4</math></b>
GDM	$5.42e - 4 \pm 5.05e - 5$	$6.69e - 4 \pm 2.17e - 4$
QCP	$1.46e - 4 \pm 4.70e - 6$	$1.76e - 4 \pm 9.61e - 6$
<b>RPR</b>	<b><math>1.42e - 4 \pm 2.93e - 6</math></b>	<b><math>1.67e - 4 \pm 4.85e - 6</math></b>
DBD	$1.54e - 4 \pm 2.14e - 6$	$1.71e - 4 \pm 3.60e - 6$
SAB	$1.67e - 4 \pm 7.81e - 6$	$1.86e - 4 \pm 1.37e - 5$
CGHS	$1.49e - 4 \pm 2.35e - 6$	$1.66e - 4 \pm 5.24e - 6$
CGPR	$1.70e - 4 \pm 5.16e - 6$	$1.87e - 4 \pm 8.86e - 6$
CGFR	$1.48e - 4 \pm 1.71e - 6$	$1.64e - 4 \pm 3.83e - 6$
<b>CGDY</b>	<b><math>1.41e - 4 \pm 2.69e - 6</math></b>	<b><math>1.61e - 4 \pm 2.56e - 6</math></b>
CGHS+	$1.49e - 4 \pm 2.56e - 6$	$1.64e - 4 \pm 3.19e - 6$
CGPR+	$1.72e - 4 \pm 4.44e - 6$	$1.91e - 4 \pm 1.14e - 5$
CGPB	$1.49e - 4 \pm 2.82e - 6$	$1.65e - 4 \pm 4.01e - 6$
<b>SCG</b>	<b><math>1.42e - 4 \pm 3.01e - 6</math></b>	<b><math>1.61e - 4 \pm 3.42e - 6</math></b>
SR1	$1.45e - 5 \pm 1.16e - 6$	$1.56e - 5 \pm 1.15e - 6$
DFP	$6.03e - 6 \pm 1.40e - 6$	$6.59e - 6 \pm 1.52e - 6$
<b>BFG</b>	<b><math>5.12e - 6 \pm 1.33e - 6</math></b>	<b><math>5.63e - 6 \pm 1.48e - 6</math></b>
OSS	$1.37e - 4 \pm 3.52e - 6$	$1.61e - 4 \pm 3.42e - 6$
CRBF [231, 230]	$2.15e - 2$	$3.30e - 2$
FCRN [234]	$9.00e - 4$	$3.60e - 3$
C-ELM (RBF) [231, 230]	$3.67e - 2$	$5.28e - 2$
FC-RBF [231, 230]	$3.84e - 4$	$2.28e - 3$
FC-RBF with KMC [231]	$1.29e - 4$	$8.26e - 3$
<b>Mc-FCRBF [232]</b>	<b><math>8.10e - 7</math></b>	<b><math>8.10e - 7</math></b>
CSRAN [244]	$6.40e - 5$	$4.00e - 4$
CMRAN [231, 230]	$6.60e - 4$	$2.50e - 1$

Tabela 6.8: Rezultate experimentale pentru funcția complexă complet II

### 6.1.9 Egalizarea cu canal liniar

Egalizarea modulării amplitudinii în cuadratură (QAM) a semnalelor transmise prin canale liniare sau neliniare este o aplicație importantă a rețelelor neuronale cu valori complexe. Datorită acestui fapt, am decis să aplicăm algoritmi propuși pe niște benchmark-uri cunoscute în literatura din domeniul egalizării canalelor de comunicație.

Primul asemenea benchmark, propus în [69], și folosit, de exemplu, în [139, 165, 281] este o problemă care vizează egalizarea unui canal liniar 4-QAM. Funcția de activare a canalului este dată de

$$H(z) = (0.7409 - 0.7406i)(1 - (0.2 - 0.1i)z^{-1}) \times (1 - (0.6 - i0.3)z^{-1}).$$

Constelația pentru egalizatorul 4-QAM este dată de simbolurile din mulțimea  $\{\pm 1 \pm i\}$ . Pentru antrenarea rețelelor, 10000 de simboluri uniform generate din această mulțime au fost trecute prin canalul liniar dat mai sus și zgomot alb gaussian a fost adăugat, care a avut un raport semnal zgomot (SNR, signal-to-noise ratio) de 15. Mulțimea de testare a avut 5000 de tipare generate la un SNR de 10. Ordinul canalului este 3 și întârzierea a fost aleasă ca fiind 1. În consecință, rețelele au avut 3 intrări, 15 neuroni ascunși pe un singur strat ascuns și un neuron pe stratul de ieșire, și funcția

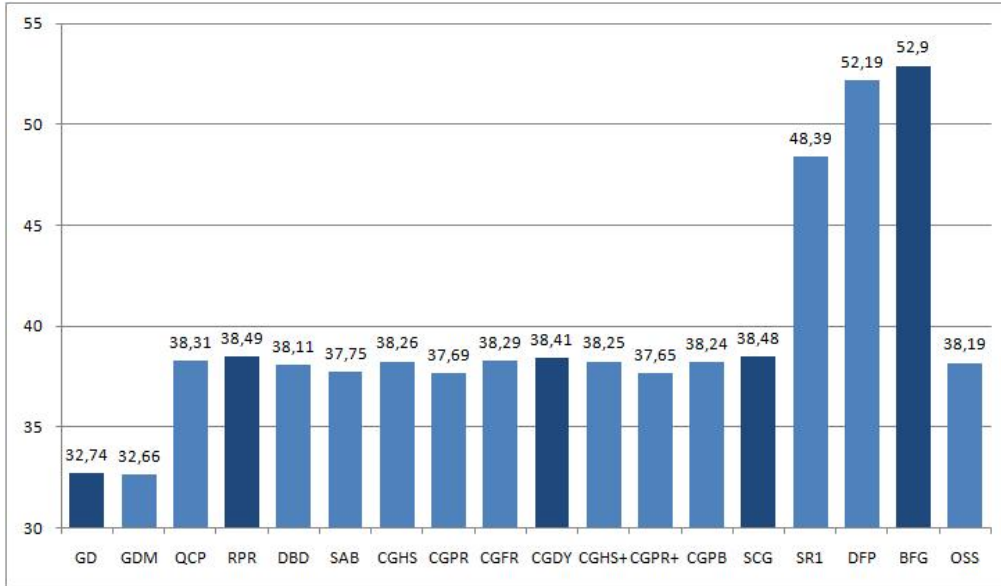


Figura 6.5: Rezultate experimentale pentru funcția complexă complet II

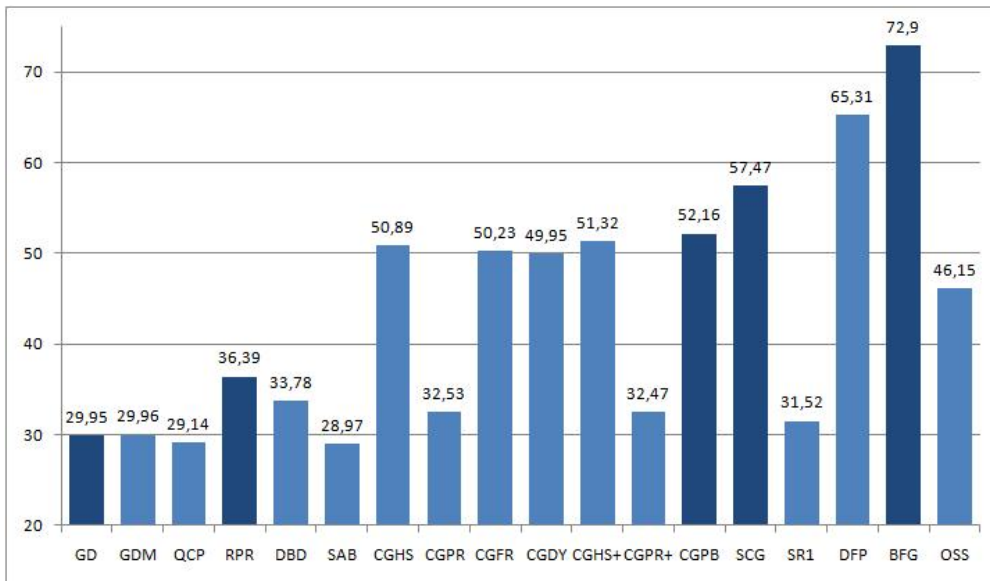


Figura 6.6: Rezultate experimentale pentru funcția complexă divizat I

de activare tangentă hiperbolică complexă divizat pe stratul ascuns și identitatea pe stratul de ieșire.

Media și deviația standard a erorii medii pătratice (EMP) la antrenare și testare calculate pentru 50 de rulări ale fiecărui algoritm dintre cei 18 aparținând celor cinci clase

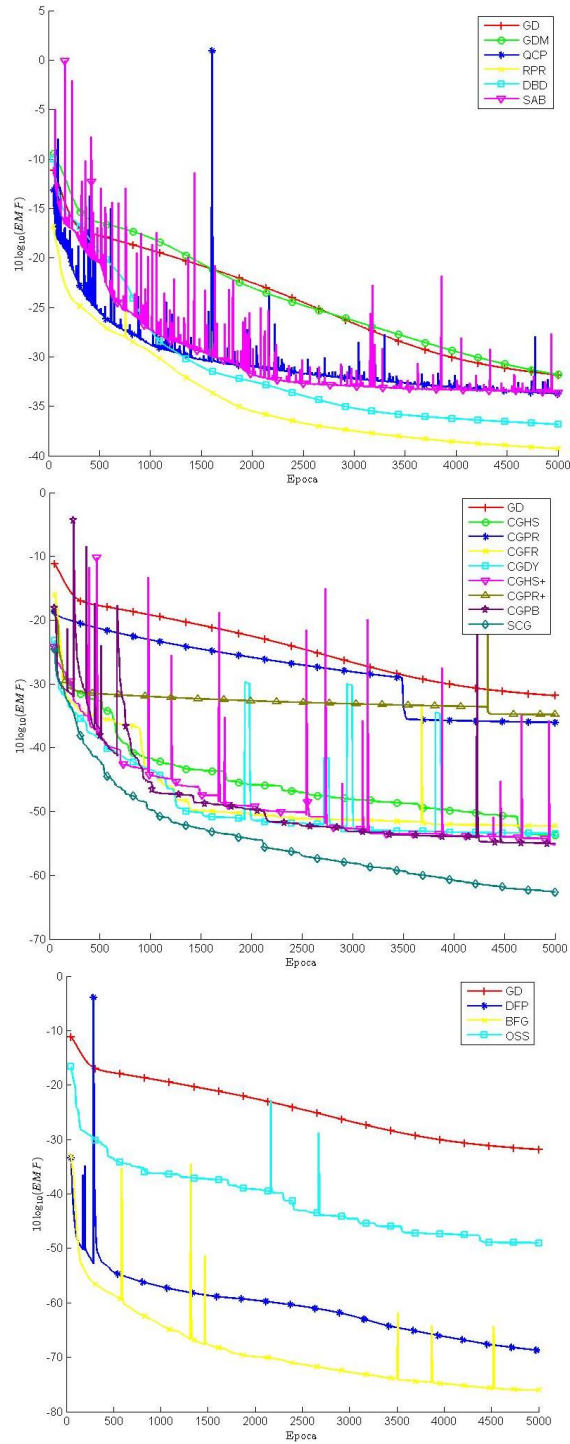


Figura 6.7: Dinamica învățării pentru funcția complexă divizat I

Algoritm	EMP Antrenare	EMP Testare
<b>GD</b>	<b><math>1.01e-3 \pm 1.55e-4</math></b>	<b><math>1.12e-3 \pm 1.60e-4</math></b>
GDM	$1.01e-3 \pm 1.63e-4$	$1.11e-3 \pm 1.67e-4$
QCP	$1.22e-3 \pm 5.67e-4$	$1.35e-3 \pm 6.17e-4$
<b>RPR</b>	<b><math>2.29e-4 \pm 5.08e-5</math></b>	<b><math>2.62e-4 \pm 5.85e-5</math></b>
DBD	$4.19e-4 \pm 1.01e-4$	$4.70e-4 \pm 1.09e-4$
SAB	$1.26e-3 \pm 6.36e-4$	$1.39e-3 \pm 6.89e-4$
CGHS	$8.15e-6 \pm 1.51e-6$	$8.76e-6 \pm 1.52e-6$
CGPR	$5.58e-4 \pm 9.62e-5$	$6.29e-4 \pm 1.09e-4$
CGFR	$9.49e-6 \pm 1.75e-6$	$1.04e-5 \pm 1.81e-6$
CGDY	$1.01e-5 \pm 2.26e-6$	$1.09e-5 \pm 2.38e-6$
CGHS+	$7.38e-6 \pm 1.93e-6$	$8.01e-6 \pm 2.05e-6$
CGPR+	$5.67e-4 \pm 1.08e-4$	$6.39e-4 \pm 1.18e-4$
<b>CGPB</b>	<b><math>6.08e-6 \pm 1.59e-6</math></b>	<b><math>6.60e-6 \pm 1.70e-6</math></b>
<b>SCG</b>	<b><math>1.79e-6 \pm 3.64e-7</math></b>	<b><math>2.05e-6 \pm 4.21e-7</math></b>
SR1	$7.05e-4 \pm 1.76e-4$	$7.62e-4 \pm 1.99e-4$
DFP	$2.95e-7 \pm 9.15e-8$	$3.40e-7 \pm 1.05e-7$
<b>BFG</b>	<b><math>5.13e-8 \pm 1.30e-8</math></b>	<b><math>6.03e-8 \pm 1.61e-8</math></b>
OSS	$2.43e-5 \pm 4.41e-6$	$2.69e-5 \pm 4.87e-6$

Tabela 6.9: Rezultate experimentale pentru funcția complexă divizat I

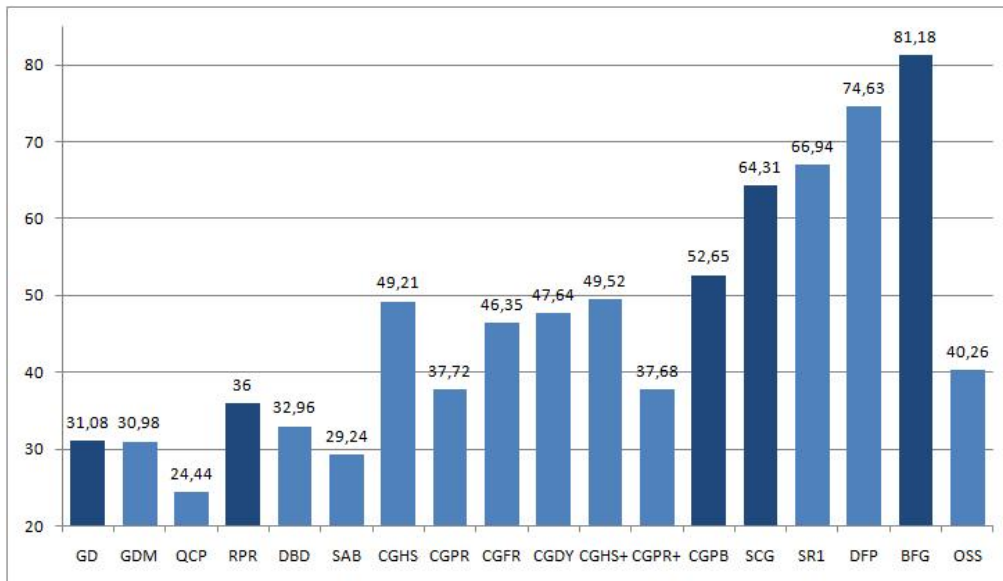


Figura 6.8: Rezultate experimentale pentru funcția complexă divizat II

sunt date în Tabelul 6.12, iar dinamica învățării este înfățișată, separat pentru fiecare clasă de algoritmi, în Figura 6.11. Figura 6.10 prezintă rezultatele experimentale folosind o scară logaritmică.



Algoritm	EMP Antrenare	EMP Testare
<b>GD</b>	<b><math>7.80e-4 \pm 1.19e-4</math></b>	<b><math>8.63e-4 \pm 1.32e-4</math></b>
GDM	$7.98e-4 \pm 1.58e-4$	$8.81e-4 \pm 1.81e-4$
QCP	$3.57e-3 \pm 4.02e-3$	$3.74e-3 \pm 4.08e-3$
<b>RPR</b>	<b><math>2.51e-4 \pm 5.91e-5</math></b>	<b><math>2.92e-4 \pm 6.91e-5</math></b>
DBD	$5.06e-4 \pm 1.76e-4$	$5.67e-4 \pm 2.00e-4$
SAB	$1.18e-3 \pm 4.27e-4$	$1.33e-3 \pm 4.57e-4$
CGHS	$1.19e-5 \pm 4.72e-6$	$1.37e-5 \pm 5.47e-6$
CGPR	$1.69e-4 \pm 3.42e-5$	$1.90e-4 \pm 3.92e-5$
CGFR	$2.31e-5 \pm 8.98e-6$	$2.62e-5 \pm 1.03e-5$
CGDY	$1.72e-5 \pm 8.53e-6$	$1.95e-5 \pm 9.67e-6$
CGHS+	$1.11e-5 \pm 4.81e-6$	$1.28e-5 \pm 5.72e-6$
CGPR+	$1.71e-4 \pm 3.38e-5$	$1.92e-4 \pm 3.81e-5$
<b>CGPB</b>	<b><math>5.38e-6 \pm 2.83e-6</math></b>	<b><math>6.21e-6 \pm 3.33e-6</math></b>
<b>SCG</b>	<b><math>9.42e-5 \pm 2.62e-5</math></b>	<b><math>1.06e-4 \pm 2.98e-5</math></b>
SR1	$2.02e-7 \pm 7.05e-8$	$2.44e-7 \pm 8.64e-8$
DFP	$3.44e-8 \pm 1.04e-8$	$4.25e-8 \pm 1.28e-8$
<b>BFG</b>	<b><math>7.62e-9 \pm 3.24e-9</math></b>	<b><math>9.86e-9 \pm 4.31e-9</math></b>
OSS	$9.42e-5 \pm 2.62e-5$	$1.06e-4 \pm 2.98e-5$

Tabela 6.10: Rezultate experimentale pentru funcția complexă divizat II

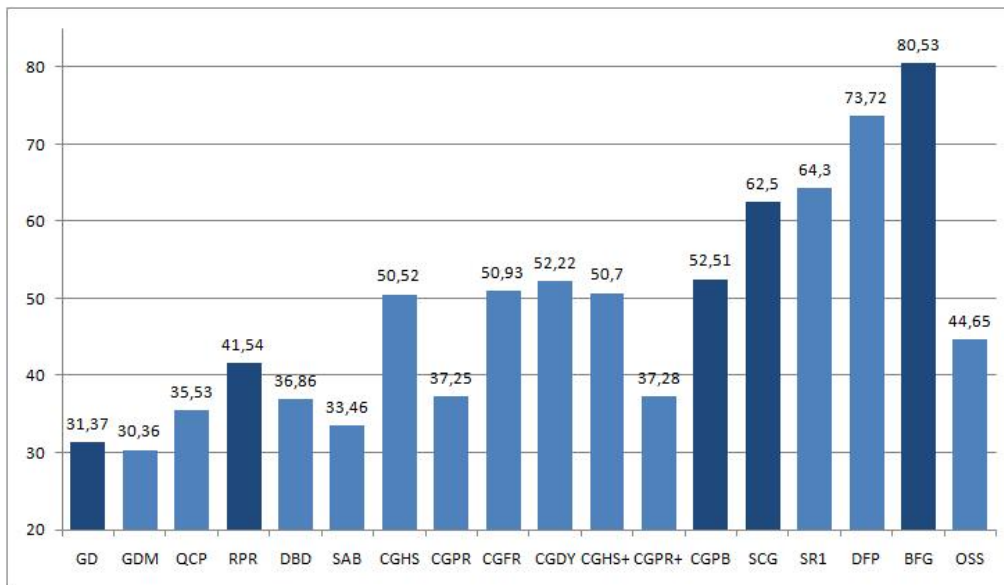


Figura 6.9: Rezultate experimentale pentru funcția complexă divizat III

### 6.1.10 Egalizarea cu canal neliniar

Unul dintre cele mai cunoscute benchmark-uri ale rețelelor neuronale cu valori complexe este problema egalizării canalului neliniar 4-QAM propusă în [62], și folosită ulterior în [237, 231, 230, 244, 13, 233, 273, 258, 235]. Modelul pentru canalul neliniar este

Algoritm	EMP Antrenare	EMP Testare
<b>GD</b>	<b><math>7.29e-4 \pm 1.71e-4</math></b>	<b><math>7.72e-4 \pm 1.78e-4</math></b>
GDM	$9.20e-4 \pm 2.15e-4$	$9.67e-4 \pm 2.20e-4$
QCP	$2.79e-4 \pm 6.69e-5$	$3.07e-4 \pm 7.11e-5$
<b>RPR</b>	<b><math>7.01e-5 \pm 1.81e-5</math></b>	<b><math>7.74e-5 \pm 2.04e-5</math></b>
DBD	$2.06e-4 \pm 4.41e-5$	$2.26e-4 \pm 4.78e-5$
SAB	$4.48e-4 \pm 2.14e-4$	$5.01e-4 \pm 2.82e-4$
CGHS	$8.83e-6 \pm 2.57e-6$	$9.82e-6 \pm 2.83e-6$
CGPR	$1.88e-4 \pm 4.14e-5$	$2.04e-4 \pm 4.42e-5$
CGFR	$8.02e-6 \pm 1.85e-6$	$8.83e-6 \pm 2.15e-6$
CGDY	$5.97e-6 \pm 1.28e-6$	$6.52e-6 \pm 1.43e-6$
CGHS+	$8.48e-6 \pm 2.57e-6$	$9.42e-6 \pm 2.92e-6$
CGPR+	$1.87e-4 \pm 4.63e-5$	$2.03e-4 \pm 5.00e-5$
<b>CGPB</b>	<b><math>5.57e-6 \pm 2.30e-6</math></b>	<b><math>6.13e-6 \pm 2.53e-6</math></b>
<b>SCG</b>	<b><math>5.62e-7 \pm 1.12e-7</math></b>	<b><math>3.73e-5 \pm 1.12e-5</math></b>
SR1	$3.71e-7 \pm 1.14e-7$	$4.13e-7 \pm 1.25e-7$
DFP	$4.24e-8 \pm 1.28e-8$	$4.67e-8 \pm 1.41e-8$
<b>BFG</b>	<b><math>8.86e-9 \pm 2.26e-9</math></b>	<b><math>1.01e-8 \pm 2.65e-9</math></b>
OSS	$3.43e-5 \pm 1.04e-5$	$3.73e-5 \pm 1.12e-5$

Tabela 6.11: Rezultate experimentale pentru funcția complexă divizat III

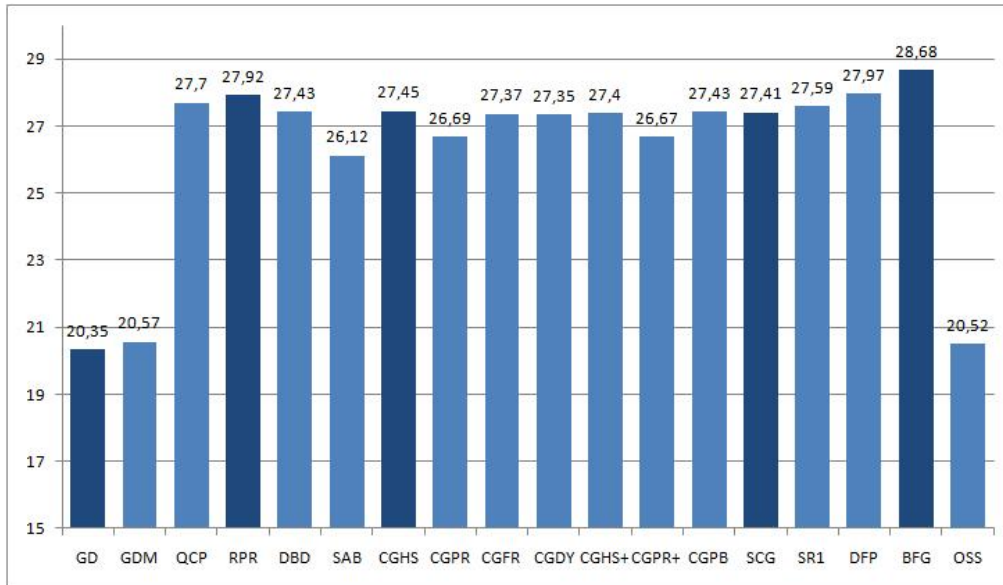


Figura 6.10: Rezultate experimentale pentru egalizarea cu canal liniar

$$\begin{aligned}
 o(k) &= (0.34-0.27i)s(k) + (0.87 + 0.43i)s(k-1) \\
 &\quad + (0.34-0.21i)s(k-2) \\
 z(k) &= o(k) + 0.1o(k)^2 + 0.05o(k)^3 + n(k),
 \end{aligned}$$

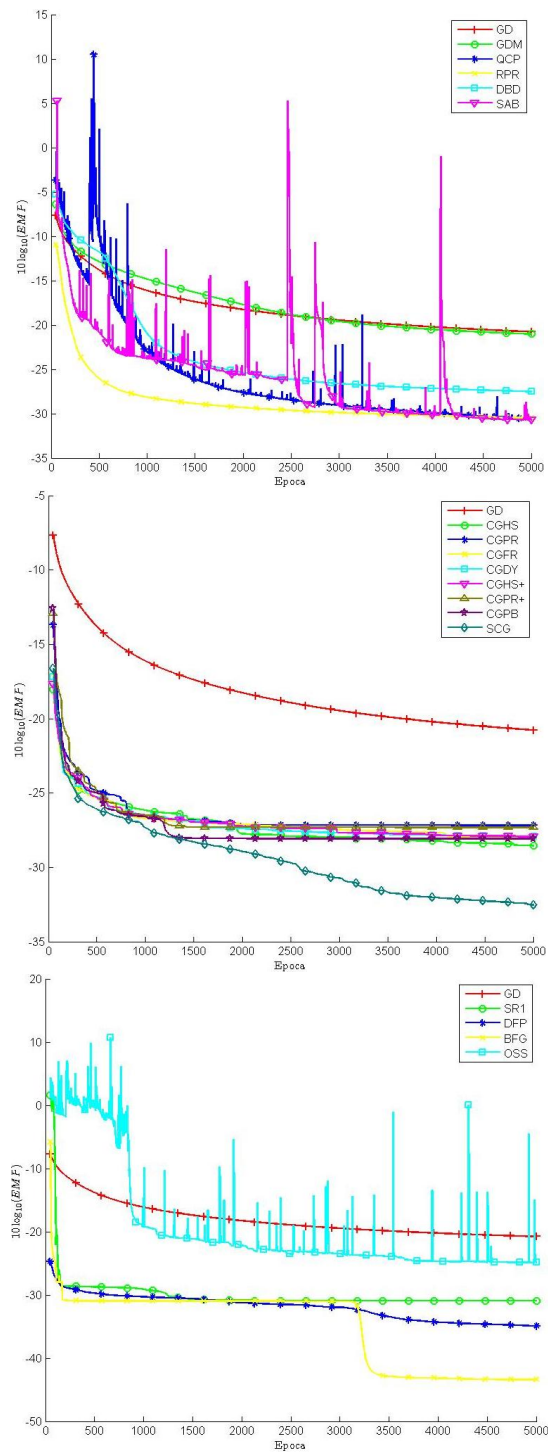


Figura 6.11: Dinamica învățării pentru egalizarea cu canal liniar

Algoritm	EMP Antrenare	EMP Testare
<b>GD</b>	<b><math>9.22e-3 \pm 3.61e-4</math></b>	<b><math>8.43e-3 \pm 3.51e-4</math></b>
GDM	$8.76e-3 \pm 3.21e-4$	$8.02e-3 \pm 3.00e-4$
QCP	$1.70e-3 \pm 2.29e-4$	$3.19e-3 \pm 4.12e-4$
<b>RPR</b>	<b><math>1.61e-3 \pm 3.36e-5</math></b>	<b><math>2.82e-3 \pm 9.59e-5</math></b>
DBD	$1.81e-3 \pm 1.34e-5$	$2.66e-3 \pm 1.59e-5$
SAB	$2.44e-3 \pm 6.42e-4$	$3.82e-3 \pm 9.99e-4$
<b>CGHS</b>	<b><math>1.80e-3 \pm 5.24e-5</math></b>	<b><math>2.70e-3 \pm 4.49e-5</math></b>
CGPR	$2.14e-3 \pm 7.83e-5$	$2.79e-3 \pm 3.00e-5$
CGFR	$1.83e-3 \pm 4.00e-5$	$2.71e-3 \pm 3.47e-5$
CGDY	$1.84e-3 \pm 4.96e-5$	$2.70e-3 \pm 4.75e-5$
CGHS+	$1.82e-3 \pm 4.57e-5$	$2.71e-3 \pm 3.60e-5$
CGPR+	$2.14e-3 \pm 7.39e-5$	$2.80e-3 \pm 3.34e-5$
CGPB	$1.52e-3 \pm 8.02e-5$	$2.70e-3 \pm 4.15e-5$
<b>SCG</b>	<b><math>1.81e-3 \pm 1.24e-4</math></b>	<b><math>2.69e-3 \pm 4.50e-5</math></b>
SR1	$1.74e-3 \pm 9.67e-5$	$2.64e-3 \pm 5.57e-5$
DFF	$1.59e-3 \pm 1.52e-4$	$2.64e-3 \pm 8.69e-5$
<b>BFG</b>	<b><math>1.36e-3 \pm 3.23e-4</math></b>	<b><math>2.98e-3 \pm 4.76e-4</math></b>
OSS	$8.88e-3 \pm 3.27e-3$	$1.43e-2 \pm 4.15e-3$

Tabela 6.12: Rezultate experimentale pentru egalizarea cu canal liniar

unde  $s(k)$ ,  $s(k-1)$ , și  $s(k-2)$  sunt intrări,  $z(k)$  este ieșirea neliniară, și  $n(k)$  este un zgomot alb gaussian adăugat. Pentru experimentele noastre, am generat 10000 de tipare de antrenare uniform distribuite din constelația 4-QAM  $\{\pm 1 \pm i\}$  având un SNR de 20, și 5000 de tipare de testare având un SNR de 16. După cum se poate observa cu ușurință, ordinul canalului este 3, iar întârzierea a fost aleasă să fie 1. Rețelele au avut aceleași arhitecturi ca cele din setul precedent de experimente.

Rezultatele obținute după rularea de 50 de ori a fiecărui algoritm, sunt date în aceeași formă ca mai sus, în Tabelul 6.13, și respectiv în Figura 6.12. Tabelul mai prezintă și rezultatele altor arhitecturi de rețele neuronale folosite pentru a învăța aceeași problemă. Dinamica învățării este prezentată grafic în Figura 6.13, diferențiat pe fiecare clasă de algoritmi.

### 6.1.11 Predicția seriilor de timp liniare

O altă aplicație importantă a rețelelor neuronale cu valori complexe este la predicția semnalelor liniare și neliniare. Un benchmark foarte cunoscut, propus în [170], și folosit în [105, 93, 95, 98, 96, 266], este predicția zgomotului alb cu valori complexe de medie zero și varianță unitară  $n(k)$ , trecut prin filtrul autoregresiv stabil dat prin

$$y(k) = 1.79y(k-1) - 1.85y(k-2) + 1.27y(k-3) - 0.41y(k-4) + n(k).$$

Zgomotul a fost generat astfel încât varianța semnalului ca întreg să fie 1, ținând cont de faptul că  $\sigma^2 = (\sigma^R)^2 + (\sigma^I)^2$ . Numărul de intrări ale filtrului a fost ales să fie 4. Ca o consecință, rețelele au avut 4 intrări, 4 neuroni pe un singur strat ascuns și o ieșire. Funcția de activare pentru stratul ascuns a fost funcția tangentă hiperbolică complexă complet, iar pentru stratul de ieșire tot funcția identitate. Antrenarea a fost făcută folosind 5000 de tipare de antrenare și a fost repetată de 50 de ori.

Algoritm	EMP Antrenare	EMP Testare
<b>GD</b>	<b><math>1.47e - 1 \pm 7.59e - 2</math></b>	<b><math>1.61e - 1 \pm 8.24e - 2</math></b>
GDM	$1.25e - 1 \pm 7.16e - 2$	$1.35e - 1 \pm 7.80e - 2$
QCP	$2.05e - 2 \pm 1.63e - 2$	$2.51e - 2 \pm 1.89e - 2$
<b>RPR</b>	<b><math>1.23e - 2 \pm 1.23e - 2</math></b>	<b><math>1.58e - 2 \pm 1.47e - 2</math></b>
DBD	$1.89e - 2 \pm 2.13e - 2$	$2.31e - 2 \pm 2.45e - 2$
SAB	$1.75e - 1 \pm 5.49e - 2$	$1.91e - 1 \pm 6.11e - 2$
CGHS	$7.07e - 4 \pm 1.28e - 3$	$1.63e - 3 \pm 1.53e - 3$
CGPR	$3.83e - 4 \pm 1.23e - 4$	$1.25e - 3 \pm 2.65e - 4$
CGFR	$1.85e - 4 \pm 1.20e - 4$	$8.86e - 4 \pm 2.67e - 4$
CGDY	$1.11e - 4 \pm 1.16e - 4$	$7.91e - 4 \pm 3.95e - 4$
CGHS+	$1.74e - 4 \pm 1.08e - 4$	$8.89e - 4 \pm 2.98e - 4$
CGPR+	$3.75e - 4 \pm 9.28e - 5$	$1.23e - 3 \pm 2.16e - 4$
<b>CGPB</b>	<b><math>8.23e - 5 \pm 8.99e - 5</math></b>	<b><math>6.59e - 4 \pm 2.98e - 4</math></b>
<b>SCG</b>	<b><math>2.71e - 4 \pm 8.19e - 5</math></b>	<b><math>1.13e - 3 \pm 2.22e - 4</math></b>
SR1	$3.48e - 5 \pm 1.63e - 5$	$8.28e - 4 \pm 1.58e - 4$
DFP	$6.93e - 7 \pm 7.08e - 7$	$6.21e - 4 \pm 1.82e - 4$
<b>BFG</b>	<b><math>5.70e - 7 \pm 8.07e - 7</math></b>	<b><math>8.14e - 4 \pm 3.62e - 4</math></b>
OSS	$3.11e - 4 \pm 9.22e - 5$	$1.13e - 3 \pm 2.22e - 4$
CRBF [231, 230]	$3.17e - 1$	$3.56e - 1$
C-ELM (RBF) [231, 230]	$3.27e - 1$	$3.33e - 1$
FC-RBF [231, 230]	$1.60e - 1$	$1.68e - 1$
FCRN [234]	$9.00e - 2$	$1.22e - 1$
<b>Mc-FCRBF</b> [232]	<b><math>2.04e - 2</math></b>	<b><math>2.77e - 2</math></b>
CSRAN [244]	$4.00e - 2$	$1.44e - 1$
CMRAN [231, 230]	$1.60e - 1$	$1.84e - 1$

Tabela 6.13: Rezultate experimentale pentru egalizarea cu canal neliniar

Rezultatele după aceste rulări ale fiecărui algoritm sunt date în Tabelul 6.14. În tabel am prezentat o măsură a performanței de predicție numită *câștigul în predicție*, definit prin

$$R_p = 10 \log_{10} \frac{\sigma_x^2}{\sigma_e^2},$$

unde  $\sigma_x^2$  reprezintă varianța semnalului de intrare și  $\sigma_e^2$  reprezintă varianța erorii de predicție, fiind exprimat în dB. Evident, datorită modului în care este definit, un câștig în predicție mai mare relevă o performanță mai bună. În același tabel sunt citate și rezultatele altor algoritmi clasici din literatura de specialitate folosiți pe aceeași problemă. Câștigul în predicție pentru algoritmi implementați este ilustrat grafic în Figura 6.14.

### 6.1.12 Predicția seriilor de timp neliniare

Folosim acum un benchmark pentru predicția cu valori complexe neliniară, propus în [180], și apoi utilizat în [105, 93, 95, 98]. În experimentele noastre problema de predicție implică trecerea ieșirii filtrului autoregresiv dat de

$$y(k) = 1.79y(k-1) - 1.85y(k-2) + 1.27y(k-3) - 0.41y(k-4) + n(k),$$

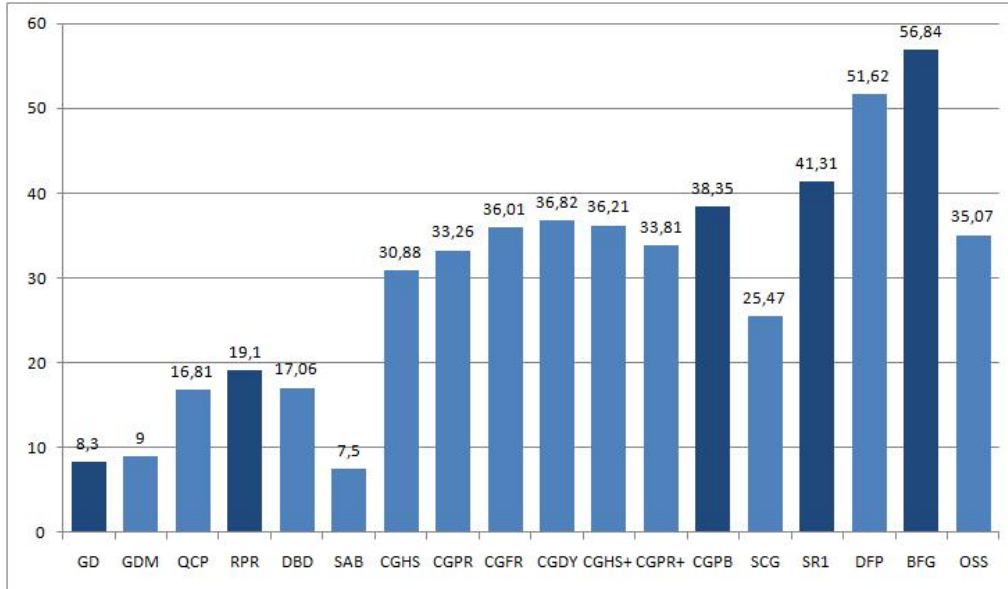


Figura 6.12: Rezultate experimentale pentru egalizarea cu canal neliniar

prin neliniaritatea dată de

$$z(k) = \frac{z(k-1)}{1 + z^2(k-1)} + y^3(k).$$

Zgomotul cu valori complexe de la intrare  $n(k)$  a fost generat ca în setul anterior de experimente, cu medie zero și varianță unitară. Numărul de intrări ale filtrului a fost de asemenea 4, și deci rețelele au avut aceleași arhitecturi și funcții de activare ca mai înainte.

Rezultatele, prezentate în Tabelul 6.15 și în Figura 6.15, calculate după 50 de rulări ale fiecărui algoritm, sunt foarte asemănătoare cu cele din experimentul precedent. Dinamica învățării în acest caz este dată în aceeași formă ca mai înainte în Figura 6.16. În tabel este prezentat câștigul în predicție definit, ca în setul precedent de experimente, prin

$$R_p = 10 \log_{10} \frac{\sigma_x^2}{\sigma_e^2},$$

unde  $\sigma_x^2$  reprezintă varianța semnalului de intrare și  $\sigma_e^2$  reprezintă varianța erorii de predicție, fiind exprimat în dB. Tabelul prezintă, de asemenea, câștigul în predicție pentru alți algoritmi folosiți pentru această problemă.

### 6.1.13 Predicția direcției și vitezei vântului

În fine, ultima aplicație din lumea reală pe care vom testa algoritmi propuși este problema predicției vitezei și direcției vântului, care a fost discutată în [93, 99, 94, 95, 263, 98, 97, 172, 169, 150, 267, 228].

Datele de antrenare au fost generate utilizând un anemometru ultrasonic, care a fost folosit pentru a măsura viteza vântului pe direcția nord-sud ( $V_N$ ) și respectiv pe

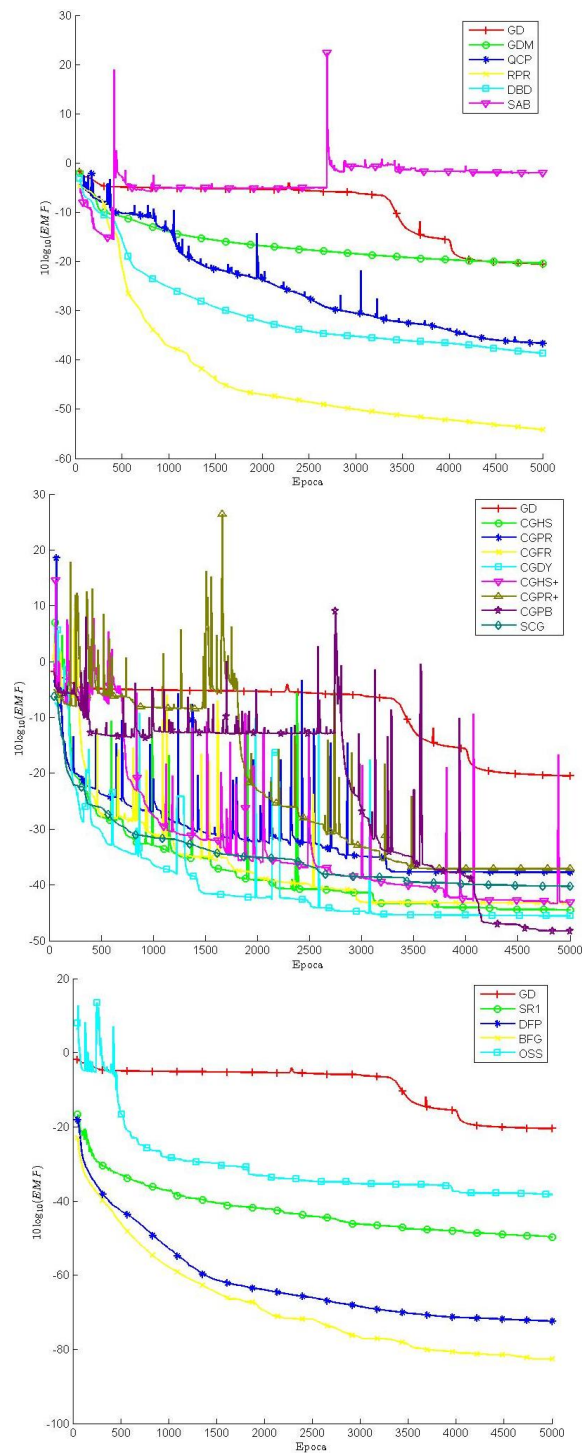


Figura 6.13: Dinamica învățării pentru egalizarea cu canal neliniar

Algoritm	Câștigul în predicție
<b>GD</b>	<b><math>3.57 \pm 4.12e - 1</math></b>
GDM	$3.62 \pm 4.01e - 1$
QCP	$8.29 \pm 1.96e - 3$
<b>RPR</b>	<b><math>8.29 \pm 1.69e - 3</math></b>
DBD	$8.27 \pm 7.53e - 3$
SAB	$8.28 \pm 3.76e - 3$
<b>CGHS</b>	<b><math>8.29 \pm 8.66e - 4</math></b>
CGPR	$6.69 \pm 6.18e - 1$
CGFR	$8.29 \pm 9.68e - 4$
CGDY	$8.29 \pm 1.00e - 3$
CGHS+	$8.29 \pm 1.09e - 3$
CGPR+	$6.43 \pm 5.52e - 1$
CGPB	$8.29 \pm 1.18e - 3$
<b>SCG</b>	<b><math>8.30 \pm 7.84e - 4</math></b>
SR1	$8.30 \pm 2.09e - 3$
DFP	$8.30 \pm 1.44e - 3$
<b>BFG</b>	<b><math>8.32 \pm 5.34e - 3</math></b>
OSS	$8.29 \pm 7.54e - 4$
CLMS [264]	2.99
CNGD [98]	3.10
CRTRL [92]	3.54
<b>ACRTRL [96]</b>	<b>4.10</b>

Tabela 6.14: Rezultate experimentale pentru predicția seriilor de timp liniare

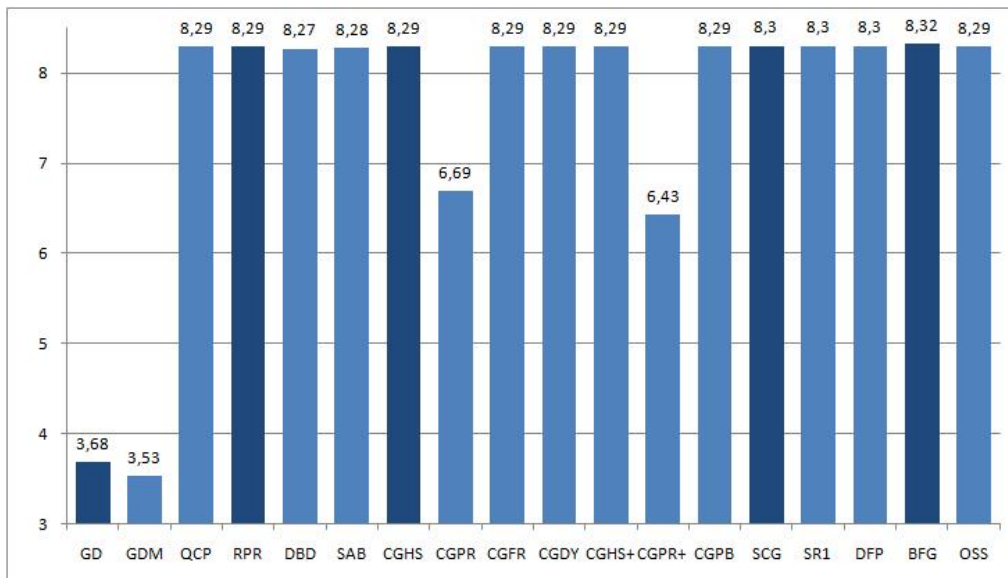


Figura 6.14: Rezultate experimentale pentru predicția seriilor de timp liniare

direcția est-vest ( $V_E$ ), care au fost folosite pentru crea semnalul cu valori complexe



Algoritm	Câștigul în predicție
<b>GD</b>	<b><math>3.95 \pm 4.67e - 1</math></b>
GDM	$3.98 \pm 4.71e - 1$
QCP	$8.35 \pm 1.25e - 3$
<b>RPR</b>	<b><math>8.35 \pm 6.45e - 4</math></b>
DBD	$8.34 \pm 5.28e - 3$
SAB	$8.35 \pm 2.18e - 3$
CGHS	$8.35 \pm 8.34e - 4$
CGPR	$8.31 \pm 2.59e - 2$
CGFR	$8.34 \pm 7.49e - 4$
CGDY	$8.35 \pm 1.09e - 3$
CGHS+	$8.35 \pm 6.61e - 4$
CGPR+	$6.45 \pm 3.90e - 1$
<b>CGPB</b>	<b><math>8.35 \pm 4.11e - 4</math></b>
<b>SCG</b>	<b><math>8.35 \pm 3.51e - 4</math></b>
SR1	$8.36 \pm 2.52e - 3$
DFP	$8.35 \pm 8.87e - 4$
<b>BFG</b>	<b><math>8.38 \pm 5.84e - 3</math></b>
OSS	$8.35 \pm 7.32e - 4$
CLMS [264]	1.87
CNGD [98]	2.50
<b>CRTRL [92]</b>	<b>3.76</b>

Tabela 6.15: Rezultate experimentale pentru predicția seriilor de timp neliniare

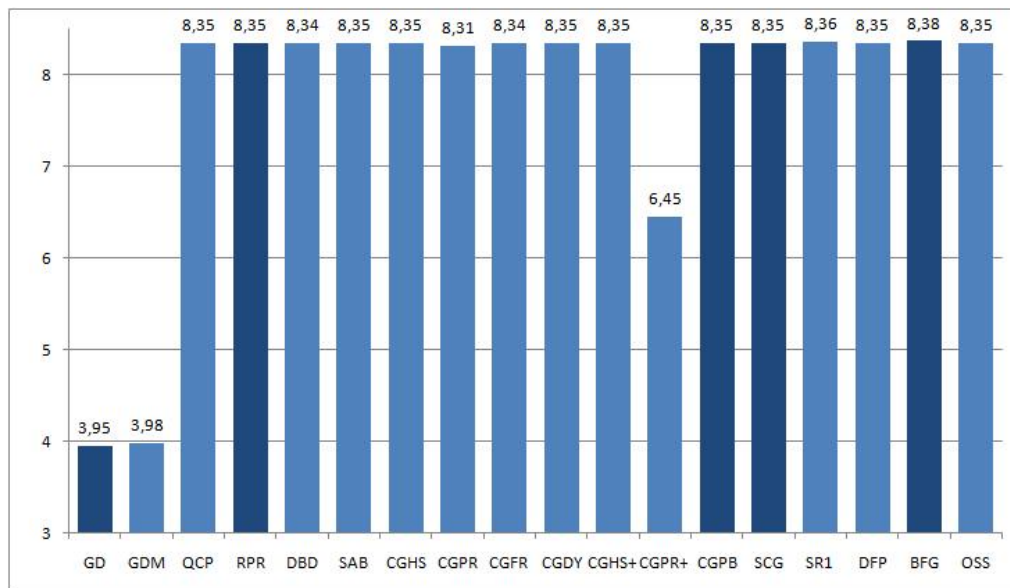


Figura 6.15: Rezultate experimentale pentru predicția seriilor de timp neliniare

$V$ , astfel:

$$V = V_E + iV_N.$$

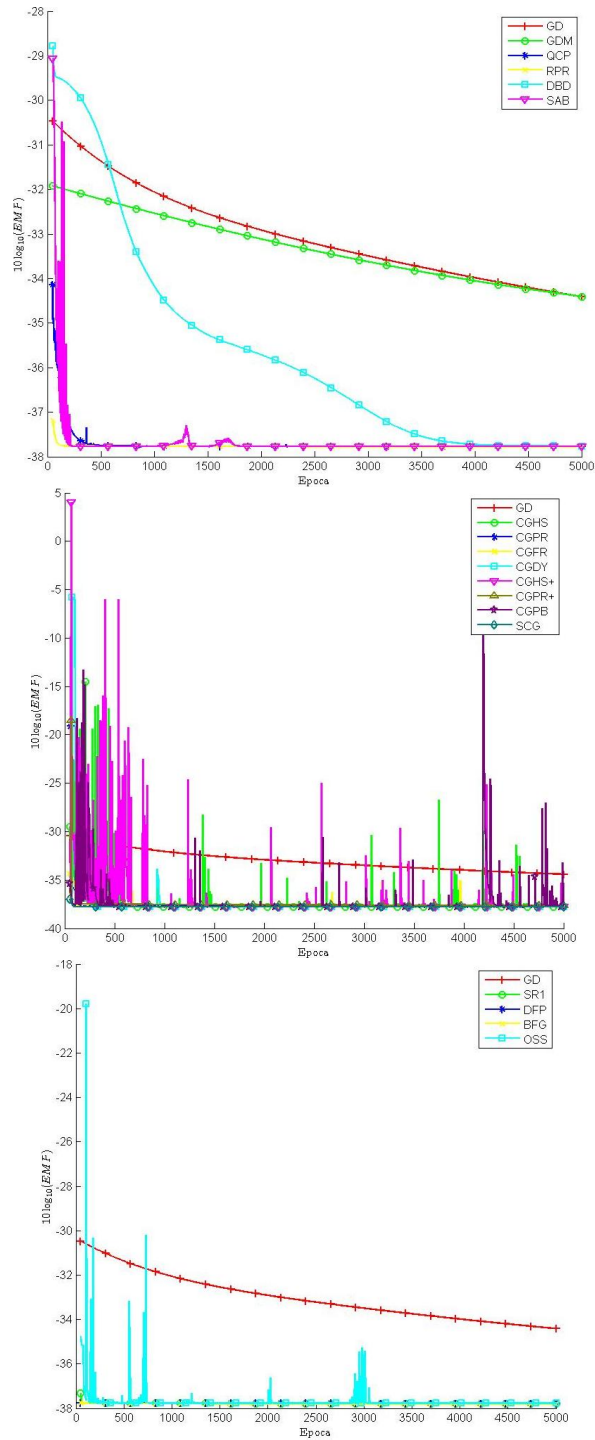


Figura 6.16: Dinamica învățării pentru predicția seriilor de timp neliniare

Acesta va fi semnalul care urmează să fie prezis folosind rețele neuronale cu valori complexe. Setul de date conține 5000 de tipare<sup>1</sup> care sunt folosite pentru a antrena o rețea de tip feedforward utilizând algoritmi propuși. Numărul de intrări a fost ales să fie 10, deci predicția se bazează pe ultimele 10 valori înregistrate, și astfel rețelele au 10 intrări, 15 neuroni pe un singur strat ascuns și o ieșire.

După 50 de rulări, pe parcursul a 5000 de epoci, ale fiecărui algoritm, rezultatele sunt înfățișate în Tabelul 6.16 și în Figura 6.17. În tabel și în figură este prezentat același câștig în predicție  $R_p$  definit mai sus. În tabel mai apare, de asemenea, și câștigul în predicție al altor algoritmi folosiți pentru aceeași aplicație.

Algoritm	Câștigul în predicție
<b>GD</b>	<b><math>7.61 \pm 1.05e - 2</math></b>
GDM	$7.69 \pm 9.67e - 3$
QCP	$6.97 \pm 4.72e - 1$
RPR	$7.63 \pm 2.17e - 2$
<b>DBD</b>	<b><math>7.75 \pm 1.50e - 2</math></b>
SAB	$7.68 \pm 3.31e - 2$
CGHS	$8.12 \pm 1.64e - 2$
CGPR	$7.96 \pm 1.70e - 2$
CGFR	$8.13 \pm 1.26e - 2$
<b>CGDY</b>	<b><math>8.15 \pm 1.80e - 2</math></b>
CGHS+	$8.12 \pm 1.83e - 2$
CGPR+	$7.97 \pm 1.58e - 2$
CGPB	$8.13 \pm 1.92e - 2$
<b>SCG</b>	<b><math>8.19 \pm 1.18e - 2</math></b>
SR1	$8.17 \pm 3.20e - 2$
<b>DFP</b>	<b><math>8.23 \pm 4.30e - 2</math></b>
BFG	$8.17 \pm 1.07e - 1$
OSS	$8.00 \pm 1.29e - 2$
CLMS [264]	5.14
ACLMS [172]	5.35
D-CMLS [267]	5.66
<b>D-ACMLS [267]</b>	<b>5.93</b>

Tabela 6.16: Rezultate experimentale pentru predicția direcției și vitezei vântului

## 6.2 Rețele neuronale cu valori matrici pătratice

### 6.2.1 Funcția sintetică I

În experimentele noastre, am considerat matrici pătratice de ordinul 3. Prima funcție pe care vom testa algoritmul propus este media aritmetică a două matrici

$$f_1(A, B) = \frac{1}{2}(A + B).$$

Pentru antrenarea rețelei neuronale cu valori matriciale, am generat 3000 de tipare de antrenare cu elemente aleatoare între 0 și 1. Setul de testare a conținut 1000 de tipare generate în același fel. Rețeaua a avut 15 neuroni pe un singur strat ascuns. Funcția de activare pentru stratul ascuns a fost funcția tangentă hiperbolică pe

<sup>1</sup>Disponibile la adresa <http://www.commssp.ee.ic.ac.uk/~mandic/wind-dataset.zip>.

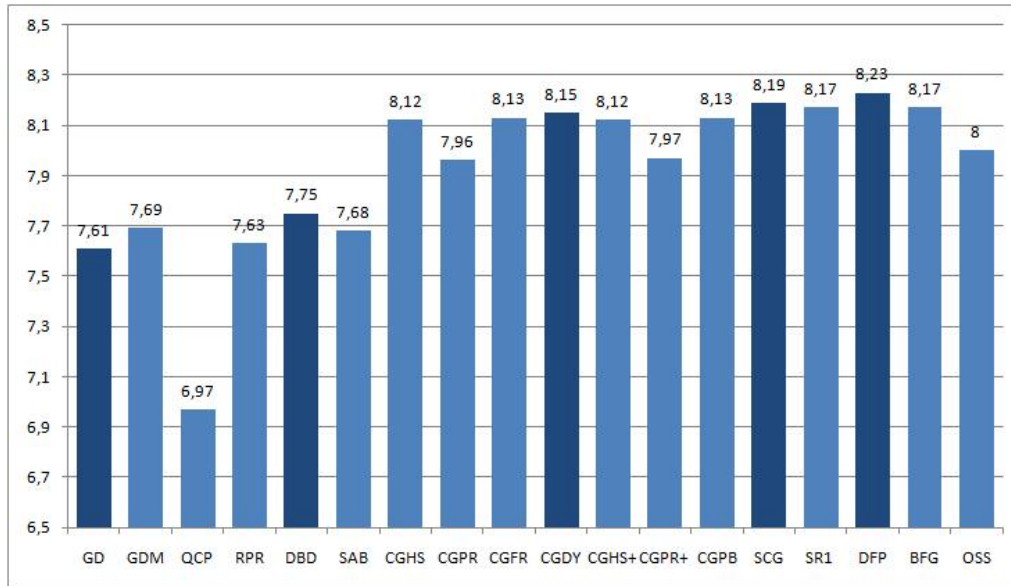


Figura 6.17: Rezultate experimentale pentru predicția direcției și vitezei vântului

componente dată prin

$$G^2 \left( \begin{pmatrix} a_{11} & a_{12} & a_{13} \\ a_{21} & a_{22} & a_{23} \\ a_{31} & a_{32} & a_{33} \end{pmatrix} \right) = \begin{pmatrix} \tanh a_{11} & \tanh a_{12} & \tanh a_{13} \\ \tanh a_{21} & \tanh a_{22} & \tanh a_{23} \\ \tanh a_{31} & \tanh a_{32} & \tanh a_{33} \end{pmatrix},$$

iar pentru stratul de ieșire, funcția de activare a fost funcția identică:  $G^3(S) = S$ .

Experimentul a arătat că rețeaua neuronală converge, și că eroarea medie pătratică (EMP) atât pentru setul de antrenare, cât și pentru setul de testare a fost aproximativ la fel, și egală cu 0.009030. Antrenarea a fost făcută pe parcursul a 1000 de epoci. Deși rezultatul nu este spectaculos, trebuie să ținem cont de faptul că fiecare matrice este formată din 9 numere reale, spre deosebire de două sau patru numere reale din cazul numerelor complexe, hiperbolice, și respectiv cuaternionilor.

### 6.2.2 Funcția sintetică II

O funcție mai complicată este funcția pătratică de două variabile

$$f_2(A, B) = A^2 + B^2.$$

Acest exemplu a fost inspirat de funcțiile sintetice pe care au fost testate rețelele neuronale cu valori complexe respectiv cuaternionice. Matricile pătratice de ordinul 3 care compun seturile de antrenare și de testare au fost generate aleator cu elemente între 0 și 1, 3000 pentru setul de antrenare și 1000 pentru setul de testare. Funcțiile de activare au fost aceleași cu cele din experimentul anterior. Arhitectura rețelei a avut 15 neuroni pe un singur strat ascuns, și a fost antrenată 1000 de epoci.

Ca în experimentul anterior, EMP pentru seturile de antrenare și de testare a avut valori similare, egale în acest caz cu 0.009897. Performanța este ușor mai slabă decât cea obținută anterior, dar, în acest caz, funcția a fost mai complicată. Aceste rezultate

dau motive de speranță că în viitor aceste rețele pot fi optimizate pentru a avea performanțe mai bune pe probleme de aproximare a funcțiilor cu valori matriciale.

### 6.2.3 Funcția sintetică III

Ultimul experiment vizează inversul unui singur argument matricial:

$$f_3(A) = A^{-1}.$$

Acest experiment a fost făcut avându-se în vedere faptul că inversa unei matrici este o operație complicată, care este însă necesară în multe aplicații. Am vrut să vedem dacă inversa unei matrici poate fi învățată de o rețea neuronală, în particular de o rețea neuronală cu valori matriciale.

Rezultatele nu au fost la fel de bune ca cele din experiențele anterioare, dar au dat motive de optimism. Rețeaua a fost antrenată folosind 6000 de matrici pătratice de ordinul 3, generate în același fel ca în experimentele de mai sus. O arhitectură de rețea cu un singur strat ascuns compus din 15 neuroni a fost antrenată timp de 1000 de epoci. Eroarea medie pătratică (EMP) pentru seturile de antrenare și testare a fost de 0.021971, mai mare decât în experimentele anterioare, dar promițătoare ținând cont de complexitatea problemei care a trebuit învățată, și de numărul relativ mic de tipare de antrenare.

## 6.3 Rețele neuronale cu valori matrici antisimetrice

### 6.3.1 Funcția sintetică I

În experimentele noastre, lucrăm cu algebra Lie  $\mathfrak{so}(3)$ , care este formată din matricile antisimetrice de ordinul 3. Prima funcție pe care vom testa algoritmul propus este simpla medie aritmetică a două matrici

$$f_1(A, B) = \frac{1}{2}(A + B).$$

Pentru antrenarea rețelei neuronale cu valori matrici antisimetrice, am generat 3000 de tipare de antrenare cu elemente aleatoare între 0 și 1. Setul de testare a conținut 1000 de tipare generate în același fel. Rețeaua a avut 15 neuroni pe un singur strat ascuns. Funcția de activare pentru stratul ascuns a fost funcția tangentă hiperbolică pe componente dată prin

$$G^2 \left( \begin{pmatrix} 0 & x & y \\ -x & 0 & z \\ -y & -z & 0 \end{pmatrix} \right) = \begin{pmatrix} 0 & \tanh x & \tanh y \\ -\tanh x & 0 & \tanh z \\ -\tanh y & -\tanh z & 0 \end{pmatrix},$$

iar pentru stratul de ieșire, funcția de activare a fost identitatea:  $G^3(S) = S$ .

Experimentul a arătat că rețeaua neuronală converge, iar eroarea medie pătratică (EMP) atât pentru setul de antrenare cât și pentru setul de testare a fost aproximativ aceeași, și egală cu 0.000792. Antrenarea a fost făcută timp de 1000 de epoci. Deși rezultatul nu este spectaculos, trebuie să ținem cont de faptul că fiecare matrice este formată din 3 numere reale.

### 6.3.2 Funcția sintetică II

A doua funcție de test este reprezentată prin paranteza Lie dintre două argumente matriciale:

$$f_2(A, B) = [A, B].$$

Matricile antisimetrice de ordin 3 care compun seturile de antrenare și de testare au fost generate aleator cu elemente între 0 și 1, 3000 pentru setul de antrenare, și 1000 pentru setul de testare. Funcțiile de activare au fost aceleași ca mai sus. Arhitectura rețelei a avut 15 neuroni pe un singur strat ascuns, și a fost antrenată de-a lungul a 1000 de epoci.

Ca în experimentul de mai sus, EMP-urile de antrenare și testare au avut valori similare, egale în acest caz cu 0.01504. Performanța este mai slabă decât cea obținută în experimentul anterior, dar, în acest caz, funcția a fost mai complicată. Aceste rezultate dau motive de speranță că în viitor aceste rețele pot fi optimizate pentru a avea performanțe mai bune în aproximarea de funcții cu valori în algebre Lie.

### 6.3.3 Translația

Următoarele trei experimente sunt făcute cu transformări geometrice. Pentru o ma-

trice arbitrară  $\begin{pmatrix} 0 & x & y \\ -x & 0 & z \\ -y & -z & 0 \end{pmatrix} \in \mathfrak{so}(3)$ , definim următoarea funcție

$$f_3 \left( \begin{pmatrix} 0 & x & y \\ -x & 0 & z \\ -y & -z & 0 \end{pmatrix} \right) = \begin{pmatrix} 0 & x+1 & y+2 \\ -x-1 & 0 & z+3 \\ -y-2 & -z-3 & 0 \end{pmatrix},$$

care corespunde unei translații a vectorului  $(x, y, z)^T$  cu vectorul  $(1, 2, 3)^T$ . Acest tip de funcție, și următoarele două, sunt similare cu funcțiile complexe divizat din domeniul rețelelor neuronale cu valori complexe, spre deosebire de funcțiile complexe complet, care sunt similare cu cele folosite în primele două experimente.

Arhitectura rețelei folosite pentru a învăța această translație a fost identică cu cea de mai sus, cu 3000 de tipare de antrenare și 1000 de tipare de testare, generate în aceeași manieră. După cum era de așteptat, dată fiind simplitatea funcției, rezultatele au fost bune. Rețeaua a obținut o eroare medie pătratică (EMP) de 0.001116 pe seturile de antrenare și de testare.

### 6.3.4 Scalarea

A doua transformare geometrică pe care vom testa rețeaua noastră este scalarea. Ca

mai sus, pentru o matrice arbitrară  $\begin{pmatrix} 0 & x & y \\ -x & 0 & z \\ -y & -z & 0 \end{pmatrix} \in \mathfrak{so}(3)$ , definim funcția

$$f_4 \left( \begin{pmatrix} 0 & x & y \\ -x & 0 & z \\ -y & -z & 0 \end{pmatrix} \right) = \begin{pmatrix} 0 & x & 2y \\ -x & 0 & 3z \\ -2y & -3z & 0 \end{pmatrix},$$

care corespunde unei scalări a vectorului  $(x, y, z)^T$  cu un factor de 1, 2, și respectiv 3 pe fiecare dintre cele trei axe.

Rezultatele nu au fost la fel de bune ca în experimentele anterioare, dar au dat motive de optimism. Rețeaua a fost antrenată folosind 3000 de matrici pătratice antisimetrice de ordinul 3, generate în același fel ca cele din experimentele anterioare. O arhitectură de rețea cu un singur strat ascuns compus din 15 neuroni a fost antrenată de-a lungul a 1000 de epoci. EMP-ul pentru seturile de antrenare și de testare a fost de 0.1258, mai mare decât în experimentele de mai sus, dar promițătoare ținând cont de complexitatea problemei de învățat și de numărul relativ mic de tipare de antrenare.

### 6.3.5 Rotația

În fine, considerăm rotația. Pentru orice  $\begin{pmatrix} 0 & x & y \\ -x & 0 & z \\ -y & -z & 0 \end{pmatrix} \in \mathfrak{so}(3)$ , definim funcția

$$f_5 \left( \begin{pmatrix} 0 & x & y \\ -x & 0 & z \\ -y & -z & 0 \end{pmatrix} \right) = \begin{pmatrix} 0 & \frac{\sqrt{3}}{4}x - \frac{1}{4}y + \frac{\sqrt{3}}{2}z & \frac{3}{4}x - \frac{\sqrt{3}}{4}y - \frac{1}{2}z \\ -\frac{\sqrt{3}}{4}x + \frac{1}{4}y - \frac{\sqrt{3}}{2}z & 0 & \frac{1}{2}x + \frac{\sqrt{3}}{2}y \\ -\frac{3}{4}x + \frac{\sqrt{3}}{4}y + \frac{1}{2}z & -\frac{1}{2}x - \frac{\sqrt{3}}{2}y & 0 \end{pmatrix},$$

care corespunde unei rotații a vectorului  $(x, y, z)^T$  cu un unghi de  $\frac{\pi}{2}$  după axa  $x$ , de  $\frac{\pi}{3}$  după axa  $y$ , și de  $\frac{\pi}{6}$  după axa  $z$ .

Rețeaua a avut aceleași caracteristici ca mai sus, și a obținut cele mai bune rezultate: o EMP pentru seturile de antrenare și de testare de 0.000238, care recomandă acest tip de rețea pentru a învăța transformări geometrice, și în special rotații.

## 6.4 Medierea matricilor ortogonale

Pentru funcția de cost de tip  $L^p$ , vom analiza schimbările care apar în problema de mediere pentru cazul a trei rotații în jurul axei  $x$  când  $p = 2$ , respectiv  $p = 4$ .

Astfel, considerăm următoarele rotații în jurul axei  $x$ :

$$\mathbf{R}_1 = \begin{pmatrix} 1 & 0 & 0 \\ 0 & -1 & 0 \\ 0 & 0 & -1 \end{pmatrix}, \mathbf{R}_2 = \begin{pmatrix} 1 & 0 & 0 \\ 0 & 0 & -1 \\ 0 & 1 & 0 \end{pmatrix}, \mathbf{R}_3(\alpha) = \begin{pmatrix} 1 & 0 & 0 \\ 0 & \cos \alpha & -\sin \alpha \\ 0 & \sin \alpha & \cos \alpha \end{pmatrix},$$

unde  $\alpha \in [-\pi, \pi]$ , care au unghiurile de rotație  $\theta_1 = \pi$ ,  $\theta_2 = \frac{\pi}{2}$ , și  $\theta_3(\alpha) = \alpha$ . Cuaterni-onii asociați acestor rotații sunt, de exemplu:

$$\mathbf{q}_1 = (0, 1, 0, 0), \mathbf{q}_2 = \left( \frac{\sqrt{2}}{2}, \frac{\sqrt{2}}{2}, 0, 0 \right), \mathbf{q}_3 = \left( \cos \frac{\alpha}{2}, \sin \frac{\alpha}{2}, 0, 0 \right),$$

unde  $\alpha \in [-\pi, \pi]$ , ca mai sus.

În continuare, vom găsi punctele critice pentru funcțiile de cost  $G_{(p)\mathfrak{SO}(3)}$  în cazul  $p = 2$ , respectiv  $p = 4$  când  $\alpha$  variază între  $-\pi$  și  $\pi$ . Conform algoritmului de încorporare, este suficient să studiem punctele critice pentru funcția corespunzătoare liftată  $G_{(2)\mathfrak{S}^3}$ , respectiv  $G_{(4)\mathfrak{S}^3}$ . Mai mult, aceasta este echivalent cu rezolvarea sistemului de ecuații (5.5.17) pentru  $p = 2$  și  $p = 4$ .

Începem cu cazul  $p = 2$ . Rezolvând sistemul obținem cinci familii de puncte critice:

$$\text{Set}_{black} = \{(0, 0, \pm\sqrt{1-t^2}, t) \mid t \in [-1, 1]\};$$

$$\text{Set}_{green} = \{(\sqrt{1-x_{2,min}^2(\alpha)}, x_{2,min}(\alpha), 0, 0) \mid \alpha \in [-\pi, \pi]\};$$

$$\text{Set}_{pink} = \{(-\sqrt{1-x_{2,min}^2(\alpha)}, x_{2,min}(\alpha), 0, 0) \mid \alpha \in [-\pi, \pi]\};$$

$$\text{Set}_{red} = \{(\sqrt{1-x_{2,max}^2(\alpha)}, x_{2,max}(\alpha), 0, 0) \mid \alpha \in [-\pi, \pi]\};$$

$$\text{Set}_{blue} = \{(-\sqrt{1-x_{2,max}^2(\alpha)}, x_{2,max}(\alpha), 0, 0) \mid \alpha \in [-\pi, \pi]\},$$

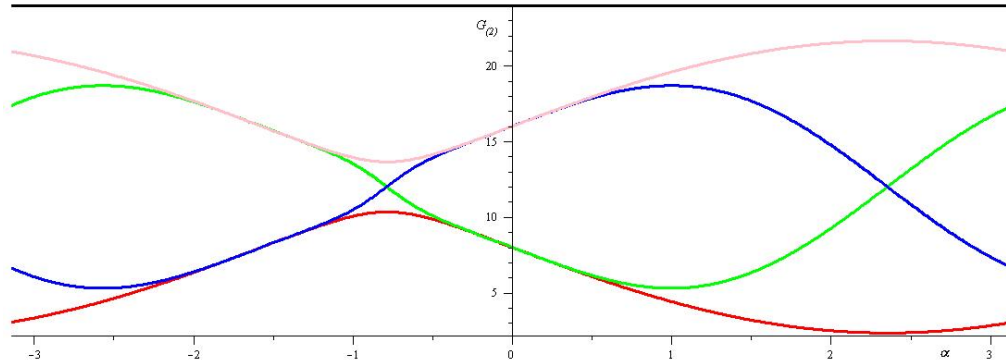


Figura 6.18: Valorile lui  $G_{(2)}_{SO(3)}$  pe mulțimile de puncte critice

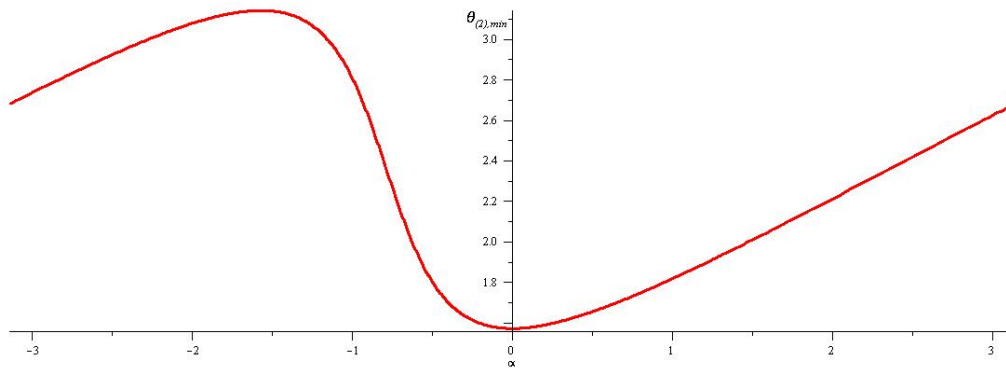


Figura 6.19: Unghiul de rotație  $\theta_{(2),min}$  pentru rotația la care minimumul este atins

unde  $x_{2,min}(\alpha)$  și  $x_{2,max}(\alpha)$  sunt cea mai mică, respectiv cea mai mare soluție reală pozitivă a polinomului

$$Q_{2,\alpha}(Z) = \left(128 \sin^4 \frac{\alpha}{2} - 32 \sin^2 \frac{\alpha}{2} + 4\right) Z^4 - \left(128 \sin^4 \frac{\alpha}{2} - 32 \sin^2 \frac{\alpha}{2} + 4\right) Z^2 - 16 \sin^6 \frac{\alpha}{2} + 16 \sin^5 \frac{\alpha}{2} \cos \frac{\alpha}{2} + 28 \sin^4 \frac{\alpha}{2} - 8 \sin^2 \frac{\alpha}{2} + 1.$$

Datorită simetriei polinomului  $Q_{2,\alpha}$ , acesta are doar două rădăcini reale pozitive.

În Figura 6.18 reprezentăm valorile funcției de cost  $G_{(2)}_{SO(3)}$  pe mulțimile de puncte critice descoperite mai sus cu parametrul  $\alpha \in [-\pi, \pi]$ . Observăm că maximum absolut este atins pe mulțimea  $\text{Set}_{black}$  care reprezintă rotațiile de unghi  $\pi$  în jurul axelor care sunt perpendiculare pe axa  $x$  iar acest maximum absolut nu depinde de parametrul  $\alpha$ . Pentru o valoare fixată a parametrului  $\alpha \in [-\pi, \pi]$ , obținem un minimum absolut pe mulțimea  $\text{Set}_{red}$  care reprezintă rotații în jurul axei  $x$ . Notăm unghiul de rotație de-a lungul axei  $x$  unde valoarea minimă a funcției cost  $G_{(2)}_{SO(3)}$  este obținută prin  $\theta_{(2),min}$  și dependența de parametrul  $\alpha$  este reprezentată în Figura 6.19 de mai jos.

În continuare, vom analiza comportamentul unghiului de rotație  $\theta_{(2),min}$  pentru



diferite configurații ale rotațiilor considerate pentru mediere. Pentru  $\alpha = -\pi$  (rotațiile  $\mathbf{R}_1$  și  $\mathbf{R}_3$  coincid) avem că valoarea minimă a funcției cost  $G_{(2)SO(3)}$  este atinsă pentru o rotație de-a lungul axei  $x$  de unghi  $\theta_{(2),min}(-\pi) = 2.677945044$ . Când  $\alpha \in [-\pi, -\frac{\pi}{2}]$  avem că  $\theta_{(2),min}$  este o funcție monoton crescătoare cu  $\theta_{(2),min}(-\frac{\pi}{2}) = \pi$  (rotația minimă coincide cu rotația  $\mathbf{R}_1$ ). Pentru  $\alpha \in [-\frac{\pi}{2}, 0]$ , funcția  $\theta_{(2),min}$  este monoton descrescătoare și  $\theta_{(2),min}(0) = \frac{\pi}{2}$  (rotația minimă coincide cu rotația  $\mathbf{R}_2$ ). Dacă  $\alpha \in [0, \pi]$ , funcția  $\theta_{(2),min}$  este din nou monoton crescătoare cu  $\theta_{(2),min}(\pi) = 2.677945044$ . În consecință, unghiul  $\theta_{(2),min}$  acoperă al doilea cadran, i.e.  $\theta_{(2),min}([-\pi, \pi]) = [\frac{\pi}{2}, \pi]$ .

Vom analiza acum cazul  $p = 4$ . Sistemul are o familie largă de puncte critice. Printre ele, obținem ca mai înainte, mulțimea  $\text{Set}_{black}$  unde maximul absolut pentru funcția de cost  $G_{(4)SO(3)}$  este atins. În cele ce urmează, vom studia comportamentul funcției de cost  $G_{(4)SO(3)}$  doar pe mulțimile de puncte critice care reprezintă rotații de-a lungul axei  $x$ . Mulțimea de puncte critice care reprezintă rotații de-a lungul axei  $x$  sunt construite, ca mai sus, dintre soluțiile polinomului

$$Q_{4,\alpha}(Z) = a_8 Z^8 + a_6 Z^6 + a_4 Z^4 + a_2 Z^2 + a_0,$$

unde

$$a_8 = 16;$$

$$a_6 = -128 \sin^4 \frac{\alpha}{2} + 96 \sin^2 \frac{\alpha}{2} - 128 \sin^3 \frac{\alpha}{2} \cos \frac{\alpha}{2} + 64 \sin \frac{\alpha}{2} \cos \frac{\alpha}{2} - 32;$$

$$a_4 = 192 \sin^4 \frac{\alpha}{2} - 128 \sin^2 \frac{\alpha}{2} + 192 \sin^3 \frac{\alpha}{2} \cos \frac{\alpha}{2} - 80 \sin \frac{\alpha}{2} \cos \frac{\alpha}{2} + 24;$$

$$a_2 = 32 \sin^6 \frac{\alpha}{2} - 112 \sin^4 \frac{\alpha}{2} + 48 \sin^2 \frac{\alpha}{2} - 80 \sin^3 \frac{\alpha}{2} \cos \frac{\alpha}{2} + 24 \sin \frac{\alpha}{2} \cos \frac{\alpha}{2} - 8;$$

$$a_0 = -16 \sin^8 \frac{\alpha}{2} + 16 \sin^6 \frac{\alpha}{2} + 8 \sin^3 \frac{\alpha}{2} \cos \frac{\alpha}{2} + 1.$$

Dând valori parametrului  $\alpha$ , găsim rădăcinile reale ale polinomului  $Q_{4,\alpha}$ . Pentru  $\alpha \in [-\pi, -1.02) \cup (-0.55, \pi]$  avem două rădăcini pozitive reale  $x_{4,min}(\alpha)$  și  $x_{4,max}(\alpha)$ . Ca mai înainte, avem cele patru mulțimi de puncte critice  $\text{Set}_{green}$ ,  $\text{Set}_{pink}$ ,  $\text{Set}_{red}$ , și  $\text{Set}_{blue}$ . Pentru  $\alpha \in [-1.02, -0.55]$  găsim patru rădăcini pozitive reale  $x_{4,min}(\alpha)$ ,  $x_{4,*}(\alpha)$ ,  $x_{4,**}(\alpha)$ ,  $x_{4,max}(\alpha)$ . Ca mulțimi de puncte critice, pentru  $\alpha$  în acest interval, găsim pe  $\text{Set}_{green}$ ,  $\text{Set}_{pink}$ ,  $\text{Set}_{red}$ ,  $\text{Set}_{blue}$  și încă patru mulțimi de puncte critice corespunzând lui  $x_{4,*}(\alpha)$ , respectiv  $x_{4,**}(\alpha)$ . Și anume, avem mulțimile de puncte critice suplimentare corespunzând unor rotații de-a lungul axei  $x$ ,

$$\text{Set}_{yellow} = \{(\sqrt{1 - x_{4,*}^2(\alpha)}, x_{4,*}(\alpha), 0, 0) \mid \alpha \in [-1.02, -0.55]\};$$

$$\text{Set}_{violet} = \{(-\sqrt{1 - x_{4,*}^2(\alpha)}, x_{4,*}(\alpha), 0, 0) \mid \alpha \in [-1.02, -0.55]\};$$

$$\text{Set}_{maroon} = \{(\sqrt{1 - x_{4,**}^2(\alpha)}, x_{4,**}(\alpha), 0, 0) \mid \alpha \in [-1.02, -0.55]\};$$

$$\text{Set}_{gold} = \{(-\sqrt{1 - x_{4,**}^2(\alpha)}, x_{4,**}(\alpha), 0, 0) \mid \alpha \in [-1.02, -0.55]\}.$$

Funcția  $\alpha \rightarrow x_{4,min}(\alpha)$  este continuă pe tot intervalul  $[-\pi, \pi]$ , și în consecință rezultă că  $G_{(4)S^3}(\text{Set}_{green})$  și  $G_{(4)S^3}(\text{Set}_{pink})$  sunt curbe continue. Discontinuitatea funcției  $\alpha \rightarrow x_{4,max}(\alpha)$  implică discontinuități ale curbelor  $G_{(4)S^3}(\text{Set}_{red})$  și  $G_{(4)S^3}(\text{Set}_{blue})$ .

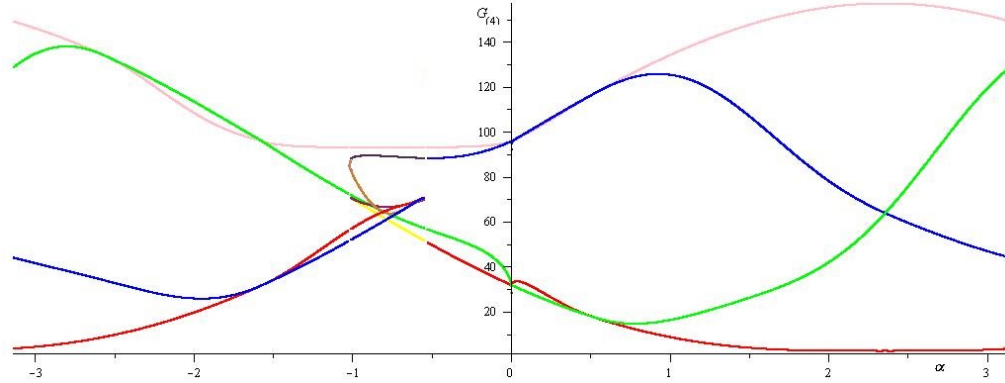


Figura 6.20: Valorile lui  $G_{(4)_{SO(3)}}$  pe mulțimile de puncte critice

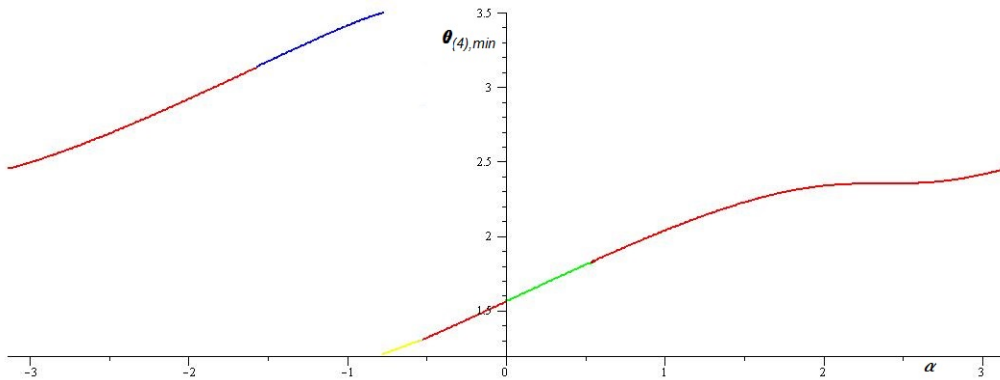


Figura 6.21: Unghiul de rotație  $\theta_{(4),min}$  pentru rotația la care minimumul este atins

În Figura 6.20 am reprezentat grafic valorile funcției de cost  $G_{(4)_{SO(3)}}$  pe mulțimile critice corespunzătoare rotațiilor de-a lungul axei  $x$  când parametrul  $\alpha \in [-\pi, \pi]$ . Spre deosebire de cazul  $p = 2$ , pentru  $p = 4$  avem o schimbare a mulțimilor de puncte critice unde minimumul este atins. Notăm unghiul de rotație de-a lungul axei  $x$  unde minimumul funcției  $G_{(4)_{SO(3)}}$  este atins prin  $\theta_{(4),min}$  și dependența lui de parametrul  $\alpha$  este reprezentată în Figura 6.21 de mai jos.

În ceea ce privește comportamentul unghiului  $\theta_{(4),min}$ , există mai multe diferențe majore față de comportamentul unghiului  $\theta_{(2),min}$ :

- (i) Unghiul  $\theta_{(4),min}$  schimbă culorile, i.e. valoarea minimă a funcției cost  $G_{(4)_{SO(3)}}$  este obținută pentru rotații corespunzătoare unor cuaternioni venind din diferite mulțimi de puncte critice având culorile așa cum apar ele în Figura 6.21.
- (ii)  $\theta_{(4),min}$  este o funcție monoton crescătoare și continuă pe fiecare interval  $[-\pi, -\frac{\pi}{4})$ , respectiv  $(-\frac{\pi}{4}, \pi]$ .
- (iii) Pentru  $\alpha = -\frac{\pi}{4}$ , spre deosebire de cazul  $p = 2$ , unghiul  $\theta_{(4),min}$  are două valori, a se vedea Figura 6.22, și prin urmare,  $\alpha \rightarrow \theta_{(4),min}(\alpha)$  are două ramuri. Aceasta se

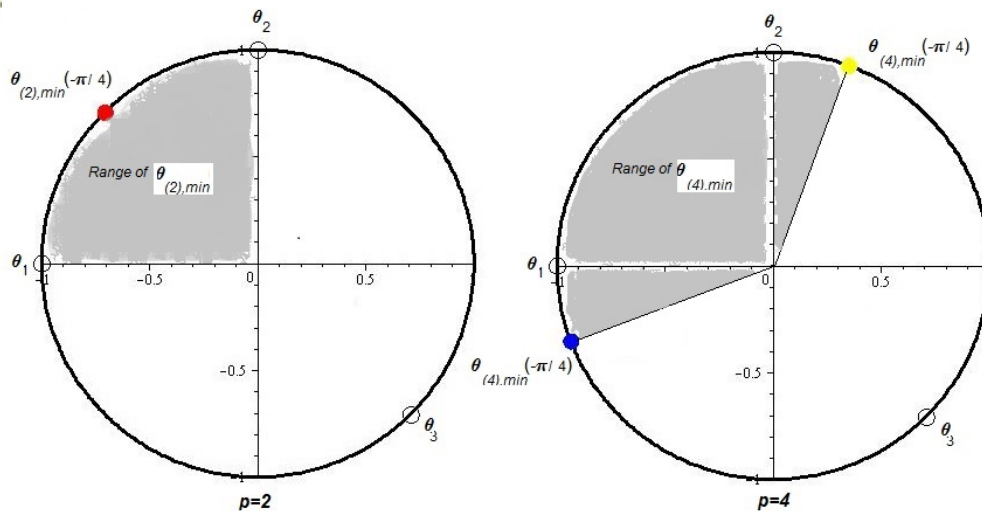


Figura 6.22: Non-unicitatea rotației minime pentru  $\alpha = -\frac{\pi}{4}$  și  $p = 4$

datorează non-unicității punctului critic unde valoarea minimă a funcției de cost  $G_{(4)SO(3)}$  este atinsă. Mai precis, rotațiile critice unde valoarea minimă este atinsă corespund cuaternionilor  $(0.82, 0.56, 0, 0) \in \text{Set}_{yellow}$ , respectiv  $(-0.17, 0.98, 0, 0) \in \text{Set}_{blue}$ .

- (iv) Pentru cazul  $p = 4$ , unghiul  $\theta_{(4),min}$  acoperă al doilea cadran și părți din primul și al treilea cadran, a se vedea Figura 6.21 și Figura 6.22.

## 6.5 Concluzii

Prezentul capitol a fost dedicat rezultatelor experimentale ale implementării algoritmilor prezentați în Capitolele 3 și 5. Astfel,

- Secțiunea 6.1 a prezentat rezultatele experimentale ale antrenării unor **rețele neuronale cu valori complexe** de tip feedforward folosind **optsprezece** algoritmi prezentați în Capitolul 3, dintre care **cincisprezece** au fost implementați aici pentru prima dată. Acești algoritmi au fost folosiți pentru învățarea problemei XOR, a problemei XOR extinse, a două funcții complexe complete și a trei funcții complexe divizate, aceste probleme de aproximare a unor funcții sintetice fiind cele mai cunoscute benchmark-uri din literatura de specialitate în domeniu. Dintre aplicațiile din lumea reală, am ales egalizarea semnalelor cu valori complexe liniare și neliniare, predicția seriilor de timp liniare și neliniare și predicția direcției și vitezei vântului, acestea constituind de asemenea cele mai folosite benchmark-uri pentru testarea rețelelor cu valori complexe, din categoria aplicațiilor din lumea reală.
- Secțiunea 6.2 a prezentat rezultatele aplicării metodei backpropagation deduse în Secțiunea 5.3 pentru **rețele neuronale cu valori matrici pătrate**. Aplicațiile luate în considerare au fost trei probleme de aproximare a unor funcții sintetice,

ale căror expresii au fost inspirate din funcțiile folosite pentru testarea rețelelor cu valori complexe.

- Secțiunea 6.3 a descris rezultatele obținute în urma aplicării metodei backpropagation prezentate în Secțiunea 5.4 pentru **rețele neuronale cu valori matrici antisimetrice**. Datorită legăturii strânse a acestui tip de matrici cu geometria, pe lângă două probleme de aproximare a unor funcții sintetice, similare celor din secțiunea anterioară, am testat aceste rețele pentru transformări geometrice: translația, scalarea și rotația.
- În fine, Secțiunea 6.4 a dat rezultatele aplicării algoritmului propus în Secțiunea 5.5 pentru **medierea matricilor ortogonale** de ordinul trei, folosind o funcție de cost de tip  $L^p$ , care constituie o noutate în literatură și pentru care nu se poate aplica cu succes niciun alt algoritm dintre cei deja existenți.

## Capitolul 7

# Concluzii

### 7.1 Sumarul tezei

În această teză, am extins cei mai cunoscuți algoritmi de învățare din cadrul rețelelor neuronale de tip feedforward cu valori reale în domeniul **rețelelor neuronale de tip feedforward cu valori complexe**. Motivul pentru care am ales această temă este acela că am constatat, studiind literatura de specialitate, faptul că, cu excepția metodei gradient, a metodei gradient cu moment, a algoritmului resilient backpropagation și a algoritmului Levenberg-Marquardt, principalii algoritmi de antrenare a rețelelor cu valori reale nu au fost extinși în domeniul complex.

Ținând cont de această constatare, am prezentat deducerea completă a **metodelor gradient îmbunătățite** (respectiv algoritmi quickprop, resilient backpropagation, delta-bar-delta și SuperSAB), a **metodelor gradientilor conjugați** (cu actualizări Hestenes-Stiefel, Polak-Ribiere, Fletcher-Reeves și Dai-Yuan, și respectiv cu reporniri Powell-Beale, precum și două variațiuni ale actualizărilor Hestenes-Stiefel și Polak-Ribiere), a **metodei gradientilor conjugați scalați**, a **metodei Newton** (cu deducerea completă a algoritmului de calcul al **hessianei** funcției de eroare, care are și alte aplicații înafara acestui algoritm, și a **produsului hessianei cu un vector**), a **metodelor quasi-Newton** (respectiv metoda actualizării de rang unu și algoritmi Davidon-Fletcher-Powell, Broyden-Fletcher-Goldfarb-Shanno și one step secant) și a **metodei Levenberg-Marquardt**. Deducerea s-a făcut respectând toate particularitățile de calcul impuse de trecerea de la domeniul real la domeniul complex, avându-se în vedere obținerea unui grad maxim de generalitate, astfel încât algoritmi să poată fi utilizați într-un context cât mai larg. A fost folosit un tip de calcul special creat pentru derivarea în planul complex, și anume calculul Wirtinger, sau calculul  $\mathbb{C}\mathbb{R}$ .

**Opsprezece** algoritmi, dintre care **cincisprezece** apar aici pentru prima dată, au fost implementați în rețele neuronale cu valori complexe, care au fost testate pe mai multe benchmark-uri specifice domeniului și prezente extensiv în literatura de specialitate. Astfel, am prezentat rezultatele experimentale pentru aplicații sintetice, respectiv problema XOR, problema XOR extinsă, două probleme de aproximare a unor funcții complexe complet și trei probleme de aproximare a unor funcții complexe divizate, și pentru aplicații din lumea reală, respectiv egalizarea canalelor liniare și neliniare, predicția seriilor de timp liniare și neliniare și predicția direcției și vitezei vântului.

Rezultatele rulării de câte 50 de ori a fiecărui algoritm au fost prezentate în tabele și, pe o scară logaritmică, în figuri. Dinamica învățării a fost arătată în figuri. Se poate constata că din clasa metodelor gradient îmbunătățite, metoda resilient backpropagation și delta-bar-delta au avut, în general, cele mai bune performanțe. Din clasa

metodelor gradientilor conjugați, metodele cu actualizări Hestenes-Stiefel, cu actualizări Dai-Yuan, și respectiv cu reporniri Powell-Beale, au dat cele mai bune rezultate pe majoritatea problemelor. Dintre metodele quasi-Newton, metoda BFGS, a avut, în general, cea mai bună performanță.

Se poate constata de asemenea că toate clasele de algoritmi implementați au performanțe mai bune decât clasică metodă gradient. În general, metodele gradient îmbunătățite sunt cu un ordin de mărime mai bune în termeni de eroare medie pătratică decât metoda gradient, apoi urmează metodele gradientilor conjugați, iar în final, cu cel puțin un ordin de mărime mai bune decât acestea din urmă, sunt metodele quasi-Newton. Se mai poate constata însă în cazul anumitor probleme, tendința de overfitting în cazul metodelor quasi-Newton, ceea ce înseamnă că alegerea unuia sau altuia dintre algoritmi este foarte dependentă de problema de rezolvat, și este dificil de estimat apriori care dintre metode va da rezultatele cele mai bune.

Ca o concluzie generală a prezentului studiu, putem afirma că este de dorit și binevenită extinderea tuturor algoritmilor de optimizare a funcției de eroare pentru rețelele neuronale cu valori reale în domeniul complex, pentru că, în cazul anumitor probleme, ierarhiile dintre algoritmi în cazul real se inversează în cazul complex. Așa se întâmplă, de exemplu, cu metoda gradientilor conjugați cu actualizări Polak-Ribiere care în cazul real dă rezultate mai bune decât, spre exemplu, metoda gradientilor conjugați cu actualizări Fletcher-Reeves, iar în cazul complex, această ultimă metodă poate fi și cu un ordin de mărime în termeni de eroare medie pătratică mai bun decât algoritmul cu actualizări Polak-Ribiere.

Acest fapt ne încurajează ca pe viitor să considerăm extinderea și a altor algoritmi de învățare mai puțin cunoscuți din domeniul real în domeniul complex, deoarece, cu progresul aplicațiilor rețelelor neuronale cu valori complexe în lumea reală, este necesară o cât mai bună performanță a acestui tip de rețele. Datorită diferențelor fundamentale care există între domeniul real și complex, tot ceea ce se cunoaște în termeni de performanță în domeniul real, este posibil să nu se mai aplice în domeniul complex. În plus, acești algoritmi pot fi combinați cu tehnici specifice domeniului complex, pentru a le îmbunătăți și mai mult performanțele.

Ca o generalizare a rețelelor neuronale cu valori complexe, am dedus aceiași algoritmi pentru **rețelele neuronale Clifford**. Datorită interesului din ultimii ani pentru acest tip de rețele, am considerat oportun să prezentăm aceleași metode de învățare și pentru acest tip de rețele, ținând cont de faptul că doar metoda gradient a mai fost dedusă în altă parte în literatură, restul algoritmilor apărând aici pentru prima dată. Calculul diferențial folosit este cel cu derivate parțiale reale, care se poate particulariza și pentru rețelele neuronale cu valori complexe, dând formule diferite pentru algoritmi, care însă sunt echivalente cu cele deduse folosind calculul Wirtinger, sau calculul  $\mathbb{C}\mathbb{R}$ .

Astfel, am dedus formule pentru **metodele gradient îmbunătățite** (respectiv algoritmi quickprop, resilient backpropagation, delta-bar-delta și SuperSAB), **metodele gradientilor conjugați** (cu actualizări Hestenes-Stiefel, Polak-Ribiere, Fletcher-Reeves și Dai-Yuan, și respectiv cu reporniri Powell-Beale, și cele două variațiuni ale actualizărilor Hestenes-Stiefel și Polak-Ribiere), **metoda gradientilor conjugați scalați**, **metoda Newton** (cu deducerea completă a metodei de calcul al **hessianei** funcției de eroare și a **produsului hessianei cu un vector**), **metodele quasi-Newton** (respectiv metoda actualizării de rang unu și algoritmi Davidon-Fletcher-Powell, Broyden-Fletcher-Goldfarb-Shanno și one step secant) și pentru **algoritmul Levenberg-Marquardt**.

Motivul pentru care am decis să extindem aceiași algoritmi și pentru cazul Clifford este acela că, adesea, nu se cunoaște de la început care algebră Clifford este cea mai potrivită pentru a reprezenta datele dintr-o anumită aplicație. Astfel, am pus

la dispoziția celor interesați o paletă largă de algoritmi, care pot fi aplicați pentru rețele neuronale cu valori în diferite algebre Clifford, pentru a determina experimental care este cea mai potrivită configurație arhitectură-algoritm de învățare pentru fiecare problemă de interes. De exemplu, pentru cazul 2-dimensional există 2 algebre Clifford, pentru cazul 4-dimensional există 3 algebre Clifford, iar pentru cazul 8-dimensional avem 4 algebre Clifford cu care se poate experimenta.

O particularizare interesantă, cu multe aplicații în ultimul timp în literatura de specialitate, este aceea a **rețelelor neuronale cu valori cuaternionice**. Prin urmare, algoritmi mai sus propuși se pot particulariza ușor pentru algebra Clifford a cuaternionilor, de dimensiune 4. Pe viitor, implementări ale acestor algoritmi pentru rețele neuronale cu valori cuaternionice promet să dea rezultate asemănătoare cu cele obținute de aceiași algoritmi în cazul complex. Literatura de specialitate din acest domeniu abia în ultimii trei ani a început să ia naștere, iar viitorul va putea da suficienți termeni de comparație pentru algoritmi propuși.

În această teză, am introdus de asemenea un algoritm ce permite calculul **mediei pe varietăți diferențiabile** fără a utiliza coordonate locale și derivate covariante pe varietatea respectivă. Acest algoritm, numit **algoritm de incorporare** (embedding algorithm) presupune liftarea funcției de cost inițiale la o varietate diferențiabilă care poate fi scufundată într-o varietate riemanniană (spațiu euclidian) și construirea unui câmp de vectori definit pe spațiul ambient a cărui restricție la varietatea scufundată este câmpul de vectori gradient vector al funcției de cost liftate.

Astfel, pot fi calculate medii date de orice funcție de cost, indiferent de cât de complicată este expresia ei, pentru că algoritmul presupune doar calcule în coordonate carteziene. Au fost prezentate rezultate experimentale folosind funcții de tip  $L^p$ , ceea ce constituie o noutate în literatură, și în particular a fost făcută comparația între cazul  $L^2$  și cazul  $L^4$ , evidențiind principalele deosebiri în ceea ce privește medierea folosind aceste două tipuri de funcții de cost.

O altă contribuție a prezentei teze este introducerea, în premieră după cunoștințele noastre, a unor generalizări ale rețelelor neuronale Clifford, și anume a **rețelelor neuronale cu valori matriciale**. În aceste rețele neuronale intrările, ieșirile, ponderile și bias-urile sunt matrici. Am considerat două cazuri, și anume **rețelele neuronale cu valori matrici pătratice**, care sunt definite pe algebra matricilor cu operațiile naturale de adunare și înmulțire, și respectiv **rețelele neuronale cu valori matrici antisimetrice**, adică rețele neuronale pe algebra asociată grupului de rotații.

În ambele cazuri, este introdusă metoda gradient de antrenare a rețelelor neuronale de tip feedforward. Ideea acestor rețele vine de la faptul că algoritmul propus pentru medierea matricilor ortogonale poate fi folosit pentru a genera seturi de date de antrenare pentru rețele neuronale, care pot astfel învăța medii de orice fel, permițându-ne să găsim media unor rotații fără a mai trece măcar prin calculele presupuse de algoritmul propus. Având valorile din grup, ele pot fi trecute în algebra asociată, date rețelei neuronale, iar rezultatele trecute înapoi în grup.

Rezultatele experimentale, pe trei probleme de aproximare a unor funcții sintetice în cazul rețelelor neuronale cu valori matrici pătratice, respectiv pe două probleme de aproximare a unor funcții sintetice și pe transformări geometrice (translația, scalarea și rotația) în cazul rețelelor neuronale cu valori matrici antisimetrice sunt promițătoare pentru viitorul acestor tipuri de rețele, care pot fi folosite pentru a rezolva probleme  $n$ -dimensionale pe care alți algoritmi cu valori reale și/sau Clifford nu au putut să le învețe, sau au avut performanțe slabe.

## 7.2 Articole publicate sau comunicate

Rezultatele obținute în teză au fost valorificate în următoarele articole, dintre care 7 au fost publicate, iar unul este comunicat:

1. P. Birtea, D. Comănescu, and C.-A. Popa. Averaging on manifolds by embedding algorithm. *Journal of Mathematical Imaging and Vision*, 49(2):454 - 466, June 2014. (ISI Impact factor 2,33) [41]
2. C.-A. Popa. Enhanced Gradient Descent Algorithms for Complex-Valued Neural Networks. *International Symposium on Symbolic and Numeric Algorithms for Scientific Computing (SYNASC)*. pages 272 - 279. IEEE, September 2014. (IEEE, ISI Proceedings) [215]
3. C.-A. Popa. Exact Hessian Matrix Calculation for Complex-Valued Neural Networks. *International Workshop on Soft Computing Applications (SOFA)*. July 2014. (SpringerLink, ISI Proceedings) [216]
4. C.-A. Popa. Scaled Conjugate Gradient Learning for Complex-Valued Neural Networks. *International Conference on Soft Computing (MENDEL)*. June 2015. (SpringerLink, ISI Proceedings) [221]
5. C.-A. Popa. Matrix-Valued Neural Networks. *International Conference on Soft Computing (MENDEL)*. June 2015. (SpringerLink, ISI Proceedings) [219]
6. C.-A. Popa. Quasi-Newton Learning Methods for Complex-Valued Neural Networks. *International Joint Conference on Neural Networks (IJCNN)*. July 2015 (IEEE, ISI Proceedings) [220]
7. C.-A. Popa. Lie Algebra-Valued Neural Networks. *International Joint Conference on Neural Networks (IJCNN)*. July 2015 (IEEE, ISI Proceedings) [218]
8. C.-A. Popa. Conjugate Gradient Algorithms for Complex-Valued Neural Networks. *International Conference on Neural Information Processing (ICONIP)*. November 2015 (SpringerLink, ISI Proceedings) – comunicat [217]

Primul articol, publicat în jurnalul *Journal of Mathematical Imaging and Vision*, prezintă algoritmul de încorporare și este scris împreună cu doi matematicieni, P. Birtea și D. Comănescu, autorii apărând în ordine alfabetică, după cutuma existentă în cadrul comunității matematice. Având un factor mare de impact, jurnalul este unul dintre cele mai importante din domeniul inteligenței artificiale, și mai ales din domeniul imaging-ului, în care se aplică în particular algoritmul de încorporare pentru medierea matricilor ortogonale.

Pentru restul articolelor, autorul acestei teze este unic autor. Astfel, articolele 2 și 3 au apărut la conferințele *SYNASC 2014* și *SOFA 2014*, ambele ținute la Timișoara, și valorifică doi algoritmi pentru rețele neuronale cu valori complexe. Cele două conferințe sunt specifice domeniului inteligenței artificiale, iar a doua chiar soft computing-ului, din care face parte și domeniul rețelelor neuronale.

Articolele 4 și 5 au apărut la conferința *MENDEL 2015*, ținută la Brno, Cehia, de asemenea o conferință specifică domeniului soft computing, cu oarecare prestigiu internațional. De remarcat faptul că articolul 5 este cel care introduce, în premieră pentru literatura de specialitate, rețelele neuronale cu valori matrici pătratică, pe când articolul 4 prezintă un alt algoritm pentru rețelele neuronale cu valori complexe.

Însă poate cele mai importante articole, care dau cea mai mare legitimitate tezei, sunt articolele 6 și 7, prezentate la conferința *IJCNN 2015*, ținută la Killarney,



Irlanda. Aceasta este cea mai importantă conferință în domeniul rețelelor neuronale, fiind sponsorizată de către International Neural Networks Society, și, în acest an, și de către European Neural Networks Society, pentru că ICANN, conferința acestei organizații, nu s-a ținut în 2015, tocmai pentru a face loc conferinței IJCNN, care are loc în Europa. După cum am menționat în introducere, IJCNN a avut în ultimii ani o secțiune specială dedicată rețelelor neuronale cu valori complexe, și are în Program Committee unii dintre cei mai importanți cercetători în acest domeniu. Câtă vreme articolul 6 prezintă un algoritm pentru antrenarea rețelelor cu valori complexe, articolul 7 introduce, tot în premieră pentru literatura de specialitate, rețelele neuronale cu valori matrici antisimetrice.

Articolul 8 este dedicat unui alt algoritm pentru rețele neuronale cu valori complexe, fiind comunicat la *ICONIP 2015*.

În consecință, se poate spune că cercetarea făcută în această teză a fost validată de experți din domeniul imaging-ului, al inteligenței artificiale, al soft computing-ului, și mai ales din domeniul rețelelor neuronale cu valori complexe, fapt care îi oferă recunoaștere academică și vizibilitate internațională.

### 7.3 Continuări posibile

O primă continuare posibilă, care este deja în lucru, este de a crea un **cadru** asemănător celui creat pentru rețelele neuronale cu valori complexe, și **pentru rețelele neuronale cu valori cuaternionice**. Aceasta nu presupune un grad sporit de dificultate, fiind o simplă extindere de la 2 la 4 dimensiuni a cadrului deja existent, care a fost creat după modelul celui din Neural Networks Toolbox, din MATLAB. Diferențele sunt date de faptul că algebra cuaternionilor nu este comutativă, deci se pot concepe mai multe modele de rețele cu valori cuaternionice, toate la fel de valide din punct de vedere matematic.

Apoi, se poate extinde și mai mult acest **cadru**, prin crearea unuia și mai general, care să lucreze cu algoritmi de învățare pentru **rețele Clifford de orice dimensiune**. Practic, s-ar dori crearea unui suport care să poată fi folosit în mod flexibil pentru oricare dintre algebrele Clifford de dimensiune  $2^n$ ,  $n \geq 1$ , folosind, probabil, programarea orientată pe obiecte care există și în MATLAB. Un astfel de cadru ar putea fi util tuturor celor care au nevoie să rezolve probleme în care nu este cunoscută sau determinată a priori forma în care trebuie manipulate datele, putând fi alese diferite algebre, cu care se poate experimenta pentru a se găsi varianta optimă.

**Toți algoritmi deduși** pentru rețele de tip feedforward cu valori complexe sau Clifford **pot fi folosiți și pentru alte tipuri de rețele**, de exemplu pentru rețele de tip funcții radiale (RBF) sau pentru rețele recurente. După cunoștința noastră, în literatură această problemă nu este încă tratată suficient, chiar și pentru rețelele cu valori reale, nemaivorbind de cele cu valori complexe sau Clifford. Prin urmare, și în această direcție există nevoie de experimentare, pentru a se găsi algoritmi din ce în ce mai eficienți, care în tandem cu cei folosiți în mod obișnuit pentru aceste rețele, să dea rezultate cât mai bune.

Ca o primă aplicație din viața reală a rețelelor cu valori matrici antisimetrice, în care poate fi folosit algoritmul de încorporare propus, este la **folosirea rețelelor cu valori matrici antisimetrice pentru a învăța medii**. Problema medierii matricilor este una foarte importantă și de interes în aplicații practice, după cum am arătat mai sus. O rețea neuronală care să poată fi antrenată pentru a învăța medii ar scurta cu mult timpul de calcul pe care îl presupune orice algoritm analitic existent în prezent.

O direcție foarte importantă poate să fie **dezvoltarea în continuare a teoriei rețelelor neuronale cu valori matrici pătratice și cu valori matrici antisime-**

**trice.** În prezenta lucrare am dedus doar algoritmul backpropagation pentru aceste rețele, însă, după modelul teoriei rețelelor cu valori cuaternionice care este în plină dezvoltare, vom încerca să extindem cele mai importante arhitecturi și algoritmi de învățare din cazurile real, complex și cuaternionic, pentru rețelele Clifford în primul rând, iar mai apoi pentru rețelele cu valori matrici pătratice și cu valori matrici antisimetrice. Datorită faptului că imaginile se pot prezenta ca matrici de pixeli, o posibilă direcție interesantă ar fi aceea a rețelelor recurente și a memoriilor asociative cu valori matriciale.

Din cele enumerate mai sus putem conchide că prezenta teză deschide mai multe direcții de cercetare pe viitor, care pot da rezultate și pot avea aplicații interesante, dacă vor fi explorate, prezentul demers reprezentând doar un prim pas făcut în direcția unei **teorii generale a rețelelor neuronale cu valori în algebre multidimensionale**. S-ar putea, după cum s-a și dovedit în anumite aplicații, ca nu doar mărirea numărului de straturi și de neuroni pe fiecare strat să conducă la performanțe superioare, ci și mărirea dimensiunii spațiului căruia îi aparțin intrările, ieșirile, ponderile și bias-urile rețelei, deoarece anumite date se organizează mai natural în alte algebre decât algebra numerelor reale.

## Bibliografie

- [1] P.-A. Absil, R. Mahony, and R. Sepulchre. Riemannian geometry of grassmann manifolds with a view on algorithmic computation. *Acta Applicandae Mathematica*, 80(2):199 – 220, January 2004. doi:10.1023/B:ACAP.0000013855.14971.91.
- [2] P.-A. Absil, R. Mahony, and R. Sepulchre. *Optimization Algorithms on Matrix Manifolds*. Princeton University Press, Princeton and Oxford, 2008. URL: <http://press.princeton.edu/chapters/absil/>.
- [3] P.-A. Absil and J. Malick. Projection-like retractions on matrix manifolds. *SIAM Journal on Optimization*, 22(1):135 – 158, January 2012. doi:10.1137/100802529.
- [4] I. Aizenberg. *Complex-Valued Neural Networks with Multi-Valued Neurons*, volume 353 of *Studies in Computational Intelligence*. Springer Berlin Heidelberg, 2011. doi:10.1007/978-3-642-20353-4.
- [5] I. Aizenberg and C. Butakoff. Image processing using cellular neural networks based on multi-valued and universal binary neurons. *Journal of VLSI signal processing systems for signal, image and video technology*, 32(1 - 2):169 – 188, August 2002. doi:10.1023/A:1016331805575.
- [6] I. Aizenberg, E. Myasnikova, M. Samsonova, and J. Reinitz. Temporal classification of drosophila segmentation gene expression patterns by the multi-valued neural recognition method. *Mathematical Biosciences*, 176(1):145 – 159, March 2002. doi:10.1016/S0025-5564(01)00104-3.
- [7] I. Aizenberg, D. Paliy, J.M. Zurada, and J.T. Astola. Blur identification by multilayer neural network based on multivalued neurons. *IEEE Transactions on Neural Networks*, 19(5):883 – 898, May 2008. doi:10.1109/TNN.2007.914158.
- [8] I.N. Aizenberg, N.N. Aizenberg, and J.P. Vandewalle. *Multi-Valued and Universal Binary Neurons: Theory, Learning and Applications*. Kluwer Academic Publishers, Norwell, MA, USA, 2000.
- [9] N.N. Aizenberg, Y.L. Ivaskiv, and D.A. Pospelov. A certain generalization of threshold functions. *Doklady Akademii Nauk SSSR*, 196:1287 – 1290, 1971.
- [10] S.L. Altmann. *Rotations, Quaternions, and Double Groups*. Clarendon Press, Oxford, 1986. doi:10.1002/qua.560320310.
- [11] M.F. Amin, M. Amin, A.Y.H. Al-Nuaimi, and K. Murase. Wirtinger calculus based gradient descent and levenberg-marquardt learning algorithms in complex-valued neural networks. In B.-L. Lu, L. Zhang, and J. Kwok, editors, *Neural Information Processing*, volume 7062 of *Lecture Notes in Computer Science*, pages 550 – 559. Springer Berlin Heidelberg, 2011. doi:10.1007/978-3-642-24955-6\_66.
- [12] M.F. Amin, M.M. Islam, and K. Murase. Single-layered complex-valued neural networks and their ensembles for real-valued classification problems. In *IEEE International Joint Conference on Neural Networks, IJCNN (IEEE World Congress on Computational Intelligence)*, pages 2500 – 2506. IEEE, June 2008.

- doi:10.1109/IJCNN.2008.4634147.
- [13] M.F. Amin, R. Savitha, M.I. Amin, and K. Murase. Complex-valued functional link network design by orthogonal least squares method for function approximation problems. In *International Joint Conference on Neural Networks (IJCNN)*, pages 1489 – 1496. IEEE, July 2011. doi:10.1109/IJCNN.2011.6033400.
  - [14] J. Anemüller, T.J. Sejnowski, and S. Makeig. Complex independent component analysis of frequency-domain electroencephalographic data. *Neural Networks*, 16(9):1311 – 1323, November 2003. doi:10.1016/j.neunet.2003.08.003.
  - [15] H. Aoki and Y. Kosugi. Characteristics of the complex-valued associative memory model having penalty term. *Electronics and Communications in Japan (Part III: Fundamental Electronic Science)*, 83(7):62 – 70, July 2000. doi:10.1002/(SICI)1520-6440(200007)83:7<62::AID-ECJC7>3.0.CO;2-L.
  - [16] P. Arena, S. Baglio, L. Fortuna, and M.G. Xibilia. Chaotic time series prediction via quaternionic multilayer perceptrons. In *International Conference on Systems, Man and Cybernetics*, volume 2, pages 1790 – 1794. IEEE, 1995. doi:10.1109/ICSMC.1995.538035.
  - [17] P. Arena, L. Fortuna, G. Muscato, and M.G. Xibilia. Multilayer perceptrons to approximate quaternion valued functions. *Neural Networks*, 10(2):335 – 342, March 1997. doi:10.1016/S0893-6080(96)00048-2.
  - [18] P. Arena, L. Fortuna, G. Muscato, and M.G. Xibilia. *Neural Networks in Multi-dimensional Domains Fundamentals and New Trends in Modelling and Control*, volume 234 of *Lecture Notes in Control and Information Sciences*. Springer London, 1998. doi:10.1007/BFb0047683.
  - [19] P. Arena, L. Fortuna, L. Occhipinti, and M.G. Xibilia. Neural networks for quaternion-valued function approximation. In *International Symposium on Circuits and Systems (ISCAS)*, volume 6, pages 307 – 310. IEEE, 1994. doi:10.1109/ISCAS.1994.409587.
  - [20] P. Arena, L. Fortuna, R. Re, and M.G. Xibilia. On the capability of neural networks with complex neurons in complex valued functions approximation. In *IEEE International Symposium on Circuits and Systems (ISCAS)*, pages 2168 – 2171. IEEE, May 1993.
  - [21] P. Arena, L. Fortuna, R. Re, and M.G. Xibilia. Multilayer perceptrons to approximate complex valued functions. *International Journal of Neural Systems*, 6(4):435 – 446, December 1995. doi:10.1142/S0129065795000299.
  - [22] V. Arsigny, X. Pennec, and N. Ayache. Bi-invariant means in lie groups. application to left-invariant polyaffine transformations. Technical Report 5885, INRIA, 2006. URL: <http://hal.inria.fr/inria-00071383/PS/RR-5885.ps>.
  - [23] R. Battiti. First and second-order methods for learning between steepest descent and newton's method. *Neural Computation*, 4(2):141 – 166, March 1992. doi:10.1162/neco.1992.4.2.141.
  - [24] E. Bayro-Corrochano. Geometric neural computing. *IEEE Transactions on Neural Networks*, 12(5):968 – 986, September 2001. doi:10.1109/72.950128.
  - [25] E. Bayro-Corrochano, N. Arana, and R. Vallejo. Design of kernels for support multivector machines involving the clifford geometric product and the conformal geometric neuron. In *International Joint Conference on Neural Networks (IJCNN)*, volume 4, pages 2893 – 2898. IEEE, July 2003. doi:10.1109/IJCNN.2003.1224030.
  - [26] E. Bayro-Corrochano and N. Arana-Daniel. Theory and applications of clifford support vector machines. *Journal of Mathematical Imaging and Vision*, 28(1):29 – 46, May 2007. doi:10.1007/s10851-007-0008-7.
  - [27] E. Bayro-Corrochano, S. Buchholz, and G. Sommer. A new self-organizing ne-

- ural network using geometric algebra. In *International Conference on Pattern Recognition*, 1996.
- [28] E. Bayro-Corrochano, S. Buchholz, and G. Sommer. Selforganizing clifford neural network. In *International Conference on Neural Networks (ICNN)*, volume 1, pages 120 – 125. IEEE, June 1996. doi:10.1109/ICNN.1996.548877.
- [29] E. Bayro-Corrochano and G. Sommer. *Algebraic Frames for the Perception-Action Cycle*, chapter Geometric Neural Networks, pages 379 – 394. Number 1315 in Lecture Notes in Computer Science. Springer Berlin Heidelberg, 1997. doi:10.1007/BFb0017879.
- [30] E. Bayro-Corrochano and R. Vallejo. Geometric neural networks and support multi-vector machines. In *International Joint Neural Networks, 2000. IJCNN 2000, Proceedings of the IEEE-INNS-ENNS International Joint*, volume 6, pages 389 – 394. IEEE, July 2000. doi:10.1109/IJCNN.2000.859426.
- [31] E. Bayro-Corrochano and R. Vallejo. Svms using geometric algebra for 3d computer vision. In *International Joint Conference on Neural Networks (IJCNN)*, volume 2, pages 872 – 877. IEEE, July 2001. doi:10.1109/IJCNN.2001.939474.
- [32] E. Bayro-Corrochano and R. Vallejo. Geometric neurocomputing for pattern recognition and pose estimation. In *International Conference on Pattern Recognition, 2002*.
- [33] E. Bayro-Corrochano, J.R. Vallejo-Gutierrez, and N. Arana-Daniel. Recurrent clifford support machines. In *International Joint Conference on Neural Networks (IJCNN)*, pages 3613 – 3618. IEEE, June 2008. doi:10.1109/IJCNN.2008.4634315.
- [34] E.J. Bayro-Corrochano and N. Arana-Daniel. Clifford support vector machines for classification, regression, and recurrence. *IEEE Transactions on Neural Networks*, 21(11):1731 – 1746, November 2010. doi:10.1109/TNN.2010.2060352.
- [35] E.M.L. Beale. A derivation of conjugate gradients. In F. A. Lootsma, editor, *Numerical Methods for Nonlinear Optimization*, pages 39–43. Academic Press, London, 1972.
- [36] S. Becker and Y. LeCun. Improving the convergence of back-propagation learning with second-order methods. In D. Touretzky, G. Hinton, and T. Sejnowski, editors, *Proc. of the 1988 Connectionist Models Summer School*, pages 29 – 37, San Mateo, 1989. Morgan Kaufman.
- [37] N. Benvenuto, M. Marchesi, F. Piazza, and A. Uncini. A comparison between real and complex valued neural networks in communication applications. In *International Conference on Neural Networks (ICANN)*, pages 1177 – 1180. Elsevier Science Publishers, June 1991. URL: [http://www.uncini.com/research\\_activity/pdf/030\\_icann91.pdf](http://www.uncini.com/research_activity/pdf/030_icann91.pdf).
- [38] N. Benvenuto, M. Marchesi, F. Piazza, and A. Uncini. Complex neural networks for equalizing nonlinear digital radio links. In *Workshop CEE COST 229*, March 1991. URL: [http://www.uncini.com/research\\_activity/pdf/033\\_cee\\_cost91.pdf](http://www.uncini.com/research_activity/pdf/033_cee_cost91.pdf).
- [39] N. Benvenuto and F. Piazza. On the complex backpropagation algorithm. *IEEE Transactions on Signal Processing*, 40(4):967 – 969, April 1992. doi:10.1109/78.127967.
- [40] P. Birtea and D. Comanescu. Geometric dissipation for dynamical systems. *Communications in Mathematical Physics*, 316(2):375 – 394, December 2012. doi:10.1007/s00220-012-1589-6.
- [41] P. Birtea, D. Comanescu, and C.-A. Popa. Averaging on manifolds by embedding algorithm. *Journal of Mathematical Imaging and Vision*, 49(2):454 – 466, June 2014. doi:10.1007/s10851-013-0478-8.
- [42] D.L. Bix and S.J. Pipenberg. Chaotic oscillators and complex mapping feed forward networks (cmffns) for signal detection in noisy environments. In *Inter-*

- national Joint Conference on Neural Networks (IJCNN)*, volume 2, pages 881 – 888. IEEE, June 1992. doi:10.1109/IJCNN.1992.226876.
- [43] D.L. Birx and S.J. Phippen. A complex mapping network for phase sensitive classification. *IEEE Transactions on Neural Networks*, 4(1):127 – 135, January 1993. doi:10.1109/72.182703.
- [44] C.M. Bishop. A fast procedure for retraining the multilayer perceptron. *International Journal of Neural Systems*, 2(3):229 – 236, 1991. doi:10.1142/S0129065791000212.
- [45] C.M. Bishop. Exact calculation of the hessian matrix for the multi-layer perceptron. *Neural Computation*, 4(4):494 – 501, July 1992. doi:10.1162/neco.1992.4.4.494.
- [46] C.M. Bishop. *Neural Networks for Pattern Recognition*. Oxford University Press, Inc., New York, NY, USA, 1995.
- [47] R.P. Brent. *Algorithms for Minimization Without Derivatives*. Prentice-Hall, Inc., Englewood Cliffs, New Jersey, 1973.
- [48] S. Buchholz. *A Theory of Neural Computation with Clifford Algebras*. PhD thesis, University of Kiel, 2005. URL: [http://www.informatik.uni-kiel.de/inf/Sommer/doc/Dissertationen/Sven\\_Buchholz/diss.pdf](http://www.informatik.uni-kiel.de/inf/Sommer/doc/Dissertationen/Sven_Buchholz/diss.pdf).
- [49] S. Buchholz, E.M.S. Hitzer, and K. Tachibana. Coordinate independent update formulas for versor clifford neurons. In *International Conference on Soft Computing and Intelligent Systems (SCIS) International Symposium on Advanced Intelligent Systems (ISIS)*, pages 814 – 819, September 2008.
- [50] S. Buchholz and N. Le Bihan. Polarized signal classification by complex and quaternionic multi-layer perceptrons. *International Journal of Neural Systems*, 18(2):75 – 85, April 2008. doi:10.1142/S0129065708001403.
- [51] S. Buchholz and G. Sommer. *Algebraic Frames for the Perception-Action Cycle*, chapter Geometric Transformations with Clifford Neurons, pages 144 – 153. Number 1888 in Lecture Notes in Computer Science. Springer Berlin Heidelberg, 2000. doi:10.1007/10722492\_9.
- [52] S. Buchholz and G. Sommer. A hyperbolic multilayer perceptron. In *International Joint Conference on Neural Networks (IJCNN)*, volume 2, pages 129 – 133. IEEE, July 2000. doi:10.1109/IJCNN.2000.857886.
- [53] S. Buchholz and G. Sommer. Quaternionic spinor mlp. In *European Symposium on Artificial Neural Networks*, pages 377 – 382, April 2000. URL: <https://www.eleu.ucl.ac.be/Proceedings/esann/esannpdf/es2000-28.pdf>.
- [54] S. Buchholz and G. Sommer. On clifford neurons and clifford multi-layer perceptrons. *Neural Networks*, 21(7):925 – 935, 2008. doi:10.1016/j.neunet.2008.03.004.
- [55] S. Buchholz, K. Tachibana, and E.M.S. Hitzer. *Artificial Neural Networks – ICANN 2007*, chapter Optimal Learning Rates for Clifford Neurons, pages 864 – 873. Number 4668 in Lecture Notes in Computer Science. Springer Berlin Heidelberg, 2007. doi:10.1007/978-3-540-74690-4\_88.
- [56] S. Buchholz, K. Tachibana, and E.M.S. Hitzer. Introduction to theory, construction and application of clifford neural networks. In *International Conference on Neural Information Processing (ICONIP)*, pages 1 – 14, November 2007.
- [57] K. Burse, A. Pandey, and A. Somkuwar. Convergence analysis of complex valued multiplicative neural network for various activation functions. In *International Conference on Computational Intelligence and Communication Networks (CICN)*, pages 279 – 282. IEEE, October 2011. doi:10.1109/CICN.2011.57.
- [58] T. Burwick. Oscillatory networks: Pattern recognition without a superposition catastrophe. *Neural Computation*, 18(2):356 – 380, February 2006. doi:10.

- 1162/089976606775093864.
- [59] T. Burwick. Oscillatory neural networks with self-organized segmentation of overlapping patterns. *Neural Computation*, 19(8):2093 – 2123, August 2007. doi:10.1162/neco.2007.19.8.2093.
  - [60] D. Casasent and S. Natarajan. A classifier neural net with complex-valued weights and square-law nonlinearities. *Neural Networks*, 8(6):989 – 998, 1995. doi:10.1016/0893-6080(95)00008-N.
  - [61] M. Ceylan. Combined complex-valued artificial neural network (ccvann). In *Proceedings of the World Congress on Engineering*, volume 2, pages 955 – 959, July 2011. URL: [http://www.iaeng.org/publication/WCE2011/WCE2011\\_pp955-959.pdf](http://www.iaeng.org/publication/WCE2011/WCE2011_pp955-959.pdf).
  - [62] I. Cha and S.A. Kassam. Channel equalization using adaptive complex radial basis function networks. *IEEE Journal on Selected Areas in Communications*, 13(1):122 – 131, January 1995. doi:10.1109/49.363139.
  - [63] S.V. Chakravarthy and J. Ghosh. A complex-valued associative memory for storing patterns as oscillatory states. *Biological Cybernetics*, 75(3):229 – 238, September 1996. doi:10.1007/s004220050290.
  - [64] C. Charalambous. Conjugate gradient algorithm for efficient training of artificial neural networks. *IEE Proceedings G Circuits, Devices and Systems*, 139(3):301 – 310, June 1992.
  - [65] B. Che Ujang, C.C. Took, and D.P. Mandic. Split quaternion nonlinear adaptive filtering. *Neural Networks*, 23(3):426 – 434, April 2010. doi:10.1016/j.neunet.2009.10.006.
  - [66] B. Che Ujang, C.C. Took, and D.P. Mandic. Quaternion-valued nonlinear adaptive filtering. *IEEE Transactions on Neural Networks*, 22(8):1193 – 1206, August 2011. doi:10.1109/TNN.2011.2157358.
  - [67] B. Che Ujang, C.C. Took, and D.P. Mandic. On quaternion analyticity: Enabling quaternion-valued nonlinear adaptive filtering. In *International Conference on Acoustics, Speech and Signal Processing (ICASSP)*, pages 2117 – 2120. IEEE, March 2012. doi:10.1109/ICASSP.2012.6288329.
  - [68] S. Chen, L. Hanzo, and S. Tan. Symmetric complex-valued rbf receiver for multiple-antenna-aided wireless systems. *IEEE Transactions on Neural Networks*, 19(9):1659 – 1665, September 2008. doi:10.1109/TNN.2008.2000582.
  - [69] S. Chen, S. McLaughlin, and B. Mulgrew. Complex-valued radial basis function network, part ii: Application to digital communications channel equalisation. *Signal Processing*, 36(2):175 – 188, 1994. doi:10.1016/0165-1684(94)90206-2.
  - [70] X. Chen, Z. Tang, C. Variappan, S. Li, and T. Okada. A modified error backpropagation algorithm for complex-value neural networks. *International Journal of Neural Systems*, 15(6):435 – 443, December 2005. doi:10.1142/S0129065705000426.
  - [71] T.L. Clarke. Generalization of neural networks to the complex plane. In *International Joint Conference on Neural Networks (IJCNN)*, volume 2, pages 435 – 440. IEEE, June 1990. doi:10.1109/IJCNN.1990.137751.
  - [72] Y. Cui, K. Takahashi, and M. Hashimoto. Remarks on robot controller application of clifford multi-layer neural networks. In *International Workshop on Advanced Motion Control (AMC)*, pages 410 – 415. IEEE, 2014. doi:10.1109/AMC.2014.6823317.
  - [73] Y.H. Dai and Y. Yuan. A nonlinear conjugate gradient method with a strong global convergence property. *SIAM Journal on Optimization*, 10(1):177 – 182, May 1999. doi:10.1137/S1052623497318992.
  - [74] E.A. de Kerf, G.G.A. Bauerle, and A.P.E. ten Kroode. *Lie Algebras: Finite and*

- Infinite Dimensional Lie Algebras and Applications in Physics*. North Holland, 1997.
- [75] Y. Deng and Z. Yang. Comments on "complex-bilinear recurrent neural network for equalization of a digital satellite channel". *IEEE Transactions on Neural Networks*, 17(1):268 – 268, January 2006. doi:10.1109/TNN.2005.860863.
- [76] J.E. Dennis and R.B. Schnabel. A new derivation of symmetric positive definite secant updates. Technical Report CU-CS-185-80, University of Colorado at Boulder, Department of Computer Science, August 1980.
- [77] S.S. Dragomir and D. Comanescu. On the torricellian point in inner product spaces. *Demonstratio Mathematica*, XLI(3):639 – 650, 2008. URL: [http://www.mini.pw.edu.pl/~demmath/archive/dm41\\_3/15.pdf](http://www.mini.pw.edu.pl/~demmath/archive/dm41_3/15.pdf).
- [78] S.S. Dragomir, D. Comanescu, and E. Kikianty. Torricellian points in normed linear spaces. *Journal of Inequalities and Applications*, 2013(258):1 – 15, May 2013. doi:10.1186/1029-242X-2013-258.
- [79] A. Edelman, T.A. Arias, and S.T. Smith. The geometry of algorithms with orthogonality constraints. *SIAM Journal on Matrix Analysis and Applications*, 20(2):303 – 353, 1998. doi:10.1137/S0895479895290954.
- [80] S.E. Fahlman. An empirical study of learning speed in backpropagation networks. Technical Report 1800, Carnegie Mellon University, January 1988. URL: <http://repository.cmu.edu/compsci/1800>.
- [81] S. Fiori. Nonlinear complex-valued extensions of hebbian learning: An essay. *Neural Computation*, 17(4):779 – 838, April 2005. doi:10.1162/0899766053429381.
- [82] S. Fiori. Lie-group-type neural system learning by manifold retractions. *Neural Networks*, 21(10):1524 – 1529, December 2008. doi:10.1016/j.neunet.2008.09.009.
- [83] S. Fiori. Solving minimal-distance problems over the manifold of real-symplectic matrices. *SIAM Journal on Matrix Analysis and Applications*, 32(3):938 – 968, September 2011. doi:10.1137/100817115.
- [84] S. Fiori and T. Tanaka. An algorithm to compute averages on matrix lie groups. *IEEE Transactions on Signal Processing*, 57(12):4734 – 4743, December 2009. doi:10.1109/TSP.2009.2027754.
- [85] R. Fletcher and M.J.D. Powell. A rapidly convergent descent method for minimization. *The Computer Journal*, 6(2):163 – 168, August 1963. doi:10.1093/comjnl/6.2.163.
- [86] Q. Gan, P. Saratchandran, N. Sundararajan, and K.R. Subramanian. A complex valued radial basis function network for equalization of fast time varying channels. *IEEE Transactions on Neural Networks*, 10(4):958 – 960, July 1999. doi:10.1109/72.774271.
- [87] A.S. Gangal, P.K. Kalra, and D.S. Chauhan. Performance evaluation of complex valued neural networks using various error functions. *International Journal of Electrical, Robotics, Electronics and Communications Engineering*, 1(5):728 – 733, 2007. URL: <http://waset.org/publications/11670>.
- [88] A.S. Gangal, P.K. Kalra, and D.S. Chauhan. Inversion of complex valued neural networks using complex back-propagation algorithm. *International Journal of Mathematics and Computers in Simulation*, 3(1):1 – 8, 2009.
- [89] G.M. Georgiou. The multivalued and continuous perceptrons. In *World Congress on Neural Networks*, volume 4, pages 679 – 683. Lawrence Erlbaum Associates, July 1993.
- [90] G.M. Georgiou and C. Koutsougeras. Complex domain backpropagation. *IEEE Transactions on Circuits and Systems II: Analog and Digital Signal Processing*,



- 39(5):330 – 334, May 1992. doi:10.1109/82.142037.
- [91] J.C. Gilbert and J. Nocedal. Global convergence properties of conjugate gradient methods for optimization. *SIAM Journal on Optimization*, 2(1):21 – 42, 1992. doi:10.1137/0802003.
- [92] S.L. Goh and D.P. Mandic. A class of low complexity and fast converging algorithms for complex-valued neural networks. In *IEEE Signal Processing Society Workshop on Machine Learning for Signal Processing*, pages 13 – 22. IEEE, September 2004. doi:10.1109/MLSP.2004.1422955.
- [93] S.L. Goh and D.P. Mandic. A complex-valued rtrl algorithm for recurrent neural networks. *Neural Computation*, 16(12):2699 – 2713, December 2004. doi:10.1162/0899766042321779.
- [94] S.L. Goh and D.P. Mandic. A class of gradient-adaptive step size algorithms for complex-valued nonlinear neural adaptive filters. In *IEEE International Conference on Acoustics, Speech, and Signal Processing (ICASSP)*, volume 5, pages 253 – 256. IEEE, March 2005. doi:10.1109/ICASSP.2005.1416288.
- [95] S.L. Goh and D.P. Mandic. Nonlinear adaptive prediction of complex-valued signals by complex-valued prnn. *IEEE Transactions on Signal Processing*, 53(5):1827 – 1836, May 2005. doi:10.1109/TSP.2005.845462.
- [96] S.L. Goh and D.P. Mandic. An augmented ctrl for complex-valued recurrent neural networks. *Neural Networks*, 20(10):1061 – 1066, December 2007. doi:10.1016/j.neunet.2007.09.015.
- [97] S.L. Goh and D.P. Mandic. An augmented extended kalman filter algorithm for complex-valued recurrent neural networks. *Neural Computation*, 19(4):1039 – 1055, April 2007. doi:10.1162/neco.2007.19.4.1039.
- [98] S.L. Goh and D.P. Mandic. Stochastic gradient-adaptive complex-valued nonlinear neural adaptive filters with a gradient-adaptive step size. *IEEE Transactions on Neural Networks*, 18(5):1511 – 1516, September 2007. doi:10.1109/TNN.2007.895828.
- [99] S.L. Goh, D.H. Popovic, and D.P. Mandic. Complex-valued estimation of wind profile and wind power. In *IEEE Mediterranean Electrotechnical Conference (MELCON)*, volume 3, pages 1037 – 1040. IEEE, May 2004. doi:10.1109/MELCON.2004.1348231.
- [100] V.M. Govindu. Lie-algebraic averaging for globally consistent motion estimation. In *IEEE Conference on Computer Vision and Pattern Recognition (CVPR)*, volume 1, pages 684 – 691, June 2004. doi:10.1109/CVPR.2004.1315098.
- [101] C. Gramkow. On averaging rotations. *Journal of Mathematical Imaging and Vision*, 15(1-2):7 – 16, July 2001. doi:10.1023/A:1011217513455.
- [102] M.T. Hagan and M.B. Menhaj. Training feedforward networks with the marquardt algorithm. *IEEE Transactions on Neural Networks*, 5(6):989 – 993, November 1994. doi:10.1109/72.329697.
- [103] W.W. Hager and H. Zhang. A survey of nonlinear conjugate gradient methods. *Pacific Journal of Optimization*, 2(1):35 – 58, 2006. URL: [http://people.cs.vt.edu/~asandu/Public/Qual2011/Optim/Hager\\_2006\\_CG-survey.pdf](http://people.cs.vt.edu/~asandu/Public/Qual2011/Optim/Hager_2006_CG-survey.pdf).
- [104] A.I. Hanna and D.P. Mandic. A complex-valued nonlinear neural adaptive filter with a gradient adaptive amplitude of the activation function. *Neural Networks*, 16(2):155 – 159, March 2003. doi:10.1016/S0893-6080(02)00236-8.
- [105] A.I. Hanna and D.P. Mandic. A data-reusing nonlinear gradient descent algorithm for a class of complex-valued neural adaptive filters. *Neural Processing Letters*, 17(1):85 – 91, 2003. doi:10.1023/A:1022915613633.
- [106] A.I. Hanna and D.P. Mandic. A fully adaptive normalized nonlinear gradient descent algorithm for complex-valued nonlinear adaptive filters. *IEEE Tran-*

- sactions on Signal Processing*, 51(10):2540 – 2549, October 2003. doi: 10.1109/TSP.2003.816878.
- [107] T. Hara and A. Hirose. Plastic mine detecting radar system using complex-valued self-organizing map that deals with multiple-frequency interferometric images. *Neural Networks*, 17(8 - 9):1201 – 1210, October - November 2004. doi:10.1016/j.neunet.2004.07.012.
- [108] R. Hartley, J. Trumpf, and Y. Dai. Rotation averaging and weak convexity. In *International Symposium on Mathematical Theory of Networks and Systems*, pages 2435 – 2442, 2010.
- [109] R. Hartley, J. Trumpf, Y. Dai, and H. Li. Rotation averaging. *International Journal of Computer Vision*, 103(3):267 – 305, July 2013. doi:10.1007/s11263-012-0601-0.
- [110] R. Hata and K. Murase. Quaternion neuro-fuzzy for real-valued classification problems. In *Joint International Conference on Soft Computing and Intelligent Systems (SCIS), and Advanced Intelligent Systems (ISIS), 15th International Symposium on*, pages 655 – 660. IEEE, December 2014. doi: 10.1109/SCIS-ISIS.2014.7044665.
- [111] U. Helmke and M.A. Shayman. Critical points of matrix least squares distance functions. *Linear Algebra and its Applications*, 215:1 – 19, January 1995. doi: 10.1016/0024-3795(93)00070-G.
- [112] M.R. Hestenes and E. Stiefel. Methods of conjugate gradients for solving linear systems. *Journal of Research of the National Bureau of Standards*, 49(6):409 – 436, December 1952.
- [113] A. Hirose. Continuous complex-valued back-propagation learning. *Electronics Letters*, 28(20):1854 – 1855, September 1992. doi:10.1049/el:19921186.
- [114] A. Hirose. Dynamics of fully complex-valued neural networks. *Electronics Letters*, 28(16):1492 – 1494, July 1992. doi:10.1049/el:19920948.
- [115] A. Hirose. Applications of complex-valued neural networks to coherent optical computing using phase-sensitive detection scheme. *Information Sciences - Applications*, 2(2):103 – 117, September 1994. doi:10.1016/1069-0115(94)90014-0.
- [116] A. Hirose. Fractal variation of attractors in complex-valued neural networks. *Neural Processing Letters*, 1(1):6 – 8, 1994. doi:10.1007/BF02312393.
- [117] A. Hirose, editor. *Complex-Valued Neural Networks: Theories and Applications*, volume 5 of *Series on Innovative Intelligence*. World Scientific, 2003. doi: 10.1142/5345.
- [118] A. Hirose. *Complex-Valued Neural Networks*, volume 400 of *Studies in Computational Intelligence*. Springer Berlin Heidelberg, 2012. doi:10.1007/978-3-642-27632-3.
- [119] A. Hirose. *Complex-Valued Neural Networks: Advances and Applications*. John Wiley & Sons, Inc., 2013. doi:10.1002/9781118590072.
- [120] A. Hirose and R. Eckmiller. Behavior control of coherent-type neural networks by carrier-frequency modulation. *IEEE Transactions on Neural Networks*, 7(4):1032 – 1034, July 1996. doi:10.1109/72.508945.
- [121] A. Hirose and R. Eckmiller. Coherent optical neural networks and the generalization characteristics. *Optical Review*, 3(6):A418–A422, Nov./Dec. 1996. doi:10.1007/BF02935948.
- [122] A. Hirose and R. Eckmiller. Coherent optical neural networks that have optical-frequency-controlled behavior and generalization ability in the frequency domain. *Applied Optics*, 35(5):836 – 843, 1996. doi:10.1364/AO.35.000836.
- [123] A. Hirose and R. Eckmiller. Proposal of frequency-domain multiplexing in optical

- neural networks. *Neurocomputing*, 10(2):197 – 204, March 1996. doi:10.1016/0925-2312(95)00129-8.
- [124] A. Hirose and H. Onishi. Observation of positive Lyapunov exponent induced by gain increase of neuron nonlinearity in complex-valued associative memories. *Electronics Letters*, 32(8):745 – 746, April 1996. doi:10.1049/el:19960472.
- [125] A. Hirose and H. Onishi. Proposal of relative-minimization learning for behavior stabilization of complex-valued recurrent neural networks. *Neurocomputing*, 24(1 - 3):163 – 171, February 1999. doi:10.1016/S0925-2312(98)00093-9.
- [126] E. Hitzer. Non-constant bounded holomorphic functions of hyperbolic numbers - candidates for hyperbolic activation functions, 2013. URL: <http://arxiv.org/abs/1306.1653>.
- [127] G. Howells, D.L. Bisset, and M.C. Fairhurst. Clifford networks novel neural architectures for multidimensional data. In *International Conference on Image Processing and Its Applications*, volume 2, pages 670 – 675. IEEE, July 1997. doi:10.1049/cp:19970979.
- [128] G.-B. Huang, M.-B. Li, L. Chen, and C.-K. Siew. Incremental extreme learning machine with fully complex hidden nodes. *Neurocomputing*, 71(4 - 6):576 – 583, January 2008. doi:10.1016/j.neucom.2007.07.025.
- [129] D.Q. Huynh. Metrics for 3d rotations comparison and analysis. *Journal of Mathematical Imaging and Vision*, 35(2):155 – 164, October 2009. doi:10.1007/s10851-009-0161-2.
- [130] F. Iachello. *Lie Algebras and Applications*, volume 891 of *Lecture Notes in Physics*. Springer Berlin Heidelberg, 2015. doi:10.1007/978-3-662-44494-8.
- [131] T. Isokawa, T. Kusakabe, N. Matsui, and F. Peper. Quaternion neural network and its application. In V. Palade, R.J. Howlett, and Jai, editors, *Knowledge-Based Intelligent Information and Engineering Systems*, volume 2774 of *Lecture Notes in Computer Science*, pages 318 – 324, 2003. doi:10.1007/978-3-540-45226-3\_44.
- [132] T. Isokawa, H. Nishimura, N. Kamiura, and N. Matsui. Associative memory in quaternionic hopfield neural network. *International Journal of Neural Systems*, 18(2):135 – 145, April 2008. doi:10.1142/S0129065708001440.
- [133] R.A. Jacobs. Increased rates of convergence through learning rate adaptation. *Neural Networks*, 1(4):295 – 307, 1988. doi:10.1016/0893-6080(88)90003-2.
- [134] C. Jahanchahi and D.P. Mandic. A class of quaternion kalman filters. *IEEE Transactions on Neural Networks and Learning Systems*, 25(3):533 – 544, March 2014. doi:10.1109/TNNLS.2013.2277540.
- [135] C. Jahanchahi, C.C. Took, and D.P. Mandic. On hr calculus, quaternion valued stochastic gradient, and adaptive three dimensional wind forecasting. In *International Joint Conference on Neural Networks (IJCNN)*, pages 1 – 5. IEEE, July 2010. doi:10.1109/IJCNN.2010.5596629.
- [136] C. Jahanchahi, C.C. Took, and D.P. Mandic. The widely linear quaternion recursive least squares filter. In *International Workshop on Cognitive Information Processing (CIP)*, pages 87 – 92. IEEE, June 2010. doi:10.1109/CIP.2010.5604211.
- [137] S. Jankowski, A. Lozowski, and J.M. Zurada. Complex-valued multistate neural associative memory. *IEEE Transactions on Neural Networks*, 7(6):1491 – 1496, November 1996. doi:10.1109/72.548176.
- [138] G.L. Jenkins and M.E. Dacey. A unit quaternion based som for anatomical joint constraint modelling. In *International Conference on Computer Modelling and Simulation (UKSim)*, pages 89 – 95. IEEE, March 2014. doi:10.1109/UKSim.2014.21.

- [139] D. Jianping, N. Sundararajan, and P. Saratchandran. Communication channel equalization using complex-valued minimal radial basis function neural networks. *IEEE Transactions on Neural Networks*, 13(3):687 – 696, May 2002. doi:10.1109/TNN.2002.1000133.
- [140] E.M. Johansson, F.U. Dowlah, and D.M. Goodman. Backpropagation learning for multilayer feed-forward neural networks using the conjugate gradient method. *International Journal of Neural Systems*, 2(4):291 – 301, 1991. doi:10.1142/S0129065791000261.
- [141] A. Kantsila, M. Lehtokangas, and J. Saarinen. Complex rprop-algorithm for neural network equalization of gsm data bursts. *Neurocomputing*, 61:339 – 360, October 2004. doi:10.1016/j.neucom.2003.11.007.
- [142] S. Kawata and A. Hirose. Frequency-multiplexed logic circuit based on a coherent optical neural network. *Applied Optics*, 44(19):4053 – 4059, 2005. doi:10.1364/AO.44.004053.
- [143] M.S. Kim and C.C. Guest. Modification of backpropagation networks for complex-valued signal processing in frequency domain. In *International Joint Conference on Neural Networks (IJCNN)*, volume 3, pages 27 – 31. IEEE, June 1990. doi:10.1109/IJCNN.1990.137820.
- [144] T. Kim and T. Adali. Fully complex backpropagation for constant envelope signal processing. In *IEEE Signal Processing Society Workshop on Neural Networks for Signal Processing*, volume 1, pages 231 – 240. IEEE, December 2000. doi:10.1109/NNSP.2000.889414.
- [145] T. Kim and T. Adali. Approximation by fully complex mlp using elementary transcendental activation functions. In *IEEE Signal Processing Society Workshop on Neural Networks for Signal Processing*, pages 203 – 212. IEEE, September 2001. doi:10.1109/NNSP.2001.943125.
- [146] T. Kim and T. Adali. Fully complex multi-layer perceptron network for nonlinear signal processing. *Journal of VLSI signal processing systems for signal, image and video technology*, 32(1 - 2):29 – 43, August 2002. doi:10.1023/A:1016359216961.
- [147] T. Kim and T. Adali. Universal approximation of fully complex feed-forward neural networks. In *IEEE International Conference on Acoustics, Speech, and Signal Processing (ICASSP)*, volume 1, pages 973 – 976. IEEE, May 2002. doi:10.1109/ICASSP.2002.5743956.
- [148] T. Kim and T. Adali. Approximation by fully complex multilayer perceptrons. *Neural Computation*, 15(7):1641 – 1666, July 2003. doi:10.1162/089976603321891846.
- [149] M. Kinouchi and M. Hagiwara. Memorization of melodies by complex-valued recurrent network. In *IEEE International Conference on Neural Networks*, volume 2, pages 1324 – 1328. IEEE, June 1996. URL: 10.1109/ICNN.1996.549090.
- [150] T. Kitajima and T. Yasuno. Output prediction of wind power generation system using complex-valued neural network. In *Proceedings of SICE Annual Conference*, pages 3610 – 3613. IEEE, August 2010.
- [151] M. Kobayashi. Exceptional reducibility of complex-valued neural networks. *IEEE Transactions on Neural Networks*, 21(7):1060 – 1072, July 2010. doi:10.1109/TNN.2010.2048040.
- [152] M. Kobayashi. Hyperbolic hopfield neural networks. *IEEE Transactions on Neural Networks and Learning Systems*, 24(2):335 – 341, February 2013. doi:10.1109/TNNLS.2012.2230450.
- [153] K. Kreutz-Delgado. The complex gradient operator and the cr-calculus. Technical Report UCSD-ECE275CG-S2009v1.0, University of California, San Diego,

- June 2009.
- [154] Y. Kuroe. Models of clifford recurrent neural networks and their dynamics. In *International Joint Conference on Neural Networks (IJCNN)*, pages 1035 – 1041. IEEE, 2011. doi:10.1109/IJCNN.2011.6033336.
  - [155] Y. Kuroe, N. Hashimoto, and T. Mori. Qualitative analysis of a self-correlation type complex-valued associative memories. *Nonlinear Analysis: Theory, Methods & Applications*, 47(9):5795 – 5806, August 2001. doi:10.1016/S0362-546X(01)00823-9.
  - [156] Y. Kuroe, S. Tanigawa, and H. Iima. Models of hopfield-type clifford neural networks and their energy functions - hyperbolic and dual valued networks -. In *International Conference on Neural Information Processing*, number 7062 in Lecture Notes in Computer Science, pages 560 – 569, 2011. doi:10.1007/978-3-642-24955-6\_67.
  - [157] H. Kusamichi, T. Isokawa, N. Matsui, Y. Ogawa, and K. Maeda. A new scheme for color night vision by quaternion neural network. In *International Conference on Autonomous Robots and Agents*, pages 101 – 106, December 2004. URL: [http://www-ist.massey.ac.nz/conferences/icara2004/files/Papers/Paper17\\_ICARA2004\\_101\\_106.pdf](http://www-ist.massey.ac.nz/conferences/icara2004/files/Papers/Paper17_ICARA2004_101_106.pdf).
  - [158] Y. LeCun, J.S. Denker, S. Solla, R.E. Howard, and L.D. Jackel. Optimal brain damage. In D. Touretzky, editor, *Advances in Neural Information Processing Systems (NIPS 1989)*, volume 2, Denver, CO, 1990. Morgan Kaufman.
  - [159] D.L. Lee. Improving the capacity of complex-valued neural networks with a modified gradient descent learning rule. *IEEE Transactions on Neural Networks*, 12(2):439 – 443, March 2001. doi:10.1109/72.914540.
  - [160] D.L. Lee. Relaxation of the stability condition of the complex-valued neural networks. *IEEE Transactions on Neural Networks*, 12(5):1260 – 1262, September 2001. doi:10.1109/72.950156.
  - [161] D.L. Lee. Improvements of complex-valued hopfield associative memory by using generalized projection rules. *IEEE Transactions on Neural Networks*, 17(5):1341 – 1347, September 2006. doi:10.1109/TNN.2006.878786.
  - [162] D.L. Lee and W.J. Wang. A multivalued bidirectional associative memory operating on a complex domain. *Neural Networks*, 11(9):1623 – 1635, December 1998. doi:10.1016/S0893-6080(98)00078-1.
  - [163] H. Leung and S. Haykin. The complex backpropagation algorithm. *IEEE Transactions on Signal Processing*, 39(9):2101 – 2104, September 1991. doi:10.1109/78.134446.
  - [164] H. Li and T. Adali. A class of complex ica algorithms based on the kurtosis cost function. *IEEE Transactions on Neural Networks*, 19(3):408 – 420, March 2008. doi:10.1109/TNN.2007.908636.
  - [165] M.-B. Li, G.-B. Huang, P. Saratchandran, and N. Sundararajan. Fully complex extreme learning machine. *Neurocomputing*, 68:306 – 314, October 2005. doi:10.1016/j.neucom.2005.03.002.
  - [166] X.L. Li and T. Adali. Complex independent component analysis by entropy bound minimization. *IEEE Transactions on Circuits and Systems I: Regular Papers*, 57(7):1417 – 1430, July 2010. doi:10.1109/TCSI.2010.2046207.
  - [167] D.G. Luenberger and Y. Ye. *Linear and Nonlinear Programming*, volume 116 of *International Series in Operations Research & Management Science*. Springer, 2008. doi:10.1007/978-0-387-74503-9.
  - [168] D.J.C. Mackay. A practical bayesian framework for backpropagation networks. *Neural Computation*, 4(3):448 – 472, 1992. doi:10.1162/neco.1992.4.3.448.
  - [169] D.P. Mandic. Complex valued recurrent neural networks for noncircular complex

- signals. In *International Joint Conference on Neural Networks (IJCNN)*, pages 1987 – 1992. IEEE, June 2009. doi:10.1109/IJCNN.2009.5178960.
- [170] D.P. Mandic and J. Chambers. *Recurrent Neural Networks for Prediction: Learning Algorithms, Architectures and Stability*. John Wiley & Sons, Inc., New York, NY, USA, 2001. doi:10.1002/047084535X.
- [171] D.P. Mandic and S.L. Goh. *Complex Valued Nonlinear Adaptive Filters Non-circularity, Widely Linear and Neural Models*. John Wiley & Sons, Inc., 2009. doi:10.1002/9780470742624.
- [172] D.P. Mandic, S.L. Javidi, S. and Goh, A. Kuh, and K. Aihara. Complex-valued prediction of wind profile using augmented complex statistics. *Renewable Energy*, 34(1):196 – 201, January 2009. doi:doi:10.1016/j.renene.2008.03.022.
- [173] F.L. Markley, Y. Cheng, J.L. Crassidis, and Y. Oshman. Averaging quaternions. *Journal of Guidance, Control, and Dynamics*, 30(4):1193 – 1197, July 2007. doi:10.2514/1.28949.
- [174] D.W. Marquardt. An algorithm for least-squares estimation of nonlinear parameters. *Journal of the Society for Industrial and Applied Mathematics*, 11(2):431 – 441, June 1963. doi:10.1137/0111030.
- [175] S. Masuyama and A. Hirose. Walled ltsa array for rapid, high spatial resolution, and phase-sensitive imaging to visualize plastic landmines. *IEEE Transactions on Geoscience and Remote Sensing*, 48(5):2536 – 2543, August 2007. doi:10.1109/TGRS.2007.897418.
- [176] S. Masuyama, K. Yasuda, and A. Hirose. Multiple-mode selection of walled-ltsa array elements for high-resolution imaging to visualize antipersonnel plastic landmines. *IEEE Geoscience and Remote Sensing Letters*, 5(4):745 – 749, October 2008. doi:10.1109/LGRS.2008.2004509.
- [177] M. Moakher. Means and averaging in the group of rotations. *SIAM Journal on Matrix Analysis and Applications*, 24(1):1 – 16, July 2002. doi:10.1137/S0895479801383877.
- [178] M.F. Møller. A scaled conjugate gradient algorithm for fast supervised learning. *Neural Networks*, 6(4):525 – 533, 1993. doi:10.1016/S0893-6080(05)80056-5.
- [179] M.K. Muezzinoglu, C. Guzelis, and J.M. Zurada. A new design method for the complex-valued multistate hopfield associative memory. *IEEE Transactions on Neural Networks*, 14(4):891 – 899, July 2003. doi:10.1109/TNN.2003.813844.
- [180] K.S. Narendra and K. Parthasarathy. Identification and control of dynamical systems using neural networks. *IEEE Transactions on Neural Networks*, 1(1):4 – 27, March 1990. doi:10.1109/72.80202.
- [181] I. Nemoto and M. Kubono. Complex associative memory. *Neural Networks*, 9(2):253 – 261, March 1996.
- [182] I. Nemoto and K. Saito. A complex-valued version of nagumo-sato model of a single neuron and its behavior. *Neural Networks*, 15(7):833 – 853, September 2002. doi:10.1016/S0893-6080(02)00066-7.
- [183] I. Nishikawa and Y. Kuroe. Dynamics of complex-valued neural networks and its relation to a phase oscillator system. In N.R. Pal, N. Kasabov, R.K. Mudi, S. Pal, and S.K. Parui, editors, *Neural Information Processing (ICONIP)*, volume 3316 of *Lecture Notes in Computer Science*, pages 122 – 129, November 2004. doi:10.1007/978-3-540-30499-9\_18.
- [184] T. Nitta. A back-propagation algorithm for complex numbered neural networks. In *International Joint Conference on Neural Networks (IJCNN)*, volume 2, pages 1649 – 1652. IEEE, October 1993. doi:10.1109/IJCNN.1993.716968.
- [185] T. Nitta. A back-propagation algorithm for neural networks based on 3d vector product. In *International Joint Conference on Neural Networks (IJCNN)*, vo-

- lume 1, pages 589 – 592. IEEE, 1993. doi:10.1109/IJCNN.1993.713984.
- [186] T. Nitta. An extension of the back-propagation algorithm to three dimensions by vector product. In *International Conference on Tools with Artificial Intelligence (TAI)*, pages 460 – 461. IEEE, 1993. doi:10.1109/TAI.1993.634002.
- [187] T. Nitta. An analysis on decision boundaries in the complex back-propagation network. In *IEEE International Conference on Neural Networks and IEEE World Congress on Computational Intelligence*, volume 2, pages 934 – 939. IEEE, July 1994. doi:10.1109/ICNN.1994.374306.
- [188] T. Nitta. Generalization ability of the three-dimensional back-propagation network. In *International Conference on Neural Networks*, volume 5, pages 2895 – 2900. IEEE, 1994. doi:10.1109/ICNN.1994.374691.
- [189] T. Nitta. Structure of learning in the complex numbered back-propagation network. In *IEEE World Congress on Computational Intelligence and IEEE International Conference on Neural Networks*, volume 1, pages 269 – 274. IEEE, July 1994. doi:10.1109/ICNN.1994.374173.
- [190] T. Nitta. A quaternary version of the back-propagation algorithm. In *International Conference on Neural Networks*, number 5, pages 2753 – 2756. IEEE, 1995. doi:10.1109/ICNN.1995.488166.
- [191] T. Nitta. An extension of the back-propagation algorithm to complex numbers. *Neural Networks*, 10(8):1391 – 1415, November 1997. doi:10.1016/S0893-6080(97)00036-1.
- [192] T. Nitta. A sufficient condition for decision boundaries in neural networks with complex numbered weights to intersect orthogonally. In *International Conference on Neural Information Processing (ICONIP)*, volume 1, pages 95 – 100. IEEE, November 1999. doi:10.1109/ICONIP.1999.843968.
- [193] T. Nitta. An analysis of the fundamental structure of complex-valued neurons. *Neural Processing Letters*, 12(3):239 – 246, December 2000. doi:10.1023/A:1026582217675.
- [194] T. Nitta. The computational power of complex-valued neuron. In O. Kaynak, E. Alpaydin, E. Oja, and L. Xu, editors, *Artificial Neural Networks and Neural Information Processing - ICANN/ICONIP 2003*, volume 2714 of *Lecture Notes in Computer Science*, pages 993 – 1000. Springer Berlin Heidelberg, 2003. doi:10.1007/3-540-44989-2\_118.
- [195] T. Nitta. On the inherent property of the decision boundary in complex-valued neural networks. *Neurocomputing*, 50:291 – 303, January 2003. doi:10.1016/S0925-2312(02)00568-4.
- [196] T. Nitta. Solving the xor problem and the detection of symmetry using a single complex-valued neuron. *Neural Networks*, 16(8):1101 – 1105, October 2003. doi:10.1016/S0893-6080(03)00168-0.
- [197] T. Nitta. Orthogonality of decision boundaries in complex-valued neural networks. *Neural Computation*, 16(1):73 – 97, January 2004. doi:10.1162/08997660460734001.
- [198] T. Nitta. A solution to the 4-bit parity problem with a single quaternary neuron. *Neural Information Processing - Letters and Review*, 5(2):33 – 39, November 2004.
- [199] T. Nitta. Three-dimensional vector valued neural network and its generalization ability. *Neural Information Processing - Letters and Reviews*, 10(10):237 – 242, 2006.
- [200] T. Nitta. N-dimensional vector neuron. In *IJCAI Workshop on Complex-Valued Neural Networks and Neuro-Computing: Novel Methods, Applications and Implementations*, pages 2 – 7, 2007.

- [201] T. Nitta, editor. *Complex-Valued Neural Networks: Utilizing High-Dimensional Parameters*. Information Science Publishing, Hershey, New York, 2009. doi:10.4018/978-1-60566-214-5.
- [202] T. Nitta. *Complex-Valued Neural Networks: Advances and Applications*, chapter N-Dimensional Vector Neuron and its Application to the N-Bit Parity Problem, pages 59 – 74. John Wiley & Sons, Inc., 2013. doi:10.1002/9781118590072.ch3.
- [203] T. Nitta and S. Buchholz. On the decision boundaries of hyperbolic neurons. In *International Joint Conference on Neural Networks (IJCNN)*, pages 2974 – 2980. IEEE, 2008. doi:10.1109/IJCNN.2008.4634216.
- [204] A.J. Noest. Associative memory in sparse phasor neural networks. *Europhysics Letters*, 6(6):469 – 474, 1988. doi:10.1209/0295-5075/6/5/016.
- [205] A.J. Noest. Discrete-state phasor neural networks. *Physics Review A*, 38(4):2196 – 2199, August 1988. doi:10.1103/PhysRevA.38.2196.
- [206] M. Novey and T. Adali. Complex ica by negentropy maximization. *IEEE Transactions on Neural Networks*, 19(4):596 – 609, April 2008. doi:10.1109/TNN.2007.911747.
- [207] P.L. Papini and J. Puerto. Averaging the k largest distances among n: k-centra in banach spaces. *Journal of Mathematical Analysis and Applications*, 291(2):477 – 487, March 2004. doi:10.1016/j.jmaa.2003.11.011.
- [208] D.-C. Park and T.-K.J. Jeong. Complex-bilinear recurrent neural network for equalization of a digital satellite channel. *IEEE Transactions on Neural Networks*, 13(3):711 – 725, May 2002. doi:10.1109/TNN.2002.1000135.
- [209] B.A. Pearlmutter. Fast exact multiplication by the hessian. *Neural Computation*, 6(1):147 – 160, January 1994. doi:10.1162/neco.1994.6.1.147.
- [210] J.K. Pearson. *Clifford Networks*. PhD thesis, University of Kent, 1995. URL: <http://user.it.uu.se/~justin/Research/thesis.ps>.
- [211] J.K. Pearson and D.L. Bisset. Back propagation in a clifford algebra. In *International Conference on Artificial Neural Networks*, volume 2, pages 413 – 416, 1992.
- [212] J.K. Pearson and D.L. Bisset. Neural networks in the clifford domain. In *International Conference on Neural Networks*, volume 3, pages 1465 – 1469. IEEE, 1994. doi:10.1109/ICNN.1994.374502.
- [213] X. Pennec. Computing the mean of geometric features application to the mean rotation. Rapport des Recherche 3371, Institut National de Recherche en Informatique et en Automatique, 1998. URL: <https://hal.archives-ouvertes.fr/file/index/docid/73318/filename/RR-3371.pdf>.
- [214] E. Polak and G. Ribiere. Note sur la convergence de méthodes de directions conjuguées. *Revue Française d'Informatique et de Recherche Opérationnelle*, 3(16):35 – 43, 1969.
- [215] C.-A. Popa. Enhanced gradient descent algorithms for complex-valued neural networks. In *International Symposium on Symbolic and Numeric Algorithms for Scientific Computing (SYNASC)*, pages 272 – 279. IEEE, September 2014. doi:10.1109/SYNASC.2014.44.
- [216] C.-A. Popa. Exact hessian matrix calculation for complex-valued neural networks. In *International Workshop on Soft Computing Applications (SOFA)*. Springer, July 2014.
- [217] C.-A. Popa. Conjugate gradient algorithms for complex-valued neural networks. communicated, 2015.
- [218] C.-A. Popa. Lie algebra-valued neural networks. In *International Joint Conference on Neural Networks (IJCNN)*. IEEE, July 2015.
- [219] C.-A. Popa. Matrix-valued neural networks. In *International Conference on Soft*



- Computing (MENDEL)*. Springer, June 2015.
- [220] C.-A. Popa. Quasi-newton learning methods for complex-valued neural networks. In *International Joint Conference on Neural Networks (IJCNN)*. IEEE, July 2015.
- [221] C.-A. Popa. Scaled conjugate gradient learning for complex-valued neural networks. In *International Conference on Soft Computing (MENDEL)*. Springer, June 2015.
- [222] M.J.D. Powell. Restart procedures for the conjugate gradient method. *Mathematical Programming*, 12(1):241 – 254, 1977. doi:10.1007/BF01593790.
- [223] A.F.R. Rahman, G. Howells, and M.C. Fairhurst. A multiexpert framework for character recognition: A novel application of clifford networks. *IEEE Transactions on Neural Networks*, 12(1):101 – 112, January 2001. doi:10.1109/72.896799.
- [224] S.S.P. Rattan and W.W. Hsieh. Complex-valued neural networks for nonlinear complex principal component analysis. *Neural Networks*, 18(1):61 – 69, January 2005. doi:10.1016/j.neunet.2004.08.002.
- [225] C.M. Reeves and R. Fletcher. Function minimization by conjugate gradients. *The Computer Journal*, 7(2):149 – 154, 1964. doi:10.1093/comjnl/7.2.149.
- [226] M. Riedmiller and H. Braun. A direct adaptive method for faster backpropagation learning: The rprop algorithm. In *IEEE International Conference on Neural Networks*, volume 1, pages 586 – 591. IEEE, March 1993. doi:10.1109/ICNN.1993.298623.
- [227] C. Samir, P.-A. Absil, A. Srivastava, and E. Klassen. A gradient-descent method for curve fitting on riemannian manifolds. *Foundations of Computational Mathematics*, 12(1):49 – 73, February 2012. doi:10.1007/s10208-011-9091-7.
- [228] E. Sathish, M. Sivachitra, R. Savitha, and S. Vijayachitra. Wind profile prediction using a meta-cognitive fully complex-valued neural network. In *International Conference on Advanced Computing (ICoAC)*, pages 1 – 6. IEEE, December 2012. doi:10.1109/ICoAC.2012.6416850.
- [229] D.H. Sattinger and O.L. Weaver. *Lie Groups and Algebras with Applications to Physics, Geometry, and Mechanics*, volume 61 of *Applied Mathematical Sciences*. Springer-Verlag New York, 1986. doi:10.1007/978-1-4757-1910-9.
- [230] R. Savitha, S. Suresh, and N. Sundararajan. Complex-valued function approximation using a fully complex-valued rbf (fc-rbf) learning algorithm. In *International Joint Conference on Neural Networks (IJCNN)*, pages 2819 – 2825. IEEE, June 2009. doi:10.1109/IJCNN.2009.5178624.
- [231] R. Savitha, S. Suresh, and N. Sundararajan. A fully complex-valued radial basis function network and its learning algorithm. *International Journal of Neural Systems*, 19(4):253 – 267, August 2009. doi:10.1142/S0129065709002026.
- [232] R. Savitha, S. Suresh, and N. Sundararajan. A self-regulated learning in fully complex-valued radial basis function networks. In *International Joint Conference on Neural Networks (IJCNN)*, pages 1 – 8. IEEE, July 2010. doi:10.1109/IJCNN.2010.5596781.
- [233] R. Savitha, S. Suresh, and N. Sundararajan. A fast learning complex-valued neural classifier for real-valued classification problems. In *International Joint Conference on Neural Networks (IJCNN)*, pages 2243 – 2249. IEEE, August 2011. doi:10.1109/IJCNN.2011.6033508.
- [234] R. Savitha, S. Suresh, and N. Sundararajan. A meta-cognitive learning algorithm for a fully complex-valued relaxation network. *Neural Networks*, 32:209 – 218, August 2012. doi:10.1016/j.neunet.2012.02.015.
- [235] R. Savitha, S. Suresh, and N. Sundararajan. Projection-based fast learning

- fully complex-valued relaxation neural network. *IEEE Transactions on Neural Networks and Learning Systems*, 24(4):529 – 541, April 2013. doi:10.1109/TNNLS.2012.2235460.
- [236] R. Savitha, S. Suresh, N. Sundararajan, and P. Saratchandran. Complex-valued function approximation using an improved bp learning algorithm for feed-forward networks. In *IEEE International Joint Conference on Neural Networks, IJCNN (IEEE World Congress on Computational Intelligence)*, pages 2251 – 2258. IEEE, June 2008. doi:10.1109/IJCNN.2008.4634109.
- [237] R. Savitha, S. Suresh, N. Sundararajan, and P. Saratchandran. A new learning algorithm with logarithmic performance index for complex-valued neural networks. *Neurocomputing*, 72(16 - 18):3771 – 3781, October 2009. doi:10.1016/j.neucom.2009.06.004.
- [238] D.F. Shanno. Conditioning of quasi-newton methods for function minimization. *Mathematics of Computation*, 24(111):647 – 656, July 1970. doi:10.1090/S0025-5718-1970-0274029-X.
- [239] I. Sharf, A. Wolf, and M.B. Rubin. Arithmetic and geometric solutions for average rigid-body rotation. *Mechanism and Machine Theory*, 45(9):1239 – 1251, September 2010. doi:10.1016/j.mechmachtheory.2010.05.002.
- [240] M.D. Shuster. A survey of attitude representations. *The Journal of the Astronautical Sciences*, 41(4):439 – 517, October - December 1993. URL: [http://malcolmdshuster.com/Pub\\_1993h\\_J\\_Repsurv\\_scan.pdf](http://malcolmdshuster.com/Pub_1993h_J_Repsurv_scan.pdf).
- [241] G. Sommer, editor. *Geometric Computing with Clifford Algebras Theoretical Foundations and Applications in Computer Vision and Robotics*. Springer Berlin Heidelberg, 2001. doi:10.1007/978-3-662-04621-0.
- [242] J. Song and Y. Yam. Complex recurrent neural network for computing the inverse and pseudo-inverse of the complex matrix. *Applied Mathematics and Computation*, 93(2 - 3):195 – 205, July 1998. doi:10.1016/S0096-3003(97)10064-9.
- [243] R. Subbarao and P. Meer. Nonlinear mean shift over riemannian manifolds. *International Journal of Computer Vision*, 84(1):1 – 20, August 2009. doi:10.1007/s11263-008-0195-8.
- [244] S. Suresh, R. Savitha, and N. Sundararajan. A sequential learning algorithm for complex-valued self-regulating resource allocation network-csrn. *IEEE Transactions on Neural Networks*, 22(7):1061 – 1072, July 2011. doi:10.1109/TNN.2011.2144618.
- [245] S. Suresh, N. Sundararajan, and R. Savitha. *Supervised Learning with Complex-Valued Neural Networks*, volume 421 of *Studies in Computational Intelligence*. Springer Berlin Heidelberg, 2011. doi:10.1007/978-3-642-29491-4.
- [246] K. Tachibana and E.M.S. Hitzer. Tutorial note on geometric algebra neural networks. In *AGACSE 3*, pages 1 – 20, August 2008. URL: <http://erkenntnis.icu.ac.jp/gcj/publications/AGACSE2008NNtut/AGACSE2008NNtut.pdf>.
- [247] H. Takahashi. Covariance phasor neural network as a mean field model. In *International Conference on Neural Information Processing (ICONIP)*, volume 3, pages 1089 – 1093. IEEE, November 2002. doi:10.1109/ICONIP.2002.1202790.
- [248] M. Takeda and T. Kishigami. Complex neural fields with a hopfield-like energy function and an analogy to optical fields generated in phase-conjugate resonators. *Journal of Optical Society of America A*, 9(12):2182 – 2191, December 1992. doi:10.1364/JOSAA.9.002182.
- [249] G. Tanaka and K. Aihara. Complex-valued multistate associative memory with nonlinear multilevel functions for gray-level image reconstruction. *IEEE Transactions on Neural Networks*, 20(9):1463 – 1473, 2009. doi:10.1109/TNN.2009.

- 2025500.
- [250] T. Tollenaere. Supersab: Fast adaptive back propagation with good scaling properties. *Neural Networks*, 3(5):561 – 573, 1990. doi:10.1016/0893-6080(90)90006-7.
  - [251] C.C. Took and D.P. Mandic. The quaternion lms algorithm for adaptive filtering of hypercomplex processes. *IEEE Transactions on Signal Processing*, 57(4):1316 – 1327, April 2009. doi:10.1109/TSP.2008.2010600.
  - [252] C.C. Took and D.P. Mandic. Quaternion-valued stochastic gradient-based adaptive iir filtering. *IEEE Transactions on Signal Processing*, 58(7):3895 – 3901, July 2010. doi:10.1109/TSP.2010.2047719.
  - [253] C.C. Took and D.P. Mandic. A quaternion widely linear adaptive filter. *IEEE Transactions on Signal Processing*, 58(8):4427 – 4431, August 2010. doi:10.1109/TSP.2010.2048323.
  - [254] C.C. Took, D.P. Mandic, and K. Aihara. Quaternion-valued short term forecasting of wind profile. In *International Joint Conference on Neural Networks (IJCNN)*, pages 1 – 6. IEEE, July 2010. doi:10.1109/IJCNN.2010.5596690.
  - [255] C.C. Took, D.P. Mandic, and J. Benesty. Study of the quaternion lms and four-channel lms algorithms. In *International Conference on Acoustics, Speech and Signal Processing*, pages 3109 – 3112. IEEE, April 2009. doi:10.1109/ICASSP.2009.4960282.
  - [256] C.C. Took, G. Strbac, K. Aihara, and D.P. Mandic. Quaternion-valued short-term joint forecasting of three-dimensional wind and atmospheric parameters. *Renewable Energy*, 36(6):1754 – 1760, June 2011. doi:10.1016/j.renene.2010.12.013.
  - [257] B.K. Tripathi and P.K. Kalra. Learning machine using heterogeneous neurons with high dimensional parameters. In *IEEE International Conference on System of Systems Engineering*, pages 1 – 6. IEEE, April 2007. doi:10.1109/SYSOSE.2007.4304324.
  - [258] B.K. Tripathi and P.K. Kalra. The novel aggregation function-based neuron models in complex domain. *Soft Computing*, 14(10):1069 – 1081, 2010. doi:10.1007/s00500-009-0502-5.
  - [259] A. Uncini and F. Piazza. Blind signal processing by complex domain adaptive spline neural networks. *IEEE Transactions on Neural Networks*, 14(2):399 – 412, March 2003. doi:10.1109/TNN.2003.809411.
  - [260] M.E. Valle. A novel continuous-valued quaternionic hopfield neural network. In *Brazilian Conference on Intelligent Systems (BRACIS)*, pages 97 – 102. IEEE, October 2014. doi:10.1109/BRACIS.2014.28.
  - [261] J.R. Vallejo and E. Bayro-Corrochano. Clifford hopfield neural networks. In *International Joint Conference on Neural Networks (IJCNN)*, pages 3609 – 3612. IEEE, June 2008. doi:10.1109/IJCNN.2008.4634314.
  - [262] B. Vandereycken, P.-A. Absil, and S. Vandewalle. A riemannian geometry with complete geodesics for the set of positive semidefinite matrices of fixed rank. *IMA Journal of Numerical Analysis*, 33(2):481 – 514, April 2013. doi:10.1093/imanum/drs006.
  - [263] P. Vayanos, S.L. Goh, and D.P. Mandic. Online detection of the nature of complex-valued signals. In *IEEE Signal Processing Society Workshop on Machine Learning for Signal Processing*, pages 173 – 178. IEEE, September 2006. doi:10.1109/MLSP.2006.275543.
  - [264] B. Widrow, J. McCool, and M. Ball. The complex lms algorithm. *Proceedings of the IEEE*, 63(4):719 – 720, April 1975. doi:10.1109/PROC.1975.9807.
  - [265] Y. Xia, C. Jahanchahi, and D.P. Mandic. Quaternion-valued echo state networks.

- IEEE Transactions on Neural Networks and Learning Systems*, 26(4):663 – 673, April 2015. doi:10.1109/TNNLS.2014.2320715.
- [266] Y. Xia, B. Jelfs, M.M. Van Hulle, J.C. Principe, and D.P. Mandic. An augmented echo state network for nonlinear adaptive filtering of complex noncircular signals. *IEEE Transactions on Neural Networks*, 22(1):74 – 83, January 2011. doi:10.1109/TNN.2010.2085444.
- [267] Y. Xia and D.P. Mandic. An adaptive diffusion augmented clms algorithm for distributed filtering of noncircular complex signals. *IEEE Signal Processing Letters*, 2011.
- [268] D. Xu, H. Zhang, and L. Liu. Convergence analysis of three classes of split-complex gradient algorithms for complex-valued recurrent neural networks. *Neural Computation*, 22(10):2655 – 2677, October 2010. doi:10.1162/NECO\_a\_00021.
- [269] Q. Xu and D. Ma. Applications of lie groups and lie algebra to computer vision a brief survey. In *International Conference on Systems and Informatics (ICSAI)*, pages 2024 – 2029. IEEE, May 2012. doi:10.1109/ICSAI.2012.6223449.
- [270] R. Yamaki and A. Hirose. Singular unit restoration in interferograms based on complex-valued markov random field model for phase unwrapping. *IEEE Geoscience and Remote Sensing Letters*, 6(1):18 – 22, January 2009. doi:10.1109/LGRS.2008.2005588.
- [271] C.-C. Yang and N.K. Bose. Landmine detection and classification with complex-valued hybrid neural network using scattering parameters dataset. *IEEE Transactions on Neural Networks*, 16(3):743 – 753, May 2005. doi:10.1109/TNN.2005.844906.
- [272] S.-S. Yang, C.-L. Ho, and S. Siu. Sensitivity analysis of the split-complex valued multilayer perceptron due to the errors of the i.i.d. inputs and weights. *IEEE Transactions on Neural Networks*, 18(5):1280 – 1293, September 2007. doi:10.1109/TNN.2007.894038.
- [273] S.-S. Yang, S. Siu, and C.-L. Ho. Analysis of the initial values in split-complex backpropagation algorithm. *IEEE Transactions on Neural Networks*, 19(9):1564 – 1573, September 2008. doi:10.1109/TNN.2008.2000805.
- [274] W.-H. Yang, K.-K. Chan, and P.-R. Chang. Complex-valued neural network for direction of arrival estimation. *Electronics Letters*, 30(7):574 – 575, March 1994. doi:10.1049/el:19940400.
- [275] Q. Yi and B.W. York. Some results for chaotic times series prediction using clifford neural networks. In *International Conference on Signal Processing (ICSP)*, volume 1, pages 61 – 64. IEEE, September 2004. doi:10.1109/ICOSP.2004.1452581.
- [276] C. You and D. Hong. Nonlinear blind equalization schemes using complex-valued multilayer feedforward neural networks. *IEEE Transactions on Neural Networks*, 9(6):1442 – 1455, November 1998. doi:10.1109/72.728394.
- [277] H. Yu and B.M. Wilamowski. *Intelligent Systems*, volume 5 of *Industrial Electronics Handbook*, chapter Levenberg-Marquardt Training, pages 12-1 – 12-15. CRC Press, 2nd edition, February 2011.
- [278] H. Zhang and W. Wu. Convergence of split-complex backpropagation algorithm with momentum. *Neural Network World*, 21(1):75 – 90, 2011. doi:10.14311/nnw.2011.21.006.
- [279] H. Zhang, D. Xu, and Wang Z. Convergence of an online split-complex gradient algorithm for complex-valued neural networks. *Discrete Dynamics in Nature and Society*, 2010:1 – 27, January 2010. doi:10.1155/2010/829692.
- [280] Y. Zhang and Y. Ma. Cgha for principal component extraction in the complex

- domain. *IEEE Transactions on Neural Networks*, 8(5):1031 – 1036, September 1997. doi:10.1109/72.623205.
- [281] H.Q. Zhao, X.P. Zeng, Z.Y. He, W.D. Jin, and T.R. Li. Complex-valued pipelined decision feedback recurrent neural network for non-linear channel equalisation. *IET Communications*, 6(9):1082 – 1096, June 2012. doi:10.1049/iet-com.2011.0415.

